

И. В. САВЕЛЬЕВ

# Курс общей физики

---

МЕХАНИКА

•  
МОЛЕКУЛЯРНАЯ ФИЗИКА



И. В. САВЕЛЬЕВ

# КУРС ОБЩЕЙ ФИЗИКИ

ТОМ 1

---

## МЕХАНИКА МОЛЕКУЛЯРНАЯ ФИЗИКА

ИЗДАНИЕ ТРЕТЬЕ, ИСПРАВЛЕННОЕ

*Допущено Министерством высшего  
и среднего специального образования СССР  
в качестве учебного пособия для студентов  
высших технических учебных заведений*



МОСКВА «НАУКА»  
ГЛАВНАЯ РЕДАКЦИЯ  
ФИЗИКО-МАТЕМАТИЧЕСКОЙ ЛИТЕРАТУРЫ  
1986

ББК 22.3  
С 12  
УДК 53 (075.8)

**САВЕЛЬЕВ И. В.** Курс общей физики: Учеб. пособие. В 3-х т. Т. 1  
Механика. Молекулярная физика. — 3-е изд., испр. — М.: Наука. Гл. ред. физ.-  
мат. лит., 1986. — 432 с., ил.

Первый том трехтомного курса общей физики, созданного профессором Московского инженерно-физического института, заслуженным деятелем науки и техники РСФСР, лауреатом Государственной премии СССР И. В. Савельевым. Главная цель книги — познакомить студентов с основными идеями и методами физики. Особое внимание обращено на разъяснение смысла физических законов и на сознательное применение их.

Для вузов с расширенной программой по физике, однако изложение построено так, что, опустив отдельные места, книгу можно использовать для вузов с обычной программой.

Табл. 11. Ил. 275

*Игорь Владимирович Савельев*

## КУРС ОБЩЕЙ ФИЗИКИ

Том 1

Механика. Молекулярная физика

Редакторы *Л. И. Гладнева, В. А. Григорова*

Художественный редактор *Т. Н. Кольченко*

Технический редактор *Л. В. Лихачева*. Корректор *Т. С. Плещева*

ИБ № 12936

Печать с матриц. Подписано к печати 10.09.86. Формат 60×90<sup>1/16</sup>. Бумага тип. № 2. Гарнитура литературная. Печать высокая. Усл. печ. л. 27. Усл. кр.-отт. 27,25. Уч.-изд. л. 26,05. Тираж 233 000 экз. (1-й завод 1—100 000 экз.). Заказ № 2255. Цена 1 р. 10 к.

Ордена Трудового Красного Знамени издательство «Наука»

Главная редакция физико-математической литературы

117071 Москва В-71, Ленинский проспект, 15

Ордена Октябрьской Революции и ордена Трудового Красного Знамени  
МПО «Первая Образцовая типография» имени А. А. Жданова Союзполиграфпрома  
при Государственном комитете СССР по делам издательства, полиграфии  
и книжной торговли. 113054, Москва, Валуевская, 28

С  $\frac{1704010000-139}{053 (02)-86}$  120-86

© Издательство «Наука»  
Главная редакция  
физико-математической  
литературы, 1977, 1982, 1986

## ОГЛАВЛЕНИЕ

Предисловие . . . . .	7
Методические рекомендации . . . . .	9
Введение . . . . .	11

### Ч А С Т Ь I

#### ФИЗИЧЕСКИЕ ОСНОВЫ МЕХАНИКИ

Г л а в а I. Кинематика . . . . .	17
§ 1. Механическое движение . . . . .	17
§ 2. Некоторые сведения о векторах . . . . .	20
§ 3. Скорость . . . . .	35
§ 4. Ускорение . . . . .	41
§ 5. Кинематика вращательного движения . . . . .	45
Г л а в а II. Динамика материальной точки . . . . .	49
§ 6. Классическая механика. Границы ее применимости . . . . .	49
§ 7. Первый закон Ньютона. Инерциальные системы отсчета . . . . .	50
§ 8. Масса и импульс тела . . . . .	51
§ 9. Второй закон Ньютона . . . . .	53
§ 10. Единицы и размерности физических величин . . . . .	55
§ 11. Третий закон Ньютона . . . . .	58
§ 12. Принцип относительности Галилея . . . . .	60
§ 13. Силы . . . . .	62
§ 14. Упругие силы . . . . .	63
§ 15. Силы трения . . . . .	66
§ 16. Сила тяжести и вес . . . . .	70
§ 17. Практическое применение законов Ньютона . . . . .	72
Г л а в а III. Законы сохранения . . . . .	74
§ 18. Сохраняющиеся величины . . . . .	74
§ 19. Кинетическая энергия . . . . .	75
§ 20. Работа . . . . .	77
§ 21. Консервативные силы . . . . .	81
§ 22. Потенциальная энергия во внешнем поле сил . . . . .	85
§ 23. Потенциальная энергия взаимодействия . . . . .	90
§ 24. Закон сохранения энергии . . . . .	95
§ 25. Энергия упругой деформации . . . . .	97
§ 26. Условия равновесия механической системы . . . . .	98
§ 27. Закон сохранения импульса . . . . .	100
§ 28. Соударение двух тел . . . . .	103
§ 29. Закон сохранения момента импульса . . . . .	105

§ 30. Движение в центральном поле сил . . . . .	111
§ 31. Задача двух тел . . . . .	116
<b>Г л а в а IV. Неинерциальные системы отсчета . . . . .</b>	<b>118</b>
§ 32. Силы инерции . . . . .	118
§ 33. Центробежная сила инерции . . . . .	120
§ 34. Сила Кориолиса . . . . .	123
§ 35. Законы сохранения в неинерциальных системах отсчета . . . . .	129
<b>Г л а в а V. Механика твердого тела . . . . .</b>	<b>131</b>
§ 36. Движение твердого тела . . . . .	131
§ 37. Движение центра масс твердого тела . . . . .	133
§ 38. Вращение тела вокруг неподвижной оси . . . . .	134
§ 39. Момент инерции . . . . .	140
§ 40. Понятие о тензоре инерции . . . . .	144
§ 41. Кинетическая энергия вращающегося твердого тела . . . . .	151
§ 42. Кинетическая энергия тела при плоском движении . . . . .	154
§ 43. Применение законов динамики твердого тела . . . . .	155
§ 44. Гирскоскопы . . . . .	161
<b>Г л а в а VI. Всемирное тяготение . . . . .</b>	<b>168</b>
§ 45. Закон всемирного тяготения . . . . .	168
§ 46. Гравитационное поле . . . . .	170
§ 47. Принцип эквивалентности . . . . .	174
§ 48. Космические скорости . . . . .	178
<b>Г л а в а VII. Колебательное движение . . . . .</b>	<b>181</b>
§ 49. Общие сведения о колебаниях . . . . .	181
§ 50. Малые колебания . . . . .	182
§ 51. Комплексные числа . . . . .	186
§ 52. Линейные дифференциальные уравнения . . . . .	187
§ 53. Гармонические колебания . . . . .	190
§ 54. Маятник . . . . .	195
§ 55. Векторная диаграмма . . . . .	198
§ 56. Биения . . . . .	199
§ 57. Сложение взаимно перпендикулярных колебаний . . . . .	201
§ 58. Затухающие колебания . . . . .	204
§ 59. Автоколебания . . . . .	209
§ 60. Вынужденные колебания . . . . .	210
§ 61. Параметрический резонанс . . . . .	215
<b>Г л а в а VIII. Релятивистская механика . . . . .</b>	<b>217</b>
§ 62. Специальная теория относительности . . . . .	217
§ 63. Преобразования Лоренца . . . . .	221
§ 64. Следствия из преобразований Лоренца . . . . .	225
§ 65. Интервал . . . . .	228
§ 66. Преобразование и сложение скоростей . . . . .	231
§ 67. Релятивистское выражение для импульса . . . . .	233
§ 68. Релятивистское выражение для энергии . . . . .	237
§ 69. Преобразования импульса и энергии . . . . .	240
§ 70. Взаимосвязь массы и энергии . . . . .	242
§ 71. Частицы с нулевой массой . . . . .	244
<b>Г л а в а IX. Гидродинамика . . . . .</b>	<b>246</b>
§ 72. Линии и трубки тока. Неразрывность струи . . . . .	246
§ 73. Уравнение Бернулли . . . . .	248
§ 74. Истечение жидкости из отверстия . . . . .	250

§ 75. Силы внутреннего трения . . . . .	252
§ 76. Ламинарное и турбулентное течения . . . . .	255
§ 77. Течение жидкости в круглой трубе . . . . .	256
§ 78. Движение тел в жидкостях и газах . . . . .	258

## ЧАСТЬ 2

### МОЛЕКУЛЯРНАЯ ФИЗИКА И ТЕРМОДИНАМИКА

Г л а в а X. Предварительные сведения . . . . .	262
§ 79. Статистическая физика и термодинамика . . . . .	262
§ 80. Масса и размеры молекул . . . . .	263
§ 81. Состояние системы. Процесс . . . . .	265
§ 82. Внутренняя энергия системы . . . . .	267
§ 83. Первое начало термодинамики . . . . .	268
§ 84. Работа, совершаемая телом при изменениях объема . . . . .	270
§ 85. Температура . . . . .	273
§ 86. Уравнение состояния идеального газа . . . . .	274
§ 87. Внутренняя энергия и теплоемкость идеального газа . . . . .	277
§ 88. Уравнение адиабаты идеального газа . . . . .	280
§ 89. Политропические процессы . . . . .	283
§ 90. Работа, совершаемая идеальным газом при различных процессах . . . . .	284
§ 91. Ван-дер-ваальсовский газ . . . . .	286
§ 92. Барометрическая формула . . . . .	289
Г л а в а XI. Статистическая физика . . . . .	291
§ 93. Некоторые сведения из теории вероятностей . . . . .	291
§ 94. Характер теплового движения молекул . . . . .	294
§ 95. Число ударов молекул о стенку . . . . .	297
§ 96. Давление газа на стенку . . . . .	300
§ 97. Средняя энергия молекул . . . . .	302
§ 98. Распределение Максвелла . . . . .	311
§ 99. Экспериментальная проверка закона распределения Максвелла . . . . .	319
§ 100. Распределение Больцмана . . . . .	321
§ 101. Определение Перреном числа Авогадро . . . . .	324
§ 102. Макро- и микросостояния. Статистический вес . . . . .	325
§ 103. Энтропия . . . . .	332
Г л а в а XII. Термодинамика . . . . .	340
§ 104. Основные законы термодинамики . . . . .	340
§ 105. Цикл Карно . . . . .	345
§ 106. Термодинамическая шкала температур . . . . .	349
§ 107. Примеры на вычисление энтропии . . . . .	352
§ 108. Некоторые применения энтропии . . . . .	354
§ 109. Термодинамические потенциалы . . . . .	356
Г л а в а XIII. Кристаллическое состояние . . . . .	361
§ 110. Отличительные черты кристаллического состояния . . . . .	361
§ 111. Классификация кристаллов . . . . .	363
§ 112. Физические типы кристаллических решеток . . . . .	365
§ 113. Дефекты в кристаллах . . . . .	367
§ 114. Теплоемкость кристаллов . . . . .	369
Г л а в а XIV. Жидкое состояние . . . . .	371
§ 115. Строение жидкостей . . . . .	371
§ 116. Поверхностное натяжение . . . . .	372
§ 117. Давление под изогнутой поверхностью жидкости . . . . .	375

§ 118. Явления на границе жидкости и твердого тела . . . . .	377
§ 119. Капиллярные явления . . . . .	380
<b>Г л а в а XV. Фазовые равновесия и превращения . . . . .</b>	<b>383</b>
§ 120. Введение . . . . .	383
§ 121. Испарение и конденсация . . . . .	384
§ 122. Равновесие жидкости и насыщенного пара . . . . .	386
§ 123. Критическое состояние . . . . .	387
§ 124. Пересыщенный пар и перегретая жидкость . . . . .	389
§ 125. Плавление и кристаллизация . . . . .	392
§ 126. Уравнение Клапейрона — Клаузиуса . . . . .	394
§ 127. Тройная точка. Диаграмма состояния . . . . .	396
<b>Г л а в а XVI. Физическая кинетика . . . . .</b>	<b>400</b>
§ 128. Явления переноса . . . . .	400
§ 129. Средняя длина свободного пробега . . . . .	404
§ 130. Диффузия в газах . . . . .	408
§ 131. Теплопроводность газов . . . . .	410
§ 132. Вязкость газов . . . . .	414
§ 133. Ультразреженные газы . . . . .	416
§ 134. Эффузия . . . . .	418
<b>Приложения . . . . .</b>	<b>422</b>
I. Вычисление некоторых интегралов . . . . .	422
II. Формула Стирлинга . . . . .	423
III. Симметричные тензоры второго ранга . . . . .	424
<b>Предметный указатель . . . . .</b>	<b>429</b>

## ПРЕДИСЛОВИЕ

Третье издание первого тома «Курса общей физики» почти не отличается от второго издания. Внесены лишь небольшие исправления и уточнения. В основном текст остался прежним.

При написании курса мы стремились представить физику не как «зубрильную» науку, не как некоторый объем информации, который нужно усвоить, а как очень умную, логичную и красивую науку. В какой степени нам это удалось — судить читателю.

Хорошо сознавая, что пухлое руководство самим своим видом действует на студента удручающе, мы стремились по возможности ограничить объем курса. Это достигалось путем тщательного отбора материала, который, по нашему мнению, следовало включить в трехтомник. Кроме того, мы старались быть краткими (но не в ущерб ясности изложения).

Несмотря на стремление к сокращению объема, мы сочли необходимым включить в курс ряд математических параграфов: о векторах, линейных дифференциальных уравнениях, основных понятиях теории вероятностей и т. д. Это сделано для того, чтобы придать соответствующим понятиям и соотношениям «физическую» окраску. Кроме того, математические «включения» позволяют при изложении физики двигаться дальше даже в том случае, если (как это часто бывает) в курсе математики соответствующий материал еще не был рассмотрен.

В овладении физикой огромную роль играет самостоятельное решение нетривиальных задач. Мы не считаем целесообразным помещать задачи в основной курс. Лучше дополнять учебник отдельно изданным задачником. Таким дополнением к данному «Курсу общей физики» служит «Сборник вопросов и задач по общей физике» И. В. Савельева, выпущенный издательством «Наука» в 1982 г.

Физика требует от учащегося обдумывания, размышлений. В усвоении материала основную роль должна играть память логическая, а не формальная. Запоминание должно достигаться через глубокое понимание. Прежде чем приступить к разбору вывода какого-либо соотношения, полезно поразмыслить над тем, каким может быть это соотношение, представить себе, от каких факторов и как может зависеть рассматриваемая величина.

При работе над книгой следует обращать внимание на простоту (если она имеет место), симметрию и красоту полученных результатов, пытаться ощутить, что испытывал тот или иной ученый, сделав открытие или получив важный результат.

Учебник физики нельзя читать «лежа на диване», над ним нужно работать «с карандашом в руках». Только при осмысленном, вдумчивом труде процесс изучения физики превращается из тягостной, безрадостной обязанности в увлекательное, захватывающее занятие.

Данный курс предназначен в первую очередь для втузов с расширенной программой по физике. Однако изложение построено так, что, опустив отдельные места, эту книгу можно использовать в качестве учебного пособия для втузов с обычной программой. В предпосланных основному тексту методических рекомендациях, наряду с другим материалом, приведен ориентировочный перечень купюр (т. е. изъятий, сокращений в тексте), которые можно сделать в случае недостатка времени для изучения книги в полном объеме.

Москва, август 1985 г.

*И. В. Савельев*

## МЕТОДИЧЕСКИЕ РЕКОМЕНДАЦИИ

В настоящих рекомендациях содержатся указания на те стороны в существо некоторых вопросов, на которые обычно не обращается должного внимания. Кроме того, приводится ориентировочный перечень параграфов либо отдельных абзацев, рассмотрение которых не обязательно в случае нехватки времени на изучение курса в полном объеме. Этот перечень отражает личную точку зрения автора и носит лишь рекомендательный характер.

1. Многие физические величины являются векторными. Поэтому хорошее усвоение сведений о векторах, содержащихся в § 2, является необходимой предпосылкой успешной работы над книгой.

Следует обратить внимание на нетождественность выражений  $|\Delta a|$  (или  $|da|$ ) и  $\Delta a = \Delta|a|$  (или  $da = d|a|$ ). Иногда встречается смешение этих двух выражений.

2. Понятие среднего играет в физике важную роль. Поэтому нужно добиться хорошего усвоения формул (3.20) — (3.22). Следует помнить, что средние бывают разные: можно говорить о среднем по времени, среднем по отрезку линии (например, по участку траектории), по поверхности, по объему, среднем по частицам и т. п.

Полезно помнить, что среднее по периоду от квадрата синуса или косинуса равно  $1/2$ . Это избавит в ряде случаев от необходимости вычислять соответствующие интегралы.

3. Вместо неоднозначного термина «изменение» нужно пользоваться точными терминами «приращение» и «убыль» (см. подстрочное примечание на стр. 77). Часто встречающееся предубеждение против этих терминов обусловлено тем обстоятельством, что термин «приращение» ассоциируется с увеличением, возрастанием величины, а термин «убыль» ассоциируется с уменьшением, убыванием величины. Эти ассоциации неправомерны, их надо отбросить и исходить из определений:

$$\begin{aligned}\text{приращение} &= a_{\text{конечн}} - a_{\text{начальн}} = \Delta a \text{ (или } da), \\ \text{убыль} &= a_{\text{начальн}} - a_{\text{конечн}} = -\Delta a \text{ (или } -da).\end{aligned}$$

Из определений вытекает, что и приращение, и убыль являются алгебраическими величинами, т. е. могут быть не только положительными, но и отрицательными. В случае отрицательного приращения данная величина не возрастает, а уменьшается; в случае отрицательной убыли данная величина не уменьшается, а возрастает.

Чтобы показать недостаточность термина «изменение», сопоставим две формулы:

$$\begin{aligned}A_{12} &= T_2 - T_1 = \Delta T \text{ (см. (19.11)),} \\ A_{12} &= U_1 - U_2 = -\Delta U \text{ (см. (22.1)).}\end{aligned}$$

В первую формулу входит *п р и р а щ е н и е* кинетической энергии, во вторую — *у б ы л ь* потенциальной энергии. Если пользоваться в обоих случаях термином «изменение», то характер изменения остается неопределенным.

4. В § 14 «Упругие силы» можно ограничиться изучением только первых абзацев, в которых идет речь о законе Гука для пружины. Остальную часть параграфа, начиная с абзаца, в котором приводится формула (14.3), можно опустить.

Соответственно в § 20 «Работа» можно не рассматривать формулу (20.3), а в § 25 «Энергия упругой деформации» можно не рассматривать формулы (25.2) — (25.5).

5. Параграфы 30 «Движение в центральном поле сил» и 31 «Задача двух тел» можно опустить.

6. В § 34 «Сила Кориолиса» можно ограничиться выводом формулы (34.3) для случая движения тела по окружности и высказать без доказательства утверждение о том, что эта формула справедлива и в любом другом случае. Часть параграфа, начинающуюся с абзаца, в котором содержится формула (34.4), и заканчивающуюся абзацем, в котором дана формула (34.16), можно исключить.

7. Параграф 35 «Законы сохранения в неинерциальных системах отсчета» можно опустить.

8. Параграф 40 «Понятие о тензоре инерции» можно исключить, равно как и вторую часть § 41, в которой выводится выражение кинетической энергии через тензор инерции. Однако следует обратить внимание учащихся на то, что формула (41.1) справедлива лишь в некоторых особых случаях (см. последний абзац § 41).

9. Параграф 44 «Гироскопы» можно исключить.

10. В § 46 «Гравитационное поле» можно опустить вторую часть, начинающуюся с абзаца, следующего за формулой (46.7).

11. В § 47 можно опустить описание опыта Этвеша.

12. В § 60 «Вынужденные колебания» достаточно рассмотреть только один из двух приведенных способов нахождения частного решения: либо способ, использующий комплексную функцию, либо способ, использующий векторную диаграмму.

13. В § 63 преобразования Лоренца можно дать без вывода. Целесообразно запомнить эти преобразования в форме (63.17).

14. В § 68 вывод формулы (68.4) можно опустить.

15. Главу IX «Гидродинамика» в минимальный вариант программы можно не включать.

16. В § 95 «Число ударов молекул о стенку» можно ограничиться упрощенным выводом формулы (95.7), отметив, что более строгий вывод приводит лишь к более точному значению числового коэффициента:  $1/4$  вместо  $1/6$ . Текст же, содержащий формулы (95.1) — (95.6), можно исключить.

17. В § 96 «Давление газа на стенку» также можно ограничиться выводом формулы (96.4), опустив выкладки, приводящие к формулам (96.1) и (96.2). Следует подчеркнуть, что, несмотря на упрощенный вывод, результат для давления получается точным вплоть до значения числового коэффициента.

18. В § 98 «Распределение Максвелла» можно не рассматривать вывод функций (98.13) и (98.14), а также вычисление значения нормировочного множителя  $A$  и нахождение выражения (98.26) для средней скорости молекул.

19. В § 103 «Энтропия» можно опустить текст, начинающийся с абзаца, следующего за формулой (103.4), и заканчивающийся перед формулой (103.20), ограничившись утверждением: «Можно показать, что в ходе обратимого процесса, сопровождающегося сообщением системе извне количества тепла  $d'Q$ , энтропия системы получает приращение, определяемое формулой (103.20) (получающая извне тепло система является неизолированной, поэтому ее энтропия не обязана сохраняться в ходе процесса)».

20. Параграфы 106 и 108 можно опустить.

21. В § 109 «Термодинамические потенциалы» можно ограничиться рассмотрением лишь текста, относящегося к свободной энергии, до формулы (109.12) включительно.

22. В § 111 «Классификация кристаллов» не следует стараться запомнить названия и определения кристаллографических систем.

23. Параграф 113 «Дефекты в кристаллах» можно исключить.

Подчеркнем еще раз, что приведенный перечень сокращений является сугубо ориентировочным. В зависимости от обстоятельств он может быть изменен или расширен по усмотрению преподавателя.

## ВВЕДЕНИЕ

Физика есть наука о наиболее общих свойствах и формах движения материи.

Классическое определение материи дано В. И. Лениным в его книге «Материализм и эмпириокритицизм»: «Материя есть философская категория для обозначения объективной реальности, которая дана человеку в ощущениях его, которая копируется, фотографируется, отображается нашими ощущениями, существуя независимо от них» <sup>1)</sup>. В этом определении существенны два положения: 1) материя — это то, что существует объективно, т. е. независимо от чьего бы то ни было сознания или ощущений, и 2) материя копируется, отображается нашими ощущениями и, следовательно, познаваема.

Из определения физики следует, что в ней сосредоточивается учение о наиболее общих свойствах и явлениях внешнего мира. Как отметил в одной из своих статей академик С. И. Вавилов, «предельная общность значительной части содержания физики, ее фактов и законов искони сближала физику с философией... Иногда физические утверждения по своему характеру таковы, что их трудно отличить и отделить от философских утверждений, и физик обязан быть философом».

В настоящее время известны два вида материи: вещество и поле. К первому виду материи — веществу — относятся, например, атомы, молекулы и все построенные из них тела. Второй вид материи образуют электромагнитные, гравитационные и другие поля. Различные виды материи могут превращаться друг в друга. Так, например, электрон и позитрон (представляющие собой вещество) могут превращаться в фотоны (т. е. в электромагнитное поле). Возможен и обратный процесс.

---

<sup>1)</sup> В. И. Ленин. Полное собрание сочинений, т. 18, стр. 131.

Материя находится в непрерывном движении, под которым в диалектическом материализме <sup>1)</sup> понимается всякое изменение вообще. Движение представляет собой неотъемлемое свойство материи, которое несотворимо и неуничтожимо, как и сама материя. Материя существует и движется в пространстве и во времени, которые являются формами бытия материи.

Физические законы устанавливаются на основе обобщения опытных фактов и выражают объективные закономерности, существующие в природе. Эти законы обычно формулируются в виде количественных соотношений между различными величинами.

Основным методом исследования в физике является опыт, т. е. наблюдение исследуемого явления в точно контролируемых условиях, позволяющих следить за ходом явления и воссоздавать его каждый раз при повторении этих условий. Экспериментально могут быть вызваны явления, которые естественно в природе не наблюдаются. Например, из числа известных в настоящее время химических элементов более десяти в природе пока не обнаружены и были получены искусственным путем с помощью ядерных реакций.

Для объяснения экспериментальных данных привлекаются гипотезы. Гипотеза — это научное предположение, выдвигаемое для объяснения какого-либо факта или явления и требующее проверки и доказательства для того, чтобы стать научной теорией или законом. Правильность высказанной гипотезы проверяется посредством постановки соответствующих опытов, путем выяснения согласия следствий, вытекающих из гипотезы, с результатами опытов и наблюдений. Успешно прошедшая такую проверку и доказанная гипотеза превращается в научный закон или теорию.

Физическая теория представляет собой систему основных идей, обобщающих опытные данные и отражающих объективные закономерности природы. Физическая теория дает объяснение целой области явлений природы с единой точки зрения.

---

<sup>1)</sup> Диалектический материализм — философия марксизма-ленинизма, научное мировоззрение, всеобщий метод познания мира, наука о наиболее общих законах движения и развития природы, общества и мышления. Диалектический материализм основывается на достижениях науки и передовой общественной практики, постоянно развивается и обогащается вместе с их прогрессом. Диалектический материализм — высшая форма материализма, представляющая собой итог всей предшествующей истории развития философской мысли.

Физику подразделяют на так называемую классическую физику и физику квантовую. Классической называется та физика, создание которой было завершено в начале XX столетия. Начало классической физики было положено Ньютоном, сформулировавшим основные законы классической механики. Ньютоновская механика оказалась настолько плодотворной, настолько могущественной, что у физиков сложилось представление о том, что любое физическое явление можно объяснить с помощью ньютоновских законов.

Созданное к концу прошлого столетия здание классической физики было очень стройным. Большинство физиков было убеждено в том, что они уже знают о природе все, что можно было узнать. Однако наиболее проницательные физики понимали, что в здании классической физики есть слабые места. Так, например, английский физик У. Томсон (он же лорд Кельвин) говорил, что на горизонте безоблачного неба классической физики имеются два темных облачка: неудача попыток создания теории излучения абсолютно черного тела и противоречивое поведение эфира — гипотетической среды, в которой предполагалось распространение световых волн. Настойчивые попытки преодолеть эти затруднения привели к неожиданным результатам. Для того чтобы решить проблемы, оказавшиеся непосильными для классической физики, пришлось коренным образом пересмотреть сложившиеся, привычные представления и ввести понятия, чуждые духу классической физики. Введя представление об испускании света отдельными порциями — квантами, Макс Планк (1858—1947) в 1900 г. решил задачу об излучении абсолютно черного тела. Таким образом, на пороге XX столетия появилось понятие кванта, играющее в современной физике исключительно важную роль и приведшее к созданию квантовой механики.

Противоречивость опытных фактов, касающихся эфира, побудила Альберта Эйнштейна (1879—1955) пересмотреть считавшиеся со времен Ньютона очевидными представления о пространстве и времени. Это привело к созданию теории относительности, которая дает для тел, движущихся со скоростями, заметными по сравнению со скоростью света, уравнения движения, существенно отличающиеся от уравнений ньютоновской механики.

В 1897 г. был открыт электрон, причем выяснилось, что электроны входят в состав атомов всех химических

элементов. Таким образом, было установлено сложное строение атомов, считавшихся прежде неделимыми.

Итак, начало XX века ознаменовалось в физике коренной ломкой целого ряда привычных понятий и представлений. Новые физические открытия и теории разрушали сложившиеся у физиков представления о строении вещества, что было воспринято некоторыми физиками как исчезновение материи. Многие физики впали в идеализм и начался кризис физики.

Ленин в книге «Материализм и эмпириокритицизм», написанной в 1908 г., дал уничтожающую критику «физического» идеализма. Он показал, что новые открытия свидетельствуют не об исчезновении материи, а об исчезновении того предела, до которого знали материю до тех пор. «„Материя исчезает“, — писал В. И. Ленин, — это значит исчезает тот предел, до которого мы знали материю до сих пор, наше знание идет глубже; исчезают такие свойства материи, которые казались раньше абсолютными, неизменными, первоначальными (непроницаемость, инерция, масса и т. д.) и которые теперь обнаруживаются, как относительные, присущие только некоторым состояниям материи. Ибо *единственное* „свойство“ материи, с признанием которого связан философский материализм, есть свойство *быть объективной реальностью*, существовать вне нашего сознания»<sup>1</sup>).

Процесс познания мира бесконечен. Наши знания на каждой данной ступени развития науки обусловлены исторически достигнутым уровнем познания и не могут считаться окончательными, полными. Они по необходимости являются относительными знаниями, т. е. нуждаются в дальнейшем развитии, в дальнейшей проверке и уточнении. Вместе с тем, всякая подлинно научная теория, несмотря на свою относительность и неполноту, содержит элементы абсолютного, т. е. полного знания, означает ступень в познании объективного мира. Например, механика, основанная на законах Ньютона, строго говоря, неверна. Но для некоторого круга явлений эта механика вполне удовлетворительна. Таким образом, развитие науки не перечеркнуло ньютоновскую механику, оно только установило пределы, в которых она справедлива. Ньютоновская механика вошла как составная часть в общее здание физической науки.

Начало XX века характеризуется настойчивыми попытками проникнуть во внутреннее строение атомов.

---

<sup>1</sup>) В. И. Л е н и н. Полное собрание сочинений, т. 18, стр. 275.

Ключом к выяснению строения атомов послужило изучение атомных спектров. Первый разительный успех в объяснении наблюдаемых спектров принесла теория атома, развитая Нильсом Бором в 1913 г. Однако эта теория носила явные черты непоследовательности: наряду с подчинением движения электрона в атоме законам классической механики, она налагала на это движение специальные квантовые ограничения. За эту непоследовательность теории вскоре пришлось расплатиться. После первых успехов в объяснении спектра простейшего атома — водорода — обнаружилась неспособность теории Бора объяснить поведение атомов с двумя и большим числом электронов.

Назрела необходимость создания новой целостной теории атомов. Начало созданию такой теории было положено в 1924 г. смелой гипотезой Луи де Бройля. К тому времени было известно, что свет, будучи волновым процессом, вместе с тем в ряде случаев обнаруживает корпускулярную природу, т. е. ведет себя как поток частиц. Де Бройль высказал мысль, что и частицы вещества, в свою очередь, должны обнаруживать при определенных условиях волновые свойства. Гипотеза де Бройля вскоре получила блестящее экспериментальное подтверждение: было доказано, что с частицами вещества связан некий волновой процесс, который должен быть учтен при рассмотрении механики атома. Результатом этого открытия было создание Эрвином Шредингером и Вернером Гейзенбергом новой физической теории — волновой или квантовой механики. Квантовая механика достигла поразительных успехов в объяснении атомных процессов и строения вещества. В тех случаях, когда удалось преодолеть математические трудности, были получены результаты, превосходно согласующиеся с опытом.

Последние десятилетия ознаменовались замечательными достижениями в области изучения атомного ядра. Ученые и инженеры в такой степени овладели ядерными процессами, что стало возможным практическое использование ядерной энергии. Советской физике принадлежит в этой области одно из ведущих мест. В частности, в СССР была создана первая в мире атомная электростанция.

Наконец, в последние годы стены лабораторий, созданных руками человека, были раздвинуты за пределы земного шара. 4 октября 1957 г. в Советском Союзе впервые в истории был запущен искусственный спутник Земли, который представлял собой небольшую лаборато-

рию, оснащенную научно-исследовательской аппаратурой. 12 апреля 1961 г. совершился первый в мире полет человека в космическое пространство. Первый советский космонавт Юрий Алексеевич Гагарин облетел вокруг Земли и благополучно приземлился. В Советском же Союзе были созданы первые космические ракеты, которые покинули сферу земного притяжения и передали на Землю с помощью радиосигналов ценные результаты исследований космического пространства и, в частности, фотографии обратной стороны Луны. В 1969 г. американские астронавты побывали на Луне. В 1975 г. две советские автоматические станции совершили мягкую посадку на Венере и передали ценную информацию о физических условиях на этой планете, а также фотографии ее поверхности.

Последние годы ознаменовались большими достижениями в области физики элементарных частиц, управляемого термоядерного синтеза, квантовой электроники, физики твердого тела и т. д.

XXVII съезд Коммунистической партии Советского Союза утвердил в качестве основной задачи ускорение социально-экономического развития нашей страны, упорочение мира на Земле. Для решения этой задачи необходимо ускорение научно-технического прогресса, в котором важная роль принадлежит науке. В области естественных и технических наук съезд постановил развивать теоретическую и прикладную математику, информатику и кибернетику, физику элементарных частиц, атомного ядра и твердого тела, микро- и квантовую электронику и оптику, радиофизику, а также исследования в области атомной и термоядерной энергетики, преобразования и передачи электроэнергии, освоения нетрадиционных источников энергии. Решение этих проблем создаст необходимые предпосылки для кардинального ускорения научно-технического прогресса и тем самым для решения основной задачи — ускорения социально-экономического развития СССР.

# Ч А С Т Ь I

## ФИЗИЧЕСКИЕ ОСНОВЫ МЕХАНИКИ

---

### Г Л А В А I

### КИНЕМАТИКА

#### § 1. Механическое движение

Простейшей формой движения материи является механическое движение, которое состоит в перемещении тел или их частей друг относительно друга. Перемещения тел мы наблюдаем повседневно в обыденной жизни. Отсюда следует наглядность механических представлений. Этим же объясняется то, что из всех естественных наук механика прежде других получила широкое развитие.

Совокупность тел, выделенная для рассмотрения, называется *механической системой*. Какие тела следует включить в систему, зависит от характера решаемой задачи. В частном случае система может состоять из одного-единственного тела.

Выше было указано, что движением в механике называется изменение взаимного расположения тел. Если вообразить себе отдельное изолированное тело, находящееся в пространстве, где нет никаких других тел, то мы не сможем говорить о движении такого тела, потому что нет ничего, по отношению к чему это тело могло бы изменять свое положение. Отсюда следует, что если мы собираемся изучать движение какого-либо тела, то обязательно нужно указать, по отношению к каким другим телам происходит данное движение.

Движение происходит как в пространстве, так и во времени (пространство и время — неотъемлемые формы существования материи). Поэтому для описания движения необходимо также определять время. Это делается с помощью часов.

Совокупность неподвижных друг относительно друга тел, по отношению к которым рассматривается движение, и отсчитывающих время часов образует *систему отсчета*.

Движение одного и того же тела относительно различных систем отсчета может иметь разный характер. Для примера представим себе набирающий скорость поезд. Пусть по коридору одного из вагонов этого поезда идет с постоянной скоростью пассажир.

Тогда движение пассажира относительно вагона будет равномерным, а относительно поверхности Земли ускоренным.

Описать движение тела означает указать для каждого момента времени положение в пространстве и скорость тела. Для того чтобы задать состояние механической системы, нужно указать положения и скорости всех тел, образующих систему. Типичная задача механики заключается в том, чтобы, зная состояние системы в некоторый начальный момент времени  $t_0$ , а также законы, управляющие движением, определить состояния системы во все последующие моменты времени  $t$ .

Отметим, что ни одна физическая задача не может быть решена абсолютно точно. Всегда получают приближенное решение. Степень приближения определяется характером задачи, целью, которой хотят достичь. Решая задачу приближенно, пренебрегают некоторыми факторами, которые в данном случае не существенны. Например, часто можно бывает пренебречь размерами тела, движение которого изучается. Скажем, при рассмотрении движения Земли вокруг Солнца вполне можно пренебречь размерами Земли. При этом описание движения значительно упрощается — положение Земли в пространстве можно определить одной точкой.

Тело, размерами которого в условиях данной задачи можно пренебречь, называется *материальной точкой*. Вопрос о том, можно ли данное конкретное тело рассматривать как материальную точку или нет, зависит не от размеров этого тела, а от условий задачи. Одно и то же тело в одних случаях может быть сочтено за материальную точку, в других же должно рассматриваться как протяженное тело.

Говоря о каком-то теле как о материальной точке, мы абстрагируемся от его размеров. Вторая абстракция, с которой приходится иметь дело в механике, — это абсолютно твердое тело. В природе нет совершенно недеформируемых тел. Всякое тело под действием приложенных к нему сил в большей или меньшей степени деформируется, т. е. изменяет свою форму и размеры. Однако во многих случаях деформациями тел при рассмотрении их движений можно пренебречь. Если это имеет место, то тело называют абсолютно твердым. Таким образом, *абсолютно твердым телом* называется тело, деформациями которого можно в условиях данной задачи пренебречь.

Всякое движение твердого тела можно разложить на два основных вида движения — *поступательное* и *вращательное*.

Поступательное движение — это такое движение, при котором любая прямая, связанная с движущимся телом, остается параллельной самой себе (рис. 1.1).

При вращательном движении все точки тела движутся по окружностям, центры которых лежат на одной и той же прямой, назы-

ваемой о сью вращения (рис. 1.2). Ось вращения может находиться вне тела (см. рис. 1.2, б).

Поскольку, говоря о каком-либо теле как о материальной точке, мы отвлекаемся от его протяженности, понятие вращательного движения вокруг проходящей через него оси к такому телу неприменимо.

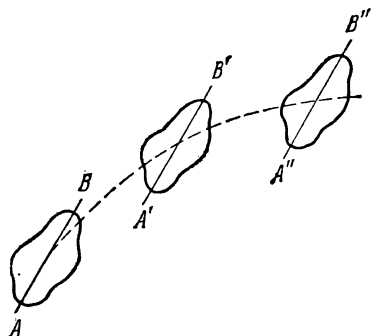
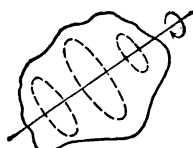
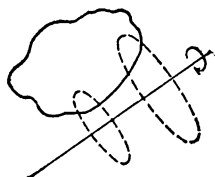


Рис. 1.1.



а)



б)

Рис. 1.2.

Для того чтобы получить возможность описывать движение количественно, приходится связывать с телами, образующими систему отсчета, какую-либо систему координат, например декартову. Тогда положение материальной точки можно определить, задав три числа  $x$ ,  $y$ ,  $z$  — декартовы координаты этой точки. Систему координат можно реализовать, набрав из одинаковых масштабных стержней или линеек прямоугольную решетку (рис. 1.3). В узлах этой решетки нужно разместить одинаковые синхронизированные друг с другом часы. Положение материальной точки и соответствующий ему момент времени регистрируются по ближайшим к материальной точке масштабам и часам.

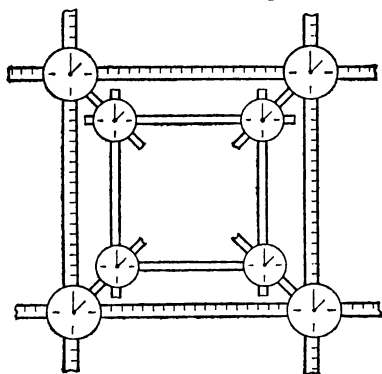


Рис. 1.3.

Иметь дело с материальной точкой проще, чем с протяженным телом. Поэтому мы сначала будем изучать механику материальной точки, а потом перейдем к механике твердого тела. Изложение мы

начнем с кинематики, а затем займемся динамикой. Напомним, что к и н е м а т и к а изучает движение тел, не интересуясь причинами, обуславливающими это движение. Д и н а м и к а изучает движение тел в связи с теми причинами (взаимодействиями между телами), которые обуславливают тот или иной характер движения.

## § 2. Некоторые сведения о векторах

**Определение вектора.** Векторами называются величины, характеризующиеся численным значением и направлением и, кроме того, складывающиеся по правилу параллелограмма <sup>1)</sup>. Последнее требование является весьма существенным. Можно указать такие величины, которые характеризуются численным значением и направлением, однако складываются иначе, чем векторы. В качестве примера приведем поворот тела вокруг некоторой оси на конечный угол  $\varphi$ . Такой поворот можно изобразить в виде отрезка длины  $\varphi$ , направленного по оси, вокруг которой осуществляется поворот, в сторону, связанную с направлением вращения правилом правого винта. На рис. 2.1 в верхнем ряду показаны два последовательных поворота шара на углы  $\pi/2$ , изображаемые отрезками  $\varphi_1$  и  $\varphi_2$ . Первый

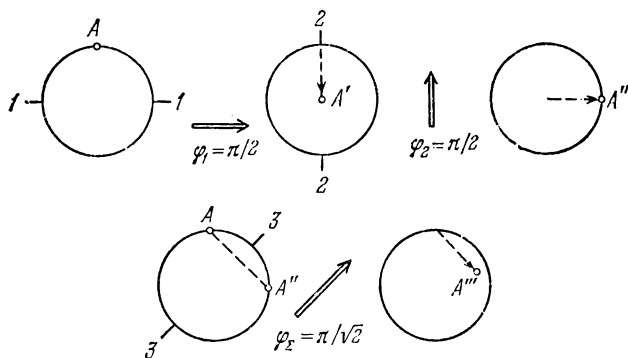


Рис. 2.1.

поворот, совершаемый вокруг оси 1—1, переводит точку A шара в положение A', второй, совершаемый вокруг оси 2—2, — в положение A''. Такого же результата (т. е. перевода точки A в положение A'') можно достичь, повернув шар вокруг оси 3—3 (см. нижний ряд на рис. 2.1) на угол  $\pi$ . Следовательно, такой поворот следует рассматривать как сумму поворотов  $\varphi_1$  и  $\varphi_2$ . Однако его нельзя

<sup>1)</sup> Согласно более строгому определению вектором называется совокупность трех величин, преобразующихся при поворотах координатных осей по определенному закону (см. Приложение III).

получить из отрезков  $\varphi_1$  и  $\varphi_2$ , сложив их по правилу параллелограмма. Такое сложение дает отрезок длины  $\pi/\sqrt{2}$  вместо требуемой длины  $\pi$ . Поворот на угол  $\pi/\sqrt{2}$  переводит точку  $A$  в точку  $A'''$ . Отсюда вытекает, что изображаемые направленными отрезками повороты на конечные углы не обладают свойствами векторов.

Численное значение вектора называется его **м о д у л е м**. Обратно говоря, модуль дает длину вектора. Модуль вектора — скаляр, причем всегда положительный.

На чертежах векторы изображаются в виде прямолинейных отрезков со стрелкой на конце. Длина отрезка определяет в установленном масштабе модуль вектора, а стрелка указывает направление вектора.

Векторы принято обозначать буквами жирного шрифта, например, **a, b, v, F** и т. д. Такая же буква обычного шрифта используется для обозначения модуля вектора, например  $a$  есть модуль вектора **a**<sup>1)</sup>. Иногда для обозначения модуля приходится пользоваться символом вектора, заключенным между двумя вертикальными черточками:  $|a|$  = модулю вектора **a**. Таким способом обозначается, например, модуль суммы векторов **a**<sub>1</sub> и **a**<sub>2</sub>:

$$|a_1 + a_2| = \text{модуль вектора } (a_1 + a_2). \quad (2.1)$$

В этом случае символ  $a_1 + a_2$  означает сумму модулей складываемых векторов, которая, вообще говоря, не равна модулю суммы векторов (равенство имеет место лишь в том случае, когда складываемые векторы имеют одинаковое направление).

Векторы, направленные вдоль параллельных прямых (в одну и ту же или в противоположные стороны), называются **к о л л и н е а р н ы м и**. Векторы, которые лежат в параллельных плоскостях, называются **к о м п л а н а р н ы м и**. Посредством параллельного переноса коллинеарные векторы могут быть расположены вдоль одной и той же прямой, а компланарные векторы могут быть сведены в одну плоскость.

Совпадающие по модулю коллинеарные векторы, имеющие одинаковое направление, считаются равными друг другу<sup>2)</sup>.

**Сложение и вычитание векторов.** Практически сложение векторов удобнее производить без построения параллелограмма. Как видно

<sup>1)</sup> При письме векторы обозначаются буквами со стрелкой над ними (например,  $\vec{a}$ ). В этом случае та же буква без стрелки означает модуль вектора.

<sup>2)</sup> Имеются в виду так называемые **с в о б о д н ы е в е к т о р ы**, т. е. векторы, которые могут быть отложены из любой точки пространства. Рассматриваются также **с к о л ь з я щ и е в е к т о р ы**, начало которых может быть помещено в любую точку прямой, вдоль которой направлен вектор, и **с в я з а н н ы е в е к т о р ы**, т. е. векторы, приложенные к определенной точке. Последние два вида векторов могут быть выражены через свободные векторы; по этой причине в основу векторного исчисления положено понятие свободного вектора, называемого обычно просто вектором.

из рис. 2.2, такой же результат достигается, если начало второго вектора совместить с концом первого, а затем провести из начала первого в конец второго результирующий вектор. Особенно целесообразен такой прием в том случае, когда приходится складывать большее чем два количество векторов (рис. 2.3).

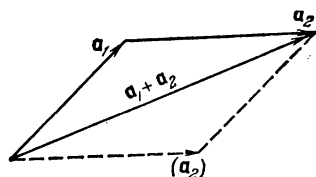


Рис. 2.2.

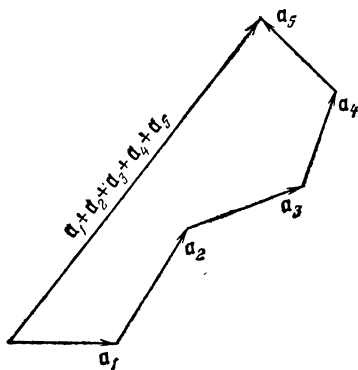


Рис. 2.3.

Разностью двух векторов  $\mathbf{a}$  и  $\mathbf{b}$  называется такой вектор  $\mathbf{c}$ , который в сумме с вектором  $\mathbf{b}$  дает вектор  $\mathbf{a}$  (рис. 2.4; об изображенном пунктиром векторе  $-\mathbf{b}$  речь идет ниже). Модуль разности двух векторов, как и модуль суммы (см. (2.1)), можно записать только с помощью вертикальных черточек:

$$|\mathbf{a}_1 - \mathbf{a}_2| = \text{модуль вектора } (\mathbf{a}_1 - \mathbf{a}_2), \quad (2.2)$$

поскольку символ  $a_1 - a_2$  означает разность модулей векторов  $\mathbf{a}_1$  и  $\mathbf{a}_2$ , которая, вообще говоря, не равна модулю разности.

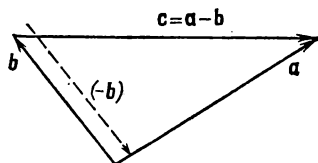


Рис. 2.4.



Рис. 2.5.

**Умножение вектора на скаляр.** В результате умножения вектора  $\mathbf{a}$  на скаляр  $\alpha$  получается новый вектор  $\mathbf{b} = \alpha \mathbf{a}$ , модуль которого в  $|\alpha|$  раз больше, чем модуль вектора  $\mathbf{a}$  ( $b = |\alpha|a$ ). Направление же вектора  $\mathbf{b}$  либо совпадает с направлением вектора  $\mathbf{a}$  (если  $\alpha > 0$ ), либо противоположно направлению вектора  $\mathbf{a}$  (если  $\alpha < 0$ ).

Из сказанного вытекает, что умножение на  $-1$  изменяет направление вектора на обратное. Следовательно, векторы  $\mathbf{a}$  и  $-\mathbf{a}$  имеют одинаковые модули, но противоположны по направлению. С помощью рис. 2.4 легко убедиться в том, что вычитание из вектора  $\mathbf{a}$  вектора  $\mathbf{b}$  равнозначно прибавлению к вектору  $\mathbf{a}$  вектора  $-\mathbf{b}$ .

Из определения операции умножения вектора на скаляр следует, что всякий вектор  $\mathbf{a}$  можно представить в виде

$$\mathbf{a} = a\mathbf{e}_a, \quad (2.3)$$

где  $a$  — модуль вектора  $\mathbf{a}$ ,  $\mathbf{e}_a$  — вектор с модулем, равным единице, имеющий такое же направление, как и  $\mathbf{a}$  (рис. 2.5). Вектор  $\mathbf{e}_a$  называется **единичным вектором** или **ортом** вектора  $\mathbf{a}$ . Орт можно представить в виде

$$\mathbf{e}_a = \frac{\mathbf{a}}{a}, \quad (2.4)$$

откуда следует, что орт является безразмерной величиной.

Орты можно сопоставлять не только векторам, но и любым направлениям в пространстве. Например,  $\mathbf{e}_x$  есть орт координатной оси  $x$ ,  $\mathbf{e}_n$  — орт нормали к кривой или поверхности,  $\mathbf{e}_\tau$  — орт касательной к кривой и т. д.

**Линейная зависимость между векторами.** Рассмотрим три неколлинеарных вектора  $\mathbf{a}$ ,  $\mathbf{b}$  и  $\mathbf{c}$ , которые лежат в одной плоскости.

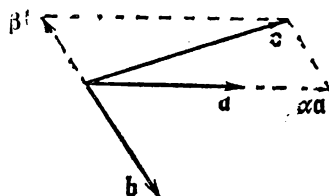


Рис. 2.6.

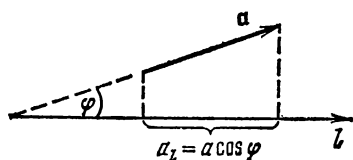


Рис. 2.7.

Из рис. 2.6 видно, что любой из них (например,  $\mathbf{c}$ ) можно выразить через два других с помощью соотношения

$$\mathbf{c} = \alpha\mathbf{a} + \beta\mathbf{b}, \quad (2.5)$$

где  $\alpha$  и  $\beta$  — некоторые числа (для изображенного на рисунке случая  $\alpha > 1$ ,  $-1 < \beta < 0$ ). Отсюда заключаем, что любой вектор  $\mathbf{c}$ , лежащий в одной плоскости с неколлинеарными векторами  $\mathbf{a}$  и  $\mathbf{b}$ , может быть выражен через эти векторы с помощью линейного соотношения (2.5). При фиксированных векторах  $\mathbf{a}$  и  $\mathbf{b}$  всякий третий вектор однозначно определяется двумя величинами  $\alpha$  и  $\beta$ .

Пусть даны три вектора  $\mathbf{a}$ ,  $\mathbf{b}$ ,  $\mathbf{c}$ , каждый из которых некомпланарен с остальными двумя <sup>1)</sup>. По аналогии с (2.5) легко сообразить,

<sup>1)</sup> Два вектора всегда компланарны. Это следует из того, что параллельным переносом можно совместить их начала. Тогда они окажутся расположенными в одной плоскости.

что любой вектор  $\mathbf{d}$  можно представить как линейную комбинацию заданных векторов:

$$\mathbf{d} = \alpha \mathbf{a} + \beta \mathbf{b} + \gamma \mathbf{c}. \quad (2.6)$$

При фиксированных векторах  $\mathbf{a}$ ,  $\mathbf{b}$  и  $\mathbf{c}$  любой вектор  $\mathbf{d}$  однозначно определяется тремя величинами  $\alpha$ ,  $\beta$  и  $\gamma$ , каждая из которых может быть как положительной, так и отрицательной.

**Проекция вектора.** Рассмотрим некоторое направление в пространстве, которое мы зададим осью  $l$  (рис. 2.7). Пусть вектор  $\mathbf{a}$  образует с осью  $l$  угол  $\varphi$ <sup>1)</sup>. Величина

$$a_l = a \cos \varphi \quad (2.7)$$

( $a$  — модуль вектора) называется проекцией вектора  $\mathbf{a}$  на ось  $l$ . Проекция обозначается той же буквой, что и вектор, с добавлением индекса, указывающего направление, на которое спроектирован вектор.

Проекция вектора есть величина алгебраическая. Если вектор образует с данным направлением острый угол, то  $\cos \varphi > 0$ , так что проекция положительна. Если угол  $\varphi$  тупой, то  $\cos \varphi < 0$  и, следовательно, проекция отрицательна. Когда вектор перпендикулярен к данной оси, проекция равна нулю.

Проекция вектора имеет простой геометрический смысл. Она равна расстоянию между проекциями на ось начала и конца отрезка, изображающего данный вектор. В случае  $\varphi < \pi/2$  это расстояние берется со знаком плюс, в случае  $\varphi > \pi/2$  — со знаком минус.

Пусть  $\mathbf{a} = \mathbf{a}_1 + \mathbf{a}_2 + \mathbf{a}_3 + \mathbf{a}_4$  (рис. 2.8). Из рисунка легко заключить, что проекция результирующего вектора  $\mathbf{a}$  на некоторое направление равна сумме проекций складываемых векторов:

$$a_l = a_{1l} + a_{2l} + a_{3l} + a_{4l}. \quad (2.8)$$

Напомним, что при суммировании проекций изображенных на рис. 2.8 векторов расстояния 0—1, 1—2 и 2—3 нужно взять со знаком плюс, а расстояние 3—4 — со знаком минус. Формула (2.8) справедлива при любом числе слагаемых.

**Выражение вектора через его проекции на координатные оси.** Возьмем декартовы оси координат и рассмотрим вектор  $\mathbf{a}$ , лежащий в плоскости, перпендикулярной к оси  $z$  (рис. 2.9). Введем орты координатных осей, т. е. единичные векторы  $\mathbf{e}_x$ ,  $\mathbf{e}_y$  и  $\mathbf{e}_z$  ( $\mathbf{e}_z$  на рисунке не показан, он перпендикулярен к плоскости рисунка и направлен на нас). Заметим, что эта тройка ортов полностью опре-

---

<sup>1)</sup> Если прямая, вдоль которой направлен вектор  $\mathbf{a}$ , и ось  $l$  не пересекаются, для определения угла  $\varphi$  нужно взять пересекающуюся с осью  $l$  прямую, параллельную вектору  $\mathbf{a}$ . Угол между этой прямой и осью  $l$  и будет интересующим нас углом  $\varphi$ .

деляет систему координат и поэтому называется базисом координатной системы.

Из рис. 2.9 видно, что вектор  $\mathbf{a}$  можно представить в виде линейной комбинации ортов  $\mathbf{e}_x$  и  $\mathbf{e}_y$  (см. (2.5)):

$$\mathbf{a} = a_x \mathbf{e}_x + a_y \mathbf{e}_y.$$

Роль коэффициентов  $\alpha$  и  $\beta$  играют проекции вектора на оси координат. В рассматриваемом примере проекция  $a_x$  отрицательна, поэтому вектор  $a_x \mathbf{e}_x$  имеет направление, противоположное направлению орта  $\mathbf{e}_x$ .

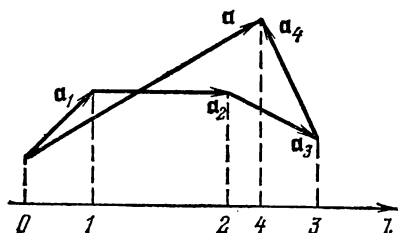


Рис. 2.8.

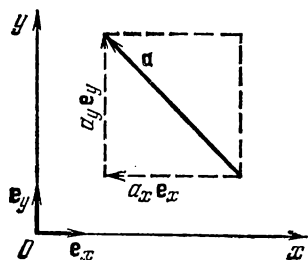


Рис. 2.9.

Мы взяли вектор  $\mathbf{a}$ , перпендикулярный к оси  $z$ , вследствие чего  $a_z = 0$ . В общем случае, когда все три проекции вектора отличны от нуля,

$$\mathbf{a} = a_x \mathbf{e}_x + a_y \mathbf{e}_y + a_z \mathbf{e}_z. \quad (2.9)$$

Таким образом, любой вектор можно выразить через его проекции на координатные оси и орты этих осей. В связи с этим проекции на координатные оси называются компонентами вектора.

Величины  $a_x$ ,  $a_y$ ,  $a_z$  равны (с точностью до знака) сторонам прямоугольного параллелепипеда, большей диагональю которого служит вектор  $\mathbf{a}$  (рис. 2.10). Поэтому имеет место соотношение

$$a^2 = a_x^2 + a_y^2 + a_z^2. \quad (2.10)$$

Пусть  $\mathbf{c} = \mathbf{a} + \mathbf{b}$ . Представив каждый из векторов в соответствии с формулой (2.9), получим:

$$c_x \mathbf{e}_x + c_y \mathbf{e}_y + c_z \mathbf{e}_z = (a_x + b_x) \mathbf{e}_x + (a_y + b_y) \mathbf{e}_y + (a_z + b_z) \mathbf{e}_z$$

(мы вынесли за скобки общие множители  $\mathbf{e}_x$ ,  $\mathbf{e}_y$  и  $\mathbf{e}_z$ ). Равные векторы имеют одинаковые проекции на координатные оси. На этом основании можно написать, что

$$c_x = a_x + b_x, \quad c_y = a_y + b_y, \quad c_z = a_z + b_z \quad (2.11)$$

(ср. с (2.8)). Формулы (2.11) являются аналитическим выражением правила сложения векторов. Они справедливы при любом числе слагаемых.

**Радиус-вектор.** Радиусом-вектором  $\mathbf{r}$  некоторой точки называется вектор, проведенный из начала координат в данную точку (рис. 2.11). Его проекции на координатные оси равны декартовым координатам данной точки:

$$r_x = x, \quad r_y = y, \quad r_z = z. \quad (2.12)$$

Следовательно, в соответствии с (2.9) радиус-вектор можно представить в виде

$$\mathbf{r} = x\mathbf{e}_x + y\mathbf{e}_y + z\mathbf{e}_z. \quad (2.13)$$

Согласно (2.10)

$$r^2 = x^2 + y^2 + z^2. \quad (2.14)$$

**Скалярное произведение векторов.** Два вектора  $\mathbf{a}$  и  $\mathbf{b}$  можно умножить друг на друга двумя способами; один способ приводит к скалярной величине, другой дает в результате некоторый новый

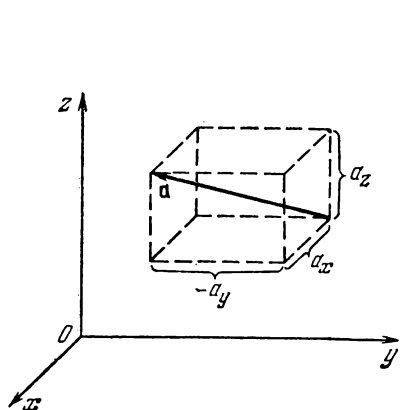


Рис. 2.10.

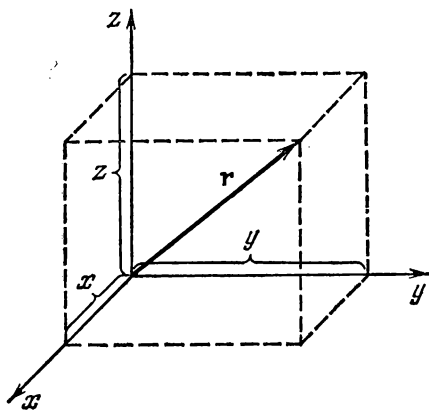


Рис. 2.11.

вектор. В соответствии с этим существует два произведения векторов — скалярное и векторное. Отметим, что операции деления вектора на вектор не существует.

Скалярным произведением векторов  $\mathbf{a}$  и  $\mathbf{b}$  называется скаляр, равный произведению модулей этих векторов на косинус угла  $\alpha$  между ними:

$$\mathbf{a}\mathbf{b} = ab \cos \alpha \quad (2.15)$$

(рис. 2.12). При записи скалярного произведения символы перемножаемых векторов пишутся рядом без какого-либо знака между ними. Выражение (2.15) есть алгебраическая величина: при  $\alpha$  острым  $\mathbf{a}\mathbf{b} > 0$ , при  $\alpha$  тупом  $\mathbf{a}\mathbf{b} < 0$ . Скалярное произведение взаимно перпендикулярных векторов ( $\alpha = \pi/2$ ) равно нулю.

Заметим, что под квадратом вектора всегда подразумевают скалярное произведение вектора на самого себя:

$$a^2 = \mathbf{a}\mathbf{a} = aa \cos \alpha = a^2. \quad (2.16)$$

Таким образом, квадрат вектора равен квадрату его модуля. В частности, квадрат любого орта равен единице:

$$\mathbf{e}_x^2 = \mathbf{e}_y^2 = \mathbf{e}_z^2 = 1. \quad (2.17)$$

Попутно отметим, что вследствие взаимной перпендикулярности ортов скалярные произведения вида  $\mathbf{e}_i \mathbf{e}_k$  равны нулю, если  $i \neq k$ .

Очень удобен символ Кронекера  $\delta_{ik}$ , который определяется следующим образом:

$$\delta_{ik} = \begin{cases} 1, & \text{если } i = k, \\ 0, & \text{если } i \neq k. \end{cases} \quad (2.18)$$

С использованием этого символа установленные выше свойства скалярных произведений ортов координатных осей можно выразить одной формулой:

$$\mathbf{e}_i \mathbf{e}_k = \delta_{ik} \quad (i, k = x, y, z) \quad (2.19)$$

(индексы  $i$  и  $k$  могут принимать независимо друг от друга значения  $x, y$  и  $z$ ).

Из определения (2.15) следует, что скалярное произведение коммутативно, т. е. не зависит от порядка сомножителей:

$$\mathbf{a}\mathbf{b} = \mathbf{b}\mathbf{a}. \quad (2.20)$$

Выражение (2.15) можно записать несколькими способами:

$$\mathbf{a}\mathbf{b} = ab \cos \alpha = (a \cos \alpha) b = a(b \cos \alpha).$$

Из рис. 2.12 видно, что  $a \cos \alpha$  равно  $a_b$  — проекции вектора  $\mathbf{a}$  на направление вектора  $\mathbf{b}$ . Аналогично  $b \cos \alpha = b_a$  — проекции вектора  $\mathbf{b}$  на направление вектора  $\mathbf{a}$ . Поэтому можно сказать, что скалярным произведением двух векторов называется скаляр, равный произведению модуля одного из перемножаемых векторов на проекцию второго вектора на направление первого:

$$\mathbf{a}\mathbf{b} = a_b b = a b_a. \quad (2.21)$$

Приняв во внимание, что проекция суммы векторов равна сумме проекций складываемых векторов, можно написать:

$$\begin{aligned} \mathbf{a}(\mathbf{b} + \mathbf{c} + \dots) &= \mathbf{a}(\mathbf{b} + \mathbf{c} + \dots)_{\text{пр. } \mathbf{a}} = a(b_a + c_a + \dots) = \\ &= ab_a + ac_a + \dots = \mathbf{a}\mathbf{b} + \mathbf{a}\mathbf{c} + \dots \end{aligned} \quad (2.22)$$

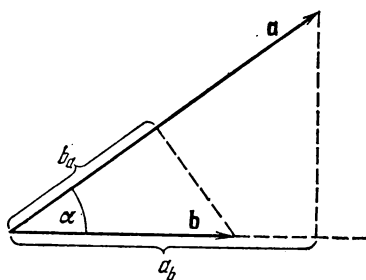


Рис. 2.12.

Отсюда следует, что скалярное произведение векторов дистрибутивно — произведение вектора **a** на сумму нескольких векторов равно сумме произведений вектора **a** на каждый из складываемых векторов, взятый в отдельности.

Представив перемножаемые векторы в виде (2.9) и воспользовавшись дистрибутивностью скалярного произведения, получим:

$$\begin{aligned} \mathbf{ab} &= (a_x \mathbf{e}_x + a_y \mathbf{e}_y + a_z \mathbf{e}_z) (b_x \mathbf{e}_x + b_y \mathbf{e}_y + b_z \mathbf{e}_z) = \\ &= a_x b_x \mathbf{e}_x \mathbf{e}_x + a_x b_y \mathbf{e}_x \mathbf{e}_y + a_x b_z \mathbf{e}_x \mathbf{e}_z + a_y b_x \mathbf{e}_y \mathbf{e}_x + \\ &\quad + a_y b_y \mathbf{e}_y \mathbf{e}_y + a_y b_z \mathbf{e}_y \mathbf{e}_z + a_z b_x \mathbf{e}_z \mathbf{e}_x + a_z b_y \mathbf{e}_z \mathbf{e}_y + a_z b_z \mathbf{e}_z \mathbf{e}_z. \end{aligned}$$

Теперь учтем (2.19). В итоге получим выражение скалярного произведения через проекции перемножаемых векторов:

$$\mathbf{ab} = a_x b_x + a_y b_y + a_z b_z. \quad (2.23)$$

Заметим, что при поворотах координатных осей проекции векторов на эти оси меняются. Однако величина  $ab \cos \alpha$  от выбора осей не зависит. Отсюда заключаем, что изменения проекций векторов **a** и **b** при поворотах осей носят такой характер, что их комбинация вида (2.23) остается инвариантной (неизменной):

$$a_x b_x + a_y b_y + a_z b_z = \text{inv.} \quad (2.24)$$

Легко сообразить, что проекцию вектора **a** на направление *l* (см. (2.7)) можно представить в виде

$$a_l = a \mathbf{e}_l, \quad (2.25)$$

где  $\mathbf{e}_l$  — орт направления *l*. Аналогично

$$a_x = a \mathbf{e}_x, \quad a_y = a \mathbf{e}_y, \quad a_z = a \mathbf{e}_z. \quad (2.26)$$

✓ **Векторное произведение.** Векторным произведением векторов **a** и **b** называется вектор **c**, определяемый формулой

$$\mathbf{c} = ab \sin \alpha \cdot \mathbf{n}, \quad (2.27)$$

где *a* и *b* — модули перемножаемых векторов,  $\alpha$  — угол между векторами, **n** — единичный вектор нормали<sup>1)</sup> к плоскости, в которой лежат векторы **a** и **b** (рис. 2.13). Направление **n** выбирается так, чтобы последовательность векторов **a**, **b**, **n** образовывала правовинтовую систему. Это означает, что, если смотреть вслед вектору **n**, то совершаемый по кратчайшему пути поворот от первого сомножителя ко второму осуществляется по часовой стрелке. На рис. 2.13 вектор **n** направлен за чертеж и поэтому изображен

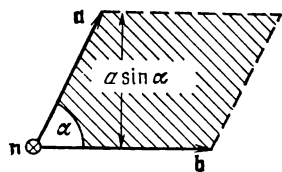


Рис. 2.13.

<sup>1)</sup> Обозначение **n** проще и нагляднее, чем  $\mathbf{e}_n$ .

кружком с крестиком <sup>1)</sup>. Направление вектора  $\mathbf{c}$  совпадает с направлением  $\mathbf{n}$ .

Символически векторное произведение можно записать двумя способами:

$$[\mathbf{ab}] \text{ или } \mathbf{a} \times \mathbf{b}.$$

Мы будем пользоваться первым из них, причем иногда во избежание путаницы будем ставить запятую между сомножителями. Итак, согласно (2.27)

$$[\mathbf{ab}] = ab \sin \alpha \cdot \mathbf{n}. \quad (2.28)$$

Из рис. 2.13 видно, что модуль векторного произведения имеет простой геометрический смысл — выражение  $ab \sin \alpha$  численно равно площади параллелограмма, построенного на перемножаемых векторах.

Направление вектора  $[\mathbf{ab}]$  мы определили, связав его с направлением вращения от первого сомножителя ко второму. При рассмотрении таких векторов, как радиус-вектор  $\mathbf{r}$ , скорость  $\mathbf{v}$ , сила  $\mathbf{F}$  и т. п., вопрос о выборе их направления не возникает — оно вытекает естественным образом из природы самих величин. Подобные векторы называются истинными (или полярными). Векторы типа  $[\mathbf{a}, \mathbf{b}]$ , направление которых связывается с направлением вращения, называются псевдовекторами (или аксиальными векторами). При изменении условия, например при переходе от правой системы координат к левой, направления псевдовекторов изменятся на обратные, истинные же векторы при этом остаются без изменений.

Следует иметь в виду, что векторное произведение будет псевдовектором только в том случае, когда оба перемножаемых вектора являются истинными (или оба — псевдовекторами). Векторное же произведение истинного вектора на псевдовектор будет истинным вектором. Изменение условия, определяющего направление псевдовекторов, на обратное приведет в этом случае к изменению знака перед векторным произведением и одновременно к изменению знака перед одним из сомножителей. В итоге величина, выражаемая векторным произведением, останется без изменений.

Поскольку направление векторного произведения определяется направлением вращения от первого сомножителя ко второму, результат векторного перемножения зависит от порядка сомножителей. Перестановка сомножителей вызывает изменение направле-

---

<sup>1)</sup> Векторы, перпендикулярные к плоскости рисунка, мы будем изображать кружком с крестиком, если вектор направлен от нас, и кружком с точкой в его центре, если вектор направлен на нас. Для наглядности можно представлять себе вектор в виде стрелы с конусообразным наконечником и крестообразным оперением на хвосте. Тогда, если вектор направлен на нас (стрела летит к нам), мы увидим кружок с точкой, если же вектор направлен от нас (стрела летит от нас), мы увидим кружок с крестиком.

ния результирующего вектора на противоположное. Таким образом, векторное произведение не обладает свойством коммутативности:

$$[\mathbf{b}\mathbf{a}] = -[\mathbf{a}\mathbf{b}]. \quad (2.29)$$

Можно доказать, что векторное произведение дистрибутивно, т. е. что

$$[\mathbf{a}, (\mathbf{b}_1 + \mathbf{b}_2 + \dots)] = [\mathbf{a}\mathbf{b}_1] + [\mathbf{a}\mathbf{b}_2] + \dots \quad (2.30)$$

Рассмотрим векторные произведения ортов координатных осей (рис. 2.14). В соответствии с определением (2.28)

$$\begin{aligned} [\mathbf{e}_x \mathbf{e}_x] &= [\mathbf{e}_y \mathbf{e}_y] = [\mathbf{e}_z \mathbf{e}_z] = 0, \\ [\mathbf{e}_x \mathbf{e}_y] &= -[\mathbf{e}_y \mathbf{e}_x] = \mathbf{e}_z, \\ [\mathbf{e}_y \mathbf{e}_z] &= -[\mathbf{e}_z \mathbf{e}_y] = \mathbf{e}_x, \\ [\mathbf{e}_z \mathbf{e}_x] &= -[\mathbf{e}_x \mathbf{e}_z] = \mathbf{e}_y. \end{aligned} \quad (2.31)$$

Представив перемножаемые векторы в виде (2.9) и воспользовавшись дистрибутивностью векторного произведения, получим:

$$\begin{aligned} [\mathbf{a}\mathbf{b}] &= [(a_x \mathbf{e}_x + a_y \mathbf{e}_y + a_z \mathbf{e}_z), (b_x \mathbf{e}_x + b_y \mathbf{e}_y + b_z \mathbf{e}_z)] = \\ &= a_x b_x [\mathbf{e}_x \mathbf{e}_x] + a_x b_y [\mathbf{e}_x \mathbf{e}_y] + a_x b_z [\mathbf{e}_x \mathbf{e}_z] + a_y b_x [\mathbf{e}_y \mathbf{e}_x] + a_y b_y [\mathbf{e}_y \mathbf{e}_y] + \\ &\quad + a_y b_z [\mathbf{e}_y \mathbf{e}_z] + a_z b_x [\mathbf{e}_z \mathbf{e}_x] + a_z b_y [\mathbf{e}_z \mathbf{e}_y] + a_z b_z [\mathbf{e}_z \mathbf{e}_z]. \end{aligned}$$

Учтя соотношения (2.31), придем к следующему выражению:

$$[\mathbf{a}\mathbf{b}] = \mathbf{e}_x (a_y b_z - a_z b_y) + \mathbf{e}_y (a_z b_x - a_x b_z) + \mathbf{e}_z (a_x b_y - a_y b_x). \quad (2.32)$$

Полученное выражение можно представить в виде определителя:

$$[\mathbf{a}\mathbf{b}] = \begin{vmatrix} \mathbf{e}_x & \mathbf{e}_y & \mathbf{e}_z \\ a_x & a_y & a_z \\ b_x & b_y & b_z \end{vmatrix}. \quad (2.33)$$

**Смешанное произведение.** Смешанным (или скалярно-векторным) произведением трех векторов называется выражение  $\mathbf{a} [\mathbf{b}\mathbf{c}]$ ,

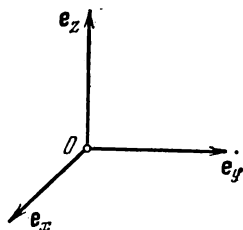


Рис. 2.14.

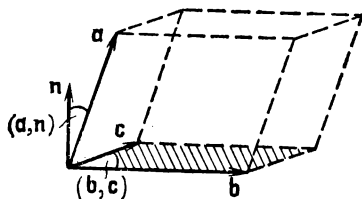


Рис. 2.15.

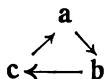
т. е. скалярное произведение вектора  $\mathbf{a}$  на векторное произведение векторов  $\mathbf{b}$  и  $\mathbf{c}$ . Согласно определениям (2.15) и (2.28)

$$\mathbf{a} [\mathbf{b}\mathbf{c}] = a \{bc \sin \langle \mathbf{b}, \mathbf{c} \rangle\} \cos \langle \mathbf{a}, \mathbf{n} \rangle.$$

Здесь  $(\mathbf{b}, \mathbf{c})$  — угол между  $\mathbf{b}$  и  $\mathbf{c}$ ,  $(\mathbf{a}, \mathbf{n})$  — угол между вектором  $\mathbf{a}$  и ортом  $\mathbf{n}$ , определяющим направление вектора  $[\mathbf{bc}]$ . Из рис. 2.15 видно, что выражение  $bc \sin(\mathbf{b}, \mathbf{c})$  численно равно площади основания параллелепипеда, построенного на перемножаемых векторах, а выражение  $a \cos(\mathbf{a}, \mathbf{n})$  численно равно высоте этого параллелепипеда, взятой со знаком плюс, если угол  $(\mathbf{a}, \mathbf{n})$  острый, и со знаком минус, если этот угол тупой. Следовательно, выражение  $\mathbf{a}[\mathbf{bc}]$  имеет простой геометрический смысл — оно численно равно объему параллелепипеда, построенного на перемножаемых векторах (взятому со знаком плюс или минус в зависимости от величины угла  $(\mathbf{a}, \mathbf{n})$ ). При вычислении объема параллелепипеда результат не может зависеть от того, какая из его граней взята в качестве основания. Отсюда следует, что

$$\mathbf{a}[\mathbf{bc}] = \mathbf{b}[\mathbf{ca}] = \mathbf{c}[\mathbf{ab}]. \quad (2.34)$$

Таким образом, смешанное произведение допускает циклическую перестановку сомножителей, т. е. замену каждого из сомножителей следующим за ним в цикле:



**Двойное векторное произведение.** Рассмотрим двойное векторное произведение трех векторов  $\mathbf{a}$ ,  $\mathbf{b}$  и  $\mathbf{c}$

$$\mathbf{d} = [\mathbf{a}, [\mathbf{bc}]].$$

Всякое векторное произведение перпендикулярно к обоим сомножителям. Поэтому вектор  $\mathbf{d}$  перпендикулярен к орту  $\mathbf{n}$ , определяющему направление вектора  $[\mathbf{bc}]$ . Отсюда вытекает, что вектор  $\mathbf{d}$  лежит в плоскости, образованной векторами  $\mathbf{b}$  и  $\mathbf{c}$ , и следовательно, может быть представлен как линейная комбинация этих векторов:

$$\mathbf{d} = \alpha \mathbf{b} + \beta \mathbf{c}$$

(см. (2.5)). Соответствующий расчет дает, что  $\alpha = \mathbf{a}\mathbf{c}$ ,  $\beta = -\mathbf{a}\mathbf{b}$ . Таким образом,

$$[\mathbf{a}, [\mathbf{bc}]] = \mathbf{b}(\mathbf{a}\mathbf{c}) - \mathbf{c}(\mathbf{a}\mathbf{b}). \quad (2.35)$$

Запоминание этой формулы облегчается тем, что ее можно прочесть как «бац минус цаб».

**Производная вектора.** Рассмотрим вектор, который изменяется со временем по известному закону  $\mathbf{a}(t)$ . Проекции этого вектора на координатные оси представляют собой заданные функции времени. Следовательно,

$$\mathbf{a}(t) = \mathbf{e}_x a_x(t) + \mathbf{e}_y a_y(t) + \mathbf{e}_z a_z(t) \quad (2.36)$$

(мы предполагаем, что координатные оси не поворачиваются в пространстве, так что орты осей со временем не изменяются).

Пусть за промежуток времени  $\Delta t$  проекции вектора получают приращения  $\Delta a_x$ ,  $\Delta a_y$ ,  $\Delta a_z$ . Тогда вектор получит приращение  $\Delta \mathbf{a} = \mathbf{e}_x \Delta a_x + \mathbf{e}_y \Delta a_y + \mathbf{e}_z \Delta a_z$ . Скорость изменения вектора  $\mathbf{a}$  со временем можно охарактеризовать отношением  $\Delta \mathbf{a}$  к  $\Delta t$ :

$$\frac{\Delta \mathbf{a}}{\Delta t} = \mathbf{e}_x \frac{\Delta a_x}{\Delta t} + \mathbf{e}_y \frac{\Delta a_y}{\Delta t} + \mathbf{e}_z \frac{\Delta a_z}{\Delta t}. \quad (2.37)$$

Это отношение дает среднюю скорость изменения  $\mathbf{a}$  в течение промежутка времени  $\Delta t$ . Допустим, что  $\mathbf{a}$  изменяется со временем непрерывно, без скачков. Тогда чем меньше промежуток  $\Delta t$ , тем точнее величина (2.37) характеризует скорость изменения  $\mathbf{a}$  в момент времени  $t$ , предшествующий интервалу  $\Delta t$ . Следовательно, скорость изменения вектора  $\mathbf{a}$  в момент времени  $t$  равна пределу отношения (2.37), получающемуся при неограниченном уменьшении  $\Delta t$ :

$$\begin{aligned} \text{скорость изменения } \mathbf{a} &= \lim_{\Delta t \rightarrow 0} \frac{\Delta \mathbf{a}}{\Delta t} = \\ &= \mathbf{e}_x \lim_{\Delta t \rightarrow 0} \frac{\Delta a_x}{\Delta t} + \mathbf{e}_y \lim_{\Delta t \rightarrow 0} \frac{\Delta a_y}{\Delta t} + \mathbf{e}_z \lim_{\Delta t \rightarrow 0} \frac{\Delta a_z}{\Delta t}. \end{aligned} \quad (2.38)$$

Если есть некоторая функция  $f(t)$  аргумента  $t$ , то предел отношения приращения функции  $\Delta f$  к приращению аргумента  $\Delta t$ , получающийся при стремлении  $\Delta t$  к нулю, называется производной функции  $f$  по  $t$  и обозначается символом  $df/dt$ . Поэтому выражение (2.38) можно записать следующим образом:

$$\frac{d\mathbf{a}}{dt} = \mathbf{e}_x \frac{da_x}{dt} + \mathbf{e}_y \frac{da_y}{dt} + \mathbf{e}_z \frac{da_z}{dt}. \quad (2.39)$$

Полученный результат означает, что проекции вектора  $d\mathbf{a}/dt$  на координатные оси равны производным по времени проекций вектора  $\mathbf{a}$ :

$$\left(\frac{d\mathbf{a}}{dt}\right)_{\text{пр. } x} = \frac{da_x}{dt}, \quad \left(\frac{d\mathbf{a}}{dt}\right)_{\text{пр. } y} = \frac{da_y}{dt}, \quad \left(\frac{d\mathbf{a}}{dt}\right)_{\text{пр. } z} = \frac{da_z}{dt}. \quad (2.40)$$

В физике принято производные по времени обозначать символом соответствующей величины с точкой над ним, например,

$$\frac{d\varphi}{dt} = \dot{\varphi}, \quad \frac{d^2\varphi}{dt^2} = \ddot{\varphi}, \quad \frac{d\mathbf{a}}{dt} = \dot{\mathbf{a}}, \quad \frac{d^2\mathbf{a}}{dt^2} = \ddot{\mathbf{a}}. \quad (2.41)$$

Воспользовавшись таким обозначением, формуле (2.39) можно придать вид

$$\dot{\mathbf{a}} = \mathbf{e}_x \dot{a}_x + \mathbf{e}_y \dot{a}_y + \mathbf{e}_z \dot{a}_z. \quad (2.42)$$

Если в качестве  $\mathbf{a}(t)$  взять радиус-вектор  $\mathbf{r}(t)$  движущейся точки, то согласно (2.42)

$$\dot{\mathbf{r}} = \mathbf{e}_x \dot{x} + \mathbf{e}_y \dot{y} + \mathbf{e}_z \dot{z}, \quad (2.43)$$

где  $x$ ,  $y$ ,  $z$  суть функции от  $t$ :  $x=x(t)$ ,  $y=y(t)$ ,  $z=z(t)$ .

Дифференциалом («приращением») функции  $f(t)$  называется выражение

$$df = f' dt, \quad (2.44)$$

где  $f'$  — производная  $f$  по  $t$ . Согласно (2.39) дифференциал («приращение») вектора  $\mathbf{a}$  определяется формулой

$$d\mathbf{a} = \mathbf{e}_x da_x + \mathbf{e}_y da_y + \mathbf{e}_z da_z. \quad (2.45)$$

В частности,

$$d\mathbf{r} = \mathbf{e}_x dx + \mathbf{e}_y dy + \mathbf{e}_z dz. \quad (2.46)$$

Заметим, что приращение функции за очень малый, но конечный промежуток времени  $\Delta t$  приближенно равно

$$\Delta f \approx f' \Delta t = \frac{df}{dt} \Delta t. \quad (2.47)$$

В пределе при  $\Delta t \rightarrow 0$  приближенное равенство (2.47) переходит в точное равенство (2.44).

Формулу, аналогичную (2.47), можно написать и для векторной функции:

$$\Delta \mathbf{a} \approx \frac{d\mathbf{a}}{dt} \Delta t. \quad (2.48)$$

**Производная произведения функций.** Рассмотрим функцию  $\mathbf{b}(t)$ , которая равна произведению скалярной функции  $\varphi(t)$  на векторную функцию  $\mathbf{a}(t)$ :  $\mathbf{b}(t) = \varphi(t) \cdot \mathbf{a}(t)$ , или сокращенно:  $\mathbf{b} = \varphi \mathbf{a}$ . Найдем приращение функции  $\mathbf{b}$ :

$$\Delta \mathbf{b} = \Delta(\varphi \mathbf{a}) = (\varphi + \Delta \varphi)(\mathbf{a} + \Delta \mathbf{a}) - \varphi \mathbf{a} = \varphi \Delta \mathbf{a} + \mathbf{a} \Delta \varphi + \Delta \varphi \Delta \mathbf{a}.$$

Представив приращения функций в виде (2.47) и (2.48), получим:

$$\Delta \mathbf{b} \approx \varphi \frac{d\mathbf{a}}{dt} \Delta t + \mathbf{a} \frac{d\varphi}{dt} \Delta t + \frac{d\varphi}{dt} \frac{d\mathbf{a}}{dt} (\Delta t)^2,$$

откуда

$$\frac{\Delta \mathbf{b}}{\Delta t} \approx \varphi \frac{d\mathbf{a}}{dt} + \mathbf{a} \frac{d\varphi}{dt} + \frac{d\varphi}{dt} \frac{d\mathbf{a}}{dt} \Delta t.$$

В пределе при  $\Delta t \rightarrow 0$  это приближенное равенство превращается в точное. Таким образом,

$$\frac{d\mathbf{b}}{dt} = \lim_{\Delta t \rightarrow 0} \frac{\Delta \mathbf{b}}{\Delta t} = \lim_{\Delta t \rightarrow 0} \left( \varphi \frac{d\mathbf{a}}{dt} + \mathbf{a} \frac{d\varphi}{dt} + \frac{d\varphi}{dt} \frac{d\mathbf{a}}{dt} \Delta t \right).$$

Первые два слагаемых не зависят от  $\Delta t$  и поэтому при переходе к пределу не изменяются. Предел третьего слагаемого равен нулю. Следовательно, заменив  $\mathbf{b}$  на  $\varphi \mathbf{a}$ , получим:

$$\frac{d}{dt}(\varphi \mathbf{a}) = \varphi \frac{d\mathbf{a}}{dt} + \mathbf{a} \frac{d\varphi}{dt} = \dot{\varphi} \mathbf{a} + \varphi \dot{\mathbf{a}}. \quad (2.49)$$

Теперь рассмотрим скалярное произведение двух векторных функций  $\mathbf{a}(t)$  и  $\mathbf{b}(t)$ . Приращение этого произведения равно:

$$\Delta(\mathbf{a}\mathbf{b}) = (\mathbf{a} + \Delta\mathbf{a})(\mathbf{b} + \Delta\mathbf{b}) - \mathbf{a}\mathbf{b} = \mathbf{a}\Delta\mathbf{b} + \mathbf{b}\Delta\mathbf{a} + \Delta\mathbf{a}\Delta\mathbf{b} \approx \mathbf{a}\dot{\mathbf{b}}\Delta t + \mathbf{b}\dot{\mathbf{a}}\Delta t + \dot{\mathbf{a}}\dot{\mathbf{b}}(\Delta t)^2.$$

Отсюда

$$\frac{d}{dt}(\mathbf{a}\mathbf{b}) = \lim_{\Delta t \rightarrow 0} \frac{\Delta(\mathbf{a}\mathbf{b})}{\Delta t} = \lim_{\Delta t \rightarrow 0} (\mathbf{a}\dot{\mathbf{b}} + \mathbf{b}\dot{\mathbf{a}} + \dot{\mathbf{a}}\dot{\mathbf{b}}\Delta t),$$

или окончательно

$$\frac{d}{dt}(\mathbf{a}\mathbf{b}) = \mathbf{a}\dot{\mathbf{b}} + \mathbf{b}\dot{\mathbf{a}}. \quad (2.50)$$

Умножив (2.50) на  $dt$ , получим дифференциал:

$$d(\mathbf{a}\mathbf{b}) = \mathbf{a}d\mathbf{b} + \mathbf{b}d\mathbf{a}. \quad (2.51)$$

Вычислим производную и дифференциал квадрата векторной функции. Согласно (2.50) и (2.51)

$$\frac{d}{dt} \mathbf{a}^2 = 2\mathbf{a}\dot{\mathbf{a}}, \quad (2.52)$$

$$d(\mathbf{a}^2) = 2\mathbf{a}d\mathbf{a}. \quad (2.53)$$

Учтя, что  $\mathbf{a}^2 = a^2$  (см. (2.16)), можно написать:

$$2\mathbf{a}d\mathbf{a} = d(a^2) \quad \text{или} \quad \mathbf{a}d\mathbf{a} = d(a^2/2). \quad (2.54)$$

Наконец, рассмотрим производную векторного произведения функций  $\mathbf{a}(t)$  и  $\mathbf{b}(t)$ . Приращение рассматриваемой функции равно

$$\begin{aligned} \Delta[\mathbf{a}\mathbf{b}] &= [(\mathbf{a} + \Delta\mathbf{a}), (\mathbf{b} + \Delta\mathbf{b})] - [\mathbf{a}\mathbf{b}] = \\ &= [\mathbf{a}, \Delta\mathbf{b}] + [\Delta\mathbf{a}, \mathbf{b}] + [\Delta\mathbf{a}, \Delta\mathbf{b}] \approx [\mathbf{a}, \dot{\mathbf{b}}\Delta t] + [\dot{\mathbf{a}}\Delta t, \mathbf{b}] + [\dot{\mathbf{a}}\Delta t, \dot{\mathbf{b}}\Delta t]. \end{aligned}$$

Соответственно

$$\frac{d}{dt}[\mathbf{a}\mathbf{b}] = \lim_{\Delta t \rightarrow 0} \{[\mathbf{a}\dot{\mathbf{b}}] + [\dot{\mathbf{a}}\mathbf{b}] + [\dot{\mathbf{a}}\dot{\mathbf{b}}]\Delta t\}.$$

Осуществив предельный переход, придем к формуле

$$\frac{d}{dt}[\mathbf{a}\mathbf{b}] = [\mathbf{a}\dot{\mathbf{b}}] + [\dot{\mathbf{a}}\mathbf{b}]. \quad (2.55)$$

**Производная единичного вектора.** Рассмотрим орт  $\mathbf{e}_a$  вектора  $\mathbf{a}$ . Очевидно, что вектор  $\mathbf{e}_a$  может изменяться только по направлению. Пусть за очень малый промежуток времени  $\Delta t$  вектор  $\mathbf{a}$  и вместе с ним орт  $\mathbf{e}_a$  поворачивается на угол  $\Delta\varphi$  (рис. 2.16). При малом  $\Delta\varphi$  модуль вектора  $\Delta\mathbf{e}_a$  приближенно равен углу  $\Delta\varphi$ :  $|\Delta\mathbf{e}_a| \approx \Delta\varphi$  (отрезок, изображающий  $\Delta\mathbf{e}_a$ , является основанием равнобедренного треугольника со сторонами, равными единице). Заметим, что чем меньше  $\Delta\varphi$ , тем точнее соблюдается написанное нами прибли-

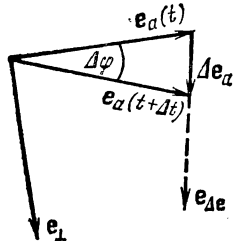


Рис. 2.16.

женное равенство. Сам вектор  $\Delta \mathbf{e}_a$  можно представить в виде

$$\Delta \mathbf{e}_a = |\Delta \mathbf{e}_a| \cdot \mathbf{e}_{\Delta e} \approx \Delta \varphi \cdot \mathbf{e}_{\Delta e},$$

где  $\mathbf{e}_{\Delta e}$  — орт вектора  $\Delta \mathbf{e}_a$ . При стремлении  $\Delta \varphi$  к нулю орт  $\mathbf{e}_{\Delta e}$  будет поворачиваться и в пределе совпадет с перпендикулярным к  $\mathbf{e}_a$  единичным вектором  $\mathbf{e}_\perp$  (см. рис. 2.16).

Производная  $\mathbf{e}_a$  по  $t$  по определению равна

$$\frac{d\mathbf{e}_a}{dt} = \lim_{\Delta t \rightarrow 0} \frac{\Delta \mathbf{e}_a}{\Delta t} = \lim_{\Delta t \rightarrow 0} \frac{\Delta \varphi}{\Delta t} \mathbf{e}_{\Delta e} = \frac{d\varphi}{dt} \mathbf{e}_\perp.$$

Таким образом,

$$\dot{\mathbf{e}}_a = \dot{\varphi} \mathbf{e}_\perp. \quad (2.56)$$

Величина  $\dot{\varphi} = d\varphi/dt$  есть угловая скорость вращения вектора  $\mathbf{a}$  (см. § 5). Орт  $\mathbf{e}_\perp$  лежит в той плоскости, в которой поворачивается в данный момент вектор  $\mathbf{a}$ , причем направлен в ту сторону, в которую происходит вращение.

### § 3. Скорость

Материальная точка при своем движении описывает некоторую линию. Эта линия называется т р а е к т о р и е й<sup>1)</sup>. В зависимости от формы траектории различают прямолинейное движение, движение по окружности, криволинейное движение и т. п.

<sup>1)</sup> Отметим, что понятие траектории применимо только к «классической» частице, которой можно приписать в каждый момент времени точные значения координаты и импульса (т. е. скорости). Согласно квантовой механике реальные частицы могут быть охарактеризованы с помощью координаты и импульса лишь с некоторой точностью. Предел этой точности определяется соотношением неопределенности Гейзенберга

$$\Delta x \cdot \Delta p \geq \hbar.$$

Здесь  $\Delta x$  — неопределенность координаты,  $\Delta p$  — неопределенность импульса частицы,  $\hbar$  — постоянная Планка, значение которой равно  $1,05 \times 10^{-34}$  Дж·с. Знак  $\geq$  означает «больше величины порядка».

Заменив импульс произведением массы на скорость, можно написать

$$\Delta x \cdot \Delta v \geq \hbar/m.$$

Из этого соотношения видно, что чем меньше масса частицы, тем менее определенными делаются ее координата и скорость и, следовательно, менее применимым оказывается понятие траектории. Для макроскопических тел (т. е. тел, образованных очень большим количеством молекул) неопределенности координаты и скорости не превосходят практически достижимой точности измерения этих величин, вследствие чего к таким телам понятие траектории применимо без всяких оговорок. Для микрочастиц (электронов, протонов, нейтронов, отдельных атомов и молекул) понятие траектории оказывается в зависимости от условий, в которых происходит движение, либо неприменимым совсем, либо применимым с ограниченной точностью. Например, движение электронов в электронно-лучевой трубке можно приближенно рассматривать как происходящее по некоторым траекториям.

Пусть материальная точка (в дальнейшем для краткости мы будем называть ее частицей) переместилась вдоль некоторой траектории из точки 1 в точку 2 (рис. 3.1). Расстояние между точками 1 и 2, отсчитанное вдоль траектории, называется п у т е м, пройденным частицей. Мы будем обозначать его буквой  $s$ .

Прямолинейный отрезок, проведенный из точки 1 в точку 2, называется п е р е м е щ е н и е м частицы. Обозначим его символом  $\mathbf{r}_{12}$ . Предположим, что частица совершает последовательно два перемещения:  $\mathbf{r}_{12}$  и  $\mathbf{r}_{23}$  (рис. 3.2). Суммой этих перемещений естественно назвать такое перемещение  $\mathbf{r}_{13}$ , которое приводит к тому же результату, что и первые два перемещения вместе. Таким образом,

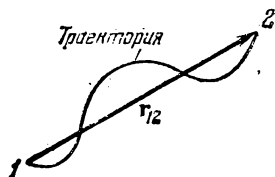


Рис. 3.1.

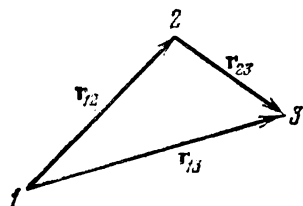


Рис. 3.2.

перемещения характеризуются численным значением и направлением и, кроме того, складываются по правилу параллелограмма. Отсюда следует, что перемещение есть вектор.

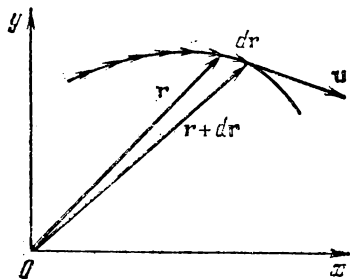


Рис. 3.3.

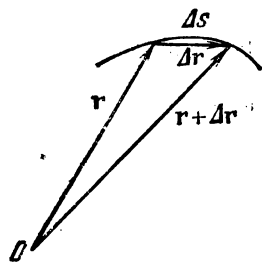


Рис. 3.4.

В обыденной жизни под скоростью понимают путь, проходимый частицей за единицу времени. Если за равные, сколь угодно малые промежутки времени частица проходит одинаковые пути, движение частицы называют р а в н о м е р н ы м. В этом случае скорость, которой обладает частица в каждый момент времени, можно вычислить, разделив путь  $s$  на время  $t$ .

В физике под скоростью понимают векторную величину, характеризующую не только быстроту перемещения частицы по траектории, но и направление, в котором движется частица в каждый мо-

мент времени. Разобьем траекторию на бесконечно малые участки длины  $ds$  (рис. 3.3). Каждому из участков сопоставим бесконечно малое перемещение  $d\mathbf{r}$ . Разделив это перемещение на соответствующий промежуток времени  $dt$ , получим мгновенную скорость в данной точке траектории:

$$\mathbf{v} = \frac{d\mathbf{r}}{dt} = \dot{\mathbf{r}}. \quad (3.1)$$

Таким образом, скорость есть производная радиуса-вектора частицы по времени. Перемещение  $d\mathbf{r}$  совпадает с бесконечно малым элементом траектории. Следовательно, вектор  $\mathbf{v}$  направлен по касательной к траектории (см. рис. 3.3).

Рассуждая более строго, для получения формулы (3.1) нужно поступить следующим образом. Зафиксировав некоторый момент времени  $t$ , рассмотрим приращение радиуса-вектора  $\Delta\mathbf{r}$  за малый промежуток времени  $\Delta t$ <sup>1)</sup>, следующий за  $t$  (рис. 3.4). Отношение  $\Delta\mathbf{r}/\Delta t$  дает среднее значение скорости за время  $\Delta t$ . Если брать все меньшие промежутки  $\Delta t$ , отношение  $\Delta\mathbf{r}/\Delta t$  в пределе даст значение скорости  $\mathbf{v}$  в момент времени  $t$ :

$$\mathbf{v} = \lim_{\Delta t \rightarrow 0} \frac{\Delta\mathbf{r}}{\Delta t} = \frac{d\mathbf{r}}{dt}. \quad (3.2)$$

Мы пришли к формуле (3.1).

Найдем модуль выражения (3.2), т. е. модуль скорости  $\mathbf{v}$ :

$$v = |\mathbf{v}| = \left| \lim_{\Delta t \rightarrow 0} \frac{\Delta\mathbf{r}}{\Delta t} \right| = \lim_{\Delta t \rightarrow 0} \frac{|\Delta\mathbf{r}|}{\Delta t}. \quad (3.3)$$

В этой формуле нельзя написать  $\Delta\mathbf{r}$  вместо  $|\Delta\mathbf{r}|$ . Вектор  $\Delta\mathbf{r}$  есть по существу разность двух векторов ( $\mathbf{r}$  в момент  $t + \Delta t$  минус  $\mathbf{r}$  в момент  $t$ ). Поэтому его модуль можно записать только с помощью вертикальных черточек (см. (2.2)). Символ  $|\Delta\mathbf{r}|$  обозначает модуль приращения вектора  $\mathbf{r}$ , в то время как  $\Delta\mathbf{r}$  представляет собой приращение модуля вектора  $\mathbf{r}$ :  $\Delta|\mathbf{r}|$ .

Обе эти величины, вообще говоря, не равны друг другу:

$$|\Delta\mathbf{r}| \neq \Delta|\mathbf{r}| = \Delta r.$$

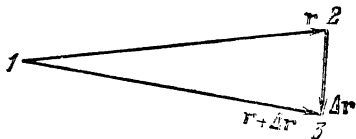


Рис. 3.5.

В этом можно убедиться на следующем примере. Пусть вектор  $\mathbf{r}$  получает такое приращение  $\Delta\mathbf{r}$ , что модуль его не изменяется:

<sup>1)</sup> Символом  $\Delta$  (дельта) пользуются в двух случаях:

а) для обозначения приращения какой-либо величины. В рассматриваемом случае  $\Delta\mathbf{r}$  есть приращение радиуса-вектора  $\mathbf{r}$  за время  $\Delta t$ ;

б) для обозначения доли какой-либо величины. Например  $\Delta t$  есть часть всего времени  $t$ , в течение которого происходит движение,  $\Delta s$  — часть всего пути  $s$ , проходимого частицей.

$|\mathbf{r} + \Delta\mathbf{r}| = |\mathbf{r}|$  (рис. 3.5). Тогда приращение модуля вектора равно нулю ( $\Delta|\mathbf{r}| = \Delta r = 0$ ). В то же время модуль приращения вектора  $\mathbf{r}$ , т. е.  $|\Delta\mathbf{r}|$ , отличен от нуля (он равен длине отрезка 2—3). Сказанное справедливо для любого вектора  $\mathbf{a}$ : в общем случае  $|\Delta\mathbf{a}| \neq \Delta a$ . Из рис. 3.4 видно, что путь  $\Delta s$ , вообще говоря, отличен по величине от модуля перемещения  $|\Delta\mathbf{r}|$ . Однако, если брать отрезки пути  $\Delta s$  и перемещения  $\Delta\mathbf{r}$ , соответствующие все меньшим промежуткам времени  $\Delta t$ , то различие между  $\Delta s$  и  $|\Delta\mathbf{r}|$  будет убывать и их отношение в пределе станет равным единице:

$$\lim_{\Delta t \rightarrow 0} \frac{\Delta s}{|\Delta\mathbf{r}|} = 1.$$

На этом основании можно заменить в формуле (3.3)  $|\Delta\mathbf{r}|$  через  $\Delta s$ , в результате чего получится выражение

$$\mathbf{v} = \lim_{\Delta t \rightarrow 0} \frac{\Delta\mathbf{s}}{\Delta t} = \frac{d\mathbf{s}}{dt}. \quad (3.4)$$

Таким образом, модуль скорости равен производной пути по времени.

Очевидно, что величина, называемая в обыденной жизни скоростью, на самом деле представляет собой модуль скорости  $\mathbf{v}$ . При равномерном движении модуль скорости остается неизменным ( $v = \text{const}$ ), в то время как направление вектора  $\mathbf{v}$  изменяется произвольным образом (в частности, может быть постоянным).

В соответствии с формулой (3.1) элементарное перемещение частицы равно

$$d\mathbf{r} = \mathbf{v} dt. \quad (3.5)$$

Иногда для наглядности мы будем обозначать элементарное перемещение символом  $ds$ , т. е. писать (3.5) в виде

$$ds = \mathbf{v} dt. \quad (3.6)$$

Вектор скорости, как и всякий другой вектор, можно представить в виде

$$\mathbf{v} = v_x \mathbf{e}_x + v_y \mathbf{e}_y + v_z \mathbf{e}_z, \quad (3.7)$$

где  $v_x$ ,  $v_y$ ,  $v_z$  — проекции вектора  $\mathbf{v}$  на координатные оси. Вместе с тем равный  $\mathbf{v}$  вектор  $\dot{\mathbf{r}}$  согласно формуле (2.43) выглядит следующим образом:

$$\dot{\mathbf{r}} = \dot{x}\mathbf{e}_x + \dot{y}\mathbf{e}_y + \dot{z}\mathbf{e}_z. \quad (3.8)$$

Из сравнения выражений (3.7) и (3.8) вытекает, что

$$v_x = \dot{x}, \quad v_y = \dot{y}, \quad v_z = \dot{z}. \quad (3.9)$$

Следовательно, проекция вектора скорости на координатную ось равна производной по времени соответствующей координаты дви-

жущейся частицы. Приняв во внимание (2.10), получим формулу:

$$v = \sqrt{\dot{x}^2 + \dot{y}^2 + \dot{z}^2}. \quad (3.10)$$

Вектор скорости можно представить в виде  $\mathbf{v} = v\mathbf{e}_v$ , где  $v$  — модуль скорости, а  $\mathbf{e}_v$  — орт вектора  $\mathbf{v}$ . Введем орт касательной к траектории  $\tau$ , условившись направлять его в ту же сторону, что и  $\mathbf{v}$ . Тогда, очевидно, орты  $\mathbf{e}_v$  и  $\tau$  совпадут, так что можно написать следующее выражение:

$$\mathbf{v} = v\mathbf{e}_v = v\tau. \quad (3.11)$$

Получим еще одно выражение для  $\mathbf{v}$ . С этой целью подставим в формулу (3.1) радиус-вектор в виде  $\mathbf{r} = r\mathbf{e}_r$ . Согласно (2.49)

$$\mathbf{v} = \dot{\mathbf{r}} = \dot{r}\mathbf{e}_r + r\dot{\mathbf{e}}_r. \quad (3.12)$$

Для простоты ограничимся случаем, когда траектория является плоской кривой, т. е. такой кривой, все точки которой лежат в одной плоскости. Примем эту плоскость за плоскость  $x, y$ . В формуле (3.12) вектор  $\mathbf{v}$  оказался представленным в виде суммы двух составляющих (рис. 3.6). Первая составляющая, которую мы обозначим  $\mathbf{v}_r$ , равна

$$\mathbf{v}_r = \dot{r}\mathbf{e}_r. \quad (3.13)$$

Она направлена вдоль радиус-вектора  $\mathbf{r}$  и характеризует быстроту изменения модуля  $r$ . Вторая составляющая, которую мы обозначим  $\mathbf{v}_\varphi$ , равна

$$\mathbf{v}_\varphi = r\dot{\mathbf{e}}_r. \quad (3.14)$$

Она характеризует быстроту изменения радиус-вектора по направлению.

Воспользовавшись формулой (2.56), можно написать, что

$$\dot{\mathbf{e}}_r = \frac{d\varphi}{dt} \mathbf{e}_\varphi = \dot{\varphi} \mathbf{e}_\varphi,$$

где  $\varphi$  — угол между радиусом-вектором и осью  $x$ ,  $\mathbf{e}_\varphi$  — перпендикулярный к радиусу-вектору орт, направленный в сторону возрастания угла  $\varphi$  (в формуле (2.56) этот орт был обозначен  $\mathbf{e}_\perp$ ). Подставив это значение в (3.14), получим

$$\mathbf{v}_\varphi = r\dot{\varphi}\mathbf{e}_\varphi. \quad (3.15)$$

Мы ввели обозначения  $\mathbf{v}_\varphi$  и  $\mathbf{e}_\varphi$ , чтобы подчеркнуть, что составляющая  $\mathbf{v}_\varphi$  и соответствующий орт связаны с изменением угла  $\varphi$ .

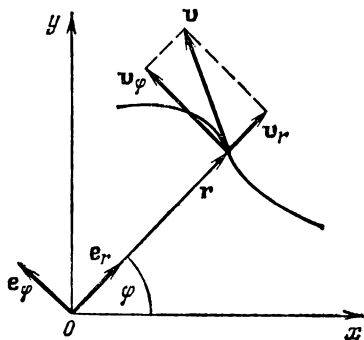


Рис. 3.6.

Очевидно, что векторы  $\mathbf{v}_r$  и  $\mathbf{v}_\phi$  взаимно перпендикулярны. Следовательно,

$$v = \sqrt{v_r^2 + v_\phi^2} = \sqrt{\dot{r}^2 + r^2 \dot{\phi}^2}. \quad (3.16)$$

Рассмотрим вопрос о том, как, зная величину скорости в каждый момент времени, вычислить путь, проходимый частицей с момента времени  $t_1$  до момента  $t_2$ . Разобьем промежуток времени  $t_2 - t_1$  на  $N$  малых, не обязательно одинаковых промежутков:  $\Delta t_1, \Delta t_2, \dots, \Delta t_N$ . Весь путь  $s$ , пройденный частицей, можно представить как сумму путей  $\Delta s_1, \Delta s_2, \dots, \Delta s_N$ , пройденных за соответствующие промежутки времени  $\Delta t$ :

$$s = \Delta s_1 + \Delta s_2 + \dots + \Delta s_N = \sum_{i=1}^N \Delta s_i.$$

В соответствии с формулой (3.4) каждое из слагаемых может быть приближенно представлено в виде

$$\Delta s_i \approx v_i \Delta t_i,$$

где  $\Delta t_i$  — промежуток времени, за который был пройден путь  $\Delta s_i$ , а  $v_i$  — одно из значений скорости за время  $\Delta t_i$ . Следовательно,

$$s \approx \sum_{i=1}^N v_i \Delta t_i. \quad (3.17)$$

Написанное равенство выполняется тем точнее, чем меньше промежутки времени  $\Delta t_i$ . В пределе при стремлении всех  $\Delta t_i$  к нулю (количество промежутков  $\Delta t_i$  будет при этом неограниченно возрастать) приближенное равенство станет точным:

$$s = \lim_{\Delta t_i \rightarrow 0} \sum_{i=1}^N v_i \Delta t_i.$$

Полученное выражение представляет собой определенный интеграл от функции  $v(t)$ , взятый в пределах от  $t_1$  до  $t_2$ . Таким образом, путь, проходимый частицей за промежуток времени от  $t_1$  до  $t_2$ , равен

$$s = \int_{t_1}^{t_2} v(t) dt. \quad (3.18)$$

Подчеркнем, что здесь идет речь о модуле скорости. Если взять интеграл от самой скорости  $\mathbf{v}(t)$ , то получится вектор перемещения частицы из точки, в которой она была в момент  $t_1$ , в точку, в которой она оказалась в момент  $t_2$ :

$$\int_{t_1}^{t_2} \mathbf{v}(t) dt = \int_{t_1}^{t_2} d\mathbf{r} = \mathbf{r}_{t_2} \quad (3.19)$$

(см. (3.5)).

Если изобразить график зависимости  $v$  от  $t$  (рис. 3.7), то пройденный путь можно представить как площадь фигуры, ограниченной кривой  $v(t)$  и прямыми  $t=t_1$  и  $t=t_2$ . Действительно, произведение  $v_i \Delta t_i$  численно равно площади  $i$ -й полоски. Сумма (3.17) равна площади, ограниченной сверху ломаной линией, образованной верхними краями всех подобных полосок. При стремлении всех  $\Delta t_i$  к нулю ширина полосок убывает (одновременно число их растет), и ломаная линия в пределе сольется с кривой  $v=v(t)$ . Таким образом, путь, пройденный за время с момента  $t_1$  до момента  $t_2$ , численно равен площади, ограниченной графиком функции  $v=v(t)$ , осью времени  $t$  и прямыми  $t=t_1$  и  $t=t_2$ .

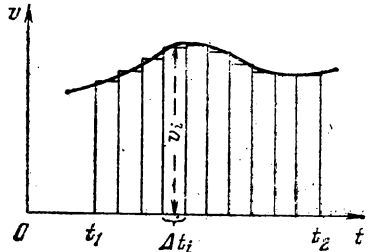


Рис. 3.7.

Заметим, что среднее значение модуля скорости за время от  $t_1$  до  $t_2$  по определению равно <sup>1)</sup>

$$\langle v \rangle = \frac{s}{t_2 - t_1}.$$

Подставив сюда выражение (3.18) для  $s$ , получим:

$$\langle v \rangle = \frac{1}{t_2 - t_1} \int_{t_1}^{t_2} v(t) dt. \quad (3.20)$$

Аналогично вычисляются средние значения любых скалярных или векторных функций. Например, среднее значение скорости равно

$$\langle \mathbf{v} \rangle = \frac{1}{t_2 - t_1} \int_{t_1}^{t_2} \mathbf{v}(t) dt = \frac{\mathbf{r}_{12}}{t_2 - t_1} \quad (3.21)$$

(см. (3.19)). Среднее значение функции  $y(x)$  на промежутке от  $x_1$  до  $x_2$  определяется выражением

$$\langle y \rangle = \frac{1}{x_2 - x_1} \int_{x_1}^{x_2} y(x) dx. \quad (3.22)$$

## § 4. Ускорение

Скорость частицы  $\mathbf{v}$  может изменяться со временем как по величине, так и по направлению. Быстрота изменения вектора  $\mathbf{v}$ , как и быстрота изменения любой функции времени, определяется производной вектора  $\mathbf{v}$  по  $t$ . Обозначив эту производную буквой  $\mathbf{w}$ ,

<sup>1)</sup> Для обозначения среднего значения какой-либо величины мы будем заключать символ этой величины в угловые скобки  $\langle \rangle$ .

получим:

$$\mathbf{w} = \lim_{\Delta t \rightarrow 0} \frac{\Delta \mathbf{v}}{\Delta t} = \frac{d\mathbf{v}}{dt} = \dot{\mathbf{v}}. \quad (4.1)$$

Величина, определяемая формулой (4.1), называется у с к о р е н и е м частицы.

Заметим, что ускорение  $\mathbf{w}$  играет по отношению к  $\mathbf{v}$  такую же роль, какую вектор  $\mathbf{v}$  играет по отношению к радиусу-вектору  $\mathbf{r}$ .

Равные векторы имеют одинаковые проекции на координатные оси. Следовательно, например,

$$w_x = \left( \frac{dv}{dt} \right)_{\text{пр. } x} = \frac{dv_x}{dt} = \dot{v}_x$$

(см. (2.40)). Вместе с тем согласно (3.9)  $v_x = \dot{x} = dx/dt$ . Поэтому

$$\frac{dv_x}{dt} = \frac{d}{dt} \left( \frac{dx}{dt} \right) = \frac{d^2x}{dt^2} = \ddot{x}.$$

Мы получили, что проекция вектора ускорения на ось  $x$  равна второй производной координаты  $x$  по времени:  $w_x = \ddot{x}$ . Аналогичные выражения получаются для проекций ускорения на оси  $y$  и  $z$ . Таким образом,

$$w_x = \ddot{x}, \quad w_y = \ddot{y}, \quad w_z = \ddot{z}. \quad (4.2)$$

Подставим в формулу (4.1) выражение (3.11) для  $\mathbf{v}$ :

$$\mathbf{w} = \frac{d}{dt} (v\boldsymbol{\tau}). \quad (4.3)$$

Напомним, что  $\boldsymbol{\tau}$  есть орт касательной к траектории, направленный в ту же сторону, что и  $\mathbf{v}$ . Согласно (2.49)

$$\mathbf{w} = \dot{v}\boldsymbol{\tau} + v\dot{\boldsymbol{\tau}}. \quad (4.4)$$

Следовательно, вектор  $\mathbf{w}$  можно представить в виде суммы двух составляющих. Одна из них коллинеарна с  $\boldsymbol{\tau}$ , т. е. направлена по касательной к траектории, и поэтому обозначается  $\mathbf{w}_\tau$  и называется т а н г е н ц и а л ь н ы м у с к о р е н и е м. Она равна

$$\mathbf{w}_\tau = \dot{v}\boldsymbol{\tau}. \quad (4.5)$$

Вторая составляющая, равная  $v\dot{\boldsymbol{\tau}}$ , направлена, как мы покажем ниже, по нормали к траектории и поэтому обозначается  $\mathbf{w}_n$  и называется н о р м а л ь н ы м у с к о р е н и е м. Таким образом,

$$\mathbf{w}_n = v\dot{\boldsymbol{\tau}}. \quad (4.6)$$

Исследуем свойства обеих составляющих, ограничившись для простоты случаем, когда траектория является плоской кривой.

Модуль тангенциального ускорения (4.5) равен

$$|w_\tau| = |\dot{v}|. \quad (4.7)$$

Если  $\dot{v} > 0$  (скорость растет по величине), вектор  $w_\tau$  направлен в ту же сторону, что и  $\tau$  (т. е. в ту же сторону, что и  $v$ ). Если  $\dot{v} < 0$  (скорость со временем уменьшается), векторы  $v$  и  $w_\tau$  направлены в противоположные стороны. При равномерном движении  $\dot{v} = 0$ , и следовательно, тангенциального ускорения нет.

Чтобы выяснить свойства нормального ускорения (4.6), нужно установить, чем определяется  $\dot{\tau}$ , т. е. быстрота изменения со временем направления касательной к траектории. Легко сообразить, что эта быстрота будет тем больше, чем сильнее искривлена траектория и чем быстрее перемещается частица по траектории.

Степень искривленности плоской кривой характеризуется кривизной  $C$ , которая определяется выражением

$$C = \lim_{\Delta s \rightarrow 0} \frac{\Delta \varphi}{\Delta s} = \frac{d\varphi}{ds}, \quad (4.8)$$

где  $\Delta \varphi$  — угол между касательными к кривой в точках, отстоящих друг от друга на  $\Delta s$  (рис. 4.1). Таким образом, кривизна определяет скорость поворота касательной при перемещении вдоль кривой.

Величина, обратная кривизне  $C$ , называется радиусом кривизны в данной точке кривой и обозначается буквой  $R$ :

$$R = \frac{1}{C} = \lim_{\Delta \varphi \rightarrow 0} \frac{\Delta s}{\Delta \varphi} = \frac{ds}{d\varphi}. \quad (4.9)$$

Радиус кривизны представляет собой радиус окружности, которая сливается в данном месте с кривой на бесконечно малом ее участке. Центр такой окружности называется центром кривизны для данной точки кривой.

Радиус и центр кривизны в точке  $I$  (см. рис. 4.1) можно определить следующим образом. Возьмем неподалеку от точки  $I$  точку  $I'$ . Построим в этих точках касательные  $\tau$  и  $\tau'$ . Перпендикуляры к касательным пересекутся в некоторой точке  $O'$ . Заметим, что для кривой, не являющейся окружностью, расстояния  $R'$  и  $R''$  будут немного отличаться друг от друга. Если точку  $I'$  приближать к точке  $I$ , пересечение перпендикуляров  $O'$  будет перемещаться вдоль прямой  $R'$  и в пределе окажется в некоторой точке  $O$ . Эта точка и будет центром кривизны для точки  $I$ . Расстояния  $R'$  и  $R''$  будут стремиться к общему пределу  $R$ , равному радиусу кривизны. Дей-

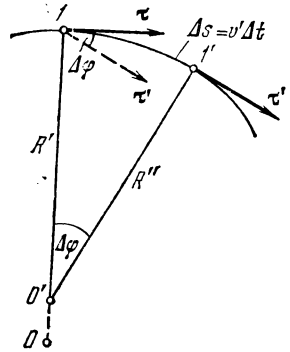


Рис. 4.1.

ствительно, если точки  $l$  и  $l'$  расположены близко друг к другу, можно написать, что  $\Delta\varphi \approx \Delta s/R'$  или  $R' \approx \Delta s/\Delta\varphi$ . В пределе при  $\Delta\varphi \rightarrow 0$  это приближенное равенство перейдет в строгое равенство  $R = ds/d\varphi$ , совпадающее с определением радиуса кривизны (см. (4.9)).

Обратимся к вычислению  $w_n$  (см. (4.6)). Согласно (2.56)

$$\dot{\tau} = \frac{d\varphi}{dt} \mathbf{n}, \quad (4.10)$$

где  $\mathbf{n}$  — орт нормали к траектории, направленный в ту сторону, в которую поворачивается вектор  $\tau$  при движении частицы по траектории (в формуле (2.56) аналогичный орт был обозначен  $\mathbf{e}_\perp$ ). Величину  $d\varphi/dt$  можно связать с радиусом кривизны траектории и скоростью частицы  $v$ . Из рис. 4.1 следует, что

$$\Delta\varphi \approx \frac{\Delta s}{R'} = \frac{v' \Delta t}{R'},$$

где  $\Delta\varphi$  — угол поворота вектора  $\tau$  за время  $\Delta t$  (совпадающий с углом между перпендикулярами  $R'$  и  $R''$ ),  $v'$  — средняя скорость на пути  $\Delta s$ . Отсюда

$$\frac{\Delta\varphi}{\Delta t} \approx \frac{v'}{R'}.$$

В пределе при  $\Delta t \rightarrow 0$  приближенное равенство станет строгим, средняя скорость  $v'$  превратится в мгновенную скорость  $v$  в точке  $l$ ,  $R'$  — в радиус кривизны  $R$ . В результате получится равенство

$$\frac{d\varphi}{dt} = \frac{v}{R} = vC \quad (4.11)$$

( $C$  — кривизна). Следовательно, быстрота поворота вектора скорости, как мы и предполагали, пропорциональна кривизне траектории и скорости перемещения частицы по траектории.

Подставив (4.11) в формулу (4.10), получим, что  $\dot{\tau} = (v/R)\mathbf{n}$ . Наконец, подставив это выражение в (4.6), придем к окончательной формуле для нормального ускорения:

$$\mathbf{w}_n = \frac{v^2}{R} \mathbf{n}. \quad (4.12)$$

Итак, вектор ускорения при движении частицы по плоской кривой определяется следующим выражением:

$$\mathbf{w} = \mathbf{w}_\tau + \mathbf{w}_n = \dot{v}\tau + \frac{v^2}{R} \mathbf{n}. \quad (4.13)$$

Модуль вектора  $\mathbf{w}$  равен

$$w = \sqrt{|\mathbf{w}_\tau|^2 + |\mathbf{w}_n|^2} = \sqrt{\dot{v}^2 + (v^2/R)^2}. \quad (4.14)$$

При прямолинейном движении нормальное ускорение отсутствует. Заметим, что  $w_n$  обращается в нуль в точке перегиба криволинейной траектории (в точке  $ТП$  на рис. 4.2). По обе стороны от этой точки векторы  $w_n$  направлены в разные стороны. Вектор  $w_n$  не может изменяться скачком; изменение направления на противоположное происходит плавно с обращением  $w_n$  в нуль в точке перегиба.

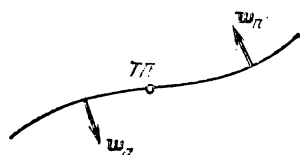


Рис. 4.2.

Пусть частица движется равномерно с постоянным по величине ускорением. Поскольку при равномерном движении скорость не изменяется по величине, то  $w_\tau = 0$ , так что  $w = w_n$ . Постоянство по величине  $w_n$ , означает, что  $v^2/R = \text{const}$ . Отсюда заключаем, что  $R = \text{const}$  ( $v = \text{const}$  вследствие равномерности движения). Значит, частица движется по кривой постоянной кривизны, т. е. по окружности. Таким образом, в случае, когда ускорение частицы постоянно по величине и направлено в каждый момент времени перпендикулярно к вектору скорости, траекторией частицы будет окружность.

## § 5. Кинематика вращательного движения

Поворот тела на некоторый угол  $\varphi$  можно задать в виде отрезка, длина которого равна  $\varphi$ , а направление совпадает с осью, вокруг которой производится поворот. Для того чтобы указать, в какую сторону совершается поворот вокруг данной оси, связывают направ-

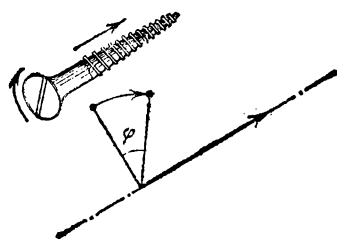


Рис. 5.1.

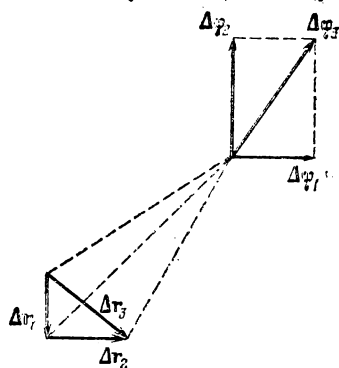


Рис. 5.2.

ления поворота и изображающего его отрезка правилом правого винта: направление отрезка должно быть таким, чтобы, глядя вдоль него (рис. 5.1), мы видели поворот совершающийся по часовой стрелке (вращая головку правого винта по часовой стрелке, мы вызовем его перемещение от себя). В § 2 было

показано (см. рис. 2.1), что повороты на конечные углы складываются не по правилу параллелограмма и поэтому не являются векторами. Иначе обстоит дело для поворотов на очень малые углы  $\Delta\varphi$ . Путь, проходимый любой точкой тела при очень малом повороте, можно считать прямолинейным (рис. 5.2). Поэтому два совершаемых

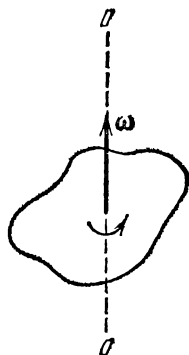


Рис. 5.3.

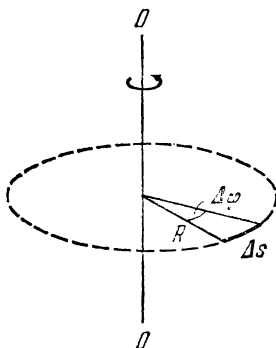


Рис. 5.4.

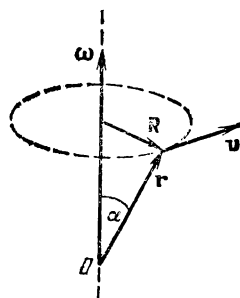


Рис. 5.5.

последовательно малых поворота  $\Delta\varphi_1$  и  $\Delta\varphi_2$  обуславливают, как видно из рисунка, такое же перемещение  $\Delta\mathbf{r}_3 = \Delta\mathbf{r}_1 + \Delta\mathbf{r}_2$  любой точки тела, как и поворот  $\Delta\varphi_3$ , получаемый из  $\Delta\varphi_1$  и  $\Delta\varphi_2$  сложением по правилу параллелограмма. Отсюда следует, что очень малые повороты можно рассматривать как векторы (мы будем эти векторы обозначать символами  $\Delta\varphi$  или  $d\varphi$ ). Направление вектора поворота связывается с направлением вращения тела. Следовательно,  $d\varphi$  является не истинным вектором, а псевдовектором.

Векторная величина

$$\omega = \lim_{\Delta t \rightarrow 0} \frac{\Delta\varphi}{\Delta t} = \frac{d\varphi}{dt} \quad (5.1)$$

(где  $\Delta t$  — время, за которое совершается поворот  $\Delta\varphi$ ) называется **угловой скоростью** тела<sup>1)</sup>. Угловая скорость  $\omega$  направлена вдоль оси, вокруг которой вращается тело, в сторону, определяемую правилом правого винта (рис. 5.3), и представляет собой псевдовектор. Модуль угловой скорости равен  $d\varphi/dt$ . Вращение с постоянной угловой скоростью называется **равномерным**. Если вращение является равномерным, то  $\omega = \varphi/t$ , где  $\varphi$  — конечный угол поворота за время  $t$  (ср. с  $v = s/t$ ). Таким образом, при равномерном вращении  $\omega$  показывает, на какой угол поворачивается тело за единицу времени.

Равномерное вращение можно характеризовать периодом обращения  $T$ , под которым понимают время, за которое тело делает

<sup>1)</sup> Рассмотренную в § 3 скорость  $v$  иногда называют **линейной**.

один оборот, т. е. поворачивается на угол  $2\pi$ . Поскольку промежуток времени  $\Delta t = T$  соответствует углу поворота  $\Delta\varphi = 2\pi$ , то

$$\omega = 2\pi/T, \quad (5.2)$$

откуда

$$T = 2\pi/\omega. \quad (5.3)$$

Число оборотов в единицу времени  $\nu$ , очевидно, равно

$$\nu = 1/T = \omega/2\pi. \quad (5.4)$$

Из (5.4) следует, что угловая скорость равна  $2\pi$ , умноженным на число оборотов в единицу времени:

$$\omega = 2\pi\nu. \quad (5.5)$$

Понятия периода обращения и числа оборотов в единицу времени можно сохранить и для неравномерного вращения, понимая под мгновенным значением  $T$  то время, за которое тело совершило бы один оборот, если бы оно вращалось равномерно с данным мгновенным значением угловой скорости, а под  $\nu$  понимая то число оборотов, которое совершало бы тело за единицу времени при аналогичных условиях.

Вектор  $\omega$  может изменяться как за счет изменения скорости вращения тела вокруг оси (в этом случае он изменяется по величине), так и за счет поворота оси вращения в пространстве (в этом случае  $\omega$  изменяется по направлению). Пусть за время  $\Delta t$  вектор  $\omega$  получает приращение  $\Delta\omega$ . Изменение вектора угловой скорости со временем характеризуется величиной

$$\beta = \lim_{\Delta t \rightarrow 0} \frac{\Delta\omega}{\Delta t} = \frac{d\omega}{dt}, \quad (5.6)$$

которую называют **угловым ускорением**. Угловое ускорение, как и угловая скорость, является псевдовектором.

Отдельные точки вращающегося тела имеют различные линейные скорости  $v$ . Скорость каждой из точек непрерывно изменяет свое направление. Величина скорости  $v$  определяется скоростью вращения тела  $\omega$  и расстоянием  $R$  рассматриваемой точки от оси вращения. Пусть за малый промежуток времени тело повернулось на угол  $\Delta\varphi$  (рис. 5.4). Точка, находящаяся на расстоянии  $R$  от оси, проходит при этом путь  $\Delta s = R\Delta\varphi$ . Линейная скорость точки равна

$$v = \lim_{\Delta t \rightarrow 0} \frac{\Delta s}{\Delta t} = \lim_{\Delta t \rightarrow 0} R \frac{\Delta\varphi}{\Delta t} = R \lim_{\Delta t \rightarrow 0} \frac{\Delta\varphi}{\Delta t} = R \frac{d\varphi}{dt} = R\omega.$$

Таким образом,

$$v = \omega R. \quad (5.7)$$

Формула (5.7) связывает модули линейной и угловой скоростей. Найдем выражение, связывающее векторы  $v$  и  $\omega$ . Положение рас-

сматриваемой точки тела будем определять радиусом-вектором  $r$ , проведенным из лежащего на оси вращения начала координат  $O$  (рис. 5.5). Из рисунка видно, что векторное произведение  $[\omega r]$  совпадает по направлению с вектором  $v$  и имеет модуль, равный  $\omega r \sin \alpha = \omega R$ . Следовательно,

$$v = [\omega r]. \quad (5.8)$$

Модуль нормального ускорения точек вращающегося тела равен  $|w_n| = v^2/R$ . Подставив сюда значение  $v$  из (5.7), получим:

$$|w_n| = \omega^2 R. \quad (5.9)$$

Если ввести перпендикулярный к оси вращения вектор  $R$ , проведенный в данную точку тела (см. рис. 5.5), соотношению (5.9) можно придать векторный вид:

$$w_n = -\omega^2 R. \quad (5.10)$$

Минус в этой формуле стоит потому, что векторы  $w_n$  и  $R$  имеют противоположные направления.

Предположим, что ось вращения тела не поворачивается в пространстве. Согласно (4.7) модуль тангенциального ускорения равен  $|dv/dt|$ . Воспользовавшись соотношением (5.7) и учтя, что расстояние рассматриваемой точки тела от оси вращения  $R = \text{const}$ , можно написать:

$$|w_\tau| = \left| \lim_{\Delta t \rightarrow 0} \frac{\Delta v}{\Delta t} \right| = \left| \lim_{\Delta t \rightarrow 0} \frac{\Delta(\omega R)}{\Delta t} \right| = \left| \lim_{\Delta t \rightarrow 0} R \frac{\Delta \omega}{\Delta t} \right| = R \left| \lim_{\Delta t \rightarrow 0} \frac{\Delta \omega}{\Delta t} \right| = R\beta,$$

где  $\beta$  — модуль углового ускорения. Следовательно, модуль тангенциального ускорения связан с модулем углового ускорения соотношением

$$|w_\tau| = \beta R. \quad (5.11)$$

Таким образом, нормальное и тангенциальное ускорения растут линейно с увеличением расстояния точки от оси вращения.

## ГЛАВА II

### ДИНАМИКА МАТЕРИАЛЬНОЙ ТОЧКИ

#### § 6. Классическая механика. Границы ее применимости

Кинематика дает описание движения тел, не затрагивая вопроса о том, почему тело движется именно так (например, равномерно по окружности, или равномерно-ускоренно по прямой), а не иначе.

Динамика изучает движение тел в связи с теми причинами (взаимодействиями между телами), которые обуславливают тот или иной характер движения.

В основе так называемой классической или ньютоновской механики лежат три закона динамики, сформулированные Ньютоном в 1687 г.

Законы Ньютона (как и все остальные физические законы) возникли в результате обобщения большого количества опытных фактов. Правильность их (хотя и для очень обширного, но все же ограниченного круга явлений) подтверждается согласием с опытом тех следствий, которые из них вытекают.

Ньютоновская механика достигла в течение двух столетий таких огромных успехов, что многие физики XIX столетия были убеждены в ее всемогуществе. Считалось, что объяснить любое физическое явление означает свести его к механическому процессу, подчиняющемуся законам Ньютона. Однако с развитием науки обнаружились новые факты, которые не укладывались в рамки классической механики. Эти факты получили свое объяснение в новых теориях — специальной теории относительности и квантовой механике.

В специальной теории относительности, созданной Эйнштейном в 1905 г., подверглись радикальному пересмотру ньютоновские представления о пространстве и времени. Этот пересмотр привел к созданию «механики больших скоростей» или, как ее называют, релятивистской механики. Новая механика не привела, однако, к полному отрицанию старой ньютоновской механики. Уравнения релятивистской механики в пределе (для скоростей, малых по сравнению со скоростью света) переходят в уравнения классической механики. Таким образом, классическая механика вошла в реляти-

вистскую механику как ее частный случай и сохранила свое прежнее значение для описания движений, происходящих со скоростями, значительно меньшими скорости света.

Аналогично обстоит дело и с соотношением между классической и квантовой механикой, возникшей в 20-х годах нашего века в результате развития физики атома. Уравнения квантовой механики также дают в пределе (для масс, больших по сравнению с массами атомов) уравнения классической механики. Следовательно, классическая механика вошла и в квантовую механику в качестве ее предельного случая.

Таким образом, развитие науки не перечеркнуло классическую механику, а лишь показало ее ограниченную применимость. Классическая механика, основывающаяся на законах Ньютона, является механикой тел больших (по сравнению с массой атомов) масс, движущихся с малыми (по сравнению со скоростью света) скоростями.

## § 7. Первый закон Ньютона.

### Инерциальные системы отсчета

Первый закон Ньютона формулируется следующим образом: *всякое тело находится в состоянии покоя или равномерного и прямолинейного движения, пока воздействие со стороны других тел не заставит его изменить это состояние.* Оба названных состояния отличаются тем, что ускорение тела равно нулю. Поэтому формулировке первого закона можно придать следующий вид: скорость любого тела остается постоянной (в частности, равной нулю), пока воздействие на это тело со стороны других тел не вызовет ее изменения.

Первый закон Ньютона выполняется не во всякой системе отсчета. Мы уже отмечали, что характер движения зависит от выбора системы отсчета. Рассмотрим две системы отсчета, движущиеся друг относительно друга с некоторым ускорением. Если относительно одной из них тело покоится, то относительно другой оно, очевидно, будет двигаться с ускорением. Следовательно, первый закон Ньютона не может выполняться одновременно в обеих системах.

Система отсчета, в которой выполняется первый закон Ньютона, называется *и н е р ц и а л ь н о й*. Сам закон называют иногда *з а к о н о м и н е р ц и и*. Система отсчета, в которой первый закон Ньютона не выполняется, называется *неинерциальной системой отсчета*. Инерциальных систем существует бесконечное множество. Любая система отсчета, движущаяся относительно некоторой инерциальной системы прямолинейно и равномерно (т. е. с постоянной скоростью), будет также инерциальной. Подробнее об этом будет сказано в § 12.

Опытным путем установлено, что система отсчета, центр которой совмещен с Солнцем, а оси направлены на соответствующим образом выбранные звезды, является с очень высокой степенью точности инерциальной. Она называется гелиоцентрической системой отсчета (гелиос — по-гречески солнце). Любая система отсчета, движущаяся равномерно и прямолинейно относительно гелиоцентрической системы, будет инерциальной.

Земля движется относительно Солнца и звезд по криволинейной траектории, имеющей форму эллипса. Криволинейное движение всегда происходит с некоторым ускорением. Кроме того, Земля совершает вращение вокруг своей оси. По этим причинам система отсчета, связанная с земной поверхностью, движется с ускорением относительно гелиоцентрической системы отсчета и не является инерциальной. Однако ускорение такой системы настолько мало, что в большом числе случаев ее можно считать практически инерциальной. Но иногда неинерциальность системы отсчета, связанной с Землей, оказывает существенное влияние на характер рассматриваемых относительно нее механических явлений. Некоторые из таких случаев мы рассмотрим впоследствии.

## § 8. Масса и импульс тела

Воздействие на данное тело со стороны других тел вызывает изменение его скорости, т. е. сообщает данному телу ускорение. Опыт показывает, что одинаковое воздействие сообщает разным телам разные по величине ускорения. Всякое тело «противится» попыткам изменить его состояние движения. Это свойство тел называется инертностью. В качестве количественной характеристики инертности используется величина, называемая массой тела.

Чтобы определить массу некоторого тела, нужно сравнить ее с массой тела, принятого за эталон массы. Можно также сравнить массу данного тела с массой некоторого тела с уже известной массой (определенной путем сравнения с эталоном). Операцию сравнения масс  $m_1$  и  $m_2$  двух материальных точек (частиц) можно осуществить следующим образом. Поставим эти частицы в такие условия, чтобы их взаимодействием с другими телами можно было пренебречь. Система тел, взаимодействующих только между собой и не взаимодействующих с другими телами, называется замкнутой. Следовательно, мы рассматриваем замкнутую систему двух частиц. Если заставить эти частицы взаимодействовать (например, посредством столкновения друг с другом), их скорости получат приращения  $\Delta \mathbf{v}_1$  и  $\Delta \mathbf{v}_2$ . Опыт дает, что эти приращения всегда противоположны по направлению, т. е. отличаются знаком. Отношение же модулей приращений скоростей не зависит от способа и интен-

сивности взаимодействия данных двух тел <sup>1)</sup>. Это отношение принимается равным обратному отношению масс рассматриваемых тел:

$$\frac{|\Delta \mathbf{v}_1|}{|\Delta \mathbf{v}_2|} = \frac{m_2}{m_1} \quad (8.1)$$

(более инертное тело, т. е. тело с большей массой, претерпевает меньшее изменение скорости). Приняв во внимание относительное направление векторов  $\Delta \mathbf{v}_1$  и  $\Delta \mathbf{v}_2$ , соотношение (8.1) можно написать в виде

$$m_1 \Delta \mathbf{v}_1 = -m_2 \Delta \mathbf{v}_2. \quad (8.2)$$

В ньютоновской механике (т. е. механике, в основу которой положены законы Ньютона) масса тела предполагается постоянной величиной, не зависящей от скорости тела. При скоростях, малых по сравнению со скоростью света  $c$  (при  $v \ll c$ ), это предположение практически выполняется. Воспользовавшись постоянством массы, представим равенство (8.2) следующим образом:

$$\Delta (m_1 \mathbf{v}_1) = -\Delta (m_2 \mathbf{v}_2). \quad (8.3)$$

Произведение массы тела на его скорость называется **импульсом** тела <sup>2)</sup>. Обозначив импульс буквой  $\mathbf{p}$ , получим:

$$\mathbf{p} = m\mathbf{v}. \quad (8.4)$$

Определение (8.4) справедливо для материальных точек (частиц) и протяженных тел, движущихся поступательно. В случае протяженного тела, движущегося непоступательно, нужно представить тело как совокупность материальных точек с массами  $\Delta m_i$ , определить импульсы  $\Delta m_i \mathbf{v}_i$  этих точек и затем сложить эти импульсы векторно. В результате получится полный импульс тела:

$$\mathbf{p} = \sum_i \Delta m_i \mathbf{v}_i. \quad (8.5)$$

При поступательном движении тела все  $\mathbf{v}_i$  одинаковы и формула (8.5) переходит в (8.4).

Заменив в (8.3) произведения  $m\mathbf{v}$  импульсами  $\mathbf{p}$ , придем к соотношению  $\Delta \mathbf{p}_1 = -\Delta \mathbf{p}_2$ , откуда  $\Delta (\mathbf{p}_1 + \mathbf{p}_2) = 0$ . Равенство нулю приращения величины означает, что сама величина остается неизменной. Таким образом, мы пришли к выводу, что *полный импульс замкнутой системы двух взаимодействующих частиц остается постоянным*:

$$\mathbf{p} = \mathbf{p}_1 + \mathbf{p}_2 = \text{const}. \quad (8.6)$$

Приведенное выше утверждение составляет содержание **закона**

<sup>1)</sup> Это справедливо в случае, когда начальные и конечные скорости частиц малы по сравнению со скоростью света  $c$ .

<sup>2)</sup> Устаревшее название этой величины — количество движения тела.

сохранения импульса. В § 27 мы рассмотрим этот закон более подробно.

Отметим, что в релятивистской механике (см. гл. VIII) выражение для импульса имеет по сравнению с (8.4) более сложный вид:

$$\mathbf{p} = \frac{m\mathbf{v}}{\sqrt{1-v^2/c^2}}. \quad (8.7)$$

Здесь  $m$  — так называемая масса покоя тела (масса тела при  $v=0$ ),  $c$  — скорость света в вакууме. Выражение (8.7) можно истолковать так, что масса тела не остается постоянной (как предполагается в ньютоновской механике), а изменяется со скоростью по закону

$$m(v) = \frac{m}{\sqrt{1-v^2/c^2}}. \quad (8.8)$$

Тогда выражение (8.7) можно представить в виде

$$\mathbf{p} = m(v)\mathbf{v}, \quad (8.9)$$

аналогичном выражению (8.4).

Определяемая формулой (8.8) масса  $m(v)$  называется релятивистской массой или массой движения. В дальнейшем мы будем обозначать ее символом  $m_r$ .

## § 9. Второй закон Ньютона

Второй закон Ньютона гласит, что *скорость изменения импульса тела равна действующей на тело силе  $\mathbf{F}$* :

$$\frac{d\mathbf{p}}{dt} = \mathbf{F}. \quad (9.1)$$

Уравнение (9.1) называется уравнением движения тела.

Заменив согласно (8.4)  $\mathbf{p}$  произведением  $m\mathbf{v}$  и учтя, что в ньютоновской механике масса предполагается постоянной, можно представить соотношение (9.1) в виде

$$m\mathbf{w} = \mathbf{F}, \quad (9.2)$$

где  $\mathbf{w} = \dot{\mathbf{v}}$ . Таким образом, мы пришли к другой формулировке второго закона Ньютона: *произведение массы тела на его ускорение равно действующей на тело силе*.

Соотношение (9.2) вызывало и продолжает вызывать среди физиков много споров. До сих пор нет общепринятого истолкования этого соотношения. Сложность состоит в том, что не существует независимых способов определения величин  $m$  и  $\mathbf{F}$ , входящих в уравнение (9.2). Для определения одной из них ( $m$  или  $\mathbf{F}$ ) прихо-

дится использовать соотношение (9.2), связывающее эту величину с другой и с ускорением  $w$ . Так, например, в книге С. Э. Хайкина «Физические основы механики» (Физматгиз, 1963 г.) на стр. 104 читаем: «Так как для установления способа измерения массы тела используется тот же второй закон Ньютона (величина массы тела определяется одновременным измерением силы и ускорения), то второй закон Ньютона содержит, с одной стороны, утверждение, что ускорение пропорционально силе, а с другой — определение массы тела как отношения силы, действующей на тело, к сообщаемому этой силой ускорению».

Р. Фейнман по поводу смысла второго закона Ньютона говорит следующее: «Спросим же: в чем смысл ... формулы  $F=mw$ ? Мы интуитивно понимаем, что такое масса; мы можем также определить ускорение, если нам понятно, что такое место и что такое время. Смысл этих понятий мы поэтому не будем обсуждать, а сосредоточимся на новом понятии силы. И здесь ответ тоже весьма прост: если тело ускоряется, значит, на него действует сила. Так говорят законы Ньютона, и самое точное и красивое из мыслимых определений силы состояло бы в том, что сила есть масса тела, умноженная на его ускорение...». Однако «...обнаружив основной закон, утверждающий, что сила есть масса на ускорение, а потом определив силу как произведение массы на ускорение, мы ничего нового не открываем ... такие высказывания не могут составить содержание физики: зачем же ей гонять определения по кругу... из одного определения никогда ничего никто не выводил... Истинное же содержание законов Ньютона таково: предполагается, что сила обладает *независимыми свойствами* в дополнение к закону  $F=mw$ ; но *характерные независимые* свойства сил не описал полностью ни Ньютон, ни кто-нибудь еще...» (Фейнмановские лекции по физике, вып. 1, стр. 209—210, «Мир», 1965).

Подчеркнем, что второй закон Ньютона (так же как и два других закона) является экспериментальным законом. Он возник в результате обобщения данных опытов и наблюдений.

В частном случае, когда  $F=0$  (т. е. при отсутствии воздействия на тело со стороны других тел), ускорение, как следует из (9.2), также равно нулю. Этот вывод совпадает с утверждением первого закона Ньютона. Поэтому первый закон входит во второй как его частный случай. Несмотря на это, первый закон формулируется независимо от второго, так как в нем по сути заключен постулат (утверждение) о существовании инерциальных систем отсчета.

В заключение отметим, что при независимом выборе единиц массы, силы и ускорения выражение второго закона нужно писать в виде

$$mw=kF, \quad (9.3)$$

где  $k$  — коэффициент пропорциональности.

## § 10. Единицы и размерности физических величин

Законы физики, как уже отмечалось, устанавливают количественные соотношения между физическими величинами. Для установления таких соотношений необходимо иметь возможность измерять различные физические величины.

Измерить какую-либо физическую величину (например, скорость) означает сравнить ее с величиной того же вида (во взятом примере — со скоростью), принятой за единицу.

Вообще говоря, для каждой физической величины можно было бы установить ее единицу произвольно, независимо от других. Однако оказывается, что можно ограничиться произвольным выбором единиц для нескольких (минимум трех) в принципе любых величин, принятых за основные. Единицы же всех прочих величин можно установить с помощью основных, воспользовавшись для этой цели физическими законами, связывающими соответствующую величину с основными величинами или с величинами, для которых единицы уже установлены подобным образом.

Поясним сказанное следующим примером. Предположим, что мы уже установили единицы для массы и ускорения. Соотношение (9.3) связывает закономерным образом эти величины с третьей физической величиной — силой. Выберем единицу силы так, чтобы коэффициент пропорциональности в этом уравнении был равен единице. Тогда формула (9.3) принимает более простой вид:

$$mw = F. \quad (10.1)$$

Из (10.1) следует, что установленная единица силы представляет собой такую силу, под действием которой тело с массой, равной единице, получает ускорение, равное также единице (подстановка в (10.1)  $F = 1$  и  $m = 1$  дает  $w = 1$ ).

При указанном способе выбора единиц физические соотношения принимают более простой вид. Сама же совокупность единиц образует определенную систему.

Существует несколько систем, отличающихся выбором основных единиц. Системы, в основу которых положены единицы длины, массы и времени, называются а б с о л ю т н ы м и.

Принятый в 1981 г. государственный стандарт ГОСТ 8.417—81 (СТ СЭВ 1052—78) вводит как обязательную Международную систему единиц, обозначаемую символом СИ. Основными единицами СИ являются: единица длины — метр (сокращенное обозначение — м), единица массы — килограмм (кг) и единица времени — секунда (с). Таким образом, СИ принадлежит к числу абсолютных систем. Кроме указанных трех единиц, СИ принимает в качестве основных единицу силы тока — ампер (А), единицу термодинамической температуры — кельвин (К), единицу силы света — канделу (кд)

и единицу количества вещества — моль (моль). Об этих единицах будет идти речь в соответствующих разделах курса.

В 1983 г. принято новое определение метра, основанное на константе скорости света. Это позволило существенно поднять точность линейных измерений. По новому определению метр представляет собой расстояние, проходимое в вакууме плоской электромагнитной волной за  $1/299\,792\,458$  долю секунды. Новое определение метра дано с учетом современных достижений лазерной техники и квантовой электроники. Метр приближенно равен  $1/40\,000\,000$  доле длины земного меридиана. Применяются также кратные и дольные единицы: километр ( $1\text{ км} = 10^3\text{ м}$ ), сантиметр ( $1\text{ см} = 10^{-2}\text{ м}$ ), миллиметр ( $1\text{ мм} = 10^{-3}\text{ м}$ ) и т. д.

Килограмм представляет собой массу платино-иридиевого<sup>1)</sup> тела, хранящегося в Международном бюро мер и весов в Севре (близ Парижа). Это тело называется международным прототипом килограмма. Масса прототипа близка к массе  $1000\text{ см}^3$  чистой воды при  $4^\circ\text{С}$ . Грамм равен  $1/1000$  килограмма.

Секунда определяется как промежуток времени, равный сумме  $9\,192\,631\,770$  периодов излучения, соответствующего переходу между двумя сверхтонкими уровнями основного состояния атома цезия-133. Секунда приблизительно равна  $1/86\,400$  средних солнечных суток.

В физике применяется также абсолютная система единиц, называемая СГС-системой. Основными единицами в этой системе являются сантиметр, грамм и секунда.

Единицы введенных нами в кинематике величин (скорости и ускорения) являются производными от основных единиц. Так, за единицу скорости принимается скорость равномерно движущегося тела, проходящего в единицу времени (секунду) путь, равный единице длины (метру или сантиметру). Обозначается эта единица м/с в СИ и см/с в СГС-системе. За единицу ускорения принимается ускорение равномерно-переменного движения, при котором скорость тела за единицу времени (секунду) изменяется на единицу (на м/с или см/с). Обозначается эта единица м/с<sup>2</sup> в СИ и см/с<sup>2</sup> в СГС-системе.

Единица силы в СИ называется ньютоном (Н). Согласно (10.1) ньютон равен силе, под действием которой тело с массой  $1\text{ кг}$  получает ускорение  $1\text{ м/с}^2$ . Единица силы в СГС-системе называется диной (дин). Одна дина равна силе, под действием которой тело с массой  $1\text{ кг}$  получает ускорение  $1\text{ см/с}^2$ . Между ньютоном и диной имеется следующее соотношение:

$$1\text{ Н} = 1\text{ кг} \cdot 1\text{ м/с}^2 = 10^3\text{ г} \cdot 10^2\text{ см/с}^2 = 10^5\text{ дин}.$$

<sup>1)</sup> Сплав платины с иридием обладает большой твердостью и коррозионной устойчивостью (т. е. мало подвержен химическому воздействию окружающей среды).

В технике широко применялась система МКГСС (называемая обычно технической системой единиц). Основными единицами этой системы являются метр, единица силы — килограмм-сила (кгс) и секунда. Килограмм-сила определяется как сила, сообщающая массе в 1 кг ускорение, равное  $9,80655 \text{ м/с}^2$ . Из этого определения следует, что  $1 \text{ кгс} = 9,80655 \text{ Н}$  (приблизительно  $9,81 \text{ Н}$ ).

За единицу массы в МКГСС согласно (10.1) должна быть принята масса такого тела, которое под действием силы в 1 кгс получает ускорение  $1 \text{ м/с}^2$ . Эта единица обозначается  $\text{кгс} \cdot \text{с}^2/\text{м}$ , специального названия она не имеет. Очевидно, что  $1 \text{ кгс} \cdot \text{с}^2/\text{м} = 9,80655 \text{ кг}$  (приблизительно  $9,81 \text{ кг}$ ).

Из способа построения систем единиц следует, что изменение основных единиц влечет за собой изменение производных единиц. Если, например, за единицу времени принять вместо секунды минуту, т. е. увеличить единицу времени в 60 раз, то единица скорости уменьшится в 60 раз, а единица ускорения уменьшится в 3600 раз.

Соотношение, показывающее, как изменяется единица какой-либо величины при изменении основных единиц, называется *размерностью* этой величины. Для обозначения размерности произвольной физической величины используется ее буквенное обозначение, взятое в квадратные скобки. Так, например, символ  $[v]$  означает размерность скорости. Для размерностей основных величин используются специальные обозначения: для длины  $L$ , для массы  $M$  и для времени  $T$ . Таким образом, обозначив длину буквой  $l$ , массу буквой  $m$  и время буквой  $t$ , можно написать:

$$[l] = L; [m] = M; [t] = T.$$

В указанных обозначениях размерность произвольной физической величины имеет вид  $L^\alpha M^\beta T^\gamma$  ( $\alpha$ ,  $\beta$  и  $\gamma$  могут быть как положительными, так и отрицательными, в частности, они могут равняться нулю). Эта запись означает, что при увеличении единицы длины в  $n_1$  раз единица данной величины увеличивается в  $n_1^\alpha$  раз (соответственно число, которым выражается значение величины в этих единицах, уменьшается в  $n_1^\alpha$  раз); при увеличении единицы массы в  $n_2$  раз единица данной величины увеличивается в  $n_2^\beta$  раз и, наконец, при увеличении единицы времени в  $n_3$  раз единица данной величины увеличивается в  $n_3^\gamma$  раз.

Поскольку физические законы не могут зависеть от выбора единиц фигурирующих в них величин, размерности обеих частей уравнений, выражающих эти законы, должны быть одинаковыми. Это условие может быть использовано, во-первых, для проверки правильности полученных физических соотношений и, во-вторых, для установления размерностей физических величин. Так, например, скорость определяется как  $v = \Delta s / \Delta t$ . Размерность  $\Delta s$  равна  $L$ , размерность  $\Delta t$  равна  $T$ . Размерность правой части написанного

соотношения равна  $[\Delta s]/[\Delta t] = L/T = LT^{-1}$ . Размерность левой части должна быть такой же. Следовательно,

$$[v] = LT^{-1}. \quad (10.2)$$

Написанное соотношение называется формулой размерности, а его правая часть — размерностью соответствующей величины (в данном случае скорости).

На основании соотношения  $w = \Delta v / \Delta t$  можно установить размерность ускорения:

$$[w] = \frac{[\Delta v]}{[\Delta t]} = \frac{LT^{-1}}{T} = LT^{-2}.$$

Размерность силы

$$[F] = [m][w] = MLT^{-2}.$$

Аналогично устанавливаются размерности всех прочих величин.

## § 11. Третий закон Ньютона

Всякое действие тел друг на друга носит характер взаимодействия: если тело 1 действует на тело 2 с силой  $F_{21}$ , то и тело 2 в свою очередь действует на тело 1 с силой  $F_{12}$ .

Третий закон Ньютона утверждает, что *силы, с которыми действуют друг на друга взаимодействующие тела, равны по величине и противоположны по направлению*. Используя приведенные выше обозначения сил, содержание третьего закона можно представить в виде равенства:

$$F_{12} = -F_{21}. \quad (11.1)$$

Из третьего закона Ньютона вытекает, что силы возникают парно: всякой силе, приложенной к какому-то телу, можно сопоставить равную ей по величине и противоположно направленную силу, приложенную к другому телу, взаимодействующему с данным.

Третий закон Ньютона бывает справедлив не всегда. Он выполняется вполне строго в случае контактных взаимодействий (т. е. взаимодействий, наблюдающихся при непосредственном соприкосновении тел), а также при взаимодействиях находящихся на некотором расстоянии друг от друга *покоящихся тел*.

В качестве примера нарушения третьего закона Ньютона может служить система из двух заряженных частиц  $e_1$  и  $e_2$ , движущихся в рассматриваемый момент так, как показано на рис. 11.1. В электродинамике доказывается, что, кроме подчиняющейся третьему закону силы электростатического взаимодействия  $F_{12}$ , на первую частицу будет действовать магнитная сила  $F_1$ . На вторую же частицу действует лишь сила  $F_{21}$ , равная  $-F_{12}$ . Величина магнитной силы, действующей на вторую частицу, для изображенного на рисунке случая равна нулю. Отметим, что при скоростях частиц,

много меньших скорости света в пустоте (при  $v_1 \ll c$  и  $v_2 \ll c$ ), сила  $F_1$  пренебрежимо мала по сравнению с силой  $F_{12}$ , так что третий закон Ньютона оказывается практически справедливым и в этом случае.

Теперь рассмотрим систему из двух электрически нейтральных частиц  $m_1$  и  $m_2$ , удаленных друг от друга на расстояние  $r$ . Вследствие всемирного тяготения эти частицы притягивают друг друга с силой

$$F = \gamma \frac{m_1 m_2}{r^2}. \quad (11.2)$$

В данном случае взаимодействие частиц осуществляется через гравитационное поле. Скажем, первая частица создает в окружающем ее пространстве поле, которое проявляет себя в том, что на помещенную в какую-либо точку этого поля частицу  $m_2$  действует сила притяжения к первой частице. Аналогично вторая частица создает поле, которое проявляет себя в действии на первую частицу. Опыт дает, что изменения поля, обусловленные, например, изменением положения создающей поле частицы, распространяются в пространстве не мгновенно, а с хотя и очень большой, но конечной скоростью, равной скорости света в пустоте  $c$ .

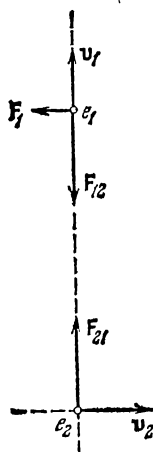


Рис. 11.1.

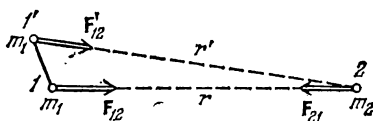


Рис. 11.2.

Предположим, что первоначально частицы  $m_1$  и  $m_2$  покоятся в положениях 1 и 2 (рис. 11.2). Силы взаимодействия  $F_{12}$  и  $F_{21}$  равны по величине и противоположны по направлению. Теперь пусть частица  $m_1$  очень быстро (со скоростью, почти равной  $c$ ) сместится в положение  $1'$ . В этой точке на частицу  $m_1$  будет действовать сила  $F'_{12}$ , меньшая по величине ( $r' > r$ ) и иначе направленная, чем  $F_{12}$  (напомним, что поле частицы  $m_2$  остается неизменным). На вторую же частицу, пока возмущение поля, вызванное смещением  $m_1$ , не достигнет точки 2, будет продолжать действовать сила  $F_{21}$ . Следовательно, пока двигалась частица  $m_1$  и в течение некоторого времени после того, как она остановилась в точке  $1'$ , третий закон Ньютона был нарушен.

Если бы частица  $m_1$  перемещалась из точки 1 в точку  $1'$  со скоростью  $v$ , много меньшей  $c$  ( $v \ll c$ ), или скорость распространения возмущений поля была бесконечно большой, то мгновенные зна-

чения поля в точке 2 отвечали бы положениям частицы  $m_1$  в тот же момент времени, и следовательно, нарушений третьего закона не наблюдалось бы.

Ньютоновская механика вообще справедлива лишь для скоростей движения, много меньших скорости света (при  $v \ll c$ ). Поэтому в рамках этой механики скорость распространения возмущений поля считается бесконечной, а третий закон Ньютона выполняющимся всегда.

## § 12. Принцип относительности Галилея

Рассмотрим две системы отсчета, движущиеся друг относительно друга с постоянной скоростью  $v_0$ . Одну из этих систем, обозначенную на рис. 12.1 буквой  $K$ ,

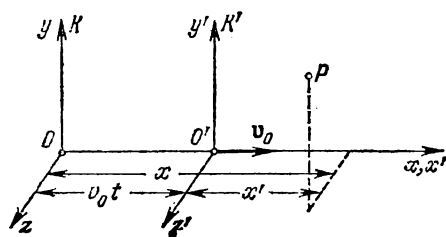


Рис. 12.1.

будем условно считать неподвижной. Тогда вторая система  $K'$  будет двигаться прямолинейно и равномерно. Выберем координатные оси  $x, y, z$  системы  $K$  и оси  $x', y', z'$  системы  $K'$  так, чтобы оси  $x$  и  $x'$  совпадали, а оси  $y$  и  $y'$ , а также  $z$  и  $z'$  были параллельны друг другу.

Найдем связь между координатами  $x, y, z$  некоторой точки  $P$  в системе  $K$  и координатами  $x', y', z'$  той же точки в системе  $K'$ . Если начать отсчет времени с того момента, когда начала координат обеих систем совпадали, то, как следует из рис. 12.1,  $x = x' + v_0 t$ . Кроме того, очевидно, что  $y = y'$  и  $z = z'$ . Добавив к этим соотношениям принятое в классической механике предположение, что время в обеих системах течет одинаковым образом, т. е. что  $t = t'$ , получим совокупность четырех уравнений:

$$x = x' + v_0 t', \quad y = y', \quad z = z', \quad t = t', \quad (12.1)$$

называемых преобразованиями Галилея.

Первое и последнее из соотношений (12.1) оказываются справедливыми лишь при значениях  $v_0$ , малых по сравнению со скоростью света в вакууме, которую мы будем обозначать буквой  $c$  ( $v_0 \ll c$ ). При  $v_0$ , сравнимых с  $c$ , преобразования Галилея должны быть заменены более общими преобразованиями Лоренца (см. § 63). В рамках ньютоновской механики формулы (12.1) оказываются справедливыми с большой степенью точности.

Продифференцировав соотношения (12.1) по времени, найдем связь между скоростями точки  $P$  по отношению к системам

отсчета  $K$  и  $K'$ :

$$\begin{aligned}\dot{x} &= \dot{x}' + v_0 & \text{или} & & v_x &= v'_x + v_0, \\ \dot{y} &= \dot{y}' & \text{или} & & v_y &= v'_y, \\ \dot{z} &= \dot{z}' & \text{или} & & v_z &= v'_z.\end{aligned}\quad (12.2)$$

Три скалярных соотношения (12.2) эквивалентны следующему соотношению между вектором скорости  $\mathbf{v}$  по отношению к системе  $K$  и вектором скорости  $\mathbf{v}'$  по отношению к системе  $K'$ :

$$\mathbf{v} = \mathbf{v}' + \mathbf{v}_0. \quad (12.3)$$

Чтобы убедиться в этом, достаточно спроектировать векторное равенство (12.3) на оси  $x$ ,  $y$ ,  $z$ .

Формулы (12.2) и (12.3) дают правило сложения скоростей в классической механике. Следует иметь в виду, что соотношение (12.3), как и любое другое векторное соотношение, остается справедливым при произвольном выборе взаимных направлений координатных осей систем  $K$  и  $K'$ . Соотношения же (12.2) выполняются только при выборе осей, показанном на рис. 12.1.

В § 7 отмечалось, что любая система отсчета, движущаяся относительно некоторой инерциальной системы с постоянной скоростью, будет также инерциальной. Теперь мы имеем возможность доказать это утверждение. Для этого продифференцируем по времени соотношение (12.3). Учтя, что  $\mathbf{v}_0$  постоянна, получим:

$$\dot{\mathbf{v}} = \dot{\mathbf{v}}' \quad \text{или} \quad \mathbf{w} = \mathbf{w}'. \quad (12.4)$$

Отсюда следует, что ускорение какого-либо тела во всех системах отсчета, движущихся друг относительно друга прямолинейно и равномерно, оказывается одним и тем же. Поэтому если одна из этих систем инерциальна (это значит, что при отсутствии сил  $\mathbf{w}=0$ ), то и остальные будут инерциальными ( $\mathbf{w}'$  также равно нулю).

Сила  $\mathbf{F}$ , действующая на частицу в системе  $K$ , совпадает с силой  $\mathbf{F}'$ , действующей на частицу в системе  $K'$ :  $\mathbf{F}=\mathbf{F}'$ . Это следует из того, что сила зависит от расстояний между данной частицей и действующими на нее частицами (и, возможно, от относительных скоростей частиц), а эти расстояния (и скорости) полагаются в ньютоновской механике одинаковыми во всех инерциальных системах. Масса также одинакова во всех системах.

Из всего сказанного следует вывод, что *уравнения динамики не изменяются при переходе от одной инерциальной системы отсчета к другой*, т. е., как говорят, инвариантны по отношению к преобразованию координат, соответствующему переходу от одной инерциальной системы отсчета к другой. С механической точки зрения все инерциальные системы отсчета совершенно эквивалентны: ни одной из них нельзя отдать предпочтение перед другими. Практически это проявляется в том, что никакими механическими опы-

тами, проведенными в пределах данной системы отсчета, нельзя установить, находится ли она в состоянии покоя или в состоянии равномерного и прямолинейного движения. Находясь, например, в вагоне поезда, движущегося без толчков прямолинейно и равномерно, мы, не выглянув в окно, не сможем определить, движется вагон или покоится. Свободное падение тел, движение брошенных нами тел и все другие механические процессы будут в этом случае происходить так же, как и в случае, если бы вагон был неподвижен.

Указанные обстоятельства были выяснены еще Галилеем. Положение о том, что все механические явления в различных инерциальных системах отсчета протекают одинаковым образом, вследствие чего никакими механическими опытами невозможно установить, покоится данная система отсчета или движется прямолинейно и равномерно, носит название принципа относительности Галилея.

### § 13. Силы

В современной физике различают четыре вида взаимодействий: 1) гравитационное (или взаимодействие, обусловленное всемирным тяготением), 2) электромагнитное (осуществляемое через электрические и магнитные поля), 3) сильное или ядерное (обеспечивающее связь частиц в атомном ядре) и 4) слабое (ответственное за многие процессы распада элементарных частиц).

В рамках классической механики имеют дело с гравитационными и электромагнитными силами, а также с упругими силами и силами трения. Два последних вида сил определяются характером взаимодействия между молекулами вещества. Силы взаимодействия между молекулами имеют электромагнитное происхождение. Следовательно, упругие силы и силы трения являются по своей природе электромагнитными.

Гравитационные и электромагнитные силы являются фундаментальными — их нельзя свести к другим, более простым, силам. Упругие же силы и силы трения не являются фундаментальными.

Законы фундаментальных сил чрезвычайно просты. Величина гравитационной силы определяется формулой (11.2). Величина силы, с которой взаимодействуют два покоящихся точечных заряда  $q_1$  и  $q_2$ , дается законом Кулона:

$$F = k \frac{q_1 q_2}{r^2} \quad (13.1)$$

( $k$  — коэффициент пропорциональности, зависящий от выбора единиц входящих в формулу величин).

Если заряды движутся, то, кроме силы (13.1), на них действуют магнитные силы. Магнитная сила, действующая на точечный заряд  $q$ , движущийся со скоростью  $v$  в магнитном поле с индукцией  $B$ ,

определяется формулой

$$\mathbf{F} = k'q[\mathbf{vB}] \quad (13.2)$$

( $k'$  — коэффициент пропорциональности).

Формулы (11.2), (13.1) и (13.2) являются точными. Для упругих сил и сил трения можно получить лишь приближенные эмпирические формулы, которые рассматриваются в следующих параграфах.

## § 14. Упругие силы

Под действием приложенных к нему сил всякое реальное тело деформируется, т. е. изменяет свои размеры и форму. Если после прекращения действия сил тело принимает первоначальные размеры и форму, деформация называется упругой. Упругие деформации наблюдаются в том случае, если сила, обуславливающая деформацию, не превосходит некоторый, определенный для каждого конкретного тела предел (предел упругости).

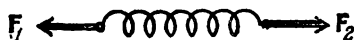


Рис. 14.1.

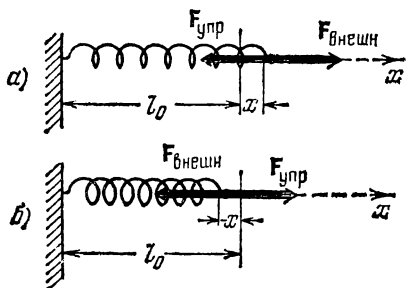


Рис. 14.2.

Возьмем пружину, имеющую в недеформированном состоянии длину  $l_0$ , и приложим к ее концам равные по величине, противоположно направленные силы  $\mathbf{F}_1$  и  $\mathbf{F}_2$  (рис. 14.1). Под действием этих сил пружина растянется на некоторую величину  $\Delta l$ , после чего наступит равновесие. В состоянии равновесия внешние силы  $\mathbf{F}_1$  и  $\mathbf{F}_2$  будут уравновешены упругими силами, возникшими в пружине в результате деформации. Опыт дает, что при небольших деформациях удлинение пружины  $\Delta l$  оказывается пропорциональным растягивающей силе:  $\Delta l \propto F$  ( $F = F_1 = F_2$ ). Соответственно упругая сила оказывается пропорциональной удлинению пружины:

$$F = k\Delta l. \quad (14.1)$$

Коэффициент пропорциональности  $k$  называется коэффициентом жесткости пружины.

Утверждение о пропорциональности между упругой силой и деформацией носит название закона Гука.

Упругие натяжения возникают во всей пружине. Любая часть пружины действует на другую часть с силой, определяемой формулой (14.1). Поэтому, если разрезать пружину пополам, та же по

величине упругая сила будет возникать в каждой из половин при в два раза меньшем удлинении. Отсюда заключаем, что при заданных материале пружины и размерах витка величина упругой силы определяется не абсолютным удлинением пружины  $\Delta l$ , а относительным удлинением  $\Delta l/l_0$ .

При сжатии пружины также возникают упругие натяжения, но другого знака. Обобщим формулу (14.1) следующим образом. Закрепим один конец пружины неподвижно (рис. 14.2), а удлинение пружины будем рассматривать как координату  $x$  другого конца, отсчитываемую от его положения, отвечающего недеформированной пружине<sup>1)</sup>. Кроме того, обозначим проекцию упругой силы  $F_{\text{упр}}$  на ось  $x$  через  $F_x$ . Тогда можно написать, что

$$F_x = -kx \quad (14.2)$$

(из рис. 14.2 видно, что проекция упругой силы на ось  $x$  и координата  $x$  всегда имеют разные знаки).

Однородные стержни ведут себя при растяжении или одностороннем сжатии подобно пружине. Если к концам стержня приложить направленные вдоль его оси силы  $F_1$  и  $F_2$  ( $F_1 = F_2 = F$ ), действие которых равномерно распределено по всему сечению, то длина стержня  $l_0$  получит положительное (при растяжении) либо отрицательное (при сжатии) приращение<sup>2)</sup>  $\Delta l$  (рис. 14.3). В качестве величины, характеризующей деформацию стержня, естественно взять относительное изменение его длины:

$$\varepsilon = \frac{\Delta l}{l_0}. \quad (14.3)$$

Опыт дает, что для стержней из данного материала относительное удлинение при упругой деформации пропорционально силе, приходящейся на единицу площади поперечного сечения стержня:

$$\varepsilon = \alpha \frac{F}{S} \quad (14.4)$$

( $\alpha$  — коэффициент пропорциональности).

Величина, равная отношению силы к величине поверхности, на которую действует сила, называется **н а п р я ж е н и е м**. Благодаря взаимодействию частей тела друг с другом напряжение передается во все точки тела — весь объем стержня оказывается в напряженном состоянии. Если сила направлена по нормали к поверхности, напряжение называется **н о р м а л ь н ы м**. Если сила

<sup>1)</sup> На рис. 14.2, б длина отрезка, на который сместился конец пружины, обозначена —  $x$ ; это вызвано тем, что длина отрезка — положительная величина, координата же  $x$  в этом случае отрицательна.

<sup>2)</sup> Изменение длины стержня сопровождается соответствующим изменением поперечных размеров стержня.

направлена по касательной к поверхности, на которую она действует, напряжение называется **т а н г е н ц и а л ь н ы м**. Нормальное напряжение принято обозначать буквой  $\sigma$ , тангенциальное — буквой  $\tau$ .

Отношение  $F/S$  в формуле (14.4) представляет собой нормальное напряжение  $\sigma$ . Следовательно, этой формуле можно придать вид:

$$\epsilon = \alpha \sigma. \quad (14.5)$$

Для характеристики упругих свойств материала пользуются величиной  $E = 1/\alpha$ , которая называется **м о д у л ь ю Ю н г а**. Измеряется эта величина в паскалях ( $1 \text{ Па} = 1 \text{ Н/м}^2$ ).

Заменяя в (14.5)  $\alpha$  на  $E$ , получим соотношение:

$$\epsilon = \sigma/E, \quad (14.6)$$

из которого следует, что модуль Юнга равен такому нормальному напряжению, при котором относительное удлинение было бы равно единице (т. е. приращение длины  $\Delta l$  было бы равно первоначальной

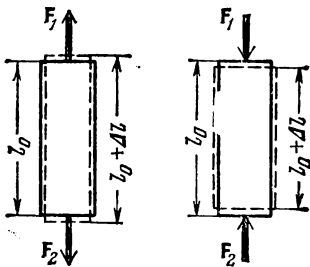


Рис. 14.3.

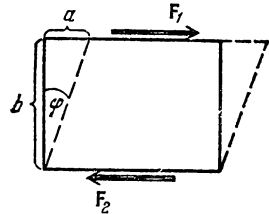


Рис. 14.4.

длине  $l_0$ ), если бы столь большие упругие деформации были возможны (в действительности при значительно меньших напряжениях происходит разрушение стержня, еще раньше достигается предел упругости).

Решив уравнение (14.4) относительно  $F$  и заменив  $\epsilon$  через  $\Delta l/l_0$ , а  $\alpha$  через  $1/E$ , получим формулу

$$F = \frac{ES}{l_0} \Delta l = k \Delta l, \quad (14.7)$$

где  $k$  — постоянный для данного стержня коэффициент. Соотношение (14.7) выражает закон Гука для стержня (ср. с (14.2)). Напомним, что этот закон выполняется только до тех пор, пока не достигается предел упругости.

В заключение рассмотрим кратко деформацию сдвига. Возьмем однородное тело, имеющее форму прямоугольного параллелепипеда, и приложим к его противолежащим граням силы  $F_1$  и  $F_2$  ( $F_1 = F_2 = F$ ), направленные параллельно этим граням (рис. 14.4).

Если действие сил будет равномерно распределено по всей поверхности соответствующей грани, то в любом сечении, параллельном этим граням, возникнет тангенциальное напряжение

$$\tau = F/S \quad (14.8)$$

( $S$  — площадь грани). Под действием напряжений тело деформируется так, что одна грань сместится относительно другой на некоторое расстояние  $a$ . Если тело мысленно разбить на элементарные параллельные рассматриваемым граням слои, то каждый слой окажется сдвинутым относительно соседних с ним слоев. По этой причине деформация такого вида получила название сдвига.

При деформации сдвига любая прямая, первоначально перпендикулярная к слоям, повернется на некоторый угол  $\varphi$ . В качестве характеристики деформации сдвига берется величина

$$\gamma = \frac{a}{b} = \operatorname{tg} \varphi, \quad (14.9)$$

называемая относительным сдвигом (смысл величин  $a$  и  $b$  ясен из рис. 14.4). При упругих деформациях угол  $\varphi$  бывает очень мал. Поэтому можно положить  $\operatorname{tg} \varphi \approx \varphi$ . Следовательно, относительный сдвиг  $\gamma$  оказывается равным углу сдвига  $\varphi$ .

Опыт показывает, что относительный сдвиг пропорционален тангенциальному напряжению:

$$\gamma = \frac{1}{G} \tau. \quad (14.10)$$

Коэффициент  $G$  зависит только от свойств материала и называется модулем сдвига. Он равен такому тангенциальному напряжению, при котором угол сдвига оказался бы равным  $45^\circ$  ( $\operatorname{tg} \varphi = 1$ ), если бы при столь больших деформациях не был превзойден предел упругости. Измеряется  $G$ , как и  $E$ , в паскалях (Па).

## § 15. Силы трения

Силы трения появляются при перемещении соприкасающихся тел или их частей друг относительно друга. Трение, возникающее при относительном перемещении двух соприкасающихся тел, называется внешним; трение между частями одного и того же сплошного тела (например, жидкости или газа) носит название внутреннего трения.

Силу трения, возникающую при движении твердого тела относительно жидкой или газообразной среды, следует отнести к категории сил внутреннего трения, поскольку в этом случае слои среды, непосредственно соприкасающиеся с телом, вовлекаются им в движение с той же скоростью, какую имеет тело, и на движение тела оказывает влияние трение между этими и внешними по отношению к ним слоями среды.

Трение между поверхностями двух твердых тел при отсутствии какой-либо прослойки, например смазки между ними, называется сухим. Трение между твердым телом и жидкой или газообразной средой, а также между слоями такой среды называется вязким (или жидким).

Применительно к сухому трению различают трение скольжения и трение качения.

Силы трения направлены по касательной к трущимся поверхностям (или слоям), причем так, что они противодействуют относительному смещению этих поверхностей (слоев). Если, например, два слоя жидкости скользят друг по другу, двигаясь с различной скоростью, то сила, приложенная к более быстро движущемуся слою, направлена в сторону, противоположную движению, а сила, действующая на слой, движущийся медленнее, направлена в сторону движения слоя.

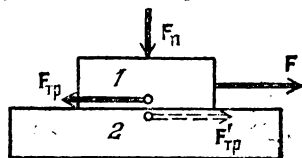


Рис. 15.1.

**Сухое трение.** В случае сухого трения сила трения возникает не только при скольжении одной поверхности по другой, но также и при попытках вызвать такое скольжение. В последнем случае она называется силой трения покоя. Рассмотрим два соприкасающихся тела 1 и 2, из которых последнее закреплено неподвижно (рис. 15.1). Тело 1 прижимается к телу 2 с силой  $F_n$ , направленной по нормали к поверхности соприкосновения тел. Она называется силой нормального давления и может быть обусловлена весом тела или другими причинами. Попробуем переместить тело 1, подействовав на него внешней силой  $F$ . При этом обнаружится, что для каждой конкретной пары тел и каждого значения силы нормального давления имеется определенное минимальное значение  $F_0$  силы  $F$ , при котором тело 1 удастся сдвинуть с места. При значениях внешней силы, заключенных в пределах  $0 < F < F_0$ , тело остается в покое. По второму закону Ньютона это возможно в том случае, если сила  $F$  уравновешивается равной ей по величине и противоположно направленной силой, которая и есть сила трения покоя  $F_{тр}$  (см. рис. 15.1). Она автоматически<sup>1)</sup> принимает значение, равное величине внешней силы  $F$  (при условии, что последняя не превосходит  $F_0$ ). Величина  $F_0$  представляет собой наибольшее значение силы трения покоя.

Отметим, что в соответствии с третьим законом Ньютона на тело 2 также действует сила трения покоя  $F'_{тр}$  (на рис. 15.1 она показана

<sup>1)</sup> Это происходит подобно тому, как пружина под действием растягивающей силы автоматически приобретает такое удлинение, при котором упругая сила уравновешивает внешнюю силу.

пунктиром), равная по величине силе  $F_{\text{тр}}$ , но имеющая противоположное ей направление.

Если внешняя сила  $F$  превзойдет по модулю  $F_0$ , тело начинает скользить, причем его ускорение определяется результирующей двух сил: внешней  $F$  и силы трения скольжения  $F_{\text{тр}}$ , величина которой в той или иной мере зависит от скорости скольжения. Характер этой зависимости определяется природой и состоянием трущихся поверхностей. Чаще всего встречающийся вид зависимости силы трения от скорости показан на рис. 15.2. График охватывает как случай покоя, так и случай скольжения. Сила трения покоя, как уже отмечалось, может иметь значения от нуля до  $F_0$ , что отражено на графике вертикальным отрезком. В соответствии с рис. 15.2 сила трения скольжения с увеличением скорости вначале несколько убывает, а затем начинает возрастать.

При специальной обработке соприкасающихся поверхностей сила трения скольжения может оказаться практически не зависящей от скорости. В этом случае криволинейный участок графика на рис. 15.2 превращается в отрезок горизонтальной прямой; начинающейся в точке  $F_0$ .

Законы сухого трения сводятся к следующему: максимальная сила трения покоя, а также сила трения скольжения не зависят от площади соприкосновения трущихся тел и оказываются приблизительно пропорциональными величине силы нормального давления, прижимающей трущиеся поверхности друг к другу:

$$F_{\text{тр}} = kF_n. \quad (15.1)$$

Безразмерный коэффициент пропорциональности  $k$  называется коэффициентом трения (соответственно покоя или скольжения). Он зависит от природы и состояния трущихся поверхностей, в частности от их шероховатости. В случае скольжения коэффициент трения является функцией скорости.

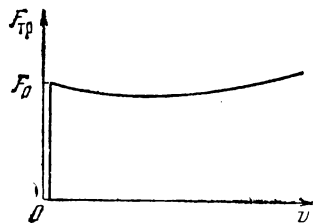


Рис. 15.2.

Силы трения играют очень большую роль в природе. В нашей повседневной жизни трение нередко оказывается полезным. Вспомним огромные затруднения, которые испытывают пешеходы и

транспорт во время гололедицы, когда трение между покрытием дороги и подошвами пешеходов или колесами транспорта значительно уменьшается. Не будь сил трения, мебель пришлось бы прикреплять к полу, как на судне во время качки, ибо она при малейшей негоризонтальности пола сползала бы в направлении покатости. Читатель может сам привести аналогичные примеры.

Во многих случаях роль трения крайне отрицательна, и приходится принимать меры к тому, чтобы по возможности его ослабить. Так обстоит, например, дело с трением в подшипниках или с трением между втулкой колеса и осью.

Наиболее радикальным способом уменьшения сил трения является замена трения скольжения трением качения, которое возникает, например, между цилиндрическим или шарообразным телом и поверхностью, по которой оно катится. Трение качения подчиняется формально тем же законам, что и трение скольжения, но коэффициент трения в этом случае оказывается значительно меньшим.

**Вязкое трение и сопротивление среды.** В отличие от сухого вязкое трение характерно тем, что сила вязкого трения обращается в нуль одновременно со скоростью. Поэтому, как бы ни была мала внешняя сила, она может сообщить относительную скорость слоям вязкой среды. Законы, которым подчиняются силы трения между слоями среды, будут рассмотрены в главе, посвященной механике жидкостей.

В этом параграфе мы ограничимся рассмотрением сил трения между твердым телом и вязкой (жидкой или газообразной) средой. Следует иметь в виду, что, помимо собственно сил трения, при движении тел в жидкой или газообразной среде возникают так называемые силы сопротивления среды, которые могут быть гораздо значительнее, чем силы трения. Не имея возможности рассматривать подробно причины возникновения этих сил, мы ограничимся изложением закономерностей, которым подчиняются силы трения и сопротивления среды совместно, причем условно будем называть суммарную силу силой трения. Зависимость этой силы от скорости показана на рис. 15.3.

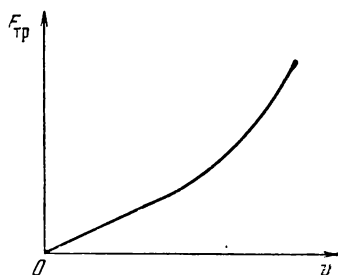


Рис. 15.3.

При небольших скоростях сила растет линейно со скоростью:

$$F_{\text{тр}} = -k_1 v \quad (15.2)$$

(знак минус означает, что эта сила направлена противоположно скорости). Величина коэффициента  $k_1$  зависит от формы и размеров тела, состояния его поверхности и от свойства среды, называемого вязкостью. Например, для глицерина этот коэффициент оказывается гораздо больше, чем для воды.

При больших скоростях линейный закон переходит в квадратичный, т. е. сила начинает расти пропорционально квадрату скорости:

$$F_{\text{тр}} = -k_2 v^2 \quad (15.3)$$

( $\mathbf{e}_v$  — орт скорости). Величина коэффициента  $k_2$  зависит от размеров и формы тела.

Значение скорости, при котором закон (15.2) переходит в (15.3), зависит от формы и размеров тела, а также от вязких свойств и плотности среды.

## § 16. Сила тяжести и вес

Под действием силы притяжения к Земле все тела падают с одинаковым относительно поверхности Земли ускорением, которое

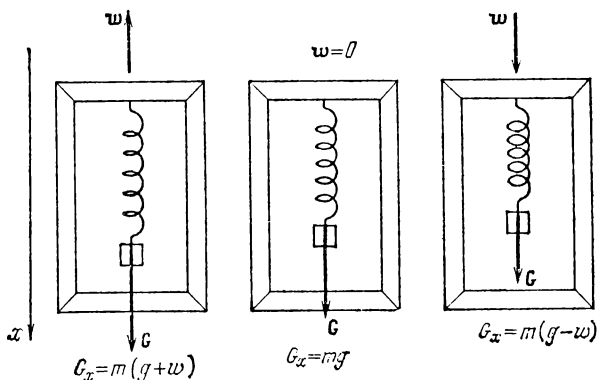


Рис. 16.1.

принято обозначать буквой  $g$ . Это означает, что в системе отсчета, связанной с Землей, на всякое тело массы  $m$  действует сила

$$\mathbf{P} = m\mathbf{g}, \quad (16.1)$$

называемая **силой тяжести**<sup>1)</sup>. Когда тело покоится относительно поверхности Земли, сила  $\mathbf{P}$  уравнивается реакцией<sup>2)</sup>  $\mathbf{F}_r$  подвеса или опоры, удерживающих тело от падения ( $\mathbf{F}_r = -\mathbf{P}$ ). По третьему закону Ньютона тело в этом случае действует на подвес или опору с силой  $\mathbf{G}$ , равной  $-\mathbf{F}_r$ , т. е. с силой

$$\mathbf{G} = \mathbf{P} = m\mathbf{g}.$$

Сила  $\mathbf{G}$ , с которой тело действует на подвес или опору, называется **весом** тела. Эта сила равна  $m\mathbf{g}$  лишь в том случае, если тело и опора (или подвес) неподвижны относительно Земли.

<sup>1)</sup> Вследствие неинерциальности системы отсчета, связанной с Землей, сила тяжести несколько отличается от силы, с которой тело притягивается Землей. Подробнее об этом будет сказано в § 33.

<sup>2)</sup> Реакциями называются силы, с которыми на данное тело действуют тела, ограничивающие его движение.

В случае их движения с некоторым ускорением  $w$  вес  $G$  не будет равен  $mg$ . Это можно уяснить на следующем примере. Пусть подвес в виде укрепленной на рамке пружины движется вместе с телом с ускорением  $w$  (рис. 16.1). Тогда уравнение движения тела будет иметь вид

$$P + F_r = mw, \quad (16.2)$$

где  $F_r$  — реакция подвеса, т. е. сила, с которой пружина действует на тело. По третьему закону Ньютона тело действует на пружину с силой, равной  $-F_r$ , которая по определению представляет собой вес тела  $G$  в этих условиях. Заменив в (16.2) реакцию  $F_r$  силой  $-G$ , а силу тяжести  $P$  — произведением  $mg$ , получим:

$$G = m(g - w). \quad (16.3)$$

Формула (16.3) определяет вес тела в общем случае. Она справедлива для подвеса или опоры любого вида.

Предположим, что тело и подвес движутся в вертикальном направлении (в этом предположении выполнен рис. 16.1).

Спроектируем (16.3) на направление отвеса:

$$G = m(g \pm w). \quad (16.4)$$

В этом выражении  $G$ ,  $g$  и  $w$  суть модули соответствующих векторов. Знак «+» соответствует  $w$ , направленному вверх, знак «—» соответствует направлению  $w$  вниз.

Из формулы (16.4) вытекает, что по модулю вес  $G$  может быть как больше, так и меньше, чем сила тяжести  $P$ . При свободном падении рамки с подвесом  $w = g$  и сила  $G$ , с которой тело действует на подвес, равна нулю. Наступает состояние невесомости. Космический корабль, летящий вокруг Земли с выключенными двигателями, движется, как и свободно падающая рамка, с ускорением  $g$ , вследствие чего тела внутри корабля находятся в состоянии невесомости — они не оказывают давления на соприкасающиеся с ними тела.

Отметим, что часто путают силу тяжести  $P$  и вес тела  $G$ . Это обусловлено тем, что в случае неподвижной опоры силы  $P$  и  $G$  совпадают по величине и по направлению (обе они равны  $mg$ ). Однако следует помнить, что эти силы приложены к разным телам:  $P$  приложена к самому телу,  $G$  приложена к подвесу или опоре, ограничивающим свободное движение тела в поле сил земного тяготения. Кроме того, сила  $P$  всегда равна  $mg$ , независимо от того, движется тело или покоится, сила же веса  $G$  зависит от ускорения, с которым движутся опора и тело, причем она может быть как больше, так и меньше  $mg$ , в частности, в состоянии невесомости она обращается в нуль.

Соотношение (16.3) между массой и весом тела дает способ сравнения масс тел путем взвешивания — отношение весов тел,

определенных в одинаковых условиях (обычно при  $w=0$ ) в одной и той же точке земной поверхности, равно отношению масс этих тел:

$$G_1:G_2:G_3:\dots = m_1:m_2:m_3:\dots$$

Как будет показано в § 33, ускорение свободного падения  $g$  и сила тяжести  $P$  зависят от широты местности. Кроме того,  $P$  и  $g$  зависят также от высоты над уровнем моря — с удалением от центра Земли они уменьшаются.

### § 17. Практическое применение законов Ньютона

Для того чтобы составить уравнение движения, нужно прежде всего установить, какие силы действуют на рассматриваемое тело.

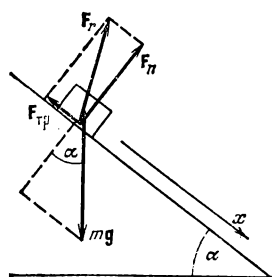


Рис. 17.1.

При этом необходимо выяснить, действие каких других тел на данное тело следует принять во внимание. Так, например, для тела, сползающего по наклонной плоскости (рис. 17.1), существенно воздействие со стороны Земли (оно характеризуется силой  $mg$ ) и воздействие со стороны плоскости (оно характеризуется силой реакции  $F_r$ ).

Ни в коем случае не следует вводить в рассмотрение «движущие», «скатывающие», «центростремительные», «центробежные» <sup>1)</sup> и тому подобные силы. Чтобы не впасть в ошибку, нужно характеризовать силы

не по вызываемому ими действию, а по «источнику», вызвавшему появление силы. Это означает, что за каждой силой нужно видеть тело, воздействием которого обусловлена сила. Тогда станет невозможной типичная ошибка, заключающаяся в том, что одна и та же сила учитывается под различными названиями дважды.

В рассматриваемом примере (см. рис. 17.1) целесообразно силу реакции  $F_r$  разложить на две составляющие — силу нормального давления  $F_n$  и силу трения  $F_{тр}$ . Это, в частности, полезно в связи с тем, что сила трения пропорциональна модулю силы  $F_n$  (см. (15.1)).

Определив силы, действующие на тело, составляют уравнение второго закона Ньютона. В нашем примере оно имеет вид:

$$mw = mg + F_r = mg + F_n + F_{тр}. \quad (17.1)$$

Чтобы осуществить вычисления, нужно перейти от векторов к их проекциям на соответствующим образом выбранные направления. При этом пользуются следующими свойствами проекций:

- 1) равные векторы имеют одинаковые проекции;
- 2) проекция вектора, получающегося умножением какого-то

<sup>1)</sup> Это не относится к термину «центробежная сила инерции» (см. § 33).

другого вектора на скаляр, равна произведению проекции этого второго вектора на скаляр;

3) проекция суммы векторов равна сумме проекций складываемых векторов (см. (2.8)).

Спроектируем векторы, входящие в уравнение (17.1), на направление  $x$ , указанное на рис. 17.1. Проекции векторов равны:  $w_x = w$  ( $w$  — модуль вектора  $\mathbf{w}$ ),  $g_x = g \sin \alpha$ ,  $F_{nx} = 0$ ,  $F_{\text{тр}x} = -kF_n = -kmg \cos \alpha$ . Следовательно, мы приходим к уравнению

$$mw = mg \sin \alpha - kmg \cos \alpha,$$

из которого легко найти  $w$ .

В более сложных случаях приходится проектировать векторы на несколько направлений и решать получившуюся систему алгебраических или дифференциальных уравнений.

## ГЛАВА III

### ЗАКОНЫ СОХРАНЕНИЯ

#### § 18. Сохраняющиеся величины

Тела, образующие механическую систему, могут взаимодействовать как между собой, так и с телами, не принадлежащими данной системе. В соответствии с этим силы, действующие на тела системы, можно подразделить на внутренние и внешние. Внутренними мы будем называть силы, с которыми на данное тело воздействуют остальные тела системы, внешними — силы, обусловленные воздействием тел, не принадлежащих системе. В случае, если внешние силы отсутствуют, система называется **замкнутой**.

Для замкнутых систем существуют такие функции координат и скоростей образующих систему частиц <sup>1)</sup>, которые сохраняют при движении постоянные значения. Эти функции носят название **интегралов движения**.

Для системы из  $N$  частиц, между которыми нет жестких связей, можно образовать  $6N - 1$  интегралов движения. Однако интерес представляют только те из них, которые обладают свойством аддитивности. Это свойство заключается в том, что значение интеграла движения для системы, состоящей из частей, взаимодействием которых можно пренебречь, равно сумме значений для каждой из частей в отдельности. Аддитивных интегралов движения имеется три. Один из них называется **энергией**, второй — **импульсом**, третий — **моментом импульса**.

Итак, для замкнутых систем оказываются неизменными (сохраняются) три физические величины: энергия, импульс и момент импульса. В соответствии с этим имеют место три **закона сохранения** — закон сохранения энергии, закон сохранения импульса и закон сохранения момента импульса. Эти законы тесно связаны с основными свойствами пространства и времени.

В основе сохранения энергии лежит **однородность времени**, т. е. равнозначность всех моментов времени. Равнознач-

---

<sup>1)</sup> Напомним, что частицей для краткости мы называем материальную точку.

ность следует понимать в том смысле, что замена момента времени  $t_1$  моментом  $t_2$  без изменения значений координат и скоростей частиц не изменяет механические свойства системы. Это означает, что после указанной замены координаты и скорости частиц имеют в любой момент времени  $t_2 + t$  такие же значения, какие они имели бы до замены в момент  $t_1 + t$ .

В основе сохранения импульса лежит однородность пространства, т. е. одинаковость свойств пространства во всех точках. Одинаковость следует понимать в том смысле, что параллельный перенос замкнутой системы из одного места пространства в другое без изменения взаимного расположения и скоростей частиц не изменяет механические свойства системы (предполагается, что на новом месте замкнутость системы не нарушается).

Наконец, в основе сохранения момента импульса лежит изотропия пространства, т. е. одинаковость свойств пространства по всем направлениям. Одинаковость следует понимать в том смысле, что поворот замкнутой системы как целого не отражается на ее механических свойствах.

Законы сохранения представляют собой мощное орудие исследования. Часто бывает, что точное решение уравнений движения оказывается крайне сложным. В этих случаях с помощью законов сохранения можно и без решения уравнений движения получить ряд важных данных о протекании механических явлений. Законы сохранения не зависят от характера действующих сил. Поэтому с их помощью можно получить ряд важных сведений о поведении механических систем даже в тех случаях, когда силы оказываются неизвестными.

В последующих параграфах мы получим законы сохранения, исходя из уравнений Ньютона. Однако следует иметь в виду, что законы сохранения обладают гораздо большей общностью, чем законы Ньютона. Законы сохранения остаются строго справедливыми даже тогда, когда законы Ньютона (в частности, третий закон) претерпевают нарушения. Подчеркнем, что законы сохранения энергии, импульса и момента импульса являются точными законами, строго выполняющимися также и в релятивистской области.

## § 19. Кинетическая энергия

Приступим к нахождению аддитивных интегралов движения. Для начала рассмотрим простейшую систему, состоящую из одной частицы (материальной точки).

Напишем уравнение движения частицы:

$$m\dot{v} = F. \quad (19.1)$$

Здесь  $F$  — результирующая сил, действующих на частицу. Умно-

жив уравнение (19.1) на перемещение частицы  $ds = v dt$ , получим:

$$m \dot{v} v dt = F ds. \quad (19.2)$$

Произведение  $\dot{v} dt$  представляет собой приращение скорости частицы  $dv$  за время  $dt$ . Соответственно

$$m \dot{v} v dt = m v dv = m d \left( \frac{v^2}{2} \right) = d \left( \frac{mv^2}{2} \right) \quad (19.3)$$

(см. (2.54)). Произведя такую замену в (19.2), придем к соотношению

$$d \left( \frac{mv^2}{2} \right) = F ds. \quad (19.4)$$

Если система замкнута, т. е.  $F=0$ , то  $d(mv^2/2)=0$ , а сама величина

$$T = \frac{mv^2}{2} \quad (19.5)$$

остается постоянной. Эта величина называется к и н е т и ч е с к о й э н е р г и е й частицы. В случае изолированной частицы кинетическая энергия является интегралом движения <sup>1)</sup>.

Умножив на  $m$  числитель и знаменатель выражения (19.5) и приняв во внимание, что произведение  $mv$  равно импульсу тела  $p$ , выражению для кинетической энергии можно придать вид:

$$T = \frac{p^2}{2m}. \quad (19.6)$$

Если на частицу действует сила  $F$ , кинетическая энергия не остается постоянной. В этом случае согласно (19.4) приращение кинетической энергии частицы за время  $dt$  равно скалярному произведению  $F ds$  ( $ds$  — перемещение частицы за время  $dt$ ). Величина

$$dA = F ds \quad (19.7)$$

называется р а б о т о й, совершаемой силой  $F$  на пути  $ds$  ( $ds$  есть модуль перемещения  $ds$ ). Скалярное произведение (19.7) можно представить в виде произведения проекции силы на направление перемещения  $F_s$  и элементарного пути  $ds$ . Следовательно, можно написать, что

$$dA = F_s ds. \quad (19.8)$$

Из сказанного ясно, что работа характеризует изменение энергии, обусловленное действием силы на движущуюся частицу.

---

<sup>1)</sup> В случае одной изолированной частицы любая степень скорости остается постоянной. Однако в случае системы нескольких взаимодействующих частиц именно величины вида (19.5) входят слагаемыми в аддитивный интеграл движения.

Проинтегрируем соотношение (19.4) вдоль некоторой траектории от точки 1 до точки 2:

$$\int_1^2 d\left(\frac{mv^2}{2}\right) = \int_1^2 \mathbf{F} \, ds.$$

Левая часть представляет собой разность значений кинетической энергии в точках 2 и 1, т. е. приращение <sup>1)</sup> кинетической энергии на пути 1—2. Учтя это, получим:

$$T_2 - T_1 = \frac{mv_2^2}{2} - \frac{mv_1^2}{2} = \int_1^2 \mathbf{F} \, ds. \quad (19.9)$$

Величина

$$A = \int_1^2 \mathbf{F} \, ds = \int_1^2 F_s \, ds \quad (19.10)$$

есть работа силы  $\mathbf{F}$  на пути 1—2. Иногда мы будем обозначать эту работу символом  $A_{12}$  вместо  $A$ .

Итак, *работа результирующей всех сил, действующих на частицу, идет на приращение кинетической энергии частицы:*

$$A_{12} = T_2 - T_1. \quad (19.11)$$

Из (19.11) следует, что энергия имеет такую же размерность, как и работа. В соответствии с этим энергия измеряется в тех же единицах, что и работа (см. следующий параграф).

## § 20. Работа

Рассмотрим величину, называемую работой, более подробно. Выражение (19.7) можно представить в виде:

$$dA = \mathbf{F} \, ds = F \cos \alpha \cdot ds, \quad (20.1)$$

где  $\alpha$  — угол между направлением силы и направлением перемещения точки приложения силы.

Если сила и направление перемещения образуют острый угол ( $\cos \alpha > 0$ ), работа положительна. Если угол  $\alpha$  — тупой ( $\cos \alpha < 0$ ),

<sup>1)</sup> Изменение какой-либо величины  $a$  можно характеризовать либо ее приращением, либо убылью. Приращением величины  $a$ , которое мы будем обозначать  $\Delta a$ , называют разность конечного ( $a_2$ ) и начального ( $a_1$ ) значений этой величины:

$$\text{приращение} = \Delta a = a_2 - a_1.$$

Убылью величины  $a$  называют разность ее начального ( $a_1$ ) и конечного ( $a_2$ ) значений

$$\text{убыль} = a_1 - a_2 = -\Delta a.$$

Убыль величины равна ее приращению, взятому с обратным знаком. Приращение и убыль — алгебраические величины.

работа отрицательна. При  $\alpha = \pi/2$  работа равна нулю. Последнее обстоятельство особенно отчетливо показывает, что понятие работы в механике существенно отличается от обыденного представления о работе. В обыденном понимании всякое усилие, в частности мускульное напряжение, всегда сопровождается совершением работы. Например, для того чтобы держать тяжелый груз, стоя неподвижно, а тем более для того, чтобы перенести этот груз по горизонтальному пути, носильщик затрачивает много усилий, т. е. «совершает работу». Однако работа как механическая величина в этих случаях равна нулю.

На рис. 20.1 показан график проекции силы на направление перемещения  $F_s$  как функции положения частицы на траектории (ось абсцисс можно назвать осью  $s$ ; длина отрезка этой оси между точками 1 и 2 равна полной длине пути). Из рисунка видно, что элементарная работа  $dA = F_s ds$  численно равна площади заштрихованной полоски, а работа  $A$  на пути 1—2 численно равна площади фигуры, ограниченной кривой  $F_s$ , вертикальными прямыми 1 и 2 и осью  $s$  (ср. с рис. 3.7).

Рис. 20.1.

Применим этот результат для нахождения работы, совершаемой при деформации пружины, подчиняющейся закону Гука (см. рис. 14.2 и формулу (14.2)). Начнем с растяжения пружины. Растяже-

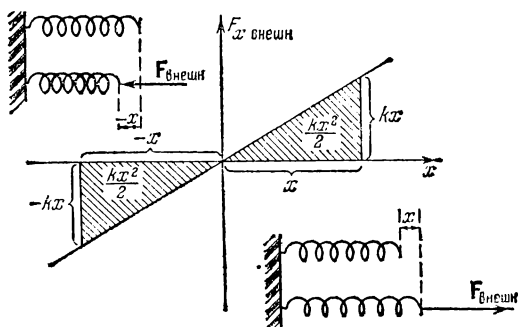


Рис. 20.2.

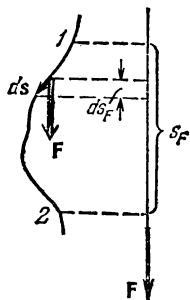


Рис. 20.3.

ние будем производить очень медленно, чтобы силу  $F_{\text{внешн}}$ , с которой мы действуем на пружину, можно было считать все время равной по величине упругой силе  $F_{\text{упр}}$ . Тогда  $F_{x \text{ внешн}} = -F_{x \text{ упр}} = -kx$ , где  $x$  — удлинение пружины (рис. 20.2). Из рисунка видно, что работа, которую нужно совершить, чтобы вызвать удлинение

пружины  $x$ , равна

$$A = \frac{kx^2}{2}. \quad (20.2)$$

При сжатии пружины на величину  $x$  совершается такая же по величине и знаку работа, как и при растяжении на величину  $x$ . Проекция силы  $\mathbf{F}_{\text{внешн}}$  в этом случае отрицательна ( $\mathbf{F}_{\text{внешн}}$  направлена влево,  $x$  растет вправо, см. рис. 20.2), все  $dx$  тоже отрицательны, вследствие чего произведение  $F_{x \text{ внешн}} dx$  положительно.

Аналогично можно найти выражение для работы, совершаемой при упругом растяжении или сжатии стержня. В соответствии с формулой (14.7) эта работа равна

$$A = \frac{1}{2} \frac{ES}{l_0} (\Delta l)^2 = \frac{1}{2} ES l_0 \left( \frac{\Delta l}{l_0} \right)^2 = \frac{1}{2} EV \varepsilon^2, \quad (20.3)$$

где  $V = Sl_0$  — объем стержня, а  $\varepsilon = \Delta l / l_0$  — относительное удлинение (см. (14.3)).

Пусть на тело действуют одновременно несколько сил, результирующая которых равна  $\mathbf{F} = \sum_i \mathbf{F}_i$ . Из дистрибутивности скалярного произведения векторов (см. (2.22)) вытекает, что работа  $dA$ , совершаемая результирующей силой на пути  $ds$ , может быть представлена в виде

$$dA = \left( \sum_i \mathbf{F}_i \right) ds = \sum_i \mathbf{F}_i ds = \sum_i dA_i. \quad (20.4)$$

Это означает, что работа результирующей нескольких сил равна алгебраической сумме работ, совершаемых каждой из сил в отдельности.

Элементарное перемещение  $ds$  может быть представлено как  $\mathbf{v} dt$ . Поэтому выражению для элементарной работы можно придать вид

$$dA = \mathbf{F} \mathbf{v} dt. \quad (20.5)$$

Тогда работа, совершаемая за промежуток времени от  $t_1$  до  $t_2$ , может быть вычислена по формуле

$$A = \int_{t_1}^{t_2} \mathbf{F} \mathbf{v} dt. \quad (20.6)$$

В соответствии с (2.21)  $\mathbf{F} ds = F ds_F$ , где  $ds_F$  — проекция элементарного перемещения  $ds$  на направление силы  $\mathbf{F}$ . Поэтому формулу для работы можно написать следующим образом:

$$dA = F ds_F. \quad (20.7)$$

Если сила имеет постоянные величину и направление (рис. 20.3), вектор  $\mathbf{F}$  в выражении для работы можно вынести за знак интеграла,

в результате чего получится формула

$$A = F \int_1^2 ds = Fs = Fs_F, \quad (20.8)$$

где  $s$  — вектор перемещения из точки 1 в точку 2, а  $s_F$  — его проекция на направление силы.

Работа, совершаемая в единицу времени, называется мощностью. Если за время  $dt$  совершается работа  $dA$ , то мощность равна

$$P = \frac{dA}{dt}. \quad (20.9)$$

Взяв  $dA$  в виде (20.5), получим для мощности выражение

$$P = Fv, \quad (20.10)$$

согласно которому мощность равна скалярному произведению вектора силы на вектор скорости, с которой движется точка приложения силы.

**Единицы работы и мощности.** В качестве единицы работы служит работа, совершаемая силой, равной единице и действующей в направлении перемещения, на пути, равном единице. Соответственно

1) в СИ единицей работы является джоуль (Дж), который равен работе, совершаемой силой в 1 Н на пути в 1 м;

2) в СГС-системе — эрг, равный работе, совершаемой силой в 1 дин на пути в 1 см;

3) в МКГСС-системе — килограмм-сила-метр (кгс·м), равный работе, совершаемой силой в 1 кгс на пути в 1 м.

Между единицами работы имеются соотношения:

$$\begin{aligned} 1 \text{ Дж} &= 1 \text{ Н} \cdot 1 \text{ м} = 10^5 \text{ дин} \cdot 10^2 \text{ см} = 10^7 \text{ эрг}; \\ 1 \text{ кгс} \cdot \text{м} &= 1 \text{ кгс} \cdot 1 \text{ м} = 9,81 \text{ Н} \cdot 1 \text{ м} = 9,81 \text{ Дж}. \end{aligned}$$

За единицу мощности принимается такая мощность, при которой в единицу времени совершается работа, равная единице. В СИ единицей мощности является ватт (Вт), равный джоулю в секунду (Дж/с). Единица мощности в СГС-системе (эрг/с) специального названия не имеет. Соотношение между ваттом и эрг/с:

$$1 \text{ Вт} = 10^7 \text{ эрг/с}.$$

В МКГСС-системе единицей мощности служит лошадиная сила (л. с.), равная 75 килограмм-сила-метрам в секунду,  $1 \text{ л. с.} = 736 \text{ Вт}$ .

Кроме указанных единиц измерения, применяются кратные и дольные единицы. Их наименования и обозначения образуются из наименования и обозначения основной единицы и приставок, ука-

занных в табл. 20.1. В таблице указаны также множители, с помощью которых соответствующие кратные и дольные единицы образуются из основных.

Таблица 20.1. Наименования и обозначения приставок, употребляемых для образования кратных и дольных единиц

Наименование	Обозначение	Множитель	Наименование	Обозначение	Множитель
тера	Т	$10^{12}$	санти	с	$10^{-2}$
гига	Г	$10^9$	милли	м	$10^{-3}$
мега	М	$10^6$	микро	мк	$10^{-6}$
кило	к	$10^3$	нано	н	$10^{-9}$
гекто	г	$10^2$	пико	п	$10^{-12}$
дека	да	$10^1$	фемто	ф	$10^{-15}$
деци	д	$10^{-1}$	атто	а	$10^{-18}$

Например, единица работы, именуемая мегаджоулем, эквивалентна  $10^6$  джоулям ( $1 \text{ МДж} = 10^6 \text{ Дж}$ ), а единица мощности, именуемая микроваттом, эквивалентна  $10^{-6}$  ватта ( $1 \text{ мкВт} = 10^{-6} \text{ Вт}$ ). Аналогично:  $1 \text{ мкм} = 10^{-6} \text{ м}$ ,  $1 \text{ пН} = 10^{-12} \text{ Н}$ .

## § 21. Консервативные силы

Если частица в каждой точке пространства подвержена воздействию других тел, то говорят, что эта частица находится в поле сил. Так, например, частица вблизи поверхности Земли находится в поле сил тяжести — в каждой точке пространства на нее действует сила  $P = mg$ .

В качестве второго примера рассмотрим заряженную частицу  $e$ , находящуюся в электрическом поле, возбуждаемом неподвижным

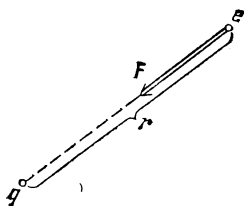


Рис. 21.1.

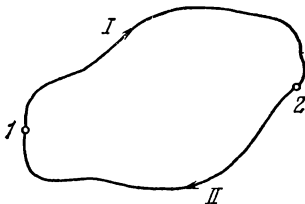


Рис. 21.2.

точечным зарядом  $q$  (рис. 21.1). Это поле характерно тем, что направление силы, действующей на частицу в любой точке пространства, проходит через неподвижный центр (заряд  $q$ ), а величина силы

зависит только от расстояния до этого центра:  $F=F(r)$  (см. формулу (13.1)). Поле сил, обладающее такими свойствами, называется **центр а л ь н ы м**.

Если во всех точках поля силы, действующие на частицу, одинаковы по величине и направлению ( $F=\text{const}$ ), поле называется **о д н о р о д н ы м**.

Поле, изменяющееся со временем, называется **н е с т а ц и о н а р н ы м**. Поле, остающееся постоянным во времени, называют **с т а ц и о н а р н ы м**.

Для стационарного поля может оказаться, что работа, совершаемая над частицей силами поля, зависит лишь от начального и конечного положений частицы и не зависит от пути, по которому двигалась частица. Силы, обладающие таким свойством, называются **к о н с е р в а т и в н ы м и**.

Из независимости работы консервативных сил от пути вытекает, что работа таких сил на замкнутом пути равна нулю. Чтобы доказать это, разобьем произвольный замкнутый путь на две части: путь  $I$ , по которому частица переходит из точки  $1$  в точку  $2$ , и путь  $II$ , по которому тело переходит из точки  $2$  в точку  $1$ , причем точки  $1$  и  $2$  выберем произвольно (рис. 21.2). Работа на всем замкнутом пути равна сумме работ, совершаемых на каждом из участков:

$$A = (A_{12})_I + (A_{21})_{II}. \quad (21.1)$$

Легко сообразить, что работы  $(A_{21})_{II}$  и  $(A_{12})_{II}$  отличаются только знаком. Действительно, изменение направления движения на обратное приводит к замене  $ds$  на  $-ds$ , вследствие чего значение интеграла  $\int F ds$  изменяет знак на обратный. Таким образом, равенство (21.1) можно записать в виде

$$A = (A_{12})_I - (A_{12})_{II},$$

и, поскольку работа не зависит от пути, т. е.  $(A_{12})_I = (A_{12})_{II}$ , мы приходим к выводу, что  $A=0$ .

Из равенства нулю работы на замкнутом пути легко получить, что работа  $A_{12}$  не зависит от пути. Это можно сделать, обратив ход проведенных выше рассуждений.

Таким образом, консервативные силы можно определить двумя способами:

- 1) как силы, работа которых не зависит от пути, по которому частица переходит из одного положения в другое;
- 2) как силы, работа которых на любом замкнутом пути равна нулю.

Докажем, что сила тяжести является консервативной. Эта сила в любой точке имеет одинаковую величину и одинаковое направление — вниз по вертикали (рис. 21.3). Поэтому, независимо от того, по какому из путей (например,  $I$  или  $II$ ; см. рисунок) движет-

ся частица, работа  $A_{12}$  согласно (20.8) определяется выражением

$$A_{12} = mgs_{12} = mg(s_{12})_{\text{пр. } g}.$$

Из рис. 21.3 видно, что проекция вектора  $s_{12}$  на направление  $g$  равна разности высот  $h_1 - h_2$ . Следовательно, выражение для работы можно написать в виде

$$A_{12} = mg(h_1 - h_2). \quad (21.2)$$

Последнее выражение, очевидно, не зависит от пути; отсюда следует, что сила тяжести консервативна.

Легко сообразить, что такой же результат получается для всякого стационарного однородного поля.

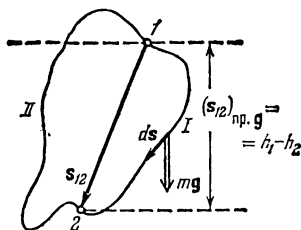


Рис. 21.3.

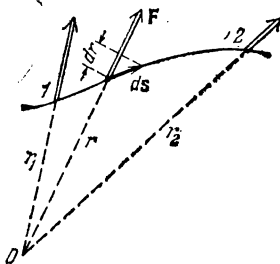


Рис. 21.4.

Силы, действующие на частицу в центральном поле, также консервативны. Согласно формуле (20.7) элементарная работа на пути  $ds$  (рис. 21.4) равна

$$dA = F(r) ds_F.$$

Но проекция  $ds$  на направление силы в данном месте, т. е. на направление радиуса-вектора  $r$ , равна  $dr$  — приращению расстояния частицы от силового центра  $O$ :  $ds_F = dr$ . Поэтому  $dA = F(r)dr$ , а работа на всем пути

$$A_{12} = \int_{r_1}^{r_2} F(r) dr. \quad (21.3)$$

Последнее выражение зависит только от вида функции  $F(r)$  и от значений  $r_1$  и  $r_2$ . От вида траектории оно никак не зависит, откуда следует, что силы консервативны.

Чтобы у читателя не возникло ошибочное представление, будто любая сила, зависящая только от координат точки, является консервативной, рассмотрим следующий пример. Пусть компоненты силы определяются формулами

$$F_x = ay, \quad F_y = -ax, \quad F_z = 0. \quad (21.4)$$

Эта сила имеет модуль, равный  $F=ar$ , и направлена по касательной к окружности радиуса  $r$  (рис. 21.5). Действительно, как следует из рисунка, для силы такой величины и направления

$$F_x = ar \cos \left( \frac{\pi}{2} - \alpha \right) = ar \sin \alpha = ar \frac{y}{r} = ay,$$

$$F_y = ar \cos (\pi - \alpha) = -ar \cos \alpha = -ar \frac{x}{r} = -ax,$$

что совпадает со значениями (21.4). Возьмем замкнутый путь в виде окружности радиуса  $r$  с центром в начале координат. Работа силы на этом пути, очевидно, равна  $F \cdot 2\pi r = ar \cdot 2\pi r = 2\pi ar^2$ , т. е. отлична от нуля. Следовательно, сила неконсервативна.

Типичными неконсервативными силами являются силы трения.

Так как сила трения  $\mathbf{F}$  и скорость частицы  $\mathbf{v}$  имеют противоположные направления <sup>1)</sup>, работа силы трения на каждом участке пути отрицательна:

$$dA = \mathbf{F} d\mathbf{s} = \mathbf{F} \mathbf{v} dt = -Fv dt = -F ds < 0.$$

Поэтому будет отрицательной (т. е. отличной от нуля) и работа на любом замкнутом пути. Отсюда вытекает, что силы трения не консервативны.

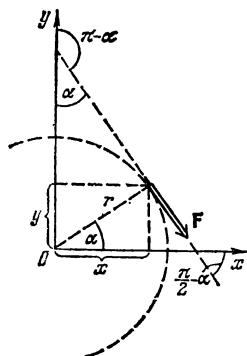


Рис. 21.5.

Отметим, что поле консервативных сил является частным случаем потенциального силового поля. Поле сил называется *потенциальным*, если его можно описать с помощью функции  $\Pi(x, y, z, t)$ , градиент которой (см. следующий параграф, формулу (22.6)) определяет силу в каждой точке поля:  $\mathbf{F} = \nabla \Pi$  (ср. с. (22.7)). Функция  $\Pi$  называется *потенциальной функцией* или *потенциалом*. В случае, когда потенциал не зависит явно от времени, т. е.  $\Pi = \Pi(x, y, z)$ , потенциальное поле оказывается стационарным, а его силы — консервативными. В этом случае

$$\Pi(x, y, z) = -U(x, y, z),$$

где  $U(x, y, z)$  — потенциальная энергия частицы (см. следующий параграф).

Для нестационарного силового поля, описываемого потенциалом  $\Pi(x, y, z, t)$ , отождествлять потенциальные и консервативные силы нельзя.

<sup>1)</sup> Здесь имеется в виду случай трения между движущимся телом и неподвижными (относительно системы отсчета) телами. В некоторых случаях работа силы трения может оказаться положительной. Это бывает, например, когда сила трения обусловлена взаимодействием данного тела с другим, движущимся в том же направлении, но с большей скоростью.

## § 22. Потенциальная энергия во внешнем поле сил

В случае, когда работа сил поля не зависит от пути, а зависит лишь от начального и конечного положений частицы, каждой точке поля можно сопоставить значение некоторой функции  $U(x, y, z)$  такой, что разность значений этой функции в точках 1 и 2 будет определять работу сил при переходе частицы из первой точки во вторую:

$$A_{12} = U_1 - U_2. \quad (22.1)$$

Это сопоставление можно осуществить следующим образом. Нечеткой исходной точке  $O$  припишем произвольное значение функции, равное  $U_0$ . Любой другой точке  $P$  припишем значение

$$U(P) = U_0 + A_{PO}, \quad (22.2)$$

где  $A_{PO}$  — работа, совершаемая над частицей консервативными силами при перемещении частицы из точки  $P$  в точку  $O$ . Поскольку работа не зависит от пути, определенное таким способом значение  $U(P)$  будет однозначным. Отметим, что функция  $U(P)$  имеет размерность работы (или энергии).

В соответствии с (22.2) значения функции в точках 1 и 2 равны

$$U_1 = U_0 + A_{1O}; \quad U_2 = U_0 + A_{2O}.$$

Образум разность этих значений и примем во внимание, что  $A_{2O} = -A_{O2}$  (см. предыдущий параграф). В результате получим

$$U_1 - U_2 = A_{1O} - A_{2O} = A_{1O} + A_{O2}.$$

Сумма  $A_{1O} + A_{O2}$  дает работу, совершаемую силами поля при перемещении частицы из точки 1 в точку 2 по траектории, проходящей через точку  $O$ . Однако работа, совершаемая над частицей при ее перемещении из точки 1 в точку 2 по любой другой траектории (в том числе и не проходящей через точку  $O$ ), будет такой же самой. Поэтому сумму  $A_{1O} + A_{O2}$  можно написать просто в виде  $A_{12}$ . В итоге получится соотношение (22.1).

Таким образом, с помощью функции  $U$  можно определять работу, совершаемую над частицей консервативными силами на любом пути, начинающемся в произвольной точке 1 и заканчивающемся в произвольной точке 2.

Пусть на частицу действуют только консервативные силы. Тогда работа, совершаемая над частицей на пути 1—2, может быть представлена в виде (22.1). Согласно формуле (19.11) эта работа идет на приращение кинетической энергии частицы. Таким образом, мы приходим к равенству

$$T_2 - T_1 = U_1 - U_2,$$

из которого следует, что

$$T_2 + U_2 = T_1 + U_1.$$

Полученный результат означает, что величина

$$E = T + U \quad (22.3)$$

для частицы, находящейся в поле консервативных сил, остается постоянной, т. е. является интегралом движения.

Из (22.3) следует, что  $U$  входит слагаемым в интеграл движения, имеющий размерность энергии. В связи с этим функцию  $U(x, y, z)$  называют *потенциальной энергией* частицы во внешнем поле сил. Величину  $E$ , равную сумме кинетической и потенциальной энергий, называют *полной механической энергией* частицы.

В соответствии с (22.1) работа, совершаемая над частицей консервативными силами, равна убыли потенциальной энергии частицы. Иначе можно сказать, что работа совершается за счет запаса потенциальной энергии.

Из (22.2) вытекает, что потенциальная энергия оказывается определенной с точностью до некоторой неизвестной аддитивной постоянной  $U_0$ . Однако это обстоятельство не имеет никакого значения, так как во все физические соотношения входит либо разность значений  $U$  в двух положениях тела, либо производная функции  $U$  по координатам. Практически условились считать потенциальную энергию тела в каком-то положении равной нулю, а энергию в других положениях брать по отношению к этой энергии.

Зная вид функции  $U(x, y, z)$ , можно найти силу, действующую на частицу в каждой точке поля. Рассмотрим перемещение частицы параллельно оси  $x$  на  $dx$ . Такое перемещение сопровождается совершением над частицей работы, равной  $dA = \mathbf{F} \cdot d\mathbf{s} = F_x dx$  (компоненты перемещения  $dy$  и  $dz$  равны нулю). Согласно (22.1) та же работа может быть представлена как убыль потенциальной энергии:  $dA = -dU$ . Приравняв оба выражения для работы, получим, что

$$F_x dx = -dU.$$

Отсюда

$$F_x = -\frac{dU}{dx} \quad (y = \text{const}, \quad z = \text{const}).$$

Выражение, стоящее справа, представляет собой производную функции  $U(x, y, z)$ , вычисленную в предположении, что переменные  $y$  и  $z$  остаются неизменными, а изменяется лишь переменная  $x$ . Подобные производные называются частными и обозначаются, в отличие от производных функций одной переменной, символом  $\frac{\partial U}{\partial x}$ . Следовательно, компонента силы по оси  $x$  равна взятой с обратным знаком частной производной потенциальной энергии по переменной  $x$ :  $F_x = -\frac{\partial U}{\partial x}$ . Для компонент силы по осям  $y$  и  $z$  получаются ана-

логичные выражения. Таким образом,

$$F_x = -\frac{\partial U}{\partial x}, \quad F_y = -\frac{\partial U}{\partial y}, \quad F_z = -\frac{\partial U}{\partial z}. \quad (22.4)$$

Зная компоненты, можно найти вектор силы:

$$\mathbf{F} = F_x \mathbf{e}_x + F_y \mathbf{e}_y + F_z \mathbf{e}_z = -\frac{\partial U}{\partial x} \mathbf{e}_x - \frac{\partial U}{\partial y} \mathbf{e}_y - \frac{\partial U}{\partial z} \mathbf{e}_z. \quad (22.5)$$

Вектор с компонентами  $\partial\varphi/\partial x$ ,  $\partial\varphi/\partial y$ ,  $\partial\varphi/\partial z$ , где  $\varphi$  — скалярная функция координат  $x$ ,  $y$ ,  $z$ , называется **г р а д и е н т о м** функции  $\varphi$  и обозначается символом

$\text{grad } \varphi$  либо  $\nabla\varphi$

( $\nabla$  называется **о п е р а т о р о м** **н а б л а**,  $\nabla\varphi$  читается: «градиент фи»). Из определения градиента следует, что

$$\nabla\varphi = \frac{\partial\varphi}{\partial x} \mathbf{e}_x + \frac{\partial\varphi}{\partial y} \mathbf{e}_y + \frac{\partial\varphi}{\partial z} \mathbf{e}_z. \quad (22.6)$$

Сравнение (22.5) с (22.6) показывает, что консервативная сила равна градиенту потенциальной энергии, взятому с обратным знаком:

$$\mathbf{F} = -\nabla U. \quad (22.7)$$

Пусть частица, на которую действует сила (22.7), перемещается на отрезок  $ds$ , имеющий компоненты  $dx$ ,  $dy$ ,  $dz$ . При этом сила совершает работу

$$dA = \mathbf{F} ds = -\nabla U ds = -\left(\frac{\partial U}{\partial x} dx + \frac{\partial U}{\partial y} dy + \frac{\partial U}{\partial z} dz\right).$$

Приняв во внимание, что  $dA = -dU$ , получим для приращения функции  $U$  следующее выражение:

$$dU = \frac{\partial U}{\partial x} dx + \frac{\partial U}{\partial y} dy + \frac{\partial U}{\partial z} dz. \quad (22.8)$$

Выражение вида (22.8) называется полным дифференциалом соответствующей функции.

Понятие полного дифференциала играет в физике большую роль. Поэтому уделим ему несколько строк. **П о л н ы м** **д и ф ф е р е н ц и а л о м** однозначной функции  $f(x, y, z)$  называется приращение, которое получает эта функция при переходе от точки с координатами  $x, y, z$  в соседнюю точку с координатами  $x+dx, y+dy, z+dz$ . По определению это приращение равно

$$df(x, y, z) = f(x+dx, y+dy, z+dz) - f(x, y, z)$$

и, следовательно, определяется лишь значениями функции в начальной и конечной точках. Поэтому оно не может зависеть от пути, по которому происходит переход. Возьмем в качестве такого пути

ломаную линию, состоящую из отрезков  $dx$ ,  $dy$  и  $dz$  (рис. 22.1). На отрезке  $dx$  функция  $f(x, y, z)$  ведет себя как функция одной лишь переменной  $x$  и получает приращение  $(\partial f/\partial x)dx$ . Аналогично на отрезках  $dy$  и  $dz$  функция получает приращения  $(\partial f/\partial y)dy$  и  $(\partial f/\partial z)dz$ .

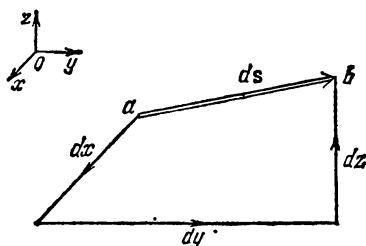


Рис. 22.1.

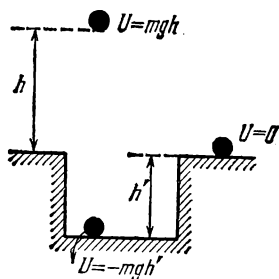


Рис. 22.2.

Таким образом, полное приращение функции при переходе из начальной точки в конечную равно

$$df(x, y, z) = \frac{\partial f}{\partial x} dx + \frac{\partial f}{\partial y} dy + \frac{\partial f}{\partial z} dz. \quad (22.9)$$

Мы пришли к выражению для полного дифференциала (ср. с (22.8)).

Не всякое выражение вида

$$P(x, y, z) dx + Q(x, y, z) dy + R(x, y, z) dz$$

представляет собой полный дифференциал некоторой функции  $f(x, y, z)$ . В частности, выражение для работы, совершаемой силой (21.4),

$$dA = ay dx - ax dy \quad (22.10)$$

не является полным дифференциалом — не существует такой функции  $U$ , для которой  $-\partial U/\partial x = ay$ , а  $-\partial U/\partial y = -ax$  (см. (21.4)). Соответственно не существует функции  $U$ , убыль которой определяла бы работу (22.10).

Из сказанного вытекает, что консервативными могут быть только силы, удовлетворяющие условию (22.7), т. е. такие силы, компоненты которых по координатным осям равны взятым с обратным знаком частным производным некоторой функции  $U(x, y, z)$  по соответствующим координатам. Эта функция представляет собой потенциальную энергию частицы.

Конкретный вид функции  $U(x, y, z)$  зависит от характера силового поля. Найдем в качестве примера потенциальную энергию частицы в поле сил тяжести. Согласно (21.2) работа, совершаемая над частицей силами этого поля, равна

$$A_{12} = mg(h_1 - h_2).$$

С другой стороны, согласно (22.1)

$$A_{12} = U_1 - U_2.$$

Сравнив оба выражения для работы, придем к заключению, что потенциальная энергия частицы в поле сил тяжести определяется выражением

$$U = mgh, \quad (22.11)$$

где  $h$  отсчитывается от произвольного уровня.

Начало отсчета потенциальной энергии можно выбирать произвольно. Поэтому  $U$  может иметь отрицательные значения. Если, например, принять за нуль потенциальную энергию частицы, находящейся на поверхности Земли, то потенциальная энергия частицы, лежащей на дне ямы глубины  $h'$ , будет равна  $U = -mgh'$  (рис. 22.2). Отметим, что кинетическая энергия не может быть отрицательной.

Пусть на частицу, кроме консервативных сил, действует также неконсервативная сила  $\mathbf{F}^*$ . Тогда при переходе частицы из точки 1 в точку 2 над ней будет совершаться работа

$$A_{12} = \int_1^2 \mathbf{F} ds + \int_1^2 \mathbf{F}^* ds = A_{\text{консерв}} + A_{12}^*,$$

где  $A_{12}^*$  — работа неконсервативной силы. Работу консервативных сил  $A_{\text{консерв}}$  можно представить как  $U_1 - U_2$ . В результате получим, что

$$A_{12} = U_1 - U_2 + A_{12}^*.$$

Суммарная работа всех приложенных к частице сил идет на приращение кинетической энергии частицы (см. (19.11)). Следовательно,

$$T_2 - T_1 = U_1 - U_2 + A_{12}^*,$$

откуда, приняв во внимание, что  $T + U = E$ , получаем

$$E_2 - E_1 = A_{12}^*. \quad (22.12)$$

Полученный результат означает, что работа неконсервативных сил затрачивается на приращение полной механической энергии частицы.

В случае, если в конечном и начальном положениях кинетическая энергия частицы одинакова (в частности, равна нулю), работа неконсервативных сил идет на приращение потенциальной энергии частицы:

$$A_{12}^* = U_2 - U_1 \quad (T_2 = T_1). \quad (22.13)$$

Это соотношение бывает полезно при нахождении разности значений потенциальной энергии.

Рассмотрим систему, состоящую из  $N$  невзаимодействующих между собой частиц, находящихся в поле консервативных сил. Каж-

дая из частиц обладает кинетической энергией  $T_i = 1/2 m_i v_i^2$  ( $i$  — номер частицы) и потенциальной энергией  $U_i = U_i(x_i, y_i, z_i)$ . Рассматривая  $i$ -ю частицу независимо от других частиц, можно получить, что

$$E_i = T_i + U_i = \text{const}_i.$$

Просуммировав это равенство по всем частицам, придем к соотношению

$$E = \sum_{i=1}^N E_i = \sum_{i=1}^N T_i + \sum_{i=1}^N U_i = \text{const}. \quad (22.14)$$

Из этого соотношения следует аддитивность полной механической энергии для рассматриваемой системы.

Согласно (22.14) *полная механическая энергия системы невзаимодействующих частиц, на которые действуют только консервативные силы, остается постоянной*. Это утверждение выражает закон сохранения энергии для указанной механической системы.

Если, кроме консервативных сил, на частицы действуют неконсервативные силы  $\mathbf{F}_i^*$ , полная энергия системы не остается постоянной, причем

$$E_2 - E_1 = \sum_{i=1}^N (A_{12}^*)_i, \quad (22.15)$$

где  $(A_{12}^*)_i$  — работа, совершаемая неконсервативной силой, приложенной к  $i$ -й частице, при перемещении этой частицы из ее начального положения в конечное.

В конце предыдущего параграфа мы установили, что работа сил трения всегда отрицательна. Поэтому при наличии в системе сил трения полная механическая энергия системы уменьшается (рассеивается), переходя в немеханические формы энергии (например, во внутреннюю энергию тел, или, как принято говорить, в тепло). Такой процесс называется *диссипацией* энергии (латинское слово «диссипация» означает рассеяние). Силы, приводящие к диссипации энергии, называются *диссипативными*. Таким образом, силы трения являются диссипативными. В общем случае диссипативными называются силы, всегда направленные противоположно скоростям частиц и, следовательно, вызывающие их торможение.

Отметим, что неконсервативные силы не обязательно являются диссипативными.

## § 23. Потенциальная энергия взаимодействия

До сих пор мы рассматривали системы невзаимодействующих частиц. Теперь перейдем к рассмотрению системы из двух взаимодействующих друг с другом частиц. Обозначим силу, с которой вто-

рая частица действует на первую, символом  $\mathbf{F}_{12}$ , а силу, с которой первая частица действует на вторую, — символом  $\mathbf{F}_{21}$ . В соответствии с третьим законом Ньютона  $\mathbf{F}_{12} = -\mathbf{F}_{21}$ .

Введем вектор  $\mathbf{R}_{12} = \mathbf{r}_2 - \mathbf{r}_1$ , где  $\mathbf{r}_1$  и  $\mathbf{r}_2$  — радиусы-векторы частиц (рис. 23.1). Расстояние между частицами равно модулю этого вектора. Допустим, что силы  $\mathbf{F}_{12}$  и  $\mathbf{F}_{21}$  имеют величину, зависящую только от расстояния  $R_{12}$  между частицами, и направлены

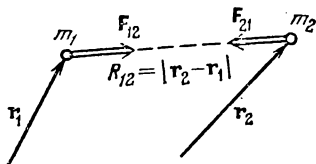


Рис. 23.1.

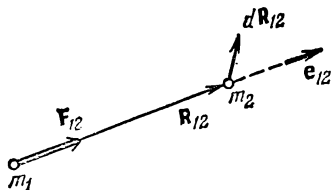


Рис. 23.2.

вдоль соединяющей частицы прямой. Это, как мы знаем, справедливо для сил гравитационного и кулоновского взаимодействий (см. формулы (11.2) и (13.1)).

При сделанных допущениях силы  $\mathbf{F}_{12}$  и  $\mathbf{F}_{21}$  можно представить в виде

$$\mathbf{F}_{12} = f(R_{12}) \mathbf{e}_{12}, \quad \mathbf{F}_{21} = -f(R_{12}) \mathbf{e}_{12}, \quad (23.1)$$

где  $\mathbf{e}_{12}$  — орт вектора  $\mathbf{R}_{12}$  (рис. 23.2), а  $f(R_{12})$  — некоторая функция  $R_{12}$ , положительная в случае взаимного притяжения частиц и отрицательная в случае их отталкивания друг от друга.

Считая систему замкнутой (внешних сил нет), напишем уравнения движения обеих частиц:

$$m_1 \dot{\mathbf{v}}_1 = \mathbf{F}_{12}, \quad m_2 \dot{\mathbf{v}}_2 = \mathbf{F}_{21}.$$

Умножим первое уравнение на  $d\mathbf{r}_1 = \mathbf{v}_1 dt$ , второе — на  $d\mathbf{r}_2 = \mathbf{v}_2 dt$  и сложим их вместе<sup>1)</sup>. В результате получится соотношение

$$m_1 \mathbf{v}_1 \dot{\mathbf{v}}_1 dt + m_2 \mathbf{v}_2 \dot{\mathbf{v}}_2 dt = \mathbf{F}_{12} d\mathbf{r}_1 + \mathbf{F}_{21} d\mathbf{r}_2. \quad (23.2)$$

Левая часть этого соотношения представляет собой приращение кинетической энергии системы за время  $dt$  (см. (19.3)), правая часть — работу внутренних сил за то же время.

С учетом выражений (23.1) правую часть формулы (23.2) можно преобразовать следующим образом:

$$\begin{aligned} dA_{\text{внутр}} &= \mathbf{F}_{12} d\mathbf{r}_1 + \mathbf{F}_{21} d\mathbf{r}_2 = f(R_{12}) \mathbf{e}_{12} d\mathbf{r}_1 - f(R_{12}) \mathbf{e}_{12} d\mathbf{r}_2 = \\ &= -f(R_{12}) \mathbf{e}_{12} d(\mathbf{r}_2 - \mathbf{r}_1) = -f(R_{12}) \mathbf{e}_{12} d\mathbf{R}_{12}. \end{aligned} \quad (23.3)$$

Из рис. 23.2 видно, что скалярное произведение  $\mathbf{e}_{12} d\mathbf{R}_{12}$  равно

<sup>1)</sup> В данном случае целесообразно обозначить перемещение частицы через  $d\mathbf{r}$  вместо  $d\mathbf{s}$ .

$dR_{12}$  — приращению расстояния между частицами. Таким образом,

$$dA_{\text{внутр}} = -f(R_{12})dR_{12}. \quad (23.4)$$

Выражение  $f(R_{12})dR_{12}$  можно рассматривать как приращение некоторой функции от  $R_{12}$ . Обозначив эту функцию через  $U(R_{12})$ , придем к равенству

$$f(R_{12})dR_{12} = dU(R_{12}). \quad (23.5)$$

Следовательно,

$$dA_{\text{внутр}} = -dU. \quad (23.6)$$

С учетом всего сказанного выражение (23.2) можно представить в виде  $dT = -dU$  или

$$dE = d(T + U) = 0, \quad (23.7)$$

откуда следует, что величина  $E = T + U$  для рассматриваемой замкнутой системы сохраняется. Функция  $U(R_{12})$  представляет собой потенциальную энергию взаимодействия. Она зависит от расстояния между частицами.

Пусть частицы переместились из положений, в которых расстояние между ними было равно  $R_{12}^{(a)}$ , в новые положения, в которых расстояние между ними стало равным  $R_{12}^{(b)}$ . В соответствии с (23.6) внутренние силы совершают при этом над частицами работу

$$A_{ab \text{ внутр}} = - \int_a^b dU = U(R_{12}^{(a)}) - U(R_{12}^{(b)}). \quad (23.8)$$

Из (23.8) вытекает, что работа сил (23.1) не зависит от путей, по которым перемещались частицы, и определяется лишь начальным и конечным расстояниями между частицами (начальной и конечной конфигурациями системы). Таким образом, силы взаимодействия вида (23.1) являются консервативными.

Если движутся обе частицы, полная энергия системы равна

$$E = \frac{m_1 v_1^2}{2} + \frac{m_2 v_2^2}{2} + U_{\text{вз}}(R_{12}). \quad (23.9)$$

Предположим, что частица 1 закреплена в некоторой точке, которую мы примем за начало координат ( $\mathbf{r}_1 = 0$ ). В результате эта частица утратит возможность двигаться, так что кинетическая энергия будет состоять лишь из одного слагаемого  $\frac{1}{2}m_2 v_2^2$ . Потенциальная энергия в этом случае будет функцией только  $r_2$ . Поэтому выражение (23.9) примет вид

$$E = \frac{m_2 v_2^2}{2} + U_{\text{вз}}(r_2). \quad (23.10)$$

Если рассматривать систему, состоящую из одной только частицы 2, то функция  $U_{\text{вз}}(r_2)$  будет играть роль потенциальной энергии

частицы 2 в поле сил, создаваемых частицей 1. Хотя по существу эта функция является потенциальной энергией взаимодействия частиц 1 и 2. Вообще потенциальная энергия во внешнем поле сил по существу является энергией взаимодействия между телами системы и телами, создающими внешнее по отношению к системе силовое поле.

Обратимся снова к системе из двух взаимодействующих свободных («незакрепленных») частиц. Если на первую частицу, кроме внутренней силы, действует внешняя сила  $\mathbf{F}_1^*$ , а на вторую частицу — сила  $\mathbf{F}_2^*$ , то в правой части соотношения (23.2) появятся слагаемые  $\mathbf{F}_1^* d\mathbf{r}_1$  и  $\mathbf{F}_2^* d\mathbf{r}_2$ , которые в сумме дадут работу внешних сил  $dA_{\text{внешн}}$ . Соответственно формула (23.7) примет вид

$$d(T + U_{\text{вз}}) = dA_{\text{внешн}}. \quad (23.11)$$

В случае, когда суммарная кинетическая энергия частиц остается постоянной (например, равной нулю), соотношение (23.11) выглядит следующим образом:

$$dU_{\text{вз}} = dA_{\text{внешн}} \quad (dT = 0). \quad (23.12)$$

Проинтегрировав это соотношение от конфигурации  $a$  до конфигурации  $b$ , получим, что

$$U_{\text{вз}}(R_{12}^{(b)}) - U_{\text{вз}}(R_{12}^{(a)}) = A_{ab \text{ внешн}} \quad (T_b = T_a) \quad (23.13)$$

(ср. с формулой (22.13)).

Распространим полученные результаты на систему из трех взаимодействующих частиц. В этом случае работа внутренних сил равна

$$dA_{\text{внутр}} = (\mathbf{F}_{12} + \mathbf{F}_{13}) d\mathbf{r}_1 + (\mathbf{F}_{21} + \mathbf{F}_{23}) d\mathbf{r}_2 + (\mathbf{F}_{31} + \mathbf{F}_{32}) d\mathbf{r}_3. \quad (23.14)$$

Учтя, что  $\mathbf{F}_{ik} = -\mathbf{F}_{ki}$ , придадим выражению (23.14) вид

$$\begin{aligned} dA_{\text{внутр}} &= -\mathbf{F}_{12} d(\mathbf{r}_2 - \mathbf{r}_1) - \mathbf{F}_{13} d(\mathbf{r}_3 - \mathbf{r}_1) - \mathbf{F}_{23} d(\mathbf{r}_3 - \mathbf{r}_2) = \\ &= -\mathbf{F}_{12} d\mathbf{R}_{12} - \mathbf{F}_{13} d\mathbf{R}_{13} - \mathbf{F}_{23} d\mathbf{R}_{23}, \end{aligned} \quad (23.15)$$

где  $\mathbf{R}_{ik} = \mathbf{r}_k - \mathbf{r}_i$ .

Предположим, что внутренние силы могут быть представлены в виде  $\mathbf{F}_{ik} = f_{ik}(R_{ik})\mathbf{e}_{ik}$  (ср. с (23.1)). Тогда

$$dA_{\text{внутр}} = -f_{12}(R_{12})\mathbf{e}_{12} d\mathbf{R}_{12} - f_{13}(R_{13})\mathbf{e}_{13} d\mathbf{R}_{13} - f_{23}(R_{23})\mathbf{e}_{23} d\mathbf{R}_{23}.$$

Каждое из произведений  $\mathbf{e}_{ik} d\mathbf{R}_{ik}$  равно приращению расстояния между соответствующими частицами  $dR_{ik}$ . Поэтому

$$\begin{aligned} dA_{\text{внутр}} &= -f_{12}(R_{12}) dR_{12} - f_{13}(R_{13}) dR_{13} - f_{23}(R_{23}) dR_{23} = \\ &= -d[U_{12}(R_{12}) + U_{13}(R_{13}) + U_{23}(R_{23})] = -dU_{\text{вз}}. \end{aligned} \quad (23.16)$$

Здесь

$$U_{\text{вз}} = U_{12}(R_{12}) + U_{13}(R_{13}) + U_{23}(R_{23}) \quad (23.17)$$

— потенциальная энергия взаимодействия системы. Она складывается из энергий взаимодействия частиц, взятых попарно.

Приравняв  $dT$  сумме работ  $dA_{\text{внутр}} = -dU_{\text{вз}}$  и  $dA_{\text{внешн}}$ , придем к соотношению (23.11), в котором под  $U_{\text{вз}}$  следует понимать выражение (23.17).

Полученный результат легко обобщается на систему с любым числом частиц. Для системы из  $N$  взаимодействующих частиц потенциальная энергия взаимодействия складывается из энергий взаимодействия частиц, взятых попарно:

$$U_{\text{вз}} = U_{12}(R_{12}) + U_{13}(R_{13}) + \dots + U_{1N}(R_{1N}) + \\ + U_{23}(R_{23}) + \dots + U_{2N}(R_{2N}) + \dots + U_{N-1,N}(R_{N-1,N}). \quad (23.18)$$

Эту сумму можно написать следующим образом:

$$U_{\text{вз}} = \sum_{(i < k)} U_{ik}(R_{ik}) \quad (23.19)$$

(обратите внимание на то, что в выражении (23.18) у каждого слагаемого первый индекс имеет значение меньше, чем второй). В связи с тем, что  $U_{ik}(R_{ik}) = U_{ki}(R_{ki})$ , энергию взаимодействия можно представить также в виде

$$U_{\text{вз}} = \frac{1}{2} \sum_{(i \neq k)} U_{ik}(R_{ik}). \quad (23.20)$$

В суммах (23.19) и (23.20) индексы  $i$  и  $k$  пробегают значения от 1 до  $N$ , согласующиеся с условием  $(i < k)$  или  $(i \neq k)$ .

Пусть система состоит из четырех частиц, причем взаимодействуют лишь первая частица со второй и третья с четвертой. Тогда полная энергия системы будет равна

$$E = T_1 + T_2 + T_3 + T_4 + U_{12} + U_{34} = \\ = (T_1 + T_2 + U_{12}) + (T_3 + T_4 + U_{34}) = E' + E''. \quad (23.21)$$

Здесь  $E'$  — полная энергия подсистемы, образованной частицами 1 и 2,  $E''$  — полная энергия подсистемы, образованной частицами 3 и 4. По предположению взаимодействие между подсистемами отсутствует. Соотношение (23.21) доказывает аддитивность энергии (см. третий абзац § 18).

В заключение найдем вид функции  $U_{\text{вз}}$  в том случае, когда сила взаимодействия обратно пропорциональна квадрату расстояния между частицами:

$$f(R_{12}) = \frac{\alpha}{R_{12}^2} \quad (23.22)$$

( $\alpha$  — константа). Напомним, что в случае притяжения между час-

тицами  $\alpha > 0$ , а в случае отталкивания частиц друг от друга  $\alpha < 0$  (см. текст, следующий за формулой (23.1)).

В соответствии с (23.5)

$$dU_{вз} = f(R_{12}) dR_{12} = \frac{\alpha}{R_{12}^2} dR_{12}.$$

Интегрирование дает

$$U_{вз} = -\frac{\alpha}{R_{12}} + \text{const.} \quad (23.23)$$

Как и потенциальная энергия во внешнем поле сил, потенциальная энергия взаимодействия определяется с точностью до произвольной аддитивной постоянной. Обычно полагают, что при  $R_{12} = \infty$  потенциальная энергия обращается в нуль (при таком расстоянии сила (23.22) обращается в нуль — взаимодействие между частицами исчезает). Тогда аддитивная константа в (23.23) становится равной нулю и выражение для потенциальной энергии взаимодействия приобретает вид

$$U_{вз} = -\frac{\alpha}{R_{12}}. \quad (23.24)$$

В соответствии с (23.13) для того, чтобы удалить частицы друг от друга от расстояния  $R_{12}$  до бесконечно большого расстояния, не изменяя при этом их скоростей, требуется совершить работу

$$A_{\text{внешн}} = U_{вз \infty} - U_{вз}(R_{12}).$$

Подстановка соответствующих значений функции (23.24) приводит к выражению

$$A_{\text{внешн}} = 0 - \left(-\frac{\alpha}{R_{12}}\right) = \frac{\alpha}{R_{12}}. \quad (23.25)$$

В случае притяжения между частицами  $\alpha > 0$ ; соответственно для удаления частиц друг от друга требуется совершить положительную работу.

В случае отталкивания частиц друг от друга  $\alpha < 0$  и работа (23.25) оказывается отрицательной. Эту работу приходится совершать, чтобы воспрепятствовать отталкивающимся частицам увеличить скорость своего движения.

## § 24. Закон сохранения энергии

Сведем вместе результаты, полученные в предыдущих параграфах. Рассмотрим систему, состоящую из  $N$  частиц с массами  $m_1, m_2, \dots, m_N$ . Пусть частицы взаимодействуют друг с другом с силами  $F_{ik}$ , модули которых зависят только от расстояния  $R_{ik}$  между частицами. В предыдущем параграфе мы установили, что такие силы являются консервативными. Это означает, что работа, совер-

шаемая этими силами над частицами, определяется начальной и конечной конфигурациями системы. Предположим, что, кроме внутренних сил, на  $i$ -ю частицу действует внешняя консервативная сила  $\mathbf{F}_i$  и внешняя неконсервативная сила  $\mathbf{F}_i^*$ . Тогда уравнение движения  $i$ -й частицы будет иметь вид

$$m_i \dot{\mathbf{v}}_i = \sum_{\substack{k=1 \\ (k \neq i)}}^N \mathbf{F}_{ik} + \mathbf{F}_i + \mathbf{F}_i^* \quad (i = 1, 2, \dots, N). \quad (24.1)$$

Умножив  $i$ -е уравнение на  $d\mathbf{s}_i = d\mathbf{r}_i = \mathbf{v}_i dt$  и сложив вместе все  $N$  уравнений, получим:

$$\sum_{i=1}^N m_i \mathbf{v}_i d\mathbf{v}_i = \sum_{i=1}^N \left\{ \sum_{\substack{k=1 \\ (k \neq i)}}^N \mathbf{F}_{ik} \right\} d\mathbf{r}_i + \sum_{i=1}^N \mathbf{F}_i d\mathbf{s}_i + \sum_{i=1}^N \mathbf{F}_i^* d\mathbf{s}_i. \quad (24.2)$$

Левая часть представляет собой приращение кинетической энергии системы:

$$\sum_{i=1}^N m_i \mathbf{v}_i d\mathbf{v}_i = d \sum_{i=1}^N \frac{m_i v_i^2}{2} = dT \quad (24.3)$$

(см. (19.3)). Из формул (23.14)–(23.19) следует, что первый член правой части равен убыли потенциальной энергии взаимодействия частиц:

$$\sum_{i=1}^N \left\{ \sum_{\substack{k=1 \\ (k \neq i)}}^N \mathbf{F}_{ik} \right\} d\mathbf{r}_i = - \sum_{(i < k)} \mathbf{F}_{ik} d\mathbf{R}_{ik} = - d \sum_{(i < k)} U_{ik}(R_{ik}) = - dU_{вз}. \quad (24.4)$$

Согласно (22.1) второй член в (24.2) равен убыли потенциальной энергии системы во внешнем поле консервативных сил:

$$\sum_{i=1}^N \mathbf{F}_i d\mathbf{s}_i = - d \sum_{i=1}^N U_i(\mathbf{r}_i) = - dU_{внешн}. \quad (24.5)$$

Наконец, последний член в (24.2) представляет собой работу неконсервативных внешних сил:

$$\sum_{i=1}^N \mathbf{F}_i^* d\mathbf{s}_i = \sum_{i=1}^N dA_i^* = dA_{внешн}^*. \quad (24.6)$$

Приняв во внимание формулы (24.3)–(24.6), представим соотношение (24.2) следующим образом:

$$d(T + U_{вз} + U_{внешн}) = dA_{внешн}^*. \quad (24.7)$$

Величина

$$E = T + U_{вз} + U_{внешн} \quad (24.8)$$

есть полная механическая энергия системы. Если внешние некон-

сервативные силы отсутствуют, правая часть формулы (24.7) будет равна нулю и, следовательно, полная энергия системы остается постоянной:

$$E = T + U_{\text{вз}} + U_{\text{внешн}} = \text{const.} \quad (24.9)$$

Таким образом, мы пришли к выводу, что *полная механическая энергия системы тел, на которые действуют лишь консервативные силы, остается постоянной*. В этом утверждении заключено существо одного из основных законов механики — *закон сохранения механической энергии*.

Для замкнутой системы, т. е. системы, на тела которой не действуют никакие внешние силы, соотношение (24.9) имеет вид

$$E = T + U_{\text{вз}} = \text{const.} \quad (24.10)$$

В этом случае закон сохранения энергии формулируется следующим образом: *полная механическая энергия замкнутой системы тел, между которыми действуют только консервативные силы, остается постоянной*.

Если в замкнутой системе, кроме консервативных, действуют также неконсервативные силы, например силы трения, то полная механическая энергия системы не сохраняется. Рассматривая неконсервативные силы как внешние, можно в соответствии с (24.7) написать:

$$dE = d(T + U_{\text{вз}}) = dA_{\text{неконсерв.}} \quad (24.11)$$

Проинтегрировав это соотношение, получим:

$$E_2 - E_1 = A_{\text{неконсерв.}} \quad (24.12)$$

Закон сохранения энергии для системы невзаимодействующих частиц был сформулирован в § 22 (см. текст, следующий за формулой (22.14)).

## § 25. Энергия упругой деформации

Потенциальной энергией может обладать не только система взаимодействующих тел, но и отдельно взятое упруго деформированное тело (например, сжатая пружина, растянутый стержень и т. п.). В этом случае потенциальная энергия зависит от взаимного расположения отдельных частей тела (например, от расстояния между соседними витками пружины).

Согласно формуле (20.2) как для растяжения, так и для сжатия пружины на величину  $x$  необходимо затратить работу  $A = \frac{1}{2} kx^2$ . Эта работа идет на увеличение потенциальной энергии пружины. Следовательно, зависимость потенциальной энергии пружины от удлинения  $x$  имеет вид

$$U = \frac{kx^2}{2}, \quad (25.1)$$

где  $k$  — коэффициент жесткости пружины (см. § 14). Формула (25.1) написана в предположении, что потенциальная энергия недеформированной пружины равна нулю. На рис. 25.1 показан график зависимости  $U$  от  $x$ .

При упругой продольной деформации стержня совершается работа, определяемая формулой (20.3). В соответствии с этим потенциальная энергия упруго деформированного стержня равна

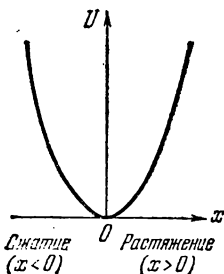


Рис. 25.1.

$$U = \frac{E\varepsilon^2}{2} V. \quad (25.2)$$

Здесь  $E$  — модуль Юнга,  $\varepsilon$  — относительное удлинение,  $V$  — объем стержня.

Введем в рассмотрение плотность энергии упругой деформации  $u$ , которую определим как отношение энергии  $dU$  к тому объему  $dV$ , в котором она заключена:

$$u = \frac{dU}{dV}. \quad (25.3)$$

Поскольку стержень предполагается однородным и деформация является равномерной, т. е. одинаковой в разных точках стержня, энергия (25.2) распределена в стержне также равномерно. Поэтому можно считать, что

$$u = \frac{U}{V} = \frac{E\varepsilon^2}{2}. \quad (25.4)$$

Это выражение дает плотность энергии упругой деформации при растяжении (или сжатии) и в том случае, когда деформация неравномерна. В последнем случае для нахождения плотности энергии в некоторой точке стержня нужно подставлять в (25.4) значение  $\varepsilon$  в данной точке.

Исходя из формул (14.8)—(14.10), нетрудно получить, что плотность энергии упругой деформации при сдвиге равна

$$u = \frac{G\gamma^2}{2}, \quad (25.5)$$

где  $G$  — модуль сдвига, а  $\gamma$  — относительный сдвиг.

## § 26. Условия равновесия механической системы

Рассмотрим материальную точку, движение которой ограничено таким образом, что она имеет лишь одну степень свободы<sup>1)</sup>. Это

<sup>1)</sup> Числом степеней свободы механической системы называется количество независимых величин, с помощью которых может быть задано положение системы. Подробнее об этом будет сказано в § 97.

означает, что ее положение может быть определено с помощью одной величины, например координаты  $x$ . В качестве примера можно привести шарик, скользящий без трения по укрепленной неподвижно, изогнутой в вертикальной плоскости проволоке (рис. 26.1, а).

Другим примером может служить прикрепленный к концу пружины шарик, скользящий без трения по горизонтальной направляющей

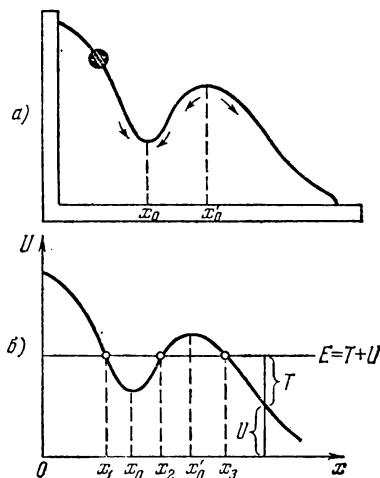


Рис. 26.1.

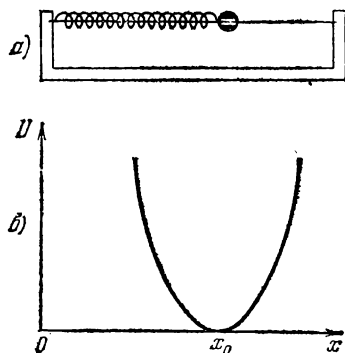


Рис. 26.2.

(рис. 26.2, а). На шарик действует консервативная сила: в первом случае это сила тяжести, во втором — упругая сила деформированной пружины. Графики потенциальной энергии  $U(x)$  показаны на рис. 26.1, б и 26.2, б.

Поскольку шарик движется по проволоке без трения, сила, с которой проволока действует на шарик, в обоих случаях перпендикулярна к скорости шарика и, следовательно, работы над шариком не совершает. Поэтому имеет место сохранение энергии:

$$E = T + U = \text{const.} \quad (26.1)$$

Из (26.1) следует, что кинетическая энергия может возрастать только за счет уменьшения потенциальной энергии. Поэтому, если шарик находится в таком состоянии, что его скорость равна нулю, а потенциальная энергия имеет минимальное значение, то без воздействия извне он не сможет прийти в движение, т. е. будет находиться в равновесии.

Минимумам  $U$  соответствуют на графиках значения  $x$ , равные  $x_0$  (на рис. 26.2  $x_0$  есть длина недеформированной пружины). Условие минимума потенциальной энергии имеет вид

$$\frac{dU}{dx} = 0. \quad (26.2)$$

В соответствии с (22.4) условие (26.2) равнозначно тому, что

$$F_x = 0 \quad (26.3)$$

(в случае, когда  $U$  является функцией только одной переменной,  $\partial U / \partial x = dU / dx$ ). Таким образом, положение, соответствующее минимуму потенциальной энергии, обладает тем свойством, что сила, действующая на тело, равна нулю.

В случае, изображенном на рис. 26.1, условия (26.2) и (26.3) выполняются также для  $x$ , равного  $x'_0$  (т. е. для максимума  $U$ ). Определяемое этим значением  $x$  положение шарика также будет равновесным. Однако это равновесие в отличие от равновесия при  $x = x_0$  будет неустойчивым: достаточно слегка вывести шарик из этого положения, как возникает сила, которая будет удалять шарик от положения  $x'_0$ . Силы, возникающие при смещении шарика из положения устойчивого равновесия (для которого  $x = x_0$ ), направлены так, что стремятся вернуть шарик в положение равновесия.

Зная вид функции, которой выражается потенциальная энергия, можно сделать ряд заключений о характере движения частицы. Поясним это, воспользовавшись графиком, изображенным на рис. 26.1, б. Если полная энергия имеет значение, указанное на рисунке, то частица может совершать движение либо в пределах от  $x_1$  до  $x_2$ , либо в пределах от  $x_3$  до бесконечности. В области  $x < x_1$  и  $x_2 < x < x_3$  частица проникнуть не может, так как потенциальная энергия не может стать больше полной энергии (если бы это случилось, то кинетическая энергия стала бы отрицательной). Таким образом, область  $x_2 < x < x_3$  представляет собой потенциальный барьер, через который частица не может проникнуть, имея данный запас полной энергии. Область  $x_1 < x < x_2$  называется потенциальной ямой.

Если частица при своем движении не может удалиться на бесконечность, движение называется *финитным*. Если же частица может уходить сколь угодно далеко, движение называют *инфинитным*. Частица в потенциальной яме совершает *финитное* движение. Финитным будет также движение частицы с отрицательной полной энергией в центральном поле сил притяжения (предполагается, что потенциальная энергия обращается в нуль на бесконечности).

## § 27. Закон сохранения импульса

В предыдущих параграфах был рассмотрен аддитивный интеграл движения, называемый энергией. Найдем еще одну аддитивную сохраняющуюся для замкнутой системы величину. С этой целью рассмотрим систему  $N$  взаимодействующих частиц. Пусть, кроме

внутренних сил  $\mathbf{F}_{ik}$ , на  $i$ -ю частицу действуют внешние силы, результирующая которых равна  $\mathbf{F}_i$ . Напишем уравнение (9.1) для всех  $N$  частиц:

[illegible]

Сложим вместе эти  $N$  уравнений. Вследствие того, что  $\mathbf{F}_{12} + \mathbf{F}_{21} = 0$  и т. д., справа останутся только внешние силы. Таким образом, мы приходим к соотношению

$$\frac{d}{dt}(\mathbf{p}_1 + \mathbf{p}_2 + \dots + \mathbf{p}_N) = \mathbf{F}_1 + \mathbf{F}_2 + \dots + \mathbf{F}_N = \sum_{i=1}^N \mathbf{F}_i. \quad (27.1)$$

Сумма импульсов частиц, образующих механическую систему, называется **импульсом системы**. Обозначив этот импульс символом  **$\mathbf{p}$** , получим, что

$$\mathbf{p} = \sum_{i=1}^N \mathbf{p}_i = \sum_{i=1}^N m_i \mathbf{v}_i. \quad (27.2)$$

Из (27.2) следует, что импульс является аддитивной величиной. Запишем соотношение (27.1) в виде

$$\frac{d}{dt} \mathbf{p} = \sum_{i=1}^N \mathbf{F}_i. \quad (27.3)$$

Отсюда вытекает, что при отсутствии внешних сил  $d\mathbf{p}/dt=0$ . Следовательно, для замкнутой системы  $\mathbf{p}$  постоянен. Это утверждение составляет содержание закона сохранения импульса  $\mathbf{a}$ , который формулируется следующим образом: *импульс замкнутой системы материальных точек остается постоянным.*

Отметим, что импульс остается постоянным и для незамкнутой системы при условии, что внешние силы в сумме дают нуль (см. (27.3)). В случае, когда сумма внешних сил не равна нулю, но про-

екция этой суммы на некоторое направление есть нуль, сохраняется составляющая импульса в этом направлении. Действительно, спроектировав все величины уравнения (27.3) на некоторое направление  $x$ , получим, что

$$\frac{d}{dt} p_x = \sum_{i=1}^N F_{xi}, \quad (27.4)$$

откуда и вытекает высказанное нами утверждение. (Напомним, что  $(d\mathbf{p}/dt)_{\text{пр}x} = dp_x/dt$ , см. формулу (2.40).)

Центром масс (или центром инерции) системы называется точка  $C$ , положение которой задается радиусом-вектором  $\mathbf{r}_C$ , определяемым следующим образом:

$$\mathbf{r}_C = \frac{m_1 \mathbf{r}_1 + m_2 \mathbf{r}_2 + \dots + m_N \mathbf{r}_N}{m_1 + m_2 + \dots + m_N} = \frac{\sum m_i \mathbf{r}_i}{\sum m_i} = \frac{\sum m_i \mathbf{r}_i}{m}. \quad (27.5)$$

Здесь  $m_i$  — масса  $i$ -й частицы,  $\mathbf{r}_i$  — радиус-вектор, определяющий положение этой частицы,  $m$  — масса системы.

Декартовы координаты центра масс равны проекциям  $\mathbf{r}_C$  на координатные оси:

$$x_C = \frac{\sum m_i x_i}{m}, \quad y_C = \frac{\sum m_i y_i}{m}, \quad z_C = \frac{\sum m_i z_i}{m}. \quad (27.6)$$

Отметим, что в однородном поле сил тяжести центр масс совпадает с центром тяжести системы.

Импульс системы частиц может быть представлен в виде произведения суммарной массы частиц на скорость центра масс системы:

$$\mathbf{p} = m\mathbf{v}_C. \quad (27.7)$$

Скорость центра масс получается путем дифференцирования радиуса-вектора (27.5) по времени:

$$\mathbf{v}_C = \dot{\mathbf{r}}_C = \frac{\sum m_i \dot{\mathbf{r}}_i}{m} = \frac{\sum m_i \mathbf{v}_i}{m} = \frac{\mathbf{p}}{m}$$

(см. (27.2)). Отсюда вытекает формула (27.7).

Для замкнутой системы  $\mathbf{p} = m\mathbf{v}_C = \text{const}$ . Следовательно, центр масс замкнутой системы либо движется прямолинейно и равномерно, либо остается неподвижным.

Система отсчета, в которой центр масс покоится, называется системой центра масс или ц-системой. Эта система, очевидно, инерциальна.

Система отсчета, связанная с измерительными приборами, называется лабораторной или л-системой.

## § 28. Соударение двух тел

При соударении тел друг с другом они претерпевают деформации. При этом кинетическая энергия, которой обладали тела перед ударом, частично или полностью переходит в потенциальную энергию упругой деформации и в так называемую внутреннюю энергию тел. Увеличение внутренней энергии тел сопровождается повышением их температуры.

Существуют два предельных вида удара: абсолютно упругий и абсолютно неупругий. Абсолютно упругим называется такой удар, при котором механическая энергия тел не переходит в другие, немеханические, виды энергии. При таком ударе кинетическая энергия переходит полностью или частично в потенциальную энергию упругой деформации. Затем тела возвращаются к первоначальной форме, отталкивая друг друга. В итоге потенциальная энергия упругой деформации снова переходит в кинетическую энергию, и тела разлетаются со скоростями, величина и направление которых определяются двумя условиями — сохранением полной энергии и сохранением полного импульса системы тел.

Абсолютно неупругий удар характеризуется тем, что потенциальной энергии деформации не возникает; кинетическая энергия тел полностью или частично превращается во внутреннюю энергию; после удара столкнувшиеся тела либо движутся с одинаковой скоростью, либо покоятся. При абсолютно неупругом ударе выполняется лишь закон сохранения импульса, закон же сохранения механической энергии не соблюдается: имеет место закон сохранения суммарной энергии различных видов — механической и внутренней.

Рассмотрим вначале абсолютно неупругий удар двух частиц (материальных точек), образующих замкнутую систему. Пусть массы частиц равны  $m_1$  и  $m_2$ , а скорости до удара  $\mathbf{v}_{10}$  и  $\mathbf{v}_{20}$ . В силу закона сохранения суммарный импульс частиц после удара должен быть таким же, как и до удара:

$$m_1 \mathbf{v}_{10} + m_2 \mathbf{v}_{20} = m_1 \mathbf{v} + m_2 \mathbf{v} = (m_1 + m_2) \mathbf{v} \quad (28.1)$$

( $\mathbf{v}$  — одинаковая для обеих частиц скорость после удара). Из (28.1) следует, что

$$\mathbf{v} = \frac{m_1 \mathbf{v}_{10} + m_2 \mathbf{v}_{20}}{m_1 + m_2}. \quad (28.2)$$

Для практических расчетов нужно спроектировать соотношение (28.2) на соответствующим образом выбранные направления.

Теперь рассмотрим абсолютно упругий удар, причем ограничимся случаем центрального удара двух однородных шаров. Удар называется центральным, если шары до удара движутся вдоль прямой, проходящей через их центры. При центральном ударе со-

ударение может произойти, если: 1) шары движутся навстречу друг другу (рис. 28.1, а) и 2) один из шаров догоняет другой (рис. 28.1, б).

Будем предполагать, что шары образуют замкнутую систему или что внешние силы, приложенные к шарам, уравнивают друг друга. Кроме того, будем считать, что вращение шаров отсутствует.

Обозначим массы шаров  $m_1$  и  $m_2$ , скорости шаров до удара  $\mathbf{v}_{10}$  и  $\mathbf{v}_{20}$  и, наконец, скорости после удара  $\mathbf{v}_1$  и  $\mathbf{v}_2$ . Напишем уравнения сохранения энергии и импульса:

$$\frac{m_1 v_{10}^2}{2} + \frac{m_2 v_{20}^2}{2} = \frac{m_1 v_1^2}{2} + \frac{m_2 v_2^2}{2}, \quad (28.3)$$

$$m_1 \mathbf{v}_{10} + m_2 \mathbf{v}_{20} = m_1 \mathbf{v}_1 + m_2 \mathbf{v}_2. \quad (28.4)$$

Учтя, что  $(a^2 - b^2) = (a - b)(a + b)$ , приведем (28.3) к виду

$$m_1 (\mathbf{v}_{10} - \mathbf{v}_1) (\mathbf{v}_{10} + \mathbf{v}_1) = m_2 (\mathbf{v}_2 - \mathbf{v}_{20}) (\mathbf{v}_2 + \mathbf{v}_{20}). \quad (28.5)$$

Соотношение (28.4) преобразуем следующим образом:

$$m_1 (\mathbf{v}_{10} - \mathbf{v}_1) = m_2 (\mathbf{v}_2 - \mathbf{v}_{20}). \quad (28.6)$$

Из соображений симметрии можно утверждать, что скорости шаров после удара будут направлены вдоль той же прямой, вдоль которой двигались центры шаров перед ударом. Следовательно, все векторы в (28.5) и (28.6) коллинеарны. Для коллинеарных векторов  $\mathbf{a}$ ,  $\mathbf{b}$ ,  $\mathbf{c}$  из  $\mathbf{a}\mathbf{b} = \mathbf{a}\mathbf{c}$  следует, что  $\mathbf{b} = \mathbf{c}$ . Поэтому, сопоставив (28.5) и (28.6), можно заключить, что

$$\mathbf{v}_{10} + \mathbf{v}_1 = \mathbf{v}_2 + \mathbf{v}_{20}. \quad (28.7)$$

Умножив (28.7) на  $m_2$  и вычтя результат из (28.6), а затем умножив (28.7) на  $m_1$  и сложив результат с (28.6), получим скорости шаров после удара:

$$\mathbf{v}_1 = \frac{2m_2 \mathbf{v}_{20} + (m_1 - m_2) \mathbf{v}_{10}}{m_1 + m_2}, \quad \mathbf{v}_2 = \frac{2m_1 \mathbf{v}_{10} + (m_2 - m_1) \mathbf{v}_{20}}{m_1 + m_2}. \quad (28.8)$$

Для численных расчетов нужно спроектировать соотношения (28.8) на ось  $x$ , вдоль которой движутся шары (см. рис. 28.1).

Отметим, что скорости шаров после абсолютно упругого удара не могут быть одинаковыми. В самом деле, приравняв друг другу выражения (28.8) для  $\mathbf{v}_1$  и  $\mathbf{v}_2$  и произведя преобразования, получим:

$$\mathbf{v}_{10} = \mathbf{v}_{20}.$$

Следовательно, для того чтобы скорости шаров после удара оказались одинаковыми, необходимо, чтобы они были одинаковыми

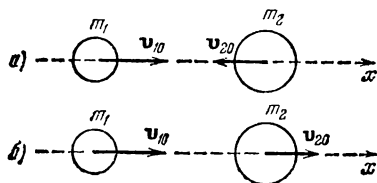


Рис. 28.1.

и до удара, но в этом случае соударение не может произойти. Отсюда следует, что условие равенства скоростей шаров после удара несовместимо с законом сохранения энергии. Итак, при неупругом ударе механическая энергия не сохраняется — она частично переходит во внутреннюю энергию соударяющихся тел, что приводит к их нагреву.

Рассмотрим случай, когда массы соударяющихся шаров равны:  $m_1 = m_2$ . Из (28.8) следует, что при этом условии

$$\mathbf{v}_1 = \mathbf{v}_{20}, \quad \mathbf{v}_2 = \mathbf{v}_{10},$$

т. е. шары при соударении обмениваются скоростями. В частности, если один из шаров одинаковой массы, например второй, до соударения покоится, то после удара он движется с такой же скоростью, какую имел первоначально первый шар, первый же шар после удара оказывается неподвижным.

С помощью формул (28.8) можно определить скорость шара после упругого удара о неподвижную или движущуюся стенку (которую можно рассматривать как шар бесконечно большой массы  $m_2$  и бесконечно большого радиуса). Деля числитель и знаменатель выражений (28.8) на  $m_2$  и пренебрегая членами, содержащими множитель  $m_1/m_2$ , получаем:

$$\mathbf{v}_1 = 2\mathbf{v}_{20} - \mathbf{v}_{10}, \quad \mathbf{v}_2 = \mathbf{v}_{20}.$$

Как следует из полученного результата, скорость стенки остается неизменной. Скорость же шара, если стенка неподвижна ( $\mathbf{v}_{20} = 0$ ), меняет направление на противоположное; в случае движущейся стенки изменяется также величина скорости шара (возрастает на  $2v_{20}$ , если стенка движется навстречу шару, и убывает на  $2v_{20}$ , если стенка «уходит» от догоняющего ее шара).

## § 29. Закон сохранения момента импульса

Мы знаем уже две аддитивные сохраняющиеся величины: энергию и импульс. Теперь найдем третью такую величину. Для этого рассмотрим систему, состоящую из двух взаимодействующих частиц, на которые действуют также внешние силы (рис. 29.1). Уравнения движения частиц имеют вид

$$m_1 \dot{\mathbf{v}}_1 = \mathbf{F}_{12} + \mathbf{F}_1, \quad m_2 \dot{\mathbf{v}}_2 = \mathbf{F}_{21} + \mathbf{F}_2.$$

Умножим первое уравнение векторно слева на радиус-вектор первой частицы  $\mathbf{r}_1$ , а второе — на радиус-вектор второй частицы  $\mathbf{r}_2$ :

$$\begin{aligned} m_1 [\mathbf{r}_1, \dot{\mathbf{v}}_1] &= [\mathbf{r}_1, \mathbf{F}_{12}] + [\mathbf{r}_1, \mathbf{F}_1], \\ m_2 [\mathbf{r}_2, \dot{\mathbf{v}}_2] &= [\mathbf{r}_2, \mathbf{F}_{21}] + [\mathbf{r}_2, \mathbf{F}_2]. \end{aligned} \quad (29.1)$$

Векторное произведение вида  $[\mathbf{r}\dot{\mathbf{v}}]$  эквивалентно выражению  $\frac{d}{dt}[\mathbf{r}\mathbf{v}]$ . Действительно, согласно формуле (2.55)

$$\frac{d}{dt}[\mathbf{r}\mathbf{v}] = [\mathbf{r}\dot{\mathbf{v}}] + [\dot{\mathbf{r}}\mathbf{v}] = [\mathbf{r}\dot{\mathbf{v}}], \quad (29.2)$$

так как  $[\dot{\mathbf{r}}\mathbf{v}] = [\mathbf{v}\mathbf{v}] = 0$ . Произведя такую замену в формулах (29.1) и учтя, что  $\mathbf{F}_{21} = -\mathbf{F}_{12}$ , придем к уравнениям:

$$\begin{aligned} m_1 \frac{d}{dt}[\mathbf{r}_1, \mathbf{v}_1] &= [\mathbf{r}_1, \mathbf{F}_{12}] + [\mathbf{r}_1, \mathbf{F}_1], \\ m_2 \frac{d}{dt}[\mathbf{r}_2, \mathbf{v}_2] &= -[\mathbf{r}_2, \mathbf{F}_{12}] + [\mathbf{r}_2, \mathbf{F}_2]. \end{aligned} \quad (29.3)$$

Масса есть постоянная скалярная величина. Поэтому ее можно внести под знак производной по времени и в векторное произведение:

$$m \frac{d}{dt}[\mathbf{r}\mathbf{v}] = \frac{d}{dt}[\mathbf{r}, m\mathbf{v}] = \frac{d}{dt}[\mathbf{r}, \mathbf{p}].$$

Приняв это во внимание, сложим вместе уравнения (29.3). В результате получим:

$$\frac{d}{dt} \{[\mathbf{r}_1, \mathbf{p}_1] + [\mathbf{r}_2, \mathbf{p}_2]\} = [(\mathbf{r}_1 - \mathbf{r}_2), \mathbf{F}_{12}] + [\mathbf{r}_1, \mathbf{F}_1] + [\mathbf{r}_2, \mathbf{F}_2].$$

Векторы  $\mathbf{r}_1 - \mathbf{r}_2$  и  $\mathbf{F}_{12}$  коллинеарны; поэтому их векторное произведение равно нулю. Таким образом, мы приходим к соотношению

$$\frac{d}{dt} \{[\mathbf{r}_1, \mathbf{p}_1] + [\mathbf{r}_2, \mathbf{p}_2]\} = [\mathbf{r}_1, \mathbf{F}_1] + [\mathbf{r}_2, \mathbf{F}_2]. \quad (29.4)$$

Если система замкнута, правая часть этого соотношения равна нулю и, следовательно,

$$[\mathbf{r}_1, \mathbf{p}_1] + [\mathbf{r}_2, \mathbf{p}_2] = \text{const.}$$

Мы пришли к аддитивной сохраняющейся величине, которую называют моментом импульса<sup>1)</sup> относительно точки  $O$  (см. рис. 29.1).

Для отдельно взятой частицы моментом импульса относительно точки  $O$  называется псевдовектор

$$\mathbf{M} = [\mathbf{r}, \mathbf{p}] = [\mathbf{r}, m\mathbf{v}]. \quad (29.5)$$

Моментом импульса системы относительно точки  $O$  называется векторная сумма моментов импульсов частиц, входящих в систему:

$$\mathbf{M} = \sum_i \mathbf{M}_i = \sum_i [\mathbf{r}_i, \mathbf{p}_i]. \quad (29.6)$$

<sup>1)</sup> Устаревшее название этой величины — момент количества движения.

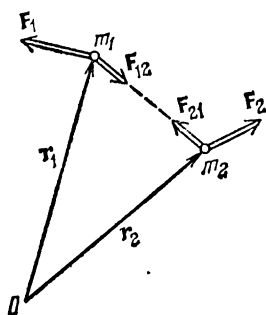


Рис. 29.1.

Проекция вектора (29.5) на некоторую ось  $z$  называется моментом импульса частицы относительно этой оси.

$$M_z = [\mathbf{r}\mathbf{p}]_{\text{пр } z}. \quad (29.7)$$

Аналогично моментом импульса системы относительно оси  $z$  называется величина

$$M_z = \sum_i [\mathbf{r}_i, \mathbf{p}_i]_{\text{пр } z}. \quad (29.8)$$

Из рис. 29.2 видно, что модуль вектора момента импульса частицы равен

$$M = rp \sin \alpha = lp, \quad (29.9)$$

где  $l = r \sin \alpha$  — длина перпендикуляра, опущенного из точки  $O$  на прямую, вдоль которой направлен импульс частицы. Эта длина

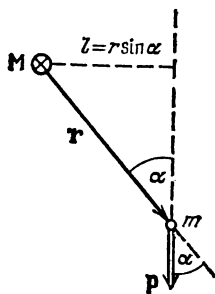


Рис. 29.2.

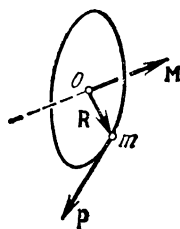


Рис. 29.3.

называется плечом импульса относительно точки  $O$ . Рис. 29.2 выполнен в предположении, что точка  $O$ , относительно которой берется момент, и вектор  $\mathbf{p}$  лежат в плоскости рисунка. Вектор  $\mathbf{M}$  перпендикулярен к плоскости рисунка и направлен от нас.

Рассмотрим два характерных примера.

1. Пусть частица движется вдоль прямой, изображенной на рис. 29.2 пунктиром. В этом случае момент импульса частицы может изменяться только по величине. Модуль момента равен

$$M = mvl, \quad (29.10)$$

причем плечо  $l$  остается неизменным.

2. Частица массы  $m$  движется по окружности радиуса  $R$  (рис. 29.3). Момент импульса частицы относительно центра окружности  $O$  равен по модулю

$$M = m v R. \quad (29.11)$$

Вектор  $\mathbf{M}$  перпендикулярен к плоскости окружности, причем на-

правление движения частицы и вектор  $\mathbf{M}$  образуют правовинтовую систему. Поскольку плечо, равное  $R$ , остается постоянным, момент импульса может изменяться только за счет изменения модуля скорости. При равномерном движении частицы по окружности момент импульса остается постоянным и по величине, и по направлению.

Псевдовектор

$$\mathbf{N} = [\mathbf{r}\mathbf{F}] \quad (29.12)$$

называется моментом силы  $\mathbf{F}$  относительно точки  $O$ , из которой проводится радиус-вектор  $\mathbf{r}$  точки приложения силы (рис. 29.4). Из рисунка видно, что модуль момента силы можно представить в виде

$$N = rF \sin \alpha = lF, \quad (29.13)$$

где  $l = r \sin \alpha$  — плечо силы относительно точки  $O$  (т. е. длина перпендикуляра, опущенного из точки  $O$  на прямую, вдоль которой действует сила).

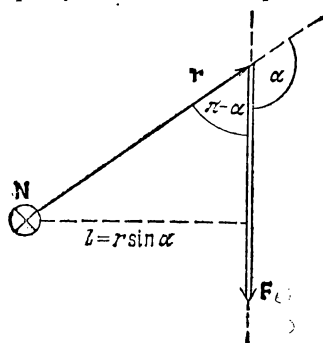


Рис. 29.4.

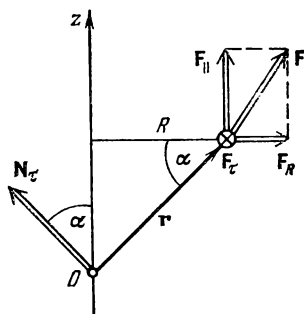


Рис. 29.5.

Проекция вектора  $\mathbf{N}$  на некоторую ось  $z$ , проходящую через точку  $O$ , относительно которой определен  $\mathbf{N}$ , называется моментом силы относительно этой оси:

$$N_z = [\mathbf{r}\mathbf{F}]_{\text{пр } z}. \quad (29.14)$$

Разложим вектор силы  $\mathbf{F}$  (рис. 29.5) на три взаимно перпендикулярные составляющие:  $\mathbf{F}_{\parallel}$  — параллельную оси  $z$ ,  $\mathbf{F}_R$  — перпендикулярную к оси  $z$  и действующую вдоль прямой, проходящей через ось, и, наконец,  $\mathbf{F}_{\tau}$  — перпендикулярную к плоскости, проходящей через ось и точку приложения силы (эта составляющая обозначена на рисунке кружком с крестиком). Если представить себе окружность радиуса  $R$  с центром на оси  $z$ , то составляющая  $\mathbf{F}_{\tau}$  будет направлена по касательной к этой окружности. Момент силы  $\mathbf{F}$  относительно точки  $O$  равен сумме моментов составляющих:  $\mathbf{N} =$

$= N_{\parallel} + N_R + N_{\tau}$ . Векторы  $N_{\parallel}$  и  $N_R$  перпендикулярны к оси  $z$ , поэтому их проекции на ось  $z$  равны нулю. Момент  $N_{\tau}$  имеет модуль, равный  $rF_{\tau}$ , и образует с осью  $z$  угол  $\alpha$ , косинус которого равен  $R/r$ . Следовательно, момент составляющей  $F_{\tau}$  относительно оси  $z$  имеет величину  $N_{\tau} \cos \alpha = RF_{\tau}$ . Таким образом, момент силы  $F$  относительно оси  $z$  равен

$$N_z = RF_{\tau}. \quad (29.15)$$

До сих пор под  $F_{\tau}$  мы понимали модуль составляющей  $F_{\tau}$ . Однако  $F_{\tau}$  можно рассматривать как проекцию вектора  $F$  на орт  $\tau$ , касательный к окружности радиуса  $R$  и направленный так, что движение по окружности в направлении  $\tau$  образует с направлением оси  $z$  правовинтовую систему. При таком истолковании  $F_{\tau}$  формула (29.15) будет определять и знак  $N_z$ .

Момент силы  $N$  характеризует способность силы вращать тело вокруг точки, относительно которой он берется. Заметим, что в том случае, когда тело может вращаться относительно точки  $O$  произвольным образом, под действием силы тело повернется вокруг оси, перпендикулярной к плоскости, в которой лежат сила и точка  $O$ , т. е. вокруг оси, совпадающей с направлением момента силы относительно данной точки.

Момент силы относительно оси  $z$  характеризует способность силы вращать тело вокруг этой оси. Составляющие  $F_{\parallel}$  и  $F_R$  не могут вызвать вращения вокруг оси  $z$ . Такой поворот может быть вызван только составляющей  $F_{\tau}$ , причем эта составляющая тем успешнее осуществит поворот, чем больше ее плечо  $R$ .

Две равные по величине противоположно направленные силы, не действующие вдоль одной прямой, называются парой сил (рис. 29.6). Расстояние  $l$  между прямыми, вдоль которых действуют силы, называется плечом пары. Суммарный момент образующих пару сил  $F_1$  и  $F_2$  равен

$$N = [r_1, F_1] + [r_2, F_2].$$

Учтя, что  $F_1 = -F_2$ , можно написать:

$$N = -[r_1, F_2] + [r_2, F_2] = [(r_2 - r_1), F_2] = [r_{12}, F_2], \quad (29.16)$$

где  $r_{12} = r_2 - r_1$  — вектор, проведенный из точки приложения силы  $F_1$  в точку приложения силы  $F_2$ . Выражение (29.16) не зависит от выбора точки  $O$ . Следовательно, момент пары сил относительно любой точки будет один и тот же. Вектор момента пары сил пер-

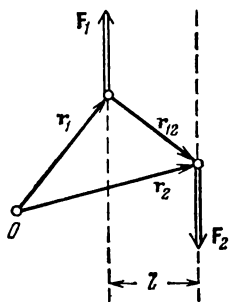


Рис. 29.6.

пендикулярен к плоскости, в которой лежат силы (см. рис. 29.6), и численно равен произведению модуля любой из сил на плечо.

Силы взаимодействия между частицами действуют в противоположные стороны вдоль одной и той же прямой (рис. 29.7). Их моменты относительно произвольной точки  $O$  равны по величине и противоположны по направлению. Поэтому моменты внутренних сил попарно уравниваются друг друга, и сумма моментов всех внутренних сил для любой системы частиц, в частности для твердого тела, всегда равна нулю:

$$\sum N_{\text{внутр}} = 0. \quad (29.17)$$

В соответствии с определениями (29.6) и (29.12) уравнение (29.4) можно записать следующим образом:

$$\frac{d}{dt} M = \sum N_{\text{внешн}}. \quad (29.18)$$

Эта формула сходна с формулой (27.3). Из сравнения этих формул вытекает, что подобно тому, как производная по времени от импульса системы равна сумме внешних сил, производная по времени от момента импульса равна сумме моментов внешних сил.

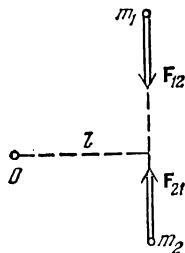


Рис. 29.7.

Из (29.18) вытекает, что при отсутствии внешних сил  $dM/dt=0$ . Следовательно, для замкнутой системы  $M$  постоянен. Это утверждение составляет содержание закона сохранения момента импульса, который формулируется следующим образом: *момент импульса замкнутой системы материальных точек остается постоянным.*

Мы доказали соотношение (29.18) для системы из двух частиц. Однако его легко обобщить на случай любого числа частиц. Напишем уравнения движения частиц:

$$\begin{aligned} m_1 \dot{\mathbf{v}}_1 &= \sum_k \mathbf{F}_{1k} + \mathbf{F}_1, \\ &\dots \dots \dots \\ m_i \dot{\mathbf{v}}_i &= \sum_k \mathbf{F}_{ik} + \mathbf{F}_i, \\ &\dots \dots \dots \\ m_N \dot{\mathbf{v}}_N &= \sum_k \mathbf{F}_{Nk} + \mathbf{F}_N. \end{aligned}$$

Умножив каждое из уравнений на соответствующий радиус-вектор,



тора силы на направление радиуса-вектора, т. е.  $F_r$ . Для силы отталкивания функция  $f(r)$  положительна, для силы притяжения — отрицательна. Рис. 30.1 выполнен для случая отталкивания частицы от силового центра. Формула (30.1), разумеется, справедлива только в том случае, если начало координат (т. е. точка, из которой проводятся радиусы-векторы) помещено в центр поля.

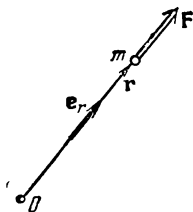


Рис. 30.1.

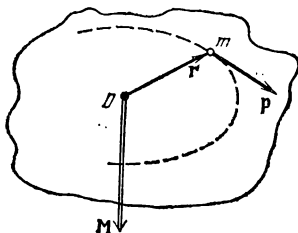


Рис. 30.2.

Момент силы (30.1) относительно точки  $O$ , очевидно, равен нулю. Это следует из того, что плечо силы равно нулю. Отсюда в соответствии с (29.18) вытекает, что момент импульса частицы, движущейся в центральном поле сил, остается постоянным. Вектор  $\mathbf{M} = [\mathbf{r}\mathbf{p}]$  в каждый момент времени перпендикулярен к плоскости, образованной векторами  $\mathbf{r}$  и  $\mathbf{p}$  (рис. 30.2). Если  $\mathbf{M} = \text{const}$ , эта плоскость будет фиксированной. Таким образом, при движении частицы в центральном поле сил ее радиус-вектор остается все время в одной плоскости. В этой же плоскости лежит все время вектор  $\mathbf{p}$ . Следовательно, траектория частицы представляет собой плоскую кривую. Плоскость, в которой лежит траектория, проходит через центр поля (см. рис. 30.2).

На рис. 30.3 изображен участок траектории частицы (вектор  $\mathbf{M}$  направлен на чертеж). За время  $dt$  радиус-вектор частицы описывает заштрихованную площадь  $dS$ . Эта площадь равна половине площади параллелограмма, построенного на векторах  $\mathbf{r}$  и  $\mathbf{v} dt$ . Последняя в свою очередь равна модулю векторного произведения  $[\mathbf{r}, \mathbf{v} dt]$  (см. текст, следующий за формулой (2.28)). Таким образом, площадь заштрихованного треугольника равна

$$dS = \frac{1}{2} |[\mathbf{r}\mathbf{v}]| dt = \frac{1}{2m} |[\mathbf{r}\mathbf{p}]| dt = \frac{1}{2m} M dt$$

(мы вынесли скалярный множитель  $dt$  за знак векторного произведения). Разделив обе части полученного соотношения на  $dt$ , получим, что

$$\frac{dS}{dt} = \frac{M}{2m}. \quad (30.2)$$

Величина  $dS/dt$ , т. е. площадь, описываемая радиусом-вектором частицы в единицу времени, называется **секториальной скоростью**. В центральном поле сил  $M = \text{const}$ , следовательно, и секториальная скорость частицы остается постоянной.

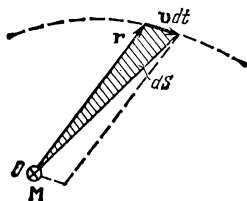


Рис. 30.3.

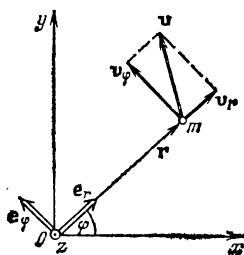


Рис. 30.4.

Найдем выражение момента импульса частицы в полярных координатах  $r$  и  $\varphi$  (рис. 30.4). Согласно формулам (3.12)—(3.15) вектор скорости частицы можно представить в виде

$$\mathbf{v} = \mathbf{v}_r + \mathbf{v}_\varphi = \dot{r}\mathbf{e}_r + r\dot{\varphi}\mathbf{e}_\varphi. \quad (30.3)$$

Подставив это выражение в формулу для  $\mathbf{M}$ , получим:

$$\mathbf{M} = m[\mathbf{r}\mathbf{v}] = m[\mathbf{r}\mathbf{v}_r] + m[\mathbf{r}\mathbf{v}_\varphi].$$

Векторы  $\mathbf{r}$  и  $\mathbf{v}_r$  коллинеарны, поэтому первое слагаемое равно нулю. Следовательно,

$$\mathbf{M} = m[\mathbf{r}\mathbf{v}_\varphi] = m[\mathbf{r}, r\dot{\varphi}\mathbf{e}_\varphi] = mr\dot{\varphi}[\mathbf{r}, \mathbf{e}_\varphi].$$

Векторное произведение  $[\mathbf{r}, \mathbf{e}_\varphi]$  равно  $r\mathbf{e}_z$ , где  $\mathbf{e}_z$  — орт оси  $z$  (на рис. 30.4 этот орт направлен на нас). Таким образом,

$$\mathbf{M} = mr^2\dot{\varphi}\mathbf{e}_z. \quad (30.4)$$

Отсюда заключаем, что

$$M_z = mr^2\dot{\varphi}, \quad (30.5)$$

где  $M_z$  — проекция момента импульса на ось  $z$ . Модуль момента импульса равен модулю выражения (30.5).

Теперь обратимся к энергии частицы. Центральные силы являются консервативными (см. § 21). Согласно (22.1) работа консервативной силы равна убыли потенциальной энергии частицы  $U$ . Поэтому для силы (30.1) имеет место соотношение  $dA = -dU$ , т. е.

$$dU = -dA = -f(r)\mathbf{e}_r dr = -f(r)dr.$$

Проинтегрировав это соотношение, получим, что

$$U = - \int f(r) dr. \quad (30.6)$$

Из (30.6) следует, что потенциальная энергия частицы, находящейся в поле центральных сил, зависит только от расстояния до центра  $r$ :  $U = U(r)$ .

Особый интерес представляют силы, обратно пропорциональные квадрату расстояния от силового центра. Для них функция  $f(r)$  в формуле (30.1) имеет вид

$$f(r) = \frac{\alpha}{r^2}, \quad (30.7)$$

где  $\alpha$  — постоянная величина ( $\alpha > 0$  соответствует случаю отталкивания от центра,  $\alpha < 0$  — случаю притяжения к центру). К числу таких сил принадлежат гравитационные и кулоновские силы.

Подстановка функции (30.7) в выражение (30.6) дает:

$$U = -\alpha \int \frac{dr}{r^2} = \frac{\alpha}{r} + C,$$

где  $C$  — постоянная интегрирования. Обычно условливаются считать потенциальную энергию на бесконечности (т. е. при  $r = \infty$ ) равной нулю. При этом условии  $C = 0$ , так что

$$U = \frac{\alpha}{r}. \quad (30.8)$$

Итак, полная механическая энергия частицы, движущейся в поле центральных сил, обратно пропорциональных квадрату расстояния, определяется выражением

$$E = \frac{mv^2}{2} + \frac{\alpha}{r}. \quad (30.9)$$

Заменив в соответствии с (30.3) квадрат скорости  $v$  суммой квадратов скоростей  $\mathbf{v}_r$  и  $\mathbf{v}_\varphi$ , т. е. подставив вместо  $v^2$  выражение  $\dot{r}^2 + r^2\dot{\varphi}^2$ , получим, что

$$E = \frac{m\dot{r}^2}{2} + \frac{mr^2\dot{\varphi}^2}{2} + \frac{\alpha}{r}. \quad (30.10)$$

В центральном поле энергия и момент импульса частицы сохраняются. Следовательно, левые части формул (30.5) и (30.10) представляют собой константы. Таким образом, мы приходим к системе двух дифференциальных уравнений:

$$\begin{aligned} mr^2\dot{\varphi} &= M_z = \text{const}, \\ m\dot{r}^2 + mr^2\dot{\varphi}^2 + \frac{2\alpha}{r} &= 2E = \text{const}. \end{aligned} \quad (30.11)$$

Проинтегрировав эти уравнения, можно найти  $r$  и  $\varphi$  как функции от  $t$ , т. е. траекторию и характер движения частицы. Отметим, что в уравнения (30.11) входят первые производные по времени от  $r$  и  $\varphi$ . Поэтому их гораздо легче решить, чем уравнения, вытекающие из законов Ньютона, которые содержат вторые производные от координат.

Решение системы (30.11) выходит за рамки данной книги. Мы ограничимся тем, что приведем конечный результат. Траектория частицы представляет собой коническое сечение, т. е. эллипс, либо параболу, либо гиперболу. Какая из этих кривых наблюдается в данном конкретном случае, зависит от знака константы  $\alpha$  и величины полной энергии частицы.

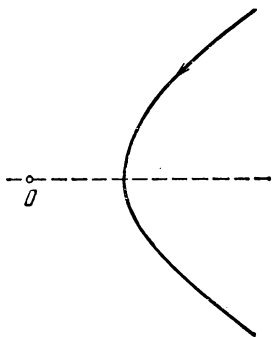


Рис. 30.5.

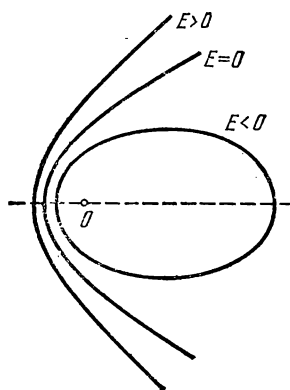


Рис. 30.6.

В случае отталкивания (т. е. при  $\alpha > 0$ ) траекторией частицы может быть только гипербола (рис. 30.5). Если  $M_z = 0$ , гипербола вырождается в прямую, продолжение которой проходит через силовой центр. Заметим, что при  $\alpha > 0$  полная энергия (30.9) не может быть отрицательной.

В случае притяжения (т. е. при  $\alpha < 0$ ) полная энергия может быть как положительной, так и отрицательной; в частности, она может оказаться равной нулю. При  $E > 0$  траектория оказывается гиперболой (рис. 30.6). При  $E = 0$  траектория будет параболой. Этот случай осуществляется, если частица начинает свое движение из состояния покоя на бесконечности (см. (30.9)). Наконец, при  $E < 0$  траекторией будет эллипс. При значениях энергии и момента импульса, удовлетворяющих условию  $E = -m\alpha^2/2M^2$ , эллипс вырождается в окружность.

Движение по эллипсу является финитным, движение по параболе и гиперболу — инфинитным (см. § 26).

## § 31. Задача двух тел

Задачей двух тел называется задача о движении двух взаимодействующих частиц. Система, образованная частицами, предполагается замкнутой. В § 27 было выяснено, что центр масс замкнутой системы либо покоится, либо движется прямолинейно и равномерно. Будем решать задачу в системе центра масс (в ц-системе), поместив начало координат в точку  $C$ . В этом случае  $\mathbf{r}_C = (m_1 \mathbf{r}_1 + m_2 \mathbf{r}_2) / (m_1 + m_2) = 0$ , т. е.

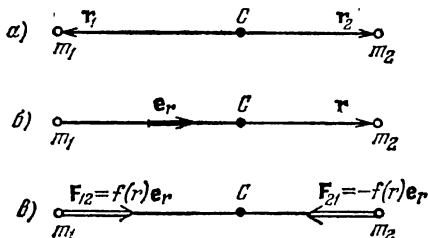


Рис. 31.1.

(рис. 31.1, а). Введем вектор

$$m_1 \mathbf{r}_1 = -m_2 \mathbf{r}_2 \quad (31.1)$$

$$\mathbf{r} = \mathbf{r}_2 - \mathbf{r}_1, \quad (31.2)$$

определяющий положение второй частицы относительно первой (рис. 31.1, б). Решая совместно (31.1) и (31.2), легко найти, что

$$\mathbf{r}_1 = -\frac{m_2}{m_1 + m_2} \mathbf{r}, \quad \mathbf{r}_2 = \frac{m_1}{m_1 + m_2} \mathbf{r}. \quad (31.3)$$

Подобно (23.1), можно написать, что  $\mathbf{F}_{12} = -\mathbf{F}_{21} = f(r) \mathbf{e}_r$ , где  $f(r)$  — функция расстояния между частицами, положительная для сил притяжения (рис. 31.1, в) и отрицательная для сил отталкивания. Напишем уравнения движения частиц:

$$m_1 \ddot{\mathbf{r}}_1 = f(r) \mathbf{e}_r, \quad m_2 \ddot{\mathbf{r}}_2 = -f(r) \mathbf{e}_r.$$

Разделим первое уравнение на  $m_1$ , а второе — на  $m_2$  и вычтем затем из второго уравнения первое. В результате получим:

$$\ddot{\mathbf{r}}_2 - \ddot{\mathbf{r}}_1 = -\left(\frac{f_1}{m_1} + \frac{1}{m_2}\right) f(r) \mathbf{e}_r.$$

Согласно (31.2) левая часть есть  $\ddot{\mathbf{r}}$ . Таким образом,

$$\ddot{\mathbf{r}} = -\left(\frac{1}{m_1} + \frac{1}{m_2}\right) f(r) \mathbf{e}_r. \quad (31.4)$$

Уравнение (31.4) можно формально рассматривать как уравнение движения воображаемой частицы в центральном поле сил. Положение частицы относительно центра сил определяется радиусом-вектором  $\mathbf{r}$ . Согласно (31.4) воображаемой частице нужно приписать массу  $\mu$ , определяемую условием

$$\frac{1}{\mu} = \frac{1}{m_1} + \frac{1}{m_2}. \quad (31.5)$$

Отсюда

$$\mu = \frac{m_1 m_2}{m_1 + m_2}. \quad (31.6)$$

Величина (31.6) называется приведенной массой частиц.

Таким образом, задача двух тел сводится к задаче о движении одной частицы в центральном поле сил. Найдя из (31.4)  $\mathbf{r}$  как функцию  $t$ , можно определить по формулам (31.3)  $\mathbf{r}_1(t)$  и  $\mathbf{r}_2(t)$ . Векторы  $\mathbf{r}_1$  и  $\mathbf{r}_2$  откладываются из центра масс системы  $S$ . Поэтому, чтобы можно было воспользоваться формулами (31.3), радиус-вектор  $\mathbf{r}$  воображаемой частицы нужно откладывать также из точки  $S$  (для реальных частиц вектор (31.2) проводится от первой частицы ко второй).

Из формул (31.3) и рис. 31.1 видно, что обе частицы движутся относительно центра масс по геометрически подобным траекториям <sup>1)</sup>, причем прямая, соединяющая частицы, все время проходит через центр масс.

---

<sup>1)</sup> В случае, когда сила взаимодействия обратно пропорциональна квадрату расстояния между частицами, эти траектории представляют собой эллипсы, или параболы, или гиперболы (см. § 30).

## ГЛАВА IV

### НЕИНЕРЦИАЛЬНЫЕ СИСТЕМЫ ОТСЧЕТА

#### § 32. Силы инерции

Законы Ньютона выполняются только в инерциальных системах отсчета. Относительно всех инерциальных систем данное тело движется с одинаковым ускорением  $\mathbf{w}$ . Любая неинерциальная система отсчета движется относительно инерциальных систем с некоторым ускорением, поэтому ускорение тела в неинерциальной системе отсчета  $\mathbf{w}'$  будет отлично от  $\mathbf{w}$ . Обозначим разность ускорений тела в инерциальной и неинерциальной системах символом  $\mathbf{a}$ :

$$\mathbf{w} - \mathbf{w}' = \mathbf{a}. \quad (32.1)$$

Для поступательно движущейся неинерциальной системы  $\mathbf{a}$  одинаково для всех точек пространства ( $\mathbf{a} = \text{const}$ ) и представляет собой ускорение неинерциальной системы отсчета. Для вращающейся неинерциальной системы  $\mathbf{a}$  в разных точках пространства будет различным ( $\mathbf{a} = \mathbf{a}(\mathbf{r}')$ , где  $\mathbf{r}'$  — радиус-вектор, определяющий положение точки относительно неинерциальной системы отсчета).

Пусть результирующая всех сил, обусловленных действием на данное тело со стороны других тел, равна  $\mathbf{F}$ . Тогда согласно второму закону Ньютона ускорение тела относительно любой инерциальной системы отсчета равно

$$\mathbf{w} = \frac{1}{m} \mathbf{F}.$$

Ускорение же тела относительно некоторой неинерциальной системы можно в соответствии с (32.1) представить в виде

$$\mathbf{w}' = \mathbf{w} - \mathbf{a} = \frac{1}{m} \mathbf{F} - \mathbf{a}.$$

Отсюда следует, что даже при  $\mathbf{F} = 0$  тело будет двигаться по отношению к неинерциальной системе отсчета с ускорением  $-\mathbf{a}$ , т. е. так, как если бы на него действовала сила, равная  $-\mathbf{ma}$ .

Сказанное означает, что при описании движения в неинерциальных системах отсчета можно пользоваться уравнениями Ньютона, если наряду с силами, обусловленными воздействием тел друг

на друга, учитывать так называемые силы инерции  $F_{in}$ , которые следует полагать равными произведению массы тела на взятую с обратным знаком разность его ускорений по отношению к инерциальной и неинерциальной системам отсчета:

$$F_{in} = -m(w - w') = -ma. \quad (32.2)$$

Соответственно уравнение второго закона Ньютона в неинерциальной системе отсчета будет иметь вид

$$mw' = F + F_{in}. \quad (32.3)$$

Поясним наше утверждение следующим примером. Рассмотрим тележку с укрепленным на ней кронштейном, к которому подвешен на нити шарик (рис. 32.1). Пока тележка покоится или движется без ускорения, нить расположена вертикально и сила тяжести  $P$  уравновешивается реакцией нити  $F_r$ . Теперь приведем тележку в поступательное движение с ускорением  $a$ . Нить отклонится от вертикали на такой угол, чтобы результирующая сил  $P$  и  $F_r$  сообщала шарiku ускорение, равное  $a$ . Относительно системы отсчета, связанной с тележкой, шарик покоится, несмотря на то, что результирующая сил  $P$  и  $F_r$  отлична от нуля. Отсутствие ускорения шарика по отношению к этой системе отсчета можно формально объяснить тем, что, кроме сил  $P$  и  $F_r$ , равных в сумме  $ma$ , на шарик действует еще и сила инерции  $F_{in} = -ma$ .

Введение сил инерции дает возможность описывать движение тел в любых (как инерциальных, так и неинерциальных) системах отсчета с помощью одних и тех же уравнений движения.

Следует отчетливо понимать, что силы инерции нельзя ставить в один ряд с такими силами, как упругие, гравитационные силы и силы трения, т. е. силами, обусловленными воздействием на тело со стороны других тел. Силы инерции обусловлены свойствами той системы отсчета, в которой рассматриваются механические явления. В этом смысле их можно назвать фиктивными силами.

Введение в рассмотрение сил инерции не является принципиально необходимым. В принципе любое движение можно всегда

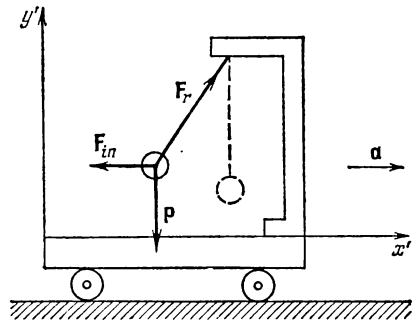


Рис. 32.1.

рассмотреть по отношению к инерциальной системе отсчета. Однако практически часто представляет интерес как раз движение тел по отношению к неинерциальным системам отсчета, например по отношению к земной поверхности. Использование сил инерции дает

возможность решить соответствующую задачу непосредственно по отношению к такой системе отсчета, что часто оказывается значительно проще, чем рассмотрение движения в инерциальной системе.

Характерным свойством сил инерции является их пропорциональность массе тела. Благодаря этому свойству силы инерции оказываются аналогичными силам тяготения. Представим себе, что мы находимся в удаленной от всех внешних тел закрытой кабине, которая движется с ускорением  $g$  в направлении, которое мы назовем «верхом» (рис. 32.2). Тогда все тела, находящиеся внутри кабины, будут вести себя так, как если бы на них действовала сила инерции  $-mg$ . В частности, пружина, к концу которой подвешено тело массы  $m$ , растянется так, чтобы упругая сила уравновесила силу инерции  $-mg$ . Однако такие же явления наблюдались бы и в том случае, если бы кабина была неподвижной и находилась вблизи поверхности Земли. Не имея возможности «выглянуть» за пределы кабины, никакими опытами, проводимыми внутри кабины, мы не смогли бы установить, чем обусловлена сила  $-mg$  — ускоренным движением кабины или действием гравитационного поля Земли. На этом основании говорят об эквивалентности сил инерции и тяготения (в однородном гравитационном поле). Эта эквивалентность лежит в основе общей теории относительности Эйнштейна.

### § 33. Центробежная сила инерции

Рассмотрим диск, вращающийся вокруг перпендикулярной к нему вертикальной оси  $z'$  с угловой скоростью  $\omega$  (рис. 33.1). Вместе с диском вращается надетый на спицу шарик, соединенный с центром диска пружиной. Шарик занимает на спице такое положение, при котором сила натяжения пружины  $F_{\text{пр}}$  оказывается равной произведению массы шарика  $m$  на его ускорение  $w_n = -\omega^2 R$  (см. (5.10);  $R$  — радиус-вектор, проведенный к шарiku из центра диска, его модуль

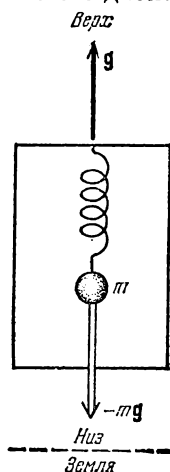


Рис. 32.2.

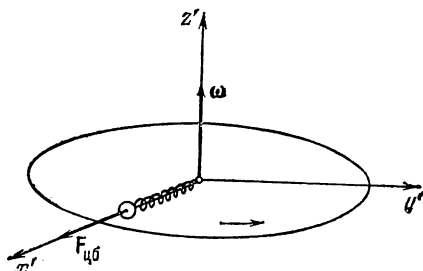


Рис. 33.1.

$R$  дает расстояние шарика от центра диска):

$$\mathbf{F}_{\text{пр}} = -m\omega^2 \mathbf{R}. \quad (33.1)$$

Относительно системы отсчета, связанной с диском, шарик покоится. Это можно формально объяснить тем, что, кроме силы (33.1), на шарик действует сила инерции

$$\mathbf{F}_{\text{цб}} = m\omega^2 \mathbf{R}, \quad (33.2)$$

направленная вдоль радиуса от центра диска.

Силу инерции (33.2), возникающую во вращающейся (по отношению к инерциальным системам) системе отсчета, называют *центробежной силой инерции*. Эта сила действует на

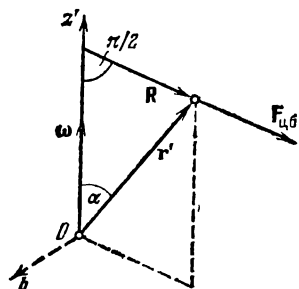


Рис. 33.2.

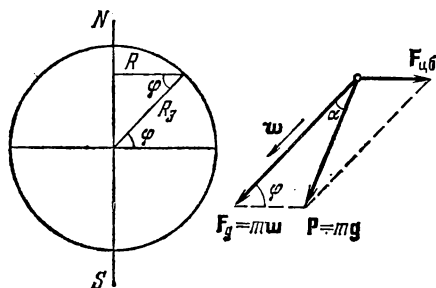


Рис. 33.3.

тело во вращающейся системе отсчета, независимо от того, покоится тело в этой системе (как мы предполагали до сих пор) или движется относительно нее со скоростью  $\mathbf{v}'$ .

Если положение тела во вращающейся системе отсчета характеризовать радиусом-вектором  $\mathbf{r}'$ , центробежную силу инерции можно представить в виде двойного векторного произведения:

$$\mathbf{F}_{\text{цб}} = m[\boldsymbol{\omega}, [\mathbf{r}', \boldsymbol{\omega}]]. \quad (33.3)$$

Действительно, вектор  $\mathbf{b} = [\mathbf{r}', \boldsymbol{\omega}]$  направлен перпендикулярно к векторам  $\boldsymbol{\omega}$  и  $\mathbf{F}_{\text{цб}}$  «на нас» (рис. 33.2) и равен по модулю  $\omega r' \sin \alpha = \omega R$ . Векторное произведение взаимно перпендикулярных векторов  $m\boldsymbol{\omega}$  и  $\mathbf{b}$  совпадает по направлению с  $\mathbf{F}_{\text{цб}}$  и имеет модуль, равный  $m\omega b = m\omega^2 R = F_{\text{цб}}$ .

При точном решении задач о движении тел относительно земной поверхности нужно учитывать центробежную силу инерции, равную  $m\omega^2 R$ , где  $m$  — масса тела,  $\omega$  — угловая скорость вращения Земли вокруг ее оси,  $R$  — расстояние тела от земной оси (рис. 33.3). В случаях, когда высота тел над поверхностью Земли невелика, можно положить  $R$  равным  $R_3 \cos \varphi$  ( $R_3$  — радиус Земли,  $\varphi$  — широта местности). Тогда выражение для центробежной силы

инерции примет вид

$$F_{цб} = m\omega^2 R_3 \cos \varphi. \quad (33.4)$$

Наблюдаемое относительно Земли ускорение свободного падения тел  $g$  обусловлено действием силы  $F_g$ , с которой тело притягивается Землей, и силы  $F_{цб}$ . Результирующая этих сил

$$\mathbf{P} = \mathbf{F}_g + \mathbf{F}_{цб} \quad (33.5)$$

есть сила тяжести, равная  $mg$  (см. (16.1)).

Отличие силы тяжести  $\mathbf{P}$  от силы притяжения к Земле  $\mathbf{F}_g$  невелико, так как центробежная сила инерции значительно меньше, чем  $\mathbf{F}_g$ . Так, для массы в 1 кг наибольшее значение  $F_{цб}$ , наблюдаемое на экваторе, равно

$$m\omega^2 R_3 = 1 \cdot (2\pi/86400)^2 \cdot 6,4 \cdot 10^8 = 0,035 \text{ Н},$$

в то время как  $F_g$  равна приблизительно 9,8 Н, т. е. почти в 300 раз больше.

Угол  $\alpha$  между направлениями  $\mathbf{F}_g$  и  $\mathbf{P}$  (см. рис. 33.3) можно определить, воспользовавшись теоремой синусов:

$$\frac{\sin \alpha}{\sin \varphi} = \frac{F_{цб}}{P} = \frac{m\omega^2 R_3 \cos \varphi}{mg} \approx \frac{0,035}{9,8} \cos \varphi \approx 0,0035 \cos \varphi,$$

откуда

$$\sin \alpha \approx 0,0035 \sin \varphi \cos \varphi \approx 0,0018 \sin 2\varphi.$$

Синус малого угла можно приближенно заменить значением самого угла. В результате получим, что

$$\alpha \approx 0,0018 \sin 2\varphi. \quad (33.6)$$

Таким образом, угол  $\alpha$  изменяется в пределах от нуля (на экваторе, где  $\varphi=0$ , и на полюсах, где  $\varphi=90^\circ$ ) до 0,0018 рад или 6' (на широте  $45^\circ$ ).

Направление силы  $\mathbf{P}$  совпадает с направлением нити, натянутой грузом, которое называется направлением отвеса или вертикальным направлением. Сила  $\mathbf{F}_g$  направлена к центру Земли. Следовательно, вертикаль направлена к центру Земли только на полюсах и на экваторе, отклоняясь на промежуточных широтах на угол  $\alpha$ , определяемый выражением (33.6).

Разность  $F_g - P$  равна нулю на полюсах и достигает максимума, равного 0,3% силы  $F_g$ , на экваторе. Из-за сплюснутости Земли у полюсов сила  $F_g$  сама по себе несколько варьирует с широтой, будучи на экваторе примерно на 0,2% меньше, чем у полюсов. В итоге ускорение свободного падения изменяется с широтой в пределах от 9,780 м/с<sup>2</sup> на экваторе до 9,832 м/с<sup>2</sup> на полюсах. Значение  $g=9,80665$  м/с<sup>2</sup> принято в качестве нормального (стандартного) значения.

Заметим, что относительно инерциальной, например, гелиоцентрической системы отсчета свободно падающее тело движется с ускорением  $\mathbf{w} = \mathbf{F}_g/m$  (а не  $\mathbf{g}$ ). Из рис. 33.3 видно, что из равенства для разных тел ускорения  $\mathbf{g}$  вытекает и равенство ускорений  $\mathbf{w}$ . Действительно, треугольники, построенные на векторах  $\mathbf{F}_g$  и  $\mathbf{P}$  для разных тел, подобны (углы  $\alpha$  и  $\varphi$  для всех тел в данной точке земной поверхности одинаковы). Следовательно, отношение  $F_g/P$ , которое совпадает с отношением  $w/g$ , для всех тел одно и то же, откуда вытекает, что при одинаковых  $\mathbf{g}$  получаются одинаковыми и  $\mathbf{w}$ .

### § 34. Сила Кориолиса

При движении тела относительно вращающейся системы отсчета, кроме центробежной силы инерции, появляется еще одна сила, называемая силой Кориолиса или кориолисовой силой инерции.

Появление кориолисовой силы можно обнаружить на следующем примере. Возьмем горизонтально расположенный диск, который может вращаться вокруг вертикальной оси. Прочертим на диске радиальную прямую  $OA$  (рис. 34.1, а). Запустим в направлении от  $O$  к  $A$  шарик со скоростью  $\mathbf{v}'$ . Если диск не вращается, шарик будет катиться вдоль прочерченной нами прямой. Если же диск привести во вращение в направлении, указанном стрелкой, то шарик будет катиться по изображенной пунктиром кривой  $OB$ , причем его скорость относительно диска  $\mathbf{v}'$  будет изменять свое направление. Следовательно, по отношению к вращающейся системе отсчета шарик ведет себя так, как если бы на него действовала сила  $\mathbf{F}_K$ , перпендикулярная к скорости  $\mathbf{v}'$ .

Чтобы заставить шарик катиться по вращающемуся диску вдоль радиальной прямой, нужно сделать направляющую, например, в виде ребра  $OA$  (рис. 34.1, б). При качении шарика направляющее ребро действует на него с некоторой силой  $\mathbf{F}_r$ . Относительно вращающейся системы (диска) шарик движется с постоянной по направлению скоростью. Это можно формально объяснить тем, что сила  $\mathbf{F}_r$  уравнивается приложенной к шарiku силой инерции  $\mathbf{F}_K$ , перпендикулярной к скорости  $\mathbf{v}'$ . Сила  $\mathbf{F}_K$  и есть кориолисова сила инерции.

Найдем сначала выражение силы Кориолиса для частного случая, когда частица  $m$  движется относительно вращающейся системы

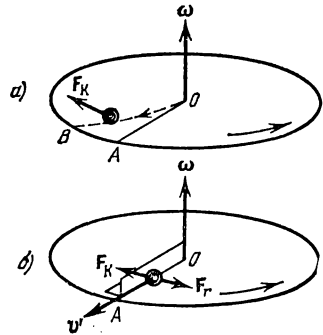


Рис. 34.1.

отсчета равномерно по окружности, лежащей в плоскости, перпендикулярной к оси вращения, с центром, находящимся на этой оси (рис. 34.2). Скорость частицы относительно вращающейся системы обозначим  $\mathbf{v}'$ . Скорость частицы относительно неподвижной (инерциальной) системы отсчета  $\mathbf{v}$  равна по величине  $\mathbf{v}' + \omega R$  в случае (а) и  $|\mathbf{v}' - \omega R|$  в случае (б), где  $\omega$  — угловая скорость вращающейся системы,  $R$  — радиус окружности (см. (5.7)).

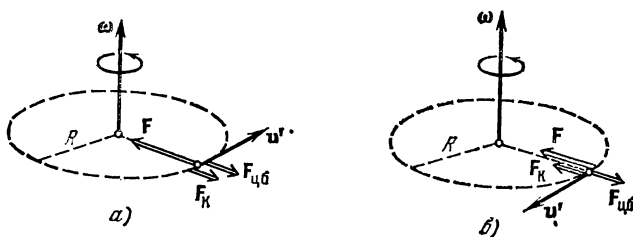


Рис. 34.2.

Для того чтобы частица двигалась относительно неподвижной системы по окружности со скоростью  $v = v' + \omega R$ , на нее должна действовать направленная к центру окружности сила  $\mathbf{F}$ , например, сила натяжения нити, которой частица привязана к центру окружности (см. рис. 34.2, а). Величина этой силы равна

$$F = m\omega_n = \frac{mv^2}{R} = \frac{m(v' + \omega R)^2}{R} = \frac{mv'^2}{R} + 2mv'\omega + m\omega^2 R. \quad (34.1)$$

Относительно вращающейся системы частица в этом случае движется с ускорением  $\omega'_n = v'^2/R$ , т. е. так, как если бы на нее действовала сила

$$m\omega'_n = \frac{mv'^2}{R} = F - 2mv'\omega - m\omega^2 R \quad (34.2)$$

(см. (34.1)). Таким образом, во вращающейся системе частица ведет себя так, как если бы на нее, кроме направленной к центру окружности силы  $\mathbf{F}$ , действовали еще две направленные от центра силы:  $\mathbf{F}_{цб} = m\omega^2 \mathbf{R}$  и сила  $\mathbf{F}_K$ , модуль которой равен  $2mv'\omega$  (рис. 34.2, а). Легко сообразить, что силу  $\mathbf{F}_K$  можно представить в виде

$$\mathbf{F}_K = 2m[\mathbf{v}'\omega]. \quad (34.3)$$

Сила (34.3) и есть кориолисова сила инерции. При  $\mathbf{v}' = 0$  эта сила отсутствует. Сила  $\mathbf{F}_{цб}$  не зависит от  $\mathbf{v}'$  — она, как мы уже отмечали, действует как на покоящиеся, так и на движущиеся тела.

В случае, изображенном на рис. 34.2, б,

$$F = \frac{mv^2}{R} = \frac{m(v' - \omega R)^2}{R} = \frac{mv'^2}{R} - 2mv'\omega + m\omega^2 R.$$

Соответственно

$$\frac{mv'^2}{R} = F + 2mv'\omega - m\omega^2 R.$$

Следовательно, во вращающейся системе частица ведет себя так, как если бы на нее действовали две направленные к центру окружности силы:  $\mathbf{F}$  и  $\mathbf{F}_K$ , а также направленная от центра сила  $\mathbf{F}_{цб} = m\omega^2 R$  (см. рис. 34.2, б). Сила  $\mathbf{F}_K$  и в этом случае может быть представлена в виде (34.3).

Теперь перейдем к нахождению выражения силы Кориолиса для случая, когда частица движется относительно вращающейся системы отсчета произвольным образом. Свяжем с вращающейся системой координатные оси  $x'$ ,  $y'$ ,  $z'$ , причем ось  $z'$  совместим с осью вращения (рис. 34.3). Тогда радиус-вектор частицы можно представить в виде

$$\mathbf{r}' = x'\mathbf{e}'_x + y'\mathbf{e}'_y + z'\mathbf{e}'_z, \quad (34.4)$$

где  $\mathbf{e}'_x$ ,  $\mathbf{e}'_y$  и  $\mathbf{e}'_z$  — орты координатных осей. Орты  $\mathbf{e}'_x$  и  $\mathbf{e}'_y$  вращаются вместе с системой отсчета с угловой скоростью  $\omega$ , орт  $\mathbf{e}'_z$  остается неподвижным.

Положение частицы относительно неподвижной системы следует

определять с помощью радиуса-вектора  $\mathbf{r}$ . Однако символы  $\mathbf{r}'$  и  $\mathbf{r}$  обозначают один и тот же вектор, проведенный из начала координат к частице. Символом  $\mathbf{r}'$  обозначил этот вектор наблюдатель, «живущий» во вращающейся системе отсчета; по его наблюдениям орты  $\mathbf{e}'_x$ ,  $\mathbf{e}'_y$ ,  $\mathbf{e}'_z$  неподвижны, поэтому при дифференцировании выражения (34.4) он обращается с этими ортами как с константами. Символом  $\mathbf{r}$  пользуется неподвижный наблюдатель; для него орты  $\mathbf{e}'_x$  и  $\mathbf{e}'_y$  вращаются со скоростью  $\omega$  (орт  $\mathbf{e}'_z$  неподвижен). Поэтому при дифференцировании равного  $\mathbf{r}$  выражения (34.4) неподвижный наблюдатель должен обращаться с  $\mathbf{e}'_x$  и  $\mathbf{e}'_y$  как с функциями  $t$ , производные которых равны:

$$\dot{\mathbf{e}}'_x = \omega \mathbf{e}'_y, \quad \dot{\mathbf{e}}'_y = -\omega \mathbf{e}'_x \quad (34.5)$$

(см. рис. 34.3 и формулу (2.56); орт  $\mathbf{e}_{\perp x'}$ , перпендикулярный к  $\mathbf{e}'_x$ , равен  $\mathbf{e}'_y$ , орт  $\mathbf{e}_{\perp y'}$ , перпендикулярный к  $\mathbf{e}'_y$ , равен  $-\mathbf{e}'_x$ ). Для вторых производных ортов по времени получаются выражения:

$$\ddot{\mathbf{e}}'_x = \omega \dot{\mathbf{e}}'_y = -\omega^2 \mathbf{e}'_x, \quad \ddot{\mathbf{e}}'_y = -\omega \dot{\mathbf{e}}'_x = -\omega^2 \mathbf{e}'_y. \quad (34.6)$$

Найдем скорость частицы относительно вращающейся системы отсчета. Для этого продифференцируем радиус-вектор (34.4) по времени, считая орты константами:

$$\mathbf{v}' = \dot{\mathbf{r}}' = \dot{x}'\mathbf{e}'_x + \dot{y}'\mathbf{e}'_y + \dot{z}'\mathbf{e}'_z. \quad (34.7)$$

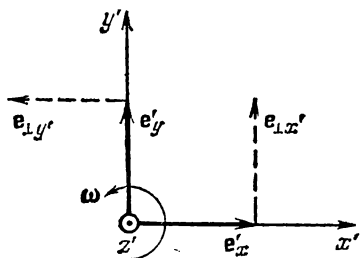


Рис. 34.3.

Повторное дифференцирование этого выражения даст ускорение частицы относительно вращающейся системы отсчета:

$$\mathbf{w}' = \dot{\mathbf{v}}' = \ddot{x}'\mathbf{e}_x' + \ddot{y}'\mathbf{e}_y' + \ddot{z}'\mathbf{e}_z'. \quad (34.8)$$

Теперь найдем скорость частицы относительно неподвижной системы отсчета. Для этого продифференцируем радиус-вектор (34.4) «с позиций» неподвижного наблюдателя. Воспользовавшись обозначением  $\mathbf{r}$  вместо  $\mathbf{r}'$  (напомним, что  $\mathbf{r} \equiv \mathbf{r}'$ ), получим:

$$\mathbf{v} = \dot{\mathbf{r}} = \dot{x}'\mathbf{e}_x' + x'\dot{\mathbf{e}}_x' + \dot{y}'\mathbf{e}_y' + y'\dot{\mathbf{e}}_y' + \dot{z}'\mathbf{e}_z'. \quad (34.9)$$

Продифференцировав это выражение еще раз по  $t$ , найдем ускорение частицы относительно неподвижной системы:

$$\mathbf{w} = \dot{\mathbf{v}} = \ddot{x}'\mathbf{e}_x' + 2\dot{x}'\dot{\mathbf{e}}_x' + x'\ddot{\mathbf{e}}_x' + \ddot{y}'\mathbf{e}_y' + 2\dot{y}'\dot{\mathbf{e}}_y' + y'\ddot{\mathbf{e}}_y' + \ddot{z}'\mathbf{e}_z'.$$

Приняв во внимание формулы (34.5), (34.6) и (34.8), полученное соотношение можно преобразовать к виду:

$$\mathbf{w} = \mathbf{w}' + 2\omega(\dot{x}'\mathbf{e}_y' - \dot{y}'\mathbf{e}_x') - \omega^2(x'\mathbf{e}_x' + y'\mathbf{e}_y'). \quad (34.10)$$

Рассмотрим векторное произведение  $[\omega, \mathbf{v}']$ . Представим его в виде определителя (см. (2.33)):

$$[\omega, \mathbf{v}'] = \begin{vmatrix} \mathbf{e}_x' & \mathbf{e}_y' & \mathbf{e}_z' \\ \omega_x & \omega_y & \omega_z \\ v_x' & v_y' & v_z' \end{vmatrix}. \quad (34.11)$$

Согласно (34.7)  $v_x' = \dot{x}'$ ,  $v_y' = \dot{y}'$ ,  $v_z' = \dot{z}'$ , кроме того, при выбранном нами направлении координатных осей  $\omega_x = \omega_y = 0$ ,  $\omega_z = \omega$ . Подстановка этих значений в (34.11) дает

$$[\omega, \mathbf{v}'] = \begin{vmatrix} \mathbf{e}_x' & \mathbf{e}_y' & \mathbf{e}_z' \\ 0 & 0 & \omega \\ \dot{x}' & \dot{y}' & \dot{z}' \end{vmatrix} = -\mathbf{e}_x'\omega\dot{y}' + \mathbf{e}_y'\omega\dot{x}'. \quad (34.12)$$

Полученный результат показывает, что второй член формулы (34.10) можно записать в виде  $2[\omega, \mathbf{v}']$ . Выражение, стоящее в скобках в последнем члене формулы (34.10), равно перпендикулярной к оси вращения (к оси  $z'$ ) составляющей радиуса-вектора  $\mathbf{r}'$  (см. (34.4)). Обозначим эту составляющую символом  $\mathbf{R}$  (ср. с рис. 5.5). С учетом всего сказанного соотношение (34.10) можно записать следующим образом:

$$\mathbf{w} = \mathbf{w}' + 2[\omega, \mathbf{v}'] - \omega^2\mathbf{R}. \quad (34.13)$$

Из (34.13) вытекает, что ускорение частицы относительно неподвижной системы отсчета можно представить в виде суммы трех ускорений: ускорения относительно вращающейся системы  $\mathbf{w}'$ ,

ускорения, равного  $-\omega^2 \mathbf{R}^1$ ), и ускорения

$$\mathbf{w}_K = 2[\boldsymbol{\omega}, \mathbf{v}'], \quad (34.14)$$

которое называется кориолисовым ускорением.

Для того чтобы частица двигалась с ускорением (34.13), на нее должны действовать какие-то тела с результирующей силой  $\mathbf{F} = m\mathbf{w}$ . Согласно (34.13)

$$m\mathbf{w}' = m\mathbf{w} - 2m[\boldsymbol{\omega}, \mathbf{v}'] + m\omega^2 \mathbf{R} = \mathbf{F} + 2m[\mathbf{v}', \boldsymbol{\omega}] + m\omega^2 \mathbf{R} \quad (34.15)$$

(перестановка сомножителей изменяет знак векторного произведения). Полученный результат означает, что при составлении уравнения второго закона Ньютона во вращающейся системе отсчета, кро-

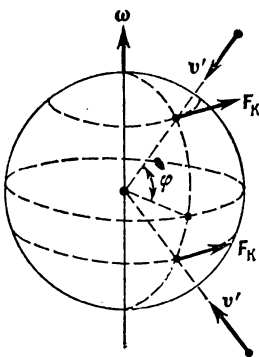


Рис. 34.4.

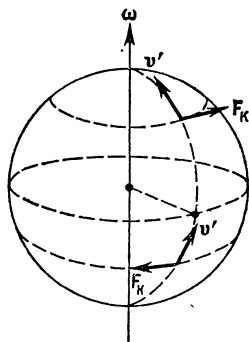


Рис. 34.5.

ме сил взаимодействия, нужно учитывать центробежную силу инерции, определяемую формулой (33.2), а также кориолисову силу, которая и в самом общем случае определяется формулой (34.3). Отметим, что сила Кориолиса всегда лежит в плоскости, перпендикулярной к оси вращения.

Из сопоставления формул (34.9), (34.7) и (34.5) вытекает, что

$$\mathbf{v} = \mathbf{v}' + x'\dot{\mathbf{e}}_x + y'\dot{\mathbf{e}}_y = \mathbf{v}' + \boldsymbol{\omega} (x'\mathbf{e}_y - y'\mathbf{e}_x).$$

С помощью выкладок, аналогичных тем, которые привели нас к соотношению (34.13), можно убедиться в том, что последний член полученного выражения равен  $[\boldsymbol{\omega}, \mathbf{r}']$ . Следовательно,

$$\mathbf{v} = \mathbf{v}' + [\boldsymbol{\omega}, \mathbf{r}']. \quad (34.16)$$

При  $\mathbf{v}' = 0$  эта формула переходит в (5.8).

<sup>1)</sup> Ускорение  $\mathbf{w}_n = -\omega^2 \mathbf{R}$  называется переносным. Оно представляет собой то ускорение, которым обладала бы частица, покоящаяся в движущейся (в нашем случае во вращающейся) системе отсчета.

**Примеры движений, в которых проявляется кориолисова сила инерции.** При истолковании явлений, связанных с движением тел относительно земной поверхности, в ряде случаев необходимо учитывать влияние кориолисовых сил. Например, при свободном падении тел на них действует кориолисова сила, обуславливающая отклонение к востоку от линии отвеса (рис. 34.4). Эта сила максимальна на экваторе и обращается в нуль на полюсах.

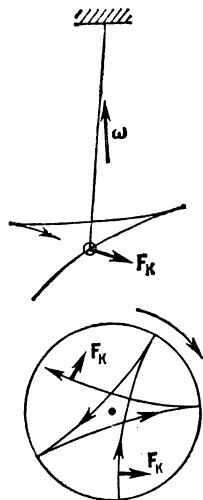


Рис. 34.6.

Летающий снаряд также испытывает отклонения, обусловленные кориолисовыми силами инерции (рис. 34.5). При выстреле из орудия, направленного на север, снаряд будет отклоняться к востоку в северном полушарии и к западу — в южном. При стрельбе вдоль меридиана на юг направления отклонения будут противоположными. При стрельбе вдоль экватора силы Кориолиса будут прижимать снаряд к Земле, если выстрел произведен в направлении на запад, и поднимать его кверху, если выстрел произведен в восточном направлении. Предоставляем читателю самому убедиться в том, что сила Кориолиса, действующая на тело, движущееся вдоль меридиана в любом направлении (на север или на юг), направлена по отношению к направлению движения вправо в северном полушарии и влево в южном полушарии. Это приводит к тому, что у рек подмывается всегда правый берег в северном полушарии и левый берег в южном полушарии. Эти же причины объясняют неодинаковый износ рельсов при двухколейном движении.

Силы Кориолиса проявляются и при качаниях маятника. На рис. 34.6 показана траектория груза маятника (для простоты предположено, что маятник находится на полюсе). На северном полюсе сила Кориолиса будет все время направлена вправо по ходу маятника, на южном полюсе — влево. В итоге траектория имеет вид розетки.

Как следует из рисунка, плоскость качаний маятника поворачивается относительно Земли в направлении часовой стрелки, причем за сутки она совершает один оборот. Относительно гелиоцентрической системы отсчета дело обстоит так, что плоскость качаний остается неизменной, а Земля поворачивается относительно нее, делая за сутки один оборот. Можно показать, что на широте  $\varphi$  плоскость качаний маятника поворачивается за сутки на угол  $2\pi \sin \varphi$ .

Таким образом, наблюдения за вращением плоскости качаний маятника (маятники, предназначенные для этой цели, называются маятниками Фуко) дают непосредственное доказательство вращения Земли вокруг своей оси.

### § 35. Законы сохранения в неинерциальных системах отсчета

С учетом сил инерции уравнения движения в неинерциальной системе ничем не отличаются от уравнений движения в инерциальной системе отсчета. Поэтому все следствия, вытекающие из уравнений движения, в частности соотношения (24.12), (27.3) и (29.18), остаются справедливыми и в неинерциальных системах отсчета.

В неинерциальной системе формула (24.12) имеет вид:

$$E_2 - E_1 = A_{12 \text{ неконсерв}} + A_{12 \text{ инерц}}, \quad (35.1)$$

где  $A_{12 \text{ инерц}}$  — работа сил инерции.

Формулы (27.3) и (29.18) выглядят в неинерциальной системе следующим образом:

$$\frac{d}{dt} \mathbf{p} = \sum \mathbf{F}_{\text{внешн}} + \sum \mathbf{F}_{\text{инерц}}, \quad (35.2)$$

$$\frac{d}{dt} \mathbf{M} = \sum \mathbf{N}_{\text{внешн}} + \sum \mathbf{N}_{\text{инерц}}. \quad (35.3)$$

Здесь  $\mathbf{F}_{\text{внешн}}$  — сила, обусловленная взаимодействием,  $\mathbf{F}_{\text{инерц}}$  — сила инерции;  $\mathbf{N}_{\text{внешн}}$  и  $\mathbf{N}_{\text{инерц}}$  — моменты указанных сил.

Центробежная сила инерции  $\mathbf{F}_{\text{цб}} = m\omega^2 \mathbf{R}$  является консервативной. Действительно, работа этой силы равна

$$A_{12 \text{ цб}} = \int_1^2 \mathbf{F}_{\text{цб}} d\mathbf{r} = m\omega^2 \int_1^2 \mathbf{R} d\mathbf{r}.$$

Из рис. 35.1 видно, что проекция вектора  $d\mathbf{r}$  на направление вектора  $\mathbf{R}$  равна  $dR$  — приращению модуля  $\mathbf{R}$ . Следовательно,  $\mathbf{R} d\mathbf{r} = R dR = = d(R^2/2)$ . Таким образом,

$$A_{12 \text{ цб}} = m\omega^2 \int_1^2 d\left(\frac{R^2}{2}\right) = m\omega^2 \frac{R_2^2}{2} - m\omega^2 \frac{R_1^2}{2}. \quad (35.4)$$

Полученное выражение, очевидно, не зависит от пути, по которому происходило перемещение из точки 1 в точку 2.

Консервативность силы  $\mathbf{F}_{\text{цб}}$  позволяет ввести потенциальную энергию частицы  $U_{\text{цб}}$  (центробежную энергию), убывь которой определяет работу центробежной силы инерции:

$$A_{12 \text{ цб}} = U_{\text{цб } 1} - U_{\text{цб } 2} \quad (35.5)$$

(см. формулу (22.1)). Из сопоставления формул (35.4) и (35.5)

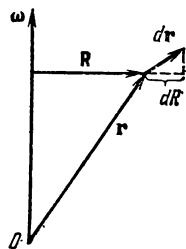


Рис. 35.1.

заключаем, что

$$U_{цб} = -\frac{1}{2} m \omega^2 R^2 + \text{const.}$$

Константу можно положить равной нулю. Тогда для центробежной энергии получится следующее выражение:

$$U_{цб} = -\frac{1}{2} m \omega^2 R^2. \quad (35.6)$$

Если выражение (35.6) добавить к потенциальной энергии частицы, то в величину  $A_{12 \text{ инерц}}$  в формуле (35.1) не следует включать работу центробежной силы инерции.

## ГЛАВА V

### МЕХАНИКА ТВЕРДОГО ТЕЛА

#### § 36. Движение твердого тела

В § 1 мы познакомились с двумя основными видами движения твердого тела — поступательным и вращательным.

При поступательном движении все точки тела получают за один и тот же промежуток времени равные по величине и направлению перемещения, вследствие чего скорости и ускорения всех точек в каждый момент времени оказываются одинаковыми. Поэтому достаточно определить движение одной из точек тела (например, его центра

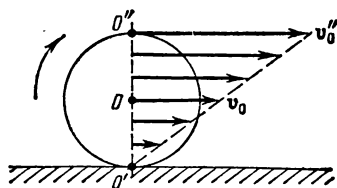


Рис. 36.1.

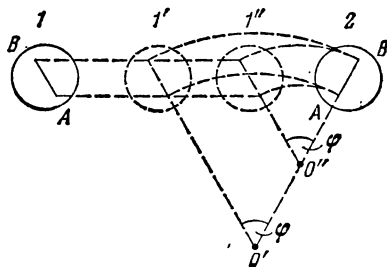


Рис. 36.2.

масс) для того, чтобы охарактеризовать полностью движение всего тела.

При вращательном движении все точки твердого тела движутся по окружностям, центры которых лежат на одной и той же прямой, называемой осью вращения. Для описания вращательного движения нужно задать положение в пространстве оси вращения и угловую скорость тела в каждый момент времени.

Оказывается, что любое движение твердого тела может быть представлено как наложение двух указанных выше основных видов движения. Покажем это для случая плоского движения, т. е. такого, при котором все точки тела перемещаются в параллельных плоскостях. Примером плоского движения может служить качение цилиндра по плоскости (рис. 36.1).

Произвольное перемещение твердого тела из положения 1 в положение 2 (рис. 36.2) можно представить как сумму двух перемещений — поступательного перемещения из положения 1 в положение 1' или 1'' и поворота вокруг оси  $O'$  или оси  $O''$ . Очевидно, что такое разбиение перемещения на поступательное и вращательное может быть осуществлено бесчисленным множеством способов, однако в любом случае производится поворот на один и тот же угол  $\varphi$ .

В соответствии со сказанным выше элементарное перемещение какой-либо точки тела  $ds$  можно разложить на два перемещения — «поступательное»  $ds_{\pi}$  и «вращательное»  $ds_{\text{в}}$ :

$$ds = ds_{\pi} + ds_{\text{в}},$$

причем  $ds_{\pi}$  для всех точек тела одно и то же. Такое разложение перемещения  $ds$  можно, как мы видели, осуществить различными способами, причем в каждом случае вращательное перемещение  $ds_{\text{в}}$  осуществляется поворотом тела на один и тот же угол  $d\varphi$  (но относительно различных осей), в то время как  $ds_{\pi}$  и  $ds_{\text{в}}$  оказываются различными.

Разделив  $ds$  на соответствующий промежуток времени  $dt$ , получим скорость точки

$$\mathbf{v} = \frac{ds}{dt} = \frac{ds_{\pi}}{dt} + \frac{ds_{\text{в}}}{dt} = \mathbf{v}_0 + \mathbf{v}',$$

где  $\mathbf{v}_0$  — одинаковая для всех точек тела скорость поступательного движения и  $\mathbf{v}'$  — различная для разных точек тела скорость, обусловленная вращением.

Таким образом, плоское движение твердого тела можно представить как сумму двух движений — поступательного со скоростью  $\mathbf{v}_0$  и вращательного с угловой скоростью  $\omega$  (вектор  $\omega$  на рис. 36.1 направлен перпендикулярно к плоскости чертежа, за чертеж). Подобное представление сложного движения можно осуществить множеством способов, отличающихся значениями  $\mathbf{v}_0$  и  $\mathbf{v}'$ , но соответствующих одной и той же угловой скорости  $\omega$ . Например, движение цилиндра, катящегося без скольжения по плоскости (рис. 36.1), можно представить как поступательное движение со скоростью  $\mathbf{v}_0$  и одновременное вращение с угловой скоростью  $\omega$  вокруг оси  $O$ , либо как поступательное движение со скоростью  $\mathbf{v}_0'' = 2\mathbf{v}_0$  и вращение с той же угловой скоростью  $\omega$  вокруг оси  $O''$ , либо, наконец, как одно только вращение опять-таки с той же угловой скоростью  $\omega$  вокруг оси  $O'$ .

Назвав систему отсчета, относительно которой мы рассматриваем сложное движение твердого тела, неподвижной, движение тела можно представить как вращение с угловой скоростью  $\omega$  в системе отсчета, которая движется относительно неподвижной системы поступательно со скоростью  $\mathbf{v}_0$ .

Линейная скорость  $\mathbf{v}'$  точки с радиусом-вектором  $\mathbf{r}$ , обусловленная вращением твердого тела, равна  $\mathbf{v}' = [\omega \mathbf{r}]$  (см. (5.8)). Следовательно, скорость этой точки при сложном движении может быть представлена в виде

$$\mathbf{v} = \mathbf{v}_0 + [\omega \mathbf{r}]. \quad (36.1)$$

Элементарное перемещение твердого тела при плоском движении всегда можно представить как поворот вокруг некоторой оси, называемой *мгновенной осью вращения*. Эта ось может лежать в пределах тела, либо вне его. Положение мгновенной оси вращения относительно неподвижной системы отсчета и относительно самого тела, вообще говоря, меняется со временем. В случае катящегося цилиндра (рис. 36.1) мгновенная ось  $O'$  совпадает с линией касания цилиндра с плоскостью. При качении цилиндра мгновенная ось перемещается как по плоскости (т. е. относительно неподвижной системы отсчета), так и по поверхности цилиндра.

Скорости всех точек тела для каждого момента времени можно считать обусловленными вращением вокруг соответствующей мгновенной оси. Следовательно, плоское движение твердого тела можно рассматривать как ряд последовательных элементарных вращений вокруг мгновенных осей.

При неплоском движении элементарное перемещение тела можно представить как поворот вокруг мгновенной оси лишь в том случае, если векторы  $\mathbf{v}_0$  и  $\omega$  взаимно перпендикулярны. Если угол между этими векторами отличен от  $\pi/2$ , движение тела в каждый момент времени будет наложением двух движений — вращения вокруг некоторой оси и поступательного движения вдоль этой оси.

### § 37. Движение центра масс твердого тела

Разбив тело на элементарные массы  $m_i$ , можно представить его как систему материальных точек, взаимное расположение которых остается неизменным. Любая из этих элементарных масс может находиться под воздействием как внутренних сил, обусловленных ее взаимодействием с другими элементарными массами рассматриваемого тела, так и внешних сил. Например, если тело находится в поле сил земного тяготения, на каждую элементарную массу тела  $m_i$  будет действовать внешняя сила, равная  $m_i \mathbf{g}$ .

Напишем для каждой элементарной массы уравнение второго закона Ньютона:

$$m_i \mathbf{w}_i = \mathbf{f}_i + \mathbf{F}_i, \quad (37.1)$$

где  $\mathbf{f}_i$  — результирующая всех внутренних сил, а  $\mathbf{F}_i$  — результирующая всех внешних сил, приложенных к данной элементарной массе. Сложив уравнения (37.1) для всех элементарных масс,

получим:

$$\sum \dot{m}_i \mathbf{w}_i = \sum \mathbf{f}_i + \sum \mathbf{F}_i. \quad (37.2)$$

Однако сумма всех внутренних сил, действующих в системе, равна нулю. Поэтому уравнение (37.2) упрощается следующим образом:

$$\sum m_i \mathbf{w}_i = \sum \mathbf{F}_i. \quad (37.3)$$

Здесь справа стоит результирующая всех внешних сил, действующих на тело.

Сумму, стоящую в левой части формулы (37.3), можно заменить произведением массы тела  $m$  на ускорение его центра масс  $\mathbf{w}_C$ . Действительно, согласно (27.6)

$$\sum m_i \mathbf{r}_i = m \mathbf{r}_C.$$

Продифференцировав это соотношение дважды по времени и приняв во внимание, что  $\ddot{\mathbf{r}}_i = \mathbf{w}_i$ , а  $\ddot{\mathbf{r}}_C = \mathbf{w}_C$ , можно написать:

$$\sum m_i \mathbf{w}_i = m \mathbf{w}_C. \quad (37.4)$$

Сопоставив формулы (37.3) и (37.4), придем к уравнению

$$m \mathbf{w}_C = \sum \mathbf{F}_{\text{внешн}}, \quad (37.5)$$

которое означает, что *центр масс твердого тела движется так, как двигалась бы материальная точка с массой, равной массе тела, под действием всех приложенных к телу сил.*

Уравнение (37.5) дает возможность установить движение центра масс твердого тела, если известна масса тела и действующие на него силы. В случае поступательного движения это уравнение будет определять ускорение не только центра масс, но и любой другой точки тела.

### § 38. Вращение тела вокруг неподвижной оси

Рассмотрим твердое тело, которое может вращаться вокруг неподвижной вертикальной оси (рис. 38.1). Чтобы удержать ось от перемещений в пространстве, заключим ее в подшипники. Опирающийся на нижний подшипник фланец  $\Phi$  предотвращает перемещение оси в вертикальном направлении.

Абсолютно твердое тело можно рассматривать как систему частиц (материальных точек) с неизменными расстояниями между ними. Для всякой системы частиц справедливо полученное в § 29 уравнение

$$\frac{d}{dt} \mathbf{M} = \sum \mathbf{N}_{\text{внешн}} \quad (38.1)$$

(см. (29.18)). Это уравнение справедливо и для твердого тела. В последнем случае  $\mathbf{M}$  есть момент импульса тела; справа в (38.1) стоит сумма моментов внешних сил, действующих на тело.

Возьмем на оси вращения точку  $O$  и будем характеризовать положение образующих тело частиц с помощью радиусов-векторов  $\mathbf{r}$ , проведенных из этой точки (на рис. 38.1 показана  $i$ -я частица с массой  $m_i$ ; кружком с крестиком показана скорость  $\mathbf{v}_i$  частицы, направленная за чертеж). Согласно (29.5) момент импульса  $i$ -й частицы относительно точки  $O$  равен

$$\mathbf{M}_i = [\mathbf{r}_i, m_i \mathbf{v}_i] = m_i [\mathbf{r}_i, \mathbf{v}_i]. \quad (38.2)$$

Векторы  $\mathbf{r}_i$  и  $\mathbf{v}_i$  для всех частиц тела взаимно перпендикулярны. Поэтому модуль вектора (38.2) равен

$$M_i = m_i r_i v_i = m_i r_i \omega R_i, \quad (38.3)$$

где  $R_i$  — расстояние частицы от оси вращения (см. формулу (5.7)).

Отметим, что согласно (38.3) модуль вектора  $\mathbf{M}_i$  пропорционален скорости вращения тела  $\omega$ ; направление же вектора  $\mathbf{M}_i$  от  $\omega$  не зависит — этот вектор лежит в плоскости, проходящей через ось вращения и частицу  $m_i$ , и перпендикулярен к  $\mathbf{r}_i$ .

Легко убедиться в том, что для всех образующих тело частиц угол между векторами  $\mathbf{M}_i$  и  $\omega$  является острым. Поэтому проекции этих векторов на совпадающую с осью вращения ось  $z$  имеют одинаковые знаки. С учетом этого можно написать, что

$$M_{zi} = M_i \cos \alpha_i = m_i r_i \omega R_i \cos \alpha_i = m_i (r_i \cos \alpha_i) R_i \omega = m_i R_i^2 \omega_z. \quad (38.4)$$

Здесь  $\alpha_i$  — угол между вектором  $\mathbf{M}_i$  и осью  $z$ . При изменении направления оси  $z$  на обратное обе проекции —  $M_{zi}$  и  $\omega_z$  — изменяют знак, однако равенство (38.4) остается справедливым.

Просуммировав выражение (38.4) по всем частицам, получим момент импульса тела относительно совпадающей с осью вращения оси  $z$ :

$$M_z = \sum M_{zi} = \sum m_i R_i^2 \omega_z = \omega_z \sum m_i R_i^2. \quad (38.5)$$

Величина  $I$ , равная сумме произведений элементарных масс на квадраты их расстояний от некоторой оси, называется **моментом инерции** тела относительно данной оси:

$$I = \sum m_i R_i^2. \quad (38.6)$$

Суммирование производится по всем элементарным массам  $m_i$ , на которые можно разбить тело.

Приняв во внимание формулу (38.6), выражение (38.5) можно представить в виде

$$M_z = I \omega_z. \quad (38.7)$$

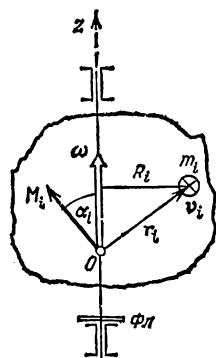


Рис. 38.1.

Полученная формула аналогична формуле  $p_z = mv_z$ . Роль массы играет момент инерции, роль линейной скорости — угловая скорость.

Из вида выражения (38.7) следует, что величина  $M_z$  не зависит от того, относительно какой точки  $O$  (лежащей на оси вращения) берется момент  $\mathbf{M}$ .

Согласно (29.19)

$$\frac{d}{dt} M_z = \sum N_{z \text{ внешн.}}$$

Подставив сюда выражение (38.7) для  $M_z$ , приходим к уравнению

$$I\beta_z = \sum N_{z \text{ внешн.}} \quad (38.8)$$

где  $\beta_z = \dot{\omega}_z$  есть проекция углового ускорения на ось  $z$ . Уравнение (38.8) аналогично уравнению  $m\omega_z = \sum F_z$ . Роль массы играет момент инерции, роль линейного ускорения — угловое ускорение и, наконец, роль результирующей силы — суммарный момент внешних сил.

Сумма выражений (38.2) дает момент импульса тела относительно точки  $O$  (см. рис. 38.1):

$$\mathbf{M} = \sum \mathbf{M}_i = \sum m_i [\mathbf{r}_i, \mathbf{v}_i]. \quad (38.9)$$

В общем случае вектор  $\mathbf{M}$  не совпадает по направлению с осью вращения тела  $z$  и поворачивается вместе с телом вокруг этой оси, описывая конус (рис. 38.2).

Из соображений симметрии ясно, что для однородного <sup>1)</sup> тела, симметричного относительно оси вращения (для однородного тела вращения), момент импульса относительно точки  $O$ , лежащей на оси вращения, совпадает по направлению с вектором  $\boldsymbol{\omega}$ . В этом случае модуль момента импульса  $M$  равен  $|M_z|$  — модулю проекции  $\mathbf{M}$  на ось  $z$ . Приняв во внимание выражение (38.7), получим, что

$$M = I |\omega_z| = I\omega.$$

Наконец, учтя, что векторы  $\mathbf{M}$  и  $\boldsymbol{\omega}$  имеют одинаковое направление, приходим к соотношению

$$\mathbf{M} = I\boldsymbol{\omega}. \quad (38.10)$$

Напомним, что, в отличие от соотношения (38.7), справедливого для любого тела, соотношение (38.10) имеет место лишь в случае тела, вращающегося вокруг оси симметрии, а также, как мы увидим ниже, для несимметричного тела, вращающегося вокруг одной из своих главных осей инерции.

В случае, когда ось вращения проходит через центр масс тела  $C$ , значение момента  $\mathbf{M}$  не зависит от положения на оси вращения точки  $O$ , относительно которой он берется. Действительно, возьмем на оси вращения точки  $O$  и  $O'$ , смещенные друг относительно друга на

<sup>1)</sup> В механике однородным называется тело с одинаковой во всем объеме плотностью (см. § 39).

отрезок  $\mathbf{a}$  (рис. 38.3). Из рисунка видно, что  $\mathbf{r}'_i = \mathbf{a} + \mathbf{r}_i$ . Момент импульса относительно точки  $O'$  равен

$$\mathbf{M}' = \sum m_i [\mathbf{r}'_i, \mathbf{v}_i] = \sum m_i [(\mathbf{a} + \mathbf{r}_i), \mathbf{v}_i] = \sum m_i [\mathbf{a}, \mathbf{v}_i] + \sum m_i [\mathbf{r}_i, \mathbf{v}_i].$$

Второе слагаемое в правой части представляет собой момент импульса  $\mathbf{M}$  относительно точки  $O$ . Первое слагаемое можно преобразовать следующим образом:

$$\sum m_i [\mathbf{a}, \mathbf{v}_i] = [\mathbf{a}, \sum m_i \mathbf{v}_i] = [\mathbf{a}, m \mathbf{v}_C].$$

Поскольку центр масс лежит на оси вращения,  $\mathbf{v}_C = 0$  и, следовательно,  $\mathbf{M}' = \mathbf{M}$ . Для однородного тела, вращающегося вокруг оси симметрии, независимость  $\mathbf{M}$  от положения точки  $O$  вытекает из вида формулы (38.10).

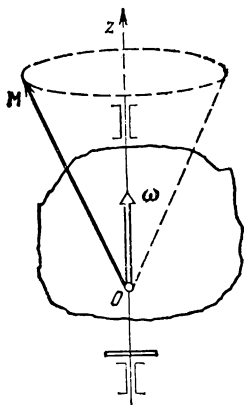


Рис. 38.2.

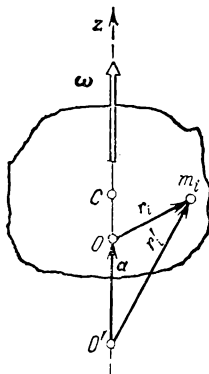


Рис. 38.3.

В случае вращения вокруг вертикальной оси однородного симметричного тела силы бокового давления подшипников на ось (см. рис. 38.1) не возникают. В отсутствие силы тяжести подшипники можно было бы убрать — ось и без них сохраняла бы свое положение в пространстве. Ось, положение которой в пространстве остается неизменным при вращении вокруг нее тела в отсутствие внешних сил, называется свободной осью тела.

Можно доказать, что для тела любой формы и с произвольным распределением массы существуют три взаимно перпендикулярные, проходящие через центр масс тела оси, которые могут служить свободными осями; они называются главными осями инерции тела.

У однородного параллелепипеда (рис. 38.4) главными осями инерции будут, очевидно, оси  $O_1O_1$ ,  $O_2O_2$  и  $O_3O_3$ , проходящие через центры противоположных граней.

У тела, обладающего осевой симметрией (например, у однородного <sup>1)</sup> цилиндра), одной из главных осей инерции является ось симметрии, в качестве двух других осей могут служить две любые взаимно перпендикулярные оси, лежащие в плоскости, перпендикулярной к оси симметрии и проходящие через центр масс тела (рис. 38.5). Таким образом, у тела с осевой симметрией фиксирована только одна из главных осей инерции.

У тела с центральной симметрией, т. е. у шара, плотность которого зависит только от расстояния от центра, главными осями инерции являются три любые взаимно перпендикулярные оси, проходящие через центр масс. Следовательно, ни одна из главных осей инерции не фиксирована.

Моменты инерции относительно главных осей называются главными моментами инерции тела. В общем случае эти моменты различны:  $I_1 \neq I_2 \neq I_3$ . Для тела с осевой симметрией два главных момента инерции имеют одинаковую величину, третий же, вообще говоря, отличен от них:  $I_1 = I_2 \neq I_3$ . И, наконец, в случае тела с центральной симметрией все три главных момента инерции одинаковы:  $I_1 = I_2 = I_3$ .

Равными значениями главных моментов инерции обладает не только однородный шар, но и, скажем, однородный куб. В общем

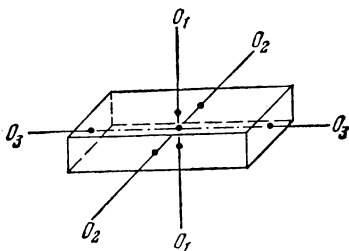


Рис. 38.4.

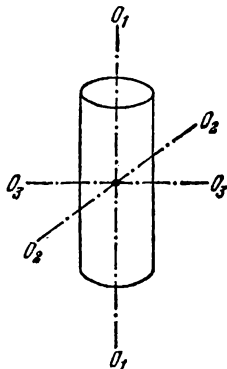


Рис. 38.5.

случае такое равенство может наблюдаться при надлежащем распределении массы для тела совершенно произвольной формы. Все подобные тела называют шаровыми волчками. Характерным для них является то, что любая ось, проходящая через центр масс, обладает свойствами свободной оси и, следовательно, ни одна из главных осей инерции не фиксирована, как и для шара. Все шаровые волчки ведут себя при вращении в идентичных условиях одинаковым образом.

<sup>1)</sup> Достаточно, чтобы плотность тела была в каждом сечении функцией только расстояния от оси симметрии,

Тела, для которых  $I_1 = I_2 = I_3$ , ведут себя как однородные тела вращения. Их называют симметричными волчками. Наконец, тела с  $I_1 \neq I_2 \neq I_3$  называют асимметричными волчками.

Если тело вращается в условиях, когда какое-либо воздействие извне отсутствует, то устойчивым оказывается только вращение вокруг главных осей, соответствующих максимальному и минимальному значениям момента инерции. Вращение же вокруг оси, соответствующей промежуточному по величине моменту, будет неустойчивым. Это означает, что силы, возникающие при малейшем отклонении оси вращения от этой главной оси, действуют в таком направлении, что величина этого отклонения возрастает. При отклонении вращения от устойчивой оси под действием возникающих при этом сил тело возвращается к вращению вокруг соответствующей главной оси.

В сказанном можно убедиться, попытавшись подбросить какое-либо тело, имеющее форму параллелепипеда (например, коробок спичек), приведя его одновременно во вращение<sup>1)</sup>. При этом обнаружится, что тело, падая, может вращаться устойчиво вокруг осей, проходящих через наибольшие или наименьшие грани. Попытки же подбросить тело так, чтобы оно вращалось вокруг оси, проходящей через средние грани, будут безуспешными.

При наличии внешнего воздействия, например, со стороны нити, за которую подвешено вращающееся тело, устойчивым оказывается только вращение вокруг главной оси, соответствующей наибольшему значению момента инерции. По этой причине тонкий стержень, подвешенный на нити, прикрепленной к его концу, при быстром вращении будет в конечном итоге вращаться вокруг перпендикулярной к нему оси, проходящей через центр (рис. 38.6, а). Аналогичным образом ведет себя диск, подвешенный на прикрепленной к его краю нити (рис. 38.6, б).

До сих пор речь шла о телах с неизменным распределением массы. Теперь предположим, что твердое тело может на какое-то время утрачивать свойство неизменности взаимного расположения его частей, причем в течение этого времени происходит перераспределение массы тела, в результате которого момент инерции изменяется

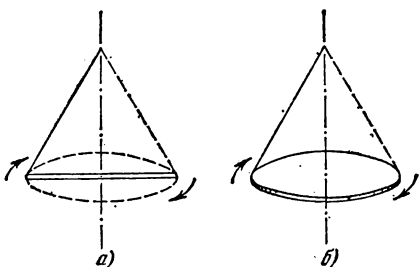


Рис. 38.6.

<sup>1)</sup> Воздействие силы тяжести в этом случае не является существенным. Оно лишь обуславливает происходящее наряду с вращением падение тела.

от значения  $I_1$  до значения  $I_2$ . Если такое перераспределение осуществляется в условиях, когда  $\sum N_{\text{внешн}} = 0$ , то согласно закону сохранения момента импульса должно выполняться равенство

$$I_1 \omega_1 = I_2 \omega_2, \quad (38.11)$$

где  $\omega_1$  — исходное, а  $\omega_2$  — конечное значение угловой скорости тела. Таким образом, изменение момента инерции влечет за собой соответствующее изменение угловой скорости. Этим объясняется обычно демонстрируемое явление, заключающееся в том, что человек, стоящий на вращающейся скамье, разводя руки в стороны, начинает вращаться медленнее, а прижимая руки к туловищу, начинает вращаться быстрее.

### § 39. Момент инерции

Из определения (см. (38.6))

$$I = \sum \Delta m_i R_i^2$$

видно, что момент инерции есть величина аддитивная. Это означает, что момент инерции тела равен сумме моментов инерции его частей.

Понятие момента инерции было введено нами при рассмотрении вращения твердого тела. Однако следует иметь в виду, что эта величина существует безотносительно к вращению. Каждое тело, независимо от того, вращается оно или покоится, обладает определенным моментом инерции относительно любой оси, подобно тому как тело обладает массой независимо от того, движется оно или находится в покое.

Распределение массы в пределах тела можно охарактеризовать с помощью величины, называемой *плотностью*. Если тело однородно, т. е. свойства его во всех точках одинаковы, то плотностью называется величина, равная

$$\rho = m/V, \quad (39.1)$$

где  $m$  — масса тела, а  $V$  — его объем. Таким образом, в случае однородного тела плотность представляет собой массу единицы объема тела.

Для тела с неравномерно распределенной массой выражение (39.1) дает среднюю плотность. Плотность в данной точке определяется в этом случае следующим образом:

$$\rho = \lim_{\Delta V \rightarrow 0} \frac{\Delta m}{\Delta V} = \frac{dm}{dV}. \quad (39.2)$$

В этом выражении  $\Delta m$  — масса, заключенная в объеме  $\Delta V$ , кото-

---

<sup>1)</sup> В этом параграфе целесообразно обозначить элементарную массу тела символом  $\Delta m_i$  вместо  $m_i$ .

рый при предельном переходе стягивается к той точке, в которой определяется плотность.

Предельный переход в (39.2) нельзя понимать так, что  $\Delta V$  стягивается буквально в точку. При таком понимании для двух практически совпадающих точек, одна из которых приходится на ядро атома, а другая — на промежуток между ядрами, получался бы сильно отличающийся результат (для первой точки огромная величина, а для второй — нуль). Поэтому уменьшение  $\Delta V$  следует производить до тех пор, пока не будет получен физический бесконечно малый объем, под которым понимают такой объем, который, с одной стороны, достаточно мал для того, чтобы макроскопические (т. е. присущие большой совокупности атомов) свойства в пределах его можно было считать одинаковыми, а с другой стороны, достаточно велик для того, чтобы не могла проявиться дискретность (прерывность) вещества.

Согласно (39.2) элементарная масса  $\Delta m_i$  равна произведению плотности тела  $\rho_i$  в данной точке на соответствующий элементарный объем  $\Delta V_i$ :

$$\Delta m_i = \rho_i \Delta V_i.$$

Следовательно, момент инерции можно представить в виде

$$I = \sum \rho_i R_i^2 \Delta V_i. \quad (39.3)$$

Если плотность тела постоянна, ее можно вынести за знак суммы:

$$I = \rho \sum R_i^2 \Delta V_i. \quad (39.4)$$

Соотношения (39.3) и (39.4) являются приближенными, причем тем более точными, чем меньше элементарные объемы  $\Delta V_i$  и соответствующие им элементарные массы  $\Delta m_i$ . Следовательно, задача нахождения моментов инерции сводится к интегрированию:

$$I = \int R^2 dm = \int \rho R^2 dV. \quad (39.5)$$

Интегралы в (39.5) берутся по всему объему тела. Величины  $\rho$  и  $R$  в этих интегралах являются функциями точки, т. е., например, декартовых координат  $x$ ,  $y$  и  $z$ .

В качестве примера найдем момент инерции однородного диска относительно оси, перпендикулярной к плоскости диска и проходящей через его центр (рис. 39.1). Разобьем диск на кольцевые слои толщиной  $dR$ . Все точки одного слоя будут находиться на одинаковом расстоянии от оси, равном  $R$ . Объем такого слоя равен

$$dV = b2\pi R dR,$$

где  $b$  — толщина диска. Поскольку диск однороден, плотность его во всех точках одинакова и  $\rho$  в (39.5) можно вынести за знак

интеграла:

$$I = \rho \int R^2 dV = \rho \int_0^{R_0} R^2 b 2\pi R dR,$$

где  $R_0$  — радиус диска. Вынесем за знак интеграла постоянный множитель  $2\pi b$ :

$$I = 2\pi b \rho \int_0^{R_0} R^3 dR = 2\pi b \rho \cdot \frac{R_0^4}{4}.$$

Наконец, введя массу диска  $m$ , равную произведению плотности  $\rho$  на объем диска  $b\pi R_0^2$ , получим:

$$I = \frac{m R_0^2}{2}. \quad (39.6)$$

Нахождение момента инерции в рассмотренном примере значительно упрощалось вследствие того, что тело было однородным и симметричным, а момент инерции мы искали относительно оси

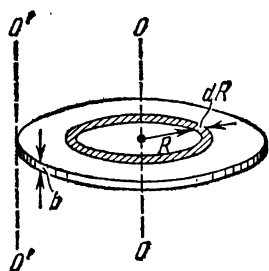


Рис. 39.1.

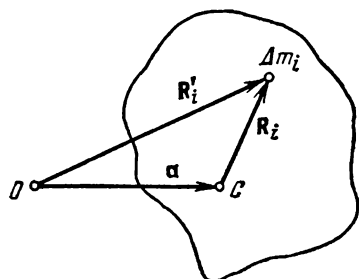


Рис. 39.2.

симметрии. Если бы мы захотели найти момент инерции диска относительно, например, оси  $O'O'$ , перпендикулярной к диску и проходящей через его край (см. рис. 39.1), вычисления, очевидно, оказались бы гораздо более сложными. В подобных случаях нахождение момента инерции значительно облегчается, если воспользоваться теоремой Штейнера, которая формулируется следующим образом: *момент инерции  $I$  относительно произвольной оси равен сумме момента инерции  $I_C$  относительно оси, параллельной данной и проходящей через центр масс тела, и произведения массы тела  $m$  на квадрат расстояния  $a$  между осями:*

$$I = I_C + ma^2. \quad (39.7)$$

В соответствии с теоремой Штейнера момент инерции диска относительно оси  $O'O'$  равен найденному нами моменту инерции (39.6) относительно оси, проходящей через центр диска, плюс

$mR_0^2$  (расстояние между осями  $O'O'$  и  $OO$  равно радиусу диска  $R_0$ ):

$$I = \frac{mR_0^2}{2} + mR_0^2 = \frac{3}{2} mR_0^2.$$

Таким образом, теорема Штейнера, по существу, сводит вычисление момента инерции относительно произвольной оси к вычислению момента инерции относительно оси, проходящей через центр масс тела.

Для доказательства теоремы Штейнера рассмотрим ось  $C$ , проходящую через центр масс тела, и параллельную ей ось  $O$ , отстоящую от оси  $C$  на расстояние  $a$  (рис. 39.2; обе оси перпендикулярны к плоскости чертежа). Обозначим через  $R_i$  перпендикулярный к оси  $C$  вектор, проведенный от оси к элементарной массе  $\Delta m_i$ , а через  $R'_i$  — аналогичный вектор, проведенный от оси  $O$ . Введем также перпендикулярный к осям вектор  $a$ , соединяющий соответствующие точки осей  $O$  и  $C$ . Для любой пары противоположащих точек этот вектор имеет одинаковую величину (равную расстоянию  $a$  между осями) и одинаковое направление. Между перечисленными векторами имеется соотношение

$$R'_i = a + R_i.$$

Квадрат расстояния элементарной массы  $\Delta m_i$  от оси  $C$  равен  $R_i^2 = R_i^2$ , а от оси  $O$  —

$$R_i'^2 = (a + R_i)^2 = a^2 + 2aR_i + R_i^2.$$

С учетом последнего соотношения момент инерции тела относительно оси  $O$  можно представить в виде

$$I = \sum \Delta m_i R_i'^2 = a^2 \sum \Delta m_i + 2a \sum \Delta m_i R_i + \sum \Delta m_i R_i^2 \quad (39.8)$$

(постоянные множители мы вынесли за знак суммы). Последний член в этом выражении есть момент инерции тела относительно оси  $C$ . Обозначим его  $I_C$ . Сумма элементарных масс дает массу тела  $m$ . Сумма  $\sum \Delta m_i R_i$  равна произведению массы тела на вектор  $R$ , проведенный от оси  $C$  к центру масс тела. Поскольку центр инерции лежит на оси  $C$ , этот вектор  $R$ , а следовательно, и второй член в (39.8) равны нулю. Таким образом, мы приходим к выводу, что

$$I = ma^2 + I_C,$$

а это и требовалось доказать (см. (39.7)).

В заключение приведем значения моментов инерции для некоторых тел (тела предполагаются однородными,  $m$  — масса тела).

1. Тело представляет собой тонкий длинный стержень с сечением любой формы. Максимальный поперечный размер стержня  $b$  во много раз меньше длины стержня  $l$  ( $b \ll l$ ). Момент инерции относительно оси, перпендикулярной к стержню и проходящей

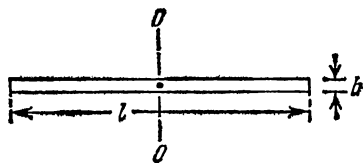


Рис. 39.3.

через его середину (рис. 39.3), равен

$$I = \frac{1}{12} m l^2.$$

2. Для диска или цилиндра при любом отношении  $R$  к  $l$  (рис. 39.4) момент инерции относительно оси, совпадающей с геометрической осью цилиндра, равен

$$I = \frac{1}{2} m R^2.$$

3. Тело — тонкий диск. Толщина диска  $b$  во много раз меньше

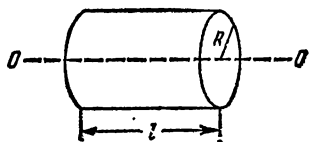


Рис. 39.4.

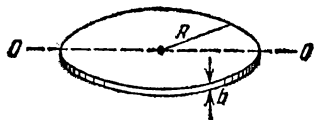


Рис. 39.5.

радиуса диска  $R$  ( $b \ll R$ ). Момент инерции относительно оси, совпадающей с диаметром диска (рис. 39.5), равен

$$I = \frac{1}{4} m R^2.$$

4. Момент инерции шара радиуса  $R$  относительно оси, проходящей через его центр, равен

$$I = \frac{2}{5} m R^2.$$

## § 40. Понятие о тензоре инерции

В § 38 мы установили, что для однородного тела, вращающегося относительно оси симметрии, связь между векторами  $\mathbf{M}$  и  $\boldsymbol{\omega}$  имеет очень простой вид:

$$\mathbf{M} = I \boldsymbol{\omega} \quad (40.1)$$

(см. (38.10)) или

$$M_x = I \omega_x, \quad M_y = I \omega_y, \quad M_z = I \omega_z. \quad (40.2)$$

Это объясняется тем, что для такого тела векторы  $\mathbf{M}$  и  $\boldsymbol{\omega}$  коллинеарны. Однако в общем случае векторы  $\mathbf{M}$  и  $\boldsymbol{\omega}$  образуют угол, отличный от нуля (см. рис. 38.2), так что связь между ними не может быть выражена формулой (40.1).

Попытаемся выяснить, как можно связать аналитически векторы  $\mathbf{M}$  и  $\boldsymbol{\omega}$  в самом общем случае. Будем исходить из того, что модули  $\mathbf{M}$  и  $\boldsymbol{\omega}$  пропорциональны друг другу. Действительно, согласно (38.3) модули элементарных векторов  $\mathbf{M}_i$  пропорциональны модулю  $\boldsymbol{\omega}$ , следовательно, и модуль суммы этих векторов также пропорционален  $\boldsymbol{\omega}$ . Легко сообразить, что такая пропорциональность получится в том случае, если каждая компонента вектора  $\mathbf{M}$  будет зависеть линейно от компонент вектора  $\boldsymbol{\omega}$ :

$$\begin{aligned} M_x &= I_{xx}\omega_x + I_{xy}\omega_y + I_{xz}\omega_z, \\ M_y &= I_{yx}\omega_x + I_{yy}\omega_y + I_{yz}\omega_z, \\ M_z &= I_{zx}\omega_x + I_{zy}\omega_y + I_{zz}\omega_z. \end{aligned} \quad (40.3)$$

Здесь величины  $I_{xx}$ ,  $I_{xy}$  и т. д. суть коэффициенты пропорциональности, имеющие размерность момента инерции (ср. с (40.2)). При увеличении  $\boldsymbol{\omega}$  в некоторое число раз в такое же количество раз увеличится каждая из компонент  $\omega_x$ ,  $\omega_y$ ,  $\omega_z$  и соответственно каждая из компонент  $M_x$ ,  $M_y$ ,  $M_z$ , а значит и сам вектор  $\mathbf{M}$ .

Взаимная ориентация векторов  $\mathbf{M}$  и  $\boldsymbol{\omega}$  определяется значениями коэффициентов пропорциональности. Пусть, например,  $I_{xx}=I_{yy}=I_{zz}=I$ , а остальные коэффициенты равны нулю. Тогда формулы (40.3) переходят в соотношения (40.2), т. е. векторы  $\mathbf{M}$  и  $\boldsymbol{\omega}$  оказываются коллинеарными. Теперь допустим, что вектор  $\boldsymbol{\omega}$  направлен вдоль оси  $z$  и коэффициенты  $I_{xz}$ ,  $I_{yz}$ ,  $I_{zz}$  отличны от нуля. В этом случае  $\omega_z=\omega$ ,  $\omega_x=\omega_y=0$ . Подстановка этих значений в (40.3) дает, что

$$M_x = I_{xz}\omega \neq 0, \quad M_y = I_{yz}\omega \neq 0, \quad M_z = I_{zz}\omega \neq 0.$$

Все три компоненты вектора  $\mathbf{M}$  оказались отличными от нуля, значит, вектор  $\mathbf{M}$  образует с направленным по оси  $z$  вектором  $\boldsymbol{\omega}$  некоторый угол.

Из сказанного вытекает, что в самом общем случае связь между моментом импульса и угловой скоростью тела может быть выражена с помощью формул (40.3). Аналогичные формулы могут быть написаны для любых векторов  $\mathbf{a}$  и  $\mathbf{b}$ , модули которых пропорциональны друг другу:

$$\begin{aligned} b_x &= T_{xx}a_x + T_{xy}a_y + T_{xz}a_z, \\ b_y &= T_{yx}a_x + T_{yy}a_y + T_{yz}a_z, \\ b_z &= T_{zx}a_x + T_{zy}a_y + T_{zz}a_z. \end{aligned} \quad (40.4)$$

Эти три формулы можно записать компактно в виде одного выражения:

$$b_i = \sum_{k=x, y, z} T_{ik}a_k \quad (i = x, y, z). \quad (40.5)$$

Положив  $i=x$  и осуществив суммирование, при котором индекс

$k$  пробегает значения  $x, y, z$ , получим первую из формул (40.4), положив  $i=y$  — вторую из формул и т. д.

Совокупность девяти величин  $T_{xx}, T_{xy}, \dots, T_{zz}$  именуют тензором второго ранга<sup>1)</sup>, а операцию, выражаемую формулами (40.4), называют умножением вектора  $\mathbf{a}$  на тензор  $\mathbf{T}$ . В результате такого умножения получается новый вектор  $\mathbf{b}$ .

Тензор принято записывать в виде квадратной таблицы:

$$\mathbf{T} = \begin{pmatrix} T_{xx} & T_{xy} & T_{xz} \\ T_{yx} & T_{yy} & T_{yz} \\ T_{zx} & T_{zy} & T_{zz} \end{pmatrix} \quad (40.6)$$

(вместо индексов  $x, y, z$  можно писать индексы 1, 2, 3). Величины  $T_{xx}, T_{xy}, \dots$  называются компонентами тензора. Расположенные по диагонали таблицы (40.6) компоненты  $T_{xx}, T_{yy}, T_{zz}$  называются диагональными.

Значения компонент зависят от выбора координатных осей, на которые проектируются векторы  $\mathbf{a}$  и  $\mathbf{b}$  (от выбора осей зависят и компоненты этих векторов).

Из сопоставления формул (40.3) и (40.4) вытекает, что коэффициенты в формулах (40.3) суть компоненты тензора второго ранга:

$$\mathbf{I} = \begin{pmatrix} I_{xx} & I_{xy} & I_{xz} \\ I_{yx} & I_{yy} & I_{yz} \\ I_{zx} & I_{zy} & I_{zz} \end{pmatrix}. \quad (40.7)$$

Его называют тензором инерции тела. Этот тензор характеризует инертные свойства тела при вращении.

Чтобы найти значения компонент тензора инерции, будем исходить из определения момента импульса тела:

$$\mathbf{M} = \sum m_i [\mathbf{r}_i, \mathbf{v}_i] \quad (40.8)$$

(см. (38.9)). Векторы  $\mathbf{r}_i$  будем откладывать от центра масс тела (рис. 40.1). Заменим в выражении (40.8) скорость  $\mathbf{v}_i$  векторным произведением  $[\boldsymbol{\omega}, \mathbf{r}_i]$  (см. формулу (5.8)). В результате получим:

$$\mathbf{M} = \sum m_i [\mathbf{r}_i, [\boldsymbol{\omega}, \mathbf{r}_i]].$$

Теперь воспользуемся формулой «бац минус цаб» (формулой (2.35)):

$$\mathbf{M} = \sum m_i \{ \boldsymbol{\omega} (\mathbf{r}_i \mathbf{r}_i) - \mathbf{r}_i (\mathbf{r}_i \boldsymbol{\omega}) \}. \quad (40.9)$$

<sup>1)</sup> Тензором второго ранга называется совокупность девяти величин  $T_{xx}, T_{xy}, \dots, T_{zz}$ , преобразующихся при поворотах координатных осей по определенным правилам (см. Приложение III).

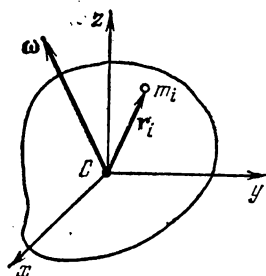


Рис. 40.1.

Напомним, что суммирование осуществляется по всем элементарным массам, на которые мысленно разбито тело.

Свяжем с телом декартову систему координат <sup>1)</sup> (см. рис. 40.1) и распишем скалярные произведения, фигурирующие в выражении (40.9), через компоненты векторов  $\omega$  и  $r_i$  по осям этой системы (см. (2.23)). Начало координат поместим в центр масс тела  $C$  (напомним, что из этой точки мы откладывали векторы  $r_i$ ). Учтя, что  $r_{xi}=x_i$ ,  $r_{yi}=y_i$ ,  $r_{zi}=z_i$ , получим:

$$M = \sum m_i \{ \omega (x_i^2 + y_i^2 + z_i^2) - r_i (x_i \omega_x + y_i \omega_y + z_i \omega_z) \}. \quad (40.10)$$

Найдем проекцию этого вектора на ось  $x$ :

$$M_x = \sum m_i \{ \omega_x (x_i^2 + y_i^2 + z_i^2) - x_i (x_i \omega_x + y_i \omega_y + z_i \omega_z) \} = \\ = \omega_x \sum m_i (y_i^2 + z_i^2) - \omega_y \sum m_i x_i y_i - \omega_z \sum m_i x_i z_i. \quad (40.11)$$

Аналогично находятся проекции вектора  $M$  на оси  $y$  и  $z$ :

$$M_y = -\omega_x \sum m_i y_i x_i + \omega_y \sum m_i (x_i^2 + z_i^2) - \omega_z \sum m_i y_i z_i, \quad (40.12)$$

$$M_z = -\omega_x \sum m_i z_i x_i - \omega_y \sum m_i z_i y_i + \omega_z \sum m_i (x_i^2 + y_i^2). \quad (40.13)$$

Сравнение полученных нами выражений с формулами (40.3) позволяет найти значения компонент тензора инерции. Выпишем эти значения сразу в виде таблицы:

$$I = \begin{pmatrix} \sum m_i (y_i^2 + z_i^2) & -\sum m_i x_i y_i & -\sum m_i x_i z_i \\ -\sum m_i y_i x_i & \sum m_i (x_i^2 + z_i^2) & -\sum m_i y_i z_i \\ -\sum m_i z_i x_i & -\sum m_i z_i y_i & \sum m_i (x_i^2 + y_i^2) \end{pmatrix}. \quad (40.14)$$

Диагональные компоненты тензора представляют собой рассмотренные в предыдущем параграфе моменты инерции относительно соответствующих координатных осей. Эти компоненты называются осевыми моментами инерции. Недиагональные компоненты называются центробежными моментами инерции. Заметим, что недиагональные компоненты тензора (40.14) удовлетворяют условию:  $I_{xy}=I_{yx}$ ,  $I_{xz}=I_{zx}$ ,  $I_{yz}=I_{zy}$ . Тензор, удовлетворяющий такому условию, называется симметричным.

Практически компоненты тензора инерции вычисляются с помощью интегрирования. Например, компонента  $I_{xx}$  определяется по формуле

$$I_{xx} = \int \rho(x, y, z) (y^2 + z^2) dV,$$

где  $\rho(x, y, z)$  — плотность,  $dV$  — элементарный объем. Интегрирование производится по всему объему тела.

<sup>1)</sup> Подчеркнем, что оси этой системы жестко связаны с телом и вращаются вместе с ним.

Найдем компоненты тензора инерции для однородного прямоугольного параллелепипеда, выбрав оси координат так, как показано на рис. 40.2. Начало координат совпадает с центром масс тела  $C$ .

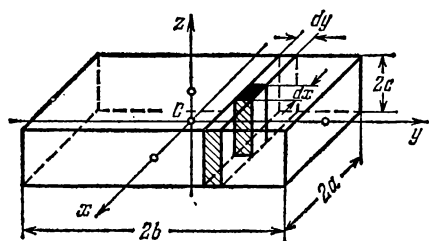


Рис. 40.2.

Чтобы вычислить осевой момент инерции  $I_{zz}$ , разобьем тело на столбики с площадью основания, равной  $dx dy$ . Все элементы такого столбика имеют одинаковые значения координат  $x$  и  $y$ . Объем столбика равен  $2c dx dy$ , а его масса  $dm = \rho 2c dx dy$ . Поэтому вклад столбика в  $I_{zz}$  определяется выражением

$$dI_{zz \text{ столбика}} = 2\rho c (x^2 + y^2) dx dy.$$

Проинтегрировав это выражение по  $x$ , найдем вклад в  $I_{zz}$ , который дает показанный на рис. 40.2 слой длины  $2a$ , ширины  $2c$  и толщины  $dy$ :

$$\begin{aligned} dI_{zz \text{ слоя}} &= \int_{-a}^{+a} 2\rho c (x^2 + y^2) dx dy = 2\rho c dy \int_{-a}^{+a} x^2 dx + 2\rho c y^2 dy \int_{-a}^{+a} dx = \\ &= \left( \frac{4}{3} \rho c a^3 + 4\rho c a y^2 \right) dy \quad (40.15) \end{aligned}$$

(так как тело однородно,  $\rho$  не зависит от координат  $x, y, z$ ).

Наконец, проинтегрировав выражение (40.15) по  $y$ , получим  $I_{zz}$  всего тела:

$$\begin{aligned} I_{zz} &= \int_{-b}^{+b} \left( \frac{4}{3} \rho c a^3 + 4\rho c a y^2 \right) dy = \frac{4}{3} \rho c a^3 \int_{-b}^{+b} dy + 4\rho c a \int_{-b}^{+b} y^2 dy = \\ &= \frac{8}{3} \rho c a^3 b + \frac{8}{3} \rho c a b^3 = \frac{1}{3} \rho (2a) (2b) (2c) (a^2 + b^2) = \frac{1}{3} m (a^2 + b^2) \end{aligned}$$

( $m$  — масса тела). Аналогичные вычисления дают, что

$$I_{xx} = \frac{1}{3} m (b^2 + c^2), \quad I_{yy} = \frac{1}{3} m (a^2 + c^2).$$

Теперь вычислим один из центробежных моментов, например  $I_{xy}$ . Вклад в этот момент столбика с основанием  $dx dy$  равен

$$dI_{xy \text{ столбика}} = -\rho x y 2c dx dy,$$

а вклад слоя —

$$dI_{xy \text{ слоя}} = -2\rho c y dy \int_{-a}^{+a} x dx = 0.$$

Соответственно и момент всего тела равен нулю. Аналогичный ре-

зультат получается и для остальных центробежных моментов. Таким образом, при указанном на рис. 40.2 выборе координатных осей тензор момента инерции однородного прямоугольного параллелепипеда имеет вид

$$I = \begin{pmatrix} I_x & 0 & 0 \\ 0 & I_y & 0 \\ 0 & 0 & I_z \end{pmatrix} \quad (40.16)$$

(мы сохранили при диагональных компонентах по одному индексу).

Такой результат получился благодаря тому, что в качестве координатных осей были выбраны главные оси инерции тела (см. § 38).

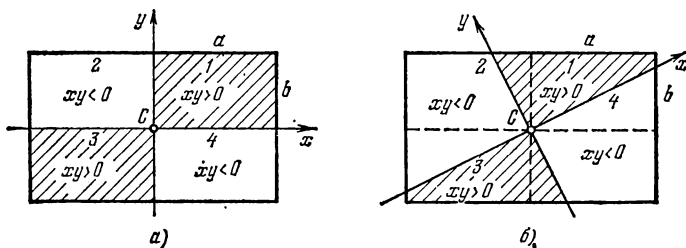


Рис. 40.3.

При ином выборе координатных осей центробежные моменты инерции оказываются отличными от нуля. В этом можно убедиться с помощью следующего рассуждения. При выборе осей, показанном на рис. 40.3, а, площади прямоугольников 1, 2, 3 и 4 одинаковы. На двух из них произведение  $xy$  положительно, на двух — отрицательно. Это приводит к тому, что интеграл от  $xy$ , взятый по всей площади, оказывается равным нулю. При выборе осей, показанном на рис. 40.3, б, площади заштрихованных фигур 1 и 3 меньше площадей незаштрихованных фигур 2 и 4 ( $a > b$ ). Поэтому интеграл от  $xy$ , взятый по суммарной площади, будет отличен от нуля. Соответственно отличен от нуля и центробежный момент  $I_{xy}$ .

Полученный результат является общим для всех тел, независимо от их формы и распределения массы. Если в качестве координатных осей взять главные оси инерции тела, тензор инерции имеет вид (40.16). Величины  $I_x$ ,  $I_y$ ,  $I_z$  (но не  $I_{xx}$ ,  $I_{yy}$ ,  $I_{zz}$  в (40.7); при повороте координатных осей изменяются все компоненты тензора, в том числе и диагональные) называются **главными моментами инерции** тела. Подчеркнем, что главными моментами инерции называются осевые моменты, вычисленные не в произвольных, а в главных осях.

Главные оси инерции взаимно перпендикулярны и пересекаются в центре масс тела. В общем случае (когда  $I_x \neq I_y \neq I_z$ ) эти оси можно выбрать единственным способом. Для шарового волчка (т. е. тела,

у которого  $I_x = I_y = I_z$ ; см. § 38) положение главных осей оказывается совершенно неопределенным. У симметричного волчка ( $I_x = I_y \neq I_z$ ) фиксирована лишь ось  $z$ , остальные две оси оказываются неопределенными.

Пусть тело вращается вокруг одной из своих главных осей инерции, скажем вокруг оси  $z$ . Выбрав главные оси в качестве координатных осей, получим, что  $\omega_z = \omega$ ,  $\omega_x = \omega_y = 0$ . Поскольку при таком выборе координатных осей тензор инерции имеет вид (40.16), формулы (40.3) приводят к следующим значениям компонент момента импульса тела:

$$M_x = M_y = 0, \quad M_z = I_z \omega.$$

Следовательно, вектор  $\mathbf{M}$  имеет такое же направление, как и  $\boldsymbol{\omega}$ . Такой же результат получается при вращении тела вокруг других главных осей. Во всех этих случаях

$$\mathbf{M} = I \boldsymbol{\omega}, \quad (40.17)$$

где  $I$  — соответствующий главный момент инерции тела. В § 38 мы получили такую формулу для однородного тела, вращающегося вокруг своей оси симметрии (см. (38.10)). Теперь мы установили, что формула (40.17) справедлива в тех случаях, когда произвольное тело вращается вокруг одной из своих главных осей инерции.

В заключение выясним, в каких случаях всегда справедливую формулу  $\dot{\mathbf{M}} = \mathbf{N}$  (см. (38.1)) можно писать в виде

$$I \dot{\boldsymbol{\beta}} = \mathbf{N}. \quad (40.18)$$

Прежде всего это, очевидно, можно делать, когда тело вращается вокруг главной оси и момент сил  $\mathbf{N}$  направлен вдоль этой оси. Действительно, в этом случае момент сил  $\mathbf{N}$  вызывает приращение  $d\mathbf{M}$ , коллинеарное с  $\mathbf{M}$  ( $d\mathbf{M} = \mathbf{N} dt$ ). Поэтому вращение все время происходит вокруг главной оси, так что соотношение  $\mathbf{M} = I \boldsymbol{\omega}$  не нарушается. Однако в этом случае векторная формула (40.18) не дает ничего нового по сравнению с формулой

$$I \dot{\beta}_z = N_z \quad (40.19)$$

( $z$  — ось вращения).

При  $\mathbf{N}$ , неколлинеарном с  $\mathbf{M}$  (например, при  $\mathbf{N}$ , перпендикулярном к  $\mathbf{M}$ ), ось вращения со временем перемещается относительно тела; поэтому даже при условии, что соотношение  $\mathbf{M} = I \boldsymbol{\omega}$  выполняется в начальный момент, со временем это соотношение перестает выполняться, и уравнение (40.18) утрачивает смысл. Только в том случае, когда тело является шаровым волчком, перемещение оси вращения относительно тела не имеет значения. Для шарового волчка любая ось является главной и обладает одинаковым значением момента инерции  $I$ ; поэтому уравнение (40.18) оказывается справедливым при любом взаимном направлении векторов  $\mathbf{N}$  и  $\boldsymbol{\omega}$ .

### § 41. Кинетическая энергия вращающегося твердого тела

Начнем с рассмотрения вращения тела вокруг неподвижной оси, которую мы назовем осью  $z$  (рис. 41.1). Линейная скорость элементарной массы  $m_i$  равна  $v_i = \omega R_i$ , где  $R_i$  — расстояние массы  $m_i$  от оси  $z$ . Следовательно, для кинетической энергии  $i$ -й элементарной массы получается выражение

$$T_i = \frac{m_i v_i^2}{2} = \frac{1}{2} m_i \omega^2 R_i^2.$$

Кинетическая энергия тела складывается из кинетических энергий его частей:

$$T = \sum T_i = \frac{1}{2} \omega^2 \sum m_i R_i^2.$$

Сумма в правой части этого соотношения представляет собой момент инерции тела  $I$  относительно оси вращения. Таким образом, кинетическая энергия тела, вращающегося вокруг неподвижной оси, равна

$$T = \frac{1}{2} I \omega^2. \quad (41.1)$$

Пусть на массу  $m_i$  действуют <sup>1)</sup> внутренняя сила  $\mathbf{f}_i$  и внешняя сила  $\mathbf{F}_i$  (см. рис. 41.1). Согласно (20.5) эти силы совершают за время  $dt$  работу

$$dA_i = \mathbf{f}_i \mathbf{v}_i dt + \mathbf{F}_i \mathbf{v}_i dt = \mathbf{f}_i [\boldsymbol{\omega}, \mathbf{r}_i] dt + \mathbf{F}_i [\boldsymbol{\omega}, \mathbf{r}_i] dt.$$

Осуществив в смешанных произведениях векторов циклическую перестановку сомножителей (см. (2.34)), получим:

$$dA_i = \boldsymbol{\omega} [\mathbf{r}_i, \mathbf{f}_i] dt + \boldsymbol{\omega} [\mathbf{r}_i, \mathbf{F}_i] dt = \boldsymbol{\omega} \mathbf{N}_i^{(\text{внутр})} dt + \boldsymbol{\omega} \mathbf{N}_i dt, \quad (41.2)$$

где  $\mathbf{N}_i^{(\text{внутр})}$  — момент внутренней силы относительно точки  $O$ ,  $\mathbf{N}_i$  — аналогичный момент внешней силы.

Просуммировав выражение (41.2) по всем элементарным массам, получим элементарную работу, совершаемую над телом за время  $dt$ :

$$dA = \sum dA_i = \boldsymbol{\omega} \{ \sum \mathbf{N}_i^{(\text{внутр})} \} dt + \boldsymbol{\omega} \{ \sum \mathbf{N}_i \} dt.$$

Сумма моментов внутренних сил равна нулю (см. (29.17)). Следовательно, обозначив суммарный момент внешних сил через  $\mathbf{N}$ , придем к выражению

$$dA = \boldsymbol{\omega} \mathbf{N} dt = \boldsymbol{\omega} N_{\omega} dt \quad (41.3)$$

<sup>1)</sup> Результирующая сила  $\mathbf{f}_i + \mathbf{F}_i$  лежит в плоскости, перпендикулярной к оси вращения.

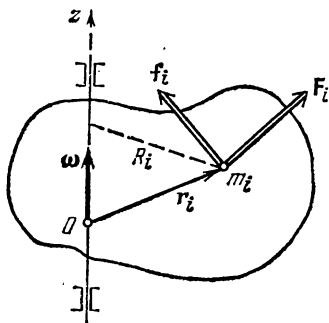


Рис. 41.1:

(мы воспользовались формулой (2.21)). Наконец, приняв во внимание, что  $\omega dt$  есть угол  $d\varphi$ , на который поворачивается тело за время  $dt$ , получим:

$$dA = N_{\omega} d\varphi. \quad (41.4)$$

Знак работы зависит от знака  $N_{\omega}$ , т. е. от знака проекции вектора  $\mathbf{N}$  на направление вектора  $\boldsymbol{\omega}$ .

Итак, при вращении тела внутренние силы работы не совершают, работа же внешних сил определяется формулой (41.4).

К формуле (41.4) можно прийти, воспользовавшись тем, что работа, совершаемая всеми приложенными к телу силами, идет на приращение его кинетической энергии (см. (19.11)). Взяв дифференциал от обеих частей равенства (41.1), придем к соотношению

$$dT = d(I\omega^2/2) = d(I\omega^2/2) = I\omega d\omega = I\omega\beta dt = I\omega\beta dt = I\beta_{\omega} d\varphi.$$

Согласно уравнению (38.8)  $I\beta_{\omega} = N_{\omega}$ , так что, заменив  $dT$  через  $dA$ , придем к формуле (41.4).

Т а б л и ц а 41.1

Поступательное движение	Вращательное движение
$\mathbf{v}$ — линейная скорость $\mathbf{w} = \dot{\mathbf{v}}$ — линейное ускорение $m$ — масса $\mathbf{p} = m\mathbf{v}$ — импульс $\mathbf{F}$ — сила $\dot{\mathbf{p}} = \mathbf{F}$ $m\mathbf{w} = \mathbf{F}$ $T = mv^2/2$ $dA = F_s ds = F_v dv$	$\boldsymbol{\omega}$ — угловая скорость $\boldsymbol{\beta} = \dot{\boldsymbol{\omega}}$ — угловое ускорение $I$ — момент инерции $M_z = I\omega_z$ — момент импульса *) $\mathbf{N}$ или $N_z$ — момент силы $\dot{M}_z = N_z$ $I\beta_z = N_z$ *) $T = I\omega^2/2$ *) $dA = N_{\omega} d\varphi$
<p>*) Для неподвижной оси вращения.</p>	

В табл. 41.1 сопоставлены формулы механики вращательного движения с аналогичными формулами механики поступательного движения (механики точки). Из этого сопоставления легко заключить, что во всех случаях роль массы играет момент инерции, роль силы — момент силы, роль импульса — момент импульса и т. д.

Формулу (41.1) мы получили для случая, когда тело вращается вокруг неподвижной фиксированной в теле оси. Теперь допустим, что тело вращается произвольным образом относительно неподвижной точки, совпадающей с его центром масс. Свяжем жестко с телом

декартову систему координат, начало которой поместим в центр масс тела. Скорость  $i$ -й элементарной массы равна  $\mathbf{v}_i = [\boldsymbol{\omega} \mathbf{r}_i]$ . Следовательно, для кинетической энергии тела можно написать выражение

$$T = \frac{1}{2} \sum m_i v_i^2 = \frac{1}{2} \sum m_i [\boldsymbol{\omega} \mathbf{r}_i]^2 = \frac{1}{2} \sum m_i \omega^2 r_i^2 \sin^2 \alpha_i,$$

где  $\alpha_i$  — угол между векторами  $\boldsymbol{\omega}$  и  $\mathbf{r}_i$ . Заменяя  $\sin^2 \alpha_i$  через  $1 - \cos^2 \alpha_i$  и учитывая, что  $\omega r_i \cos \alpha_i = \boldsymbol{\omega} \mathbf{r}_i$ , получим:

$$T = \frac{1}{2} \sum m_i \{ \omega^2 r_i^2 - (\boldsymbol{\omega} \mathbf{r}_i)^2 \}.$$

Распишем скалярные произведения через проекции векторов  $\boldsymbol{\omega}$  и  $\mathbf{r}_i$  на оси связанной с телом координатной системы:

$$\begin{aligned} T &= \frac{1}{2} \sum m_i \{ (\omega_x^2 + \omega_y^2 + \omega_z^2) (x_i^2 + y_i^2 + z_i^2) - \\ &\quad - (\omega_x x_i + \omega_y y_i + \omega_z z_i) (\omega_x x_i + \omega_y y_i + \omega_z z_i) \} = \\ &= \frac{1}{2} \sum m_i \{ (\omega_x^2 + \omega_y^2 + \omega_z^2) (x_i^2 + y_i^2 + z_i^2) - \omega_x^2 x_i^2 - \omega_x \omega_y x_i y_i - \\ &\quad - \omega_x \omega_z x_i z_i - \omega_y \omega_x y_i x_i - \omega_y^2 y_i^2 - \omega_y \omega_z y_i z_i - \omega_z \omega_x z_i x_i - \omega_z \omega_y z_i y_i - \omega_z^2 z_i^2 \}. \end{aligned}$$

Наконец, объединив слагаемые с одинаковыми произведениями компонент угловой скорости и вынеся эти произведения за знаки сумм, получим:

$$\begin{aligned} T &= \frac{1}{2} \{ \omega_x^2 \sum m_i (y_i^2 + z_i^2) + \omega_y^2 \sum m_i (x_i^2 + z_i^2) + \\ &\quad + \omega_z^2 \sum m_i (x_i^2 + y_i^2) - \omega_x \omega_y \sum m_i x_i y_i - \omega_x \omega_z \sum m_i x_i z_i - \\ &\quad - \omega_y \omega_x \sum m_i y_i x_i - \omega_y \omega_z \sum m_i y_i z_i - \omega_z \omega_x \sum m_i z_i x_i - \omega_z \omega_y \sum m_i z_i y_i \}. \end{aligned}$$

Суммы, на которые умножаются произведения компонент угловой скорости, суть компоненты тензора инерции (см. (40.14)). Следовательно, мы пришли к формуле

$$\begin{aligned} T &= \frac{1}{2} \{ I_{xx} \omega_x^2 + I_{xy} \omega_x \omega_y + I_{xz} \omega_x \omega_z + I_{yx} \omega_y \omega_x + \\ &\quad + I_{yy} \omega_y^2 + I_{yz} \omega_y \omega_z + I_{zx} \omega_z \omega_x + I_{zy} \omega_z \omega_y + I_{zz} \omega_z^2 \}. \end{aligned} \quad (41.5)$$

Эту формулу можно написать в виде

$$T = \frac{1}{2} \sum_{i, k=x, y, z} I_{ik} \omega_i \omega_k. \quad (41.6)$$

При суммировании индексы  $i$  и  $k$  пробегают, независимо друг от друга, значения  $x, y, z$ .

Если оси связанной с телом системы координат выбрать так, чтобы они совпали с главными осями инерции тела, центробежные моменты инерции обратятся в нуль и выражение (41.5) упростится

следующим образом:

$$T = \frac{1}{2} \{ I_x \omega_x^2 + I_y \omega_y^2 + I_z \omega_z^2 \}. \quad (41.7)$$

Здесь  $I_x$ ,  $I_y$ ,  $I_z$  — главные моменты инерции тела. Для шарового волчка эти моменты имеют одинаковую величину  $I$ , так что формула (41.7) принимает вид  $T = \frac{1}{2} I \omega^2$  (ср. с (41.1)). При вращении произвольного тела вокруг одной из главных осей инерции, скажем оси  $z$ ,  $\omega_z = \omega$ ,  $\omega_x = \omega_y = 0$  и формула (41.7) переходит в (41.1).

Таким образом, кинетическая энергия вращающегося тела равна половине произведения момента инерции на квадрат угловой скорости в трех случаях: 1) для тела, вращающегося вокруг неподвижной оси, 2) для тела, вращающегося вокруг одной из главных осей инерции, 3) для шарового волчка. В остальных случаях кинетическая энергия определяется более сложными формулами (41.5) или (41.7).

## § 42. Кинетическая энергия тела при плоском движении

Плоское движение тела может быть представлено как наложение двух движений — поступательного с некоторой скоростью  $\mathbf{v}_0$  и вращения вокруг соответствующей оси с угловой скоростью  $\omega$  (см. § 36). Согласно формуле (36.1) скорость  $i$ -й элементарной массы тела равна

$$\mathbf{v}_i = \mathbf{v}_0 + [\omega, \mathbf{r}_i],$$

где  $\mathbf{v}_0$  — скорость некоторой точки  $O$  тела,  $\mathbf{r}_i$  — радиус-вектор, определяющий положение элементарной массы по отношению к точке  $O$ .

Кинетическая энергия  $i$ -й элементарной массы равна

$$T_i = \frac{1}{2} m_i v_i^2 = \frac{1}{2} m_i \{ \mathbf{v}_0 + [\omega, \mathbf{r}_i] \}^2.$$

Осуществив возведение в квадрат, получим:

$$T_i = \frac{1}{2} m_i \{ v_0^2 + 2\mathbf{v}_0 [\omega, \mathbf{r}_i] + [\omega, \mathbf{r}_i]^2 \}.$$

Векторное произведение  $\omega$  на  $\mathbf{r}_i$  имеет модуль, равный  $\omega R_i$ , где  $R_i$  — расстояние массы  $m_i$  от оси вращения (см. рис. 5.5 и текст, предшествующий формуле (5.8)). Следовательно, третье слагаемое в фигурных скобках равно  $\omega^2 R_i^2$ . Во втором слагаемом осуществим циклическую перестановку сомножителей (см. (2.34)). В результате придем к выражению

$$T_i = \frac{1}{2} m_i \{ v_0^2 + 2[\mathbf{v}_0, \omega] \mathbf{r}_i + \omega^2 R_i^2 \}. \quad (42.1)$$

Чтобы получить кинетическую энергию тела, просуммируем выражение (42.1) по всем элементарным массам, причем вынесем

постоянные множители за знаки сумм:

$$T = \frac{1}{2} v_0^2 \sum m_i + [\mathbf{v}_0, \boldsymbol{\omega}] \sum m_i \mathbf{r}_i + \frac{1}{2} \omega^2 \sum m_i R_i^2.$$

Сумма элементарных масс  $\sum m_i$  есть масса тела  $m$ . Выражение  $\sum m_i \mathbf{r}_i$  равно произведению массы тела на радиус-вектор  $\mathbf{r}_C$  центра масс тела. Наконец,  $\sum m_i R_i^2$  есть момент инерции тела  $I_0$  относительно оси, проходящей через точку  $O$ . Поэтому можно написать, что

$$T = \frac{1}{2} m v_0^2 + m \mathbf{r}_C [\mathbf{v}_0, \boldsymbol{\omega}] + \frac{1}{2} I_0 \omega^2. \quad (42.2)$$

Если в качестве точки  $O$  взять центр масс тела  $C$ , радиус-вектор  $\mathbf{r}_C$  будет равен нулю, так что второе слагаемое исчезает. Следовательно, обозначив через  $\mathbf{v}_C$  скорость центра масс, а через  $I_C$  — момент инерции тела относительно оси вращения, проходящей через точку  $C$ , получим для кинетической энергии тела формулу

$$T = \frac{m v_C^2}{2} + \frac{I_C \omega^2}{2}. \quad (42.3)$$

Таким образом, кинетическая энергия тела при плоском движении складывается из энергии поступательного движения со скоростью, равной скорости центра масс, и энергии вращения вокруг оси, проходящей через центр масс тела.

### § 43. Применение законов динамики твердого тела

Движение твердого тела описывается двумя уравнениями:

$$m \mathbf{w}_C = \sum \mathbf{F}_{\text{внешн}}, \quad (43.1)$$

$$\dot{\mathbf{M}} = \sum \mathbf{N}_{\text{внешн}} \quad (43.2)$$

(см. формулы (37.5) и (38.1)). Следовательно, движение тела определяется действующими на него внешними силами и моментами этих сил.

Моменты сил можно брать относительно любой неподвижной или движущейся без ускорения точки. Взяв момент внешних сил относительно точки, движущейся с ускорением, мы, по существу, написали бы уравнение (43.2) в неинерциальной системе отсчета. В этом случае, кроме внешних сил, обусловленных взаимодействием данного тела с другими телами, нужно учитывать силы инерции и их моменты.

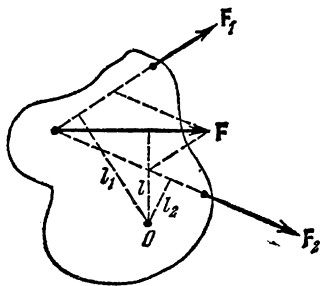


Рис. 43.1.

Точки приложения сил, действующих на тело, можно переносить вдоль линий действия сил, поскольку при этом ни сумма сил, ни их

моменты не изменяются (при перенесении силы вдоль линии ее действия плечо относительно любой точки остается неизменным). Это позволяет заменять несколько сил одной силой, эквивалентной им в отношении воздействия, оказываемого на тело. Так, например, две силы  $\mathbf{F}_1$  и  $\mathbf{F}_2$ , лежащие в одной плоскости (рис. 43.1), можно заменить эквивалентной им силой  $\mathbf{F}$ , точку приложения которой можно также выбрать произвольно на направлении, вдоль которого она действует.

Совокупность действующих на тело параллельных сил можно заменить их равнодействующей, равной сумме всех сил и приложенной к такой точке тела, чтобы ее момент был равен сумме моментов отдельных сил.

Найдем равнодействующую сил тяжести. Эти силы приложены ко всем элементам тела, причем на элементарную массу  $m_i$  действует сила  $m_i \mathbf{g}$ . Сумма сил равна  $\mathbf{P} = m\mathbf{g}$ , где  $m = \sum m_i$  — масса тела. Суммарный момент сил тяжести относительно некоторой точки  $O$  равен

$$\mathbf{N} = \sum [\mathbf{r}_i, (m_i \mathbf{g})],$$

где  $\mathbf{r}_i$  — радиус-вектор, определяющий положение массы  $m_i$  по отношению к точке  $O$ . Перенеся скалярный множитель  $m_i$  из второго сомножителя в первый и вынеся затем общий множитель  $\mathbf{g}$  за знак суммы, получим:

$$\mathbf{N} = [(\sum m_i \mathbf{r}_i), \mathbf{g}].$$

Сумма, стоящая в круглых скобках, равна произведению массы тела на радиус-вектор  $\mathbf{r}_C$  центра масс  $C$ . Поэтому

$$\mathbf{N} = [(m\mathbf{r}_C), \mathbf{g}] = [\mathbf{r}_C, (m\mathbf{g})] = [\mathbf{r}_C, \mathbf{P}]. \quad (43.3)$$

Таким образом, суммарный момент сил тяжести относительно произвольной точки  $O$  совпадает с моментом силы  $m\mathbf{g}$ , приложенной к точке  $C$ . Итак, равнодействующая сил тяжести равна  $\mathbf{P} = m\mathbf{g}$  и приложена к центру масс тела. Отметим, что это справедливо лишь в том случае, если в пределах тела поле сил тяжести однородно (при выводе формулы (43.3) мы считали, что  $\mathbf{g} = \text{const}$ ).

Из (43.3) вытекает, что момент сил тяжести относительно центра масс равен нулю (в этом случае  $\mathbf{r}_C = 0$ ). Точка, относительно которой момент сил тяжести равен нулю, называется *центром тяжести* тела. Таким образом, в случае, когда поле тяготения в пределах тела однородно, центр тяжести совпадает с центром масс.

В случае однородного поля тяготения силы тяжести, приложенные к различным элементарным массам, имеют одинаковое направление и пропорциональны  $m_i$ . Таким же свойством обладают силы инерции, возникающие в неинерциальной системе отсчета, движущейся поступательно относительно инерциальных систем. Действительно, в этом случае силы инерции, приложенные к элементарным массам  $m_i$ , равны —  $m_i \mathbf{a}$ , где  $\mathbf{a}$  — ускорение неинерциальной

системы (см. (32.2)). Повторив рассуждения, приведшие нас к формуле (43.3) (при этом  $m_i \mathbf{g}$  нужно заменить на  $-m_i \mathbf{a}$ ), можно показать, что результирующая сил инерции равна  $-\mathbf{ma}$  и приложена к центру масс тела. Подчеркнем, что это справедливо лишь для систем отсчета, движущихся поступательно.

Относительно центра масс момент сил инерции (в поступательно движущейся системе) равен нулю. Поэтому при составлении уравнения (43.2) для моментов, взятых относительно центра масс, силы инерции учитывать не нужно.

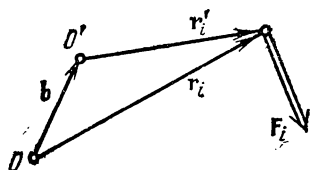


Рис. 43.2.

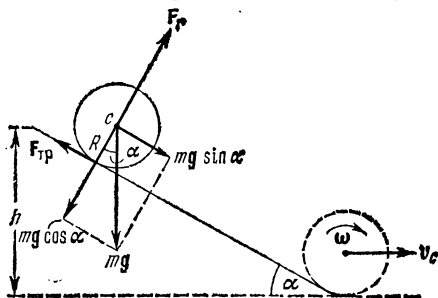


Рис. 43.3.

Выясним условия равновесия твердого тела. Тело может оставаться в состоянии покоя в том случае, если нет причин, приводящих к возникновению поступательного движения или вращения. Согласно уравнениям (43.1) и (43.2) для этого необходимо и достаточно выполнения двух условий:

1) сумма всех внешних сил, приложенных к телу, должна быть равна нулю:

$$\sum \mathbf{F}_{\text{внешн}} = 0; \quad (43.4)$$

2) результирующий момент внешних сил относительно любой точки должен быть равен нулю:

$$\sum \mathbf{N}_{\text{внешн}} = 0. \quad (43.5)$$

При выполнении условия (43.4) из равенства нулю суммы моментов для одной какой-либо точки  $O$  вытекает равенство нулю суммы моментов относительно любой другой точки  $O'$ . Действительно, пусть для некоторой точки  $O$

$$\sum \mathbf{N}_i = \sum [\mathbf{r}_i, \mathbf{F}_i] = 0. \quad (43.6)$$

Возьмем другую точку  $O'$ , положение которой относительно  $O$  определяется вектором  $\mathbf{b}$ . Из рис. 43.2 видно, что  $\mathbf{r}_i' = \mathbf{r}_i - \mathbf{b}$ . Следовательно, сумма моментов относительно точки  $O'$  равна

$$\sum \mathbf{N}_i' = \sum [\mathbf{r}_i', \mathbf{F}_i] = \sum [(\mathbf{r}_i - \mathbf{b}), \mathbf{F}_i] = \sum [\mathbf{r}_i, \mathbf{F}_i] - \sum [\mathbf{b}, \mathbf{F}_i].$$

Согласно (43.6) первая сумма равна нулю. Вынеся во второй сумме постоянный множитель  $\mathbf{b}$  за скобки, получим выражение  $-\mathbf{b}, \sum \mathbf{F}_i$ ,

которое в силу (43.4) также равно нулю. Таким образом, из (43.4) и условия (43.6) для точки  $O$  вытекает условие (43.6) для точки  $O'$ .

Отметим, что векторное условие (43.5) эквивалентно трем скалярным:

$$\sum N_{x \text{ внешн}} = 0, \quad \sum N_{y \text{ внешн}} = 0, \quad \sum N_{z \text{ внешн}} = 0. \quad (43.7)$$

Итак, условия равновесия твердого тела определяются уравнениями (43.4) и (43.5) или уравнениями (43.4) и (43.7).

В заключение рассмотрим пример на применение законов динамики твердого тела. Пусть однородный цилиндр радиуса  $R$  и массы  $m$  скатывается без скольжения с наклонной плоскости (рис. 43.3). Угол наклона плоскости равен  $\alpha$ , а высота  $h$  ( $h \gg R$ ). Начальная скорость цилиндра равна нулю. Требуется найти скорость центра масс и угловую скорость вращения цилиндра в момент выхода цилиндра на горизонтальный участок. Дадим два варианта решения.

**Первый способ решения.** Цилиндр будет двигаться под действием трех сил: силы  $P = mg$ , силы трения  $F_{\text{тр}}$  и силы нормального давления  $F_n$  (см. § 17). Ускорение цилиндра в направлении нормали к плоскости равно нулю. Следовательно, сила нормального давления равна по модулю нормальной составляющей силы  $P$ , имеющей величину  $mg \cos \alpha$ .

Трение между цилиндром и плоскостью возникает в точках их соприкосновения. При отсутствии скольжения эти точки цилиндра неподвижны (они образуют мгновенную ось вращения), следовательно, сила трения, о которой идет речь, является силой трения покоя. Из § 15 известно, что сила трения покоя может иметь величину в пределах от нуля до максимального значения  $F_0$ , которое определяется произведением коэффициента трения на силу нормального давления, прижимающую друг к другу соприкасающиеся тела ( $F_0 = kmg \cos \alpha$ ). В рассматриваемом случае сила трения принимает такое значение, чтобы отсутствовало скольжение. Скольжение при качении цилиндра по плоскости будет отсутствовать при условии, что линейная скорость точек соприкосновения будет равна нулю, что в свою очередь выполняется, если скорость центра инерции  $v_C$  равна в каждый момент времени угловой скорости вращения цилиндра  $\omega$ , умноженной на радиус цилиндра  $R$ :

$$v_C = \omega R. \quad (43.8)$$

Соответственно ускорение центра масс  $\omega_C$  будет равно угловому ускорению  $\beta$ , умноженному на  $R$ :

$$\omega_C = \beta R. \quad (43.9)$$

Если необходимая для выполнения условий (43.8) и (43.9) сила трения не превышает максимального значения  $F_0$ , цилиндр будет скатываться без скольжения. В противном случае скатывание без скольжения невозможно.

Уравнение (43.1) в данном случае имеет вид

$$m\omega_c = mg + F_{\text{тр}} + F_n.$$

Спроектировав его на направление движения, получим

$$m\omega_c = mg \sin \alpha - F_{\text{тр}}. \quad (43.10)$$

Для однородного цилиндра, вращающегося вокруг оси симметрии,  $M = I\omega$ . Поэтому уравнение (43.2) можно писать в виде

$$I\beta = \sum N_z, \quad (43.11)$$

где  $z$  — ось цилиндра (см. (38.8)). В уравнении (43.11), написанном относительно оси цилиндра, отличным от нуля будет только момент силы трения. Остальные силы, в том числе и результирующая сил инерции, имеют направления, проходящие через ось цилиндра, вследствие чего их моменты относительно этой оси равны нулю. Таким образом, уравнение (43.11) запишется следующим образом:

$$I\beta = RF_{\text{тр}}. \quad (43.12)$$

Здесь  $I$  — момент инерции цилиндра относительно его оси, равный  $\frac{1}{2}mR^2$ .

В уравнениях (43.10) и (43.12) содержатся три неизвестные величины:  $F_{\text{тр}}$ ,  $\omega_c$  и  $\beta$ . Последние две величины связаны условием (43.9), вытекающим из отсутствия скольжения. Решив совместно уравнения (43.9), (43.10) и (43.12), найдем (с учетом того, что  $I = \frac{1}{2}mR^2$ ) значения искомых величин:

$$F_{\text{тр}} = \frac{1}{3}mg \sin \alpha, \quad (43.13)$$

$$\omega_c = \frac{2}{3}g \sin \alpha, \quad (43.14)$$

$$\beta = \frac{2}{3}(g/R) \sin \alpha. \quad (43.15)$$

Теперь, когда мы знаем величину силы трения покоя, необходимую для скатывания цилиндра без скольжения, можно найти условие, при котором такое скатывание возможно. Для скатывания без скольжения сила (43.13) не должна превышать максимального значения силы трения покоя  $F_0$ , равного  $kmg \cos \alpha$ :

$$\frac{1}{3}mg \sin \alpha \leq kmg \cos \alpha.$$

Отсюда

$$\operatorname{tg} \alpha \leq 3k.$$

Следовательно, если тангенс угла наклона плоскости превышает утроенное значение коэффициента трения покоя между цилиндром и плоскостью, скатывание не может происходить без скольжения.

Из постоянства  $\omega_c$  (см. (43.14)) следует, что центр масс цилиндра движется равноускоренно. За время скатывания  $t_{\text{ск}}$  цилиндр проходит путь  $h/\sin \alpha$ . При равноускоренном движении путь, ускорение и время связаны соотношением  $s = \frac{1}{2}\omega t^2$ . Подставив

значение  $s$ , получим, что

$$h/\sin \alpha = \frac{1}{2} \omega_c t_{\text{ск}}^2,$$

откуда с учетом значения (43.14) для  $\omega_c$  приходим к формуле

$$t_{\text{ск}} = \frac{1}{\sin \alpha} \sqrt{\frac{3h}{g}}.$$

Это время, как и  $\omega_c$ , не зависит от массы и радиуса цилиндра <sup>1)</sup>; оно определяется только углом наклона плоскости  $\alpha$  и разностью уровней ее краев  $h$ .

Скорость центра масс при выходе цилиндра на горизонтальный участок будет равна

$$v_c = \omega_c t_{\text{ск}} = \sqrt{\frac{4}{3} gh},$$

а угловая скорость цилиндра

$$\omega = \beta t_{\text{ск}} = \frac{1}{R} \sqrt{\frac{4}{3} gh}.$$

Отметим, что сила трения покоя работы над цилиндром не совершает, так как точки цилиндра, к которым приложена эта сила, в каждый момент времени неподвижны (см. (20.5)).

Для горизонтальной плоскости ( $\alpha=0$ ) по формулам (43.14) и (43.15) получается, что цилиндр, если ему сообщить предварительно некоторую поступательную и соответствующую (такую, чтобы не было скольжения) угловую скорость, будет двигаться без ускорения. На самом деле движение будет замедленным. Это замедление обуславливается силой трения качения, которая направлена так, что ее момент уменьшает угловую скорость  $\omega$ , а сама сила вызывает соответствующее (опять-таки такое, чтобы не возникало скольжения) замедление центра масс. Сила трения качения совершает над катящимся телом отрицательную работу.

При решении задачи о скатывании цилиндра с наклонной плоскости трением качения мы пренебрегли.

**Второй способ решения.** Поскольку сила трения работы не совершает (трением качения пренебрегаем), полная энергия цилиндра остается постоянной. В начальный момент кинетическая энергия равна нулю, потенциальная энергия равна  $mgh$ . В конце скатывания потенциальная энергия становится равной нулю, зато появляется кинетическая энергия, равная (см. (42.3))

$$T = \frac{mv_c^2}{2} + \frac{I_c \omega^2}{2}.$$

---

<sup>1)</sup> Это справедливо только для однородного сплошного цилиндра.

Так как скольжение отсутствует,  $v_c$  и  $\omega$  связаны соотношением  $v_c = \omega R$ . Подставив в выражение для кинетической энергии  $\omega = v_c/R$  и  $I_c = \frac{1}{2}mR^2$ , получим:

$$T = \frac{mv_c^2}{2} + \frac{mv_c^2}{4} = \frac{3}{4}mv_c^2.$$

Полная энергия в начале и в конце скатывания должна быть одинакова:

$$\frac{3}{4}mv_c^2 = mgh,$$

откуда

$$v_c = \sqrt{\frac{4}{3}gh},$$

а угловая скорость

$$\omega = \frac{v_c}{R} = \frac{1}{R} \sqrt{\frac{4}{3}gh}.$$

Обратите внимание, насколько второй способ решения проще первого.

## § 44. Гироскопы

Гироскопом (или волчком) называется массивное симметричное тело, вращающееся с большой скоростью вокруг оси симметрии. Эту ось мы будем называть осью гироскопа. Ось гироскопа является одной из главных осей инерции. Поэтому, если она не поворачивается в пространстве, момент импульса равен  $\mathbf{M} = I\boldsymbol{\omega}$ , где  $I$  — момент инерции относительно оси гироскопа. Допустим теперь, что ось гироскопа поворачивается с некоторой скоростью  $\boldsymbol{\omega}'$ . В этом случае результирующее вращение гироскопа происходит вокруг оси, не совпадающей с осью симметрии, и направление вектора  $\mathbf{M}$  не совпадает с направлением оси гироскопа. Однако если скорость вращения оси  $\boldsymbol{\omega}'$  пренебрежимо мала по сравнению со скоростью собственного вращения гироскопа  $\omega$  ( $\boldsymbol{\omega}' \ll \omega$ ), то можно приближенно считать вектор  $\mathbf{M}$  равным  $I\boldsymbol{\omega}$  и направленным вдоль оси гироскопа. При этом условии поворот вектора  $\mathbf{M}$  и поворот оси гироскопа будут эквивалентными. В дальнейшем мы будем предполагать, что условие  $\boldsymbol{\omega}' \ll \omega$  соблюдается.

При попытке вызвать поворот оси гироскопа наблюдается своеобразное явление, получившее название гироскопического эффекта: под действием сил, которые, казалось бы, должны были вызвать поворот оси гироскопа  $OO$  вокруг прямой  $O'O'$  (рис. 44.1), ось гироскопа поворачивается вокруг прямой  $O''O''$  (ось  $OO$  и прямая  $O'O'$  предполагаются лежащими в плоскости рисунка, а прямая  $O''O''$  и силы  $\mathbf{F}_1$  и  $\mathbf{F}_2$  — перпендикулярными к этой

плоскости). Протоиоестествоенное на первый взгляд поведение гироскопа оказывается полностью соответствующим законам динамики вращательного движения. В самом деле, момент сил  $F_1$  и  $F_2$  направлен вдоль прямой  $O'O'$ . За время  $dt$  момент импульса гироскопа  $M$  получит приращение  $dM = N dt$ , которое имеет такое же направление, как и  $N$ . Спустя время  $dt$  момент импульса гироскопа будет равен результирующей  $M' = M + dM$ , лежащей в плоскости рисунка. Направление вектора  $M'$  совпадает с новым направлением оси гироскопа. Таким образом, ось гироскопа повернется вокруг прямой  $O''O''$  на некоторый угол  $d\varphi$ . Из рис. 44.1 видно, что  $d\varphi = |dM|/M = N dt/M$ . Отсюда следует, что поворот оси гироскопа в новое положение произошел с угловой скоростью  $\omega' = d\varphi/dt = N/M$ . Перепишем это соотношение в виде:  $N = \omega' M$ . Векторы  $N$ ,  $M$  и  $\omega'$  взаимно перпендикулярны (вектор  $\omega'$  направлен вдоль прямой  $O''O''$  на нас). Поэтому связь между ними можно записать в виде

$$N = [\omega' M]. \quad (44.1)$$

Мы получили эту формулу для случая, когда векторы  $\omega'$  и  $M$  взаимно перпендикулярны. Однако она справедлива и в самом общем случае. Как видно из рис. 44.2, при повороте оси гироскопа вокруг вектора  $\omega'$  на угол  $d\varphi$  вектор  $M$  получает приращение, модуль которого равен  $|dM| = M \sin \alpha d\varphi$ . Вместе с тем  $|dM| = N dt$ . Таким образом,  $M \sin \alpha d\varphi = N dt$ , откуда  $N = \omega' M \sin \alpha$ . С помощью рис. 44.2 легко сообразить, что и в этом случае справедлива формула (44.1) (векторы  $\omega'$  и  $M$  лежат в плоскости рисунка, вектор  $dM$  направлен за чертеж и поэтому изображен кружком с крестиком). Напомним, что формула (44.1) справедлива лишь в том случае, если  $\omega' \ll \omega$ .

При попытках вызвать поворот оси гироскопа заданным образом вследствие гироскопического эффекта возникают так

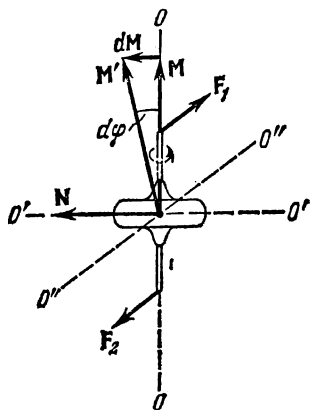


Рис. 44.1.

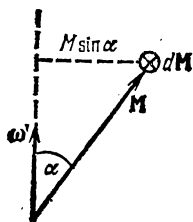


Рис. 44.2.

называемые гироскопические силы, действующие на подшипники, в которых вращается ось гироскопа. Например, при

принудительном повороте оси гироскопа  $OO$  вокруг прямой  $O'O'$  (рис. 44.3) ось гироскопа стремится повернуться вокруг прямой  $O''O''$ . Чтобы предотвратить это вращение, к оси гироскопа должны быть приложены действующие со стороны подшипников силы  $F'_1$  и  $F'_2$ . По третьему закону Ньютона ось гироскопа будет действовать на подшипники с силами  $F_1$  и  $F_2$ , которые и являются гироскопическими силами. При принудительном повороте оси гироскопа с угловой скоростью  $\omega'$  момент сил, с которыми подшипники действуют на ось, определяется формулой (44.1). Момент гироскопических сил, с которыми ось действует на подшипники, равен

$$N' = [M\omega']. \quad (44.2)$$

Предположим, что ось гироскопа закреплена в кольце  $K$ , которое может свободно поворачиваться в обойме  $Ob$  (рис. 44.4). Приведем обойму во вращение вокруг оси, лежащей в ее плоскости,

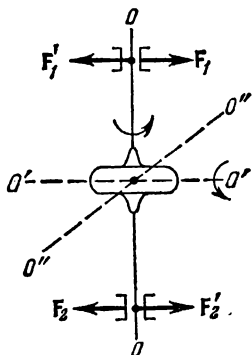


Рис. 44.3.

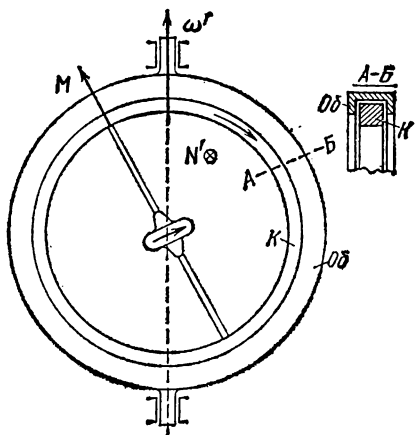


Рис. 44.4.

с угловой скоростью  $\omega'$ . В этом случае, как мы выяснили, возникает действующий на кольцо момент гироскопических сил, определяемый формулой (44.2). Под действием этого момента кольцо будет поворачиваться в обойме в направлении, указанном стрелкой, до тех пор, пока ось гироскопа не установится в направлении оси вращения обоймы и момент (44.2) не станет равным нулю. При этом направление собственного вращения гироскопа и направление, в котором вращается обойма, совпадут. При  $M$  и  $\omega'$ , направленных в противоположные стороны, момент (44.2) также равен нулю. Однако соответствующее положение оси гироскопа будет неустойчивым — при малейшем отклонении угла между  $M$  и  $\omega'$  от  $180^\circ$  появится момент  $N'$ , который будет поворачивать ось до тех пор, пока этот угол не станет равным нулю.

Теперь допустим, что обойма поворачивается с угловой скоростью  $\omega'$  вокруг оси, не лежащей в ее плоскости (рис. 44.5). В положении кольца, при котором момент импульса гироскопа  $\mathbf{M}$  перпендикулярен к  $\omega'$  (рис. 44.5, а), вектор  $\mathbf{N}'$  имеет направление, показанное на рисунке. Составляющая  $\mathbf{N}'_{\perp}$  этого вектора вызывает поворот кольца в обойме, в результате которого угол между векторами  $\mathbf{M}$  и  $\omega'$  будет уменьшаться. Составляющая  $\mathbf{N}'_{\parallel}$  стремится перекосить кольцо относительно обоймы. Когда кольцо займет такое положение, при котором угол между векторами  $\mathbf{M}$  и  $\omega'$  примет наименьшее возможное значение (рис. 44.5, б), составляющая  $\mathbf{N}'_{\perp}$  станет равной нулю, так как в этом случае момент гироскопических сил  $\mathbf{N}'$  лежит

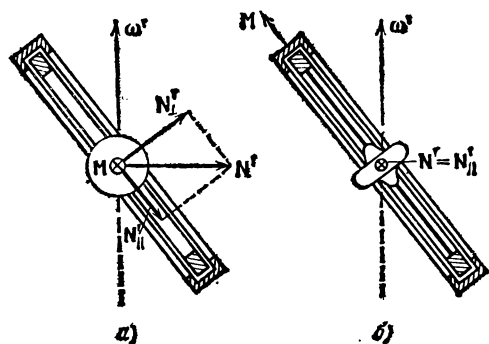


Рис. 44.5.

в плоскости кольца; этот момент не может вызвать вращения кольца в обойме. Таким образом, под действием гироскопических сил кольцо занимает в обойме такое положение, при котором угол между осью гироскопа и осью вращения обоймы минимален.

Описанное поведение гироскопа положено в основу прибора, называемого гироскопическим компасом (гироком-

пасом). Этот прибор представляет собой гироскоп, ось которого может свободно поворачиваться в горизонтальной плоскости. Под влиянием суточного вращения Земли ось гироскопа устанавливается в такое положение, при котором угол между этой осью и осью вращения Земли будет минимальным (рис. 44.6). В этом положении ось гироскопа оказывается в меридиональной плоскости и, следовательно, указывает точно на север. Гироскопический компас выгодно отличается от компаса с магнитной стрелкой тем, что в его показания нет необходимости вносить поправки на так называемое магнитное склонение<sup>1)</sup>, а также не приходится принимать мер для компенсации воздействия на стрелку расположенных вблизи нее ферромагнитных предметов (например, стального корпуса корабля и т. п.).

Допустим, что ось гироскопа может свободно поворачиваться вокруг некоторой точки  $O$  (рис. 44.7). Рассмотрим поведение такого гироскопа в поле сил тяжести. Момент сил, приложенных

<sup>1)</sup> Магнитным склонением называется угол между магнитным и географическим меридианами.

к гироскопу, равен по величине

$$N = mgl \sin \alpha, \quad (44.3)$$

где  $m$  — масса гироскопа,  $l$  — расстояние от точки  $O$  до центра масс гироскопа,  $\alpha$  — угол, образованный осью гироскопа с вертикалью. Направлен вектор  $N$  перпендикулярно к вертикальной плоскости, проходящей через ось гироскопа (на рис. 44.7 эта плоскость заштрихована).

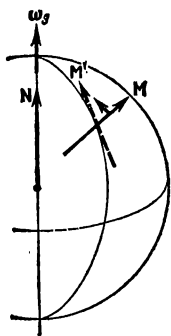


Рис. 44.6.

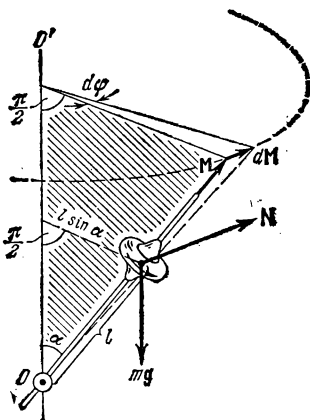


Рис. 44.7.

Под действием момента сил  $N$  момент импульса  $M$  получит за время  $dt$  приращение  $dM = N dt$ , перпендикулярное к вектору  $M$ . Изменение, которое претерпевает вектор  $M$ , получив приращение  $dM$ , соответствует такому повороту оси гироскопа, при котором угол  $\alpha$  не изменяется. Вертикальная плоскость, проходящая через ось гироскопа, повернется при этом на угол  $d\varphi$ . На такой же угол повернется в горизонтальной плоскости вектор  $N$ . В результате спустя время  $dt$  будет иметь место такое же взаимное расположение векторов  $M$  и  $N$ , как и в начальный момент.

За последующий элемент времени  $dt$  вектор  $M$  получит снова приращение  $dM$ , которое будет перпендикулярно к новому (возникшему после предшествующего элементарного поворота) направлению вектора  $M$ , и т. д. В итоге ось гироскопа будет поворачиваться вокруг вертикальной оси, проходящей через точку  $O$ , с угловой скоростью  $\omega'$ , описывая конус с углом раствора, равным  $2\alpha$  (ср. с рис. 44.2). (При  $\alpha = \pi/2$  конус вырождается в плоскость.) Вектор  $M$  при этом будет изменяться только по направлению, по величине

он будет постоянным, так как элементарные приращения  $d\mathbf{M}$  все время будут перпендикулярны к вектору  $\mathbf{M}$ <sup>1)</sup>.

Итак, в поле сил тяжести ось гироскопа с неподвижной точкой поворачивается вокруг вертикали, описывая конус. Такое движение гироскопа называется *прецессией*. Угловую скорость прецессии  $\omega'$  можно найти, приняв во внимание, что согласно (44.1)  $N = \omega' M \sin \alpha$ . Приравняв это значение выражению (44.3), получим, что  $\omega' M \sin \alpha = mgl \sin \alpha$ , откуда

$$\omega' = \frac{mgl}{M} = \frac{mgl}{I\omega}. \quad (44.4)$$

Из (44.4) следует, что скорость прецессии не зависит от угла наклона оси гироскопа по отношению к вертикали (от угла  $\alpha$ ).

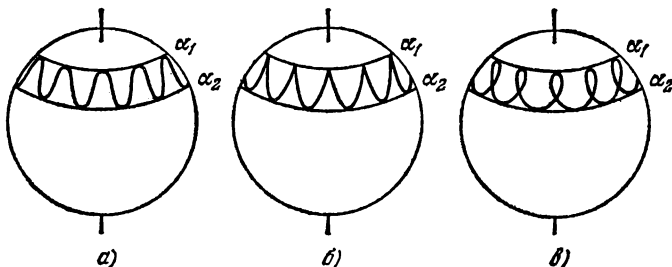


Рис. 44.8.

Формулу (44.4) можно получить также следующим образом. Согласно рис. 44.7 угол  $d\varphi$ , на который повернется плоскость, проходящая через ось конуса и ось гироскопа, может быть представлен как отношение  $|d\mathbf{M}|$  к  $M \sin \alpha$  (начало вектора  $\mathbf{M}$  предполагается помещенным в точку  $O$ ):

$$d\varphi = \frac{|d\mathbf{M}|}{M \sin \alpha} = \frac{N dt}{M \sin \alpha} = \frac{mgl \sin \alpha \cdot dt}{M \sin \alpha}. \quad (44.5)$$

Очевидно, что  $\omega' = d\varphi/dt$ . Разделив выражение (44.5) на  $dt$ , придем к формуле (44.4).

Мы рассмотрели приближенную теорию гироскопа. Согласно строгой теории наряду с вращением оси вокруг вертикали происходят колебания оси в вертикальной плоскости, сопровождающиеся изменениями угла  $\alpha$  в пределах от  $\alpha_1$  до  $\alpha_2$ . Эти колебания оси называются *нутацией*. В зависимости от начальных условий конец оси гироскопа вычерчивает на воображаемой сферической

<sup>1)</sup> Аналогично ведет себя вектор скорости при равномерном движении точки по окружности. Вектор  $\mathbf{v}$  получает за время  $dt$  приращения  $d\mathbf{v} = \mathbf{w}_n dt$  ( $w_n = \text{const}$ ). В результате изменяется направление вектора  $\mathbf{v}$ , величина же его остается неизменной.

поверхности одну из изображенных на рис. 44.8 кривых. Если, например, закрепив ось под углом  $\alpha_1$ , привести гироскоп во вращение и затем освободить ось без толчка, ось сначала будет, поворачиваясь вокруг вертикали, опускаться. Достигнув угла  $\alpha_2$ , ось станет подниматься, и т. д. (этот случай изображен на рис. 44.8, б).

Сообщив волчку начальный толчок вполне определенной величины и направления, можно добиться того, что ось гироскопа будет прецессировать без нутации. Такая прецессия называется *регулярной*. Чем быстрее вращается волчок, тем меньше амплитуда нутации. Кроме того, нутация гасится трением в опоре. Поэтому практически нутация часто бывает незаметной. Прецессия, которая является регулярной лишь приближенно, называется *псевдорегулярной*.

Если точку  $O$  поместить в центр масс гироскопа (см. рис. 44.7), момент силы тяжести станет равным нулю, и мы получим так называемый *свободный симметричный волчок*. В силу закона сохранения момент импульса такого волчка не будет изменяться ни по величине, ни по направлению. Если привести волчок во вращение вокруг оси симметрии, векторы  $\mathbf{M}$  и  $\boldsymbol{\omega}$  будут иметь одинаковое направление, сохраняющееся неограниченно долго. Однако, если волчок будет приведен во вращение вокруг оси, не совпадающей ни с одной из его главных осей инерции, векторы  $\mathbf{M}$  и  $\boldsymbol{\omega}$  не будут совпадать (рис. 44.9). Соответствующий расчет приводит к следующим результатам. Вектор  $\boldsymbol{\omega}$ , оставаясь постоянным по величине, прецессирует вокруг направления вектора  $\mathbf{M}$ , описывая конус. Одновременно прецессирует ось симметрии волчка  $z$ , причем векторы  $\mathbf{M}$ ,  $\boldsymbol{\omega}$  и ось  $z$  все время находятся в одной плоскости. Волчок вращается вокруг оси  $z$  с угловой скоростью  $\omega_z = M_z / I_z$ , где  $M_z$  — проекция вектора  $\mathbf{M}$  на ось  $z$ ,  $I_z$  — момент инерции волчка относительно этой оси. Угловая скорость прецессии равна  $\omega_{\text{пр}} = M / I$ , где  $I$  — одинаковое значение моментов инерции  $I_x$  и  $I_y$ .

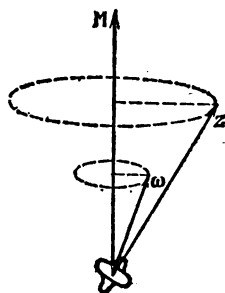


Рис. 44.9.

## ГЛАВА VI

### ВСЕМИРНОЕ ТЯГОТЕНИЕ

#### § 45. Закон всемирного тяготения

Все тела в природе взаимно притягивают друг друга. Закон, которому подчиняется это притяжение, был установлен Ньютоном и носит название закона всемирного тяготения. Согласно этому закону сила, с которой две материальные точки притягивают друг друга, пропорциональна массам этих точек и обратно пропорциональна квадрату расстояния между ними:

$$F = \gamma \frac{m_1 m_2}{r^2}. \quad (45.1)$$

Здесь  $\gamma$  — коэффициент пропорциональности, называемый гравитационной постоянной. Направлена сила вдоль

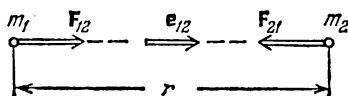


Рис. 45.1.

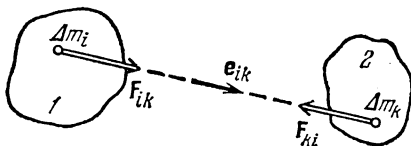


Рис. 45.2.

прямой, проходящей через взаимодействующие материальные точки (рис. 45.1).

В векторном виде силу, с которой вторая материальная точка притягивает к себе первую, можно записать следующим образом:

$$\mathbf{F}_{12} = \gamma \frac{m_1 m_2}{r^2} \mathbf{e}_{12}. \quad (45.2)$$

Символом  $\mathbf{e}_{12}$  обозначен единичный вектор, имеющий направление от первой материальной точки ко второй (см. рис. 45.1). Заменяв в формуле (45.2) вектор  $\mathbf{e}_{12}$  вектором  $\mathbf{e}_{21}$ , получим силу  $\mathbf{F}_{21}$ , действующую на вторую материальную точку.

Для определения силы взаимодействия протяженных тел их нужно разбить на элементарные массы  $\Delta m$ , каждую из которых можно было бы принять за материальную точку (рис. 45.2). Согласно (45.2)  $i$ -я элементарная масса тела 1 притягивается к  $k$ -й элементарной массе тела 2 с силой

$$F_{ik} = \gamma \frac{\Delta m_i \Delta m_k}{r_{ik}^2} \mathbf{e}_{ik}, \quad (45.3)$$

где  $r_{ik}$  — расстояние между элементарными массами.

Просуммировав (45.3) по всем значениям индекса  $k$ , получим силу, действующую со стороны тела 2 на принадлежащую телу 1 элементарную массу  $\Delta m_i$ :

$$F_{i2} = \sum_k \gamma \frac{\Delta m_i \Delta m_k}{r_{ik}^2} \mathbf{e}_{ik}. \quad (45.4)$$

Наконец, просуммировав (45.4) по всем значениям индекса  $i$ , т. е. сложив силы, приложенные ко всем элементарным массам первого тела, получим силу, с которой тело 2 действует на тело 1:

$$F_{12} = \sum_i \sum_k \gamma \frac{\Delta m_i \Delta m_k}{r_{ik}^2} \mathbf{e}_{ik}. \quad (45.5)$$

Суммирование производится по всем значениям индексов  $i$  и  $k$ . Следовательно, если тело 1 разбить на  $N_1$ , а тело 2 — на  $N_2$  элементарных масс, то сумма (45.5) будет содержать  $N_1 N_2$  слагаемых.

Практически суммирование (45.5) сводится к интегрированию и является, вообще говоря, очень сложной математической задачей. Если взаимодействующие тела однородны и имеют правильную форму, вычисления сильно упрощаются. В частности, в случае, когда взаимодействующие тела представляют собой однородные <sup>1)</sup> шары, вычисление согласно (45.5) приводит к формуле (45.2), в которой под  $m_1$  и  $m_2$  следует понимать массы шаров, под  $r$  — расстояние между их центрами и под  $\mathbf{e}_{12}$  — единичный вектор, имеющий направление от центра первого шара к центру второго. Таким образом, шары взаимодействуют как материальные точки, имеющие массы, равные массам шаров, и помещенные в их центрах.

Если одно из тел представляет собой однородный шар очень большого радиуса (например земной шар), а второе тело можно рассматривать как материальную точку, то их взаимодействие описывается формулой (45.2), в которой под  $r$  нужно понимать расстояние от центра шара до материальной точки (это утверждение будет доказано в следующем параграфе).

---

<sup>1)</sup> Достаточно, чтобы распределение массы в пределах каждого шара обладало центральной симметрией, т. е. чтобы плотность была функцией только расстояния от центра шара.

Размерность гравитационной постоянной в соответствии с (45.1) равна

$$[\gamma] = \frac{[F] [r^2]}{[m^2]} = \frac{(ML/T^2) L^2}{M^2} = L^3 M^{-1} T^{-2}.$$

Численное значение  $\gamma$  было определено путем измерения силы, с которой притягиваются друг к другу тела известной массы. При таких измерениях возникают большие трудности, так как для тел, массы которых могут быть непосредственно измерены, сила притяжения оказывается крайне малой. Так, например, два тела с массой 100 кг каждое, находящиеся на расстоянии 1 м друг от друга, взаимодействуют с силой порядка  $10^{-6}$  Н, т. е. порядка  $10^{-4}$  гс.

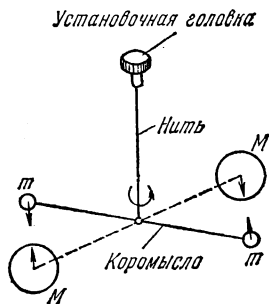


Рис. 45.3.

Первой успешной попыткой определения  $\gamma$  были измерения, осуществленные Кавендишем (1798 г.). Он применил для измерения сил весьма чувствительный метод крутильных весов (рис. 45.3). Два свинцовых шара  $m$  (с массой 0,729 кг каждый), прикрепленных к концам легкого коромысла, помещались вблизи симметрично расположенных шаров  $M$  (с массой по 158 кг). Коромысло подвешивалось на упругой нити, по закручиванию которой можно было измерять силу притяжения шаров друг к другу. Верхний конец нити был закреплен в установочной головке, поворотом которой можно было менять расстояние между шарами  $m$  и  $M$ . Наиболее точным из определенных разными способами считается значение

$$\gamma = 6,670 \cdot 10^{-11} \text{ Н} \cdot \text{м}^2 / \text{кг}^2.$$

Если в (45.1) подставить  $m_1$ ,  $m_2$  и  $r$ , равные единице, то сила оказывается численно равной  $\gamma$ . Таким образом, два шара с массой 1 кг каждый, центры которых отстоят друг от друга на 1 м, притягиваются взаимно с силой, равной  $6,670 \cdot 10^{-11}$  Н.

## § 46. Гравитационное поле

Гравитационное взаимодействие осуществляется через гравитационное поле. Всякое тело изменяет свойства окружающего его пространства — создает в нем гравитационное поле. Это поле проявляется в том, что помещенное в него другое тело оказывается под действием силы. Об «интенсивности» гравитационного поля, очевидно, можно судить по величине силы, действующей в данной точке на тело с массой, равной единице. В соответствии с этим величину

$$G = \frac{F}{m} \quad (46.1)$$

называют напряженностью гравитационного поля. В этой формуле  $\mathbf{F}$  есть гравитационная сила, действующая на материальную точку массы  $m$  в данной точке поля.

Размерность  $\mathbf{G}$  совпадает с размерностью ускорения. Напряженность поля тяготения вблизи поверхности Земли равна ускорению свободного падения  $\mathbf{g}$  (с точностью до поправки, обусловленной вращением Земли, см. § 33).

Из формулы (45.2) легко заключить, что напряженность поля, создаваемого материальной точкой массы  $m$ , равна

$$\mathbf{G} = -\gamma \frac{m}{r^2} \mathbf{e}_r, \quad (46.2)$$

где  $\mathbf{e}_r$  — орт радиуса-вектора, проведенного из материальной точки в данную точку поля,  $r$  — модуль этого радиуса-вектора.

Пусть гравитационное поле создается закрепленной в начале координат материальной точкой массы  $m$ . Тогда на материальную точку массы  $m'$ , находящуюся в точке с радиусом-вектором  $\mathbf{r}$ , будет действовать сила

$$\mathbf{F} = \mathbf{G}m' = -\gamma \frac{mm'}{r^2} \mathbf{e}_r \quad (46.3)$$

(ср. с (30.1)). В § 30 было показано, что потенциальная энергия точки  $m'$  определяется в этом случае выражением

$$U = -\gamma \frac{mm'}{r} \quad (46.4)$$

(потенциальная энергия при  $r=\infty$  принята равной нулю). Выражение (46.4) можно трактовать также как взаимную потенциальную энергию материальных точек  $m$  и  $m'$ .

Из (46.4) видно, что каждой точке поля, создаваемого материальной точкой  $m$ , соответствует определенное значение потенциальной энергии, которой обладает в этом поле материальная точка  $m'$ . Поэтому поле можно характеризовать потенциальной энергией, которой обладает в данном месте материальная точка с  $m'=1$ . Величину

$$\varphi = \frac{U}{m'} \quad (46.5)$$

называют потенциалом гравитационного поля. В этой формуле  $U$  есть потенциальная энергия, которой обладает материальная точка массы  $m'$  в данной точке поля.

Зная потенциал поля, можно вычислить работу, совершаемую над частицей  $m'$  силами поля при перемещении ее из положения 1 в положение 2. Согласно формуле (22.1) эта работа равна

$$A_{12} = U_1 - U_2 = m'(\varphi_1 - \varphi_2). \quad (46.6)$$

Согласно (46.1) и (46.5) сила, действующая на частицу  $m'$ , равна  $\mathbf{F} = m'\mathbf{G}$ , а потенциальная энергия этой частицы равна  $U = m'\varphi$ .

В соответствии с формулой (22.7)  $\mathbf{F} = -\nabla U$ , т. е.  $m' \mathbf{G} = -\nabla(m' \varphi)$ . Вынеся из-под знака градиента константу  $m'$  и сократив затем на эту константу, придем к соотношению между напряженностью и потенциалом гравитационного поля:

$$\mathbf{G} = -\nabla \varphi. \quad (46.7)$$

Найдем выражение для взаимной потенциальной энергии однородного шарового слоя и материальной точки массы  $m$ , причем рассмотрим два случая, отвечающие нахождению точки вне и внутри слоя. Начнем со случая, когда  $m$  находится вне слоя (рис. 46.1, а).

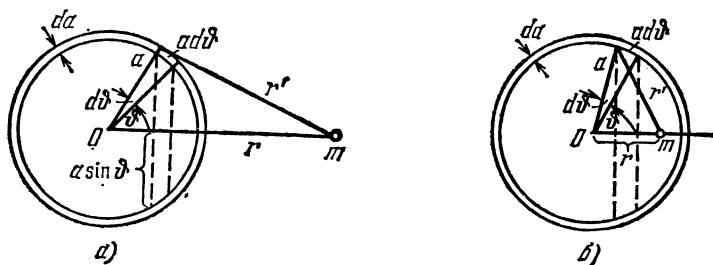


Рис. 46.1.

Выделим из слоя кольцо, края которого отвечают значениям угла  $\vartheta$  и  $\vartheta + d\vartheta$ . Радиус этого кольца равен  $a \sin \vartheta$ , а ширина  $a d\vartheta$  ( $a$  — радиус слоя). Следовательно, площадь кольца определяется выражением  $2\pi a^2 \sin \vartheta d\vartheta$ . Если толщина слоя  $da$ , а плотность  $\rho$ , то масса кольца равна  $2\pi \rho a^2 da \sin \vartheta d\vartheta$ . Все точки кольца находятся от  $m$  на одинаковом расстоянии  $r'$ . Поэтому согласно (46.4) взаимная потенциальная энергия кольца и массы  $m$  определяется выражением

$$dU_{\kappa} = -\gamma \frac{2\pi \rho a^2 da \sin \vartheta d\vartheta \cdot m}{r'}. \quad (46.8)$$

Чтобы получить потенциальную энергию всего шарового слоя и массы  $m$ , нужно проинтегрировать выражение (46.8) по углу  $\vartheta$  в пределах от 0 до  $\pi$ . При этом переменная  $r'$  изменяется в пределах от  $r - a$  до  $r + a$  ( $r$  — расстояние от центра слоя  $O$  до  $m$ ). Выражение (46.8) содержит две связанные друг с другом переменные:  $\vartheta$  и  $r'$ . Прежде чем приступить к интегрированию, нужно исключить одну из этих переменных. Интегрирование упрощается, если исключить переменную  $\vartheta$ . Связь между  $\vartheta$  и  $r'$  можно получить, воспользовавшись теоремой косинусов. Из рис. 46.1 видно, что

$$r'^2 = a^2 + r^2 - 2ar \cos \vartheta.$$

Продифференцировав это соотношение, получим, что

$$2r' dr' = 2ar \sin \vartheta d\vartheta.$$

Отсюда  $\sin \vartheta \, d\vartheta = (r'/ar) dr'$ . Произведя в (46.8) такую замену, получим:

$$dU_k = -\gamma \frac{2\pi \rho a \, da \cdot m \cdot dr'}{r}.$$

Интегрирование по  $r'$  в пределах от  $r'_1 = r - a$  до  $r'_2 = r + a$  дает

$$dU_{cl} = -\gamma \frac{2\pi \rho a \, da \cdot m}{r} \int_{r-a}^{r+a} dr' = -\gamma \frac{\rho 4\pi a^2 da \cdot m}{r}. \quad (46.9)$$

Выражение  $4\pi a^2 da$  дает объем слоя, а  $\rho 4\pi a^2 da$  — его массу  $dM$ . Таким образом, взаимная потенциальная энергия шарового слоя и массы  $m$  равна

$$dU_{cl} = -\gamma \frac{dM \cdot m}{r}, \quad (46.10)$$

где  $r$  — расстояние от центра слоя до  $m$ .

Для случая, когда масса  $m$  помещается внутри слоя (см. рис. 46.1, б), все выкладки остаются теми же. Иными будут лишь пределы интегрирования в (46.9), так как  $r'$  меняется в этом случае от значения  $r'_1 = a - r$  до  $r'_2 = a + r$ . Следовательно,

$$\begin{aligned} dU'_{cl} &= -\gamma \frac{2\pi \rho a \, da \cdot m}{r} \int_{a-r}^{a+r} dr' = -\gamma \rho 4\pi a \, da \cdot m = \\ &= -\gamma \frac{\rho 4\pi a^2 da \cdot m}{a} = -\gamma \frac{dM \cdot m}{a}. \end{aligned} \quad (46.11)$$

Таким образом, в этом случае потенциальная энергия одинакова для всех  $r$  и равна значению (46.10), получающемуся для  $r = a$ .

Выражение (46.10) можно трактовать как потенциальную энергию частицы  $m$  в поле, создаваемом шаровым слоем массы  $dM$ . Взятая с обратным знаком производная от этой энергии по  $r$  равна проекции на направление  $r$  силы, действующей на частицу:

$$dF_r = -\frac{\partial U}{\partial r} = -\gamma \frac{dM \cdot m}{r^2}. \quad (46.12)$$

Знак минус указывает на то, что сила направлена в сторону убывания  $r$ , т. е. к центру слоя.

Из формулы (46.12) следует, что шаровой слой действует на частицу с такой силой, с какой действовала бы помещенная в центр слоя материальная точка с массой, равной массе слоя.

Выражение (46.11) не зависит от координат частицы. Поэтому градиент этого выражения равен нулю для всех  $r < a$ . Таким образом, частица, находящаяся внутри слоя, не подвержена действию никакой силы. Каждый элемент слоя действует, конечно, на частицу

с некоторой силой, но сумма сил, действующих со стороны всех элементов слоя, равна нулю.

Теперь рассмотрим систему, состоящую из однородного шара массы  $M$  и материальной точки (частицы) массы  $m$ . Разобьем шар на слои массы  $dM$ . Каждый слой действует на частицу с силой, определяемой формулой (46.12). Просуммировав это выражение по всем слоям, получим силу, с которой шар действует на частицу:

$$F_r = \int dF_r = - \int \gamma \frac{dM \cdot m}{r^2} = - \gamma \frac{Mm}{r^2}. \quad (46.13)$$

Действие шара на частицу эквивалентно действию помещенной в центр шара материальной точки с массой, равной массе шара (см. предыдущий параграф).

Если взять шар со сферической полостью внутри, то на частицу, находящуюся в этой полости, не будет действовать никакая сила.

Просуммировав по всем слоям сплошного или полого шара выражение (46.10), получим взаимную потенциальную энергию частицы и шара:

$$U = - \gamma \frac{Mm}{r}. \quad (46.14)$$

Здесь  $M$  — масса шара,  $m$  — масса частицы,  $r$  — расстояние от частицы до центра шара.

Из (46.13) и (46.14) вытекает, что гравитационное поле, создаваемое однородным шаром, эквивалентно (вне шара) полю, создаваемому материальной точкой с той же массой, находящейся в центре шара.

Рассмотрим два однородных шара с массами  $M_1$  и  $M_2$ . Второй шар испытывает со стороны первого такое же действие, какое оказывала бы материальная точка массы  $M_1$ , находящаяся в центре первого шара. По третьему закону Ньютона соответствующая сила равна по величине силе, с которой второй шар действовал бы на материальную точку  $M_1$ . Согласно (46.13) модуль этой силы равен  $\gamma M_1 M_2 / r^2$ . Таким образом, мы доказали, что однородные шары взаимодействуют как материальные точки, помещающиеся в их центрах.

## § 47. Принцип эквивалентности

Масса фигурирует в двух различных законах: во втором законе Ньютона и в законе всемирного тяготения. В первом случае она характеризует инертные свойства тела, во втором — гравитационные свойства, т. е. способность тел притягивать друг друга. В связи с этим возникает вопрос, не следует ли различать инертную массу  $m_{in}$  и массу гравитационную  $m_g$ .

Ответ на этот вопрос может дать только опыт. Рассмотрим в гелиоцентрической системе отсчета свободное падение тел. Всякое тело вблизи поверхности Земли испытывает силу притяжения к Земле, которая согласно (46.13) равна

$$F = \gamma \frac{m_g M_3}{R_3^2}$$

( $m_g$  — гравитационная масса данного тела,  $M_3$  — гравитационная масса Земли,  $R_3$  — радиус земного шара). Под действием этой силы тело приобретает ускорение  $w$  (но не  $g$ ; см. § 33), которое должно быть равно силе  $F$ , деленной на инертную массу тела  $m_{in}$ :

$$w = \frac{F}{m_{in}} = \gamma \frac{M_3}{R_3^2} \frac{m_g}{m_{in}}. \quad (47.1)$$

Опыт показывает, что ускорение  $w$  для всех тел одинаково (в § 33 показано, что из одинаковости  $g$  вытекает одинаковость  $w$ ). Множитель  $\gamma (M_3/R_3^2)$  также одинаков для всех тел. Следовательно, и отношение  $m_g/m_{in}$  оказывается для всех тел одним и тем же. К такому же результату приводят и все другие опыты, в которых могло бы проявиться различие между инертной и гравитационной массами.

Из числа упомянутых опытов расскажем об опыте Этвеша, начатом в 1887 г. и продолжавшемся более 25 лет. В его основе лежит то обстоятельство, что на тело, покоящееся вблизи поверхности Земли, действуют, кроме реакции опоры, гравитационная сила  $F_g$ , направленная к центру Земли, а также центробежная сила инерции  $F_{цб}$ , направленная перпендикулярно к оси вращения Земли (рис. 47.1; на этом рисунке не соблюден масштаб — модуль центробежной силы на два порядка меньше модуля гравитационной силы, см. § 33). Гравитационная сила пропорциональна гравитационной массе тела  $m_g$ :

$$F_g = m_g G$$

( $G$  — напряженность гравитационного поля). Центробежная сила инерции пропорциональна инертной массе  $m_{in}$ . Согласно формуле (33.4) ее модуль определяется выражением

$$F_{цб} = m_{in} \omega^2 R_3 \cos \varphi$$

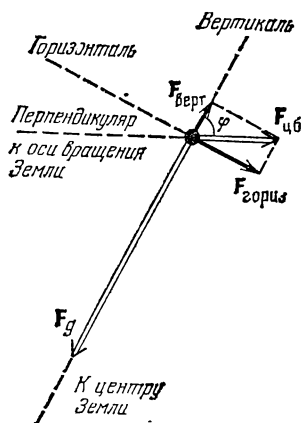


Рис. 47.1.

( $\varphi$  — широта местности). Из рис. 47.1 следует, что модуль вертикальной составляющей центробежной силы инерции равен

$$F_{\text{верт}} = F_{\text{цб}} \cos \varphi = m_{in} \omega^2 R_3 \cos^2 \varphi = A m_{in}.$$

Мы ввели обозначение  $A = \omega^2 R_3 \cos^2 \varphi$ . Опыт Этвеша производился на широте  $\varphi = 45^\circ$ . В этом случае коэффициент  $A$  примерно в 100 раз меньше  $G$ .

Модуль горизонтальной составляющей силы  $F_{\text{цб}}$  равен

$$F_{\text{гориз}} = F_{\text{цб}} \sin \varphi = m_{in} \omega^2 R_3 \cos \varphi \sin \varphi = B m_{in}$$

(для  $\varphi = 45^\circ$  значения коэффициентов  $A$  и  $B$  совпадают).

Этвеш подвесил на упругой нити стержень с укрепленными на его концах телами по возможности равной массы (рис. 47.2). Тела брались из разных материалов. К нижней части нити прикреплялось зеркальце. Луч, вышедший из осветителя и отраженный от зеркальца, попадал на перекрестье зрительной трубы. Плечи  $l'$  и  $l''$  подбирались так, чтобы стержень находился в равновесии в вертикальной плоскости. Условие равновесия выглядит следующим образом:

$$(m'_g G - m'_{in} A) l' = (m''_g G - m''_{in} A) l''. \quad (47.2)$$

Прибор располагался так, чтобы стержень был перпендикулярен к плоскости меридиана (см. рис. 47.2). В этом случае горизонтальные составляющие центробежной силы инерции создают закручивающий момент, равный

$$N = m'_{in} B l' - m''_{in} B l''. \quad (47.3)$$

Исключив из уравнений (47.2) и (47.3) плечо  $l''$ , можно после несложных преобразований прийти к формуле

$$N = m'_{in} B l' \left[ 1 - \frac{(m'_g/m'_{in}) G - A}{(m''_g/m''_{in}) G - A} \right].$$

Из этой формулы видно, что в том случае, когда отношение гравитационной и инертной масс для обоих тел одинаково, момент, закручивающий нить, должен быть равен нулю. Если же отношение  $m_g/m_{in}$

для первого и второго тела неодинаково, закручивающий момент отличен от нуля. В этом случае при повороте всего прибора на  $180^\circ$  закручивающий момент изменил бы знак на обратный и световой зайчик сместился бы из перекрестья зрительной трубы (рис. 47.3). При сравнении восьми различных тел (в том числе и деревянного) с платиновым телом, принятым за эталон, Этвеш не обнаружил закручивания нити. Это дало ему основание утверждать, что отношение  $m_g/m_{in}$  для этих тел одинаково с точностью в  $10^{-8}$ .

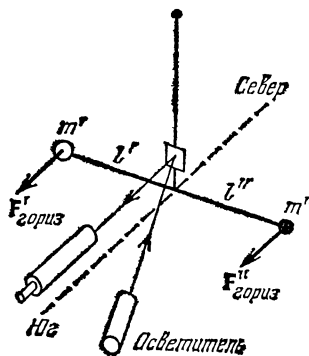


Рис. 47.2.

В 1961—64 гг. Дикке усовершенствовал метод Этвеша, используя для создания закручивающего момента гравитационное поле Солнца и центробежную силу инерции, обусловленную орбитальным движением Земли. В результате своих измерений Дикке пришел

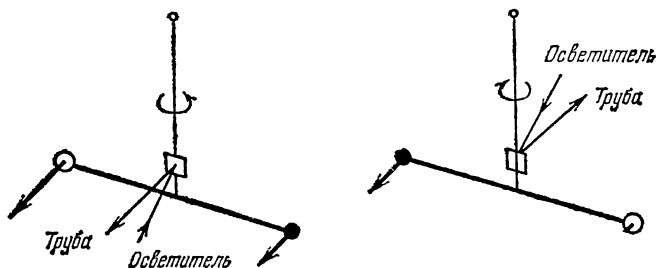


Рис. 47.3.

к выводу, что отношение  $m_g/m_{in}$  одинаково для исследованных тел с точностью  $10^{-11}$ . Наконец, в 1971 г. В. Б. Брагинский и В. И. Панов получили постоянство указанного отношения с точностью до  $10^{-12}$ .

Итак, вся совокупность опытных фактов указывает на то, что *инертная и гравитационная массы всех тел строго пропорциональны друг другу*. Это означает, что при надлежащем выборе единиц гравитационная и инертная массы становятся тождественными, поэтому в физике говорят просто о массе. Тождественность гравитационной и инертной масс положена Эйнштейном в основу общей теории относительности.

В § 32 мы уже отмечали, что силы инерции аналогичны силам тяготения — и те, и другие пропорциональны массе тела, на которое они действуют. Там же было указано, что, находясь внутри закрытой кабины, никакими опытами нельзя установить, чем вызвано действие на тело силы  $mg$ : тем ли, что кабина движется с ускорением  $-g$ , либо тем, что неподвижная кабина находится вблизи поверхности Земли. Это утверждение составляет содержание так называемого **п р и н ц и п а э к в и в а л е н т н о с т и**.

Тождественность инертной и гравитационной масс является следствием эквивалентности сил инерции и сил тяготения.

Отметим, что с самого начала массу в (45.1) мы полагали совпадающей с инертной массой тел, вследствие чего численное значение  $\gamma$  нами было определено в предположении, что  $m_g = m_{in}$ . Поэтому (47.1) можно записать в виде

$$\omega = \gamma \frac{M_3}{R_3^2}. \quad (47.4)$$

Последнее соотношение позволяет определить массу Земли  $M_3$ .

Подстановка в него измеренных значений  $\omega$ ,  $R_3$  и  $\gamma$  дает для массы Земли значение  $5,98 \cdot 10^{24}$  кг.

Далее, зная радиус земной орбиты  $R_{ор}$  и время полного обращения Земли вокруг Солнца  $T$ , можно найти массу Солнца  $M_c$ . Ускорение Земли, равное  $\omega^2 R_{ор}$  ( $\omega = 2\pi/T$ ), обуславливается силой притяжения Земли к Солнцу. Следовательно,

$$M_3 \omega^2 R_{ор} = \gamma \frac{M_3 M_c}{R_{ор}^2},$$

откуда может быть вычислена масса Солнца.

Подобным же образом были определены массы других небесных тел.

### § 48. Космические скорости

Для того чтобы двигаться вокруг Земли по круговой орбите с радиусом, мало отличающимся от радиуса Земли  $R_3$ , тело должно обладать вполне определенной скоростью  $v_1$ , величину которой можно определить из условия равенства произведения массы тела на ускорение силе тяжести, действующей на тело:

$$m \frac{v_1^2}{R_3} = mg.$$

Отсюда

$$v_1 = \sqrt{gR_3}. \quad (48.1)$$

Следовательно, для того чтобы какое-либо тело стало спутником Земли, ему необходимо сообщить скорость  $v_1$ , которая называется первой космической скоростью. Подстановка значений  $g$  и  $R_3$  дает для первой космической скорости следующее значение:

$$v_1 = \sqrt{gR_3} = \sqrt{9,8 \cdot 6,4 \cdot 10^6} \approx 8 \cdot 10^3 \text{ м/с} = 8 \text{ км/с}.$$

Обладая скоростью  $v_1$ , тело не упадет на Землю. Однако этой скорости недостаточно для того, чтобы тело могло выйти из сферы земного притяжения, т. е. удалиться от Земли на такое расстояние, что притяжение к Земле перестает играть существенную роль. Необходимая для этого скорость  $v_2$  называется второй космической скоростью.

Для того чтобы найти вторую космическую скорость, нужно вычислить работу, которую необходимо совершить против сил земного притяжения для удаления тела с поверхности Земли на бесконечность. При удалении тела силы земного притяжения совершают над ним работу

$$A' = U_{нач} - U_{кон}.$$

Согласно (46.14) начальное значение

$$U_{\text{нач}} = -\gamma \frac{M_3 m}{R_3},$$

конечное значение есть нуль. Таким образом,

$$A' = -\gamma \frac{M_3 m}{R_3}.$$

Работа  $A$ , которую нужно совершить против сил земного притяжения, равна работе  $A'$ , взятой с обратным знаком, т. е.

$$A = \gamma \frac{M_3 m}{R_3}. \quad (48.2)$$

Пренебрегая различием между силой тяжести  $mg$  и силой гравитационного притяжения тела к Земле, можно написать, что

$$mg = \gamma \frac{M_3 m}{R_3^2}.$$

Отсюда

$$\gamma \frac{M_3 m}{R_3^2} = mgR_3.$$

Следовательно, работу (48.2) можно представить в виде

$$A = mgR_3. \quad (48.3)$$

Эту работу удаляющееся тело совершает за счет запаса своей кинетической энергии. Чтобы запас энергии оказался достаточным для совершения работы (48.3), тело должно быть запущено со скоростью  $v$ , не меньшей, чем скорость  $v_2$ , определяемая условием

$$\frac{mv_2^2}{2} = mgR_3.$$

Отсюда

$$v_2 = \sqrt{2gR_3}. \quad (48.4)$$

Скорость  $v_2$  и есть вторая космическая скорость. Из сравнения с (48.1) видно, что вторая космическая скорость в  $\sqrt{2}$  раз больше первой. Умножив 8 км/с на  $\sqrt{2}$ , получим для  $v_2$  значение, приблизительно равное 11 км/с.

Отметим, что необходимая величина скорости не зависит от направления, в котором осуществляется запуск тела с Земли. От этого направления зависит лишь вид траектории, по которой тело удаляется от Земли.

Для того чтобы покинуть пределы Солнечной системы, тело должно преодолеть, кроме сил притяжения к Земле, также и силы притяжения к Солнцу. Необходимая для этого скорость запуска

тела с поверхности Земли называется третьей космической скоростью  $v_3$ . Скорость  $v_3$  зависит от направления запуска. При запуске в направлении орбитального движения Земли эта скорость минимальна и составляет около 17 км/с (в этом случае скорость тела относительно Солнца складывается из скорости тела относительно Земли и скорости, с которой Земля движется вокруг Солнца). При запуске в направлении, противоположном направлению движения Земли,  $v_3 \approx 73$  км/с.

Впервые космические скорости были достигнуты в СССР. 4 октября 1957 г. в Советском Союзе был осуществлен первый в истории человечества успешный запуск искусственного спутника Земли. 2 января 1959 г. был взят и второй рубеж. В этот день с советской земли отправилась в полет космическая ракета, которая вышла из сферы земного притяжения и стала первой искусственной планетой нашей Солнечной системы. 12 апреля 1961 г. в Советском Союзе был осуществлен первый полет человека в космическое пространство. Первый советский космонавт Юрий Алексеевич Гагарин совершил полет вокруг Земли и благополучно приземлился.

## ГЛАВА VII

### КОЛЕБАТЕЛЬНОЕ ДВИЖЕНИЕ

#### § 49. Общие сведения о колебаниях

Колебаниями называются процессы, отличающиеся той или иной степенью повторяемости. Таким свойством повторяемости обладают, например, качания маятника часов, колебания струны или ножек камертона, напряжение между обкладками конденсатора в контуре радиоприемника и т. п.

В зависимости от физической природы повторяющегося процесса различают колебания: механические, электромагнитные, электро-механические и т. д. В данной главе рассматриваются механические колебания.

Колебания широко распространены в природе и технике. Во многих случаях они играют отрицательную роль. Колебания моста, возникающие из-за толчков, сообщаемых ему колесами поезда при прохождении через стыки рельсов, колебания (вибрации) корпуса корабля, вызванные вращением гребного винта, вибрации крыльев самолета — все эти процессы могут привести к катастрофическим последствиям. В подобных случаях задача заключается в том, чтобы предотвратить возникновение колебаний или во всяком случае воспрепятствовать тому, чтобы колебания достигли опасных размеров.

Вместе с тем колебательные процессы лежат в самой основе различных отраслей техники. Так, например, на колебательных процессах основана вся радиотехника.

В зависимости от характера воздействия на колеблющуюся систему различают свободные (или собственные) колебания, вынужденные колебания, автоколебания и параметрические колебания.

Свободными или собственными называются такие колебания, которые происходят в системе, предоставленной самой себе после того, как ей был сообщен толчок либо она была выведена из положения равновесия. Примером могут служить колебания шарика, подвешенного на нити (маятник). Для того чтобы вызвать колебания, можно либо толкнуть шарик, либо, отведя в сторону, отпустить его.

Вынужденными называются такие колебания, в процессе которых колеблющаяся система подвергается воздействию внешней периоди-

чески изменяющейся силы. Примером служат колебания моста, возникающие при прохождении по нему людей, шагающих в ногу.

Автоколебания, как и вынужденные колебания, сопровождаются воздействием на колеблющуюся систему внешних сил, однако моменты времени, когда осуществляются эти воздействия, задаются самой колеблющейся системой — система сама управляет внешним воздействием. Примером автоколебательной системы являются часы, в которых маятник получает толчки за счет энергии поднятой гири или закрученной пружины, причем эти толчки происходят в моменты прохождения маятника через среднее положение. При параметрических колебаниях за счет внешнего воздействия происходит периодическое изменение какого-либо параметра системы, например длины нити, к которой подвешен шарик, совершающий колебания.

Простейшими являются гармонические колебания, т. е. такие колебания, при которых колеблющаяся величина (например, отклонение маятника) изменяется со временем по закону синуса или косинуса. Этот вид колебаний особенно важен по следующим причинам: во-первых, колебания в природе и в технике часто имеют характер, очень близкий к гармоническим, и, во-вторых, периодические процессы иной формы (с другой зависимостью от времени) могут быть представлены как наложение нескольких гармонических колебаний.

## § 50. Малые колебания

Рассмотрим механическую систему, положение которой может быть задано с помощью одной величины, которую мы обозначим через  $x$ . В таких случаях говорят, что система имеет одну степень свободы. Величиной  $x$ , определяющей положение системы, может быть угол, отсчитываемый от некоторой плоскости, или расстояние, отсчитываемое вдоль заданной кривой (в частности прямой) линии, и т. п. Потенциальная энергия системы будет функцией одной переменной  $x$ :  $U = U(x)$ . Допустим, что система обладает положением устойчивого равновесия. В этом положении функция  $U(x)$  имеет минимум (см. § 26). Условимся координату  $x$  и потенциальную энергию  $U$  отсчитывать от положения равновесия. Тогда  $U(0) = 0$ .

Разложим функцию  $U(x)$  в ряд по степеням  $x$ , причем ограничимся рассмотрением малых колебаний, так что высшими степенями  $x$  можно будет пренебречь. По формуле Маклорена

$$U(x) = U(0) + U'(0)x + \frac{1}{2}U''(0)x^2$$

(ввиду малости  $x$  остальными членами пренебрегаем). Поскольку  $U(x)$  при  $x=0$  имеет минимум,  $U'(0)$  равна нулю, а  $U''(0)$  положительна. Кроме того, по условию  $U(0)=0$ . Введем обозначение:  $U''(0)=k$  ( $k>0$ ). Тогда

$$U(x) = \frac{1}{2}kx^2. \quad (50.1)$$

Выражение (50.1) идентично с выражением (25.1) для потенциальной энергии деформированной пружины. Воспользовавшись соотношением (22.4), найдем силу, действующую на систему:

$$F_x = -\frac{\partial U}{\partial x} = -kx. \quad (50.2)$$

Эта формула дает проекцию силы на направление  $x$ . В дальнейшем индекс  $x$  при обозначении силы мы будем опускать, т. е. писать соотношение (50.2) в виде:  $F = -kx$ .

Выражение (50.2) тождественно выражению (14.2) для упругой силы деформированной пружины. Поэтому силы вида (50.2), независимо от их

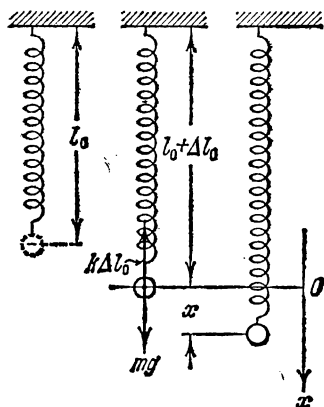


Рис. 50.1.

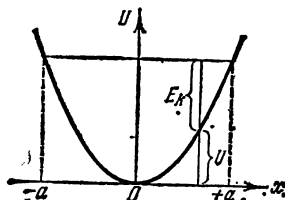


Рис. 50.2.

природы, называют к в а з и у п р у г и м и. Легко сообразить, что сила, описываемая формулой (50.2), всегда направлена к положению равновесия. Модуль силы пропорционален величине отклонения системы от равновесного положения. Силу, обладающую такими свойствами, иногда называют в о с с т а н а в л и в а ю щ е й с и л о й.

В качестве примера рассмотрим систему, состоящую из шарика массы  $m$ , подвешенного на пружине, массой которой можно пренебречь по сравнению с  $m$  (рис. 50.1). В положении равновесия сила  $mg$  уравновешивается упругой силой  $k\Delta l_0$ :

$$mg = k\Delta l_0 \quad (50.3)$$

( $\Delta l_0$  — удлинение пружины). Будем характеризовать смещение шарика из положения равновесия координатой  $x$ , причем ось  $x$  направим по вертикали вниз, а нуль оси совместим с положением равновесия шарика. Если сместить шарик в положение, характеризующее координатой  $x$ , то удлинение пружины станет равным  $\Delta l_0 + x$  и проекция результирующей силы на ось  $x$  примет значение  $F = mg - k(\Delta l_0 + x)$ . Учтя условие (50.3), получим, что

$$F = -kx. \quad (50.4)$$

Таким образом, в рассмотренном примере результирующая силы тяжести и упругой силы имеет характер квазиупругой силы.

Сообщим шарiku смещение  $x=a$ , после чего предоставим систему самой себе. Под действием квазиупругой силы шарик будет двигаться к положению равновесия со все возрастающей скоростью  $v=\dot{x}$ . При этом потенциальная энергия системы будет убывать (рис. 50.2), но зато появится все возрастающая кинетическая энергия <sup>1)</sup>  $E_k = 1/2 m \dot{x}^2$  (массой пружины пренебрегаем). Придя в положение равновесия, шарик продолжает двигаться по инерции. Это движение будет замедленным и прекратится тогда, когда кинетическая энергия полностью превратится в потенциальную, т. е. когда смещение шарика станет равным  $-a$ . Затем такой же процесс будет протекать при движении шарика в обратном направлении. Если трение в системе отсутствует, энергия системы должна сохраняться и шарик будет двигаться в пределах от  $x=a$  до  $x=-a$  неограниченно долго.

Уравнение второго закона Ньютона для шарика имеет вид

$$m\ddot{x} = -kx. \quad (50.5)$$

Введя обозначение

$$\omega_0^2 = k/m, \quad (50.6)$$

преобразуем уравнение (50.5) следующим образом:

$$\ddot{x} + \omega_0^2 x = 0. \quad (50.7)$$

Поскольку  $k/m > 0$ ,  $\omega_0$  — вещественная величина.

Итак, в отсутствие сил трения движение под действием квазиупругой силы описывается дифференциальным уравнением (50.7).

Во всякой реальной колебательной системе имеются силы сопротивления, действие которых приводит к уменьшению энергии системы. Если убыль энергии не восполняется за счет работы внешних сил, колебания будут затухать. В простейшем, и вместе с тем наиболее часто встречающемся, случае сила сопротивления  $F^*$  пропорциональна величине скорости:

$$F_x^* = -r\dot{x}. \quad (50.8)$$

Здесь  $r$  — постоянная, называемая коэффициентом сопротивления. Знак минус обусловлен тем, что сила  $F^*$  и скорость  $v$  имеют противоположные направления; следовательно, их проекции на ось  $x$  имеют разные знаки.

Уравнение второго закона Ньютона при наличии сил сопротивления имеет вид

$$m\ddot{x} = -kx - r\dot{x}. \quad (50.9)$$

---

<sup>1)</sup> В учении о колебаниях буквой  $T$  принято обозначать период колебаний. Поэтому кинетическую энергию мы обозначили символом  $E_k$ .

Применив обозначения

$$2\beta = r/m, \quad \omega_0^2 = k/m \quad (50.10)$$

(ср. с (50.6)), перепишем уравнение (50.9) следующим образом:

$$\ddot{x} + 2\beta\dot{x} + \omega_0^2 x = 0. \quad (50.11)$$

Это дифференциальное уравнение описывает затухающие колебания системы.

Колебания, описываемые уравнениями (50.7) и (50.11), являются свободными (или собственными): выведенная из положения равновесия или получившая толчок система совершает колебания, будучи предоставленной самой себе. Теперь пусть колебательная система подвергается действию внешней силы, изменяющейся со временем по гармоническому закону:

$$F_x = F_0 \cos \omega t. \quad (50.12)$$

В этом случае уравнение второго закона Ньютона имеет вид

$$m\ddot{x} = -kx - r\dot{x} + F_0 \cos \omega t.$$

Введя обозначения (50.10), запишем это уравнение следующим образом:

$$\ddot{x} + 2\beta\dot{x} + \omega_0^2 x = f_0 \cos \omega t, \quad (50.13)$$

где

$$f_0 = F_0/m. \quad (50.14)$$

Уравнение (50.13) описывает вынужденные колебания.

Мы выяснили, что при изучении колебаний различного вида мы сталкиваемся с необходимостью решать дифференциальные уравнения вида

$$\ddot{x} + a\dot{x} + bx = f(t), \quad (50.15)$$

где  $a$  и  $b$  — константы,  $f(t)$  — некоторая функция от  $t$ . Уравнение типа (50.15) называется линейным дифференциальным уравнением с постоянными коэффициентами. В случае уравнения (50.7)  $a=0$ ,  $b=\omega_0^2$ , в случае уравнения (50.11)  $a=2\beta$ ,  $b=\omega_0^2$ . В обоих случаях функция  $f(t)$  тождественно равна нулю:  $f(t) \equiv 0$ . В случае вынужденных колебаний  $f(t) = f_0 \cos \omega t$ .

Решение уравнения (50.15) сильно облегчается, если перейти к комплексным величинам. Поэтому прежде чем перейти к детальному рассмотрению колебаний различного вида, мы познакомимся кратко с комплексными числами и методами решения линейных дифференциальных уравнений с постоянными коэффициентами.

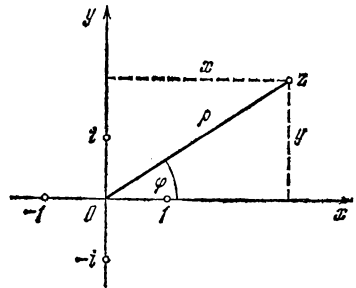


Рис. 51.1.

### § 51. Комплексные числа

Комплексным числом  $z$  называется число вида

$$z = x + iy, \quad (51.1)$$

где  $x$  и  $y$  — вещественные числа,  $i$  — мнимая единица ( $i^2 = -1$ ). Число  $x$  называется вещественной частью комплексного числа  $z$ . Символически это записывается в виде  $x = \operatorname{Re} z$ . Число  $y$  называется мнимой частью  $z$  (записывается:  $y = \operatorname{Im} z$ ). Число

$$z^* = x - iy \quad (51.2)$$

называется комплексно сопряженным числу  $x + iy$ .

Вещественному числу  $x$  можно сопоставить точку на оси  $x$ . Комплексному числу  $z$  можно сопоставить точку на плоскости, имеющую координаты  $x, y$  (рис. 51.1). Каждая точка плоскости определяет некоторое комплексное число  $z$ . Следовательно, комплексное число можно задать в виде (51.1) с помощью декартовых координат  $x$  и  $y$  соответствующей точки. Однако то же самое число можно задать с помощью полярных координат  $\rho$  и  $\varphi$ . Между обеими парами координат имеются соотношения

$$x = \rho \cos \varphi, \quad y = \rho \sin \varphi; \quad \rho = \sqrt{x^2 + y^2}, \quad \varphi = \arctg(y/x). \quad (51.3)$$

Расстояние от начала координат до точки, изображающей число  $z$ , называется модулем комплексного числа (обозначается  $|z|$ ). Очевидно, что

$$|z| = \rho = \sqrt{x^2 + y^2}. \quad (51.4)$$

Число  $\varphi$  называют аргументом комплексного числа  $z$ .

Приняв во внимание соотношения (51.3), можно представить комплексное число в тригонометрической форме:

$$z = \rho (\cos \varphi + i \sin \varphi). \quad (51.5)$$

Два комплексных числа  $z_1 = x_1 + iy_1$  и  $z_2 = x_2 + iy_2$  считаются равными друг другу, если в отдельности равны их вещественные и мнимые части:

$$z_1 = z_2, \text{ если } x_1 = x_2 \text{ и } y_1 = y_2. \quad (51.6)$$

Модули двух равных между собой комплексных чисел одинаковы, а аргументы могут отличаться лишь слагаемым, кратным  $2\pi$ :

$$\rho_1 = \rho_2, \quad \varphi_1 = \varphi_2 \pm 2k\pi. \quad (51.7)$$

Из выражений (51.1) и (51.2) видно, что в случае, когда  $z^* = z$ , мнимая часть  $z$  есть нуль, т. е. число  $z$  оказывается чисто вещественным. Таким образом, условие вещественности числа  $z$  можно записать в виде

$$z^* = z. \quad (51.8)$$

В математике доказывается соотношение

$$e^{i\varphi} = \cos \varphi + i \sin \varphi, \quad (51.9)$$

которое называется формулой Эйлера. Заменяя в этой формуле  $\varphi$  на  $-\varphi$  и учитывая, что  $\cos(-\varphi) = \cos \varphi$ , а  $\sin(-\varphi) = -\sin \varphi$ , получим соотношение

$$e^{-i\varphi} = \cos \varphi - i \sin \varphi. \quad (51.10)$$

Сложим выражения (51.9) и (51.10) и решим получившееся соотношение относительно  $\cos \varphi$ . В результате имеем

$$\cos \varphi = \frac{1}{2} (e^{i\varphi} + e^{-i\varphi}). \quad (51.11)$$

Вычтя (51.10) из (51.9), получим, что  $\sin \varphi = (1/2i) (e^{i\varphi} - e^{-i\varphi})$ .

С помощью формулы (51.9) комплексное число можно записать в показательной форме:

$$z = \rho e^{i\varphi} \quad (51.12)$$

(см. (51.5)). Комплексно сопряженное число в показательной форме имеет вид

$$z^* = \rho e^{-i\varphi}. \quad (51.13)$$

При сложении комплексных чисел складываются отдельно их вещественные и мнимые части:

$$z_1 + z_2 = (x_1 + x_2) + i(y_1 + y_2). \quad (51.14)$$

Перемножение комплексных чисел удобно осуществлять, беря эти числа в показательной форме:

$$z = z_1 \cdot z_2 = \rho_1 e^{i\varphi_1} \cdot \rho_2 e^{i\varphi_2} = \rho_1 \rho_2 e^{i(\varphi_1 + \varphi_2)}. \quad (51.15)$$

Модули комплексных чисел перемножаются, а аргументы складываются:

$$\rho = \rho_1 \cdot \rho_2, \quad \varphi = \varphi_1 + \varphi_2. \quad (51.16)$$

Аналогично осуществляется деление комплексных чисел:

$$z = \frac{z_1}{z_2} = \frac{\rho_1 e^{i\varphi_1}}{\rho_2 e^{i\varphi_2}} = \frac{\rho_1}{\rho_2} e^{i(\varphi_1 - \varphi_2)}. \quad (51.17)$$

Приняв во внимание формулы (51.12) и (51.13), легко получить, что

$$zz^* = \rho^2 \quad (51.18)$$

(квадрат модуля комплексного числа равен произведению этого числа на его комплексно сопряженное).

## § 52. Линейные дифференциальные уравнения

Уравнение вида

$$\ddot{x} + a\dot{x} + bx = f(t), \quad (52.1)$$

где  $a$  и  $b$  — константы,  $f(t)$  — заданная функция от  $t$ , называется

линейным дифференциальным уравнением второго порядка с постоянными коэффициентами. Константы  $a$  и  $b$  могут быть и нулями.

Если функция  $f(t)$  тождественно равна нулю ( $f(t) \equiv 0$ ), уравнение называется однородным, в противном случае — неоднородным. Однородное уравнение имеет вид

$$\ddot{x} + ax' + bx = 0. \quad (52.2)$$

Решение всякого дифференциального уравнения второго порядка (т. е. со старшей второй производной) содержит две произвольные константы  $C_1$  и  $C_2$ . Это можно понять, приняв во внимание, что определение функции по ее второй производной осуществляется двукратным интегрированием. При каждом интегрировании появляется постоянная интегрирования. Рассмотрим в качестве примера уравнение

$$\ddot{x} = 0. \quad (52.3)$$

Интегрирование этого уравнения дает, что  $\dot{x} = C_1$ . Повторное интегрирование приводит к функции

$$x = C_1 t + C_2. \quad (52.4)$$

Легко убедиться в том, что при любых значениях постоянных  $C_1$  и  $C_2$  функция (52.4) удовлетворяет уравнению (52.3).

Придав постоянным  $C_1$  и  $C_2$  определенные значения, получим так называемое частное решение дифференциального уравнения. Например, функция  $5t + 3$  является одним из частных решений уравнения (52.3).

Множество всех без исключения частных решений называется общим решением дифференциального уравнения. Общее решение уравнения (52.3) имеет вид (52.4).

В теории линейных дифференциальных уравнений доказывается, что если  $x_1$  и  $x_2$  суть линейно независимые<sup>1)</sup> решения однородного уравнения (52.2), то общее решение этого уравнения можно представить в виде

$$x = C_1 x_1 + C_2 x_2, \quad (52.5)$$

где  $C_1$  и  $C_2$  — произвольные постоянные.

Пусть  $x_n(t, C_1, C_2)$  есть общее решение неоднородного уравнения (52.1) (произвольные постоянные  $C_1$  и  $C_2$  входят в это решение в качестве параметров), а  $x_n(t)$  — одно из частных решений того же уравнения (оно не содержит произвольных постоянных). Введем обозначение:

$$x(t, C_1, C_2) = x_n(t, C_1, C_2) - x_n(t).$$

<sup>1)</sup> Функции  $x_1$  и  $x_2$  называются линейно независимыми, если соотношение  $\alpha_1 x_1 + \alpha_2 x_2 \equiv 0$  выполняется только в том случае, когда  $\alpha_1$  и  $\alpha_2$  равны нулю.

Тогда общее решение неоднородного уравнения можно представить в виде

$$x_n(t, C_1, C_2) = x_n(t) + x(t, C_1, C_2). \quad (52.6)$$

Функция (52.6) при любых значениях постоянных  $C_1$  и  $C_2$  удовлетворяет уравнению (52.1). Следовательно, можно написать соотношение:

$$\ddot{x}_n(t) + \ddot{x}(t, C_1, C_2) + a\dot{x}_n(t) + a\dot{x}(t, C_1, C_2) + bx_n(t) + bx(t, C_1, C_2) = f(t).$$

Сгруппировав слагаемые, получим:

$$\ddot{x}(t, C_1, C_2) + a\dot{x}(t, C_1, C_2) + bx(t, C_1, C_2) + [\ddot{x}_n(t) + a\dot{x}_n(t) + bx_n(t)] = f(t). \quad (52.7)$$

Частное решение  $x_n(t)$  также удовлетворяет уравнению (52.1). Поэтому выражение, стоящее в квадратных скобках в левой части соотношения (52.7), равно правой части этого соотношения. Отсюда вытекает, что функция  $x(t, C_1, C_2)$  должна удовлетворять условию

$$\ddot{x}(t, C_1, C_2) + a\dot{x}(t, C_1, C_2) + bx(t, C_1, C_2) = 0,$$

т. е. представляет собой общее решение однородного уравнения (52.2). Таким образом, мы пришли к очень полезной теореме: *общее решение неоднородного уравнения равно сумме общего решения соответствующего однородного уравнения и какого-либо частного решения неоднородного уравнения*:

$$x_{\text{общ, неоднор}} = x_{\text{общ, однор}} + x_{\text{частн, неоднор}}. \quad (52.8)$$

Линейные однородные дифференциальные уравнения с постоянными коэффициентами решают с помощью подстановки

$$x(t) = e^{\lambda t}, \quad (52.9)$$

где  $\lambda$  — постоянная величина. Дифференцирование функции (52.9) дает, что

$$\dot{x}(t) = \lambda e^{\lambda t}, \quad \ddot{x}(t) = \lambda^2 e^{\lambda t}. \quad (52.10)$$

Подстановка выражений (52.9) и (52.10) в уравнение (52.2) приводит после сокращения на отличный от нуля множитель  $e^{\lambda t}$  к алгебраическому уравнению

$$\lambda^2 + a\lambda + b = 0. \quad (52.11)$$

Это уравнение называется *характеристическим*. Корни этого уравнения представляют собой те значения  $\lambda$ , при которых функция (52.9) удовлетворяет уравнению (52.2).

Если корни уравнения (52.11) не совпадают ( $\lambda_1 \neq \lambda_2$ ), функции  $e^{\lambda_1 t}$  и  $e^{\lambda_2 t}$  будут линейно независимыми. Следовательно, согласно

(52.5) общее решение уравнения (52.2) можно написать в виде

$$x = C_1 e^{\lambda_1 t} + C_2 e^{\lambda_2 t}. \quad (52.12)$$

Можно показать, что в случае, когда  $\lambda_1 = \lambda_2 = \lambda$ , общее решение уравнения (52.2) выглядит следующим образом:

$$x = C_1 e^{\lambda t} + C_2 t e^{\lambda t}. \quad (52.13)$$

Допустим, что коэффициенты  $a$  и  $b$  — вещественные, а функция, стоящая в правой части уравнения (52.1), комплексная. Представив эту функцию в виде  $f(t) + i\varphi(t)$ , придем к уравнению:

$$\ddot{z} + a\dot{z} + bz = f + i\varphi \quad (52.14)$$

(мы обозначили искомую функцию буквой  $z$ ). Решение этого уравнения будет, очевидно, комплексным. Записав решение в виде  $z(t) = x(t) + iy(t)$ , подставим его в уравнение (52.14). В результате получим:

$$\ddot{x} + i\ddot{y} + a\dot{x} + ai\dot{y} + bx + biy = f + i\varphi. \quad (52.15)$$

У равных друг другу комплексных чисел равны порознь вещественные и мнимые части (см. (51.6)). Следовательно, уравнение (52.15) распадается на два независимых уравнения:

$$\ddot{x} + a\dot{x} + bx = f(t), \quad \ddot{y} + a\dot{y} + by = \varphi(t),$$

первое из которых совпадает с уравнением (52.1). Это свойство уравнения (52.15) позволяет применить следующий прием, иногда значительно облегчающий вычисления. Пусть в решаемом нами уравнении (52.1) правая часть вещественная. Прибавив к ней произвольную мнимую функцию, приведем уравнение к виду (52.14). Найдя затем комплексное решение уравнения, возьмем его вещественную часть. Она будет представлять собой решение исходного уравнения (уравнения (52.1)).

### § 53. Гармонические колебания

Рассмотрим колебания, описываемые уравнением

$$\ddot{x} + \omega_0^2 x = 0 \quad (53.1)$$

(см. (50.7)). Такие колебания совершает тело массы  $m$ , на которое действует только квазиупругая сила  $F = -kx$ . Коэффициент при  $x$  в уравнении (53.1) имеет значение

$$\omega_0^2 = k/m \quad (53.2)$$

(см. (50.6)).

Подставив в (53.1) выражение  $x = e^{\lambda t}$  (см. (52.9)), придем к характеристическому уравнению

$$\lambda^2 + \omega_0^2 = 0.$$

Это уравнение имеет мнимые корни

$$\lambda_1 = +i\omega_0, \quad \lambda_2 = -i\omega_0.$$

Согласно (52.12) общее решение уравнения (53.1) имеет вид

$$x = C_1 e^{i\omega_0 t} + C_2 e^{-i\omega_0 t}, \quad (53.3)$$

где  $C_1$  и  $C_2$  — комплексные постоянные.

Описывающая колебание функция  $x(t)$  должна быть вещественной. Для этого коэффициенты  $C_1$  и  $C_2$  в (53.3) нужно выбрать так, чтобы выполнялось условие (см. (51.8))

$$C_1^* e^{-i\omega_0 t} + C_2^* e^{i\omega_0 t} = C_1 e^{i\omega_0 t} + C_2 e^{-i\omega_0 t} \quad (53.4)$$

(мы приравняли выражение (53.3) его комплексно сопряженному). Соотношение (53.4) будет выполнено, если  $C_1 = C_2^*$  (в этом случае  $C_2 = C_1^*$ ). Представим удовлетворяющие такому условию коэффициенты  $C_1$  и  $C_2$  в показательной форме (см. (51.12)), обозначив их модуль через  $a/2$ , а аргумент буквой  $\alpha$ :

$$C_1 = (a/2) e^{i\alpha}, \quad C_2 = (a/2) e^{-i\alpha}. \quad (53.5)$$

Подстановка этих выражений в (53.3) дает

$$x = (a/2) (e^{i(\omega_0 t + \alpha)} + e^{-i(\omega_0 t + \alpha)}) = a \cos(\omega_0 t + \alpha) \quad (53.6)$$

(см. формулу (51.11)). Таким образом, общее решение уравнения (53.1) имеет вид

$$x = a \cos(\omega_0 t + \alpha), \quad (53.7)$$

где  $a$  и  $\alpha$  — произвольные постоянные<sup>1)</sup>.

Итак, смещение  $x$  изменяется со временем по закону косинуса. Следовательно, движение системы, находящейся под действием силы вида  $F = -kx$ , представляет собой гармоническое колебание.

График гармонического колебания, т. е. график функции (53.7), показан на рис. 53.1. По горизонтальной оси отложено время  $t$ , по вертикальной оси — смещение  $x$ . Поскольку косинус изменяется в пределах от  $-1$  до  $+1$ , значения  $x$  лежат в пределах от  $-a$  до  $+a$ .

<sup>1)</sup> Решение уравнения (53.1) можно записать еще двумя способами. Преобразуем выражение (53.7) по формуле для косинуса суммы:

$$x = a (\cos \alpha \cos \omega_0 t - \sin \alpha \sin \omega_0 t)$$

и введем обозначения

$$c_1 = a \cos \alpha, \quad c_2 = -a \sin \alpha.$$

Тогда функцию  $x(t)$  можно представить в виде:

$$x = c_1 \cos \omega_0 t + c_2 \sin \omega_0 t,$$

где  $c_1$  и  $c_2$  — произвольные постоянные.

Наконец, воспользовавшись формулой (51.9), можно написать выражение (53.7) следующим образом:

$$x = \operatorname{Re} \{ a e^{i(\omega_0 t + \alpha)} \}.$$

Величина наибольшего отклонения системы от положения равновесия называется а м п л и т у д о й колебания. Амплитуда  $a$  —

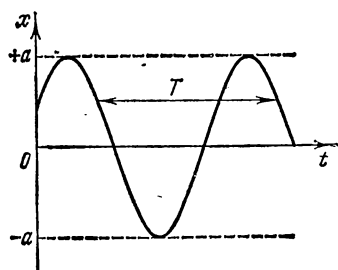


Рис. 53.1.

постоянная положительная величина. Ее значение определяется величиной первоначального отклонения или толчка, которым система была выведена из положения равновесия.

Величина  $(\omega_0 t + \alpha)$ , стоящая под знаком косинуса, называется ф а з о й колебания. Постоянная  $\alpha$  представляет собой значение фазы в момент времени  $t=0$  и называется н а ч а л ь н о й ф а з о й колебания. С изменением начала отсчета времени

будет изменяться и  $\alpha$ . Следовательно, значение начальной фазы определяется выбором начала отсчета времени. Так как значение  $x$  не изменяется при добавлении или вычитании из фазы целого числа  $2\pi$ , всегда можно добиться того, чтобы начальная фаза была по модулю меньше  $\pi$ . Поэтому обычно рассматриваются только значения  $\alpha$ , лежащие в пределах от  $-\pi$  до  $+\pi$ .

Поскольку косинус — периодическая функция с периодом  $2\pi$ , различные состояния <sup>1)</sup> системы, совершающей гармонические колебания, повторяются через такой промежуток времени  $T$ , за который фаза колебания получает приращение, равное  $2\pi$  (рис. 53.1). Этот промежуток времени  $T$  называется п е р и о д о м колебания. Он может быть определен из следующего условия:  $[\omega_0(t+T) + \alpha] = [\omega_0 t + \alpha] + 2\pi$ , откуда

$$T = 2\pi / \omega_0. \quad (53.8)$$

Число колебаний в единицу времени называется ч а с т о т о й колебания  $\nu$ . Очевидно, что частота  $\nu$  связана с продолжительностью одного колебания  $T$  следующим соотношением:

$$\nu = 1/T. \quad (53.9)$$

За единицу частоты принимается частота такого колебания, период которого равен 1 с. Эту единицу называют герцем (Гц). Частота в  $10^3$  Гц называется килогерцем (кГц), в  $10^6$  Гц — мегагерцем (МГц).

Из (53.8) следует, что

$$\omega_0 = 2\pi / T. \quad (53.10)$$

Таким образом,  $\omega_0$  дает число колебаний за  $2\pi$  секунд. Величину  $\omega_0$  называют к р у г о в о й или ц и к л и ч е с к о й частотой. Она

<sup>1)</sup> Напомним, что состояние механической системы характеризуется значениями координат и скоростей тел, образующих систему.

связана с обычной частотой  $\nu$  соотношением

$$\omega_0 = 2\pi\nu. \quad (53.11)$$

Продифференцировав (53.7) по времени, получим выражение для скорости

$$v = \dot{x} = -a\omega_0 \sin(\omega_0 t + \alpha) = a\omega_0 \cos\left(\omega_0 t + \alpha + \frac{\pi}{2}\right). \quad (53.12)$$

Как видно из (53.12), скорость также изменяется по гармоническому закону, причем амплитуда скорости равна  $a\omega_0$ . Из сравнения (53.7) и (53.12) следует, что скорость опережает смещение по фазе на  $\pi/2$ .

Продифференцировав (53.12) еще раз по времени, найдем выражение для ускорения:

$$\begin{aligned} \omega = \ddot{x} &= -a\omega_0^2 \cos(\omega_0 t + \alpha) = \\ &= a\omega_0^2 \cos(\omega_0 t + \alpha + \pi). \end{aligned} \quad (53.13)$$

Как следует из (53.13), ускорение и смещение находятся в противофазе. Это означает, что в тот момент, когда смещение достигает наибольшего положительного значения, ускорение достигает наибольшего по величине отрицательного значения, и наоборот.

На рис. 53.2 сопоставлены графики для смещения, скорости и ускорения.

Каждое конкретное колебание характеризуется определенными значениями амплитуды  $a$  и начальной фазы  $\alpha$ . Значения этих величин для данного колебания могут быть определены из так называемых начальных условий, т. е. по значениям отклонения  $x_0$  и скорости  $v_0$  в начальный момент времени. Действительно, положив в (53.7) и (53.12)  $t=0$ , получим два уравнения:

$$x_0 = a \cos \alpha, \quad v_0 = -a\omega_0 \sin \alpha,$$

из которых находим, что

$$a = \sqrt{x_0^2 + (v_0^2/\omega_0^2)}, \quad (53.14)$$

$$\operatorname{tg} \alpha = -v_0/x_0\omega_0. \quad (53.15)$$

Уравнение (53.15) удовлетворяется двумя значениями  $\alpha$ , лежащими в интервале от  $-\pi$  до  $+\pi$ . Из этих значений нужно взять то, при котором получаются правильные знаки у косинуса и синуса.

Квазиупругая сила является консервативной. Поэтому полная энергия гармонического колебания должна оставаться постоянной.

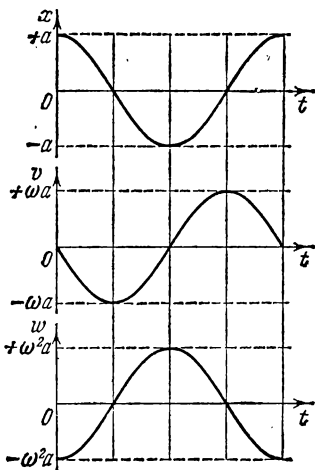


Рис. 53.2.

В процессе колебаний происходит превращение кинетической энергии в потенциальную и обратно, причем в моменты наибольшего отклонения от положения равновесия полная энергия  $E$  состоит только из потенциальной энергии, которая достигает своего наибольшего значения  $U_{\max}$ :

$$E = U_{\max} = \frac{ka^2}{2}; \quad (53.16)$$

при прохождении же системы через положение равновесия полная энергия состоит лишь из кинетической энергии, которая в эти моменты достигает своего наибольшего значения  $E_{k \max}$ :

$$E = E_{k \max} = \frac{mv_{\max}^2}{2} = \frac{ma^2\omega_0^2}{2} \quad (53.17)$$

(выше было показано, что амплитуда скорости равна  $a\omega_0$ ). Выражения (53.16) и (53.17) равны друг другу, так как согласно (53.2)  $m\omega_0^2 = k$ .

Выясним, как изменяется со временем кинетическая и потенциальная энергия гармонического колебания. Кинетическая энергия равна (см. выражение (53.12) для  $\dot{x}$ )

$$E_k = \frac{m\dot{x}^2}{2} = \frac{ma^2\omega_0^2}{2} \sin^2(\omega_0 t + \alpha). \quad (53.18)$$

Потенциальная энергия выражается формулой

$$U = \frac{kx^2}{2} = \frac{ka^2}{2} \cos^2(\omega_0 t + \alpha). \quad (53.19)$$

Сложив (53.18) с (53.19) и приняв во внимание, что  $m\omega_0^2 = k$ , получим формулу для полной энергии:

$$E = E_k + U = \frac{ka^2}{2} = \frac{ma^2\omega_0^2}{2} \quad (53.20)$$

(ср. с (53.16) и (53.17)). Таким образом, полная энергия гармонического колебания действительно оказывается постоянной.

Используя известные формулы тригонометрии, выражениям для  $E_k$  и  $U$  можно придать вид

$$E_k = E \sin^2(\omega_0 t + \alpha) = E \left[ \frac{1}{2} - \frac{1}{2} \cos 2(\omega_0 t + \alpha) \right], \quad (53.21)$$

$$U = E \cos^2(\omega_0 t + \alpha) = E \left[ \frac{1}{2} + \frac{1}{2} \cos 2(\omega_0 t + \alpha) \right], \quad (53.22)$$

где  $E$  — полная энергия системы. Из этих формул видно, что

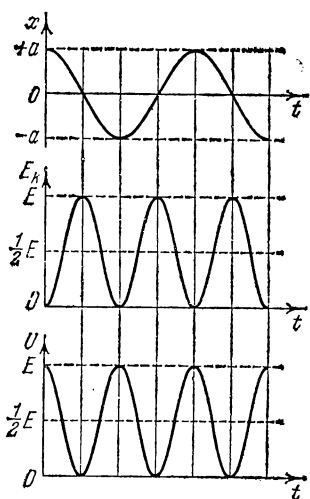


Рис. 53.3.

$E_k$  и  $U$  изменяются с частотой  $2\omega_0$ , т. е. с частотой, в два раза превышающей частоту гармонического колебания. На рис. 53.3 сопоставлены графики для  $x$ ,  $E_k$  и  $U$ .

Среднее значение квадрата синуса и квадрата косинуса равно, как известно, половине. Следовательно, среднее значение  $E_k$  совпадает со средним значением  $U$  и равно  $E/2$ .

## § 54. Маятник

В физике под маятником понимают твердое тело, совершающее под действием силы тяжести колебания вокруг неподвижной точки или оси. Принято различать математический и физический маятники.

Математическим маятником называют идеализированную систему, состоящую из невесомой и нерастяжимой нити, на которой подвешена масса, сосредоточенная в одной точке. Достаточно хорошим приближением к математическому маятнику служит небольшой тяжелый шарик, подвешенный на длинной тонкой нити.

Отклонение маятника от положения равновесия будем характеризовать углом  $\varphi$ , образованным нитью с вертикалью (рис. 54.1). При отклонении маятника от положения равновесия возникает вращательный момент  $N$ , равный по величине  $mg l \sin \varphi$  ( $m$  — масса, а  $l$  — длина маятника). Он имеет такое направление, что стремится вернуть маятник в положение равновесия, и аналогичен в этом отношении квазиупругой силе. Поэтому так же, как смещению и квазиупругой силе, моменту  $N$  и угловому смещению  $\varphi$  нужно приписывать противоположные знаки <sup>1)</sup>. Следовательно, выражение для вращательного момента имеет вид

$$N = -mg l \sin \varphi. \quad (54.1)$$

Напишем для маятника уравнение динамики вращательного движения. Обозначив угловое ускорение через  $\ddot{\varphi}$  и учитывая, что момент инерции маятника равен  $ml^2$ , получаем:

$$ml^2 \ddot{\varphi} = -mg l \sin \varphi.$$

Последнее уравнение можно привести к виду

$$\ddot{\varphi} + \frac{g}{l} \sin \varphi = 0. \quad (54.2)$$

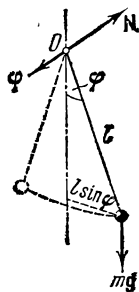


Рис. 54.1.

<sup>1)</sup> Рассматривая  $\varphi$  как вектор, связанный с направлением поворота правилом правого винта (это допустимо при малых  $\varphi$ ), противоположность знаков при  $N$  и  $\varphi$  можно объяснить тем, что векторы  $N$  и  $\varphi$  направлены в противоположные стороны (рис. 54.1).

Ограничимся рассмотрением малых колебаний. В этом случае можно положить  $\sin \varphi \approx \varphi$ . Введя, кроме того, обозначение

$$\frac{g}{l} = \omega_0^2, \quad (54.3)$$

придем к уравнению

$$\ddot{\varphi} + \omega_0^2 \varphi = 0, \quad (54.4)$$

которое идентично с уравнением (53.1). Его решение имеет вид

$$\varphi = a \cos(\omega_0 t + \alpha). \quad (54.5)$$

Следовательно, при малых колебаниях угловое отклонение математического маятника изменяется со временем по гармоническому закону.

Как следует из (54.3), частота колебаний математического маятника зависит только от длины маятника и от ускорения силы тяжести и не зависит от массы маятника. По формуле (53.8) с учетом (54.3) получается известное из школьного курса выражение для периода колебаний математического маятника:

$$T = 2\pi \sqrt{l/g}. \quad (54.6)$$

Отметим, что, решив уравнение (54.2), можно найти для периода колебаний следующую формулу:

$$T = 2\pi \sqrt{\frac{l}{g}} \left\{ 1 + \left(\frac{1}{2}\right)^2 \sin^2 \frac{a}{2} + \left(\frac{1}{2} \cdot \frac{3}{4}\right)^2 \sin^4 \frac{a}{2} + \dots \right\},$$

где  $a$  — амплитуда колебаний, т. е. наибольший угол, на который отклоняется маятник из положения равновесия.

Если колеблющееся тело нельзя представить как материальную точку, маятник называется физическим. При отклонении маятника от положения равновесия на угол  $\varphi$  возникает вращательный момент, стремящийся вернуть маятник в положение равновесия. Этот момент равен

$$N = -mgl \sin \varphi, \quad (54.7)$$

где  $m$  — масса маятника, а  $l$  — расстояние между точкой подвеса  $O$  и центром масс  $C$  маятника (рис. 54.2). Знак «—» имеет то же значение, что и в случае формулы (54.1).

Обозначив момент инерции маятника относительно оси, проходящей через точку подвеса, буквой  $I$ , можно написать:

$$I\ddot{\varphi} = -mgl \sin \varphi. \quad (54.8)$$

В случае малых колебаний (54.8) переходит в уже известное нам уравнение:

$$\ddot{\varphi} + \omega_0^2 \varphi = 0. \quad (54.9)$$

Через  $\omega_0^2$  обозначена в данном случае следующая величина:

$$\omega_0^2 = mgl/I. \quad (54.10)$$

Из уравнений (54.9) и (54.10) следует, что при малых отклонениях от положения равновесия физический маятник совершает гармонические колебания, частота которых зависит от массы маятника, момента инерции маятника относительно оси вращения и расстояния между осью вращения и центром масс маятника. В соответствии с (54.10) период колебаний физического маятника определяется выражением

$$T = 2\pi \sqrt{I/mgl}. \quad (54.11)$$

Из сопоставления формул (54.6) и (54.11) получается, что математический маятник с длиной

$$l_{\text{пр}} = I/ml \quad (54.12)$$

будет иметь такой период колебаний, как и данный физический маятник. Величину (54.12) называют приведенной длиной физического маятника. Таким образом, приведенная длина физического маятника — это длина такого математического маятника, период колебаний которого совпадает с периодом данного физического маятника.

Точка на прямой, соединяющей точку подвеса с центром масс, лежащая на расстоянии приведенной длины от оси вращения, называется центром качания физического маятника (см. точку  $O'$  на рис. 54.2). Можно показать (рекомендуем это сделать в порядке упражнения), что при подвешивании маятника в центре качания  $O'$  приведенная длина, а значит, и период колебаний будут теми же, что и вначале. Следовательно, точка подвеса и центр качания обладают свойством взаимности: при переносе точки подвеса в центр качания прежняя точка подвеса становится новым центром качания.

На этом свойстве основано определение ускорения свободного падения с помощью так называемого обратного маятника. Обратным называется такой маятник, у которого имеются две параллельные друг другу, закрепленные вблизи его концов опорные призмы, за которые он может поочередно подвешиваться. Вдоль маятника могут перемещаться и закрепляться на нем тяжелые грузы. Перемещением грузов добиваются того, чтобы при подвешивании маятника за любую из призм период колебаний был одинаков. Тогда расстояние между опорными ребрами призм будет равно  $l_{\text{пр}}$ . Измерив период колебаний маятника и зная  $l_{\text{пр}}$ , можно по формуле

$$T = 2\pi \sqrt{l_{\text{пр}}/g}$$

найти ускорение свободного падения  $g$ .

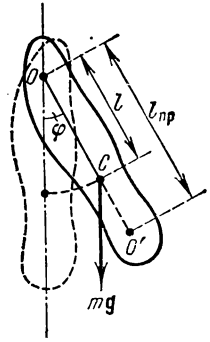


Рис. 54.2.

### § 55. Векторная диаграмма

Решение ряда вопросов, в частности сложение нескольких колебаний одинакового направления (или, что то же самое, сложение нескольких гармонических функций), значительно облегчается и становится наглядным, если изображать колебания графически в виде векторов на плоскости. Полученная таким способом схема называется векторной диаграммой.

Возьмем ось, которую обозначим буквой  $x$  (рис. 55.1). Из точки  $O$ , взятой на оси, отложим вектор длины  $a$ , образуя-

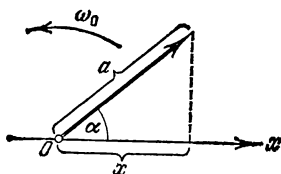


Рис. 55.1.

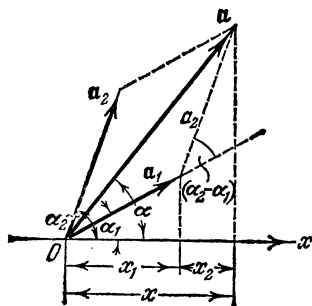


Рис. 55.2.

щей с осью угол  $\alpha$ . Если привести этот вектор во вращение с угловой скоростью  $\omega_0$ , то проекция конца вектора будет перемещаться по оси  $x$  в пределах от  $-a$  до  $+a$ , причем координата этой проекции будет изменяться со временем по закону

$$x = a \cos(\omega_0 t + \alpha).$$

Следовательно, проекция конца вектора на ось будет совершать гармоническое колебание с амплитудой, равной длине вектора, с круговой частотой, равной угловой скорости вращения вектора, и с начальной фазой, равной углу, образуемому вектором с осью в начальный момент времени.

Из сказанного следует, что гармоническое колебание может быть задано с помощью вектора, длина которого равна амплитуде колебания, а направление вектора образует с осью  $x$  угол, равный начальной фазе колебания.

Рассмотрим сложение двух гармонических колебаний одинакового направления и одинаковой частоты. Смещение  $x$  колеблющегося тела будет суммой смещений  $x_1$  и  $x_2$ , которые запишутся следующим образом:

$$x_1 = a_1 \cos(\omega_0 t + \alpha_1), \quad x_2 = a_2 \cos(\omega_0 t + \alpha_2). \quad (55.1)$$

Представим оба колебания с помощью векторов  $\mathbf{a}_1$  и  $\mathbf{a}_2$  (рис. 55.2). Построим по правилам сложения векторов результирующий вектор  $\mathbf{a}$ . Легко видеть, что проекция этого вектора на ось  $x$  равна сумме

проекций слагаемых векторов:

$$x = x_1 + x_2.$$

Следовательно, вектор  $\mathbf{a}$  представляет собой результирующее колебание. Этот вектор вращается с той же угловой скоростью  $\omega_0$ , как и векторы  $\mathbf{a}_1$  и  $\mathbf{a}_2$ , так что результирующее движение будет гармоническим колебанием с частотой  $\omega_0$ , амплитудой  $a$  и начальной фазой  $\alpha$ . Из построения видно, что

$$a^2 = a_1^2 + a_2^2 - 2a_1a_2 \cos[\pi - (\alpha_2 - \alpha_1)] = a_1^2 + a_2^2 + 2a_1a_2 \cos(\alpha_2 - \alpha_1), \quad (55.2)$$

$$\operatorname{tg} \alpha = \frac{a_1 \sin \alpha_1 + a_2 \sin \alpha_2}{a_1 \cos \alpha_1 + a_2 \cos \alpha_2}. \quad (55.3)$$

Итак, представление гармонических колебаний посредством векторов дает возможность свести сложение нескольких колебаний к операции сложения векторов. Этот прием бывает особенно полезен, например, в оптике, где световые колебания в некоторой точке определяются как результат наложения многих колебаний, приходящих в данную точку от различных участков волнового фронта.

Формулы (55.2) и (55.3) можно, конечно, получить, сложив выражения (55.1) и произведя соответствующие тригонометрические преобразования. Но примененный нами способ получения этих формул отличается большей простотой и наглядностью.

Проанализируем выражение (55.2) для амплитуды. Если разность фаз обоих колебаний  $\alpha_2 - \alpha_1$  равна нулю, амплитуда результирующего колебания равна сумме  $a_1$  и  $a_2$ . Если разность фаз  $\alpha_2 - \alpha_1$  равна  $+\pi$  или  $-\pi$ , т. е. оба колебания находятся в противофазе, то амплитуда результирующего колебания равна  $|a_1 - a_2|$ .

Если частоты колебаний  $x_1$  и  $x_2$  неодинаковы, векторы  $\mathbf{a}_1$  и  $\mathbf{a}_2$  будут вращаться с различной скоростью. В этом случае результирующий вектор  $\mathbf{a}$  пульсирует по величине и вращается с непостоянной скоростью. Следовательно, результирующим движением будет в этом случае не гармоническое колебание, а некоторый сложный колебательный процесс.

## § 56. Биения

Особый интерес представляет случай, когда два складываемых гармонических колебания одинакового направления мало отличаются по частоте. Как мы сейчас покажем, результирующее движение при этих условиях можно рассматривать как гармоническое колебание с пульсирующей амплитудой. Такое колебание называется б и е н и я м и.

Обозначим частоту одного из колебаний буквой  $\omega$ , частоту второго колебания через  $\omega + \Delta\omega$ . По условию  $\Delta\omega \ll \omega$ . Амплитуды

обоих колебаний будем полагать одинаковыми и равными  $a$ . Чтобы не усложнять без надобности формул, допустим, что начальные фазы обоих колебаний равны нулю. Тогда уравнения колебаний будут иметь следующий вид:

$$x_1 = a \cos \omega t, \quad x_2 = a \cos(\omega + \Delta\omega)t.$$

Складывая эти выражения и применяя тригонометрическую формулу для суммы косинусов, получаем:

$$x = x_1 + x_2 = \left( 2a \cos \frac{\Delta\omega}{2} t \right) \cos \omega t \quad (56.1)$$

(во втором множителе пренебрегаем членом  $\Delta\omega/2$  по сравнению с  $\omega$ ).

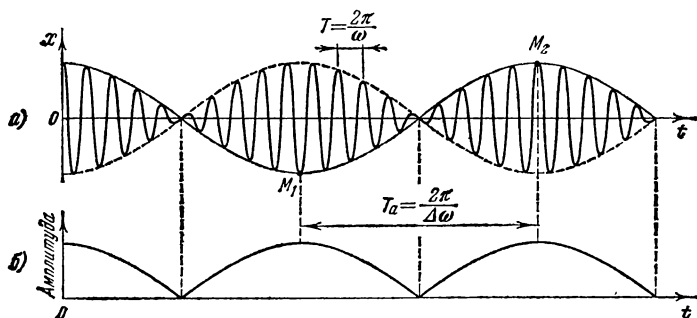


Рис. 56.1.

График функции (56.1) изображен на рис. 56.1, а. График построен для  $\omega/\Delta\omega = 10$ .

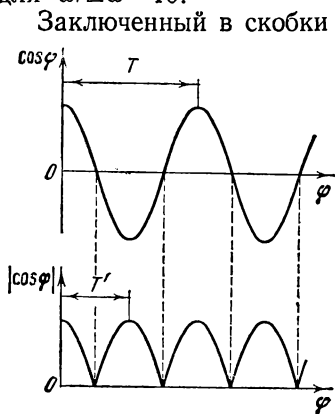


Рис. 56.2.

Заключенный в скобки множитель в формуле (56.1) изменяется гораздо медленнее, чем второй множитель. Ввиду условия  $\Delta\omega \ll \omega$  за то время, за которое множитель  $\cos \omega t$  совершает несколько полных колебаний, множитель, стоящий в скобках, почти не изменится. Это дает нам основание рассматривать колебание (56.1) как гармоническое колебание частоты  $\omega$ , амплитуда которого изменяется по некоторому периодическому закону. Выражением этого закона не может быть множитель, стоящий в скобках, так как он изменяется в пределах от  $-2a$  до  $+2a$ , в то время как амплитуда

по определению — положительная величина. График амплитуды показан на рис. 56.1, б. Аналитическое выражение амплитуды,

очевидно, имеет вид

$$\text{амплитуда} = \left| 2a \cos \frac{\Delta\omega}{2} t \right|. \quad (56.2)$$

Функция (56.2) — периодическая функция с частотой, в 2 раза превышающей частоту выражения, стоящего под знаком модуля (см. рис. 56.2, на котором сопоставлены графики косинуса и его модуля), т. е. с частотой  $\Delta\omega$ . Таким образом, частота пульсаций амплитуды — ее называют частотой биений — равна разности частот складываемых колебаний.

Отметим, что множитель  $2a \cos \frac{\Delta\omega}{2} t$  не только определяет амплитуду, но и влияет на фазу колебания. Это проявляется, например, в том, что отклонения, соответствующие соседним максимумам амплитуды, имеют противоположные знаки (см. точки  $M_1$  и  $M_2$  на рис. 56.1, а).

## § 57. Сложение взаимно перпендикулярных колебаний

Допустим, что материальная точка может совершать колебания как вдоль оси  $x$ , так и вдоль перпендикулярной к ней оси  $y$ . Если возбудить оба колебания, материальная точка будет двигаться по некоторой, вообще говоря, криволинейной траектории, форма которой зависит от разности фаз обоих колебаний.

Выберем начало отсчета времени так, чтобы начальная фаза первого колебания была равна нулю. Тогда уравнения колебаний запишутся следующим образом:

$$x = a \cos \omega t, \quad y = b \cos (\omega t + \alpha), \quad (57.1)$$

где  $\alpha$  — разность фаз обоих колебаний.

Выражения (57.1) представляют собой заданное в параметрической форме уравнение траектории, по которой движется тело, участвующее в обоих колебаниях. Чтобы получить уравнение траектории в обычном виде, нужно исключить из уравнений (57.1) параметр  $t$ . Из первого уравнения следует, что

$$\cos \omega t = \frac{x}{a}. \quad (57.2)$$

Следовательно,

$$\sin \omega t = \pm \sqrt{1 - \frac{x^2}{a^2}}. \quad (57.3)$$

Теперь развернем косинус во втором из уравнений (57.1) по формуле для косинуса суммы, подставляя при этом вместо  $\cos \omega t$  и  $\sin \omega t$  их значения (57.2) и (57.3). В результате получим

$$\frac{y}{b} = \frac{x}{a} \cos \alpha \mp \sin \alpha \sqrt{1 - \frac{x^2}{a^2}}.$$

Последнее уравнение после несложных преобразований можно привести к виду

$$\frac{x^2}{a^2} + \frac{y^2}{b^2} - \frac{2xy}{ab} \cos \alpha = \sin^2 \alpha. \quad (57.4)$$

Последнее уравнение есть, вообще говоря, уравнение эллипса, оси которого повернуты относительно координатных осей  $x$  и  $y$ . Ориентация эллипса и величина его полуосей зависят довольно сложным образом от амплитуд  $a$  и  $b$  и разности фаз  $\alpha$ .

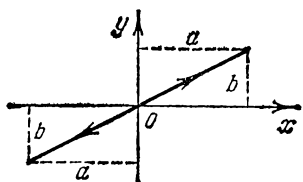


Рис. 57.1.

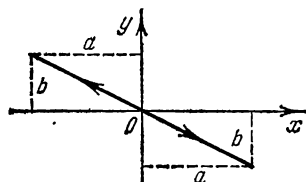


Рис. 57.2.

Определим форму траектории для некоторых частных случаев.

1. Разность фаз  $\alpha$  равна нулю. В этом случае уравнение (57.4) принимает вид

$$\left(\frac{x}{a} - \frac{y}{b}\right)^2 = 0,$$

откуда получается уравнение прямой

$$y = \frac{b}{a} x. \quad (57.5)$$

Результирующее движение является гармоническим колебанием вдоль этой прямой с частотой  $\omega$  и амплитудой, равной  $\sqrt{a^2 + b^2}$  (рис. 57.1).

2. Разность фаз  $\alpha$  равна  $\pm\pi$ . Уравнение (57.4) имеет вид

$$\left(\frac{x}{a} + \frac{y}{b}\right)^2 = 0, \quad (57.6)$$

откуда получается, что результирующее движение представляет собой гармоническое колебание вдоль прямой (рис. 57.2)

$$y = -\frac{b}{a} x.$$

3. При  $\alpha = \pm\pi/2$  уравнение (57.4) переходит в

$$\frac{x^2}{a^2} + \frac{y^2}{b^2} = 1, \quad (57.7)$$

т. е. в уравнение эллипса, приведенного к координатным осям, причем полуоси эллипса равны соответствующим амплитудам

колебаний. При равенстве амплитуд  $a$  и  $b$  эллипс вырождается в окружность.

Случаи  $\alpha = +\pi/2$  и  $\alpha = -\pi/2$  отличаются направлением движения по эллипсу или по окружности. Если  $\alpha = +\pi/2$ , уравнения (57.1) можно записать следующим образом:

$$x = a \cos \omega t, \quad y = -b \sin \omega t. \quad (57.8)$$

В момент  $t=0$  тело находится в точке 1 (рис. 57.3). В последующие моменты времени координата  $x$  уменьшается, а координата  $y$  становится отрицательной. Следовательно, движение совершается по часовой стрелке.

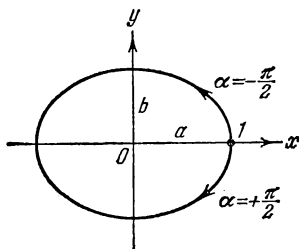


Рис. 57.3.

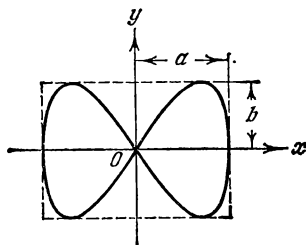


Рис. 57.4.

При  $\alpha = -\pi/2$  уравнения колебаний имеют вид

$$x = a \cos \omega t, \quad y = b \sin \omega t. \quad (57.9)$$

Отсюда можно заключить, что движение происходит против часовой стрелки.

Из сказанного следует, что равномерное движение по окружности радиуса  $R$  с угловой скоростью  $\omega$  может быть представлено как сумма двух взаимно перпендикулярных колебаний:

$$x = R \cos \omega t, \quad y = \pm R \sin \omega t \quad (57.10)$$

(знак «+» в выражении для  $y$  соответствует движению против часовой стрелки, знак «—» — движению по часовой стрелке).

В случае, когда частоты взаимно перпендикулярных колебаний отличаются на очень малую величину  $\Delta\omega$ , их можно рассматривать как колебания одинаковой частоты, но с медленно изменяющейся разностью фаз. В самом деле, уравнения колебаний можно представить следующим образом:

$$x = a \cos \omega t, \quad y = b \cos [\omega t + (\Delta\omega t + \alpha)]$$

и выражение  $\Delta\omega t + \alpha$  рассматривать как разность фаз, медленно изменяющуюся со временем по линейному закону.

Результирующее движение в этом случае происходит по медленно видоизменяющейся кривой, которая будет последовательно

принимать форму, отвечающую всем значениям разности фаз от  $-\pi$  до  $+\pi$ .

Если частоты взаимно перпендикулярных колебаний не одинаковы, то траектория результирующего движения имеет вид довольно сложных кривых, называемых *фигурами Лиссажу*. На рис. 57.4 показана одна из простейших траекторий, получающаяся при отношении частот  $1 : 2$  и разности фаз  $\pi/2$ . Уравнения колебаний имеют вид

$$x = a \cos \omega t, \quad y = b \cos \left( 2\omega t + \frac{\pi}{2} \right).$$

За то время, пока вдоль оси  $x$  точка успевает переместиться из одного крайнего положения в другое, вдоль оси  $y$ , выйдя из нулевого положения, она успевает достигнуть одного крайнего положения, затем другого и вернуться в нулевое положение.

При отношении частот  $1 : 2$  и разности фаз, равной нулю, траектория вырождается в незамкнутую кривую (рис. 57.5), по которой точка движется туда и обратно.

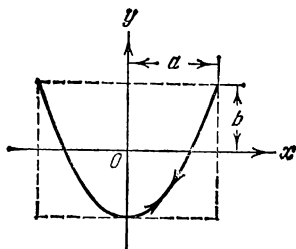


Рис. 57.5.

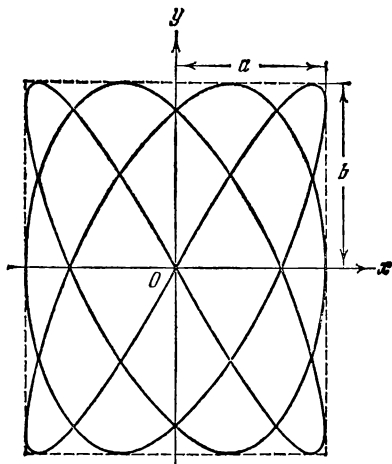


Рис. 57.6.

Чем ближе к единице рациональная дробь, выражающая отношение частот колебаний, тем сложнее оказывается фигура Лиссажу. На рис. 57.6 для примера показана кривая для отношения частот  $3 : 4$  и разности фаз  $\pi/2$ .

### § 58. Затухающие колебания

Затухающие колебания описываются уравнением (см. (50.11)):

$$\ddot{x} + 2\beta\dot{x} + \omega_0^2 x = 0, \quad (58.1)$$

где

$$2\beta = r/m, \quad \omega_0^2 = k/m \quad (58.2)$$

( $r$  — коэффициент сопротивления, т. е. коэффициент пропорцио-

нальности между скоростью  $\dot{x}$  и силой сопротивления;  $k$  — коэффициент квазиупругой силы).

Отметим, что  $\omega_0$  представляет собой ту частоту, с которой совершались бы свободные колебания системы в отсутствие сопротивления среды (при  $r=0$ ). Эту частоту называют собственной частотой системы.

Подстановка в (58.1) функции  $x=e^{\lambda t}$  приводит к характеристическому уравнению

$$\lambda^2 + 2\beta\lambda + \omega_0^2 = 0. \quad (58.3)$$

Корни этого уравнения равны

$$\lambda_1 = -\beta + \sqrt{\beta^2 - \omega_0^2}, \quad \lambda_2 = -\beta - \sqrt{\beta^2 - \omega_0^2}. \quad (58.4)$$

При не слишком большом затухании (при  $\beta < \omega_0$ ) подкоренное выражение будет отрицательным. Представим его в виде  $(i\omega)^2$ , где  $\omega$  — вещественная величина, равная

$$\omega = \sqrt{\omega_0^2 - \beta^2}. \quad (58.5)$$

Тогда корни характеристического уравнения запишутся следующим образом:

$$\lambda_1 = -\beta + i\omega, \quad \lambda_2 = -\beta - i\omega. \quad (58.6)$$

Согласно (52.5) общим решением уравнения (58.1) будет функция

$$x = C_1 e^{(-\beta + i\omega)t} + C_2 e^{(-\beta - i\omega)t} = e^{-\beta t} (C_1 e^{i\omega t} + C_2 e^{-i\omega t}).$$

Выражение в скобках аналогично выражению (53.3). Поэтому его можно представить в виде, аналогичном (53.7). Таким образом, при не слишком сильном затухании общее решение уравнения (58.1) имеет вид

$$x = a_0 e^{-\beta t} \cos(\omega t + \alpha). \quad (58.7)$$

Здесь  $a_0$  и  $\alpha$  — произвольные постоянные,  $\omega$  — величина, определяемая формулой (58.5). На рис. 58.1 дан график функции (58.7). Пунктирными линиями показаны пределы, в которых находится смещение колеблющейся точки  $x$ .

В соответствии с видом функции (58.7) движение системы можно

рассматривать как гармоническое колебание частоты  $\omega$  с амплитудой, изменяющейся по закону  $a(t) = a_0 e^{-\beta t}$ . Верхняя из пунктирных кривых на рис. 58.1 дает график функции  $a(t)$ , причем величина  $a_0$  представляет собой амплитуду в начальный момент времени. Начальное смещение  $x_0$  зависит, кроме  $a_0$ , также от начальной фазы  $\alpha$ :  $x_0 = a_0 \cdot \cos \alpha$ .

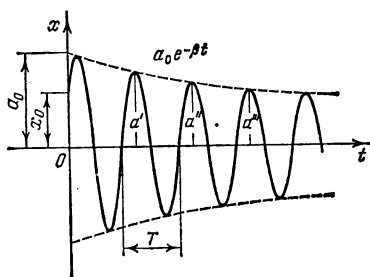


Рис. 58.1.

Скорость затухания колебаний определяется величиной  $\beta = r/2m$ , которую называют коэффициентом затухания. Найдём время  $\tau$ , за которое амплитуда уменьшается в  $e$  раз. По определению  $e^{-\beta\tau} = e^{-1}$ , откуда  $\beta\tau = 1$ . Следовательно, коэффициент затухания обратен по величине тому промежутку времени, за который амплитуда уменьшается в  $e$  раз.

Согласно формуле (53.8) период затухающих колебаний равен

$$T = \frac{2\pi}{\sqrt{\omega_0^2 - \beta^2}}. \quad (58.8)$$

При незначительном сопротивлении среды ( $\beta^2 \ll \omega_0^2$ ) период колебаний практически равен  $T_0 = 2\pi/\omega_0$ . С ростом коэффициента затухания период колебаний увеличивается.

Последующие наибольшие отклонения в какую-либо сторону (например,  $a'$ ,  $a''$ ,  $a'''$  и т. д. на рис. 58.1) образуют геометрическую прогрессию. Действительно, если  $a' = a_0 e^{-\beta t}$ , то  $a'' = a_0 e^{-\beta(t+T)} = a' e^{-\beta T}$ ,  $a''' = a_0 e^{-\beta(t+2T)} = a'' e^{-\beta T}$  и т. д. Вообще, отношение значений амплитуд, соответствующих моментам времени, отличающимся на период, равно

$$\frac{a(t)}{a(t+T)} = e^{\beta T}.$$

Это отношение называют декрементом затухания, а его логарифм — логарифмическим декрементом затухания:

$$\lambda = \ln \frac{a(t)}{a(t+T)} = \beta T \quad (58.9)$$

(не путать с  $\lambda$  в формулах (58.3) и (58.6)!).

Для характеристики колебательной системы обычно используется логарифмический декремент затухания  $\lambda$ . Выразив в соответствии с (58.9)  $\beta$  через  $\lambda$  и  $T$ , можно закон убывания амплитуды со временем записать в виде

$$a = a_0 e^{-\frac{\lambda}{T} t}.$$

За время  $\tau$ , за которое амплитуда уменьшается в  $e$  раз, система успевает совершить  $N_e = \tau/T$  колебаний. Из условия  $e^{-\lambda \frac{\tau}{T}} = e^{-1}$  получается, что  $\lambda \frac{\tau}{T} = \lambda N_e = 1$ . Следовательно, логарифмический декремент затухания обратен по величине числу колебаний, совершаемых за то время, за которое амплитуда уменьшается в  $e$  раз.

Для характеристики колебательной системы часто употребляется также величина

$$Q = \frac{\pi}{\lambda} = \pi N_e, \quad (58.10)$$

называемая добротностью колебательной системы. Как видно из ее определения, добротность пропорциональна числу колебаний  $N_e$ , совершаемых системой за то время  $\tau$ , за которое амплитуда колебаний уменьшается в  $e$  раз.

Подстановка функции (58.7) и ее производной в выражение для полной энергии колеблющейся системы  $E = \frac{1}{2} kx^2 + \frac{1}{2} m\dot{x}^2$  приводит после преобразований к формуле

$$E = \frac{1}{2} ka_0^2 e^{-2\beta t} \left\{ 1 + \frac{\beta}{\omega_0} \sin(2\omega t + 2\alpha + \psi) \right\}, \quad (58.11)$$

где  $\psi = \text{arctg}(\beta/\omega_0)$ . График этой функции изображен на рис. 58.2.

Убывание энергии обусловлено работой силы сопротивления среды  $F_{\text{сопр}} = -r\dot{x}$ . Мощность, развиваемая этой силой, равна  $(-r\dot{x})(\dot{x}) = -r\dot{x}^2$ . Таким образом,

$$\frac{dE}{dt} = -r\dot{x}^2.$$

Отсюда вытекает, что в тех точках кривой  $E(t)$ , где  $\dot{x} = 0$ , касательная к кривой параллельна оси  $t$ . В остальных точках  $dE/dt < 0$ .

При малом затухании ( $\beta \ll \omega_0$ ) слагаемым, содержащим синус, в формуле (58.11) можно пренебречь и считать, что энергия изменяется по закону

$$E = E_0 e^{-2\beta t}, \quad (58.12)$$

от  $E_0 = \frac{1}{2} ka_0^2$  — значение энергии в начальный момент. К тому же результату можно прийти, если заменить определяемое формулой (58.11) мгновенное значение  $E(t)$  его средним значением за время

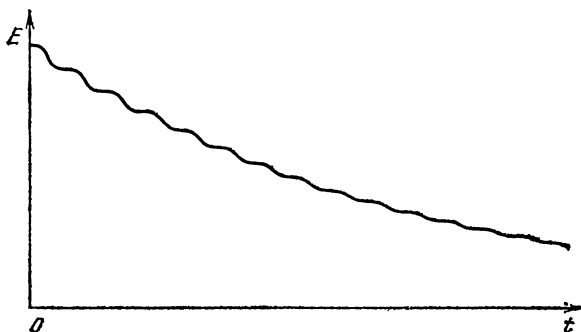


Рис. 58.2.

от  $t - T/2$  до  $t + T/2$  ( $T$  — период колебаний), вычисленным в предположении, что множитель  $\exp(-2\beta t)$  в течение промежутка  $T$  остается постоянным.

Продифференцировав выражение (58.12) по  $t$ , получим скорость возрастания энергии системы:

$$\frac{dE}{dt} = -2\beta E_0 e^{-\beta t} = -2\beta E.$$

Изменив знак на обратный, найдем скорость убывания энергии:

$$-\frac{dE}{dt} = 2\beta E. \quad (58.13)$$

Если энергия мало изменяется за время, равное периоду колебаний, убыль энергии за период можно найти, умножив выражение (58.13) на  $T$ :

$$-\Delta E = 2\beta T E$$

(напомним, что  $\Delta E$  обозначает приращение, а  $-\Delta E$  — убыль энергии). Наконец, приняв во внимание формулы (58.9) и (58.10), придем к соотношению

$$\frac{E}{(-\Delta E)} = \frac{Q}{2\pi},$$

из которого следует, что при слабом затухании колебаний добротность с точностью до множителя  $2\pi$  равна отношению энергии, запасенной в системе в данный момент, к убыли этой энергии за один период колебаний.

Из формулы (58.8) следует, что с ростом коэффициента затухания период колебаний увеличивается. При  $\beta = \omega_0$  период колебаний обращается в бесконечность, т. е. движение перестает быть периодическим.

При  $\beta > \omega_0$  корни характеристического уравнения становятся вещественными (см. (58.4)) и решение дифференциального уравнения (58.1) оказывается равным сумме двух экспонент:

$$x = C_1 e^{-\lambda_1 t} + C_2 e^{-\lambda_2 t}.$$

Здесь  $C_1$  и  $C_2$  — вещественные постоянные, значения которых зависят от начальных условий (от  $x_0$  и  $v_0 = (\dot{x})_0$ ). Следовательно, движение носит аperiодический (непериодический) характер —

выведенная из положения равновесия система возвращается в положение равновесия, не совершая колебаний. На рис. 58.3 показано два возможных способа возвращения системы к положению равновесия при аperiодическом движении. Каким из этих способов приходит система в положение равновесия, зависит от начальных условий. Движение, изображаемое кривой 2, получается в том случае, когда система начинает двигаться из положения, характеризующегося смещением  $x_0$ , к положению равновесия с начальной

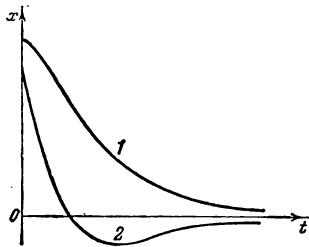


Рис. 58.3.

скоростью  $v_0$ , определяемой условием

$$|v_0| > |x_0|(\beta + \sqrt{\beta^2 - \omega_0^2}). \quad (58.14)$$

Это условие будет выполнено в том случае, если выведенной из положения равновесия системе сообщить достаточно сильный толчок к положению равновесия. Если, отведя систему из положения равновесия, отпустить ее без толчка (т. е. с  $v_0=0$ ) или сообщить ей толчок недостаточной силы (такой, что  $v_0$  окажется меньше определяемой условием (58.14)), движение будет происходить в соответствии с кривой *I* на рис. 58.3.

### § 59. Автоколебания

При затухающих колебаниях энергия системы расходуется на преодоление сопротивления среды. Если восполнять эту убыль энергии, колебания станут незатухающими. Пополнение энергии системы может осуществляться за счет толчков извне, однако эти толчки должны сообщаться системе в такт с ее колебаниями, в противном случае они могут ослабить колебания и даже прекратить их совсем. Можно сделать так, чтобы колеблющаяся система сама управляла внешним воздействием, обеспечивая согласованность сообщаемых ей толчков со своим движением. Такая система называется *автоколебательной*, а совершаемые ею незатухающие колебания — *автоколебаниями*.

В качестве примера автоколебательной системы рассмотрим часовой механизм. Маятник часов насажен на одну ось с изогнутым рычагом — анкером (рис. 59.1). На концах анкера имеются выступы специальной формы, называемые палеттами. Зубчатое ходовое колесо находится под воздействием цепочки с гирей или закрученной пружины, которые стремятся повернуть его по часовой стрелке. Однако большую часть времени колесо упирается одним из зубьев в боковую поверхность той либо иной палетты, скользящей при качании маятника по поверхности зуба. Только в моменты, когда маятник находится вблизи среднего положения, палетты перестают преграждать путь зубьям и ходовое колесо проворачивается, толкая анкер зубом, скользящим своей вершиной по скошенному торцу палетты. За полный цикл качаний маятника (за период) ходовое колесо проворачивается на два зуба, причем каждая из палетт получает по толчку. Посредством этих толчков за счет энергии поднятой гири или закрученной пружины и восполняется убыль энергии маятника, возникающая вследствие трения.

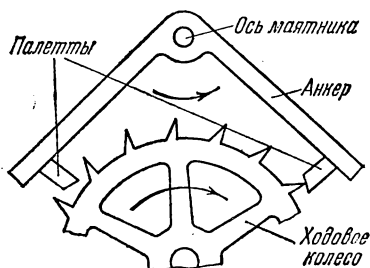


Рис. 59.1.

## § 60. Вынужденные колебания

В случае, когда вынуждающая сила изменяется по гармоническому закону, колебания описываются дифференциальным уравнением

$$\ddot{x} + 2\beta\dot{x} + \omega_0^2 x = f_0 \cos \omega t \quad (60.1)$$

(см. (50.13)). Здесь  $\beta$  — коэффициент затухания,  $\omega_0$  — собственная частота системы (см. формулы (58.2)),  $f_0 = F_0/m$  ( $F_0$  — амплитуда вынуждающей силы),  $\omega$  — частота силы.

Уравнение (60.1) является неоднородным. Согласно теореме (52.8) общее решение неоднородного уравнения равно сумме общего решения соответствующего однородного уравнения и частного решения неоднородного уравнения. Общее решение однородного уравнения мы уже знаем (см. функцию (58.7), являющуюся общим решением уравнения (58.1)). Оно имеет вид

$$x = a_0 e^{-\beta t} \cos(\omega' t + \alpha), \quad (60.2)$$

где  $\omega' = \sqrt{\omega_0^2 - \beta^2}$ , а  $a_0$  и  $\alpha$  — произвольные постоянные<sup>1)</sup>.

Остается найти частное (не содержащее произвольных постоянных) решение уравнения (60.1). Воспользуемся для этого приемом, описанным в конце § 52. Прибавим к функции, стоящей в правой части уравнения (60.1), мнимую функцию  $i f_0 \sin \omega t$ , после чего представим правую часть в виде  $f_0 e^{i\omega t}$  (см. формулу (51.9)). Таким образом, мы приходим к уравнению:

$$\ddot{x} + 2\beta\dot{x} + \omega_0^2 x = f_0 e^{i\omega t}. \quad (60.3)$$

Это уравнение легче решить, чем уравнение (60.1), так как экспоненту проще дифференцировать и интегрировать, чем тригонометрические функции.

Попробуем искать частное решение уравнения (60.3) в виде

$$\hat{x} = \hat{a} e^{i\omega t}, \quad (60.4)$$

где  $\hat{a}$  — некоторое комплексное число. Функция (60.4) также комплексная, что отмечено шляпкой над  $x$ . Продифференцировав эту функцию по  $t$ , получим:

$$\dot{\hat{x}} = i\omega \hat{a} e^{i\omega t}, \quad \ddot{\hat{x}} = -\omega^2 \hat{a} e^{i\omega t}. \quad (60.5)$$

Подстановка выражений (60.4) и (60.5) в уравнение (60.3) приводит после сокращения на общий множитель  $e^{i\omega t}$  к алгебраическому уравнению:

$$-\omega^2 \hat{a} + 2i\beta\omega \hat{a} + \omega_0^2 \hat{a} = f_0.$$

<sup>1)</sup> Буквой  $\omega$  без штриха мы обозначили частоту вынуждающей силы.

Отсюда

$$a = \frac{f_0}{(\omega_0^2 - \omega^2) + 2i\beta\omega}. \quad (60.6)$$

Мы нашли значение  $\hat{a}$ , при котором функция (60.4) удовлетворяет уравнению (60.3). Представим комплексное число, стоящее в знаменателе, в показательной форме:

$$(\omega_0^2 - \omega^2) + 2i\beta\omega = \rho e^{i\varphi}. \quad (60.7)$$

Согласно формулам (51.3)

$$\rho = \sqrt{(\omega_0^2 - \omega^2)^2 + 4\beta^2\omega^2}, \quad \varphi = \arctg \frac{2\beta\omega}{\omega_0^2 - \omega^2}. \quad (60.8)$$

Замена в (60.6) знаменателя в соответствии с (60.7) дает

$$\hat{a} = f_0 / \rho e^{i\varphi} = (f_0 / \rho) e^{-i\varphi}.$$

Подставив это значение  $\hat{a}$  в (60.4), получим частное решение уравнения (60.3):

$$\hat{x} = (f_0 / \rho) e^{-i\varphi} \cdot e^{i\omega t} = (f_0 / \rho) e^{i(\omega t - \varphi)}.$$

Наконец, взяв вещественную часть этой функции, получим частное решение уравнения (60.1):

$$x = (f_0 / \rho) \cos(\omega t - \varphi).$$

Подстановка значения  $f_0$ , а также значений (60.8) для  $\rho$  и  $\varphi$  приводит к окончательному выражению:

$$x = \frac{F_0/m}{\sqrt{(\omega_0^2 - \omega^2)^2 + 4\beta^2\omega^2}} \cos\left(\omega t - \arctg \frac{2\beta\omega}{\omega_0^2 - \omega^2}\right). \quad (60.9)$$

Отметим, что функция (60.9) не содержит произвольных постоянных.

Получим частное решение уравнения (60.1) еще одним способом — с помощью векторной диаграммы. Предположим, что частное решение уравнения (60.1) имеет вид

$$x = a \cos(\omega t - \varphi). \quad (60.10)$$

Тогда

$$\dot{x} = -\omega a \sin(\omega t - \varphi) = \omega a \cos(\omega t - \varphi + \pi/2), \quad (60.11)$$

$$\ddot{x} = -\omega^2 a \cos(\omega t - \varphi) = \omega^2 a \cos(\omega t - \varphi + \pi). \quad (60.12)$$

Подстановка выражений (60.10) — (60.12) в уравнение (60.1) приводит к соотношению

$$\omega^2 a \cos(\omega t - \varphi + \pi) + 2\beta\omega a \cos(\omega t - \varphi + \pi/2) + \omega_0^2 a \cos(\omega t - \varphi) = f_0 \cos \omega t. \quad (60.13)$$

Из (60.13) следует, что постоянные  $a$  и  $\varphi$  должны иметь такие значения, чтобы гармоническая функция  $f_0 \cos \omega t$  была равна

сумме трех гармонических функций, стоящих в левой части уравнения. Если изобразить функцию  $\omega_0^2 a \cos(\omega t - \varphi)$  вектором длины  $\omega_0^2 a$ , направленным вправо, то функция  $2\beta a \cos(\omega t - \varphi + \pi/2)$  изобразится вектором длины  $2\beta \omega a$  (рис. 60.1), повернутым относительно вектора  $\omega_0^2 a$  против часовой стрелки на угол  $\pi/2$  (см. § 55),

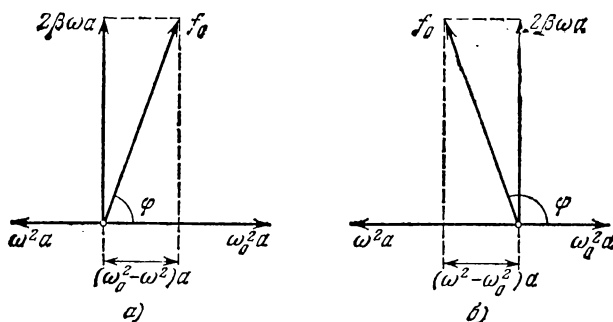


Рис. 60.1.

а функция  $\omega^2 a \cos(\omega t - \varphi + \pi)$  — вектором длины  $\omega^2 a$ , повернутым относительно вектора  $\omega_0^2 a$  на угол  $\pi$ . Чтобы уравнение (60.13) было удовлетворено, сумма трех перечисленных векторов должна совпадать с вектором, изображающим функцию  $f_0 \cos \omega t$ . Из рис. 60.1, а видно, что такое совпадение возможно лишь при значении амплитуды  $a$ , которое определяется условием:

$$(\omega_0^2 - \omega^2) a^2 + 4\beta^2 \omega^2 a^2 = f_0^2,$$

откуда

$$a = \frac{F_0/m}{\sqrt{(\omega_0^2 - \omega^2)^2 + 4\beta^2 \omega^2}} \quad (60.14)$$

(мы заменили  $f_0$  отношением  $F_0/m$ ). Рис. 60.1, а отвечает случаю  $\omega < \omega_0$ . Из рис. 60.1, б, отвечающего случаю  $\omega > \omega_0$ , получается такое же значение  $a$ .

Рис. 60.1 позволяет получить также и значение  $\varphi$ , которое представляет собой величину отставания по фазе вынужденного колебания (60.10) от обусловившей его вынуждающей силы. Из рисунка следует, что

$$\operatorname{tg} \varphi = \frac{2\beta \omega}{\omega_0^2 - \omega^2}. \quad (60.15)$$

Подставив в (60.10) значения  $a$  и  $\varphi$ , определяемые формулами (60.14) и (60.15), получим функцию (60.9).

Функция (60.9) в сумме с (60.2) дает общее решение уравнения (60.1), описывающее поведение системы при вынужденных колебаниях. Слагаемое (60.2) играет заметную роль только в начальной

стадии процесса, при так называемом установлении колебаний (рис. 60.2). С течением времени из-за экспоненциального множителя  $e^{-\beta t}$  роль слагаемого (60.2) все больше уменьшается, и по прошествии достаточного времени им можно пренебречь, сохраняя в решении лишь слагаемое (60.9).

Таким образом, функция (60.9) описывает установившиеся вынужденные колебания. Они представляют собой гармонические колебания с частотой, равной частоте вынуждающей силы. Амплитуда (60.14) вынужденных колебаний пропорциональна амплитуде вынуждающей силы. Для данной колебательной системы (определенных  $\omega_0$  и  $\beta$ ) амплитуда зависит от частоты вынуждающей силы. Вынужденные колебания отстают по фазе от вынуждающей силы, причем величина отставания  $\varphi$  также зависит от частоты вынуждающей силы (см. (60.15)).

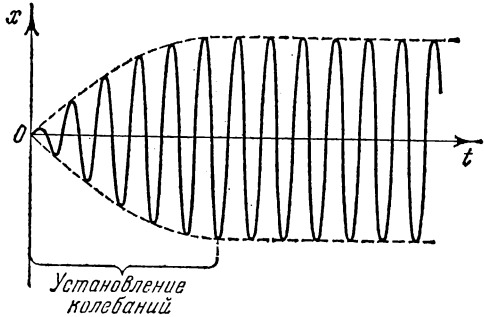


Рис. 60.2.

Зависимость амплитуды вынужденных колебаний от частоты вынуждающей силы приводит к тому, что при некоторой определенной для данной системы частоте амплитуда колебаний достигает максимального значения. Колебательная система оказывается особенно отзывчивой на действие вынуждающей силы при этой частоте. Это явление называется **резонансом**, а соответствующая частота — **резонансной частотой**.

Чтобы определить резонансную частоту  $\omega_{\text{рез}}$ , нужно найти максимум функции (60.14) или, что то же самое, минимум выражения, стоящего под корнем в знаменателе. Продифференцировав это выражение по  $\omega$  и приравняв нулю, мы получим условие, определяющее  $\omega_{\text{рез}}$ :

$$-4(\omega_0^2 - \omega^2)\omega + 8\beta^2\omega = 0. \quad (60.16)$$

Уравнение (60.16) имеет три решения:  $\omega = 0$  и  $\omega = \pm \sqrt{\omega_0^2 - 2\beta^2}$ . Решение, равное нулю, соответствует максимуму знаменателя. Из остальных двух решений отрицательное должно быть отброшено, как не имеющее физического смысла (частота не может быть отрицательной). Таким образом, для резонансной частоты получается одно значение:

$$\omega_{\text{рез}} = \sqrt{\omega_0^2 - 2\beta^2}. \quad (60.17)$$

Подставив это значение частоты в (60.14), получим выражение для

амплитуды при резонансе:

$$a_{\text{рез}} = \frac{F_0/m}{2\beta \sqrt{\omega_0^2 - \beta^2}}. \quad (60.18)$$

Из (60.18) следует, что при отсутствии сопротивления среды амплитуда при резонансе обращалась бы в бесконечность. Согласно (60.17) резонансная частота при тех же условиях (при  $\beta=0$ ) совпадает с собственной частотой колебаний системы  $\omega_0$ .

Зависимость амплитуды вынужденных колебаний от частоты вынуждающей силы (или, что то же самое, от частоты колебаний) показана графически на рис. 60.3. Отдельные кривые на графике соответствуют различным значениям параметра  $\beta$ . В соответствии с (60.17) и (60.18), чем меньше  $\beta$ , тем выше и правее лежит максимум данной кривой. При очень большом затухании (таком, что  $2\beta^2 > \omega_0^2$ ) выражение для резонансной частоты становится мнимым. Это означает, что при этих условиях резонанс не наблюдается —

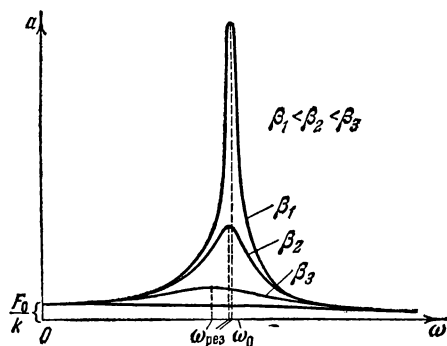


Рис. 60.3.

с увеличением частоты амплитуда вынужденных колебаний монотонно убывает (см. нижнюю кривую на рис. 60.3). Изображенная на рис. 60.3 совокупность графиков функции (60.14), соответствующих различным значениям параметра  $\beta$ , называется резонансными кривыми.

По поводу резонансных кривых можно сделать еще следующие замечания. При стремлении  $\omega$  к нулю все кривые приходят к одному и то-

му же, отличному от нуля, предельному значению, равному  $F_0/m\omega_0^2$ , т. е.  $F_0/k$ . Это значение представляет собой смещение из положения равновесия, которое получает система под действием постоянной силы величины  $F_0$ . При стремлении  $\omega$  к бесконечности все кривые асимптотически стремятся к нулю, так как при большой частоте сила так быстро изменяет свое направление, что система не успевает заметно сместиться из положения равновесия. Наконец, отметим, что чем меньше  $\beta$ , тем сильнее изменяется с частотой амплитуда вблизи резонанса, тем «острее» получается максимум.

Из формулы (60.18) вытекает, что при малом затухании (т. е. при  $\beta \ll \omega_0$ ) амплитуда при резонансе приближенно равна

$$a_{\text{рез}} \approx \frac{F_0/m}{2\beta\omega_0}.$$

Разделим это выражение на смещение  $x_0$  от положения равновесия

под действием постоянной силы  $F_0$ , равное  $F_0/m\omega_0^2$ . В результате получим:

$$\frac{a_{\text{рез}}}{x_0} \approx \frac{\omega_0}{2\beta} = \frac{2\pi}{2\beta T} = \frac{\pi}{\lambda} = Q \quad (60.19)$$

(см. формулу (58.10)). Таким образом, добротность  $Q$  показывает, во сколько раз амплитуда в момент резонанса превышает смещение системы из положения равновесия под действием постоянной силы той же величины, что и амплитуда вынуждающей силы (это справедливо лишь при небольшом затухании).

Из рис. 60.1 видно, что вынужденные колебания отстают по фазе от вынуждающей силы, причем величина отставания  $\varphi$  лежит в пределах от 0 до  $\pi$ . Зависимость  $\varphi$  от  $\omega$  при разных значениях  $\beta$  показана графически на рис. 60.4. Частоте  $\omega_0$  соответствует  $\varphi = \pi/2$ . Резонансная частота меньше собственной (см. (60.17)). Следовательно, в момент резонанса  $\varphi < \pi/2$ . При слабом затухании  $\omega_{\text{рез}} \approx \omega_0$ , и значение  $\varphi$  при резонансе можно считать равным  $\pi/2$ .

С явлением резонанса приходится считаться при конструировании машин и различного рода сооружений. Собственная частота колебаний этих устройств ни в коем случае не должна быть близка

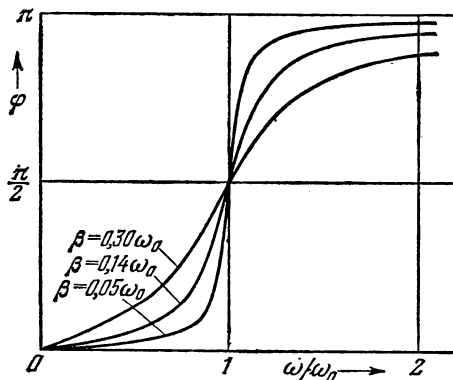


Рис. 60.4.

к частоте возможных внешних воздействий. Так, например, собственная частота вибраций корпуса корабля или крыльев самолета должна сильно отличаться от частоты колебаний, которые могут быть возбуждены вращением гребного винта или пропеллера. В противном случае возникают вибрации, которые могут вызвать катастрофу. Известны случаи, когда обрушивались мосты при прохождении по ним марширующих колонн солдат. Это происходило потому, что собственная частота колебаний моста оказывалась близкой к частоте, с которой шагала колонна.

Вместе с тем явление резонанса часто оказывается весьма полезным, особенно в акустике, радиотехнике и т. д.

## § 61. Параметрический резонанс

В рассмотренном в предыдущем параграфе случае приложенная извне вынуждающая сила обуславливала непосредственно смещение системы из положения равновесия. Оказывается, существует

иной вид воздействия извне, с помощью которого можно сильно раскачать систему. Этот вид воздействия заключается в совершаемом в такт с колебаниями периодическом изменении какого-либо параметра системы, вследствие чего само явление называется **параметрическим резонансом**.

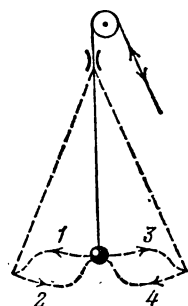


Рис. 61.1.

Возьмем для примера простейший маятник — шарик на нитке. Если периодически изменять длину маятника  $l$ , увеличивая ее в моменты, когда маятник находится в крайних положениях, и уменьшая, в моменты, когда маятник находится в среднем положении (рис. 61.1), то маятник сильно раскачается. Увеличение энергии маятника при этом происходит за счет работы, которую совершает сила, действующая на нить. Сила натяжения нити при колебаниях

маятника не постоянна: она меньше в крайних положениях, когда скорость обращается в нуль, и больше в среднем положении, когда скорость маятника максимальна. Поэтому отрицательная работа внешней силы при удлинении маятника оказывается меньше по величине, чем положительная работа, совершаемая при укорочении маятника. В итоге работа внешней силы за период оказывается больше нуля.

## ГЛАВА VIII

### РЕЛЯТИВИСТСКАЯ МЕХАНИКА

#### § 62. Специальная теория относительности

В § 6 было отмечено, что ньютоновская механика справедлива только для тел, движущихся со скоростями, много меньшими скорости света в вакууме (эту скорость принято обозначать буквой  $c$ ). Для описания движений, совершающихся со скоростями, сравнимыми с  $c$ , Эйнштейн создал релятивистскую механику, т. е. механику, учитывающую требования специальной теории относительности.

Созданная Эйнштейном в 1905 г. специальная теория относительности представляет собой физическую теорию пространства и времени для случая пренебрежимо слабых гравитационных полей <sup>1)</sup>. Основу этой теории образуют два постулата, которые носят названия принципа относительности Эйнштейна и принципа постоянства скорости света.

Принцип относительности Эйнштейна является распространением механического принципа Галилея (см. § 12) на все без исключения физические явления. Согласно этому принципу *все законы природы одинаковы во всех инерциальных системах отсчета*. Незменность вида уравнения при замене в нем координат и времени одной системы отсчета координатами и временем другой системы называется *инвариантностью уравнения*. Поэтому принцип относительности можно сформулировать следующим образом: *уравнения, выражающие законы природы, инвариантны по отношению к преобразованиям координат и времени от одной инерциальной системы отсчета к другой*.

Принцип постоянства скорости света утверждает, что *скорость света в вакууме одинакова во всех инерциальных системах отсчета и не зависит от движения источников и приемников света* <sup>2)</sup>.

---

<sup>1)</sup> В 1915 г. Эйнштейн создал основы общей теории относительности, которая представляет собой теорию тяготения.

<sup>2)</sup> Опыт Майкельсона и Морли, подтвердивший справедливость этого принципа, будет описан во втором томе курса.

Из сформулированных выше постулатов вытекает ряд важных выводов, касающихся свойств пространства и времени. В ньютоновской механике пространство и время рассматривались независимо друг от друга. Ньютон считал, что существуют абсолютное пространство и абсолютное время. Абсолютное пространство определялось им как безотносительное к чему-либо внешнемуместилище вещей, остающееся всегда одинаковым и неподвижным. О времени Ньютон писал: «Абсолютное, истинное или математическое

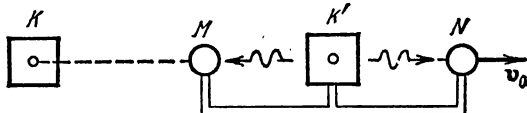


Рис. 62.1.

время само по себе и в силу своей внутренней природы течет равномерно, безотносительно к чему-либо внешнему». В соответствии с этим считалось совершенно очевидным, что два события, одновременные в какой-либо системе отсчета, будут одновременными и во всех остальных системах отсчета. Однако легко убедиться в том, что последнее утверждение находится в противоречии с принципом постоянства скорости света.

Возьмем два тела  $K$  и  $K'$ , образующих вместе с соответствующими часами инерциальные системы отсчета. Пусть тело  $K'$  движется относительно тела  $K$  со скоростью  $v_0$ , направленной вдоль прямой, проходящей через центры тел (рис. 62.1). Поместим на этой прямой два тела  $M$  и  $N$ , равноудаленных от тела  $K'$  и соединенных с ним жестко. Относительно тела  $K$  эти тела движутся со скоростью  $v_0$ , относительно тела  $K'$  они покоятся. Рассмотрим в обеих системах один и тот же процесс, заключающийся в испускании из центра тела  $K'$  светового сигнала и достижении этим сигналом тел  $M$  и  $N$ . Скорость света во всех направлениях одинакова и равна  $c$ . Поэтому в системе отсчета  $K'$  сигнал будет достигать тел  $M$  и  $N$  в один и тот же момент времени  $t'$ .

В системе отсчета  $K$  свет также распространяется по всем направлениям со скоростью  $c$ . В этой системе тело  $M$  движется навстречу световому сигналу. Тело  $N$  движется в ту же сторону, что и сигнал. Поэтому тела  $M$  сигнал достигнет раньше, чем тела  $N$ , и, следовательно,  $t_M < t_N$ . Таким образом, события, которые в системе  $K'$  были одновременными, в системе  $K$  оказываются неодновременными. Отсюда вытекает, что время в разных системах отсчета течет неодинаково.

Чтобы описать событие в некоторой системе отсчета, нужно указать, в каком месте и в какой момент времени оно происходит. Эта задача окажется осуществимой, если создать в пространстве равноотстоящие координатные метки и совместить с каждой такой мет-

кой часы, по которым можно было бы определить момент времени, в который происходит событие в данном месте. Координатные метки можно нанести путем перекладывания единичного масштаба. В качестве часов можно взять любую систему, совершающую периодически повторяющийся процесс. Чтобы сравнивать моменты времени, в которые происходят два события в разных точках пространства, нужно убедиться в том, что часы, находящиеся в этих точках, идут синхронно.

Синхронизацию можно, казалось бы, выполнить, поместив часы сначала рядом, а затем, после сверки их показаний, перенести часы в соответствующие точки пространства. Однако такой способ нужно отвергнуть, так как мы не знаем, как повлияет на ход часов их перенос из одного места в другое. Поэтому нужно сначала расставить часы по местам и лишь затем произвести сверку их показаний. Это можно сделать, посылая от одних часов к другим световой сигнал<sup>1)</sup>. Пусть из точки  $A$  посылается в момент  $t_1$  (отсчитанный по часам в  $A$ ) световой сигнал, который отражается от зеркала, помещенного в точке  $B$ , и возвращается в  $A$  в момент  $t_2$ . Часы в  $B$  нужно считать синхронными с часами в  $A$ , если в момент дохождения до них сигнала часы в  $B$  показывали время  $t$ , равное  $(t_1 + t_2)/2$ . Такую сверку необходимо проделать для всех часов, расположенных в разных точках системы  $K$ . События в  $A$  и  $B$  будут считаться одновременными в системе  $K$ , если соответствующие им отсчеты времени по часам в  $A$  и  $B$  совпадут.

Аналогично производится синхронизация всех часов в системе  $K'$  и любой другой инерциальной системе отсчета. Скорость светового сигнала, с помощью которого осуществляется синхронизация, во всех инерциальных системах отсчета одна и та же. Этим и обусловлен выбор в качестве сигнала для синхронизации хода часов именно светового сигнала. Оказывается, что скорость света является предельной. Никакой сигнал, никакое воздействие одного тела на другое не могут распространяться со скоростью, превышающей скорость света в пустоте. Этим и объясняется одинаковость скорости света в пустоте во всех системах отсчета. Согласно принципу относительности законы природы во всех инерциальных системах должны быть одинаковы. Тот факт, что скорость сигнала не может превышать предельного значения, есть также закон природы. Поэтому значение предельной скорости должно быть одинаково во всех системах отсчета.

Постоянство скорости света приводит к тому, что пространство и время оказываются взаимосвязанными, образуя единое пространство-время. Эта взаимосвязь может быть представлена особенно отчетливо с помощью воображаемого четырехмерного пространства,

---

<sup>1)</sup> Проверка часов по радиосигналам представляет собой по существу такую синхронизацию.

по трем осям которого откладываются пространственные координаты  $x$ ,  $y$  и  $z$ , а по четвертой оси — время  $t$ , точнее — пропорциональная  $t$  временная координата  $ct$ , имеющая ту же размерность, что и пространственные координаты.

Какое-либо событие (например, распад некоторой частицы) характеризуется местом, где оно произошло (координатами  $x$ ,  $y$ ,  $z$ ), и временем  $t$ , когда оно произошло. Таким образом, событию отвечает в воображаемом четырехмерном пространстве точка с координатами  $x$ ,  $y$ ,  $z$  и  $ct$ . Эту точку принято называть *мировой точкой*. Всякой частице (даже неподвижной) соответствует в четырехмерном пространстве некоторая линия, называемая *мировой линией* (для покоящейся частицы она имеет вид прямой линии, параллельной оси  $ct$ ).

Итак, пространство и время являются частями единого целого. Однако время качественно отличается от пространства. Это проявляется в том, что воображаемое четырехмерное пространство отличается по своим свойствам от обычного трехмерного пространства. Обычное пространство обладает так называемой евклидовой метрикой. Это означает, что квадрат расстояния  $\Delta l$  между двумя точками равен сумме квадратов разностей координат:

$$\Delta l^2 = \Delta x^2 + \Delta y^2 + \Delta z^2.$$

Квадрат «расстояния» между двумя мировыми точками (это «расстояние» называют *интервалом* и обозначают символом  $\Delta s$ ) определяется формулой

$$\Delta s^2 = c^2 \Delta t^2 - \Delta x^2 - \Delta y^2 - \Delta z^2 \quad (62.1)$$

(свойства интервала рассматриваются в § 65).

Пространства, для которых квадрат расстояния определяется формулой вида (62.1), называются *псевдоевклидовыми*. Качественное различие между временем и пространством проявляется в том, что квадрат временной координаты и квадраты пространственных координат входят в выражение (62.1) с разными знаками.

В специальной теории относительности особую роль играют величины, являющиеся *инвариантами* и по отношению к преобразованиям координат и времени от одной инерциальной системы отсчета к другой (иными словами, величины, имеющие одинаковое числовое значение во всех инерциальных системах отсчета). Одну из таких величин мы уже знаем — это скорость света в пустоте. В § 65 мы покажем, что определяемый формулой (62.1) интервал также является инвариантом.

Особую роль играют также формулы и соотношения, инвариантные по отношению к указанным выше преобразованиям (т. е. имеющие одинаковый вид во всех инерциальных системах отсчета). Например, релятивистские выражения для импульса и энергии

определяются таким образом, чтобы законы сохранения этих величин не нарушались при переходе к другой инерциальной системе отсчета. В ходе дальнейшего изложения мы познакомимся с рядом инвариантных величин и соотношений.

### § 63. Преобразования Лоренца

Рассмотрим две инерциальные системы отсчета, которые мы обозначим  $K$  и  $K'$  (рис. 63.1). Пусть система  $K'$  движется относительно системы  $K$  со скоростью  $v_0$ <sup>1)</sup>. Направим оси  $x$  и  $x'$  вдоль вектора  $v_0$ , оси  $y$  и  $y'$ , а также  $z$  и  $z'$  предположим параллельными друг другу.

В силу принципа относительности системы  $K$  и  $K'$  совершенно равноправны. Единственное формальное отличие их заключается в том, что отсчитанная в системе  $K$  икс-овая координата начала  $O'$  системы  $K'$  изменяется по закону

$$x_{O'} = v_0 t, \quad (63.1)$$

в то время как отсчитанная в системе  $K'$  икс-овая координата начала  $O$  системы  $K$  изменяется по закону

$$x'_O = -v_0 t'. \quad (63.2)$$

Это различие вызвано тем, что направления осей  $x$  и  $x'$  мы выбрали одинаковыми, а системы  $K$  и  $K'$  движутся друг относительно друга в противоположных направлениях. Поэтому проекция относительной скорости на ось  $x$  системы  $K$  равна  $v_0$ , а на ось  $x'$  системы  $K'$  равна  $-v_0$ .

В нерелятивистской механике переход от координат и времени одной инерциальной системы отсчета к координатам и времени другой инерциальной системы осуществляется с помощью преобразований Галилея (12.1). Из этих преобразований вытекает закон

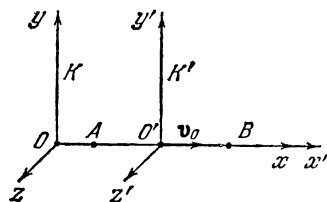


Рис. 63.1.

<sup>1)</sup> Напомним, что инерциальной называется система отсчета, относительно которой свободная частица движется без ускорения (см. § 7). В § 12, опираясь на преобразования Галилея, мы показали, что система  $K'$ , движущаяся относительно инерциальной системы  $K$  с постоянной скоростью  $v_0$ , в свою очередь является инерциальной. В релятивистской механике преобразования Галилея должны быть заменены другими преобразованиями, согласующимися с принципом постоянства скорости света. Однако ясно, что, каким бы ни был закон преобразования при переходе от системы  $K$  к движущейся относительно нее с постоянной скоростью  $v_0$  системе  $K'$ , в случае, если скорость частицы  $v$  в системе  $K$  постоянна, постоянной будет и скорость  $v'$  в системе  $K'$ . Следовательно, и в релятивистской механике система  $K'$ , движущаяся относительно инерциальной системы  $K$  с постоянной скоростью  $v_0$ , также будет инерциальной.

сложения скоростей:  $\mathbf{v}=\mathbf{v}'+\mathbf{v}_0$  (см. формулу (12.3)). Этот закон находится в противоречии с принципом постоянства скорости света. Действительно, если в системе  $K'$  световой сигнал распространяется в направлении вектора  $\mathbf{v}_0$  со скоростью  $c$ , то согласно (12.3) в системе  $K$  скорость сигнала окажется равной  $c+v_0$ , т. е. превзойдет  $c$ . Отсюда следует, что преобразования Галилея должны быть заменены другими формулами. Эти формулы нетрудно найти.

В самом общем виде преобразования координат и времени от системы  $K'$  к системе  $K$  выглядят следующим образом:

$$\begin{aligned}x &= f_1(x', y', z', t'), & y &= f_2(x', y', z', t'), \\z &= f_3(x', y', z', t'), & t &= f_4(x', y', z', t').\end{aligned}\quad (63.3)$$

Из однородности времени и пространства следует, что формулы (63.3) должны быть линейными, т. е. иметь вид

$$x = \alpha_1 x' + \alpha_2 y' + \alpha_3 z' + \alpha_4 t' + \alpha_5 \quad (63.4)$$

и т. д., где  $\alpha_1, \alpha_2, \dots$  — константы. Соответственно

$$dx = \alpha_1 dx' + \alpha_2 dy' + \alpha_3 dz' + \alpha_4 dt' \quad (63.5)$$

и т. д. Действительно, согласно (63.3)

$$dx = \frac{\partial f_1}{\partial x'} dx' + \frac{\partial f_1}{\partial y'} dy' + \frac{\partial f_1}{\partial z'} dz' + \frac{\partial f_1}{\partial t'} dt' \quad (63.6)$$

и т. д.

Если взять некоторые произвольно выбранные  $dx', dy', dz'$  и  $dt'$  в точке  $x'_1, y'_1, z'_1, t'_1$ , то, подставив в (63.6) значения производных в данной точке, мы получим для  $dx$  некоторое значение  $dx_1$ . Однако в силу однородности пространства и времени в любой другой точке  $x'_2, y'_2, z'_2, t'_2$  при тех же значениях  $dx', dy', dz'$  и  $dt'$  должно получаться для  $dx$  такое же значение, как и в первой точке, т. е. должно быть  $dx_2 = dx_1$ . То же самое должно иметь место для  $dy, dz$  и  $dt$ . Поскольку  $dx', dy', dz'$  и  $dt'$  были выбраны совершенно произвольно, указанное требование может выполняться лишь в том случае, если производные  $\partial f_1 / \partial x'$  и т. д. не зависят от координат, т. е. являются константами. Отсюда вытекает (63.5), а затем и (63.4).

При указанном на рис. 63.1 выборе координатных осей плоскость  $y=0$  совпадает с плоскостью  $y'=0$ , а плоскость  $z=0$  — с плоскостью  $z'=0$ . Отсюда следует, что, например, координаты  $y$  и  $y'$  должны обращаться в нуль одновременно, независимо от значений других координат и времени. Поэтому  $y$  и  $y'$  могут быть связаны только соотношением вида

$$y = \epsilon y',$$

где  $\epsilon$  — константа. В силу равноправности систем  $K$  и  $K'$  обратное соотношение должно иметь вид

$$y' = \epsilon y$$

с тем же значением константы  $\epsilon$ , что и в первом случае. Перемножив оба соотношения, получим, что  $\epsilon^2=1$ , откуда  $\epsilon=\pm 1$ . Знак плюс соответствует одинаково направленным осям  $y$  и  $y'$ , знак минус — противоположно направленным. Направив оси одинаковым образом, получим

$$y=y'. \quad (63.7)$$

Аналогичные рассуждения приводят к формуле

$$z=z'. \quad (63.8)$$

Обратимся к нахождению преобразований для  $x$  и  $t$ . Из (63.7) и (63.8) следует, что значения  $y$  и  $z$  не зависят от  $x'$  и  $t'$ . Отсюда вытекает, что значения  $x'$  и  $t'$  не могут зависеть от  $y$  и  $z$ ; соответственно значения  $x$  и  $t$  не могут зависеть от  $y'$  и  $z'$ . Таким образом,  $x$  и  $t$  могут быть линейными функциями только  $x'$  и  $t'$ .

Начало координат  $O$  системы  $K$  имеет координату  $x=0$  в системе  $K$  и  $x'=-v_0 t'$  в системе  $K'$  (см. (63.2)). Следовательно, выражение  $(x'+v_0 t')$  должно обращаться в нуль одновременно с координатой  $x$ . Для этого линейное преобразование должно иметь вид

$$x=\gamma(x'+v_0 t'), \quad (63.9)$$

где  $\gamma$  — некоторая константа.

Аналогично, начало координат  $O'$  системы  $K'$  имеет координату  $x'=0$  в системе  $K'$  и  $x=v_0 t$  в системе  $K$  (см. (63.1)). Отсюда следует, что

$$x'=\gamma(x-v_0 t). \quad (63.10)$$

Из равноправия систем  $K$  и  $K'$  вытекает, что коэффициент пропорциональности в обоих случаях должен быть один и тот же.

Для нахождения коэффициента  $\gamma$  используем принцип постоянства скорости света. Начнем отсчет времени в обеих системах от того момента, когда их начала координат совпадают. Пусть в момент  $t=t'=0$  в направлении осей  $x$  и  $x'$  посылается световой сигнал, который производит вспышку света на экране, расположенном в точке с координатой  $x$  в системе  $K$  и с координатой  $x'$  в системе  $K'$ . Это событие (вспышка) описывается координатой  $x$  и моментом  $t$  в системе  $K$  и координатой  $x'$  и моментом  $t'$  в системе  $K'$ , причем

$$x=ct, \quad x'=ct'.$$

Подставив эти значения  $x$  и  $x'$  в формулы (63.9) и (63.10), получим

$$\begin{aligned} ct &= \gamma(ct' + v_0 t') = \gamma(c + v_0) t', \\ ct' &= \gamma(ct - v_0 t) = \gamma(c - v_0) t. \end{aligned}$$

Перемножив оба соотношения, придем к уравнению

$$c^2 = \gamma^2 (c^2 - v_0^2).$$

Отсюда

$$\gamma = \frac{1}{\sqrt{1 - v_0^2/c^2}}. \quad (63.11)$$

Подстановка этого значения в (63.9) приводит к формуле

$$x = \frac{x' + v_0 t'}{\sqrt{1 - v_0^2/c^2}}. \quad (63.12)$$

Формула (63.12) позволяет по известным значениям  $x'$  и  $t'$  найти значение  $x$ . Чтобы получить формулу, позволяющую по известным значениям  $x'$  и  $t'$  найти значение  $t$ , исключим из (63.9) и (63.10) координату  $x$  и разрешим получившееся соотношение относительно  $t$ . В результате получим

$$t = \gamma \left[ t' + \frac{x'}{v_0} \left( 1 - \frac{1}{\gamma^2} \right) \right].$$

Подстановка значения (63.11) для  $\gamma$  приводит к следующей формуле:

$$t = \frac{t' + (v_0/c^2) x'}{\sqrt{1 - v_0^2/c^2}}. \quad (63.13)$$

Совокупность формул (63.7), (63.8), (63.12), и (63.13) носит название преобразований Лоренца. Если применить общепринятое обозначение

$$\beta = v_0/c, \quad (63.14)$$

преобразования Лоренца примут вид

$$x = \frac{x' + \beta c t'}{\sqrt{1 - \beta^2}}, \quad y = y', \quad z = z', \quad t = \frac{t' + (\beta/c) x'}{\sqrt{1 - \beta^2}}. \quad (63.15)$$

По формулам (63.15) осуществляется переход от координат и времени, отсчитанных в системе  $K'$ , к координатам и времени, отсчитанным в системе  $K$  (короче, переход от системы  $K'$  к системе  $K$ ). Если разрешить уравнения (63.15) относительно штрихованных величин, получатся формулы преобразования для перехода от системы  $K$  к системе  $K'$ :

$$x' = \frac{x - \beta c t}{\sqrt{1 - \beta^2}}, \quad y' = y, \quad z' = z, \quad t' = \frac{t - (\beta/c) x}{\sqrt{1 - \beta^2}}. \quad (63.16)$$

Как и следовало ожидать, учитывая равноправность систем  $K$  и  $K'$ , формулы (63.16) отличаются от формул (63.15) только знаком при  $\beta$ , т. е. при  $v_0$ .

Легко понять, что в случае  $v_0 \ll c$  (т. е.  $\beta \ll 1$ ) преобразования Лоренца переходят в преобразования Галилея (см. (12.1)). Таким образом, преобразования Галилея сохраняют значение для скоростей, малых по сравнению со скоростью света в пустоте.

При  $v_0 > c$  выражения (63.15) и (63.16) для  $x$ ,  $t$ ,  $x'$  и  $t'$  становятся мнимыми. Это согласуется с тем, что движение со скоростью, пре-

вышающей скоростью света в пустоте, невозможно. Нельзя даже пользоваться системой отсчета, движущейся со скоростью  $c$ , так как при  $v_0=c$  в знаменателях формул для  $x$  и  $t$  получается нуль.

Преобразования Лоренца имеют особенно простой и симметричный вид, если писать их не для  $x$  и  $t$ , а для  $x$  и  $(ct)$ , т. е. для величин одинаковой размерности. В этом случае формулы (63.15) выглядят следующим образом:

$$x = \frac{x' + \beta(ct')}{\sqrt{1-\beta^2}}, \quad y = y', \quad z = z', \quad (ct) = \frac{(ct') + \beta x'}{\sqrt{1-\beta^2}}. \quad (63.17)$$

Формулы (63.17) легко запомнить, приняв во внимание, что первая из них отличается от «очевидной» формулы  $x = x' + v_0 t'$  наличием в знаменателе характерного для релятивистских формул выражения  $\sqrt{1-\beta^2}$ . Последняя формула получается из первой, если поменять местами  $x'$  и  $ct'$ .

## § 64. Следствия из преобразований Лоренца

Из преобразований Лоренца вытекает ряд необычных с точки зрения ньютоновской механики следствий.

**Одновременность событий в разных системах отсчета.** Пусть в системе  $K$  в точках с координатами  $x_1$  и  $x_2$  происходят одновременно два события в момент времени  $t_1 = t_2 = b$ . Согласно последней из формул (63.16) в системе  $K'$  этим событиям будут соответствовать моменты времени

$$t'_1 = \frac{b - (\beta/c) x_1}{\sqrt{1-\beta^2}}, \quad t'_2 = \frac{b - (\beta/c) x_2}{\sqrt{1-\beta^2}}.$$

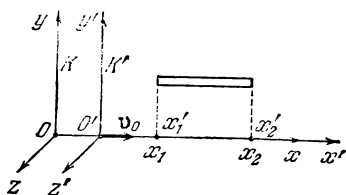


Рис. 64.1.

Из этих формул видно, что в случае, если события в системе  $K$  пространственно разобщены ( $x_1 \neq x_2$ ), то в системе  $K'$  они не будут одновременными ( $t'_1 \neq t'_2$ ). Знак разности  $t'_2 - t'_1$  определяется знаком выражения  $(\beta/c)(x_1 - x_2)$ ; следовательно, в разных системах  $K'$  (при разных  $\beta$ ) разность  $t'_2 - t'_1$  будет различна по величине и может отличаться по знаку. Это означает, что в одних системах событие 1 будет предшествовать событию 2, в других системах, наоборот, событие 2 будет предшествовать событию 1. Заметим, что сказанное относится лишь к событиям, между которыми отсутствует причинная связь. Причинно связанные события (например, бросание камня и падение его на Землю) ни в одной из систем отсчета не будут одновременными, и во всех системах событие, являющееся причиной, будет предшествовать следствию. Подробнее об этом будет речь в следующем параграфе.

**Длина тел в разных системах.** Рассмотрим стержень, расположенный вдоль оси  $x'$  и покоящийся относительно системы отсчета  $K'$  (рис. 64.1). Длина его в этой системе равна  $l_0 = x'_2 - x'_1$ , где  $x'_1$  и  $x'_2$  — не изменяющиеся со временем  $t'$  координаты концов стержня. Относительно системы  $K$  стержень движется со скоростью  $v = v_0$ . Для определения его длины в этой системе нужно отметить координаты концов стержня  $x_1$  и  $x_2$  в один и тот же момент времени  $t_1 = t_2 = b$ . Их разность  $l = x_2 - x_1$  даст длину стержня, измеренную в системе  $K$ . Чтобы найти соотношение между  $l_0$  и  $l$ , следует взять ту из формул преобразований Лоренца, которая содержит  $x'$ ,  $x$  и  $t$ , т. е. первую из формул (63.16). Заменив в этой формуле  $\beta$  через  $v_0/c$ , получим

$$x'_1 = \frac{x_1 - v_0 b}{\sqrt{1 - v_0^2/c^2}}, \quad x'_2 = \frac{x_2 - v_0 b}{\sqrt{1 - v_0^2/c^2}},$$

откуда

$$x'_2 - x'_1 = \frac{x_2 - x_1}{\sqrt{1 - v_0^2/c^2}}.$$

Воспользовавшись обозначениями  $l$  и  $l_0$ , а также заменив относительную скорость систем отсчета  $v_0$  равной ей скоростью  $v$  стержня относительно системы  $K$ , придем к соотношению

$$l = l_0 \sqrt{1 - v^2/c^2}. \quad (64.1)$$

Таким образом, длина стержня  $l$ , измеренная в системе, относительно которой он движется, оказывается меньше длины  $l_0$ , измеренной в системе, относительно которой стержень покоится <sup>1)</sup>.

Если стержень длины  $l_0 = x_2 - x_1$  покоится относительно системы  $K$ , то для определения его длины в системе  $K'$  нужно отметить координаты концов  $x'_1$  и  $x'_2$  в один и тот же момент времени  $t'_1 = t'_2 = b$ . Разность  $l = x'_2 - x'_1$  даст длину стержня в системе  $K'$ , относительно которой он движется со скоростью  $v$ . Используя первое из уравнений (63.15), снова придем к соотношению (64.1).

Заметим, что в направлении осей  $y$  и  $z$  размеры стержня одинаковы во всех системах отсчета.

Итак, у движущихся тел размеры их в направлении движения сокращаются тем больше, чем больше скорость движения. Это явление называется **л о р е н ц е в ы м** (или **фитцджеральдовым**) **с о к р а щ е н и е м**. Любопытно, что визуально (или на фотографии) изменение формы тел, даже при сравнимых с  $c$  скоростях, не может быть обнаружено. Причина этого весьма проста. Наблюдая визуально или фотографируя какое-либо тело, мы регистрируем импульсы света от разных участков тела, достигшие одновременно

<sup>1)</sup> Иногда длину  $l_0$ , измеренную в системе, относительно которой стержень покоится, называют **собственной длиной** стержня.

сетчатки глаза или фотопластины. Испускаются же эти импульсы неодновременно. Импульсы от более удаленных участков были испущены раньше, чем от более близких участков. Таким образом, если тело движется, на сетчатке глаза или на фотоснимке получается искаженное изображение тела. Соответствующий расчет показывает, что следствием указанного искажения будет компенсация лоренцева сокращения<sup>1)</sup>, так что тела кажутся не искаженными, а лишь повернутыми. Следовательно, тело сферической формы даже при больших скоростях движения будет восприниматься визуально как тело сферического очертания.

**Промежуток времени между событиями.** Пусть в одной и той же точке системы  $K'$  происходят два события. Первому событию соответствует в этой системе координата  $x'_1 = a$  и момент времени  $t'_1$ , второму событию — координата  $x'_2 = a$  и момент времени  $t'_2$ . Согласно последней из формул (63.15) этим событиям соответствуют в системе  $K$  моменты времени

$$t_1 = \frac{t'_1 + (v_0/c^2) a}{\sqrt{1 - v_0^2/c^2}}, \quad t_2 = \frac{t'_2 + (v_0/c^2) a}{\sqrt{1 - v_0^2/c^2}}$$

(мы заменили  $\beta$  через  $v_0/c$ ). Отсюда

$$t_2 - t_1 = \frac{t'_2 - t'_1}{\sqrt{1 - v_0^2/c^2}}.$$

Введя обозначения  $t_2 - t_1 = \Delta t$  и  $t'_2 - t'_1 = \Delta t'$ , получим формулу

$$\Delta t = \frac{\Delta t'}{\sqrt{1 - v_0^2/c^2}}, \quad (64.2)$$

которая связывает промежутки времени между двумя событиями, измеренные в системах  $K$  и  $K'$ . Напомним, что в системе  $K'$  оба события происходят в одной и той же точке:  $x'_1 = x'_2$ .

Допустим, что оба события происходят с одной и той же частицей, которая покоится в системе  $K'$  и движется относительно системы  $K$  со скоростью  $v = v_0$ . Тогда  $\Delta t'$  можно трактовать как промежуток времени, измеренный по часам, неподвижным относительно частицы, или, иными словами, измеренный по часам, движущимся вместе с частицей (имеется в виду движение по отношению к системе  $K$ ). Время, отсчитанное по часам, движущимся вместе с телом, называется собственным временем этого тела и обозначается обычно буквой  $\tau$ . Таким образом,  $\Delta t' = \Delta \tau$ . С учетом этого формуле (64.2) можно придать вид

$$\Delta \tau = \Delta t \sqrt{1 - v^2/c^2} \quad (64.3)$$

<sup>1)</sup> Если бы лоренцева сокращения не было, быстро движущиеся тела должны были бы представляться вытянутыми в направлении движения.

(мы заменили относительную скорость систем отсчета  $v_0$  равной ей скоростью  $v$  частицы).

Формула (64.3) связывает собственное время тела  $\tau$  с временем  $t$ , отсчитанным по часам системы отсчета, относительно которой тело движется со скоростью  $v$  (сами эти часы движутся относительно тела со скоростью  $-v$ ). Из (64.3) видно, что собственное время всегда меньше, чем время, отсчитанное по часам, движущимся относительно тела. В следующем параграфе мы покажем, что собственное время есть инвариант (т. е. одинаково во всех системах отсчета).

Рассматривая происходящие с частицей события в системе  $K$ , можно определить  $\Delta t$  как промежуток времени, измеренный по неподвижным часам, а  $\Delta \tau$  — как промежуток времени, измеренный по часам, движущимся со скоростью  $v$ . Согласно (64.3)  $\Delta \tau < \Delta t$ ; поэтому можно сказать, что движущиеся часы идут медленнее, чем покоящиеся часы (имеется в виду, что во всем, кроме скорости движения, часы совершенно идентичны).

Соотношение (64.3) получило непосредственное экспериментальное подтверждение. В составе космических лучей имеются частицы, именуемые  $\mu$ -мезонами или мюонами. Эти частицы нестабильны — они распадаются самопроизвольно на электрон (или позитрон) и два нейтрино. Среднее время жизни, измеренное в условиях, когда они неподвижны (или движутся с малой скоростью), составляет около  $2 \cdot 10^{-6}$  с. Казалось бы, что, даже двигаясь со скоростью света, мюоны могут пройти лишь путь порядка 600 м. Однако, как показывают наблюдения, мюоны образуются в космических лучах на высоте 20—30 км и успевают в значительном количестве достигнуть земной поверхности. Это объясняется тем, что  $2 \cdot 10^{-6}$  с — собственное время жизни мюона, т. е. время, измеренное по часам, движущимся вместе с ним. Время, отсчитанное по часам экспериментатора, связанного с Землей, оказывается гораздо большим (см. формулу (64.3);  $v$  мюона близка к  $c$ ). Поэтому нет ничего удивительного в том, что этот экспериментатор наблюдает пробег мюона, значительно больший 600 м. Отметим, что с позиции наблюдателя, движущегося вместе с мюоном, расстояние, пролетаемое им до поверхности Земли, сокращается до 600 м (см. формулу (64.1)), так что мюон успевает пролететь это расстояние за  $2 \cdot 10^{-6}$  с.

## § 65. Интервал

В § 62 было указано, что каждому событию можно сопоставить в воображаемом четырехмерном пространстве мировую точку с координатами  $ct, x, y, z$ . Пусть одно событие имеет координаты  $ct_1, x_1, y_1, z_1$ , другое — координаты  $ct_2, x_2, y_2, z_2$ . Введем обозначения:  $t_2 - t_1 = \Delta t$ ,  $x_2 - x_1 = \Delta x$  и т. д.

Напомним, что вследствие качественного различия между временем и пространством квадрат разности временных координат

(с  $\Delta t$ )<sup>2</sup> и квадраты разностей пространственных координат  $\Delta x^2$ ,  $\Delta y^2$ ,  $\Delta z^2$  входят в выражение для квадрата «расстояния» между событиями (точнее, между отвечающими событиям мировыми точками) с разными знаками:

$$\Delta s^2 = c^2 \Delta t^2 - \Delta x^2 - \Delta y^2 - \Delta z^2. \quad (65.1)$$

Определяемая этой формулой величина  $\Delta s$  называется интервалом между событиями.

Введя расстояние  $\Delta l = \sqrt{\Delta x^2 + \Delta y^2 + \Delta z^2}$  между точками обычного трехмерного пространства, в которых произошли рассматриваемые события, выражение для интервала можно представить в виде

$$\Delta s = \sqrt{c^2 \Delta t^2 - \Delta l^2}. \quad (65.2)$$

Легко убедиться в том, что интервал между двумя данными событиями одинаков во всех инерциальных системах отсчета. Именно это обстоятельство послужило основанием для того, чтобы считать его аналогом расстояния  $\Delta l$  между двумя точками в обычном трехмерном пространстве ( $\Delta l$  не изменяет своего значения при переходе от одной трехмерной системы отсчета к другой).

Пусть в системе отсчета  $K$  квадрат интервала определяется формулой (65.1). Квадрат интервала между теми же событиями в системе  $K'$  равен

$$\Delta s'^2 = c^2 \Delta t'^2 - \Delta x'^2 - \Delta y'^2 - \Delta z'^2. \quad (65.3)$$

Согласно формулам (63.16)

$$\Delta x' = \frac{\Delta x - \beta c \Delta t}{\sqrt{1 - \beta^2}}, \quad \Delta y' = \Delta y, \quad \Delta z' = \Delta z, \quad \Delta t' = \frac{\Delta t - (\beta/c) \Delta x}{\sqrt{1 - \beta^2}}.$$

Подставив эти значения в формулу (65.3), после несложных преобразований получим, что  $\Delta s'^2 = c^2 \Delta t'^2 - \Delta x'^2 - \Delta y'^2 - \Delta z'^2$ , т. е. что

$$\Delta s'^2 = \Delta s^2.$$

Таким образом, интервал является инвариантом по отношению к переходу от одной инерциальной системы отсчета к другой. В предыдущем параграфе мы видели, что промежутки времени  $\Delta t$  и длины  $\Delta l$  по отношению к такому переходу не являются инвариантами. Следовательно, каждое из слагаемых, образующих величину  $\Delta s^2 = c^2 \Delta t^2 - \Delta l^2$ , изменяется при переходе от одной системы к другой; сама же величина  $\Delta s^2$  остается неизменной.

Интервал между двумя событиями, происшедшими с некоторой частицей, находится в простом соотношении с промежутком собственного времени между этими событиями. Согласно (64.3) промежуток собственного времени  $\Delta \tau$  связан с промежутком времени  $\Delta t$ , отсчитанным по часам системы, относительно которой частица дви-

жется со скоростью  $v$ , формулой

$$\Delta\tau = \Delta t \sqrt{1 - v^2/c^2}.$$

Преобразуем эту формулу следующим образом:

$$\Delta\tau = \frac{1}{c} \sqrt{c^2 \Delta t^2 - (v \Delta t)^2} = \frac{1}{c} \sqrt{c^2 \Delta t^2 - \Delta l^2}.$$

Здесь  $\Delta l = v \Delta t$  есть путь, проходимый частицей за время  $\Delta t$ . Сравнение с (65.2) дает, что

$$\Delta\tau = \frac{1}{c} \Delta s, \quad (65.4)$$

где  $\Delta s$  — интервал между событиями, разделенными промежутком времени  $\Delta\tau$ .

Из формулы (65.4) вытекает, что промежуток собственного времени пропорционален интервалу между событиями. Интервал является инвариантом. Следовательно, собственное время также является инвариантом, т. е. не зависит от того, в какой системе отсчета наблюдается движение данного тела.

В соответствии с формулой (65.2) интервал может быть вещественным (если  $c \Delta t > \Delta l$ ) либо мнимым (если  $c \Delta t < \Delta l$ ), в частном случае интервал может оказаться равным нулю (если  $c \Delta t = \Delta l$ ). Последний случай имеет место для событий, заключающихся в испускании светового сигнала из точки  $x_1, y_1, z_1$  в момент  $t_1$  и приходе этого сигнала в точку  $x_2, y_2, z_2$  в момент  $t_2$ . Поскольку в этом случае  $\Delta l = c \Delta t$ , интервал между событиями равен нулю.

В силу инвариантности интервал, вещественный (мнимый) в одной какой-либо системе отсчета  $K$ , будет вещественным (мнимым) в любой другой инерциальной системе  $K'$ .

В случае вещественного интервала

$$c^2 \Delta t^2 - \Delta l^2 = c^2 \Delta t'^2 - \Delta l'^2 > 0.$$

Из этого соотношения следует, что можно найти такую систему  $K'$ , в которой  $\Delta l' = 0$ , т. е. оба события оказываются пространственно совмещенными. Однако не существует такой системы отсчета, в которой было бы  $\Delta t' = 0$  (при таком значении  $\Delta l'$  интервал стал бы мнимым). Таким образом, события, разделенные вещественным интервалом, ни в одной из систем отсчета не могут стать одновременными. По этой причине вещественные интервалы называются **временеподобными**.

Заметим, что события, происходящие с одной и той же частицей (имеется в виду частица с отличной от нуля массой покоя), могут быть разделены только времениподобным интервалом. Действительно, скорость такой частицы  $v$  всегда меньше  $c$ ; следовательно, путь  $\Delta l$ , пройденный частицей, меньше  $c \Delta t$ , откуда вытекает,

что  $\Delta s^2 > 0$ . Согласно последней из формул (63.16)

$$\Delta t' = \frac{\Delta t - (\beta/c) \Delta x}{\sqrt{1-\beta^2}}. \quad (65.5)$$

Если промежутки  $\Delta t$  и  $\Delta x$  разделяют события, происшедшие с той же самой частицей, то  $\Delta x/\Delta t$  дает компоненту скорости частицы  $v_x$ . Поэтому формулу (65.5) можно при этом условии записать в виде

$$\Delta t' = \frac{\Delta t - (\beta/c) (\Delta x/\Delta t) \Delta t}{\sqrt{1-\beta^2}} = \frac{\Delta t}{\sqrt{1-\beta^2}} \left(1 - \beta \frac{v_x}{c}\right).$$

Поскольку и  $\beta = v_0/c$ , и  $v_x/c$  меньше единицы, скобка в правой части равенства для всех систем  $K'$  положительна. Отсюда следует, что знак  $\Delta t'$  одинаков со знаком  $\Delta t$ . Это означает, что два события, происходящие с некоторой частицей, во всех системах совершаются в одинаковой последовательности. Например, рождение частицы во всех системах отсчета предшествует ее распаду.

В случае мнимого интервала

$$c^2 \Delta t'^2 - \Delta l'^2 = c^2 \Delta t'^2 - \Delta l'^2 < 0.$$

Отсюда вытекает, что можно найти такую систему  $K'$ , в которой  $\Delta t' = 0$ , т. е. оба события происходят в один и тот же момент времени  $t'$ . Однако не существует такой системы отсчета, в которой было бы  $\Delta l' = 0$  (при таком значении  $\Delta l'$  интервал стал бы вещественным). Таким образом, события, разделенные мнимым интервалом, ни в одной из систем отсчета не могут оказаться пространственно совмещенными. По этой причине мнимые интервалы называются пространственно подобными.

Расстояние  $\Delta l$  между точками, в которых происходят события, разделенные пространственно подобным интервалом, превышает  $c \Delta t$ . Поэтому рассматриваемые события никак не могут оказать влияние друг на друга, т. е. не могут быть причинно связанными друг с другом (напомним, что не существует воздействий, распространяющихся со скоростью, большей чем  $c$ ).

Причинно связанные события могут быть разделены лишь времениподобным либо нулевым интервалом.

## § 66. Преобразование и сложение скоростей

Рассмотрим движение материальной точки. В системе  $K$  положение точки определяется в каждый момент времени  $t$  координатами  $x$ ,  $y$ ,  $z$ . Выражения

$$v_x = \frac{dx}{dt}, \quad v_y = \frac{dy}{dt}, \quad v_z = \frac{dz}{dt}$$

представляют собой проекции на оси  $x$ ,  $y$ ,  $z$  вектора скорости точки

относительно системы  $K$ . В системе  $K'$  положение точки характеризуется каждый момент времени  $t'$  координатами  $x'$ ,  $y'$ ,  $z'$ . Проекции на оси  $x'$ ,  $y'$ ,  $z'$  вектора скорости точки относительно системы  $K'$  определяются выражениями

$$v'_x = \frac{dx'}{dt'}, \quad v'_y = \frac{dy'}{dt'}, \quad v'_z = \frac{dz'}{dt'}.$$

Из формул (63.15) вытекает, что

$$dx = \frac{dx' + v_0 dt'}{\sqrt{1 - v_0^2/c^2}}, \quad dy = dy', \quad dz = dz', \quad dt = \frac{dt' + (v_0/c^2) dx'}{\sqrt{1 - v_0^2/c^2}}$$

(мы заменили  $\beta$  через  $v_0/c$ ). Разделив первые три равенства на четвертое, получим формулы преобразования скоростей при переходе от одной системы отсчета к другой:

$$v_x = \frac{v'_x + v_0}{1 + v_0 v'_x/c^2}, \quad v_y = \frac{v'_y \sqrt{1 - v_0^2/c^2}}{1 + v_0 v'_x/c^2}, \quad v_z = \frac{v'_z \sqrt{1 - v_0^2/c^2}}{1 + v_0 v'_x/c^2}. \quad (66.1)$$

В случае, когда  $v_0 \ll c$ , соотношения (66.1) переходят в формулы сложения скоростей (12.2) классической механики.

Из формул (63.16) легко получить выражения для скоростей в системе  $K'$  через скорости в системе  $K$ :

$$v'_x = \frac{v_x - v_0}{1 - v_0 v_x/c^2}, \quad v'_y = \frac{v_y \sqrt{1 - v_0^2/c^2}}{1 - v_0 v_x/c^2}, \quad v'_z = \frac{v_z \sqrt{1 - v_0^2/c^2}}{1 - v_0 v_x/c^2}. \quad (66.2)$$

Эти формулы отличаются от формул (66.1) лишь знаком перед  $v_0$ . Такой результат, конечно, можно было предвидеть заранее.

Если тело движется параллельно оси  $x$ , его скорость  $v$  относительно системы  $K$  совпадает с  $v_x$ , а скорость  $v'$  относительно системы  $K'$  — с  $v'_x$ . В этом случае закон сложения скоростей имеет вид

$$v = \frac{v' + v_0}{1 + v_0 v'/c^2}. \quad (66.3)$$

Пусть скорость  $v'$  равна  $c$ . Тогда для  $v$  получается по формуле (66.3) значение

$$v = \frac{c + v_0}{1 + v_0 c/c^2} = c.$$

Этот результат не является удивительным, так как в основе преобразований Лоренца (а следовательно, и формул сложения скоростей) лежит утверждение, что скорость света одинакова во всех системах отсчета. Положив в формуле (66.3)  $v' = v_0 = c$ , получим для  $v$  также значение, равное  $c$ . Таким образом, если складываемые скорости  $v'$  и  $v_0$  не превышают  $c$ , то и результирующая скорость  $v$  не может превысить  $c$ .

## § 67. Релятивистское выражение для импульса

Уравнения Ньютона инвариантны по отношению к преобразованиям Галилея (см. § 12). Однако по отношению к преобразованиям Лоренца они оказываются не инвариантными. В частности, не инвариантен по отношению к преобразованиям Лоренца вытекающий из законов Ньютона закон сохранения импульса (см. § 27). Чтобы убедиться в этом, рассмотрим, как выглядит в системах  $K$  и  $K'$  абсолютно неупругий удар двух одинаковых шаров массы  $m$  (рис. 67.1).

Пусть в системе  $K$  шары движутся навстречу друг другу вдоль оси  $x$  с одинаковыми по величине скоростями, проекции которых на ось  $x$  равны:  $v_{x1} = v_0$  и  $v_{x2} = -v_0$  ( $v_0$  — относительная скорость систем  $K$  и  $K'$ ). При этих условиях после столкновения шары будут

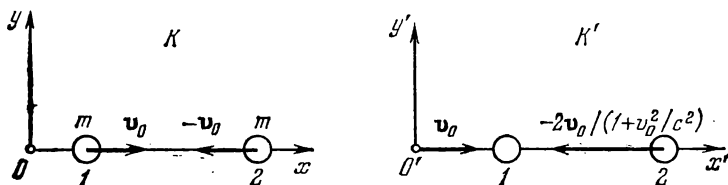


Рис. 67.1.

покоиться:  $v_{x1} = v_{x2} = 0$ . Таким образом, полный импульс системы и до, и после столкновения равен нулю — в системе  $K$  импульс сохраняется.

Теперь рассмотрим тот же процесс в системе  $K'$ . Воспользовавшись первой из формул (66.2), найдем для скоростей шаров до столкновения значения  $v'_{x1} = 0$  и  $v'_{x2} = -2v_0 / (1 + v_0^2/c^2)$ , а для скоростей шаров после столкновения совпадающее значение  $v'_{x1} = v'_{x2} = -v_0$ . Следовательно, суммарный импульс до столкновения равен  $-2mv_0 / (1 + v_0^2/c^2)$ , а после столкновения составляет  $-2mv_0$ . Если  $v_0 \ll c$ , импульс системы до и после столкновения практически одинаков. Однако при движении шаров с большой скоростью  $v_0$  различие начального и конечного импульсов делается весьма ощутимым. Таким образом, воспользовавшись ньютоновским выражением для импульса, мы пришли к выводу, будто в системе  $K'$  импульс не сохраняется. Один из основных законов механики — закон сохранения импульса — в ньютоновской формулировке оказывается неинвариантным по отношению к преобразованиям Лоренца.

Попытаемся найти такое выражение для импульса, чтобы закон сохранения импульса был инвариантен по отношению к преобразованиям Лоренца. При этом будем иметь в виду, что при малых скоростях ( $v \ll c$ ) релятивистское выражение для импульса должно

переходить в ньютоновское выражение

$$\mathbf{p} = m\mathbf{v} = m \frac{d\mathbf{r}}{dt}. \quad (67.1)$$

Предположим, что выражение для импульса частицы массы  $m$  имеет вид

$$\mathbf{p} = mf(v) \mathbf{v}, \quad (67.2)$$

где  $\mathbf{v}$  — скорость,  $v$  — модуль скорости частицы,  $f(v)$  — некоторая безразмерная функция  $v$ . Для того чтобы при  $v \ll c$  выражение (67.2) переходило в (67.1), функция  $f(v)$  должна для таких скоростей практически равняться единице.

Рассмотрим абсолютно упругое соударение двух одинаковых частиц массы  $m$  в системе  $K_C$  их центра инерции. В этой системе суммарный импульс частиц равен нулю. Следовательно, скорости частиц одинаковы по модулю и противоположны по направлению (рис. 67.2, а). В силу законов сохранения энергии и импульса скорости частиц после удара должны иметь тот же модуль, что и до удара, а направления скоростей должны быть противоположными.

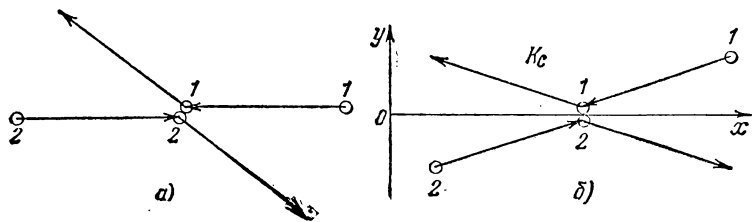


Рис. 67.2.

Выберем оси координат так, чтобы скорости частиц лежали в плоскости  $x, y$  и располагались относительно оси  $x$  симметрично. Тогда соударение частиц в системе  $K_C$  будет выглядеть так, как показано на рис. 67.2, б.

Перейдем от системы отсчета  $K_C$  к системе  $K$ , относительно которой частица 1 движется параллельно оси  $y$ . В этой системе соударение выглядит так, как показано на рис. 67.3, а. Рядом со стрелками, изображающими скорости или их составляющие по координатным осям, указаны модули соответствующих скоростей или составляющих.

Мы исходили из того, что суммарный импульс частиц сохраняется при соударении в системе  $K_C$ . Потребуем, чтобы закон сохранения импульса выполнялся и в системе  $K$ . Из рис. 67.3, а видно, что  $y$ -компонента суммарного импульса частиц в системе  $K$  в результате соударения не изменяется. Должна оставаться неизменной также  $x$ -компонента суммарного импульса

частиц. С учетом (67.2) это запишется аналитически следующим образом:

$$mf(w)(-w) + mf(\sqrt{v^2 + u^2})u = mf(w)w + mf(\sqrt{v^2 + u^2})(-u).$$

Отсюда вытекает, что

$$f(w)w = f(\sqrt{v^2 + u^2})u. \quad (67.3)$$

Найдем связь между  $u$  и  $w$ . Для этого рассмотрим соударение в системе отсчета  $K'$ , относительно которой частица 2 движется параллельно оси  $y'$  (рис. 67.3, б). Значения  $v$ ,  $u$  и  $w$  на рис. 67.3, а и б одни и те же, так как вследствие симметрии задачи при переходе от системы  $K$  к системе  $K'$  частицы обмениваются скоростями.

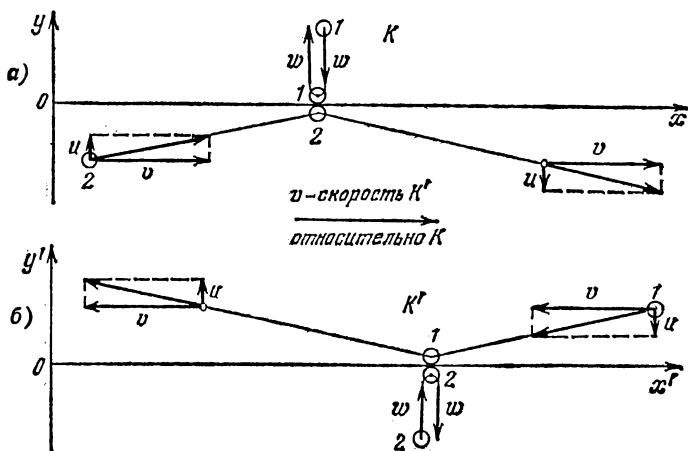


Рис. 67.3.

Воспользуемся формулой преобразования игрековой компоненты скорости. В системе  $K'$  игрековая компонента  $v'_y$  начальной скорости частицы 2 равна  $w$ , а иксовая компонента  $v'_x$  равна нулю. В системе  $K$  игрековая компонента  $v_y$  начальной скорости частицы 2 равна  $u$ . Относительная скорость  $v_0$  систем  $K'$  и  $K$  равна  $v$ . Итак,  $v_y = u$ ,  $v'_y = w$ ,  $v'_x = 0$  и  $v_0 = v$ . Подставив эти значения во вторую из формул (66.1), получим искомую связь между  $u$  и  $w$ :

$$u = w \sqrt{1 - v^2/c^2}.$$

Подстановка этого значения  $u$  в равенство (67.3) дает, что

$$f(w) = f(\sqrt{v^2 + u^2}) \sqrt{1 - v^2/c^2}. \quad (67.4)$$

Пусть  $\omega$  (а значит, и  $u$ ) много меньше  $c$ , в то время как  $v$  порядка  $c$  (частицы летят почти параллельно оси  $x$ ). Тогда  $f(\omega)$  можно положить равной единице, а  $\sqrt{v^2 + u^2}$  считать равным  $v$ . Саму же  $v$  можно рассматривать не как составляющую скорости по оси  $x$ , а как модуль скорости частицы. В этом случае соотношение (67.4) принимает вид

$$1 = f(v) \sqrt{1 - v^2/c^2},$$

откуда

$$f(v) = \frac{1}{\sqrt{1 - v^2/c^2}}.$$

Подстановка этой функции в (67.2) приводит к релятивистскому выражению для импульса:

$$\mathbf{p} = \frac{mv}{\sqrt{1 - v^2/c^2}}. \quad (67.5)$$

Выражение (67.5) можно представить в виде

$$\mathbf{p} = \frac{m}{\sqrt{1 - v^2/c^2}} \frac{d\mathbf{r}}{dt} = m \frac{d\mathbf{r}}{d\tau}, \quad (67.6)$$

где  $d\tau$  — промежуток собственного времени частицы, за который она получает смещение  $d\mathbf{r}$  (см. (64.3)). Отметим, что  $d\mathbf{r}$  в формуле (67.6) есть перемещение частицы в той системе отсчета, в которой определяется импульс  $\mathbf{p}$ ; промежуток времени  $d\tau$  определяется по часам, движущимся вместе с частицей. Масса  $m$  представляет собой инвариантную и, следовательно, не зависящую от скорости тела величину.

Из (67.5) следует, что зависимость импульса от скорости оказывается более сложной, чем это предполагается в ньютоновской механике. При  $v \ll c$  выражение (67.5) переходит в ньютоновское выражение  $\mathbf{p} = m\mathbf{v}$ .

Заметим, что выражение (67.5) допускает следующую, все реже используемую трактовку. Импульс, как и в ньютоновской механике, равен произведению массы тела на его скорость:

$$\mathbf{p} = m_r \mathbf{v}. \quad (67.7)$$

Однако масса тела не является постоянной инвариантной величиной, а зависит от скорости по закону

$$m_r = \frac{m}{\sqrt{1 - v^2/c^2}}. \quad (67.8)$$

При такой трактовке инвариантную массу  $m$  называют *м а с с о й п о к о я* (ее часто обозначают символом  $m_0$ ). Зависящая от скорости неинвариантная масса  $m_r$  носит название *р е л я т и в и с т с к о й м а с с ы* или *м а с с ы д в и ж е н и я*.

### § 68. Релятивистское выражение для энергии

Второй закон Ньютона гласит, что производная импульса частицы (материальной точки) по времени равна результирующей силе, действующей на частицу (см. формулу (9.1)). Уравнение второго закона оказывается инвариантным относительно преобразований Лоренца, если под импульсом подразумевать величину (67.5). Следовательно, релятивистское выражение второго закона Ньютона имеет вид

$$\frac{d}{dt} \left( \frac{m\mathbf{v}}{\sqrt{1-v^2/c^2}} \right) = \mathbf{F}. \quad (68.1)$$

Следует иметь в виду, что соотношение  $m\mathbf{w} = \mathbf{F}$  в релятивистском случае неприменимо, причем ускорение  $\mathbf{w}$  и сила  $\mathbf{F}$ , вообще говоря, оказываются неколлинеарными.

Заметим, что ни импульс, ни сила не являются инвариантными величинами. Формулы преобразования компонент импульса при переходе от одной инерциальной системы отсчета к другой будут получены в следующем параграфе. Формулы преобразования компонент силы мы дадим без вывода:

$$F_x = \frac{F'_x + (\beta/c) \mathbf{F}' \cdot \mathbf{v}'}{1 + \beta (v'_x/c)}, \quad F_y = \frac{F'_y \sqrt{1-\beta^2}}{1 + \beta (v'_x/c)}, \quad F_z = \frac{F'_z \sqrt{1-\beta^2}}{1 + \beta (v'_x/c)} \quad (68.2)$$

( $\beta = v_0/c$ ,  $\mathbf{v}'$  — скорость частицы в системе  $K'$ ). Если в системе  $K'$  действующая на частицу сила  $\mathbf{F}'$  перпендикулярна к скорости частицы  $\mathbf{v}'$ , скалярное произведение  $\mathbf{F}' \cdot \mathbf{v}'$  равно нулю и первая из формул (68.2) упрощается следующим образом:

$$F_x = \frac{F'_x}{1 + \beta (v'_x/c)}. \quad (68.3)$$

Чтобы найти релятивистское выражение для энергии, поступим так же, как мы поступили в § 19. Умножим уравнение (68.1) на перемещение частицы  $d\mathbf{s} = \mathbf{v} dt$ . В результате получим

$$\frac{d}{dt} \left( \frac{m\mathbf{v}}{\sqrt{1-v^2/c^2}} \right) \cdot \mathbf{v} dt = \mathbf{F} \cdot d\mathbf{s}.$$

Правая часть этого соотношения дает работу  $dA$ , совершаемую над частицей за время  $dt$ . В § 19 было показано, что работа результирующей всех сил идет на приращение кинетической энергии частицы (см. формулу (19.11)). Следовательно, левая часть соотношения должна быть истолкована как приращение кинетической энергии  $T$  частицы за время  $dt$ . Таким образом,

$$dT = \frac{d}{dt} \left( \frac{m\mathbf{v}}{\sqrt{1-v^2/c^2}} \right) \cdot \mathbf{v} dt = \mathbf{v} \cdot d \left( \frac{m\mathbf{v}}{\sqrt{1-v^2/c^2}} \right).$$

Преобразуем полученное выражение, приняв во внимание, что  $v dv = d(v^2/2)$  (см. (2.54)):

$$dT = v \left\{ \frac{m dv}{\sqrt{1-v^2/c^2}} + \frac{mv (v dv/c^2)}{(1-v^2/c^2)^{3/2}} \right\} = \frac{m d(v^2/2)}{(1-v^2/c^2)^{3/2}} = \\ = \frac{mc^2 d(v^2/c^2)}{2(1-v^2/c^2)^{3/2}} = d \left( \frac{mc^2}{\sqrt{1-v^2/c^2}} \right).$$

Интегрирование полученного соотношения дает

$$T = \frac{mc^2}{\sqrt{1-v^2/c^2}} + \text{const.} \quad (68.4)$$

По смыслу кинетической энергии она должна обращаться в нуль при  $v=0$ . Отсюда для константы получается значение, равное  $-mc^2$ . Следовательно, релятивистское выражение для кинетической энергии частицы имеет вид

$$T = \frac{mc^2}{\sqrt{1-v^2/c^2}} - mc^2 = mc^2 \left( \frac{1}{\sqrt{1-v^2/c^2}} - 1 \right). \quad (68.5)$$

В случае малых скоростей ( $v \ll c$ ) формулу (68.5) можно преобразовать следующим образом:

$$T = mc^2 \left( \frac{1}{\sqrt{1-v^2/c^2}} - 1 \right) \approx mc^2 \left( 1 + \frac{1}{2} \frac{v^2}{c^2} - 1 \right) = \frac{mv^2}{2}.$$

Мы пришли к ньютоновскому выражению для кинетической энергии частицы. Этого и следовало ожидать, поскольку при скоростях, много меньших скорости света, все формулы релятивистской механики должны переходить в соответствующие формулы ньютоновской механики.

Рассмотрим свободную частицу (т. е. частицу, не подверженную действию внешних сил), движущуюся со скоростью  $v$ . Мы выяснили, что эта частица обладает кинетической энергией, определяемой формулой (68.5). Однако имеются основания (см. ниже) приписать свободной частице, кроме кинетической энергии (68.5), дополнительную энергию, равную

$$E_0 = mc^2. \quad (68.6)$$

Таким образом, полная энергия свободной частицы определяется выражением  $E = T + E_0 = T + mc^2$ . Приняв во внимание (68.5), получим, что

$$E = \frac{mc^2}{\sqrt{1-v^2/c^2}}. \quad (68.7)$$

При  $v=0$  выражение (68.7) переходит в (68.6). Поэтому  $E_0 = mc^2$  называют энергией покоя. Эта энергия представляет собой внутреннюю энергию частицы, не связанную с движением частицы как целого. Формулы (68.6) и (68.7) справедливы не только для

элементарной частицы, но и для сложного тела, состоящего из многих частиц. Энергия  $E_0$  такого тела содержит в себе, помимо энергий покоя входящих в его состав частиц, также кинетическую энергию частиц (обусловленную их движением относительно центра масс тела) и энергию их взаимодействия друг с другом. В энергию покоя, как и в полную <sup>1)</sup> энергию (68.7), не входит потенциальная энергия тела во внешнем силовом поле.

Исключив из уравнений (67.5) и (68.7) скорость  $v$  (уравнение (67.5) нужно взять в скалярном виде), получим выражение полной энергии частицы через импульс  $p$ :

$$E = c \sqrt{p^2 + m^2 c^2}. \quad (68.8)$$

В случае, когда  $p \ll mc$ , эту формулу можно представить в виде

$$E = mc^2 \left( \sqrt{1 + \left(\frac{p}{mc}\right)^2} \approx mc^2 \left[ 1 + \frac{1}{2} \left(\frac{p}{mc}\right)^2 \right] = mc^2 + \frac{p^2}{2m}. \quad (68.9)$$

Полученное выражение отличается от ньютоновского выражения для кинетической энергии  $T = p^2/2m$  слагаемым  $mc^2$ .

Заметим, что из сопоставления выражений (67.5) и (68.7) вытекает формула

$$p = \frac{E}{c^2} v. \quad (68.10)$$

Поясним, почему свободной частице следует приписывать энергию (68.7), а не только кинетическую энергию (68.5). Энергия по своему смыслу должна быть сохраняющейся величиной. Соответствующее рассмотрение показывает, что при столкновениях частиц сохраняется сумма (по частицам) выражений вида (68.7), в то время как сумма выражений (68.5) оказывается несохраняющейся. Невозможно удовлетворить требованию сохранения энергии во всех инерциальных системах отсчета, если не учитывать энергию покоя (68.6) в составе полной энергии.

Кроме того, из выражения (68.7) для энергии и выражения (67.5) для импульса удастся образовать инвариант, т. е. величину, не изменяющуюся при преобразованиях Лоренца. Действительно, из формулы (68.8) вытекает, что

$$\frac{E^2}{c^2} - p^2 = m^2 c^2 = \text{inv} \quad (68.11)$$

(напомним, что масса  $m$  и скорость  $c$  являются инвариантными величинами). Эксперименты над быстрыми частицами подтверждают

<sup>1)</sup> Отметим, что термин «полная энергия» имеет в релятивистской механике иной смысл, чем в ньютоновской механике. В ньютоновской механике полной энергией называется сумма кинетической и потенциальной энергий частицы. В релятивистской механике под полной энергией понимается сумма кинетической энергии и энергии покоя частицы.

инвариантность величины (68.11) Если под  $E$  в (68.11) понимать кинетическую энергию (68.5), выражение (68.11) оказывается не инвариантным.

Получим еще одно выражение для релятивистской энергии. Из формулы (64.3) следует, что

$$\frac{1}{\sqrt{1-v^2/c^2}} = \frac{dt}{d\tau}, \quad (68.12)$$

где  $dt$  — промежуток времени между двумя происходящими с частицей событиями, отсчитанный по часам той системы отсчета, относительно которой частица движется со скоростью  $v$ ,  $d\tau$  — тот же промежуток времени, отсчитанный по часам, движущимся вместе с частицей (промежуток собственного времени). Подставив (68.12) в формулу (68.7), получим выражение

$$E = mc^2 \frac{dt}{d\tau}. \quad (68.13)$$

Этой формулой мы воспользуемся в следующем параграфе.

### § 69. Преобразования импульса и энергии

Полная энергия  $E$  и импульс  $p$  не являются инвариантами. Действительно, обе величины зависят от  $v$ , скорость же в различных системах отсчета имеет неодинаковое значение. Выясним, как преобразуются энергия и импульс при переходе от одной системы отсчета к другой.

Рассмотрим элементарное перемещение некоторой частицы. Пусть в системе отсчета  $K$  это перемещение осуществляется за время  $dt$ , а компоненты перемещения равны  $dx, dy, dz$ . В системе  $K'$  то же самое перемещение происходит за время  $dt'$ , а его компоненты равны  $dx', dy', dz'$ . В соответствии с формулами (63.17) между промежутками времени и компонентами перемещения имеются соотношения

$$dx = \frac{dx' + \beta c dt'}{\sqrt{1-\beta^2}}, \quad dy = dy', \quad dz = dz', \quad c dt = \frac{c dt' + \beta dx'}{\sqrt{1-\beta^2}}.$$

Умножим эти формулы на массу частицы  $m$  и разделим на соответствующее промежуткам  $dt$  и  $dt'$  собственное время частицы  $d\tau$  (напомним, что масса и собственное время являются инвариантными величинами, т. е. имеют одинаковое значение в обеих системах). В результате получим

$$\begin{aligned} m \frac{dx}{d\tau} &= \frac{m (dx'/d\tau) + \beta mc (dt'/d\tau)}{\sqrt{1-\beta^2}}, \\ m \frac{dy}{d\tau} &= m \frac{dy'}{d\tau}, \quad m \frac{dz}{d\tau} = m \frac{dz'}{d\tau}, \\ mc \frac{dt}{d\tau} &= \frac{mc (dt'/d\tau) + \beta m (dx'/d\tau)}{\sqrt{1-\beta^2}}. \end{aligned} \quad (69.1)$$

Согласно (67.6)  $m(dx/d\tau)=p_x$ ,  $m(dx'/d\tau)=p'_x$ ,  $m(dy/d\tau)=p_y$  и т. д. В соответствии с (68.13)  $mc(dt/d\tau)=E/c$ ,  $mc(dt'/d\tau)=E'/c$ . С учетом этого формулы (69.1) можно представить в виде

$$p_x = \frac{p'_x + \beta(E'/c)}{\sqrt{1-\beta^2}}, \quad p_y = p'_y, \quad p_z = p'_z, \quad (E/c) = \frac{(E'/c) + \beta p'_x}{\sqrt{1-\beta^2}}. \quad (69.2)$$

Мы получили формулы, по которым преобразуются импульс и энергия частицы при переходе от одной инерциальной системы отсчета к другой. Эти формулы совпадают с формулами (63.17), по которым преобразуются координаты и время. Чтобы легче было производить сопоставление, напомним формулы (63.17) и (69.2) рядом:

$$\begin{aligned} x &= \frac{x' + \beta(ct')}{\sqrt{1-\beta^2}}, & p_x &= \frac{p'_x + \beta(E'/c)}{\sqrt{1-\beta^2}}, \\ y &= y', \quad z = z', & p_y &= p'_y, \quad p_z = p'_z, \\ (ct) &= \frac{(ct') + \beta x'}{\sqrt{1-\beta^2}}, & (E/c) &= \frac{(E'/c) + \beta p'_x}{\sqrt{1-\beta^2}}. \end{aligned} \quad (69.3)$$

Из сопоставления следует, что компоненты импульса ведут себя при преобразованиях как координаты, а энергия — как время.

Вскрываемая формулами (69.3) аналогия позволяет представить математический аппарат релятивистской механики в виде соотношений между векторами в воображаемом четырехмерном пространстве (четырехвекторами). В § 62 мы уже отмечали, что этому пространству приходится приписывать необычные свойства, отличные от свойств привычного нам евклидова пространства. В трехмерном евклидовом пространстве величина

$$\Delta l^2 = \Delta x^2 + \Delta y^2 + \Delta z^2$$

является инвариантом, т. е. не изменяется при поворотах координатных осей. В противоположность этому величина

$$c^2 \Delta t^2 + \Delta x^2 + \Delta y^2 + \Delta z^2 \quad (69.4)$$

оказывается не инвариантной — она не сохраняется при переходе от одной инерциальной системы отсчета к другой (такой переход можно представить как поворот осей в четырехмерном пространстве). Следовательно, величина (69.4) не обладает свойствами квадрата расстояния между двумя мировыми точками. Инвариантным, как мы выяснили в § 65, является выражение

$$\Delta s^2 = c^2 \Delta t^2 - \Delta x^2 - \Delta y^2 - \Delta z^2, \quad (69.5)$$

которое и следует рассматривать как квадрат расстояния между

двумя точками в интересующем нас четырехмерном пространстве <sup>1)</sup>).

Наделив четырехмерное пространство такими свойствами, мы можем рассматривать величины  $ct$ ,  $x$ ,  $y$ ,  $z$  как компоненты четырехвектора, проведенного из начала координат в данную мировую точку. Соответственно с  $\Delta t$ ,  $\Delta x$ ,  $\Delta y$  и  $\Delta z$  можно рассматривать как компоненты четырехвектора — перемещения из одной мировой точки в другую. В трехмерном евклидовом пространстве, кроме радиуса-вектора и вектора перемещения, рассматриваются и другие векторы (скорости, ускорения, силы и т. д.), причем для любого вектора **a** величина

$$a^2 = a_x^2 + a_y^2 + a_z^2$$

является инвариантом. Компоненты любого такого вектора преобразуются при поворотах координатных осей по таким же формулам, как и координаты.

По аналогии с трехмерными векторами в евклидовом пространстве можно определить четырехмерные векторы. Под четырехмерным вектором понимают совокупность четырех величин  $a_t$ ,  $a_x$ ,  $a_y$ ,  $a_z$ , преобразующихся по тем же формулам, что и  $ct$ ,  $x$ ,  $y$ ,  $z$  (см. левый столбец формул (69.3)). «Квадрат» такого вектора следует определить как

$$a_t^2 - a_x^2 - a_y^2 - a_z^2. \quad (69.6)$$

Вследствие того, что компоненты преобразуются так же, как координаты, выражение (69.6) оказывается инвариантным по отношению к преобразованиям Лоренца.

Из формул (69.3) следует, что совокупность величин

$$E/c, \quad p_x, \quad p_y, \quad p_z \quad (69.7)$$

образует четырехвектор. Его называют **вектором энергии и импульса**. Образованное из компонент (69.7) выражение вида (69.6) является, как мы установили (см. (68.11)), инвариантом:

$$(E/c)^2 - p_x^2 - p_y^2 - p_z^2 = m^2 c^2.$$

## § 70. Взаимосвязь массы и энергии

Воспользовавшись релятивистской массой (см. (67.8)), формулу (68.7) можно написать в виде

$$E = m_r c^2. \quad (70.1)$$

Из этого соотношения вытекает, что энергия тела и его релятивистская масса всегда пропорциональны друг другу. Всякое <sup>2)</sup> изме-

<sup>1)</sup> Разумеется, можно рассматривать и евклидово четырехмерное пространство. Однако такое пространство для нужд релятивистской механики оказывается непригодным.

<sup>2)</sup> За исключением изменения потенциальной энергии во внешнем поле сил.

нение энергии тела  $\Delta E$  сопровождается изменением релятивистской массы тела  $\Delta m_r = \Delta E/c^2$  и, наоборот, всякое изменение релятивистской массы  $\Delta m_r$  сопровождается изменением энергии тела

$$\Delta E = c^2 \Delta m_r. \quad (70.2)$$

Это утверждение носит название закона взаимосвязи релятивистской массы и энергии <sup>1)</sup>.

Пропорциональность между релятивистской массой и энергией приводит к тому, что утверждение о сохранении суммарной релятивистской массы частиц представляет собой сказанное иными словами утверждение о сохранении суммарной полной энергии. В связи с этим не принято говорить о законе сохранения релятивистской массы как об отдельном законе.

В противоположность релятивистской массе суммарная масса покоя системы взаимодействующих частиц не сохраняется. Например, при неупругом соударении двух частиц, наблюдаемом в системе их центра масс, масса покоя образовавшейся частицы равна

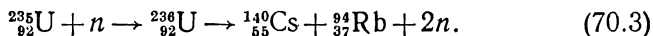
$$m_\Sigma = m_1 + m_2 + (T_1 + T_2)/c^2,$$

где  $m_1$  и  $T_1$  — масса покоя и кинетическая энергия первой исходной частицы,  $m_2$  и  $T_2$  — масса покоя и кинетическая энергия второй частицы. Таким образом,

$$m_\Sigma > m_1 + m_2.$$

В рассмотренном случае кинетическая энергия исходных частиц превратилась во внутреннюю энергию образовавшейся частицы, в результате чего масса покоя этой частицы превысила сумму масс покоя исходных частиц.

Работа атомных электростанций основывается на цепной реакции деления ядер урана  $^{235}_{92}\text{U}$  (или плутония) при захвате медленных нейтронов  $n$  <sup>2)</sup>. Деление осуществляется разными путями. Один из них выглядит следующим образом:



Захватив нейтрон, ядро урана распадается на ядро цезия с массовым числом 140 и ядро рубидия с массовым числом 94. Кроме того, выделяется два нейтрона. Суммарная масса покоя урана-235 и нейтрона превосходит суммарную массу покоя частиц в правой части формулы (70.3) примерно на  $4 \cdot 10^{-28}$  кг. Отвечающая этому

<sup>1)</sup> Иногда говорят об эквивалентности массы и энергии, подразумевая их взаимосвязь и пропорциональность друг другу.

<sup>2)</sup> Символ  $^{235}_{92}\text{U}$  обозначает изотоп урана с массовым числом, равным 235. Ядро атома этого изотопа состоит из 92 протонов и  $235 - 92 = 143$  нейтронов. Символом  $n$  обозначается нейтрон.

избытку массы внутренняя энергия, равная

$$E = c^2 \Delta m = (3 \cdot 10^8)^2 \cdot 4 \cdot 10^{-28} \approx 4 \cdot 10^{-11} \text{ Дж},$$

превращается в кинетическую энергию образующихся частиц (осколков деления) и в энергию электромагнитного излучения, возникающего при делении.

### § 71. Частицы с нулевой массой <sup>1)</sup>

Положив в формуле (68.8)  $m$  равной нулю, получим соотношение

$$E = cp, \quad (71.1)$$

которое согласуется с (68.10) только при условии, что  $v = c$ . Отсюда следует, что частица с нулевой массой всегда движется со скоростью света в вакууме. К числу таких частиц принадлежит световая частица, называемая фотоном. До недавнего времени полагали, что нулевую массу имеет также элементарная частица, называемая нейтрино. Однако в 1980 г. В. А. Любимов с сотрудниками получил экспериментально для массы нейтрино значение  $6 \cdot 10^{-35}$  кг (1/15 000 массы электрона). Эти данные не были пока подтверждены в других экспериментах, в связи с чем не могут считаться окончательными.

Энергия фотона определяется формулой

$$E = h\nu, \quad (71.2)$$

где  $h$  — постоянная Планка,  $\nu$  — частота света. В соответствии с (71.1) фотон обладает импульсом

$$p = h\nu/c. \quad (71.3)$$

Свет представляет собой поток фотонов. При поглощении света или отражении его от поверхности какого-либо тела этому телу сообщается импульс, что проявляется в виде давления, оказываемого светом на тело. Световое давление измерил П. Н. Лебедев в 1900 г. Результаты измерений оказались в полном согласии с формулой (71.3).

Общая теория относительности (ОТО) представляет собой релятивистскую теорию гравитации. В случае слабых гравитационных полей и малых скоростей ( $v \ll c$ ) эта теория переходит в ньютоновскую теорию (в закон всемирного тяготения). Фотон движется со скоростью  $c$ ; поэтому формулы ньютоновской теории к нему неприменимы.

<sup>1)</sup> Имеется в виду инвариантная масса, называемая в научно-популярной литературе и некоторых учебниках массой покоя.

Согласно ОТО воздействие гравитационного поля на частицу определяется ее энергией и импульсом, а не массой<sup>1)</sup>. Поэтому, хотя фотон и безмассовая частица, он подвержен действию гравитационных полей.

Для случая, когда фотон движется «вдоль» гравитационного поля (т. е. вдоль линий поля), результаты расчета, даваемые ОТО, совпадают с результатами, получающимися в ньютоновской теории для частицы с массой  $m = h\nu/c^2$ . Однако в случае, когда фотон движется «поперек» поля, результаты ОТО и ньютоновской теории резко расходятся, причем с экспериментом согласуются данные, получаемые ОТО. Поэтому нельзя считать, что фотон обладает массой  $h\nu/c^2$ , — фотон безмассовая частица.

Фотоны, приходящие на Землю от Солнца, движутся вдоль линий гравитационных полей. В поле Солнца силы тяготения совершают над фотоном отрицательную работу, в поле Земли работа сил поля положительна. Однако поле Солнца намного сильнее поля Земли. Поэтому в сумме совершаемая над фотоном работа отрицательна, что приводит к уменьшению энергии фотона. Согласно (71.2) уменьшение энергии сопровождается уменьшением частоты света. Это уменьшение носит название гравитационного красного смещения (частота красного света меньше, чем фиолетового).

В непосредственной близости к поверхности Земли над летящим по вертикали фотоном совершается работа  $\pm (h\nu/c^2) gl$ , где  $l$  — пройденный по вертикали путь; плюс соответствует движению фотона вниз, минус — движению вверх. Приравняв эту работу приращению энергии фотона, получим  $\Delta E = h\Delta\nu = \pm (h\nu/c^2) gl$ . Отсюда получается формула для относительного изменения частоты фотона:

$$\Delta\nu/\nu = \pm gl/c^2. \quad (71.4)$$

В 1960 г. американские ученые Паунд и Ребка измерили изменение частоты фотона, возникающее при прохождении им по вертикали вблизи поверхности Земли пути  $l = 21$  м. Подстановка в (71.4) значений  $g$ ,  $l$  и  $c$  дает, что  $\Delta\nu/\nu = 2 \cdot 10^{-15}$ . Полученный результат совпал с расчетным с точностью 15%.

<sup>1)</sup> Гравитационное притяжение частицы пропорционально величине, называемой тензором энергии-импульса.

## ГЛАВА IX

### ГИДРОДИНАМИКА

#### § 72. Линии и трубки тока. Неразрывность струи

Кроме механики материальной точки и механики твердого тела, которые рассматривались в предыдущих главах, существует еще механика сплошных сред. Эта наука охватывает гидродинамику, газовую динамику, теорию упругости <sup>1)</sup> и ряд других дисциплин, рассматривающих вещество как непрерывную среду. Гидродинамика представляет собой раздел механики сплошных сред, в котором изучается движение несжимаемых жидкостей и взаимодействие несжимаемых жидкостей с твердыми телами.

Чтобы описать движение жидкости, можно задать положение каждой частицы жидкости как функцию времени. Такой способ описания разрабатывался Лагранжем. Но можно следить не за частицами жидкости, а за отдельными точками пространства, и отмечать скорость, с которой проходят через каждую данную точку отдельные частицы жидкости. Второй способ называется методом Эйлера.

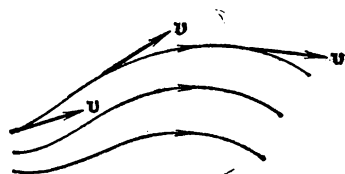


Рис. 72.1.

Состояние движения жидкости можно определить, указав для каждой точки пространства вектор скорости как функцию времени. Совокупность векторов  $\mathbf{v}$ , заданных для всех точек пространства, образует так называемое поле скорости, которое можно изобразить следующим образом. Проведем в движущейся жидкости линии так, чтобы касательная к ним в каждой точке совпадала по направлению с вектором  $\mathbf{v}$  (рис. 72.1). Эти линии называются **линиями тока**. Условимся проводить линии тока так, чтобы густота их (которая характеризуется отношением числа линий  $\Delta N$  к величине перпендикулярной к ним площади

<sup>1)</sup> Некоторые вопросы теории упругости затрагивались в §§ 14 и 25.

$\Delta S$ , через которую они проходят) была пропорциональна величине скорости в данном месте. Тогда по картине линий тока можно будет судить не только о направлении, но и о величине вектора  $\mathbf{v}$  в разных точках пространства: там, где скорость больше, линии тока будут гуще и, наоборот, где скорость меньше, линии тока будут реже.

Поскольку величина и направление вектора  $\mathbf{v}$  в каждой точке могут меняться со временем, то и картина линий тока может непрерывно меняться. Если вектор скорости в каждой точке пространства остается постоянным, то течение называется установившимся или стационарным. При стационарном течении любая частица жидкости проходит данную точку пространства с одним и тем же значением  $\mathbf{v}$ . Картина линий тока при стационарном течении остается неизменной, и линии тока в этом случае совпадают с траекториями частиц.

Часть жидкости, ограниченная линиями тока, называется трубкой тока. Вектор  $\mathbf{v}$ , будучи в каждой точке касательным к линии тока, будет касательным и к поверхности трубки тока, следовательно, частицы жидкости при своем движении не пересекают стенок трубки тока.

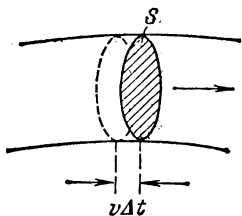


Рис. 72.2.

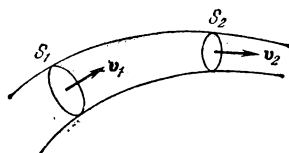


Рис. 72.3.

Возьмем перпендикулярное к направлению скорости сечение трубки тока  $S$  (рис. 72.2). Предположим, что скорость движения частиц жидкости одинакова во всех точках этого сечения. За время  $\Delta t$  через сечение  $S$  пройдут все частицы, расстояние которых от  $S$  в начальный момент не превышает значения  $v \Delta t$ . Следовательно, за время  $\Delta t$  через сечение  $S$  пройдет объем жидкости, равный  $Sv \Delta t$ , а за единицу времени через сечение  $S$  пройдет объем жидкости, равный  $Sv$ . Возьмем трубку тока, настолько тонкую, что в каждом ее сечении скорость можно считать постоянной. Если жидкость несжимаема (т. е. плотность ее всюду одинакова и изменяться не может), то количество жидкости между сечениями  $S_1$  и  $S_2$  (рис. 72.3) будет оставаться неизменным. Отсюда следует, что объемы жидкости, протекающие за единицу времени через сечения  $S_1$  и  $S_2$ , должны быть одинаковы:

$$S_1 v_1 = S_2 v_2$$

(напомним, что через боковую поверхность трубки тока частицы жидкости не проходят).

Приведенное выше рассуждение применимо к любой паре сечений  $S_1$  и  $S_2$ . Следовательно, для несжимаемой жидкости величина  $Sv$  в любом сечении одной и той же трубки тока должна быть одинакова:

$$Sv = \text{const.} \quad (72.1)$$

Полученный нами результат представляет собой содержание теоремы о неразрывности струи.

Из (72.1) следует, что при переменном сечении трубки тока частицы несжимаемой жидкости движутся с ускорением. В горизонтальной трубке тока (рис. 72.4) это ускорение может быть обус-

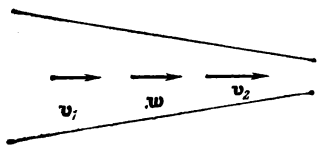


Рис. 72.4.

ловлено только непостоянством давления вдоль оси трубки — в местах, где скорость меньше, давление должно быть больше, и наоборот. Количественная связь между скоростью течения и давлением будет установлена в следующем параграфе.

Теорема о неразрывности струи применима к реальным жидкостям и даже к газам в том случае, когда сжимаемостью их можно пренебречь. Соответствующий расчет показывает, что при движении жидкостей и газов со скоростями, меньшими скорости звука, их с достаточной степенью точности можно считать несжимаемыми.

### § 73. Уравнение Бернулли

Рассматривая движение жидкостей, во многих случаях можно считать, что перемещение одних частей жидкости относительно других не связано с возникновением сил трения. Жидкость, в которой внутреннее трение (вязкость) полностью отсутствует, называется *идеальной*.

Выделим в стационарно текущей идеальной жидкости трубку тока малого сечения (рис. 73.1). Рассмотрим объем жидкости, ограниченный стенками трубки тока и перпендикулярными к линиям тока сечениями  $S_1$  и  $S_2$ . За время  $\Delta t$  этот объем переместится вдоль трубки тока, причем сечение  $S_1$  переместится в положение  $S'_1$ , пройдя путь  $\Delta l_1$ , сечение  $S_2$  переместится в положение  $S'_2$ , пройдя путь  $\Delta l_2$ . В силу неразрывности струи заштрихованные объемы будут иметь одинаковую величину:  $\Delta V_1 = \Delta V_2 = \Delta V$ .

Энергия каждой частицы жидкости складывается из ее кинетической энергии и потенциальной энергии в поле сил земного тяготения. Вследствие стационарности течения частица, находящаяся спустя время  $\Delta t$  в любой из точек незаштрихованной части рас-

смаатриваемого объема (см., например, точку  $O$  на рис. 73.1), имеет такую же скорость (а следовательно, и кинетическую энергию), какую имела частица, находившаяся в той же точке в начальный момент времени. Поэтому приращение энергии  $\Delta E$  всего рассматриваемого объема можно вычислить как разность энергий заштрихованных объемчиков  $\Delta V_2$  и  $\Delta V_1$ .

Возьмем сечение трубки тока и отрезки  $\Delta l$  настолько малыми, чтобы всем точкам каждого из заштрихованных объемчиков можно было приписать одно и то же значение скорости  $v$ , давления  $p$  и высоты  $h$ . Тогда приращение энергии запишется следующим образом:

$$\Delta E = \left( \frac{\rho \Delta V v_2^2}{2} + \rho \Delta V g h_2 \right) - \left( \frac{\rho \Delta V v_1^2}{2} + \rho \Delta V g h_1 \right) \quad (73.1)$$

( $\rho$  — плотность жидкости).

В идеальной жидкости силы трения отсутствуют. Поэтому приращение энергии (73.1) должно равняться работе, совершаемой над выделенным объемом силами давления. Силы давления на боковую поверхность перпендикулярны в каждой точке к направлению перемещения частиц, к которым они приложены, вследствие чего работы не совершают. Отлична от нуля лишь работа сил, приложенных к сечениям  $S_1$  и  $S_2$ . Эта работа равна

$$A = p_1 S_1 \Delta l_1 - p_2 S_2 \Delta l_2 = (p_1 - p_2) \Delta V. \quad (73.2)$$

Приравняв выражения (73.1) и (73.2), сократив на  $\Delta V$  и перенеся члены с одинаковыми индексами в одну часть равенства, получим:

$$\frac{\rho v_1^2}{2} + \rho g h_1 + p_1 = \frac{\rho v_2^2}{2} + \rho g h_2 + p_2. \quad (73.3)$$

Сечения  $S_1$  и  $S_2$  были взяты совершенно произвольно. Поэтому можно утверждать, что в любом сечении трубки тока выражение  $\frac{\rho v^2}{2} + \rho g h + p$  имеет одинаковое значение. В соответствии со сделанными нами при его выводе предположениями уравнение (73.3) становится вполне точным лишь при стремлении поперечного сечения  $S$  к нулю, т. е. при стягивании трубки тока в линию. Таким образом, величины  $p$ ,  $v$  и  $h$ , фигурирующие в левой и правой частях уравнения (73.3), следует рассматривать как относящиеся к двум произвольным точкам одной и той же линии тока.

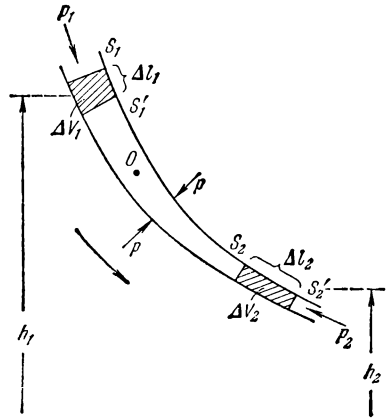


Рис. 73.1.

Полученный нами результат можно сформулировать следующим образом: *в стационарно текущей идеальной жидкости вдоль любой линии тока выполняется условие*

$$\frac{\rho v^2}{2} + \rho gh + p = \text{const.} \quad (73.4)$$

Уравнение (73.4) или равнозначное ему уравнение (73.3) называется уравнением Бернулли. Несмотря на то, что это уравнение было получено нами для идеальной жидкости, оно достаточно хорошо выполняется для реальных жидкостей, внутреннее трение в которых не очень велико.

→ Для горизонтальной линии тока условие (73.3) принимает вид

$$\frac{\rho v_1^2}{2} + p_1 = \frac{\rho v_2^2}{2} + p_2,$$

т. е. давление оказывается меньшим в тех точках, где скорость больше (качественно это уже было показано в предыдущем параграфе).

Уменьшение давления в точках, где скорость потока больше, положено в основу устройства водоструйного насоса (рис. 73.2). Струя воды подается в трубку, открывающуюся в атмосферу, так что на выходе из трубки давление равно атмосферному. В трубке имеется сужение, по которому вода идет с большей скоростью, вследствие чего давление в этом месте оказывается меньше атмосферного. Такое же давление устанавливается и в охватывающей трубку камере насоса, которая сообщается с трубкой через разрыв, имеющийся в узкой части трубки. Подсоединив к камере насоса откачиваемый объем, из него можно откачать воздух (или какой-либо другой газ) до давления порядка 100 мм рт. ст. Откачиваемый воздух захватывается струей воды и уносится в атмосферу.

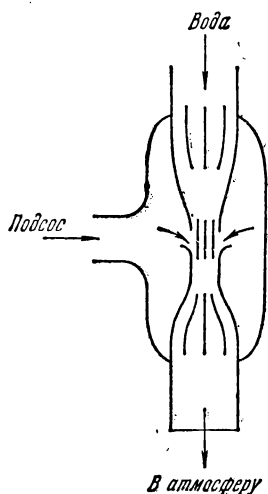


Рис. 73.2.

## § 74. Истечение жидкости из отверстия

Применим уравнение Бернулли к случаю истечения жидкости из небольшого отверстия в широком открытом сосуде. Выделим в жидкости трубку тока, имеющую своим сечением с одной стороны открытую поверхность жидкости в сосуде, а с другой стороны — отверстие, через которое жидкость вытекает<sup>1)</sup> (рис. 74.1). В каждом

<sup>1)</sup> Точнее, сечение струи при выходе из отверстия. Если не принять специальных мер, то сечение струи будет меньше отверстия.

из этих сечений скорость и высоту над некоторым исходным уровнем можно считать одинаковыми, вследствие чего к ним можно применить уравнение (73.3), полученное при этом предположении. Далее, давления в обоих сечениях равны атмосферному и поэтому одинаковы. Кроме того, скорость перемещения открытой поверхности в широком сосуде можно положить равной нулю. С учетом всего сказанного, уравнение (73.3) применительно к данному случаю можно написать в виде

$$\rho gh_1 = \frac{\rho v^2}{2} + \rho gh_2,$$

где  $v$  — скорость истечения из отверстия. Сократив на  $\rho$  и введя  $h = h_1 - h_2$  — высоту открытой поверхности жидкости над отверстием, получим:  $v^2/2 = gh$ , откуда

$$v = \sqrt{2gh}. \quad (74.1)$$

Эта формула называется ф о р м у л о й Торричелли.

Итак, скорость истечения жидкости из отверстия, расположенного на

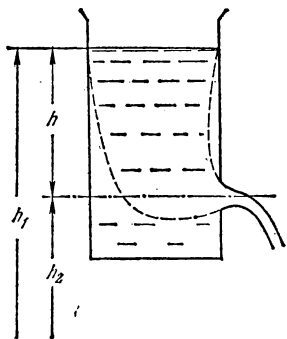


Рис. 74.1.

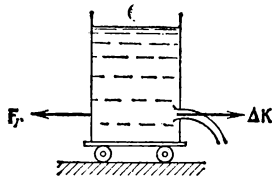


Рис. 74.2.

глубине  $h$  под открытой поверхностью, совпадает со скоростью, которую приобретает любое тело, падая с высоты  $h$ . Следует помнить, что этот результат получен в предположении, что жидкость идеальна. Для реальных жидкостей скорость истечения будет меньше, причем тем сильнее отличается от значения (74.1), чем больше вязкость жидкости.

Струя жидкости, вытекающая из отверстия в сосуде (рис. 74.2), уносит с собой за время  $\Delta t$  импульс  $\Delta K = \rho S v v \Delta t$  ( $\rho$  — плотность жидкости,  $S$  — площадь отверстия,  $v$  — скорость истечения струи). Этот импульс сообщается вытекающей жидкости сосудом. По третьему закону Ньютона сосуд получает от вытекающей жидкости за время  $\Delta t$  импульс, равный  $-\Delta K$ , т. е. испытывает действие силы

$$F_r = -\frac{\Delta K}{\Delta t} = -\rho S v v. \quad (74.2)$$

Эта сила называется реакцией вытекающей струи. Если сосуд поставить на тележку, то под действием силы  $F_r$  он

придет в движение в направлении, противоположном направлению струи.

Найдем значение силы  $F_r$ , воспользовавшись выражением (74.1) для скорости истечения жидкости из отверстия:

$$F_r = \rho S v^2 = 2gh \rho S. \quad (74.3)$$

Если бы, как это может показаться на первый взгляд, сила  $F_r$  совпадала по величине с силой гидростатического давления, которое жидкость оказывала бы на пробку, закрывающую отверстие, то  $F_r$  была бы равна  $gh \rho S$ . На самом деле сила  $F_r$  оказывается в 2 раза большей. Это объясняется тем, что возникающее при вытекании струи движение жидкости в сосуде приводит к перераспределению давления, причем давление вблизи стенки, лежащей против отверстия, оказывается несколько большим, чем вблизи стенки, в которой сделано отверстие.

На реакции вытекающей струи газа основано действие реактивных двигателей и ракет. Реактивное движение, не нуждаясь для своего осуществления в наличии атмосферы, используется для полетов в космическом пространстве.

Основоположником теории межпланетных сообщений является выдающийся русский ученый и изобретатель К. Э. Циолковский (1857—1935). Он дал теорию полета ракеты и обосновал возможность применения реактивных аппаратов для межпланетных сообщений. В частности, Циолковским была разработана теория движения составных ракет, в которых каждая последующая ступень вступает в действие после того, как предыдущая ступень, израсходовав полностью топливо, отделится от ракеты. Идеи Циолковского получили дальнейшее развитие и были осуществлены советскими учеными и инженерами, обеспечившими ведущую роль Советского Союза в освоении и изучении космического пространства.

## § 75. Силы внутреннего трения

Идеальная жидкость, т. е. жидкость без трения, является абстракцией. Всем реальным жидкостям и газам в большей или меньшей степени присуща вязкость или внутреннее трение. Вязкость проявляется в том, что возникшее в жидкости или газе движение после прекращения действия причин, его вызвавших, постепенно прекращается.

Для выяснения закономерностей, которым подчиняются силы внутреннего трения, рассмотрим следующий опыт. В жидкость погружены две параллельные друг другу пластины (рис. 75.1), линейные размеры которых значительно превосходят расстояние между ними  $d$ . Нижняя пластина удерживается на месте, верхняя приводится в движение относительно нижней с некоторой скоростью  $v_0$ . Опыт дает, что для перемещения верхней пластины с по-

стоянной скоростью  $v_0$  необходимо действовать на нее с вполне определенной постоянной по величине силой  $F$ . Раз пластина не получает ускорения, значит, действие этой силы уравнивается равной ей по величине противоположно направленной силой, которая, очевидно, есть сила трения, действующая на пластину при ее движении в жидкости. Обозначим ее  $F_{\text{тр}}$ .

Варьируя скорость пластины  $v_0$ , площадь пластин  $S$  и расстояние между ними  $d$ , можно получить, что

$$F_{\text{тр}} = \eta \frac{v_0}{d} S, \quad (75.1)$$

где  $\eta$  — коэффициент пропорциональности, зависящий от природы и состояния (например, температуры) жидкости и называемый коэффициентом внутреннего трения или коэффициентом вязкости, или просто вязкостью жидкости (газа).

Нижняя пластина при движении верхней также оказывается подверженной действию силы  $F'_{\text{тр}}$ , равной по величине  $F_{\text{тр}}$ . Для того чтобы нижняя пластина оставалась неподвижной, силу  $F'_{\text{тр}}$  необходимо уравновесить с помощью силы  $F'$ .

Таким образом, при движении двух погруженных в жидкость пластин друг относительно друга между ними возникает взаимодействие, характеризующееся силой (75.1). Воздействие пластин друг на друга осуществляется, очевидно, через жидкость, заключенную между пластинами, передаваясь от одного слоя жидкости к другому. Если в любом месте зазора провести мысленно плоскость, параллельную пластинам (см. пунктирную линию на рис. 75.1), то можно утверждать, что часть жидкости, лежащая над этой плоскостью, действует на часть жидкости, лежащую под плоскостью, с силой  $F'_{\text{тр}}$ , а часть жидкости, лежащая под плоскостью, в свою очередь действует на часть жидкости, лежащую над плоскостью, с силой  $F_{\text{тр}}$ , причем значения  $F_{\text{тр}}$  и  $F'_{\text{тр}}$  определяются формулой (75.1). Таким образом, формула (75.1) определяет не только силу трения, действующую на пластины, но и силу трения между соприкасающимися частями жидкости.

Если исследовать скорость частиц жидкости в разных слоях, то оказывается, что она изменяется в направлении  $z$ , перпендикулярном к пластинам (рис. 75.1), по линейному закону

$$v(z) = \frac{v_0}{d} z. \quad (75.2)$$

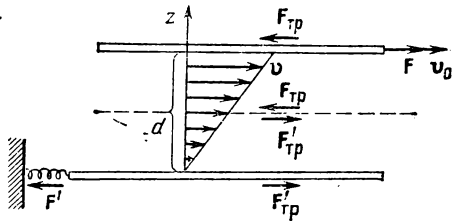


Рис. 75.1.

Частицы жидкости, непосредственно соприкасающиеся с пластинами, как бы прилипают к ним и имеют такую же скорость, как и сами пластины. Согласно формуле (75.2)

$$\left| \frac{dv}{dz} \right| = \frac{v_0}{d}. \quad (75.3)$$

Знак модуля мы поставили по следующей причине. Если бы мы закрепили верхнюю пластину, а двигали нижнюю (см. рис. 75.1), или изменили направление оси  $z$  на обратное, производная  $dv/dz$  стала бы отрицательной. Величина же  $v_0/d$  всегда положительна. Поэтому для того, чтобы формула (75.3) была справедлива в любом случае, нужно взять модуль  $dv/dz$ .

Используя равенство (75.3), формуле (75.1) можно придать вид

$$F_{\text{тр}} = \eta \left| \frac{dv}{dz} \right| S. \quad (75.4)$$

Эта формула определяет модуль силы трения. Величина  $|dv/dz|$  показывает, как быстро изменяется скорость в направлении оси  $z$ , и представляет собой модуль градиента модуля скорости (если  $v$  зависит только от  $z$ ,  $\partial v/\partial x = \partial v/\partial y = 0$ ,  $\partial v/\partial z = dv/dz$ ).

Формула (75.4) получена нами для случая, когда скорость изменяется по линейному закону. Оказывается, что эта формула остается справедливой и для любого другого закона изменения скорости от слоя к слою. В этом случае для определения силы трения между двумя граничащими друг с другом слоями нужно брать значение  $|dv/dz|$  в том месте, где проходит воображаемая поверхность раздела слоев.

Все сказанное в этом параграфе относится не только к жидкостям, но и к газам.

Единицей вязкости в СИ служит такая вязкость, при которой градиент скорости с модулем, равным 1 м/с на 1 м, приводит к возникновению силы внутреннего трения в 1 Н на 1 м<sup>2</sup> поверхности касания слоев. Эта единица называется п а с к а л ь - с е к у н д о й (обозначается Па·с)<sup>1)</sup>.

В СГС-системе единицей вязкости является пуаз (П), равный такой вязкости, при которой градиент скорости с модулем, равным 1 см/с на 1 см, приводит к возникновению силы внутреннего трения в 1 дин на 1 см<sup>2</sup> поверхности касания слоев. Единица, равная 10<sup>-6</sup> П, называется микропуазом (мкП). Между пуазом и паскаль-секундой имеется соотношение

$$1 \text{ Па} \cdot \text{с} = 10 \text{ П}.$$

Коэффициент вязкости зависит от температуры, причем характер этой зависимости существенно различен для жидкостей и газов. У жидкостей коэффициент вязкости сильно уменьшается с по-

<sup>1)</sup> Паскалем называется единица давления в СИ (1 Па=1 Н/м<sup>2</sup>).

вышением температуры. У газов, напротив, коэффициент вязкости с температурой растет. Отличие в характере поведения  $\eta$  при изменении температуры указывает на различие механизма внутреннего трения в жидкостях и газах.

## § 76. Ламинарное и турбулентное течения

Наблюдается два вида течения жидкости (или газа). В одних случаях жидкость как бы разделяется на слои, которые скользят друг относительно друга, не перемешиваясь. Такое течение называется **ламинарным**<sup>1)</sup> (слоистым). Если в ламинарный поток ввести окрашенную струйку, то она сохраняется, не размываясь, на всей длине потока, так как частицы жидкости в ламинарном потоке не переходят из одного слоя в другой. Ламинарное течение стационарно.

При увеличении скорости или поперечных размеров потока характер течения существенным образом изменяется. Возникает энергичное перемешивание жидкости. Такое течение называется **турбулентным**. При турбулентном течении скорость частиц в каждом данном месте все время изменяется беспорядочным образом — течение нестационарно. Если в турбулентный поток ввести окрашенную струйку, то уже на небольшом расстоянии от места ее введения окрашенная жидкость равномерно распределяется по всему сечению потока.

Английский ученый Рейнольдс установил, что характер течения зависит от значения безразмерной величины:

$$Re = \frac{\rho v l}{\eta}, \quad (76.1)$$

где  $\rho$  — плотность жидкости (или газа),  $v$  — средняя (по сечению трубы) скорость потока,  $\eta$  — коэффициент вязкости жидкости,  $l$  — характерный для поперечного сечения размер, например, сторона квадрата при квадратном сечении, радиус или диаметр при круглом сечении и т. д.

Величина (76.1) называется **числом Рейнольдса**. При малых значениях числа Рейнольдса наблюдается ламинарное течение. Начиная с некоторого определенного значения  $Re$ , называемого критическим, течение приобретает турбулентный характер. Если в качестве характерного размера для круглой трубы взять ее радиус  $r$ , то критическое значение числа Рейнольдса (которое в этом случае имеет вид  $Re = \rho v r / \eta$ ) оказывается равным<sup>2)</sup> примерно 1000. В число Рейнольдса входят в виде отношения две величины, зависящие от свойств жидкости: плотность  $\rho$  и коэффициент

<sup>1)</sup> Латинское «*lamina*» означает пластинку, полосу.

<sup>2)</sup> Очевидно, что, взяв в качестве  $l$  не радиус, а диаметр трубы, мы должны увеличить критическое значение  $Re$  в 2 раза,

вязкости  $\eta$ . Отношение

$$\nu = \eta / \rho \quad (76.2)$$

называется кинематической вязкостью. В отличие от  $\nu$  величина  $\eta$  называется динамической вязкостью. Используя кинематическую вязкость, числу Рейнольдса можно придать следующий вид:

$$Re = vl/\nu. \quad (76.3)$$

Число Рейнольдса может служить критерием подобия для течения жидкостей в трубах, каналах и т. д. Характер течения различных жидкостей (или газов) в трубах разных сечений будет совершенно одинаков, если каждому течению соответствует одно и то же значение  $Re$ .

## § 77. Течение жидкости в круглой трубе

При движении жидкости в круглой трубе скорость равна нулю у стенок трубы и максимальна на оси трубы. Полагая течение ламинарным, найдем закон изменения скорости с расстоянием  $r$  от оси трубы.

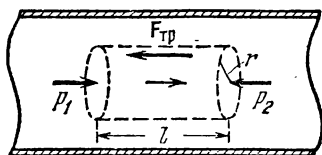


Рис. 77.1.

Выделим воображаемый цилиндрический объем жидкости радиуса  $r$  и длины  $l$  (рис. 77.1). При стационарном течении в трубе постоянного сечения скорости всех частиц жидкости

остаются неизменными. Следовательно, сумма внешних сил, приложенных к любому объему жидкости, равна нулю. На основании рассматриваемого цилиндрического объема действуют силы давления, сумма которых равна  $(p_1 - p_2)\pi r^2$ . Эта сила действует в направлении движения жидкости. Кроме того, на боковую поверхность цилиндра действует сила трения, равная  $\eta |dv/dr| 2\pi r l$  (имеется в виду значение  $dv/dr$  на расстоянии  $r$  от оси трубы). Условие стационарности имеет вид

$$(p_1 - p_2) \pi r^2 = \eta |dv/dr| 2\pi r l. \quad (77.1)$$

Скорость убывает с расстоянием от оси трубы. Следовательно,  $dv/dr$  отрицательна и  $|dv/dr| = -dv/dr$ . Учтя это, преобразуем соотношение (77.1) следующим образом:

$$-\frac{dv}{dr} = \frac{(p_1 - p_2)r}{2\eta l}.$$

Разделив переменные, получим уравнение:

$$dv = -\frac{p_1 - p_2}{2\eta l} r dr.$$

Интегрирование дает, что

$$v = -\frac{p_1 - p_2}{4\eta l} r^2 + C. \quad (77.2)$$

Постоянную интегрирования нужно выбрать так, чтобы скорость

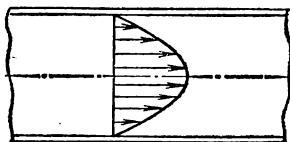


Рис. 77.2.

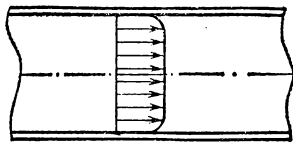


Рис. 77.3.

обращалась в нуль на стенках трубы, т. е. при  $r=R$  ( $R$  — радиус трубы). Из этого условия

$$C = \frac{p_1 - p_2}{4\eta l} R^2.$$

Подстановка значения  $C$  в (77.2) приводит к формуле

$$v(r) = \frac{p_1 - p_2}{4\eta l} (R^2 - r^2) = \frac{p_1 - p_2}{4\eta l} R^2 \left(1 - \frac{r^2}{R^2}\right). \quad (77.3)$$

Значение скорости на оси трубы равно

$$v_0 = v(0) = \frac{p_1 - p_2}{4\eta l} R^2. \quad (77.4)$$

С учетом этого формуле (77.3) можно придать вид

$$v(r) = v_0 \left(1 - \frac{r^2}{R^2}\right). \quad (77.5)$$

Таким образом, при ламинарном течении скорость изменяется с расстоянием от оси трубы по параболическому закону (рис. 77.2).

При турбулентном течении скорость в каждой точке меняется беспорядочным образом. При неизменных внешних условиях постоянной оказывается средняя (по времени) скорость в каждой точке сечения трубы. Профиль средних скоростей при турбулентном течении изображен на рис. 77.3. Вблизи стенок трубы скорость изменяется гораздо сильнее, чем при ламинарном течении, в остальной же части сечения скорость изменяется меньше.

Полагая течение ламинарным, вычислим поток жидкости  $Q$ , т. е. объем жидкости, протекающий через поперечное сечение трубы за единицу времени. Разобьем поперечное сечение трубы на кольца ширины  $dr$  (рис. 77.4). Через кольцо радиуса  $r$  пройдет за секунду объем жидкости, равный произведению площади кольца  $2\pi r dr$  на скорость течения в точках, находящихся на расстоянии  $r$  от оси

трубы. Приняв во внимание формулу (77.5), получим:

$$dQ = v_0 \left(1 - \frac{r^2}{R^2}\right) 2\pi r dr. \quad (77.6)$$

Чтобы получить поток  $Q$ , нужно проинтегрировать выражение (77.6) по  $r$  в пределах от нуля до  $R$ :

$$Q = \int_0^R v_0 \left(1 - \frac{r^2}{R^2}\right) 2\pi r dr = \frac{1}{2} \pi R^2 v_0 = \frac{1}{2} S v_0 \quad (77.7)$$

( $S$  — площадь сечения трубы). Из формулы (77.7) следует, что при ламинарном течении среднее (по сечению) значение скорости равно половине значения скорости на оси трубы.

Подставив в (77.7) значение (77.4) для  $v_0$ , получим для потока формулу

$$Q = \frac{(p_1 - p_2) \pi R^4}{8\eta l}. \quad (77.8)$$

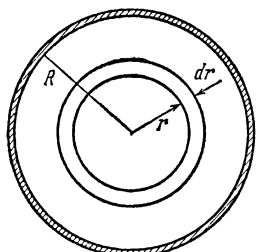


Рис. 77.4.

Эта формула называется **формулой Пуазейля**. Согласно (77.8) поток жидкости пропорционален перепаду давления на единице длины трубы, пропорционален четвертой степени радиуса трубы и обрат-

но пропорционален коэффициенту вязкости жидкости. Напомним, что формула Пуазейля применима только при ламинарном течении.

Соотношение (77.8) используется для определения вязкости жидкостей. Пропуская жидкость через капилляр известного радиуса и измеряя перепад давления и поток  $Q$ , можно найти  $\eta$ .

## § 78. Движение тел в жидкостях и газах

При движении тела в жидкости или газе <sup>1)</sup> на него действуют силы, равнодействующую которых мы обозначим буквой  $R$  (рис. 78.1). Силу  $R$  можно разложить на две составляющие, одна из которых,  $Q$ , направлена в сторону, противоположную движению тела (или в сторону движения потока, набегающего на тело), а вторая,  $P$ , перпендикулярна к этому направлению. Составляющие  $Q$  и  $P$  называются соответственно **лобовым сопротивлением** и **подъемной силой**. Очевидно, что на тело, симметричное относительно направления движения, может действовать только

<sup>1)</sup> Заметим, что при постоянной скорости движения тела относительно жидкости сила, действующая на тело, будет в соответствии с принципом относительности Галилея такой же, как и в случае движения жидкости с той же скоростью относительно неподвижного тела, Рис. 78.1, соответствует последнему случаю.

лобовое сопротивление, подъемная же сила в этом случае будет равна нулю.

Как показывают расчеты, в идеальной жидкости равномерное движение тел должно было бы происходить без лобового сопротивления. Не обладая вязкостью, идеальная жидкость должна

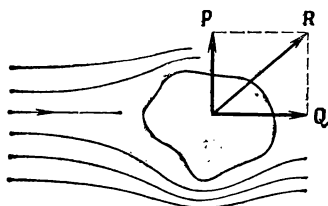


Рис. 78.1.

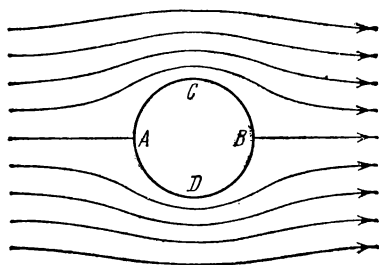


Рис. 78.2.

свободно скользить по поверхности тела, полностью обтекая его. На рис. 78.2 показаны линии тока при обтекании очень длинного («бесконечного») цилиндра идеальной жидкостью. Вследствие полного обтекания картина линий тока оказывается совершенно симметричной как относительно прямой, проходящей через точки  $A$  и  $B$ , так и относительно прямой, проходящей через точки  $C$  и  $D$ . Поэтому давление вблизи точек  $A$  и  $B$  будет одинаково (и больше, чем в невозмущенном потоке, так как скорость вблизи этих точек меньше); точно так же давление вблизи точек  $C$  и  $D$  тоже будет одинаково (и меньше, чем в невозмущенном потоке, так как скорость вблизи этих точек больше). Следовательно, результирующая сил давления на поверхность цилиндра (которая при отсутствии вязкости могла бы обусловить лобовое сопротивление), очевидно, будет равна нулю. Такой же результат получается и для тел другой формы. Иначе протекают явления при движении тела в жидкости, обладающей вязкостью. В этом случае очень тонкий слой жидкости прилипает к поверхности тела и движется с ним как одно целое, увлекая за собой из-за трения последующие слои. По мере удаления от поверхности тела скорость слоев становится все меньше, и, наконец, на некотором расстоянии от поверхности жидкость оказывается практически не возмущенной движением тела. Таким образом, тело оказывается окруженным слоем жидкости, в котором имеется градиент скорости. Этот слой называется **п о г р а н и ч н ы м**. В нем действуют силы трения, которые в конечном итоге оказываются приложенными к телу и приводят к возникновению лобового сопротивления.

Но дело не исчерпывается только этим. Наличие пограничного слоя в корне изменяет характер обтекания тела жидкостью. Полное обтекание становится невозможным. Действие сил трения в поверх-

ностном слое приводит к тому, что поток отрывается от поверхности тела, в результате чего позади тела возникают вихри (см. рис. 78.3, на котором показано обтекание цилиндра вязкой жидкостью). Вихри уносятся потоком и постепенно затухают вследствие трения; при этом энергия вихрей расходуется на нагревание жидкости. Давление в образующейся за телом вихревой области оказывается пониженным, поэтому результирующая сил давления будет отлична от нуля, в свою очередь обуславливая лобовое сопротивление.

Таким образом, лобовое сопротивление складывается из сопротивления трения и сопротивления давления. При данных поперечных размерах тела сопротивление давления сильно зависит от формы

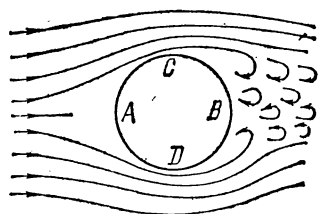


Рис. 78.3.

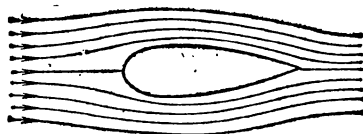


Рис. 78.4.

тела. По этой причине его называют также сопротивлением формы. Наименьшим сопротивлением давления обладают тела хорошо обтекаемой каплевидной формы (рис. 78.4). Такую форму стремятся придать фюзеляжу и крыльям самолетов, кузову автомобилей и т. п.

Соотношение между сопротивлением трения и сопротивлением давления определяется значением числа Рейнольдса (76.1). В данном случае  $l$  — некоторый характерный размер тела (например, радиус для тела шаровой формы),  $v$  — скорость тела относительно жидкости.

При малых  $Re$  основную роль играет сопротивление трения, так что сопротивление давления можно не принимать во внимание. При увеличении  $Re$  роль сопротивления давления все больше растет. При больших значениях  $Re$  в лобовом сопротивлении преобладают силы давления.

Определяя характер сил, действующих на тело в потоке, число Рейнольдса может служить критерием подобия явлений и в этом случае. Это обстоятельство используется при моделировании. Например, модель самолета будет вести себя в потоке газа таким же образом, как и ее прообраз, если, кроме геометрического подобия модели и самолета, будет соблюдено также равенство для них чисел Рейнольдса.

**Формула Стокса.** При малых  $Re$ , т. е. при небольших скоростях движения (и небольших  $l$ ; см. (76.1)), сопротивление среды обус-

ловлено практически только силами трения. Стокс установил, что сила сопротивления в этом случае пропорциональна коэффициенту динамической вязкости  $\eta$ , скорости  $v$  движения тела относительно жидкости и характерному размеру тела  $l$ :  $F \sim \eta lv$  (предполагается, что расстояние от тела до границ жидкости, например до стенок сосуда, значительно больше размеров тела). Коэффициент пропорциональности зависит от формы тела. Для шара, если в качестве  $l$  взять радиус шара  $r$ , коэффициент пропорциональности оказывается равным  $6\pi$ . Следовательно, сила сопротивления движению шарика в жидкостях при небольших скоростях в соответствии с формулой Стокса равна

$$F = 6\pi\eta rv. \quad (78.1)$$

**Подъемная сила.** Для возникновения подъемной силы вязкость жидкости не имеет существенного значения. На рис. 78.5 показаны линии тока при обтекании идеальной жидкостью полуцилиндра. Вследствие полного обтекания линии тока будут симметричны относительно прямой  $CD$ . Однако относительно прямой  $AB$  картина будет несимметричной. Линии тока сгущаются вблизи точки  $C$ , поэтому давление здесь будет меньше, чем вблизи точки  $D$ , и возникает подъемная сила  $P$ . Аналогичным образом возникает подъемная сила и в вязкой жидкости.

Силой, поддерживающей самолет в воздухе, служит подъемная сила, действующая на его крылья. Лобовое сопротивление играет

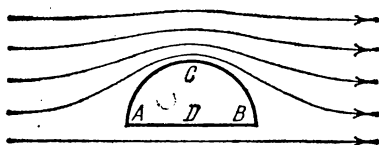


Рис. 78.5.

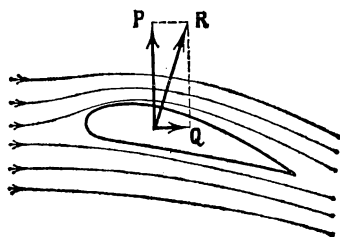


Рис. 78.6.

при полете самолета вредную роль. Поэтому крыльям самолета и его фюзеляжу придают хорошо обтекаемую форму. Профиль крыла должен вместе с тем обеспечивать достаточную по величине подъемную силу. Оптимальным для крыла является показанный на рис. 78.6 профиль, найденный великим русским ученым Н. Е. Жуковским (1847—1921). Трудami Жуковского и его ученика С. А. Чаплыгина было положено начало современной аэродинамике. В. И. Ленин назвал Жуковского отцом русской авиации. Жуковский, в частности, вывел формулу для определения подъемной силы, являющуюся основой всех аэродинамических расчетов самолетов.

### ГЛАВА X

### ПРЕДВАРИТЕЛЬНЫЕ СВЕДЕНИЯ

#### § 79. Статистическая физика и термодинамика

Молекулярная физика представляет собой раздел физики, изучающий строение и свойства вещества, исходя из так называемых молекулярно-кинетических представлений. Согласно этим представлениям, любое тело — твердое, жидкое или газообразное — состоит из большого количества весьма малых обособленных частиц — молекул<sup>1)</sup>. Молекулы всякого вещества находятся в беспорядочном, хаотическом, не имеющем какого-либо преимущественного направления движении. Его интенсивность зависит от температуры вещества.

Непосредственным доказательством существования хаотического движения молекул служит броуновское движение. Это явление заключается в том, что весьма малые (видимые только в микроскоп) взвешенные в жидкости частицы всегда находятся в состоянии непрерывного беспорядочного движения, которое не зависит от внешних причин и оказывается проявлением внутреннего движения вещества. Броуновские частицы совершают движение под влиянием беспорядочных ударов молекул.

Молекулярно-кинетическая теория ставит себе целью истолковать те свойства тел, которые непосредственно наблюдаются на опыте (давление, температуру и т. п.), как суммарный результат действия молекул. При этом она пользуется статистическим методом, интересуясь не движением отдельных молекул, а лишь такими средними величинами, которые характеризуют движение огромной совокупности частиц. Отсюда другое ее название — статистическая физика.

Изучением различных свойств тел и изменений состояния вещества занимается также термодинамика. Однако в отличие от молекулярно-кинетической теории термодинамики изучает макро-

---

<sup>1)</sup> Атомы можно рассматривать как одноатомные молекулы.

скопические свойства тел и явлений природы, не интересуясь их микроскопической картиной. Не вводя в рассмотрение молекулы и атомы, не входя в микроскопическое рассмотрение процессов, термодинамика позволяет делать целый ряд выводов относительно их протекания.

В основе термодинамики лежит несколько фундаментальных законов (называемых *началами термодинамики*), установленных на основании обобщения большой совокупности опытных фактов. В силу этого выводы термодинамики имеют весьма общий характер.

Подходя к рассмотрению изменений состояния вещества с различных точек зрения, термодинамика и молекулярно-кинетическая теория взаимно дополняют друг друга, образуя по существу одно целое.

Обращаясь к истории развития молекулярно-кинетических представлений, следует прежде всего отметить, что представления об атомистическом строении вещества были высказаны еще древними греками. Однако у древних греков эти идеи были не более чем гениальной догадкой. В XVII в. атомистика возрождается вновь, но уже не как догадка, а как научная гипотеза. Особенное развитие эта гипотеза получила в трудах гениального русского ученого и мыслителя М. В. Ломоносова (1711—1765), который предпринял попытку дать единую картину всех известных в его время физических и химических явлений. При этом он исходил из корпускулярного (по современной терминологии — молекулярного) представления о строении материи. Восставая против господствовавшей в его время теории теплорода (гипотетической тепловой жидкости, содержание которой в теле определяет степень его нагретости), Ломоносов «причину тепла» видит во вращательном движении частиц тела. Таким образом, Ломоносовым были по существу сформулированы молекулярно-кинетические представления.

Во второй половине XIX в. и в начале XX в. благодаря трудам ряда ученых атомистика превратилась в научную теорию.

## § 80. Масса и размеры молекул

Для характеристики масс атомов и молекул применяются величины, получившие название *относительной атомной массы элемента* (сокращенно — *атомной массы*) и *относительной молекулярной массы вещества* (сокращенно — *молекулярной массы*)<sup>1)</sup>.

Атомной массой ( $A_r$ ) химического элемента называется отношение массы атома этого элемента к  $1/12$  массы атома  $^{12}\text{C}$  (так обозначается изотоп углерода с массовым числом 12). Молекулярной

---

<sup>1)</sup> Ранее эти величины назывались атомным и молекулярным весом.

массой ( $M_r$ ) вещества называется отношение массы молекулы этого вещества к  $1/12$  массы атома  $^{12}\text{C}$ . Как следует из их определения, атомная и молекулярная массы являются безразмерными величинами.

Единица массы, равная  $1/12$  массы атома  $^{12}\text{C}$ , называется а т о м н о й е д и н и ц е й м а с с ы (а. е. м.). Обозначим эту единицу, выраженную в килограммах, через  $m_{\text{ед}}$ . Тогда масса атома, выраженная в килограммах, будет равна  $A_r m_{\text{ед}}$ , а масса молекулы  $M_r m_{\text{ед}}$ .

Количество вещества, в котором содержится число частиц (атомов, молекул, ионов, электронов и т. д.), равное числу атомов в  $0,012$  кг изотопа углерода  $^{12}\text{C}$ , называется м о л е м. Употребляются также кратные и дольные единицы: киломоль (кмоль), миллимоль (ммоль), микромоль (мкмоль) и т. д.

Число частиц, содержащихся в моле вещества, называется ч и с л о м А в о г а д р о. Опытным путем найдено, что число Авогадро равно

$$N_A = 6,022 \cdot 10^{23} \text{ моль}^{-1}. \quad (80.1)$$

Таким образом, например, в моле меди содержится  $N_A$  атомов меди, в моле воды содержится  $N_A$  молекул воды, в моле электронов содержится  $N_A$  электронов и т. д.

Массу моля называют м о л я р н о й м а с с о й  $M$ . Очевидно, что  $M$  равна произведению  $N_A$  на массу молекулы  $M_r m_{\text{ед}}$ :

$$M = N_A M_r m_{\text{ед}}. \quad (80.2)$$

В случае углерода  $^{12}\text{C}$   $M = 0,012$  кг/моль, а масса атома равна  $12 m_{\text{ед}}$ . Подстановка этих значений в соотношение (80.2) дает

$$0,012 \text{ (кг/моль)} = N_A \text{ (моль}^{-1}) \cdot 12 m_{\text{ед}} \text{ (кг)}.$$

Отсюда

$$m_{\text{ед}} \text{ (кг)} = \frac{0,001 \text{ (кг} \cdot \text{моль}^{-1})}{N_A \text{ (моль}^{-1})} = \frac{0,001 \text{ кг}}{6,022 \cdot 10^{23}} = 1,66 \cdot 10^{-27} \text{ кг}. \quad (80.3)$$

Следовательно, масса любого атома равна  $1,66 \cdot 10^{-27} \cdot A_r$  кг, масса любой молекулы равна  $1,66 \cdot 10^{-27} \cdot M_r$  кг.

Из (80.3) вытекает, что произведение  $N_A m_{\text{ед}}$  равно  $0,001$  кг/моль. Подстановка этого значения в формулу (80.2) дает, что

$$M = 0,001 \cdot M_r \text{ кг/моль} \quad (80.4)$$

или

$$M = M_r \text{ г/моль}. \quad (80.5)$$

Таким образом, масса моля, выраженная в граммах, численно равна относительной молекулярной массе. Однако следует иметь в виду, что, в то время как  $M_r$  — величина безразмерная,  $M$  имеет размерность кг/моль (или г/моль).

Теперь произведем оценку размеров молекул. Естественно предположить, что в жидкостях молекулы располагаются доволь-

но близко друг к другу. Поэтому приближенную оценку объема одной молекулы можно получить, разделив объем моля какой-либо жидкости, например воды, на число молекул в моле  $N_A$ . Моль (т. е. 18 г) воды занимает объем  $18 \text{ см}^3 = 18 \cdot 10^{-6} \text{ м}^3$ . Следовательно, на долю одной молекулы приходится объем, равный

$$(18 \cdot 10^{-6}) / (6 \cdot 10^{23}) = 30 \cdot 10^{-30} \text{ м}^3.$$

Отсюда следует, что линейные размеры молекул воды приблизительно равны

$$\sqrt[3]{30 \cdot 10^{-30}} \approx 3 \cdot 10^{-10} \text{ м} = 3 \text{ \AA}.$$

Молекулы других веществ также имеют размеры порядка нескольких ангстрем<sup>1)</sup>.

### § 81. Состояние системы. Процесс

Системой тел или просто системой мы будем называть совокупность рассматриваемых тел. Примером системы может служить жидкость и находящийся в равновесии с ней пар. В частности, система может состоять из одного тела.

Всякая система может находиться в различных состояниях, отличающихся температурой, давлением, объемом и т. д. Подобные величины, характеризующие состояние системы, называются параметрами состояния.

Не всегда какой-либо параметр имеет определенное значение. Если, например, температура в разных точках тела неодинакова, то телу нельзя приписать определенное значение параметра  $T$ . В этом случае состояние называется *неравновесным*. Если такое тело изолировать от других тел и предоставить самому себе, то температура выравнивается и примет одинаковое для всех точек значение  $T$  — тело перейдет в равновесное состояние. Это значение  $T$  не изменяется до тех пор, пока тело не будет выведено из равновесного состояния воздействием извне.

То же самое может иметь место и для других параметров, например для давления  $p$ . Если взять газ, заключенный в цилиндрическом сосуде, закрытом плотно пригнанным поршнем, и начать быстро вдвигать поршень, то под ним образуется газовая подушка, давление в которой будет больше, чем в остальном объеме газа. Следовательно, газ в этом случае не может быть охарактеризован определенным значением давления  $p$ , и состояние его будет неравновесным. Однако если прекратить перемещение поршня, то давление в разных точках объема выравнивается и газ перейдет в равновесное состояние.

<sup>1)</sup> Ангстремом (обозначается  $\text{\AA}$ ) называется внесистемная единица длины, равная  $10^{-10} \text{ м}$ . Эта единица очень удобна в атомной физике.

Процесс перехода системы из неравновесного состояния в равновесное называется процессом релаксации или просто релаксацией. Время, затрачиваемое на такой переход, называют временем релаксации. В качестве времени релаксации принимается время, за которое первоначальное отклонение какой-либо величины от равновесного значения уменьшается в  $e$  раз. Для каждого параметра системы имеется свое время релаксации. Наибольшее из этих времен играет роль времени релаксации системы.

Итак, равновесным состоянием системы называется такое состояние, при котором все параметры системы имеют определенные значения, остающиеся при неизменных внешних условиях постоянными сколь угодно долго.

Если по координатным осям откладывать значения каких-либо двух параметров, то любое равновесное состояние системы может

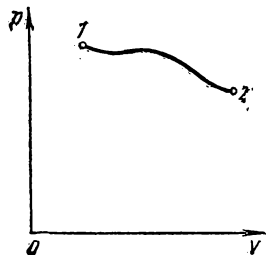


Рис. 81.1.

быть изображено точкой на координатной плоскости (см., например, точку 1 на рис. 81.1). Неравновесное состояние не может быть изображено таким способом, потому что хотя бы один из параметров не будет иметь в неравновесном состоянии определенного значения.

Всякий процесс, т. е. переход системы из одного состояния в другое, связан с нарушением равновесия системы. Следовательно, при протекании в системе какого-либо процесса она проходит через последовательность неравновесных состояний. Обращаясь к уже рассмотренному процессу сжатия газа в сосуде, закрытом поршнем, можно заключить, что нарушение равновесия при вдвигании поршня тем значительнее, чем быстрее производится сжатие газа. Если вдвигать поршень очень медленно, то равновесие нарушается незначительно и давление в разных точках мало отличается от некоторого среднего значения  $p$ . В пределе, если сжатие газа происходит бесконечно медленно, газ в каждый момент времени будет характеризоваться определенным значением давления. Следовательно, в этом случае состояние газа в каждый момент времени является равновесным, и бесконечно медленный процесс будет состоять из последовательности равновесных состояний.

Процесс, состоящий из непрерывной последовательности равновесных состояний, называется равновесным или квазистатическим. Из сказанного следует, что равновесным может быть только бесконечно медленный процесс. При достаточно медленном протекании реальные процессы могут приближаться к равновесному сколь угодно близко.

Равновесный процесс может быть проведен в обратном направлении, причем система будет проходить через те же состояния, что и при прямом ходе, но в обратной последовательности. Поэтому равновесные процессы называют также **о б р а т и м ы м и**.

Обратимый (т. е. равновесный) процесс может быть изображен на координатной плоскости соответствующей кривой (см. рис. 81.1). Необратимые (т. е. неравновесные) процессы мы будем условно изображать пунктирными кривыми.

Процесс, при котором система после ряда изменений возвращается в исходное состояние, называется **к р у г о в ы м** процессом или **ц и к л о м**. Графически цикл изображается замкнутой кривой.

Понятия равновесного состояния и обратимого процесса играют большую роль в термодинамике. Все количественные выводы термодинамики строго применимы только к равновесным состояниям и обратимым процессам <sup>1)</sup>.

## § 8.2. Внутренняя энергия системы

Внутренней энергией какого-либо тела называется энергия этого тела за вычетом кинетической энергии тела как целого и потенциальной энергии тела во внешнем поле сил. Так, например, при определении внутренней энергии некоторой массы газа не должны учитываться энергия движения газа вместе с сосудом и энергия, обусловленная нахождением газа в поле сил земного тяготения.

Следовательно, в понятие внутренней энергии включаются кинетическая энергия хаотического движения молекул, потенциальная энергия взаимодействия между молекулами и внутримолекулярная энергия <sup>2)</sup>.

Внутренняя энергия системы тел равна сумме внутренних энергий каждого из тел в отдельности и энергии взаимодействия между телами, представляющей собой энергию межмолекулярного взаимодействия в тонком слое на границе между телами. Последняя энергия столь мала по сравнению с энергией макроскопических тел, что ею можно пренебречь и считать внутреннюю энергию системы макроскопических тел равной сумме внутренних энергий образующих систему тел. Таким образом, внутренняя энергия является аддитивной величиной.

Внутренняя энергия является функцией состояния системы. Это означает, что всякий раз, когда система оказывается в данном

---

<sup>1)</sup> Существует также термодинамика неравновесных процессов, однако мы ее касаться не будем.

<sup>2)</sup> Это определение следует рассматривать как предварительное. В статистической физике понятие внутренней энергии подвергается уточнению. Обсуждение этого уточнения выходит за рамки общего курса физики.

состоянии, ее внутренняя энергия принимает присущее этому состоянию значение, независимо от предыстории системы. Следовательно, изменение внутренней энергии при переходе системы из одного состояния в другое будет всегда равно разности значений внутренней энергии в этих состояниях, независимо от пути, по которому совершался переход, т. е. независимо от процесса или совокупности процессов, приведших к переходу системы из одного состояния в другое.

### § 83. Первое начало термодинамики

Внутренняя энергия может изменяться за счет в основном двух различных процессов: совершения над телом работы  $A'$  и сообщения ему количества тепла  $Q$ . Совершение работы сопровождается перемещением внешних тел, воздействующих на систему. Так, например, при вдвигании поршня, закрывающего сосуд с газом, поршень, перемещаясь, совершает над газом работу  $A'$ . По третьему закону Ньютона газ при этом совершает над поршнем работу  $A = -A'$ .

Сообщение газу тепла не связано с перемещением внешних тел и, следовательно, не связано с совершением над газом макроскопической (т. е. относящейся ко всей совокупности молекул, из которых состоит тело) работы. В этом случае изменение внутренней энергии обусловлено тем, что отдельные молекулы более нагретого тела совершают работу над отдельными молекулами тела, нагретого меньше. Передача энергии происходит при этом также через излучение. Совокупность микроскопических (т. е. захватывающих не все тело, а отдельные его молекулы) процессов, приводящих к передаче энергии от тела к телу, носит название **теплопередачи**.

Подобно тому как количество энергии, переданное одним телом другому, определяется работой  $A$ , совершаемой друг над другом телами, количество энергии, переданное от тела к телу путем теплопередачи, определяется количеством тепла  $Q$ , отданного одним телом другому. Таким образом, приращение внутренней энергии системы должно быть равно сумме совершенной над системой работы  $A'$  и количества сообщенного системе тепла  $Q$ :

$$U_2 - U_1 = Q + A'. \quad (83.1)$$

Здесь  $U_1$  и  $U_2$  — начальное и конечное значения внутренней энергии системы. Обычно вместо работы  $A'$ , совершаемой внешними телами над системой, рассматривают работу  $A$  (равную  $-A'$ ), совершаемую системой над внешними телами. Подставив  $-A$  вместо  $A'$  и разрешив уравнение (83.1) относительно  $Q$ , получим:

$$Q = U_2 - U_1 + A. \quad (83.2)$$

Уравнение (83.2) выражает закон сохранения энергии и представляет собой содержание первого закона (начала) термодинамики. Словами его можно выразить следующим образом: *количество тепла, сообщенное системе, идет на приращение внутренней энергии системы и на совершение системой работы над внешними телами.*

Сказанное отнюдь не означает, что всегда при сообщении тепла внутренняя энергия системы возрастает. Может случиться, что, несмотря на сообщение системе тепла, ее энергия не растет, а убывает ( $U_2 < U_1$ ). В этом случае согласно (83.2)  $A > Q$ , т. е. система совершает работу как за счет получаемого тепла  $Q$ , так и за счет запаса внутренней энергии, убыль которой равна  $U_1 - U_2$ . Нужно также иметь в виду, что величины  $Q$  и  $A$  в (83.2) являются алгебраическими ( $Q < 0$  означает, что система в действительности не получает тепло, а отдает).

Из (83.2) следует, что количество тепла  $Q$  можно измерять в тех же единицах, что и работу или энергию. В СИ единицей количества тепла служит джоуль.

Для измерения количества тепла применяется также особая единица, называемая калорией. Одна калория равна количеству тепла, необходимому для нагревания 1 г воды от 19,5 до 20,5°C. Тысяча калорий называется большой калорией или килокалорией.

Опытным путем установлено, что одна калория эквивалентна 4,18 Дж. Следовательно, один джоуль эквивалентен 0,24 кал. Величина  $1 = 4,18$  Дж/кал называется механическим эквивалентом тепла.

Если величины, входящие в (83.2), выражены в разных единицах, то некоторые из этих величин нужно умножить на соответствующий эквивалент. Так, например, выражая  $Q$  в калориях, а  $U$  и  $A$  в джоулях, соотношение (83.2) нужно записать в виде

$$1Q = U_2 - U_1 + A.$$

В дальнейшем мы будем всегда предполагать, что  $Q$ ,  $A$  и  $U$  выражены в одинаковых единицах, и писать уравнение первого начала термодинамики в виде (83.2).

При вычислении совершенной системой работы или полученного системой тепла обычно приходится разбивать рассматриваемый процесс на ряд элементарных процессов, каждый из которых соответствует весьма малому (в пределе — бесконечно малому) изменению параметров системы. Уравнение (83.2) для элементарного процесса имеет вид

$$\Delta'Q = \Delta U + \Delta'A, \quad (83.3)$$

где  $\Delta'Q$  — элементарное количество тепла,  $\Delta'A$  — элементарная работа и  $\Delta U$  — приращение внутренней энергии системы в ходе данного элементарного процесса.

Весьма важно иметь в виду, что  $\Delta'Q$  и  $\Delta'A$  нельзя рассматривать как приращения величин  $Q$  и  $A$ . Соответствующее элементарному процессу  $\Delta$  какой-либо величины  $f$  можно рассматривать

как приращение этой величины только в том случае, если  $\Sigma \Delta f$ , соответствующая переходу из одного состояния в другое, не зависит от пути, по которому совершается переход, т. е. если величина  $f$  является функцией состояния. В отношении функции состояния можно говорить о ее «запасе» в каждом из состояний. Например, можно говорить о запасе внутренней энергии, которым обладает система в различных состояниях.

Как мы увидим в дальнейшем, величина совершенной системой работы и количество полученного системой тепла зависят от пути перехода системы из одного состояния в другое. Следовательно, ни  $Q$ , ни  $A$  не являются функциями состояния, в силу чего нельзя говорить о запасе тепла или работы, которым обладает система в различных состояниях.

Таким образом, в символ  $\Delta$ , стоящий при  $A$  и  $Q$ , вкладывается иной смысл, чем в символ  $\Delta$ , стоящий при  $U$ . Чтобы подчеркнуть это обстоятельство, в первом случае  $\Delta$  снабжено штрихом. Символ  $\Delta U$  означает приращение внутренней энергии, символы  $\Delta' Q$  и  $\Delta' A$  означают не приращение, а элементарное количество теплоты и работы.

Чтобы произвести вычисления, в (83.3) переходят к дифференциалам. Тогда уравнение первого начала принимает следующий вид <sup>1)</sup>:

$$d'Q = dU + d'A. \quad (83.4)$$

Интегрирование (83.4) по всему процессу приводит к выражению

$$Q = (U_2 - U_1) + A,$$

тождественному с уравнением (83.2).

Еще раз подчеркнем, что, например, результат интегрирования  $d'A$  нельзя записать в виде

$$\int_1^2 d'A = A_2 - A_1.$$

Такая запись означала бы, что совершенная системой работа равна разности значений (т. е. запасов) работы во втором и первом состояниях.

## § 84. Работа, совершаемая телом при изменениях объема

Взаимодействие данного тела с соприкасающимися с ним телами можно охарактеризовать давлением, которое оно на них оказывает. С помощью давления можно описать взаимодействие газа со стен-

<sup>1)</sup> В уравнении (83.4)  $dU$  представляет собой полный дифференциал,  $d'Q$  и  $d'A$  не являются полными дифференциалами (см. § 22).

ками сосуда, а также твердого или жидкого тела со средой (например, газом), которая его окружает. Перемещение точек приложения сил взаимодействия сопровождается изменением объема тела. Следовательно, работа, совершаемая данным телом над внешними телами, может быть выражена через давление и изменения объема тела. Чтобы найти это выражение, рассмотрим следующий пример.

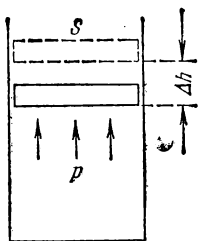


Рис. 84.1.

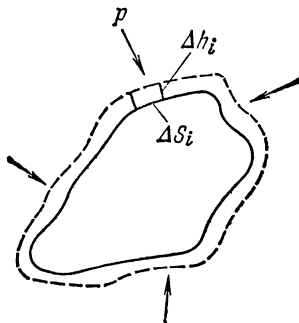


Рис. 84.2.

Пусть газ заключен в цилиндрический сосуд, закрытый плотно пригнанным легко скользящим поршнем (рис. 84.1). Если по каким-либо причинам газ станет расширяться, он будет перемещать поршень и совершать над ним работу. Элементарная работа, совершаемая газом при перемещении поршня на отрезок  $\Delta h$ , равна

$$\Delta' A = F \Delta h,$$

где  $F$  — сила, с которой газ действует на поршень. Заменяв эту силу произведением давления газа  $p$  на площадь поршня  $S$ , получим:

$$\Delta' A = p S \Delta h.$$

Но  $S \Delta h$  представляет собой приращение объема газа  $\Delta V$ . Поэтому выражение для элементарной работы можно записать следующим образом:

$$\Delta' A = p \Delta V. \quad (84.1)$$

Величина  $\Delta' A$  в (84.1), очевидно, является алгебраической. Действительно, при сжатии газа направления перемещения  $\Delta h$  и силы  $F$ , с которой газ действует на поршень, противоположны, вследствие чего элементарная работа  $\Delta' A$  будет отрицательна. Приращение объема  $\Delta V$  в этом случае также будет отрицательным. Таким образом, формула (84.1) дает правильное выражение для работы при любых изменениях объема газа.

Если давление газа остается постоянным (для этого должна одновременно изменяться соответствующим образом температура),

работа, совершаемая при изменении объема от значения  $V_1$  до значения  $V_2$ , будет равна

$$A_{12} = p(V_2 - V_1). \quad (84.2)$$

Если же при изменении объема давление меняется, формула (84.1) справедлива только для достаточно малых  $\Delta V$ . В этом случае работа, совершаемая при конечных изменениях объема, должна вычисляться как сумма элементарных работ вида (84.1), т. е. путем интегрирования:

$$A_{12} = \int_{V_1}^{V_2} p dV. \quad (84.3)$$

Найденные выражения для работы справедливы при любых изменениях объема твердых, жидких и газообразных тел. Чтобы в этом убедиться, рассмотрим еще один пример. Возьмем твердое тело произвольной формы, погруженное в жидкую или газообразную среду, которая оказывает на тело одинаковое во всех точках давление  $p$  (рис. 84.2). Предположим, что тело расширяется так, что отдельные элементарные участки его поверхности  $\Delta S_i$  получают различные перемещения  $\Delta h_i$ . Тогда  $i$ -й участок совершит работу  $\Delta' A_i$ , равную  $p \Delta S_i \Delta h_i$ . Работа, совершаемая телом, может быть найдена как сумма работ отдельных участков:

$$\Delta' A = \sum \Delta' A_i = \sum p \Delta S_i \Delta h_i.$$

Вынося за знак суммы одинаковое для всех участков  $p$  и замечая, что  $\sum \Delta S_i \Delta h_i$  дает приращение объема тела  $\Delta V$ , можно написать:  $\Delta' A = p \Delta V$ , т. е. и в общем случае мы приходим к формуле (84.1).

Изобразим процесс изменения объема тела на диаграмме ( $p, V$ ) (рис. 84.3). Элементарной работе  $\Delta' A_i = p_i \Delta V_i$  соответствует пло-

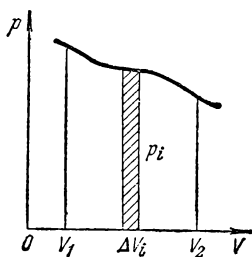


Рис. 84.3.

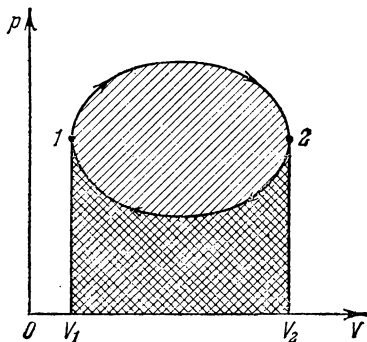


Рис. 84.4.

щадь узкой заштрихованной полоски на графике. Очевидно, что площадь, ограниченная осью  $V$ , кривой  $p=f(V)$  и прямыми  $V_1$  и  $V_2$ , численно равна работе, совершаемой при изменении объема

от значения  $V_1$  до  $V_2$ . Работа, совершаемая при круговом процессе, численно равна площади, охватываемой кривой (рис. 84.4). Действительно, работа на участке 1—2 положительна и численно равна площади, отмеченной наклоненной вправо штриховкой (рассматривается цикл, совершаемый по часовой стрелке). Работа на участке 2—1 отрицательна и численно равна площади, отмеченной наклоненной влево штриховкой. Следовательно, работа за цикл численно равна площади, охватываемой кривой, и будет положительна при прямом цикле (т. е. таком, который совершается в направлении по часовой стрелке) и отрицательна при обратном.

Из сказанного в § 81 ясно, что полученные нами формулы могут быть применены только к обратимым процессам.

Заметим, что, используя выражение (84.1) (с переходом к дифференциалам), уравнение (83.4) первого начала термодинамики можно написать следующим образом:

$$d'Q = dU + p dV. \quad (84.4)$$

## § 85. Температура

К определению понятия температуры можно прийти на основании следующих соображений. Если соприкасающиеся тела находятся в состоянии теплового равновесия, т. е. не обмениваются энергией путем теплопередачи, то этим телам приписывается одинаковая температура. Если при установлении теплового контакта между телами одно из них передает энергию другому посредством теплопередачи, то первому телу приписывается большая температура, чем второму. Ряд свойств тел — объем, электрическое сопротивление и т. п. — зависит от температуры. Любое из этих свойств может быть использовано для количественного определения температуры.

Приведем тело, выбранное нами для измерения температуры (термометрическое тело), в тепловое равновесие с тающим льдом, припишем телу в этом случае температуру  $0^\circ$  и охарактеризуем количественно то свойство тела (температурный признак), которое мы намереваемся использовать для измерения температуры. Пусть в качестве такого признака выбран объем тела, и значение его при  $0^\circ$  равно  $V_0$ . Затем приведем то же тело в тепловое равновесие с кипящей под атмосферным давлением водой, припишем ему в этом состоянии значение температуры, равное  $100^\circ$ , и определим соответствующий объем  $V_{100}$ . Принимая, что выбранный нами температурный признак (в рассматриваемом примере — объем) изменяется с температурой линейно, состоянию, в котором термометрическое тело имеет объем  $V$ , следует приписать температуру

$$t = \frac{V - V_0}{V_{100} - V_0} 100^\circ. \quad (85.1)$$

Установленная таким образом температурная шкала называется, как известно, шкалой Цельсия. Соотношение, аналогичное (85.1), можно написать и для случая, когда для измерения температуры берется не объем, а какой-либо иной температурный признак.

Проградуировав описанным способом термометр, его можно использовать для измерения температуры, приводя в тепловое равновесие с тем телом, температура которого нас интересует, и производя отсчет величины объема.

При сравнении термометров, использующих различные по природе термометрические тела (например, ртуть и спирт) или различные температурные признаки (например, объем и электрическое сопротивление), обнаруживается, что показания этих термометров, совпадая из-за способа градуировки при  $0^\circ$  и  $100^\circ$ , не совпадают при других температурах. Отсюда следует, что для однозначного определения температурной шкалы необходимо условиться, кроме способа градуировки, также о выборе термометрического тела и температурного признака. О том, как делается этот выбор при установлении так называемой эмпирической шкалы температур, будет сказано в следующем параграфе. Забегая вперед, укажем, что на основе второго начала термодинамики может быть установлена температурная шкала, не зависящая от свойств термометрического тела (см. § 106). Эта шкала называется **термодинамической шкалой температур**.

В технике и в быту применяется международная практическая температурная шкала 1968 г. (МПТШ-1968), ранее именовавшаяся шкалой Цельсия. В физике более удобна **абсолютная шкала**. Температура  $T$ , отсчитанная по этой шкале, связана с температурой  $t$  по международной практической шкале соотношением

$$T = t + 273,15.$$

Единицу абсолютной температуры называют **кельвином** (обозначается К). Раньше ее именовали градусом Кельвина (и обозначали  $^\circ\text{K}$ ). Международную практическую температуру измеряют в **градусах Цельсия** ( $^\circ\text{C}$ ). Значения кельвина и градуса Цельсия одинаковы. Температура, равная 0 К, называется **абсолютным нулем**, ему соответствует  $t = -273,15^\circ\text{C}$ .

В дальнейшем (см. § 97) мы покажем, что абсолютная температура пропорциональна средней кинетической энергии поступательного движения молекул вещества. В этом заключается физический смысл абсолютной температуры.

## § 86. Уравнение состояния идеального газа

Состояние заданной массы газа определяется значениями трех параметров: давления  $p$ , объема  $V$  и температуры  $T$ . Эти параметры закономерно связаны друг с другом, так что изменение од-

ного из них влечет за собой изменение других. Указанная связь может быть задана аналитически в виде функции

$$F(p, V, T) = 0. \quad (86.1)$$

Соотношение, определяющее связь между параметрами какого-либо тела, называется уравнением состояния этого тела. Следовательно, (86.1) представляет собой уравнение состояния данной массы газа.

Простейшими свойствами обладает газ, взаимодействие между молекулами которого пренебрежимо мало. Такой газ называется идеальным. Взаимодействие между молекулами всякого газа становится пренебрежимо слабым при большом разрежении, т. е. при малых плотностях газа. Всякий реальный газ при достаточном разрежении близок по своим свойствам к идеальному. Некоторые газы, такие, как воздух, азот, кислород, даже при обычных условиях, т. е. при комнатной температуре и атмосферном давлении, мало отличаются от идеального газа. Особенно близки по своим свойствам к идеальному газу гелий и водород.

При небольших плотностях газы с хорошей точностью подчиняются уравнению

$$\frac{pV}{T} = \text{const.} \quad (86.2)$$

Следовательно, это уравнение есть уравнение состояния идеального газа.

В соответствии с законом, установленным Авогадро, моли всех газов занимают при одинаковых условиях (т. е. при одинаковых температуре и давлении) одинаковый объем. В частности, при так называемых нормальных условиях, т. е. при  $0^\circ\text{C}$  и давлении в 1 атм ( $1,01 \cdot 10^5$  Па), объем моля любого газа равен  $22,4$  л/моль  $= 22,4 \cdot 10^{-3}$  м<sup>3</sup>/моль. Отсюда следует, что в случае, когда количество газа равно одному молю, величина константы в (86.2) будет одинакова для всех газов. Обозначив соответствующую молю величину константы буквой  $R$ , напомним уравнение (86.2) следующим образом:

$$pV_m = RT. \quad (86.3)$$

Мы поставили при  $V$  индекс «м», чтобы показать, что речь идет об объеме, занимаемом при данных  $p$  и  $T$  молем газа. Уравнение (86.3) есть уравнение состояния идеального газа, написанное для одного моля.

Величина  $R$  называется газовой постоянной. Согласно соотношению (86.3) и закону Авогадро

$$R = \frac{pV_m}{T} = \frac{1,01 \cdot 10^5 \cdot 22,4 \cdot 10^{-3}}{273} \frac{\text{Па} \cdot \text{м}^3/\text{моль}}{\text{К}} = 8,31 \text{ Дж}/(\text{моль} \cdot \text{К})$$

(произносится: джоуль на моль-кельвин)<sup>1)</sup>.

От уравнения (86.3) для одного моля легко перейти к уравнению для любой массы  $m$ , приняв во внимание, что при одинаковых давлении и температуре  $\nu$  молей газа будут занимать в  $\nu$  раз больший объем, чем один моль:  $V = \nu V_m$ . Умножив (86.3) на  $\nu = m/M$  ( $m$  — масса газа,  $M$  — молярная масса) и заменив  $\nu V_m$  на  $V$ , получим уравнение

$$pV = \frac{m}{M} RT. \quad (86.4)$$

Это уравнение представляет собой уравнение состояния идеального газа, написанное для массы газа  $m$ .

Уравнению (86.4) можно придать другой вид. Для этого введем величину

$$k = \frac{R}{N_A} \quad (86.5)$$

( $R$  — газовая постоянная,  $N_A$  — число Авогадро). Эта величина называется постоянной Больцмана. Она имеет более глубокий физический смысл, чем постоянная  $R$ . В § 97 будет показано, что  $k$  представляет собой коэффициент пропорциональности между средней энергией тепловых движений молекулы и абсолютной температурой. Подстановка в (86.5) числовых значений  $R$  и  $N_A$  дает

$$k = \frac{8,31 \text{ Дж}/(\text{моль} \cdot \text{К})}{6,022 \cdot 10^{23} \text{ моль}^{-1}} = 1,38 \cdot 10^{-23} \text{ Дж/К}.$$

Умножим и разделим правую часть уравнения (86.4) на  $N_A$ . Тогда уравнение можно написать в виде

$$pV = \nu N_A k T.$$

Произведение  $\nu N_A$  равно числу молекул  $N$ , содержащихся в массе газа  $m$ . С учетом этого получаем, что

$$pV = NkT. \quad (86.6)$$

Теперь разделим обе части уравнения (86.6) на  $V$ . Приняв во внимание, что  $N/V$  есть число молекул в единице объема  $n$ , приходим к формуле

$$p = nkT. \quad (86.7)$$

Уравнения (86.4), (86.6) и (86.7) представляют собой различные формы записи уравнения состояния идеального газа.

<sup>1)</sup> Для практических расчетов иногда бывает удобно пользоваться значением  $R$  в литр-атмосферах на моль-кельвин:

$$R = \frac{1 \text{ атм} \cdot 22,4 \text{ л/моль}}{273 \text{ К}} = 0,0820 \text{ л} \cdot \text{атм}/(\text{моль} \cdot \text{К}).$$

Отношение массы газа к занимаемому им объему дает плотность газа:  $\rho = m/V$ . Согласно (86.4) плотность идеального газа

$$\rho = \frac{Mp}{RT}. \quad (86.8)$$

Таким образом, плотность идеального газа пропорциональна давлению и обратно пропорциональна температуре.

Простая связь между температурой и остальными параметрами идеального газа делает заманчивым использование его в качестве термометрического вещества. Обеспечив постоянство объема и используя в качестве температурного признака давление газа, можно получить термометр с идеально линейной температурной шкалой. В дальнейшем эту шкалу мы будем называть *идеальной газовой шкалой температуры*.

Практически, по международному соглашению, в качестве термометрического тела берется водород. Установленная по водороду с использованием уравнения (86.4) шкала называется *эмпирической шкалой температуры*.

## § 87. Внутренняя энергия и теплоемкость идеального газа

Опыт показывает, что внутренняя энергия идеального газа зависит только от температуры:

$$U = BV. \quad (87.1)$$

Здесь  $B$  — коэффициент пропорциональности, который остается постоянным в весьма широком интервале температур.

Отсутствие зависимости внутренней энергии от занимаемого газом объема указывает на то, что молекулы идеального газа подавляющую часть времени не взаимодействуют друг с другом. Действительно, если бы молекулы взаимодействовали между собой, во внутреннюю энергию входила бы слагаемым потенциальная энергия взаимодействия, которая зависела бы от среднего расстояния между молекулами, т. е. от  $V^{1/3}$ .

Отметим, что взаимодействие должно иметь место при столкновениях, т. е. при сближении молекул на очень малое расстояние. Однако такие столкновения в разреженном газе происходят редко. Подавляющую часть времени каждая молекула проводит в свободном полете.

*Теплоемкостью* какого-либо тела называется величина, равная количеству тепла, которое нужно сообщить телу, чтобы повысить его температуру на один кельвин. Если сообщение телу количества тепла  $d'Q$  повышает его температуру на  $dT$ , то теплоемкость по определению равна

$$C_{\text{тела}} = \frac{d'Q}{dT}. \quad (87.2)$$

Эта величина измеряется в джоулях на кельвин (Дж/К).

Теплоемкость моля вещества, называемую *молярной теплоемкостью*, мы будем обозначать прописной буквой  $C$ . Измеряется она в джоулях на моль-кельвин ( $\text{Дж}/(\text{моль} \cdot \text{К})$ ).

Теплоемкость единицы массы вещества называется *удельной теплоемкостью*. Ее мы будем обозначать строчной буквой  $c$ . Измеряется  $c$  в джоулях на килограмм-кельвин ( $\text{Дж}/(\text{кг} \cdot \text{К})$ ).

Между молярной и удельной теплоемкостями одного и того же вещества имеется соотношение

$$c = C/M \quad (87.3)$$

( $M$  — молярная масса).

Величина теплоемкости зависит от условий, при которых происходит нагревание тела. Наибольший интерес представляет теплоемкость для случаев, когда нагревание происходит при постоянном объеме или при постоянном давлении. В первом случае теплоемкость называется *теплоемкостью при постоянном объеме* (обозначается  $C_V$ ), во втором — *теплоемкостью при постоянном давлении* ( $C_p$ ).

Если нагревание происходит при постоянном объеме, тело не совершает работы над внешними телами и, следовательно, согласно первому началу термодинамики (см. (83.4)), все тепло идет на приращение внутренней энергии тела:

$$d'Q_V = dU. \quad (87.4)$$

Из (87.4) вытекает, что теплоемкость любого тела при постоянном объеме равна

$$C_V = \left( \frac{\partial U}{\partial T} \right)_V. \quad (87.5)$$

Такая запись подчеркивает то обстоятельство, что при дифференцировании выражения для  $U$  по  $T$  объем следует считать постоянным. В случае идеального газа  $U$  зависит только от  $T$ , так что выражение (87.5) можно представить в виде

$$C_V = \frac{dU_m}{dT}$$

(чтобы получить молярную теплоемкость, нужно взять внутреннюю энергию моля газа).

Выражение (87.1) для одного моля газа имеет вид  $U_m = B_m T$ . Продифференцировав его по  $T$ , получим, что  $C_V = B_m$ . Таким образом, выражение для внутренней энергии одного моля идеального газа можно представить в виде

$$U_m = C_V T, \quad (87.6)$$

где  $C_V$  — молярная теплоемкость газа при постоянном объеме.

Внутренняя энергия произвольной массы газа  $m$  будет равна внутренней энергии одного моля, умноженной на число молей газа, содержащихся в массе  $m$ :

$$U = \frac{m}{M} C_V T. \quad (87.7)$$

Если нагревание газа происходит при постоянном давлении, то газ будет расширяться, совершая над внешними телами положительную работу. Следовательно, для повышения температуры газа на один кельвин в этом случае понадобится больше тепла, чем при нагревании при постоянном объеме, — часть тепла будет затрачиваться на совершение газом работы. Поэтому теплоемкость при постоянном давлении должна быть больше, чем теплоемкость при постоянном объеме.

Напишем уравнение (84.4) первого начала термодинамики для моля газа:

$$d'Q_p = dU_m + p dV_m. \quad (87.8)$$

В этом выражении индекс  $p$  при  $d'Q$  указывает на то, что тепло сообщается газу в условиях, когда  $p$  постоянно. Разделив (87.8) на  $dT$ , получим выражение для молярной теплоемкости газа при постоянном давлении:

$$C_p = \frac{dU_m}{dT} + p \left( \frac{\partial V_m}{\partial T} \right)_p. \quad (87.9)$$

Слагаемое  $dU_m/dT$  равно, как мы видели, молярной теплоемкости при постоянном объеме. Поэтому формула (87.9) может быть написана следующим образом:

$$C_p = C_V + p \left( \frac{\partial V_m}{\partial T} \right)_p. \quad (87.10)$$

Величина  $(\partial V_m/\partial T)_p$  представляет собой приращение объема моля газа при повышении температуры на один кельвин, получающееся в случае, когда  $p$  постоянно. В соответствии с уравнением состояния (86.3)  $V_m = RT/p$ . Дифференцируя это выражение по  $T$ , полагая  $p = \text{const}$ , находим

$$\left( \frac{\partial V_m}{\partial T} \right)_p = \frac{R}{p}.$$

Наконец, подставив этот результат в (87.10), получаем

$$C_p = C_V + R. \quad (87.11)$$

Таким образом, работа, которую совершает моль идеального газа при повышении его температуры на один кельвин при постоянном давлении, оказывается равной газовой постоянной  $R$ . Отметим, что соотношение (87.11) получено с использованием урав-

нения состояния идеального газа и, следовательно, справедливо только для идеального газа.

Величина

$$\gamma = C_p/C_v \quad (87.12)$$

представляет собой характерную для каждого газа величину. Для одноатомных газов это отношение близко к  $5/3$ , для двухатомных — к  $7/5$ , для трехатомных — к  $4/3$  и т. д. В дальнейшем (см. § 97) мы увидим, что значение  $\gamma$  определяется числом и характером степеней свободы молекулы.

В соответствии с (87.11)

$$\gamma = \frac{C_p}{C_v} = \frac{C_v + R}{C_v} = 1 + \frac{R}{C_v},$$

откуда

$$C_v = \frac{R}{\gamma - 1}. \quad (87.13)$$

Подставив это значение  $C_v$  в формулу (87.7), получим следующее выражение:

$$U = \frac{m}{M} \frac{RT}{\gamma - 1}. \quad (87.14)$$

Сопоставление с (86.4) дает еще одно выражение для внутренней энергии идеального газа:

$$U = \frac{1}{\gamma - 1} pV. \quad (87.15)$$

## § 88. Уравнение адиабаты идеального газа

В ходе какого-либо процесса газ, кроме уравнения состояния, подчиняется дополнительному условию, определяемому характером процесса. Так, например, в ходе процесса, называемого *изобарическим*, выполняется условие  $p = \text{const}$ . При *изохорическом* процессе выполняется условие  $V = \text{const}$ . Наконец, при *изотермическом* процессе выполняется условие  $T = \text{const}$ . Для идеального газа условие  $T = \text{const}$  равнозначно условию

$$pV = \text{const}. \quad (88.1)$$

Уравнение (88.1) называется уравнением изотермы идеального газа, а кривая, определяемая этим уравнением, именуется *изотермой*.

*Адиабатическим* называется процесс, протекающий без теплообмена с внешней средой. Найдем уравнение, связывающее параметры идеального газа при адиабатическом процессе. Подставим в уравнение (84.4) первого начала термодинамики выражение

$dU$  для идеального газа:

$$d'Q = \frac{m}{M} C_V dT + p dV.$$

Так как для адиабатического процесса  $d'Q=0$ , должно выполняться условие

$$\frac{m}{M} C_V dT + p dV = 0. \quad (88.2)$$

Теперь выразим  $p$  через  $V$  и  $T$  в соответствии с уравнением состояния идеального газа:

$$p = \frac{m}{M} \frac{RT}{V},$$

и подставим это выражение в (88.2). В результате, сокращая на отличный от нуля множитель  $m/M$ , получим

$$C_V dT + RT \frac{dV}{V} = 0.$$

Преобразуем полученное выражение следующим образом:

$$\frac{dT}{T} + \frac{R}{C_V} \frac{dV}{V} = 0.$$

Последнее соотношение можно записать в виде

$$d \left( \ln T + \frac{R}{C_V} \ln V \right) = 0,$$

откуда следует, что при адиабатическом процессе

$$\left( \ln T + \frac{R}{C_V} \ln V = \text{const.} \right. \quad (88.3)$$

В соответствии с (87.13) отношение  $R/C_V$  можно заменить через  $\gamma-1$ , где  $\gamma=C_p/C_V$ . Произведя в (88.3) такую замену и пропоненцировав полученное выражение, придем к уравнению

$$TV^{\gamma-1} = \text{const.} \quad (88.4)$$

Полученное соотношение представляет собой уравнение адиабаты идеального газа в переменных  $T$  и  $V$ . От этого уравнения можно перейти к уравнению в переменных  $p$  и  $V$ , заменив в нем  $T$  через  $p$  и  $V$  в соответствии с уравнением состояния идеального газа:

$$T = \frac{M}{m} \frac{pV}{R}.$$

Подставив это выражение в (88.4) и учтя, что  $m$ ,  $M$  и  $R$  — постоян-

ные, получим

$$pV^\gamma = \text{const}^1). \quad (88.5)$$

Соотношение (88.5) есть уравнение адиабаты идеального газа в переменных  $p$  и  $V$ . Его называют также у р а в н е н и е м П у а с с о н а.

Из сопоставления уравнения адиабаты (88.5) с уравнением изотермы (88.1) следует, что адиабата идет круче, чем изотерма. Вычислим  $dp/dV$  для изотермы и адиабаты в одной и той же точке  $(p, V)$  (рис. 88.1). Дифференцирование уравнения (88.1) дает

$$p dV + V dp = 0,$$

откуда для изотермы получаем

$$\frac{dp}{dV} = -\frac{p}{V}. \quad (88.6)$$

Продифференцировав (88.5), получим  $p\gamma V^{\gamma-1}dV + V^\gamma dp = 0$ , откуда

$$\frac{dp}{dV} = -\gamma \frac{p}{V}.$$

Таким образом, тангенс угла наклона адиабаты в  $\gamma$  раз больше, чем у изотермы.

Во всех рассуждениях мы предполагали, что состояние газа в каждый момент времени характеризуется определенными значе-

ниями параметров  $p$  и  $T$ , т. е., иными словами, что рассматриваемый адиабатический процесс является обратимым. Как мы знаем, обратимым может быть только процесс, протекающий очень медленно. Вместе с тем, поскольку совершенно не проводящих тепло веществ в природе не существует, количество тепла, которым обменивается система с ее окружением, будет тем меньше, чем меньше время длится процесс. Таким образом, близкими к адиабатическому могут быть только быстро протекающие процессы. Примером такого процесса могут служить сжатие и расширение, происходящие в каждой точке газа, в котором распространяется звуковая волна. Несмотря на то, что в пределах большого объема состояние газа при этом отнюдь не является равновесным ( $p$  и  $T$  в разных точках различны), поведение газа в пределах каждого достаточно малого объема вполне удовлетворительно описывается уравнением адиабаты (88.5).

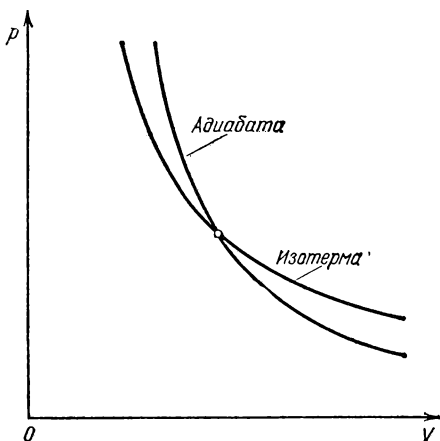


Рис. 88.1.

<sup>1)</sup> Значения  $\text{const}$  в формулах (88.3) — (88.5), очевидно, различны.

## § 89. Политропические процессы

Политропическими называются процессы, при которых *теплоемкость тела остается постоянной*. Таким образом, условие, которое выполняется в ходе политропического процесса, заключается в том, что

$$C = \text{const.} \quad (89.1)$$

Найдем уравнение политропы для идеального газа. Напишем уравнение первого начала (84.4) для одного моля газа, представив  $d'Q$  в виде  $C dT$ , а  $dU$  — в виде  $C_V dT$ :

$$C dT = C_V dT + p dV. \quad (89.2)$$

В полученное уравнение входят все три параметра:  $p$ ,  $V$  и  $T$ . Один из них можно исключить с помощью уравнения состояния. Чтобы получить уравнение политропы сразу в переменных  $p$  и  $V$ , исключим  $T$ . Для этого продифференцируем соотношение  $pV = RT$ :

$$p dV + V dp = R dT. \quad (89.3)$$

Исключив из уравнений (89.2) и (89.3)  $dT$  и произведя приведение подобных членов, получим

$$(C - C_V - R) p dV + (C - C_V) V dp = 0. \quad (89.4)$$

Заменив  $C_V + R$  через  $C_p$  (см. (87.11)) и разделив (89.4) на  $pV$ , придем к дифференциальному уравнению

$$(C - C_p) \frac{dV}{V} + (C - C_V) \frac{dp}{p} = 0. \quad (89.5)$$

Величины  $C$ ,  $C_p$  и  $C_V$  являются константами. Поэтому интегрирование уравнения (89.5) приводит к соотношению

$$(C - C_p) \ln V + (C - C_V) \ln p = \text{const.} \quad (89.6)$$

Разделив это соотношение на  $C - C_V$  (что возможно, если  $C \neq C_V$ ) и произведя потенцирование, получим

$$pV^n = \text{const}, \quad (89.7)$$

где

$$n = \frac{C - C_p}{C - C_V}. \quad (89.8)$$

Уравнение (89.7) и есть искомое уравнение политропы идеального газа для случая, когда  $C \neq C_V$ . Величина (89.8) называется показателем политропы.

Чтобы установить характер политропического процесса при  $C = C_V$ , обратимся к уравнению (89.6). При  $C = C_V$  это уравнение принимает вид  $(C - C_p) \ln V = \text{const}$ , откуда следует, что  $V$  в ходе процесса остается постоянным. Таким образом, политропический

процесс с  $C=C_V$  является изохорическим процессом. Это можно было предвидеть заранее, поскольку  $C_V=\text{const}$  и представляет собой теплоемкость при постоянном объеме, т. е. при изохорическом процессе. Согласно (89.8) показатель политропы при изохорическом процессе равен бесконечности.

Таблица 89.1

Процесс	$n$
Изобарический	0
Изотермический	1
Адиабатический	$\infty$
Изохорический	$\infty$

Остальные рассмотренные в предыдущем параграфе процессы также относятся к категории политропических процессов. Изобарическому процессу соответствует  $n=0$  (см. (89.7)), изотермическому —  $n=1$  и, наконец, адиабатическому —  $n=\gamma$ . Значения показателя политропы  $n$  для перечисленных процессов даны в табл. 89.1.

Решив уравнение (89.8) относительно  $C$ , получим формулу для теплоемкости идеального газа при политропическом процессе:

$$C = \frac{nC_V - C_p}{n-1}. \quad (89.9)$$

Подстановка  $n=\gamma$  обращает выражение (89.9) в нуль (при проверке этого утверждения нужно принять во внимание формулу (87.13)). Следовательно, теплоемкость идеального газа при адиабатическом процессе равна нулю. При адиабатическом процессе теплоемкость равна нулю для всех тел. Это вытекает из того, что при адиабатическом процессе  $d'Q=0$ , в то время как  $dT$  отличен от нуля.

Подстановка  $n=1$  обращает выражение (89.9) в бесконечность. Таким образом, при изотермическом процессе теплоемкость бесконечно велика. Это объясняется тем, что при изотермическом процессе  $dT=0$ , в то время как  $d'Q$  отличен от нуля.

## § 90. Работа, совершаемая идеальным газом при различных процессах

Работа, которая совершается при переходе из состояния 1 в состояние 2 каким-либо телом над внешними телами, равна

$$A_{12} = \int_{V_1}^{V_2} p dV \quad (90.1)$$

(см. (84.3)). Чтобы произвести интегрирование, нужно выразить  $p$  через  $V$ . Для этого воспользуемся связью между  $p$  и  $V$  при различных процессах.

Уравнение политропы идеального газа (89.7) можно написать следующим образом:

$$pV^n = p_1V_1^n = p_2V_2^n,$$

где  $p_1$ ,  $V_1$  и  $p_2$ ,  $V_2$  — значения давления и объема газа соответственно в первом (начальном) и втором (конечном) состояниях,  $p$  и  $V$  — давление и объем в любом промежуточном состоянии. Выразим в соответствии с этим соотношением давление газа через его объем и значения параметров в начальном состоянии <sup>1)</sup>:

$$p = p_1 V_1^n / V^n.$$

Подстановка этого выражения в (90.1) дает

$$A_{12} = p_1 V_1^n \int_{V_1}^{V_2} \frac{dV}{V^n}. \quad (90.2)$$

Рассмотрим сначала случай  $n \neq 1$ ; тогда интеграл в (90.2) равен

$$\int_{V_1}^{V_2} \frac{dV}{V^n} = \frac{1}{n-1} \left( \frac{1}{V_1^{n-1}} - \frac{1}{V_2^{n-1}} \right).$$

Подставив это значение интеграла в (90.2) и произведя несложные преобразования, получим:

$$A_{12} = \frac{p_1 V_1}{n-1} \left[ 1 - \left( \frac{V_1}{V_2} \right)^{n-1} \right]. \quad (90.3)$$

Полученное выражение можно преобразовать, воспользовавшись тем, что, какой бы процесс ни происходил с идеальным газом, его параметры связаны уравнением состояния. В частности, это справедливо и для начального состояния:

$$p_1 V_1 = \frac{m}{M} R T_1. \quad (90.4)$$

Приняв во внимание (90.4), напомним выражение (90.3) в виде

$$A_{12} = \frac{m}{M} \frac{R T_1}{n-1} \left[ 1 - \left( \frac{V_1}{V_2} \right)^{n-1} \right]. \quad (90.5)$$

Выражения (90.3) и (90.5) дают работу, совершаемую идеальным газом при любом политропическом процессе, кроме изотермического (соответствующего  $n=1$ ) <sup>2)</sup>. В частности, при адиабатическом процессе

$$A_{12} = \frac{p_1 V_1}{\gamma-1} \left[ 1 - \left( \frac{V_1}{V_2} \right)^{\gamma-1} \right] \quad (90.6)$$

или

$$A_{12} = \frac{m}{M} \frac{R T_1}{\gamma-1} \left[ 1 - \left( \frac{V_1}{V_2} \right)^{\gamma-1} \right]. \quad (90.7)$$

Чтобы вычислить работу идеального газа при изотермическом процессе, заменим давление в формуле (90.1) его выражением

<sup>1)</sup> С таким же успехом можно выразить давление через параметры конечного состояния.

<sup>2)</sup> При  $n=1$  выражения (90.3) и (90.5) становятся неопределенными.

через другие величины в соответствии с уравнением состояния. В результате получим ( $T$  можно вынести за знак интеграла, поскольку она постоянна):

$$A_{12} = \frac{m}{M} RT \int_{V_1}^{V_2} \frac{dV}{V} = \frac{m}{M} RT \ln \frac{V_2}{V_1}.$$

Итак, работа, совершаемая идеальным газом при изотермическом процессе, равна

$$A_{12} = \frac{m}{M} RT \ln \frac{V_2}{V_1}. \quad (90.8)$$

При изобарическом процессе работа, совершаемая любым телом, в том числе и идеальным газом, равна, как следует из (90.1),

$$A_{12} = p(V_2 - V_1). \quad (90.9)$$

Тот же результат получается, если положить в (90.3)  $n$  равным нулю. В заключение отметим, что при изохорическом процессе работа равна нулю, что справедливо для любых тел.

## § 91. Ван-дер-ваальсовский газ

В § 86 отмечалось, что поведение реальных газов хорошо описывается уравнением

$$pV_m = RT \quad (91.1)$$

только при малых плотностях, т. е. при не слишком больших давлениях и достаточно высоких температурах (см. (86.8)). С повышением давления и уменьшением температуры наблюдаются значительные отступления от уравнения. Во втором столбце табл. 91.1 приведены значения произведения  $pV$  для массы азота, занимающей при нормальных условиях объем, равный одному литру. Указанные значения даны для различных давлений и одной и той же температуры 0°C.

Таблица 91.1

$p$ , атм	$pV$ , атм·л	$\left(p + \frac{a'}{V^2}\right)(V - b')$ , атм·л
1	1,000	1,000
100	0,994	1,000
200	1,048	1,009
500	1,390	1,014
1000	2,069	0,893

В соответствии с уравнением (91.1) произведение  $pV$  при неизменной температуре должно оставаться постоянным. В действительности, как видно из таблицы, при давлениях порядка 200 атм наблюдаются заметные отклонения, которые, непрерывно возрастающая с увеличением давления, достигают при 1000 атм более 100%.

Эти отклонения не представляются удивительными, поскольку при увеличении плотности начинают играть все большую роль объем молекул и взаимодействие между ними.

Для описания поведения газов в широком интервале плотностей было предложено много различных уравнений. Самым простым из них и вместе с тем дающим достаточно хорошие результаты оказалось уравнение Ван-дер-Ваальса. Это уравнение получено путем внесения поправок в уравнение (91.1) и имеет следующий вид:

$$\left(p + \frac{a}{V_m^2}\right)(V_m - b) = RT, \quad (91.2)$$

где  $p$  — давление, оказываемое на газ извне (равное давлению газа на стенки сосуда),  $a$  и  $b$  — константы Ван-дер-Ваальса, имеющие для разных газов различные значения, определяемые опытным путем. Если давление выражено в паскалях, а объем — в кубических метрах на моль, то константа  $a$  измеряется в Па·м<sup>6</sup>/моль<sup>2</sup>, а константа  $b$  — в м<sup>3</sup>/моль. Иногда константу  $a$  выражают в атм·л<sup>2</sup>/моль<sup>2</sup>, а константу  $b$  — в л/моль.

Из-за взаимного притяжения между молекулами газ как бы сжимается большим давлением, чем давление  $p$ , оказываемое на газ стенками сосуда, в котором он заключен. Поправка  $a/V_m^2$  характеризует ту добавку к внешнему давлению, которая обусловлена взаимным притяжением молекул друг к другу. Заметное воздействие молекул друг на друга осуществляется в пределах небольших расстояний, называемых радиусом молекулярного действия. Сила взаимного притяжения двух элементарных объемов, имеющих размеры порядка этого радиуса, пропорциональна как числу молекул, заключенных в одном из объемов, так и числу молекул, заключенных в другом объеме. Каждое из этих чисел в свою очередь пропорционально числу молекул в единице объема, т. е. обратно пропорционально объему газа. Этими соображениями можно пояснить то обстоятельство, что поправка к давлению в (91.2) имеет вид  $a/V_m^2$ .

Вследствие того, что молекулы обладают конечным объемом, пространство, доступное для движения молекул, оказывается меньшим, чем объем сосуда  $V_m$ . Поправка  $b$  в (91.2) характеризует ту часть объема, которая недоступна для движения молекул. Она равна нескольким суммарным объемам молекул, содержащихся в моле газа.

Уравнение (91.2) написано для одного моля газа. Чтобы перейти к уравнению для произвольной массы  $m$ , нужно учесть, что  $v$  молей газа при тех же условиях занимают в  $v$  раз больший объем:  $V = vV_m$ . Заменяя в (91.2)  $V_m$  через  $V/v$ , получим

$$\left(p + \frac{v^2 a}{V^2}\right)\left(\frac{V}{v} - b\right) = RT.$$

Умножив это уравнение на  $v$  и введя обозначения

$$a' = v^2 a, \quad b' = v b, \quad (91.3)$$

приходим к уравнению Ван-дер-Ваальса для  $v$  молей:

$$\left(p + \frac{a'}{v^2}\right)(V - b') = vRT. \quad (91.4)$$

Буквами  $a'$  и  $b'$  обозначены константы Ван-дер-Ваальса для  $v$  молей. Их связь с  $a$  и  $b$  дается соотношениями (91.3). Константа  $a'$  измеряется в Па·м<sup>6</sup>, константа  $b'$  имеет размерность объема.

Насколько уравнение Ван-дер-Ваальса лучше передает поведение газов, чем уравнение (91.1), можно судить по данным, приведенным в табл. 91.1. В третьем столбце таблицы даны значения величины  $\left(p + \frac{a'}{v^2}\right)(V - b')$  для той же массы азота, для которой даны во втором столбце значения  $pV$ . Как видно из таблицы, уравнение Ван-дер-Ваальса гораздо лучше согласуется с экспериментом, чем уравнение (91.1).

В соответствии с тем фактом, что все реальные газы с уменьшением плотности приближаются по своим свойствам к идеальному газу, уравнение Ван-дер-Ваальса в пределе, при стремлении объема к бесконечности, переходит в уравнение (91.1). В этом можно убедиться, вынеся в уравнении (91.4)  $p$  и  $V$  за скобки:

$$pV \left(1 + \frac{1}{pV} \frac{a'}{v}\right) \left(1 - \frac{b'}{V}\right) = vRT$$

и приняв во внимание, что произведение  $pV$  остается примерно постоянным.

Реальные газы следуют уравнению Ван-дер-Ваальса лишь приближенно. Воображаемый газ, точно подчиняющийся уравнению (91.2), называется ван-дер-ваальсовским.

Внутренняя энергия ван-дер-ваальсовского газа должна включать в себя, кроме кинетической энергии молекул, энергию взаимодействия между молекулами. Для нахождения внутренней энергии ван-дер-ваальсовского газа воспользуемся тем обстоятельством, что работа, совершаемая при расширении газа против сил взаимного притяжения молекул друг к другу, равна приращению энергии взаимодействия:  $d'A = dE_p$ . Силы взаимного притяжения между молекулами учтены в уравнении (91.2) с помощью добавки к давлению, равной  $a/V_m^2$ . Соответственно работа против сил взаимодействия между молекулами может быть представлена в виде  $(a/V_m^2)dV_m$  (подобно этому работа, совершаемая газом против внешних сил, определяется выражением  $p dV$ ). Таким образом,

$$dE_p = \frac{a}{V_m^2} dV_m.$$

<sup>1)</sup> В соответствии с (91.4) эта величина должна быть постоянной.

Интегрирование этого выражения дает, что

$$E_p = -\frac{a}{V_m} + \text{const.} \quad (91.5)$$

Внутренняя энергия ван-дер-ваальсовского газа зависит как от объема, так и от температуры. Следовательно, выражение для  $U_m$  имеет вид

$$U_m = f(T) - \frac{a}{V_m}$$

(мы включили  $\text{const}$  выражения (91.5) в  $f(T)$ ). Это выражение в пределе при стремлении объема к бесконечности должно переходить в выражение (87.6) для внутренней энергии идеального газа. Следовательно,  $f(T) = C_v T$ .

Итак, внутренняя энергия моля ван-дер-ваальсовского газа определяется формулой

$$U_m = C_v T - \frac{a}{V_m}. \quad (91.6)$$

Внутренняя энергия  $\nu$  молей будет в  $\nu$  раз больше:

$$U = \nu C_v T - \frac{a'}{V} \quad (91.7)$$

(мы учли, что  $\nu^2 a = a'$  и  $\nu V_m = V$ ). По формулам (91.6) и (91.7) можно находить приближенные значения внутренней энергии реальных газов.

## § 92. Барометрическая формула

Атмосферное давление на какой-либо высоте  $h$  обусловлено весом вышележащих слоев газа. Обозначим буквой  $p$  давление на высоте  $h$ . Тогда давление на высоте  $h+dh$  будет  $p+dp$ , причем если  $dh$  больше нуля, то  $dp$  будет меньше нуля, так как вес вышележащих слоев атмосферы, а следовательно, и давление с высотой убывают. Разность давлений  $p$  и  $p+dp$  равна весу газа, заключенного в объеме цилиндра с площадью основания, равной единице, и высотой  $dh$  (рис. 92.1):

$$p - (p+dp) = \rho g dh,$$

где  $\rho$  — плотность газа на высоте  $h$ . Отсюда

$$dp = -\rho g dh. \quad (92.1)$$

В § 86 отмечалось, что при условиях, близких к нормальным, воздух мало отличается по своему поведению от идеального газа. Поэтому плотность воздуха можно вычислять по формуле (86.8).

Подстановка этого выражения в (92.1) дает

$$dp = -\frac{Mpg}{RT} dh. \quad (92.2)$$

Входящая в эту формулу величина  $M$  численно равна средней молекулярной массе воздуха, определенной с учетом процентного содержания в воздухе азота, кислорода и других газов.

Из (92.2) следует, что

$$\frac{dp}{p} = -\frac{Mg}{RT} dh. \quad (92.3)$$

Температура  $T$  является некоторой функцией от  $h$ . Если вид этой функции известен, уравнение (92.3) можно проинтегрировать и

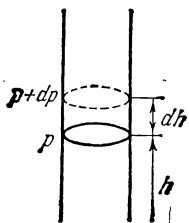


Рис. 92.1.

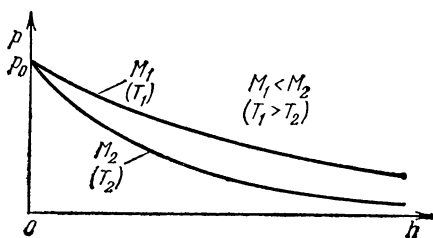


Рис. 92.2.

найти зависимость  $p$  от  $h$ . Для случая, когда температура постоянна, т. е. для изотермической атмосферы, интегрирование уравнения (92.3) приводит к соотношению

$$\ln p = -\frac{Mgh}{RT} + \ln C,$$

где  $C$  — константа (здесь удобно обозначить постоянную интегрирования через  $\ln C$ ). Потенцируя полученное выражение, находим, что

$$p = C \exp \left( -\frac{Mgh}{RT} \right).$$

Подставив сюда  $h=0$ , получим, что  $C=p_0$ , где  $p_0$  — давление на высоте  $h=0$ .

Таким образом, при сделанном нами допущении о постоянстве температуры зависимость давления от высоты выражается формулой

$$p = p_0 \exp \left( -\frac{Mgh}{RT} \right). \quad (92.4)$$

Эта формула называется *барометрической*. Из нее следует, что давление убывает с высотой тем быстрее, чем тяжелее газ (чем больше  $M$ ) и чем ниже температура. На рис. 92.2 изображены две кривые вида (92.4), которые можно трактовать либо как соответствующие разным  $M$  (при одинаковой  $T$ ), либо как отвечающие разным  $T$  (при одинаковой  $M$ ).

## ГЛАВА XI

### СТАТИСТИЧЕСКАЯ ФИЗИКА

#### § 93. Некоторые сведения из теории вероятностей

Пусть имеется некоторая макроскопическая система <sup>1)</sup>, находящаяся в заданном состоянии. Предположим, что какая-то характеристическая для системы величина  $x$  может иметь дискретные значения:

$$x_1, x_2, \dots, x_i, \dots, x_k, \dots, x_s.$$

Осуществим над системой очень большое число  $N$  измерений величины  $x$ , приводя систему перед каждым измерением в одно и то же исходное состояние. Вместо того, чтобы производить повторные измерения над одной и той же системой, можно взять  $N$  одинаковых систем, находящихся в одном и том же состоянии, и осуществить однократное измерение величины  $x$  у всех этих систем. Такой набор одинаковых систем, находящихся в одинаковом состоянии, называется статистическим ансамблем.

Допустим, что  $N_1$  измерений дали результат  $x_1$ ,  $N_2$  измерений — результат  $x_2$ , ...,  $N_i$  измерений — результат  $x_i$  и т. д. ( $\sum N_i = N$  — числу систем в ансамбле). Величина  $N_i/N$  именуется относительной частотой появления результата  $x_i$ , а предел этой величины, получающийся при стремлении  $N$  к бесконечности, т. е.

$$P_i = \lim_{N \rightarrow \infty} \frac{N_i}{N}, \quad (93.1)$$

называется вероятностью появления результата  $x_i$ . В дальнейшем для упрощения формул мы будем выражение для вероятности писать в виде  $N_i/N$ , подразумевая, что производится предельный переход при  $N \rightarrow \infty$ .

Поскольку  $\sum N_i = N$ , то

$$\sum P_i = \sum \frac{N_i}{N} = 1, \quad (93.2)$$

---

<sup>1)</sup> Макроскопической называется система, образованная огромным числом микрочастиц (молекул, атомов, ионов, электронов).

т. е. сумма вероятностей всех возможных результатов измерения равна единице.

Вероятность получить результат  $x_i$  либо  $x_k$  равна

$$P_{i \text{ или } k} = \frac{N_i + N_k}{N} = \frac{N_i}{N} + \frac{N_k}{N} = P_i + P_k.$$

Таким образом, мы пришли к теореме о сложении вероятностей, которая утверждает, что

$$P_{i \text{ или } k} = P_i + P_k. \quad (93.3)$$

Пусть система характеризуется значениями двух величин  $x$  и  $y$ , причем обе величины могут принимать дискретные значения, вероятности появления которых равны

$$P(x_i) = \frac{N(x_i)}{N} \quad \text{и} \quad P(y_k) = \frac{N(y_k)}{N}.$$

Найдем вероятность  $P(x_i, y_k)$  того, что при некотором измерении для  $x$  будет получен результат  $x_i$ , а для  $y$  — результат  $y_k$ . Результат  $x_i$  получится в числе измерений, равном  $N(x_i) = P(x_i)N$ . Если значение величины  $y$  не зависит от значения величины  $x$ , то результат  $y_k$  будет получаться одновременно с  $x_i$  в числе случаев, равном

$$N(x_i, y_k) = N(x_i) \cdot P(y_k) = (P(x_i)N) P(y_k)$$

( $N(x_i)$  играет для  $y$  роль  $N$ ). Искомая вероятность равна

$$P(x_i, y_k) = \frac{N(x_i, y_k)}{N} = P(x_i) P(y_k).$$

Мы пришли к теореме об умножении вероятностей, согласно которой *вероятность одновременного появления статистически независимых событий равна произведению вероятностей этих событий*:

$$P(x_i, y_k) = P(x_i) P(y_k). \quad (93.4)$$

Зная вероятности появления различных результатов измерения, можно найти среднее значение всех результатов. По определению среднего

$$\langle x \rangle = \frac{\sum N_i x_i}{N} = \sum P_i x_i. \quad (93.5)$$

Распространим полученные результаты на случай, когда характеризующая систему величина  $x$  может принимать непрерывный ряд значений от 0 до  $\infty$ . В этом случае говорят, что величина  $x$  имеет сплошной (или непрерывный) спектр значений (в предыдущем случае спектр значений был дискретным).

Возьмем очень малую величину  $a$  (скажем,  $a = 10^{-6}$ ) и найдем число измерений  $\Delta N_0$ , при которых  $0 < x < a$ ,  $\Delta N_1$ , при которых  $a < x < 2a$ , ... ,  $\Delta N_x$ , при которых результат измерений находится в интервале от  $x$  до  $x+a$ , и т. д. Вероятность того, что результат

измерений окажется в интервале от нуля до  $a$ , равна  $\Delta P_0 = \Delta N_0/N$ , в интервале от  $a$  до  $2a$   $\Delta P_1 = \Delta N_1/N$ , ... , в интервале от  $x$  до  $(x+a)$   $\Delta P_x = \Delta N_x/N$ . Начертим ось  $x$  и отложим вверх от нее полоски ширины  $a$  и высоты  $\Delta P_x/a$  (рис. 93.1, а). Полученная столбчатая диаграмма называется гистограммой. Площадь полоски, левый край которой имеет координату  $x$ , равна  $\Delta P_x$ , а площадь всей гистограммы — единице (см. (93.2)).

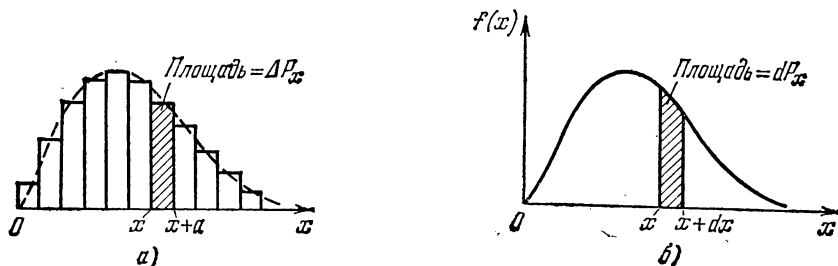


Рис. 93.1.

Гистограмма наглядно характеризует вероятность получения результатов измерений, заключающихся в различных интервалах ширины  $a$ . Чем меньше ширина интервала  $a$ , тем детальнее будет охарактеризовано распределение вероятностей значений величины  $x$ . В пределе при  $a \rightarrow 0$  ступенчатая линия, ограничивающая гистограмму, превратится в гладкую кривую (рис. 93.1, б). Функция  $f(x)$ , определяющая аналитически эту кривую, называется функцией распределения вероятностей.

В соответствии со способом построения кривой распределения площадь столбика ширины  $dx$  (см. рис. 93.1, б) равна вероятности того, что результат измерения окажется в пределах от  $x$  до  $x+dx$ . Обозначив эту вероятность через  $dP_x$ , можно написать, что

$$dP_x = f(x) dx. \quad (93.6)$$

Индекс « $x$ » при  $dP$  указывает на то, что имеется в виду вероятность для интервала, левый край которого лежит в точке с координатой  $x$ . Площадь, ограниченная кривой распределения, так же как и площадь гистограммы, равна единице. Это означает, что

$$\int f(x) dx = \int dP_x = 1. \quad (93.7)$$

Интегрирование производится по всему интервалу возможных значений величины  $x$ . Формула (93.7) является аналогом формулы (93.2).

Зная функцию распределения  $f(x)$ , можно найти среднее значение результатов измерения величины  $x$ . В  $dN_x = N dP_x$  случаях получается результат, равный  $x$ . Сумма таких результатов опре-

деляется выражением  $x dN_x = xN dP_x$ . Сумма всех возможных результатов равна  $\int x dN_x = \int xN dP_x$ . Разделив эту сумму на число измерений  $N$ , получим среднее значение величины  $x$ :

$$\langle x \rangle = \int x dP_x. \quad (93.8)$$

Эта формула является аналогом формулы (93.5).

Подставив в (93.8) выражение (93.6) для  $dP_x$ , придем к формуле

$$\langle x \rangle = \int x f(x) dx. \quad (93.9)$$

Аналогичные рассуждения дают, что среднее значение некоторой функции  $\varphi(x)$  можно вычислить по формуле

$$\langle \varphi(x) \rangle = \int \varphi(x) f(x) dx. \quad (93.10)$$

Например,

$$\langle x^2 \rangle = \int x^2 f(x) dx. \quad (93.11)$$

## § 94. Характер теплового движения молекул

Если газ находится в равновесии, молекулы движутся совершенно беспорядочно, хаотически. Все направления движения равновероятны, ни одному из них не может быть отдано предпочтение перед другими. Скорости молекул могут быть самыми различными по величине. При каждом соударении с другими молекулами величина скорости данной молекулы должна, вообще говоря, изменяться, причем с равной вероятностью она может как возрасти, так и уменьшиться.

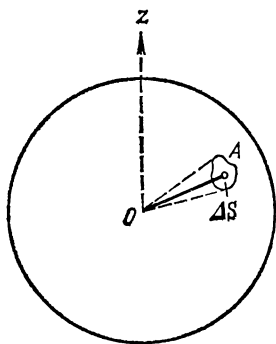


Рис. 94.1.

Изменение скоростей молекул при столкновениях происходит случайным образом. Может случиться, что какая-то молекула в целом ряде последовательных соударений будет получать энергию от своих партнеров по столкновениям, в результате чего ее энергия

значительно превзойдет среднее значение  $\langle \epsilon \rangle$ . Однако, даже если представить себе такой совершенно фантастический случай, при котором все молекулы газа остановятся, передав свою энергию одной-единственной молекуле, то и тогда энергия этой молекулы, а следовательно, и ее скорость, будет конечна. Таким образом, скорость молекул газа вообще не может иметь значений, начиная с некоторого  $v_{\max}$  до  $\infty$ . Учитывая, что процессы, которые привели

бы к сосредоточению на одной молекуле заметной доли суммарной энергии всех молекул, маловероятны, можно утверждать, что слишком большие по сравнению со средним значением скорости могут реализоваться крайне редко. Точно так же практически исключено, что в результате соударений скорость молекулы станет равной точно нулю. Следовательно, очень малые и очень большие по сравнению со средним значением скорости маловероятны, причем вероятность данного значения  $v$  стремится к нулю как при  $v \rightarrow 0$ , так и при  $v \rightarrow \infty$ . Из сказанного следует, что скорости молекул группируются в основном вблизи некоторого наиболее вероятного значения.

Хаотичность движения молекул можно сделать наглядной с помощью следующего приема. Окружим точку  $O$  сферой произвольного радиуса  $r$  (рис. 94.1). Любая точка  $A$  на этой сфере определяет направление от  $O$  к  $A$ . Следовательно, направления, в которых движутся в некоторый момент времени молекулы газа, могут быть заданы точками на сфере. Равновероятность всех направлений приводит к тому, что точки, изображающие направления движения молекул, распределяются по сфере с постоянной плотностью, равной числу рассматриваемых молекул  $N$ , деленному на поверхность сферы  $4\pi r^2$ . Соударения приводят к изменению направлений движения молекул, в результате чего положения  $N$  точек на сфере непрерывно меняются. Однако вследствие хаотичности движения плотность точек в любом месте сферы остается все время постоянной.

Число возможных направлений в пространстве бесконечно велико. Реализуется же в каждый момент времени конечное число направлений, равное рассматриваемому количеству молекул. Поэтому постановка вопроса о числе молекул, имеющих заданное (изображаемое точкой на сфере) направление движения, лишена смысла. Действительно, поскольку число возможных направлений бесконечно велико, а число молекул конечно, вероятность того, что в строго определенном направлении летит хотя бы одна молекула, равна нулю. Правомерна постановка вопроса о том, какое количество молекул движется в направлениях, близких к данному (определяемому точкой  $A$  на сфере). Таким направлениям соответствуют все точки элемента поверхности сферы  $\Delta S$ , взятого в окрестности точки  $A$  (см. рис. 94.1). Поскольку точки, изображающие направления движения молекул, распределены по сфере равномерно, в пределах  $\Delta S$  окажется количество точек, равное

$$\Delta N_A = N \frac{\Delta S}{4\pi r^2}. \quad (94.1)$$

Индекс  $A$  при  $\Delta N$  указывает на то, что имеются в виду молекулы, направления движения которых близки к направлению, определяемому точкой  $A$ .

Отношение  $\Delta S/r^2$  есть телесный угол  $\Delta\Omega$ , опирающийся на площадку  $\Delta S$ . Поэтому формулу (94.1) можно записать следующим образом:

$$\Delta N_A = N \frac{\Delta\Omega}{4\pi}. \quad (94.2)$$

Здесь  $\Delta\Omega$  — телесный угол, в пределах которого заключены направления движения рассматриваемых молекул. Напомним, что  $4\pi$  есть полный телесный угол (отвечающий всей поверхности сферы).

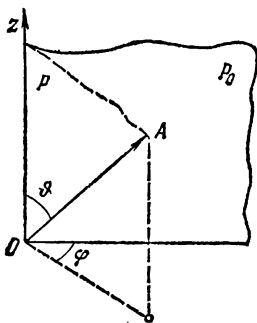


Рис. 94.2.

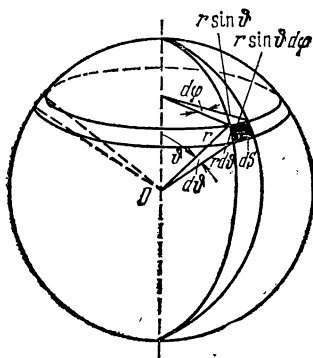


Рис. 94.3.

Направление отрезка  $OA$  можно задать с помощью полярного угла  $\vartheta$  и азимутального угла  $\varphi$  (рис. 94.2). Следовательно, направления движения молекул газа можно охарактеризовать, задав для каждой молекулы значения углов  $\vartheta$  и  $\varphi$ , отсчитываемых от некоторого фиксированного направления  $Oz$  (в качестве такого направления можно взять, например, направление нормали к поверхности сосуда, в котором заключен газ) и проведенной через него плоскости  $P_0$ .

Окружим начало координат  $O$  сферой радиуса  $r$  и найдем элемент  $dS$  сферы, соответствующий приращениям  $d\vartheta$  и  $d\varphi$  углов  $\vartheta$  и  $\varphi$  (рис. 94.3). Рассматриваемый элемент представляет собой прямоугольник со сторонами  $r d\vartheta$  и  $r \sin\vartheta d\varphi$ . Таким образом,

$$dS = r^2 \sin\vartheta d\vartheta d\varphi. \quad (94.3)$$

Полученное выражение дает элемент поверхности  $r = \text{const}$  в сферической системе координат.

Разделив выражение (94.3) на  $r^2$ , найдем элемент телесного угла, отвечающий интервалам углов от  $\vartheta$  до  $\vartheta + d\vartheta$  и от  $\varphi$  до  $\varphi + d\varphi$ :

$$d\Omega_{\vartheta, \varphi} = \sin\vartheta d\vartheta d\varphi. \quad (94.4)$$

Две сферы с радиусами  $r$  и  $r + dr$ , два конуса с углами раствора  $\vartheta$  и  $\vartheta + d\vartheta$  и две плоскости, образующие с  $P_0$  углы  $\varphi$  и  $\varphi + d\varphi$ , выде-

ляют в пространстве прямоугольный параллелепипед со сторонами  $r d\vartheta$ ,  $r \sin \vartheta d\varphi$  и  $dr$  (см. рис. 94.3). Объем этого параллелепипеда

$$dV = r^2 \sin \vartheta dr d\vartheta d\varphi \quad (94.5)$$

представляет собой элемент объема в сферической системе координат (объем, отвечающий приращению координат  $r$ ,  $\vartheta$ ,  $\varphi$  на  $dr$ ,  $d\vartheta$  и  $d\varphi$ ).

Перейдя в (94.2) от дельт к дифференциалам и подставив выражение (94.4) для  $d\Omega$ , придем к формуле:

$$dN_{\vartheta, \varphi} = N \frac{d\Omega_{\vartheta, \varphi}}{4\pi} = N \frac{\sin \vartheta d\vartheta d\varphi}{4\pi}. \quad (94.6)$$

Индексы  $\vartheta$  и  $\varphi$  при  $dN$  указывают на то, что имеются в виду молекулы, направления движения которых отвечают интервалам углов от  $\vartheta$  до  $\vartheta + d\vartheta$  и от  $\varphi$  до  $\varphi + d\varphi$ .

## § 95. Число ударов молекул о стенку

Рассмотрим находящийся в равновесии газ, заключенный в некотором сосуде. Возьмем элемент поверхности сосуда  $\Delta S$  и подсчитаем число ударов молекул об этот элемент за время  $\Delta t$ .

Выделим из  $N$  молекул, заключенных в сосуде, те  $dN_v$  молекул, величина скорости которых заключена в пределах от  $v$  до  $v + dv$ . Из числа этих молекул направления движения, заключенные внутри телесного угла  $d\Omega$ , будет иметь количество молекул, равное

$$dN_{v, \vartheta, \varphi} = dN_v \frac{d\Omega_{\vartheta, \varphi}}{4\pi} \quad (95.1)$$

(см. (94.6)). Из выделенных таким образом молекул долетят за время  $\Delta t$  до площадки  $\Delta S$  и ударятся о нее <sup>1)</sup> молекулы, заключенные в косом цилиндре с основанием  $\Delta S$  и высотой  $v \cos \vartheta \Delta t$  (рис. 95.1).

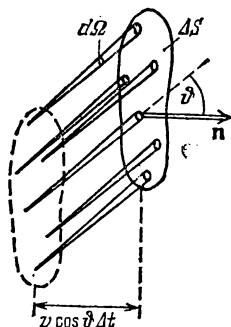


Рис. 95.1.

<sup>1)</sup> Можно, казалось бы, возразить, что часть этих молекул на своем пути к стенке претерпит столкновения с другими молекулами, вследствие чего изменит направление своего движения и не достигнет площадки  $\Delta S$ . Однако соударения не нарушают хаотического характера движения молекул: переход некоторого количества молекул из группы, движущейся по направлению к стенке, в группы, движущиеся в других направлениях, сопровождается одновременным переходом такого же числа молекул из других групп в группу, движущуюся по направлению к стенке. Поэтому при вычислении количества молекул, долетающих до стенки, соударения молекул друг с другом можно не принимать во внимание.

Количество этих молекул равно

$$dv_{v, \vartheta, \varphi} = dN_v \frac{d\Omega_{\vartheta, \varphi}}{4\pi} \frac{\Delta S v \cos \vartheta \Delta t}{V} \quad (95.2)$$

( $V$  — объем сосуда). Чтобы получить полное число ударов молекул о площадку  $\Delta S$ , нужно просуммировать выражение (95.2) по телесному углу  $2\pi$  (отвечающему изменениям  $\vartheta$  от 0 до  $\pi/2$  и изменениям  $\varphi$  от 0 до  $2\pi$ ) и по скоростям в пределах от 0 до  $v_{\max}$ , где  $v_{\max}$  — наибольшая скорость, которой могут обладать молекулы в данных условиях (см. предыдущий параграф).

Начнем с суммирования по направлениям. Для этого представим  $d\Omega$  в виде  $\sin \vartheta d\vartheta d\varphi$  (см. (94.4)) и произведем интегрирование выражения (95.2) по  $\vartheta$  в пределах от 0 до  $\pi/2$  и по  $\varphi$  в пределах от 0 до  $2\pi$ :

$$dv_v = \frac{dN_v v \Delta S \Delta t}{4\pi V} \int_0^{\pi/2} \cos \vartheta \sin \vartheta d\vartheta \int_0^{2\pi} d\varphi.$$

Интегрирование по  $d\varphi$  дает  $2\pi$ , интеграл по  $d\vartheta$  равен  $1/2$ . Следовательно,

$$dv_v = \frac{dN_v v \Delta S \Delta t}{4V}. \quad (95.3)$$

Это выражение дает число ударов о площадку  $\Delta S$  за время  $\Delta t$  молекул, летящих в направлениях, заключенных в пределах телесного угла  $2\pi$ , и имеющих величину скорости от  $v$  до  $v+dv$ .

Суммирование по скоростям дает полное число ударов молекул о площадку  $\Delta S$  за время  $\Delta t$ :

$$\nu_{\Delta S, \Delta t} = \frac{\Delta S \Delta t}{4V} \int_0^{v_{\max}} v dN_v. \quad (95.4)$$

Выражение

$$\frac{1}{N} \int_0^{v_{\max}} v dN_v$$

представляет собой среднее значение величины скорости  $v$ . Заменяя в (95.4) интеграл произведением  $N \langle v \rangle$ , получим, что

$$\nu_{\Delta S, \Delta t} = \frac{\Delta S \Delta t}{4V} N \langle v \rangle = \frac{1}{4} \Delta S \Delta t n \langle v \rangle. \quad (95.5)$$

Здесь  $n = N/V$  есть число молекул газа в единице объема.

Наконец, разделив выражение (95.5) на  $\Delta S$  и  $\Delta t$ , найдем число ударов молекул газа об единицу поверхности стенки в единицу времени:

$$\nu = \frac{1}{4} n \langle v \rangle. \quad (95.6)$$

Полученный результат означает, что число ударов пропорционально количеству молекул в единице объема («концентрации» молекул) и среднему значению величины скорости молекул<sup>1)</sup>. Заметим, что величина (95.6) представляет собой плотность потока молекул, падающего на стенку.

Представим себе в газе воображаемую единичную площадку. Если газ находится в равновесии, через эту площадку будет пролетать в обоих направлениях в среднем одинаковое количество молекул, причем количество молекул, пролетающих в единицу времени в каждом из направлений, также определяется формулой (95.6).

С точностью до числового коэффициента выражение (95.6) может быть получено с помощью следующих упрощенных рассуждений. Допустим, что молекулы газа движутся только вдоль трех взаимно перпендикулярных направлений. Если в сосуде содержится  $N$  молекул, то в любой момент времени вдоль каждого из направлений будет двигаться  $N/3$  молекул, причем половина из них (т. е.  $N/6$  молекул) движется вдоль данного направления в одну сторону, половина в другую. Следовательно, в интересующем нас направлении (например, по нормали к данному элементу  $\Delta S$  стенки сосуда) движется  $1/6$  часть молекул.

Предположим, кроме того, что все молекулы движутся с одинаковой скоростью, равной  $\langle v \rangle$ . Тогда за время  $\Delta t$  до элемента стенки  $\Delta S$  долетят все движущиеся по направлению к нему молекулы, заключенные в объеме цилиндра с основанием  $\Delta S$  и высотой  $\langle v \rangle \Delta t$  (рис. 95.2). Число этих молекул равно  $\Delta v = (n/6) \Delta S \langle v \rangle \Delta t$ . Соответственно число ударов об единичную площадку в единицу времени оказывается равным

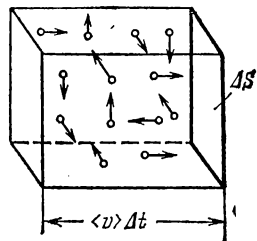


Рис. 95.2.

$$v = \frac{1}{6} n \langle v \rangle. \quad (95.7)$$

Полученное выражение отличается от (95.6) лишь значением числового множителя ( $1/6$  вместо  $1/4$ ).

Сохранив предположение о движении молекул в трех взаимно перпендикулярных направлениях, но отказавшись от допущения об одинаковости скоростей молекул, следует выделить из числа молекул в единице объема те  $dn_v$  молекул, скорости которых лежат в интервале от  $v$  до  $v+dv$ . Количество молекул, имеющих такие

<sup>1)</sup> Имеется в виду модуль скорости. Среднее значение вектора скорости молекул в случае равновесия газа равно нулю.

скорости и долетающих до площадки  $\Delta S$  за время  $\Delta t$ , равно

$$dv_v = \frac{1}{6} dn_v \Delta S v \Delta t. \quad (95.8)$$

Полное число ударов получим, проинтегрировав выражение (95.8) по скоростям:

$$\Delta v = \int dv_v = \frac{1}{6} \Delta S \Delta t \int_0^{v_{\max}} v dn_v = \frac{1}{6} \Delta S \Delta t n \langle v \rangle.$$

Наконец, разделив  $\Delta v$  на  $\Delta S$  и  $\Delta t$ , получим формулу (95.7). Таким образом, предположение об одинаковости скоростей молекул не влияет на результат, получаемый для числа ударов молекул о стенку. Однако, как мы увидим в следующем параграфе, это предположение изменяет результат вычислений давления.

## § 96. Давление газа на стенку

Стенки сосуда, в котором заключен газ, подвергаются непрерывной бомбардировке молекулами. В результате элементу стенки  $\Delta S$  сообщается за секунду некоторый импульс, который равен силе, действующей на  $\Delta S$ . Отношение этой силы к величине  $\Delta S$  дает давление, оказываемое газом на стенки сосуда. Вследствие хаотичности движения молекул давление газа на различные участки стенок сосуда одинаково (разумеется, при условии, что газ находится в равновесном состоянии).

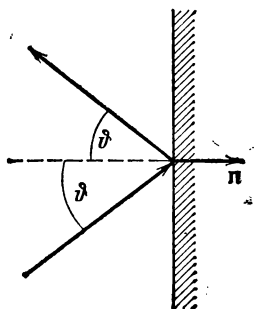


Рис. 96.1.

Если предположить, что молекулы отскакивают от стенки по закону зеркального отражения ( $\vartheta_{\text{отр}} = \vartheta_{\text{пад}}$ ) и величина скорости молекулы не изменяется<sup>1)</sup>, то импульс, сообщаемый при ударе стенке молекулой, будет равен  $2mv \cos \vartheta$  (рис. 96.1;  $m$  — масса молекулы). Этот импульс направлен по нормали к площадке. Каждая из  $dv_v$ ,  $\vartheta$ ,  $\varphi$  молекул (см. (95.2)) сообщает стенке импульс  $2mv \cos \vartheta$ , а все эти молекулы — импульс

$$dK_{v, \vartheta, \varphi} = 2mv \cos \vartheta dv_v d\vartheta d\varphi = dN_v \frac{d\Omega_{\vartheta, \varphi}}{4\pi} \frac{2mv^2 \cos^2 \vartheta \Delta S \Delta t}{V}.$$

Просуммируем полученное выражение по направлениям в пределах телесного угла  $2\pi$  (отвечающего изменению  $\vartheta$  от 0 до  $\pi/2$  и

<sup>1)</sup> В действительности взаимодействие молекул со стенкой сосуда носит более сложный характер (см. стр. 417), и сделанные нами предположения справедливы лишь в среднем для большого числа ударов.

изменениям  $\varphi$  от 0 до  $2\pi$ ). В результате получим импульс, сообщаемый молекулами, скорости которых имеют величину от  $v$  до  $v+dv$ :

$$dK_v = dN_v \frac{2mv^2 \Delta S \Delta t}{4\pi V} \int_0^{\pi/2} \cos^2 \vartheta \sin \vartheta d\vartheta \int_0^{2\pi} d\varphi$$

(мы подставили выражение (94.4) для  $d\Omega$ ). Интегрирование по  $d\varphi$  дает  $2\pi$ , интеграл по  $d\vartheta$  равен  $1/3$ . Следовательно,

$$dK_v = dN_v \frac{mv^2 \Delta S \Delta t}{3V}.$$

Проинтегрировав это выражение по скоростям от 0 до  $v_{\max}$ , получим полный импульс, сообщаемый площадке  $\Delta S$  за время  $\Delta t$ :

$$\Delta K = \frac{m \Delta S \Delta t}{3V} \int_0^{v_{\max}} v^2 dN_v. \quad (96.1)$$

Выражение

$$\frac{1}{N} \int_0^{v_{\max}} v^2 dN_v$$

представляет собой среднее значение квадрата скорости молекул. Заменяя в (96.1) интеграл произведением  $N \langle v^2 \rangle$ , получим, что

$$\Delta K = \frac{m \Delta S \Delta t}{3V} N \langle v^2 \rangle = \frac{1}{3} n m \langle v^2 \rangle \Delta S \Delta t$$

( $n = N/V$  есть число молекул в единице объема). Наконец, разделив это выражение на  $\Delta S$  и  $\Delta t$ , получим давление газа на стенки сосуда:

$$p = \frac{1}{3} n m \langle v^2 \rangle = \frac{2}{3} n \frac{m \langle v^2 \rangle}{2}. \quad (96.2)$$

Масса всех молекул по предположению одинакова. Поэтому ее можно внести под знак среднего. В результате выражение (96.2) примет вид

$$p = \frac{2}{3} n \left\langle \frac{mv^2}{2} \right\rangle = \frac{2}{3} n \langle \varepsilon_{\text{пост}} \rangle, \quad (96.3)$$

где  $\langle \varepsilon_{\text{пост}} \rangle$  — среднее значение кинетической энергии поступательного движения молекул.

Получим выражение для давления, исходя из упрощенных представлений, которые привели нас к формуле (95.7). Согласно этим представлениям каждая молекула сообщает стенке при ударе импульс  $2m\langle v \rangle$ . Умножив этот импульс на число ударов (см. (95.7)), получим импульс, сообщаемый единичной площадке в единицу

времени, т. е. давление. Таким образом, получается формула

$$p = \frac{1}{6} n \langle v \rangle \cdot 2m \langle v \rangle = \frac{1}{3} nm \langle v \rangle^2. \quad (96.4)$$

Эта формула отличается от (96.2) тем, что вместо среднего квадрата скорости  $\langle v^2 \rangle$  стоит квадрат средней скорости  $\langle v \rangle^2$ . Впоследствии (см. § 97) мы убедимся в том, что эти две величины отличаются друг от друга, т. е.  $\langle v^2 \rangle \neq \langle v \rangle^2$ .

При более аккуратном подсчете нужно число молекул, определяемое формулой (95.8), умножить на  $2mv$  и затем произвести суммирование по всем  $v$ . В результате получится импульс, сообщаемый площадке  $\Delta S$  за время  $\Delta t$ :

$$\Delta K = \int_0^{v_{\max}} \frac{1}{6} dn_v \Delta S \Delta t \cdot 2mv = \frac{1}{3} \Delta S \Delta t m \int_0^{v_{\max}} v^2 dn_v = \frac{1}{3} \Delta S \Delta t n m \langle v^2 \rangle.$$

Разделив это выражение на  $\Delta S$  и  $\Delta t$ , получим для давления формулу (96.2). Таким образом, исходя из упрощенного представления о движении молекул вдоль трех взаимно перпендикулярных направлений, мы получили точное выражение для давления. Это объясняется тем, что указанное упрощение приводит, с одной стороны, к занижению числа ударов молекул о стенку ( $\frac{1}{6}n\langle v \rangle$  вместо  $\frac{1}{4}n\langle v \rangle$ , см. (95.6) и (95.7)), а с другой — к завышению импульса, передаваемого стенке при каждом ударе. При упрощенном выводе мы принимали, что при каждом ударе стенке сообщается импульс, равный  $2mv$ . В действительности же величина сообщаемого стенке импульса зависит от угла  $\vartheta$ , вследствие чего средний импульс, сообщаемый при одном ударе, равен  $\frac{4}{3}mv$ . В итоге обе неточности взаимно компенсируют друг друга и, несмотря на упрощенность рассмотрения, получается точное выражение для давления.

### § 97. Средняя энергия молекул

Напишем рядом полученное в предыдущем параграфе выражение (96.3) для давления и уравнение состояния идеального газа (86.7):

$$p = \frac{2}{3} n \langle \epsilon_{\text{пост}} \rangle, \quad p = nkT.$$

Из сравнения этих выражений следует, что

$$\langle \epsilon_{\text{пост}} \rangle = \frac{3}{2} kT. \quad (97.1)$$

Итак, мы пришли к важному выводу: *абсолютная температура есть величина, пропорциональная средней энергии поступательного движения молекул*. Поступательно движутся только молекулы газа. Для жидких и твердых тел средняя энергия молекул propor-

циональна абсолютной температуре лишь в том случае, когда движение молекул имеет классический характер. В квантовой области пропорциональность между средней энергией молекул и абсолютной температурой перестает соблюдаться.

Выражение (97.1) замечательно в том отношении, что средняя энергия оказывается зависящей только от температуры и не зависит от массы молекулы.

Поскольку  $\langle \epsilon_{\text{пост}} \rangle = \langle mv^2/2 \rangle = (m/2)\langle v^2 \rangle$ , из (97.1) вытекает, что

$$\langle v^2 \rangle = 3kT/m. \quad (97.2)$$

Представив  $v^2$  в виде суммы квадратов компонент скорости, можно написать:

$$\langle v^2 \rangle = \langle v_x^2 \rangle + \langle v_y^2 \rangle + \langle v_z^2 \rangle.$$

Вследствие равноправности всех направлений движения выполняется равенство

$$\langle v_x^2 \rangle = \langle v_y^2 \rangle = \langle v_z^2 \rangle.$$

С учетом этого находим, что

$$\langle v_x^2 \rangle = 1/3 \langle v^2 \rangle = kT/m. \quad (97.3)$$

Формула (97.1) определяет энергию только поступательного движения молекулы. Однако наряду с поступательным движением возможны также вращение молекулы и колебания атомов, входящих в состав молекулы. Оба эти вида движения связаны с некоторым запасом энергии, определить который позволяет устанавливаемое статистической физикой положение о равнораспределении энергии по степеням свободы молекулы.

*Число степеней свободы механической системы называется количеством независимых величин, с помощью которых может быть задано положение системы.* Так, положение в пространстве материальной точки полностью определяется заданием значений трех ее координат (например, декартовых координат  $x, y, z$  или сферических координат  $r, \vartheta, \varphi$  и т. д.). В соответствии с этим материальная точка имеет три степени свободы.

Положение абсолютно твердого тела можно определить, задав

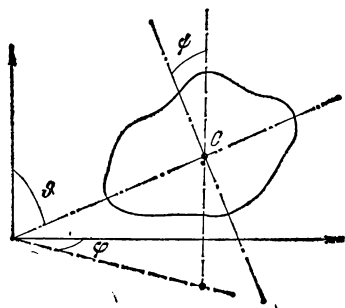


Рис. 97.1.



Рис. 97.2.

три координаты его центра масс ( $x, y, z$ ), два угла  $\vartheta$  и  $\varphi$ , указывающих направление какой-либо оси, связанной с телом и прохо-

дящей через его центр масс (рис. 97.1), и, наконец, угол  $\psi$ , определяющий направление второй связанной с телом оси, перпендикулярной к первой. Таким образом, абсолютно твердое тело имеет шесть степеней свободы. Изменение координат центра масс при неизменных углах  $\vartheta$ ,  $\varphi$  и  $\psi$  обуславливается поступательным движением твердого тела. Поэтому соответствующие степени свободы называются **п о с т у п а т е л ь н ы м и**. Изменение любого из углов  $\vartheta$ ,  $\varphi$ ,  $\psi$  при неизменном положении центра масс обуславливается вращением тела, в связи с чем соответствующие степени свободы называются **в р а щ а т е л ь н ы м и**. Следовательно, из шести степеней свободы абсолютно твердого тела три являются поступательными и три — вращательными.

Система из  $N$  материальных точек, между которыми нет жестких связей, имеет  $3N$  степеней свободы (положение каждой из  $N$  точек

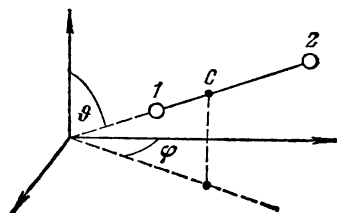


Рис. 97.3.

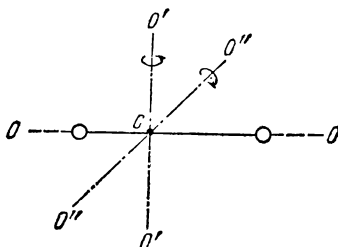


Рис. 97.4.

должно быть задано тремя координатами). Любая жесткая связь, устанавливающая неизменное взаимное расположение двух точек, уменьшает число степеней свободы на единицу. Так, например, если система состоит из двух материальных точек, расстояние  $l$  между которыми остается постоянным (рис. 97.2), то число степеней свободы системы равно пяти. В самом деле, в этом случае между координатами точек имеется соотношение

$$(x_2 - x_1)^2 + (y_2 - y_1)^2 + (z_2 - z_1)^2 = l^2, \quad (97.4)$$

вследствие чего координаты не будут независимыми: достаточно задать любые пять координат, шестая определится условием (97.4). Чтобы классифицировать эти пять степеней свободы, заметим, что положение системы, состоящей из двух жестко связанных материальных точек, можно определить следующим образом: задать три координаты центра масс системы (рис. 97.3) и два угла  $\vartheta$  и  $\varphi$ , которыми определяется направление в пространстве оси системы (т. е. прямой, проходящей через обе точки). Отсюда следует, что три степени свободы будут поступательными и две — вращательными. Вращательные степени свободы соответствуют вращениям вокруг

двух взаимно перпендикулярных осей  $O'O'$  и  $O''O''$ , перпендикулярных к оси системы  $OO$  (рис. 97.4). Вращение вокруг оси  $OO$  для материальных точек лишено смысла.

Если две материальные точки связаны не жесткой связью, а упругой (т. е. так, что всякое изменение равновесного расстояния  $r_0$  между точками влечет за собой возникновение сил, стремящихся установить между точками первоначальное расстояние), то число степеней свободы будет равно шести. Положение системы в этом случае можно определить, задав три координаты центра масс (рис. 97.5), два угла  $\vartheta, \varphi$  и расстояние между точками  $r$ . Изменения  $r$  соответствуют колебаниям в системе, вследствие чего эту степень свободы называют *колебательной*. Итак, рассмотренная система имеет три поступательные, две вращательные и одну колебательную степень свободы.

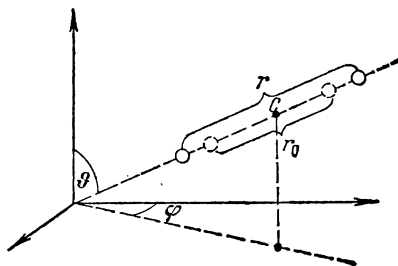


Рис. 97.5.

Рассмотрим систему, состоящую из  $N$  упруго связанных друг с другом материальных точек. Такая система имеет  $3N$  степеней свободы. Существует равновесная конфигурация точек, отвечающая минимуму потенциальной энергии системы. Равновесная конфигурация характеризуется вполне определенными взаимными расстояниями между точками. Если точки вывести из положений, соответствующих равновесной конфигурации, в системе возникнут колебания. Положение системы можно определить, задав положение равновесной конфигурации и величины, характеризующие смещения точек из равновесных положений. Последние величины соответствуют колебательным степеням свободы.

Положение равновесной конфигурации, как и положение абсолютно твердого тела, определяется шестью величинами, которым соответствуют три поступательные и три вращательные степени свободы. Таким образом, количество колебательных степеней свободы равно  $3N-6$ <sup>1)</sup>.

Из опытов по измерению теплоемкости газов вытекает, что при определении числа степеней свободы молекулы следует рассматривать атомы как материальные точки. Следовательно, одноатомной молекуле нужно приписывать три поступательные степени свободы, двухатомной молекуле, в зависимости от характера связи между атомами, следует приписывать либо три поступательные и две вра-

<sup>1)</sup> Предполагается, что равновесные положения точек не лежат на одной прямой. В противном случае вращательных степеней свободы будет только две, а колебательных  $3N-5$ . С таким случаем мы имели дело при рассмотрении системы, состоящей из двух точек.

щательные степени свободы (при жесткой связи), либо, кроме этих пяти, еще одну, колебательную степень свободы (при упругой связи), трехатомной молекуле с жесткой связью — три поступательные и три вращательные степени свободы, и т. д.

Заметим, что, сколько бы степеней свободы ни имела молекула, три из них — поступательные. Поскольку ни одна из поступательных степеней свободы молекулы не имеет преимущества перед остальными, на каждую из них должна приходиться в среднем одинаковая энергия, равная одной трети значения (97.1), т. е.  $\frac{1}{2}kT$ .

В классической статистической физике выводится <sup>1)</sup> закон равнораспределения, согласно которому на каждую степень свободы молекулы приходится в среднем одинаковая кинетическая энергия, равная  $\frac{1}{2}kT$ .

Согласно закону равнораспределения среднее значение энергии одной молекулы  $\langle \epsilon \rangle$  будет (при той же температуре) тем больше, чем сложнее молекула, чем больше у нее степеней свободы. При определении  $\langle \epsilon \rangle$  нужно учесть, что колебательная степень свободы должна обладать вдвое большей энергетической емкостью по сравнению с поступательной или вращательной. Это объясняется тем, что поступательное и вращательное движение молекулы связано с наличием только кинетической энергии, в то время как колебательное движение связано с наличием и кинетической, и потенциальной энергии, причем для гармонического осциллятора среднее значение кинетической и потенциальной энергии оказывается одинаковым. Поэтому на каждую колебательную степень свободы должно приходиться в среднем две половинки  $kT$  — одна в виде кинетической энергии и одна в виде потенциальной.

Таким образом, средняя энергия молекулы должна равняться

$$\langle \epsilon \rangle = \frac{i}{2} kT, \quad (97.5)$$

где  $i$  — сумма числа поступательных, числа вращательных и удвоенного числа колебательных степеней свободы молекулы:

$$i = n_{\text{пост}} + n_{\text{вращ}} + 2n_{\text{колеб}}. \quad (97.6)$$

Для молекул с жесткой связью между атомами  $i$  совпадает с числом степеней свободы молекулы.

Молекулы идеального газа не взаимодействуют между собой. Поэтому внутреннюю энергию одного моля идеального газа можно найти, умножив число Авогадро на среднюю энергию одной молекулы:

$$U_m = N_A \langle \epsilon \rangle = \frac{i}{2} N_A kT = \frac{i}{2} R T \quad (97.7)$$

<sup>1)</sup> Этот вывод выходит за рамки курса общей физики,

Сравнение этого выражения с (87.6) дает, что

$$C_V = \frac{i}{2} R. \quad (97.8)$$

Приняв во внимание формулу (87.11), найдем, что

$$C_P = \frac{i+2}{2} R. \quad (97.9)$$

Следовательно,

$$\gamma = \frac{C_P}{C_V} = \frac{i+2}{i}. \quad (97.10)$$

Таким образом, величина  $\gamma$  определяется числом и характером степеней свободы молекулы.

Т а б л и ц а 97.1

Молекула	Характер связи между атомами	Число степеней свободы			$i$	$C_V$	$C_P$	$\gamma$
		поступат.	вращат.	колебат.				
Одноатомная	—	3	—	—	3	$\frac{3}{2} R$	$\frac{5}{2} R$	1,67
Двухатомная	Жесткая	3	2	—	5	$\frac{5}{2} R$	$\frac{7}{2} R$	1,40
»	Упругая	3	2	1	7	$\frac{7}{2} R$	$\frac{9}{2} R$	1,29
С числом атомов три и более	Жесткая	3	3	—	6	$\frac{6}{2} R$	$\frac{8}{2} R$	1,33

В табл. 97.1 приведены значения  $C_V$ ,  $C_P$  и  $\gamma$ , полученные для различных молекул по формулам (97.8), (97.9) и (97.10). В табл. 97.2 сопоставлены результаты теории с экспериментальными данными. Теоретические значения получены (за исключением одного случая, указанного в примечании к таблице) в предположении, что молекулы являются жесткими; экспериментальные значения получены для температур, близких к комнатной.

Из табл. 97.2, казалось бы, следует, что согласие между теорией и экспериментом, во всяком случае для одно- и двухатомных молекул, оказывается вполне удовлетворительным. Однако в дей-

Таблица 97.2

Газ	Число атомов в молекуле	$C_V$ , Дж/(моль·К)		$C_p$ , Дж/(моль·К)		$\gamma$	
		теор.	эксп.	теор.	эксп.	теор.	эксп.
Гелий (He)	1	12,5	12,5	20,8	20,9	1,67	1,67
Кислород ( $O_2$ )	2	20,8	20,9	29,1	28,9	1,40	1,40
Оксид углерода (CO)	2	20,8	21,0	29,1	29,3	1,40	1,40
Пары воды ( $H_2O$ )	3	25,0	27,8	33,2	36,2	1,33	1,31
		33,2*)		41,5*)		1,25*)	

\*) Для  $i=8$ , т.е. в предположении, что имеется дополнительно одна колебательная степень свободы.

ствительности это не так. Согласно рассмотренной нами теории теплоемкости газов должны быть целыми, кратными  $R/2$ , ибо число

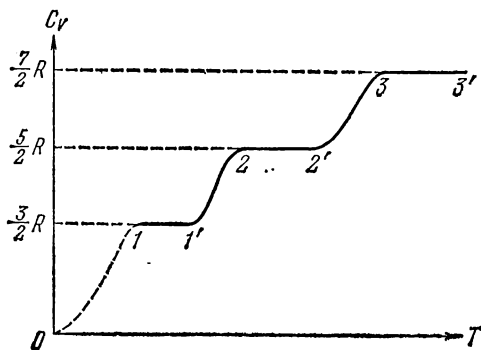


Рис. 97.6.

степеней свободы может быть только целым. Поэтому даже малые отклонения  $C_V$  и  $C_p$  от значений, кратных  $R/2$ , играют принципиальную роль. Как видно из таблицы, такие отклонения, причем заведомо превышающие возможные погрешности измерений, имеют место.

Особенно разительными становятся расхождения между теорией и экспериментом, если обратиться к температурной зависимости теплоемкости. На рис. 97.6 изображена кривая зависимости теплоемкости киломоля  $C_V$  от температуры, полученная опытным путем для водорода. Согласно теории теплоемкость не должна зависеть от температуры. Из рисунка видно, что это оказывается справедливым только в пределах отдельных температурных интервалов, причем в различных интервалах теплоемкость имеет значения, соответствующие различным числу степеней свободы молекулы. Так, на участке 1—1'  $C_V$  равна  $\frac{3}{2}R$ . Это означает, что молекула ведет себя, как система, обладающая только

поступательными степенями свободы. На участке 2—2'  $C_V$  равна  $\frac{5}{2}R$ . Следовательно, при температурах, соответствующих этому участку, у молекулы, в дополнение к проявляющимся при более низких температурах трем поступательным степеням свободы, добавляются еще две вращательные. Наконец, при достаточно больших температурах  $C_V$  делается равной  $\frac{7}{2}R$ , что свидетельствует о наличии при этих температурах, кроме поступательного и вращательного движений, еще и колебаний молекулы. В промежутках между указанными интервалами теплоемкость монотонно растет с температурой, т. е. соответствует как бы нецелому переменному числу степеней свободы.

Таким образом, число степеней свободы молекулы, проявляющееся в теплоемкости, зависит от температуры. При низких температурах наблюдается только поступательное движение молекул. При более высоких температурах наряду с поступательным движением наблюдается также вращение молекул. И, наконец, при еще более высоких температурах к первым двум видам движения добавляются также колебания молекул. При этом, как следует из монотонного хода кривой теплоемкости, во вращательное, а затем в колебательное движение вовлекаются не сразу все молекулы.

Сначала вращение, например, начинает наблюдаться только у небольшой доли молекул. С повышением температуры эта доля растет, и в конечном итоге при достижении определенной температуры во вращательное движение будут вовлечены практически все молекулы. Аналогичный процесс имеет место и для колебательного движения молекул.

Объяснение такого поведения теплоемкости дается квантовой механикой. Как устанавливает квантовая теория, энергия вращательного и колебательного движений молекул оказывается квантованной. Это означает, что энергия вращения и энергия колебания молекулы могут иметь не любые значения, а только дискретные (т. е. отдельные, отличающиеся друг от друга на конечную величину) значения. Следовательно, энергия, связанная с этими видами движения, может меняться только скачками.

Интервалы между отдельными допускаемыми значениями энергии (или, как принято говорить, между уровнями энергии) для

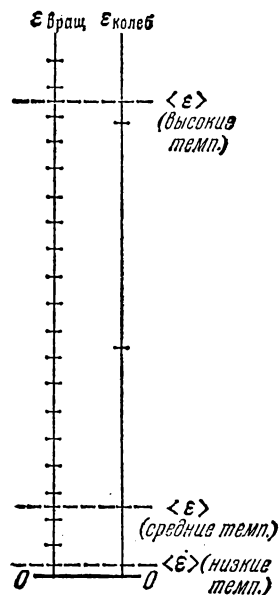


Рис. 97.7.

колебания примерно на порядок больше, чем для вращения. Упрощенная схема <sup>1)</sup> вращательных и колебательных уровней двух-атомной молекулы дана на рис. 97.7.

В § 94 было отмечено, что скорости молекул группируются в основном вблизи некоторого наиболее вероятного значения. Соответственно подавляющая часть молекул обладает энергиями, близкими к среднему значению  $\langle \epsilon \rangle$ , и лишь малая доля молекул имеет энергии, значительно превышающие  $\langle \epsilon \rangle$ . Поэтому, для того чтобы заметная доля молекул оказалась вовлеченной во вращательное или колебательное движение, их средняя энергия должна быть достаточно велика по сравнению с расстоянием между дозволенными уровнями соответствующей энергии.

Возьмем столь низкую температуру, что средняя энергия молекулы  $\langle \epsilon \rangle$  значительно меньше первого дозволенного значения энергии вращательного движения (см. нижнюю пунктирную прямую на рис. 97.7). Тогда лишь незначительная часть всех молекул вовлекается во вращательное движение, так что практически молекулы газа будут двигаться только поступательно. Небольшие изменения температуры будут приводить к изменениям только энергии поступательного движения, в соответствии с чем теплоемкость газа оказывается равной  $\frac{3}{2}R$  (см. участок 1—1' на кривой, изображенной на рис. 97.6).

Повышение температуры сопровождается возрастанием  $\langle \epsilon \rangle$ , вследствие чего все большая часть молекул вовлекается во вращательное движение. Этому процессу соответствует участок кривой 1'—2 на рис. 97.6.

После того как все молекулы будут вовлечены во вращательное движение, начнется горизонтальный участок 2—2'. При температурах, соответствующих этому участку,  $\langle \epsilon \rangle$  еще значительно меньше, чем расстояние между дозволенными уровнями колебательной энергии, вследствие чего колебания молекул практически будут отсутствовать. При дальнейшем повышении температуры молекулы начнут во все большем количестве вовлекаться в колебательное движение, чему соответствует переходный участок 2'—3 на кривой теплоемкости. Наконец, при достаточно высокой температуре все молекулы окажутся вовлеченными в колебательное движение, в связи с чем теплоемкость станет равной  $\frac{7}{2}R$ .

Таким образом, классическая теория теплоемкости приблизительно верна лишь для отдельных температурных интервалов, причем каждому интервалу соответствует свое число степеней свободы молекулы.

---

<sup>1)</sup> В действительности расстояния между вращательными уровнями неодинаковы. Однако это несущественно для рассматриваемого вопроса,

### § 98. Распределение Максвелла

Для выяснения способа, которым можно количественно описать распределение молекул по значениям скорости, воспользуемся следующим приемом. Возьмем в воображаемом пространстве, которое мы будем называть  $v$ -пространством (пространством скоростей), прямоугольные координатные оси, по которым станем откладывать значения  $v_x$ ,  $v_y$  и  $v_z$  отдельных молекул (имеются в виду компоненты скорости по осям  $x$ ,  $y$  и  $z$ , взятым в обычном пространстве). Тогда скорости каждой молекулы будет соответствовать точка в этом пространстве. Из-за столкновений положения точек будут непрерывно меняться, но их плотность в каждом месте будет оставаться неизменной (напомним, что рассматривается равновесное состояние газа).

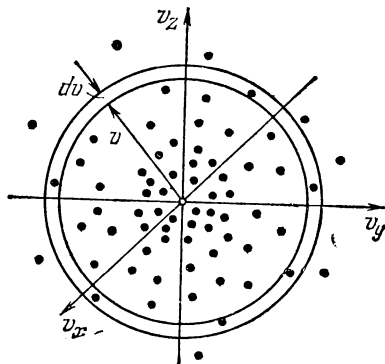


Рис. 98.1.

Вследствие равноправности всех направлений движения расположение точек относительно начала координат будет сферически симметричным. Следовательно, плотность точек в  $v$ -пространстве может зависеть только от модуля скорости  $v$  (или от  $v^2$ ). Обозначим эту плотность через  $Nf(v)$  ( $N$  — полное число молекул в данной массе газа). Тогда количество молекул, компоненты скоростей которых лежат в пределах от  $v_x$  до  $v_x+dv_x$ , от  $v_y$  до  $v_y+dv_y$  и от  $v_z$  до  $v_z+dv_z$ , можно представить в виде

$$dN_{v_x, v_y, v_z} = Nf(v) dv_x dv_y dv_z \quad (98.1)$$

(произведение  $dv_x dv_y dv_z$  дает элемент объема в  $v$ -пространстве).

Точки, изображающие скорости, величина которых заключена в пределах от  $v$  до  $v+dv$ , попадают в область, лежащую между сферами радиусов  $v$  и  $v+dv$  (рис. 98.1). Объем области равен  $4\pi v^2 dv$ . Следовательно, число точек, находящихся в этой области, определяется выражением

$$dN_v = Nf(v) 4\pi v^2 dv. \quad (98.2)$$

Это выражение дает число молекул, величина скоростей которых лежит в интервале от  $v$  до  $v+dv$ . Разделив его на  $N$ , получим вероятность  $dP_v$  того, что скорость молекулы окажется в пределах от  $v$  до  $v+dv$ :

$$dP_v = f(v) 4\pi v^2 dv. \quad (98.3)$$

Из сравнения этого выражения с (93.6) заключаем, что

$$F(v) = f(v) 4\pi v^2 \quad (98.4)$$

играет роль функции распределения молекул газа по скоростям.

Вид функции (98.4) был установлен теоретически Максвеллом в 1860 г. В изложенном ниже выводе закона распределения молекул газа по скоростям мы примерно следуем Максвеллу.

Согласно формуле (93.6) вероятность того, что компонента скорости  $v_x$  некоторой молекулы имеет значение в пределах от  $v_x$  до  $v_x + dv_x$ , может быть представлена в виде

$$dP_{v_x} = \varphi(v_x) dv_x, \quad (98.5)$$

где  $\varphi(v_x)$  — функция распределения. Аналогичные вероятности для двух других компонент определяются выражениями

$$dP_{v_y} = \varphi(v_y) dv_y, \quad (98.6)$$

$$dP_{v_z} = \varphi(v_z) dv_z. \quad (98.7)$$

В силу равноправности всех направлений движения аналитический вид функций  $\varphi(v_x)$ ,  $\varphi(v_y)$  и  $\varphi(v_z)$  должен быть одинаков, эти функции отличаются лишь обозначением аргумента.

Максвелл предположил, что вероятность различных значений одной из компонент, например  $v_x$ , не зависит от того, какова величина остальных двух компонент (в данном случае  $v_y$  и  $v_z$ )<sup>1)</sup>. Это означает, что события, заключающиеся в том, что  $v_x$  некоторой молекулы находится в пределах от  $v_x$  до  $v_x + dv_x$ ,  $v_y$  той же молекулы — в пределах от  $v_y$  до  $v_y + dv_y$  и, наконец,  $v_z$  той же молекулы — в пределах от  $v_z$  до  $v_z + dv_z$ , являются статистически независимыми. Поэтому вероятность того, что компоненты скорости некоторой молекулы имеют значения, лежащие в пределах от  $v_x$ ,  $v_y$ ,  $v_z$  до  $v_x + dv_x$ ,  $v_y + dv_y$ ,  $v_z + dv_z$ , равна произведению вероятностей (98.5), (98.6) и (98.7):

$$dP_{v_x, v_y, v_z} = \varphi(v_x) \varphi(v_y) \varphi(v_z) dv_x dv_y dv_z \quad (98.8)$$

(см. формулу (93.4)). Вместе с тем, согласно (98.1), эта вероятность может быть представлена в виде

$$dP_{v_x, v_y, v_z} = f(v) dv_x dv_y dv_z. \quad (98.9)$$

Сравнение выражений (98.8) и (98.9) дает, что

$$f(v) = \varphi(v_x) \varphi(v_y) \varphi(v_z). \quad (98.10)$$

Взяв логарифм от обеих частей этого равенства, получим:

$$\ln f(v) = \ln \varphi(v_x) + \ln \varphi(v_y) + \ln \varphi(v_z).$$

<sup>1)</sup> Это предположение может быть строго доказано, однако доказательство выходит за рамки нашего курса.

Продифференцируем полученное соотношение по  $v_x$ :

$$\frac{f'(v)}{f(v)} \frac{\partial v}{\partial v_x} = \frac{\varphi'(v_x)}{\varphi(v_x)}. \quad (98.11)$$

Поскольку  $v = \sqrt{v_x^2 + v_y^2 + v_z^2}$ , частная производная от  $v$  по  $v_x$  равна

$$\frac{\partial v}{\partial v_x} = \frac{v_x}{\sqrt{v_x^2 + v_y^2 + v_z^2}} = \frac{v_x}{v}.$$

Подставив это значение производной в (98.11) и перенеся затем  $v_x$  из числителя левой части в знаменатель правой, придем к равенству

$$\frac{f'(v)}{f(v)} \frac{1}{v} = \frac{\varphi'(v_x)}{\varphi(v_x)} \frac{1}{v_x}. \quad (98.12)$$

Правая часть этого равенства, а значит и левая часть, не зависит от переменных  $v_y$  и  $v_z$ . Следовательно, она не может зависеть и от  $v_x$  ( $v_x$ ,  $v_y$  и  $v_z$  входят в  $f(v)$  симметрично; см. (98.10)). Таким образом, каждое из выражений, стоящих слева и справа в (98.12), равно некоторой константе, которую мы обозначим, через  $-\alpha$  (впоследствии выяснится, что эта константа меньше нуля, т. е.  $\alpha > 0$ ).

Итак,

$$\frac{\varphi'(v_x)}{\varphi(v_x)} \frac{1}{v_x} = -\alpha \quad \text{или} \quad \frac{\varphi'(v_x)}{\varphi(v_x)} = -\alpha v_x.$$

Интегрирование дает, что

$$\ln \varphi(v_x) = -\frac{\alpha v_x^2}{2} + \ln A,$$

где  $A$  — константа. Отсюда

$$\varphi(v_x) = A \exp\left(-\frac{\alpha v_x^2}{2}\right). \quad (98.13)$$

Аналогично

$$\varphi(v_y) = A \exp\left(-\frac{\alpha v_y^2}{2}\right), \quad \varphi(v_z) = A \exp\left(-\frac{\alpha v_z^2}{2}\right).$$

Перемножив найденные функции, найдем, что

$$f(v) = A^3 \exp\left(-\frac{\alpha(v_x^2 + v_y^2 + v_z^2)}{2}\right) = A^3 \exp\left(-\frac{\alpha v^2}{2}\right). \quad (98.14)$$

Из вида функций (98.13) и (98.14) следует, что постоянная  $\alpha$  должна быть больше нуля. Если бы она была отрицательной, эти функции неограниченно возрастали бы при увеличении  $v$ .

Постоянная  $A$  определяется из условия нормировки (93.7). Согласно этому условию

$$A \int_{-\infty}^{+\infty} \exp\left(-\frac{\alpha v_x^2}{2}\right) dv_x = 1. \quad (98.15)$$

В § 94 отмечалось, что значения  $v$  (а значит и  $v_x$ ) не могут превысить некоторое, хотя и очень большое, но конечное значение  $v_{\max}$ . Вместе с тем, в качестве пределов интегрирования мы взяли  $-\infty$  и  $+\infty$ . Такое расширение пределов интегрирования не вносит ощутимой ошибки. Подынтегральная функция убывает с ростом  $v_x$  столь быстро, что при достаточно больших  $v_x$  она практически не отличается от нуля. Поэтому вклад участков интегрирования от  $v_{\max}$  до  $\infty$  и от  $-v_{\max}$  до  $-\infty$  является пренебрежимо малым.

Интеграл в (98.15) представляет собой интеграл Пуассона с  $\beta = \alpha/2$  (см. Приложение I, формулу (I.1)). Согласно (I.3)

$$\int_{-\infty}^{+\infty} \exp\left(-\frac{\alpha v_x^2}{2}\right) dv_x = \sqrt{\frac{\pi}{\alpha/2}} = \sqrt{\frac{2\pi}{\alpha}}. \quad (98.16)$$

Подставив это значение в (98.15), получим, что  $A\sqrt{2\pi/\alpha} = 1$ . Отсюда

$$A = \sqrt{\alpha/2\pi}. \quad (98.17)$$

Подстановка найденного значения  $A$  в (98.13) и (98.14) приводит к формулам

$$\varphi(v_x) = \sqrt{\frac{\alpha}{2\pi}} \exp\left(-\frac{\alpha v_x^2}{2}\right), \quad (98.18)$$

$$f(v) = \left(\frac{\alpha}{2\pi}\right)^{3/2} \exp\left(-\frac{\alpha v^2}{2}\right). \quad (98.19)$$

Чтобы найти постоянную  $\alpha$ , вычислим с помощью функции (98.18) значение  $\langle v_x^2 \rangle$  и приравняем полученное выражение найденному из вычисления давления значению  $kT/m$  (см. (97.3)). В соответствии с (93.11)

$$\langle v_x^2 \rangle = \int_{-\infty}^{+\infty} v_x^2 \varphi(v_x) dv_x = \sqrt{\frac{\alpha}{2\pi}} \int_{-\infty}^{+\infty} \exp\left(-\frac{\alpha v_x^2}{2}\right) v_x^2 dv_x. \quad (98.20)$$

Согласно формуле (I.4)

$$\int_{-\infty}^{+\infty} \exp\left(-\frac{\alpha v_x^2}{2}\right) v_x^2 dv_x = \frac{1}{2} \sqrt{\frac{\pi}{(\alpha/2)^3}} = \sqrt{\frac{2\pi}{\alpha^3}}. \quad (98.21)$$

Заменив в (98.20) интеграл его значением (98.21), найдем, что

$$\langle v_x^2 \rangle = \sqrt{\alpha/2\pi} \cdot \sqrt{2\pi/\alpha^3} = 1/\alpha.$$

Сопоставление с (97.3) дает

$$\alpha = m/kT. \quad (98.22)$$

Подстановка этого значения в формулы (98.18) и (98.19) приводит

к окончательным выражениям для функций распределения:

$$\varphi(v_x) = \left(\frac{m}{2\pi kT}\right)^{1/2} \exp\left(-\frac{mv_x^2}{2kT}\right), \quad (98.23)$$

$$f(v) = \left(\frac{m}{2\pi kT}\right)^{3/2} \exp\left(-\frac{mv^2}{2kT}\right). \quad (98.24)$$

Напомним, что функция (98.24), будучи умноженной на  $N$ , определяет плотность точек, изображающих скорости молекул в  $v$ -пространстве. Умножив эту функцию на  $dv_x dv_y dv_z$ , мы найдем вероятность  $dP_{v_x, v_y, v_z}$  того, что компоненты скорости лежат в пределах от  $v_x, v_y, v_z$  до  $v_x+dv_x, v_y+dv_y, v_z+dv_z$ . При этом не только величина скорости, но и ее направление варьируются лишь в небольших пределах, определяемых  $dv_x, dv_y$  и  $dv_z$ . Если нас интересует вероятность только величины скорости, независимо от направления движения молекулы, т. е.  $dP_v$ , то нужно взять функцию

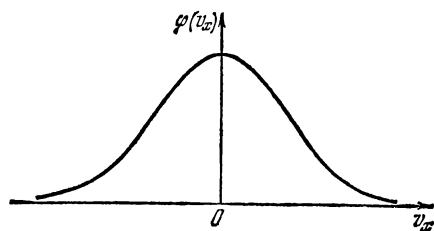


Рис. 98.2.

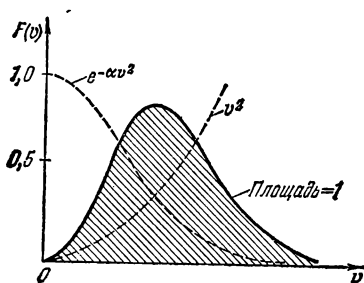


Рис. 98.3.

распределения в виде (98.4). Умножение этой функции на  $dv$  дает вероятность того, что модуль скорости некоторой молекулы окажется (при произвольном направлении движения) в пределах от  $v$  до  $v+dv$ .

Согласно (98.4) и (98.24)

$$F(v) = \left(\frac{m}{2\pi kT}\right)^{3/2} \exp\left(-\frac{mv^2}{2kT}\right) 4\pi v^2. \quad (98.25)$$

Характерным для этой функции является то обстоятельство, что в показателе экспоненты стоит взятое со знаком минус отношение кинетической энергии молекулы, отвечающей рассматриваемой скорости  $v$ , к  $kT$ , т. е. величине, характеризующей среднюю энергию молекул газа.

График функции (98.23) изображен на рис. 98.2. Он совпадает с гауссовой кривой распределения случайных величин.

График функции (98.25) дан на рис. 98.3. Поскольку при возрастании  $v$  множитель вида  $e^{-av^2}$  убывает быстрее, чем растет множитель  $v^2$ , функция, начинаясь в нуле (из-за  $v^2$ ), достигает максимума

и затем асимптотически стремится к нулю. Площадь, охватываемая кривой, равна единице (ср. с (93.7)).

Найдем среднюю скорость молекул  $\langle v \rangle$  (имеется в виду средняя арифметическая скорость). По аналогии с (93.9) имеем:

$$\langle v \rangle = \int_0^{\infty} v F(v) dv = \left( \frac{m}{2\pi kT} \right)^{3/2} 4\pi \int_0^{\infty} \exp \left( -\frac{mv^2}{2kT} \right) v^3 dv.$$

Переход к переменной  $\xi = v^2$  и интегрирование по частям приводят к следующему результату:

$$\langle v \rangle = \sqrt{8kT/\pi m}. \quad (98.26)$$

Согласно (93.11)

$$\langle v^2 \rangle = \int_0^{\infty} v^2 F(v) dv = \left( \frac{m}{2\pi kT} \right)^{3/2} 4\pi \int_0^{\infty} \exp \left( -\frac{mv^2}{2kT} \right) v^4 dv. \quad (98.27)$$

В соответствии с формулой (I.6)

$$\int_0^{\infty} \exp \left( -\frac{mv^2}{2kT} \right) v^4 dv = \frac{3}{8} \sqrt{\frac{\pi}{(m/2kT)^5}} = \frac{3}{8\pi^2} \left( \frac{2\pi kT}{m} \right)^{5/2}.$$

Подставив это значение интеграла в (98.27), получим для  $\langle v^2 \rangle$  уже известное нам значение  $3kT/m$  (см. (97.2)). В этом нет ничего удивительного, так как при нахождении значения  $\alpha$  в (98.18) мы исходили из соотношения (97.3), т. е. по существу из соотношения (97.2).

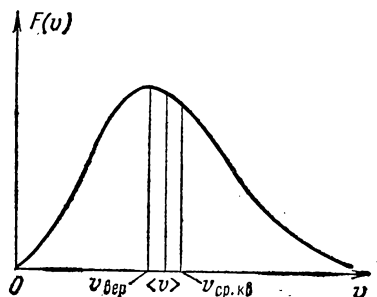


Рис. 98.4.

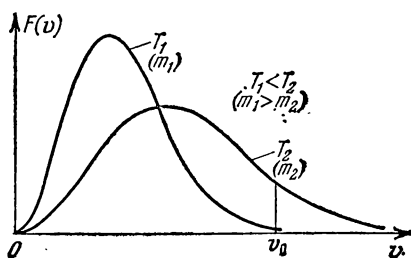


Рис. 98.5.

Корень квадратный из  $\langle v^2 \rangle$  называется средней квадратичной скоростью:

$$v_{\text{ср. кв}} = \sqrt{\langle v^2 \rangle} = \sqrt{3kT/m}. \quad (98.28)$$

Скорость, отвечающая максимуму  $F(v)$ , будет наиболее вероятной. Взяв производную от выражения (98.25) по  $v$ , опустив посто-

янные множители и приравняв получившееся выражение нулю, придем к уравнению

$$\exp\left(-\frac{mv^2}{2kT}\right)\left(2 - \frac{mv^2}{kT}\right)v = 0.$$

Удовлетворяющие этому уравнению значения  $v=0$  и  $v=\infty$  соответствуют минимумам  $F(v)$ . Значение  $v$ , обращающее в нуль выражение, стоящее в скобках, представляет собой искомую наиболее вероятную скорость  $v_{\text{вер}}$ :

$$v_{\text{вер}} = \sqrt{2kT/m}. \quad (98.29)$$

Сопоставление выражений (98.29), (98.26) и (98.28) дает, что

$$v_{\text{вер}} : \langle v \rangle : v_{\text{ср. кв}} = \sqrt{2} : \sqrt{8/\pi} : \sqrt{3} = 1 : 1,13 : 1,22.$$

Рис. 98.4 иллюстрирует это соотношение.

Подставив выражение (98.29) в формулу (98.25), найдем максимальное значение функции  $F(v)$ :

$$F(v_{\text{вер}}) = (4/e) \sqrt{m/2\pi kT} \sim \sqrt{m/T}. \quad (98.30)$$

Из формул (98.29) и (98.30) следует, что при увеличении температуры (или уменьшении массы молекулы) максимум кривой смещается вправо и становится ниже, причем, как мы знаем, площадь, охватываемая кривой, остается неизменной. На рис. 98.5 сопоставлены две кривые распределения, которые можно трактовать либо как относящиеся к различным температурам  $T_1$  и  $T_2$  (при одинаковой  $m$ ), либо как относящиеся к различным массам молекул  $m_1$  и  $m_2$  (при одинаковой  $T$ ).

Относительное количество молекул, скорость которых превышает некоторое значение  $v_0$ , определяется выражением

$$\int_{v_0}^{\infty} F(v) dv.$$

На графике этому интегралу соответствует лежащая справа от  $v_0$  часть площади, ограниченной кривой. Из рис. 98.5 видно, что относительное количество молекул, имеющих скорости, превышающие  $v_0$ , сильно растет с повышением температуры.

В табл. 98.1 приведены вычисленные с помощью функции (98.25) относительные количества молекул  $\Delta N/N$  для различных интервалов скоростей. Из таблицы следует, что у 70% всех молекул скорость отличается от наиболее вероятной не больше чем на 50%.

Т а б л и ц а 98.1

$v/v_{\text{вер}}$	$\Delta N/N, \%$	$v/v_{\text{вер}}$	$\Delta N/N, \%$
0—0,5	8,1	2—3	4,6
0,5—1,5	70,7	>3	0,04
1,5—2	16,6	>5	$8 \cdot 10^{-9}$

Скоростью, более чем в 3 раза превышающей  $v_{\text{вер}}$ , обладает в среднем только 0,04% молекул. Скорости же, превышающие  $5v_{\text{вер}}$ , наблюдаются в среднем лишь у одной из 12 миллиардов молекул.

Произведем оценку средней скорости молекул кислорода. Вычисления удобнее производить, заменив в (98.26) отношение  $k/m$  равным ему отношением  $R/M$ . Тогда выражение для средней скорости примет вид

$$\langle v \rangle = \sqrt{8RT/\pi M}. \quad (98.31)$$

Молекулярная масса кислорода равна 32. Следовательно, масса моля  $M = 32 \cdot 10^{-3}$  кг/моль. Комнатная температура равна примерно 300 К. Подставив в формулу (98.31) числовые значения входящих в нее величин, получим

$$\langle v \rangle = \sqrt{\frac{8 \cdot 8,31 \cdot 300}{3,14 \cdot 32 \cdot 10^{-3}}} \approx 500 \text{ м/с.}$$

Таким образом, каждая молекула кислорода проходит за секунду путь, равный в среднем 0,5 км. Поскольку молекула претерпевает очень частые соударения с другими молекулами, этот путь состоит из большого числа коротких прямолинейных отрезков, образующих ломаную линию.

Молекулы водорода имеют массу, в 16 раз меньшую, чем молекулы кислорода, вследствие чего их скорость при той же температуре будет в 4 раза больше и составит при комнатной температуре в среднем почти 2 км/с.

Если имеется смесь газов, находящаяся в равновесии, то в пределах молекул каждого сорта имеет место распределение (98.25) со своим значением  $m$ . Более тяжелые молекулы будут двигаться в среднем с меньшей скоростью, чем более легкие.

Исходя из распределения молекул по скоростям

$$dN_v = N \left( \frac{m}{2\pi kT} \right)^{3/2} \exp \left( -\frac{mv^2}{2kT} \right) 4\pi v^2 dv, \quad (98.32)$$

можно найти распределение молекул по значениям кинетической энергии поступательного движения (обозначим ее буквой  $\epsilon$ ). Для этого нужно перейти от переменной  $v$  к переменной  $\epsilon$ , равной  $mv^2/2$ . Произведя в (98.32) подстановку  $v = (2\epsilon/m)^{1/2}$  и  $dv = (2m\epsilon)^{-1/2} d\epsilon$ , получим

$$dN_\epsilon = N \left( \frac{2}{V\pi} \right) (kT)^{-3/2} \exp \left( -\frac{\epsilon}{kT} \right) V^{-1} d\epsilon, \quad (98.33)$$

где  $dN_\epsilon$  означает число молекул, кинетическая энергия поступательного движения которых имеет значения, заключенные в пределах от  $\epsilon$  до  $\epsilon + d\epsilon$ .

Таким образом, распределение молекул по значениям  $\varepsilon$  характеризуется функцией

$$f(\varepsilon) = A \exp\left(-\frac{\varepsilon}{kT}\right) V \sqrt{\varepsilon}, \quad (98.34)$$

где  $A$  — нормировочный множитель, равный  $(2/\sqrt{\pi})(kT)^{-3/2}$ .

### § 99. Экспериментальная проверка закона распределения Максвелла

Первое экспериментальное определение скоростей молекул было осуществлено Штерном в 1920 г. Прибор, использованный для этой цели, состоял из двух коаксиальных цилиндров (рис. 99.1). По оси прибора была натянута платиновая нить, покрытая серебром. При нагревании нити электрическим током с ее поверхности испарялись атомы серебра. Скорости испарившихся атомов соответствовали температуре нити. Покинув нить, атомы двигались по радиальным направлениям. Внутренний цилиндр имел узкую продольную щель, через которую проходил наружу узкий пучок атомов (молекулярный пучок). Чтобы атомы серебра не отклонялись за счет соударений с молекулами воздуха, весь прибор был эвакуирован. Достигнув поверхности внешнего цилиндра, атомы серебра оседали на ней, образуя слой в виде узкой вертикальной полоски.

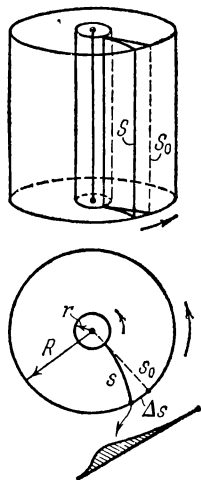


Рис. 99.1.

Если привести весь прибор во вращение, след, оставляемый молекулярным пучком, сместится по поверхности внешнего цилиндра на некоторую величину  $\Delta s$  (см. рис. 99.1). Это произойдет потому, что за время, пока атомы серебра пролетают зазор между цилиндрами, прибор успевает повернуться на некоторый угол  $\Delta\varphi$ , в результате против пучка окажется другой участок наружного цилиндра, смещенный относительно первоначального следа  $s_0$  на величину  $\Delta s$ , равную  $R\Delta\varphi$  ( $R$  — радиус внешнего цилиндра). Рассматривая движение атомов серебра в связанной с цилиндрами вращающейся системе отсчета, смещение следа можно объяснить действием на атомы кориолисовой силы, равной  $2m[v\omega]$ .

Расстояние  $\Delta s$  между первоначальной и смещенной полосками серебра можно связать с угловой скоростью вращения цилиндров  $\omega$ , геометрией прибора и скоростью атомов  $v$ . Обозначив время пролета через  $\Delta t$ , можно написать, что

$$\Delta s = \omega R \Delta t. \quad (99.1)$$

Поскольку радиус внутреннего цилиндра мал по сравнению с радиусом внешнего цилиндра  $R$ , время пролета  $\Delta t$  можно положить равным

$$\Delta t = R/v.$$

Подставив это выражение в (99.1) и разрешив получившееся уравнение относительно  $v$ , получим

$$v = \omega R^2 / \Delta s.$$

Измерив смещение следа  $\Delta s$  и скорость вращения прибора, можно определить скорость атомов  $v$ . Положение, правда, осложняется тем, что вследствие распределения по скоростям атомы имеют различные скорости, и в результате смещенный слой будет размытым<sup>1)</sup>. Исследуя профиль следа (см. рис. 99.1), можно было составить примерное представление о распределении атомов серебра по скоростям.

Результаты опыта Штерна подтвердили правильность оценки средней скорости атомов, которая вытекает из распределения Максвелла. О характере самого распределения этот опыт мог дать лишь весьма приближенные сведения.

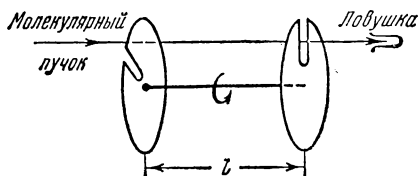


Рис. 99.2.

Более точно закон распределения был проверен в опыте Ламмерта (1929 г.), в котором молекулярный пучок пропусклся через два вращающихся диска с радиальными щелями, смещенными

друг относительно друга на некоторый угол  $\phi$  (рис. 99.2). Из числа молекул, пролетевших через щель в первом диске, пролетят через второй диск только те, которые подлетят к нему в тот момент, когда на пути пучка встанет прорезь во втором диске. Более быстрые молекулы достигнут второго диска слишком рано, а более медленные — слишком поздно для того, чтобы пройти через щель. Таким образом, это устройство позволяет выделить из пучка молекулы, обладающие определенным значением скорости (из-за конечной ширины щелей прибор выделяет молекулы, скорости которых лежат в пределах некоторого интервала  $\Delta v$ ). Средняя скорость выделяемых прибором молекул может быть найдена из условия, что время  $t_1$ , за которое молекулы пролетают расстояние  $l$  между дисками ( $t_1 = l/v$ ), должно совпадать со временем  $t_2$ , за которое диски повернутся на угол  $\phi$  ( $t_2 = \phi/\omega$ ). Приравняв оба времени, получим

$$v = \omega l / \phi.$$

<sup>1)</sup> Ширина слоя, получающегося при неподвижном приборе, определяется только геометрией прибора, в частности шириной щели, через которую выходит молекулярный пучок.

Меняя скорость вращения прибора  $\omega$  (или угол между дисками  $\varphi$ ), можно выделять из пучка молекулы, обладающие различными значениями скорости. Улавливая затем эти молекулы в течение определенного времени, можно определить их относительное количество в пучке.

Результаты опыта Ламмерта и других опытов, предпринимавшихся с той же целью, находятся в полном согласии с законом распределения, установленным теоретически Максвеллом.

Следует отметить, что распределение молекул по скоростям в пучке, вышедшем через отверстие в сосуде, несколько отличается от распределения, имеющегося в замкнутом сосуде. Так как более быстрые молекулы будут проходить через отверстие в относительно большем количестве, чем более медленные, пучок будет обогащен более быстрыми молекулами. Поскольку количество молекул, пролетающих через отверстие в единицу времени, пропорционально  $v$ , распределение в пучке будет характеризоваться не функцией (98.25), а функцией

$$F_1(v) = A_1 \exp\left(-\frac{mv^2}{2kT}\right) v^3,$$

где  $A_1$  — нормировочный множитель. Наиболее вероятная скорость в этом случае равна  $v'_{\text{вер}} = \sqrt{3kT/m}$ , а средняя скорость  $\langle v' \rangle = \sqrt{9\pi kT/8m}$ .

## § 100. Распределение Больцмана

Полученная в § 92 барометрическая формула

$$p = p_0 \exp\left(-\frac{Mgh}{RT}\right) \quad (100.1)$$

(см. (92.4)) дает зависимость давления от высоты над поверхностью Земли для воображаемой изотермической атмосферы. Заменим в показателе экспоненты отношение  $M/R$  равным ему отношением  $m/k$  ( $m$  — масса молекулы,  $k$  — постоянная Больцмана). Кроме того, подставим в соответствии с (86.7) вместо  $p$  выражение  $nkT$ , а вместо  $p_0$  — выражение  $n_0 kT$ . Сократив затем обе части равенства на  $kT$ , придем к формуле

$$n = n_0 \exp\left(-\frac{mgh}{kT}\right). \quad (100.2)$$

Здесь  $n$  — концентрация молекул (т. е. число их в единице объема) на высоте  $h$ ,  $n_0$  — концентрация молекул на высоте  $h_0=0$ .

Из формулы (100.2) следует, что с понижением температуры число частиц на высотах, отличных от нуля, убывает, обращаясь в нуль при  $T=0$  (рис. 100.1). При абсолютном нуле все молекулы

расположились бы на земной поверхности. При высоких температурах, напротив,  $n$  слабо убывает с высотой, так что молекулы оказываются распределенными по высоте почти равномерно.

Этот факт имеет простое физическое объяснение. Каждое конкретное распределение молекул по высоте устанавливается в результате действия двух тенденций:

1) притяжение молекул к Земле (характеризуемое силой  $mg$ ) стремится расположить их на поверхности Земли; 2) тепловое движение (характеризуемое величиной  $kT$ ) стремится разбросать молекулы равномерно по всем высотам. Чем больше  $m$  и меньше  $T$ , тем сильнее преобладает первая тенденция, и молекулы сгущаются у поверхности Земли. В пределе при  $T=0$  тепловое движение совсем прекращается, и под влиянием притя-

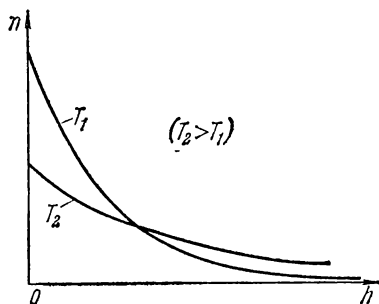


Рис. 101.1.

жения молекулы располагаются на земной поверхности. При высоких температурах превалирует тепловое движение, и плотность молекул медленно убывает с высотой.

На разной высоте молекула обладает различным запасом потенциальной энергии:

$$\varepsilon_p = mgh. \quad (100.3)$$

Следовательно, распределение молекул по высоте является вместе с тем и распределением их по значениям потенциальной энергии. С учетом (100.3) формулу (100.2) можно записать следующим образом:

$$n = n_0 \exp\left(-\frac{\varepsilon_p}{kT}\right), \quad (100.4)$$

где  $n$  — плотность молекул в том месте пространства, где потенциальная энергия молекулы имеет значение  $\varepsilon_p$ ,  $n_0$  — плотность молекул в том месте, где потенциальная энергия молекулы равна нулю.

Из (100.4) следует, что молекулы располагаются с большей плотностью там, где меньше их потенциальная энергия, и, наоборот, с меньшей плотностью — в местах, где их потенциальная энергия больше.

В соответствии с (100.4) отношение  $n_1$  к  $n_2$  в точках, где потенциальная энергия молекулы имеет значения  $\varepsilon_{p1}$  и  $\varepsilon_{p2}$ , равно

$$\frac{n_1}{n_2} = \exp\left(-\frac{\varepsilon_{p1} - \varepsilon_{p2}}{kT}\right). \quad (100.5)$$

Больцман доказал, что распределение (100.4) справедливо не только в случае потенциального поля сил земного тяготения, но и в любом потенциальном поле сил для совокупности любых одинаковых частиц, находящихся в состоянии хаотического теплового движения. В соответствии с этим распределение (100.4) называют **распределением Больцмана**.

В то время как закон Максвелла дает распределение частиц по значениям кинетической энергии, закон Больцмана дает распределение частиц по значениям потенциальной энергии. Для обоих распределений характерно наличие экспоненциального множителя, в показателе которого стоит отношение кинетической или соответственно потенциальной энергии одной молекулы к величине, определяющей среднюю энергию теплового движения молекулы.

Согласно формуле (100.4) количество молекул, попадающих в пределы объема  $dV = dx dy dz$ , расположенного в точке с координатами  $x, y, z$ , равно

$$dN_{x, y, z} = n_0 \exp\left(-\frac{\varepsilon_p(x, y, z)}{kT}\right) dx dy dz. \quad (100.6)$$

Мы получили еще одно выражение закона распределения Больцмана.

Распределения Максвелла и Больцмана можно объединить в один закон Максвелла — Больцмана, согласно которому число молекул, компоненты скорости которых лежат в пределах от  $v_x$ ,  $v_y$ ,  $v_z$  до  $v_x + dv_x$ ,  $v_y + dv_y$ ,  $v_z + dv_z$ , а координаты в пределах от  $x$ ,  $y$ ,  $z$  до  $x + dx$ ,  $y + dy$ ,  $z + dz$ , равно

$$dN_{v_x, v_y, v_z, x, y, z} = A \exp\left(-\frac{\varepsilon_p + mv^2/2}{kT}\right) dv_x dv_y dv_z dx dy dz \quad (100.7)$$

(см. (98.1), (98.24) и (100.6)). Здесь  $A$  — нормировочный множитель, равный  $n_0(m/2\pi kT)^{3/2}$ . Напомним, что  $\varepsilon_p = \varepsilon_p(x, y, z)$  и  $v^2 = v_x^2 + v_y^2 + v_z^2$ .

В распределении (100.7) потенциальная энергия  $\varepsilon_p$  и кинетическая энергия  $mv^2/2$ , а следовательно, и полная энергия  $E$ , могут принимать непрерывный ряд значений. Если полная энергия частицы может принимать лишь дискретный ряд значений:  $E_1, E_2, \dots$ , как это имеет место, например, для внутренней энергии атома, то распределение Больцмана имеет вид

$$N_i = Ae^{-E_i/kT}, \quad (100.8)$$

где  $N_i$  — число частиц, находящихся в состоянии с энергией  $E_i$ ,  $A$  — коэффициент пропорциональности, который должен удовлетворять условию

$$\sum N_i = A \sum e^{-E_i/kT} = N$$

( $N$  — полное число частиц в рассматриваемой системе). Подставив найденное из последнего соотношения значение  $A$  в формулу (100.8), получим окончательное выражение распределения Больцмана для случая дискретных значений энергии:

$$N_i = \frac{N e^{-E_i/kT}}{\sum e^{-E_i/kT}}. \quad (100.9)$$

### § 101. Определение Перреном числа Авогадро

Распределение (100.2) было положено Перреном (1909 г.) в основу опытов по определению числа Авогадро. Взвешенные в жидкости очень мелкие твердые частицы находятся в состоянии непрерывного беспорядочного движения, называемого броуновским движением (см. § 79). Причина его заключается в том, что при достаточно малых размерах частиц импульсы, сообщаемые частице ударяющимися о нее с разных сторон молекулами, оказываются нескомпенсированными. О частицу заметных размеров ударяется одновременно большое число молекул, так что суммарный результат ударов молекул достаточно хорошо усредняется. При малых размерах частицы начинают проявлять отклонения скоростей отдельных молекул и числа ударяющихся молекул от средних значений. Если скорость или число молекул, ударяющихся о частицу с одной стороны, окажутся иными, чем для молекул, ударяющихся с другой стороны, то результирующий импульс, сообщаемый частице, будет отличен от нуля, и частица начнет двигаться в соответствующем направлении. В следующий момент результирующий импульс имеет иное направление. Следовательно, частица будет все время перемещаться беспорядочным образом.

Броуновское движение указывает на то, что достаточно малые частицы вовлекаются в совершаемое молекулами тепловое движение. Принимая участие в тепловом движении, такие частицы должны вести себя подобно гигантским молекулам, и на них должны распространяться закономерности кинетической теории, в частности закон распределения Больцмана (см. (100.2)).

Основную трудность в опытах Перрена составляло приготовление одинаковых частиц и определение их массы. Применив многократно метод центрифугирования, Перрену удалось приготовить весьма однородную эмульсию из практически одинаковых шариков гуммигута<sup>1)</sup> с радиусами порядка нескольких десятых долей микрометра. Эмульсия помещалась в плоскую стеклянную кювету глубиной 0,1 мм и рассматривалась с помощью микроскопа (рис.

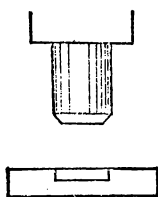


Рис. 101.1.

<sup>1)</sup> Гуммигут — сгущенный млечный сок, получаемый из надрезов в коре некоторых видов деревьев, растущих в Ост-Индии и на Цейлоне.

101.1). Микроскоп имел столь малую глубину поля зрения, что в него были видны только частицы, находящиеся в горизонтальном слое толщиной примерно 1 мкм. Перемещая микроскоп в вертикальном направлении, можно было исследовать распределение броуновских частиц по высоте.

Обозначим высоту слоя, видимого в микроскоп, над дном кюветы буквой  $h$ . Число частиц, попадающих в поле зрения микроскопа, определяется формулой

$$\Delta N = n(h) S \Delta h,$$

где  $n(h)$  — число броуновских частиц в единице объема на высоте  $h$ ,  $S$  — площадь, а  $\Delta h$  — глубина поля зрения микроскопа.

Применив к броуновским частицам формулу (100.2), можно написать:

$$n(h) = n_0 \exp\left(-\frac{p'h}{kT}\right),$$

где  $n_0$  — число частиц в единице объема при  $h=0$ ,  $p'$  — вес броуновской частицы в эмульсии, т. е. вес, взятый с учетом поправки на закон Архимеда.

Написав выражение числа частиц  $\Delta N$  для двух разных высот  $h_1$  и  $h_2$ , получаем:

$$\Delta N_1 = n_0 \exp\left(-\frac{p'h_1}{kT}\right) S \Delta h, \quad \Delta N_2 = n_0 \exp\left(-\frac{p'h_2}{kT}\right) S \Delta h.$$

Наконец, логарифмируя отношение  $\Delta N_1/\Delta N_2$ , приходим к следующему выражению:

$$\ln \frac{\Delta N_1}{\Delta N_2} = \frac{p'(h_2 - h_1)}{kT}.$$

С помощью этой формулы по измеренным  $p'$ ,  $T$ ,  $(h_2 - h_1)$ ,  $\Delta N_1$  и  $\Delta N_2$  можно определить постоянную Больцмана  $k$ . Далее, разделив газовую постоянную  $R$  на  $k$ , можно было найти число Авогадро  $N_A$ .

Полученное Перреном на различных эмульсиях значение  $N_A$  лежало в пределах от  $6,5 \cdot 10^{23}$  до  $7,2 \cdot 10^{23}$  моль $^{-1}$ . Определенное другими, более точными методами значение  $N_A$  равно  $6,02 \cdot 10^{23}$  моль $^{-1}$ . Таким образом, значение, полученное Перреном, находится в хорошем согласии со значениями, полученными другими методами, что доказывает применимость к броуновским частицам распределения Больцмана.

## § 102. Макро- и микросостояния. Статистический вес

Состояние макроскопического тела (т. е. тела, образованного огромным количеством молекул) может быть задано с помощью объема, давления, температуры, внутренней энергии и других

макроскопических (т. е. характеризующих все тело в целом) величин. Охарактеризованное таким способом состояние называется **макросостоянием**.

Состояние макроскопического тела, охарактеризованное настолько подробно, что оказываются заданными состояния всех образующих тело молекул, называется **микросостоянием**.

Всякое макросостояние может быть осуществлено различными способами, каждому из которых соответствует некоторое микросостояние тела. Число различных микросостояний, соответствующих данному макросостоянию, называется **статистическим весом** или **термодинамической вероятностью** макросостояния. Таким образом, статистический вес представляет собой число микроскопических способов, которыми может быть осуществлено данное макросостояние.

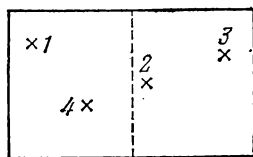


Рис. 102.1.

Чтобы пояснить понятие статистического веса, рассмотрим способы, которыми молекулы газа могут распределяться между двумя половинами сосуда, в котором заключен газ. Пусть общее число молекул равно  $N$ . В качестве характеристики состояния газа примем число молекул, находящихся в левой половине сосуда, которое мы обозначим буквой  $n$  (соответственно число молекул в правой половине сосуда будет равно  $N - n$ ). Состояние отдельной молекулы будем характеризовать указанием на то, в какой из половин сосуда она находится. Такое описание состояния газа и состояний отдельных молекул является, конечно, далеко не полным. Однако оно достаточно для того, чтобы выяснить на этом примере характерные особенности статистического поведения любых макросистем.

Начнем со случая, когда полное число молекул равно четырем (рис. 102.1). Каждая молекула с равной вероятностью может находиться как в левой, так и в правой половине сосуда. Поэтому вероятность того, что, скажем, молекула 1 окажется в левой половине сосуда, равна  $1/2$ . Пребывание в левой половине сосуда молекулы 1 и пребывание в той же половине сосуда молекулы 2 являются статистически независимыми событиями. Поэтому вероятность одновременного нахождения в левой части сосуда молекул 1 и 2 равна произведению вероятностей, т. е.  $(1/2)^2$ . Продолжая эти рассуждения, получим, что вероятность одновременного нахождения в левой половине сосуда всех четырех молекул равна  $(1/2)^4$ .

Аналогичные рассуждения дают, что вероятность любого размещения молекул в сосуде (скажем такого, при котором 1-я и 4-я молекулы будут находиться в левой половине сосуда, а 2-я и 3-я — в правой), также равна  $(1/2)^4$ . Каждое из размещений пред-

ставляет собой некоторое микросостояние газа. Из сказанного выше следует, что вероятность всех микросостояний одинакова и равна  $(1/2)^4$ .

В табл. 102.1 приведены все мыслимые способы распределения молекул между половинами сосуда (все микросостояния газа). Состояние, характеризующее тем, что, скажем, в левой части сосуда

Таблица 102.1

Состояние		Способы реализации состояния		Число способов реализации данного состояния ( $\Omega$ )
число молекул слева	число молекул справа	№ молекул, находящихся слева	№ молекул, находящихся справа	
0	4	—	1, 2, 3, 4	1
1	3	1 2 3 4	2, 3, 4 1, 3, 4 1, 2, 4 1, 2, 3	4
2	2	1, 2 1, 3 1, 4 2, 3 2, 4 3, 4	3, 4 2, 4 2, 3 1, 4 1, 3 1, 2	6
3	1	1, 2, 3 1, 2, 4 1, 3, 4 2, 3, 4	4 3 2 1	4
4	0	1, 2, 3, 4	—	1
		Всего способов		$2^4 = 16$

находится одна молекула (безразлично какая), а в правой части — три молекулы, представляет собой макросостояние. Из таблицы видно, что такому макросостоянию соответствует 4 микросостояния. Следовательно, статистический вес данного макросостояния равен 4, а вероятность (обычная, а не термодинамическая) равна  $4/16$ . Макросостояние, при котором в обеих частях сосуда находится одинаковое число молекул, реализуется с помощью шести микро-

состояний. Соответственно его статистический вес равен 6, а вероятность (обычная) равна  $6/16$ .

Из рассмотренного примера вытекает, что все микросостояния данной системы равновероятны, вследствие чего статистический вес оказывается пропорциональным вероятности (обычной) макросостояния. Утверждение о равновероятности всех микросостояний лежит в основе статистической физики и носит название э р г о д и ч е с к о й г и п о т е з ы.

Согласно табл. 102.1 в случае четырех молекул имеется большая вероятность (равная  $1/8$ ) того, что все молекулы соберутся в одной из половин сосуда (левой или правой). Однако с увеличением числа молекул положение существенно меняется.

Найдем число способов (число микросостояний), посредством которых может быть осуществлено макросостояние, характеризуемое тем, что в левой половине сосуда окажется  $n$  молекул из общего числа их  $N$ , а в правой половине —  $(N - n)$  молекул. Для этого пронумеруем молекулы, приписав им номера от 1 до  $N$ . Затем станем отбирать по одной молекуле и помещать их в левую половину сосуда. Первую молекулу можно выбрать  $N$  способами, вторую —  $(N-1)$  способом, третью —  $(N-2)$  способами, наконец,  $n$ -ю молекулу можно выбрать  $(N - n + 1)$  способом. Оставшиеся  $(N - n)$  молекул поместим в правую половину сосуда.

Из сказанного выше следует, что число  $z$  способов, с помощью которых можно отобрать случайным образом из общего числа  $N$  молекул  $n$  молекул для левой половины сосуда, равно

$$z = N(N-1)(N-2) \dots (N-n+1).$$

Домножив и разделив это число на  $(N-n)!$ , получим выражение

$$z = \frac{N!}{(N-n)!}. \quad (102.1)$$

Однако не все  $z$  способов приводят к отличающимся друг от друга микросостояниям. Отдельные микросостояния отличаются только совокупностью номеров молекул, отобранных для каждой из половин сосуда, но не последовательностью, в которой эти молекулы отбирались. Например, при  $N=3$  и  $n=2$  получаются выборки

$$\begin{array}{ccc} 1-2 & 2-1 & 3-1 \\ 1-3 & 2-3 & 3-2 \end{array}$$

Из них выборки 1—2 и 2—1 отвечают одному и тому же микросостоянию (в левой половине 1-я и 2-я молекулы, в правой — 3-я). То же самое относится к выборкам 1—3 и 3—1, а также 2—3 и 3—2. Таким образом, выборки, отличающиеся только перестановкой  $n$  номеров молекул, отобранных для левой половины сосуда (таких выборок  $n!$ ), соответствуют одному и тому же микросо-

стоянию. Следовательно, чтобы получить число микросостояний, с помощью которых может быть осуществлено макросостояние  $(n, N - n)$ , нужно разделить число (102.1) на  $n!$ . В результате для статистического веса получается выражение

$$\Omega(n, N - n) = \frac{N!}{n!(N - n)!}. \quad (102.2)$$

Легко убедиться в том, что  $\Omega(2, 4 - 2) = 6$ , а  $\Omega(1, 4 - 1) = 4$  (см. табл. 102.1).

В табл. 102.2 приведены значения  $\Omega$ , вычисленные по формуле (102.2) для случая  $N = 24$ . Полное число способов распределения 24 молекул между двумя половинами сосуда равно  $2^{24} = 16\,777\,216$ , и только в двух случаях все молекулы оказываются сосредоточенными в одной из половин сосуда. Вероятность такого события равна примерно  $10^{-7}$ . В четырех кубических сантиметрах воздуха содержится около  $10^{20}$  молекул. Вероятность того, что все эти молекулы соберутся в одной из половин сосуда, равна двум, деленным на два в степени  $10^{20}$ , что составляет приблизительно  $10^{-3 \cdot 10^{19}}$ . Эта вероятность настолько мала, что практически ее можно считать равной нулю.

Таблица 102.2

Число молекул		$\Omega$	Вероятность	Число молекул		$\Omega$	Вероятность
слева	справа			слева	справа		
0	24	1	$6 \cdot 10^{-7}$	9	15	1 307 504	$7,8 \cdot 10^{-2}$
1	23	24	$1,4 \cdot 10^{-6}$	10	14	1 961 256	0,117
2	22	276	$1,6 \cdot 10^{-5}$	11	13	2 496 144	0,149
3	21	2 024	$1,2 \cdot 10^{-4}$	12	12	2 704 156	0,161
4	20	10 626	$6,3 \cdot 10^{-4}$	13	11	2 496 144	0,149
5	19	42 504	$2,5 \cdot 10^{-3}$	14	10	1 961 256	0,117
6	18	134 596	$8 \cdot 10^{-3}$	15	9	1 307 504	$7,8 \cdot 10^{-2}$
7	17	346 104	$2 \cdot 10^{-2}$	16	8	770 416	0,046
8	16	735 471	$4,4 \cdot 10^{-2}$	17	7	346 104	$2 \cdot 10^{-2}$
				18	6	134 596	$8 \cdot 10^{-3}$
				19	5	42 504	$2,5 \cdot 10^{-3}$
				20	4	10 626	$6,3 \cdot 10^{-4}$
				21	3	2 024	$1,2 \cdot 10^{-4}$
				22	2	276	$1,6 \cdot 10^{-5}$
				23	1	24	$1,4 \cdot 10^{-6}$
				24	0	1	$6 \cdot 10^{-7}$
Всего $2^{24} = 16\,777\,216$ способов							

На рис. 102.2 изображен график, показывающий, как меняется число молекул  $n$  в одной из половин сосуда с течением времени. Это число колеблется около среднего значения, равного  $N/2$ .

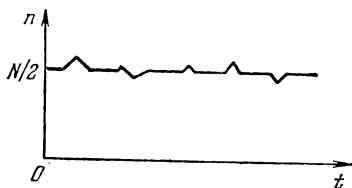


Рис. 102.2.

Случайные отклонения значений какой-либо физической величины  $x$  от ее среднего значения  $\langle x \rangle$  называются ф л у к т у а ц и я м и этой величины. Обозначив флуктуацию через  $\Delta x$ , получим, что

$$\Delta x = x - \langle x \rangle. \quad (102.3)$$

Среднее арифметическое величины (102.3) равно нулю. Действительно,

$$\langle \Delta x \rangle = \langle (x - \langle x \rangle) \rangle = \langle x \rangle - \langle x \rangle = 0.$$

Поэтому в качестве характеристики флуктуаций берут с р е д н ю ю к в а д р а т и ч н у ю ф л у к т у а ц и ю, равную

$$\sqrt{\langle (\Delta x)^2 \rangle}. \quad (102.4)$$

Более показательна относительная флуктуация величины  $x$ , которая определяется отношением

$$\frac{\sqrt{\langle (\Delta x)^2 \rangle}}{\langle x \rangle}. \quad (102.5)$$

В статистической физике доказывается, что относительная флуктуация аддитивной величины (т. е. такой величины, значение которой для тела равно сумме значений для отдельных его частей) обратно пропорциональна корню квадратному из числа  $N$  образующих тело молекул:

$$\frac{\sqrt{\langle (\Delta x)^2 \rangle}}{\langle x \rangle} \sim \frac{1}{\sqrt{N}}. \quad (102.6)$$

Вычислим на основании данных табл. 102.1 относительную флуктуацию числа молекул в левой половине сосуда. Вычисления будем производить по формуле (93.5). В табл. 102.3 приведены значения флуктуаций и их вероятности  $P$ . В соответствии с этими данными

$$\begin{aligned} \langle (n - N/2)^2 \rangle &= \\ &= (-2)^2 \cdot 1/16 + (-1)^2 \cdot 4/16 + (0)^2 \cdot 6/16 + (+1)^2 \cdot 4/16 + (+2)^2 \cdot 1/16 = 1. \end{aligned}$$

Следовательно, средняя квадратичная флуктуация равна  $\sqrt{1} = 1$ , а относительная флуктуация равна  $1/2$  (среднее значение  $n$  равно 2). Аналогичные вычисления, произведенные с помощью данных табл. 102.2, дают для средней квадратичной флуктуации значение 2,45, а для относительной флуктуации — значение 0,204. Легко убедиться в том, что

$$0,5 : 0,204 = \sqrt{24:4}. \quad (102.7)$$

Это соотношение согласуется с формулой (102.6).

Из табл. 102.2 следует, что отклонения от среднего числа молекул (равного 12) не более чем на 2 молекулы осуществляются с

вероятностью, равной 0,7, а отклонения не более чем на 3 молекулы — с вероятностью, равной 0,85. Если бы число молекул могло быть дробным, мы могли бы сказать, что большую часть времени газ находится в таких состояниях, в которых отклонения числа молекул от среднего не превышают среднюю квадратичную флуктуацию, т. е. 2,45.

Составив пропорцию, аналогичную (102.7), для  $N=4$  и  $N=10^{20}$ , получим относительную флуктуацию (о. ф.) числа молекул в левой половине сосуда для случая, когда  $N=10^{20}$ . Эта пропорция имеет вид

$$0,5 : \text{о. ф.} = \sqrt{10^{20}} : 4,$$

откуда  $\text{о. ф.} = 10^{-10}$ . Полученный результат означает, что число молекул в одной из половин сосуда претерпевает изменения, в основном не превышающие единицу десятой значащей цифры.

Мы рассмотрели флуктуации числа молекул, в одной из половин сосуда. Другие макроскопические характеристики, такие, как давление, плотность газа в разных точках пространства и т. д., также испытывают флуктуации, т. е. отклонения от средних значений.

Равновесным является такое макросостояние системы, которое не имеет тенденции к изменению с течением времени. Ясно, что отсутствие такой тенденции будет сильнее всего выражено у наиболее вероятного из всех макросостояний, мыслимых для данной системы. Вероятность состояния пропорциональна его статистическому весу. Поэтому равновесное состояние изолированной системы можно определить как состояние, статистический вес которого максимален.

Система, находящаяся в равновесном состоянии, время от времени самопроизвольно отклоняется от равновесия. Однако эти отклонения являются незначительными и кратковременными. Подавляющую часть времени система проводит в равновесном состоянии, характеризуемом максимальным статистическим весом.

Статистическая физика вскрывает природу необратимых процессов. Предположим, что вначале газ находился в левой половине сосуда, которая отделялась перегородкой от правой пустой половины. Если убрать перегородку, газ самопроизвольно распространится на весь сосуд. Этот процесс будет необратимым, так как вероятность того, что в результате теплового движения все молекулы соберутся в одной из половин сосуда, практически равна нулю. Следовательно, сам по себе, без воздействия извне, газ не сможет снова сосредоточиться в левой половине сосуда.

Таблица 102.3

$n - N/2$	$P$
— 2	1/16
— 1	4/16
0	6/16
+ 1	4/16
+ 2	1/16

Таким образом, процесс распространения газа на весь сосуд оказывается необратимым вследствие того, что обратный ему процесс маловероятен. Этот вывод может быть распространен и на другие процессы. Всякий необратимый процесс — это такой процесс, обратный которому крайне маловероятен.

### § 103. Энтропия

В предыдущем параграфе мы установили, что вероятность макросостояния (в дальнейшем мы будем говорить просто — состояния) пропорциональна его статистическому весу  $\Omega$ , т. е. числу микроскопических способов, которым может быть осуществлено данное макросостояние. Поэтому в качестве характеристики вероятности состояния можно было бы взять само это число, т. е.  $\Omega$ . Однако такая характеристика не обладала бы свойством аддитивности. Чтобы убедиться в этом, разобьем данную систему на две практически не взаимодействующие подсистемы. Пусть эти подсистемы находятся в состояниях со статистическими весами  $\Omega_1$  и  $\Omega_2$ . Число способов, которым может осуществляться соответствующее состояние системы, равно произведению чисел способов, которыми могут быть осуществлены состояния каждой из подсистем в отдельности:

$$\Omega = \Omega_1 \Omega_2. \quad (103.1)$$

Отсюда следует, что  $\Omega$  действительно не является аддитивной величиной.

Взяв логарифм от соотношения (103.1), получим

$$\ln \Omega = \ln \Omega_1 + \ln \Omega_2. \quad (103.2)$$

Из (103.2) видно, что  $\ln \Omega$  — аддитивная величина. Иметь дело с аддитивными величинами много проще и удобнее. Поэтому в качестве характеристики вероятности состояния принимается величина  $S$ , пропорциональная логарифму статистического веса. По причине, которая выяснится ниже, коэффициент пропорциональности выбирают равным постоянной Больцмана  $k$ . Определенную таким способом величину

$$S = k \ln \Omega \quad (103.3)$$

называют **энтропией** системы.

Из сказанного в предыдущем параграфе вытекают следующие свойства энтропии:

1. Энтропия изолированной системы при протекании необратимого процесса возрастает. Действительно, изолированная (т. е. предоставленная самой себе) система переходит из менее вероятных в более вероятные состояния, что сопровождается ростом величины (103.3).

2. Энтропия системы, находящейся в равновесном состоянии, максимальна.

Подчеркнем еще раз не абсолютно строгий характер высказанных утверждений. Например, энтропия системы, находящейся в равновесном состоянии, претерпевает незначительные кратковременные отрицательные флуктуации. Однако эти флуктуации столь малы, что практически энтропию можно считать постоянной и равной максимальному значению.

Утверждение о том, что *энтропия изолированной системы может только возрастать* (либо по достижении максимального значения оставаться неизменной), носит название *закона возрастания энтропии* или *второго начала термодинамики*. Иначе можно сказать, что энтропия изолированной системы не может убывать.

Итак, при протекании в изолированной системе необратимого процесса энтропия возрастает, т. е. выполняется соотношение

$$dS > 0. \quad (103.4)$$

Чтобы выяснить, как ведет себя энтропия неизолированной системы, установим связь между приращением энтропии  $dS$  и количеством сообщенного системе тепла  $d'Q$ . Будучи функцией состояния, энтропия должна определяться параметрами состояния тела (или системы тел). Самыми простыми свойствами обладает идеальный газ. Его равновесное состояние полностью определяется заданием двух параметров, например объема  $V$  и температуры  $T$ . Попытаемся найти вид функции  $S = S(V, T)$  для одноатомного идеального газа <sup>1)</sup>.

Рассмотрим находящийся в равновесии одноатомный идеальный газ, заключенный в сосуде объема  $V$ . Внешние силовые поля будем считать отсутствующими. Число молекул газа равно  $N$ , температура газа равна  $T$ .

Макросостояние газа характеризуется значениями параметров  $V$  и  $T$ , микросостояние определяется заданием координат и скоростей всех  $N$  молекул. Распределение молекул по координатам и распределение по скоростям являются независимыми. Поэтому статистический вес  $\Omega$  макросостояния можно представить в виде произведения множителя  $\Omega_{\text{пр}}$ , определяющего количество различных размещений молекул в пространстве, и множителя  $\Omega_{\text{ск}}$ , определяющего число различных распределений молекул по скоростям:

$$\Omega = \Omega_{\text{пр}} \cdot \Omega_{\text{ск}}. \quad (103.5)$$

Действительно, каждое из  $\Omega_{\text{пр}}$  распределений в пространстве может реализоваться совместно с любым из  $\Omega_{\text{ск}}$  распределений по скоростям. Отсюда вытекает формула (103.5).

<sup>1)</sup> Излагаемый ниже вывод принадлежит Н. Б. Нарожному.

Таким образом, в рассматриваемом случае выражение для энтропии имеет вид

$$S = k \ln \Omega = k \ln \Omega_{\text{пр}} + k \ln \Omega_{\text{ск}}. \quad (103.6)$$

Из этой формулы следует, что нахождение энтропии идеального газа сводится к нахождению чисел  $\Omega_{\text{пр}}$  и  $\Omega_{\text{ск}}$ . Выяснив, как эти числа зависят от параметров газа  $V$  и  $T$ , мы найдем энтропию как функцию данных параметров.

Чтобы определить число  $\Omega_{\text{пр}}$ , разобьем объем  $V$ , занимаемый газом, на одинаковые кубические ячейки. Объем ячейки  $\Delta V$  выберем так, чтобы число ячеек

$$r = V/\Delta V \quad (103.7)$$

было много меньше числа молекул  $N$  ( $r \ll N$ ). Тогда в каждую ячейку будет попадать в среднем много молекул. Ниже мы увидим, что размер ячеек (кроме условия  $r \ll N$ ) не оказывает существенного влияния на выражение для энтропии.

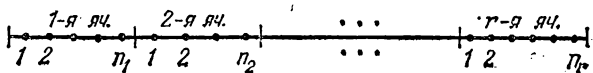


Рис. 103.1.

Рассмотрим макросостояние, характеризуемое тем, что в 1-й ячейке находится  $n_1$  молекул, во 2-й ячейке —  $n_2$  молекул, ..., в  $r$ -й ячейке —  $n_r$  молекул ( $\sum n_i = N$ ). Найдем число способов (т. е. число микросостояний), которыми может быть реализовано такое макросостояние. Для этого зафиксируем внутри ячеек «места», в которые мы будем «помещать» молекулы, осуществляя их распределение по ячейкам (на рис. 103.1 эти места обозначены точками).

Молекулы могут быть размещены по обозначенным на рис. 103.1 местам  $N!$  способами ( $N!$  — число перестановок  $N$  молекул по  $N$  местам). Однако перестановки, при которых изменяется только порядок размещения молекул по  $n_1$  местам 1-й ячейки (таких перестановок  $n_1!$ ), либо размещение молекул по  $n_2$  местам 2-й ячейки (таких перестановок  $n_2!$ ) и т. д., не приводят к новому микросостоянию. Напомним, что отдельные микросостояния отличаются только номерами молекул, попадающих в различные ячейки. Зафиксируем номера  $n_1$  молекул, которые находятся в 1-й ячейке. Каждому из возможных распределений остальных молекул по другим ячейкам соответствует  $n_1!$  различных размещений молекул в 1-й ячейке. Поэтому, разделив полное число перестановок  $N!$  на  $n_1!$ , мы исключим из рассмотрения те перестановки, которые отличаются лишь способом размещения молекул в 1-й ячейке. Разделив

затем  $N!/n_1!$  на  $n_2!$ , мы исключим из рассмотрения те перестановки, которые отличаются лишь способом размещения молекул во 2-й ячейке. Продолжая этот процесс, придем к выражению

$$\Omega_{\text{нр}} = \frac{N!}{n_1! n_2! \dots n_r!}, \quad (103.8)$$

которое дает число распределений молекул по ячейкам, отличающихся лишь номерами молекул, находящихся в разных ячейках (ср. с (102.2)). Это число представляет собой «пространственную» часть статистического веса.

Поскольку по предположению внешнее силовое поле отсутствует, в равновесном состоянии молекулы распределяются по объему с постоянной плотностью. Следовательно, числа  $n_1, n_2, \dots, n_r$  оказываются в среднем одинаковыми и равными  $n = N/r$  (напомним, что  $r$  — число ячеек). Таким образом, для равновесного состояния «пространственная» часть статистического веса равна

$$\Omega_{\text{нр}} = \frac{N!}{(n!)^r}.$$

Логарифмирование дает

$$\ln \Omega_{\text{нр}} = \ln N! - r \ln n!. \quad (103.9)$$

Согласно формуле Стирлинга (см. Приложение II)

$$\ln N! \approx N \ln N - N. \quad (103.10)$$

Воспользовавшись этой формулой, преобразуем (103.9) следующим образом:

$$\ln \Omega_{\text{нр}} \approx N \ln N - N - r (n \ln n - n) = N \ln N - N \ln n = N \ln (N/n)$$

(мы учли, что  $rn = N$ ). Отношение  $N/n$  равно  $V/\Delta V$ . Следовательно,

$$\ln \Omega_{\text{нр}} = N \ln (V/\Delta V) = N \ln V - N \ln \Delta V. \quad (103.11)$$

Перейдем к нахождению  $\Omega_{\text{ск}}$ . Введем пространство, по осям которого откладываются компоненты скоростей молекул (пространство скоростей). Разобьем это пространство на одинаковые кубические ячейки объемом  $\Delta\Lambda$ . Ниже выяснится, что значение  $\Delta\Lambda$ , как и значение  $\Delta V$ , не существенно; важно лишь, чтобы объем  $\Delta\Lambda$  был достаточно велик для того, чтобы в него «попадало» много молекул.

В равновесном состоянии плотность  $\rho$  точек, изображающих скорости молекул, определяется функцией распределения Максвелла (см. (98.1), (98.14) и (98.24)):

$$\begin{aligned} \rho &= N f(v_x, v_y, v_z) = \\ &= N A^3 \exp \left( -\frac{m(v_x^2 + v_y^2 + v_z^2)}{2kT} \right) = N \left( \frac{m}{2\pi kT} \right)^{3/2} \exp \left( -\frac{mv^2}{2kT} \right). \end{aligned}$$

Обозначив скорость, отвечающую  $i$ -й ячейке, через  $v_i$ , получим для

«плотности молекул» в  $i$ -й ячейке значение

$$\rho_i = N \left( \frac{m}{2\pi kT} \right)^{3/2} \exp \left( -\frac{mv_i^2}{2kT} \right).$$

Наконец, умножив плотность  $\rho_i$  на объем ячейки  $\Delta\Lambda$ , получим число молекул  $n_i$ , попадающих в  $i$ -ю ячейку:

$$n_i = N \left( \frac{m}{2\pi kT} \right)^{3/2} \exp \left( -\frac{mv_i^2}{2kT} \right) \Delta\Lambda. \quad (103.12)$$

По аналогии с (103.8) заключаем, что число способов, с помощью которых можно распределить молекулы по ячейкам при заданных числах  $n_i$ , равно

$$\Omega_{\text{ск}} = \frac{N!}{n_1! n_2! \dots n_i! \dots}. \quad (103.13)$$

В отличие от (103.8) число ячеек теперь бесконечно велико. Однако для ячеек, достаточно удаленных от начала координат, числа  $n_i$  практически равны нулю. Логарифмирование выражения (103.13) дает

$$\ln \Omega_{\text{ск}} = \ln N! - \sum_i \ln n_i!$$

Применив формулу (103.10), получим

$$\ln \Omega_{\text{ск}} \approx N \ln N - N - \sum_i (n_i \ln n_i - n_i) = N \ln N - \sum_i n_i \ln n_i \quad (103.14)$$

( $\sum_i n_i = N$ ).

Согласно (103.12)

$$\ln n_i = \ln N + \ln \Delta\Lambda + \frac{3}{2} \ln \left( \frac{m}{2\pi k} \right) - \frac{3}{2} \ln T - \frac{mv_i^2}{2kT}.$$

Подстановка этого выражения в (103.14) приводит к формуле

$$\ln \Omega_{\text{ск}} = N \ln N - (\ln N + \ln \Delta\Lambda + \frac{3}{2} \ln \frac{m}{2\pi k} - \frac{3}{2} \ln T) \sum_i n_i + \frac{1}{kT} \sum_i n_i \frac{mv_i^2}{2}. \quad (103.15)$$

Выражение  $\sum_i n_i \frac{mv_i^2}{2}$  эквивалентно  $N \langle \frac{mv^2}{2} \rangle = N \frac{3}{2} kT$ , сумма  $\sum_i n_i$  равна  $N$ . Учтя это, перепишем (103.15) следующим образом:

$$\begin{aligned} \ln \Omega_{\text{ск}} &= N \ln N - N \ln N - N \ln \Delta\Lambda - \\ &- \frac{3}{2} N \ln \frac{m}{2\pi k} + \frac{3}{2} N \ln T + \frac{1}{kT} N \frac{3}{2} kT = \frac{3}{2} N \ln T - N \ln \Delta\Lambda + \\ &+ \frac{3}{2} N \left[ 1 - \ln \frac{m}{2\pi k} \right] = \frac{3}{2} N \ln T - N \ln \Delta\Lambda + \frac{3}{2} N \alpha. \end{aligned} \quad (103.16)$$

Здесь через  $\alpha$  обозначено стоящее в квадратных скобках выражение, не содержащее параметров состояния газа.

Положив в (103.11) и (103.16)  $N$  равным числу Авогадро  $N_A$  и подставив затем эти выражения в (103.6), придем к формуле для энтропии одного моля одноатомного идеального газа:

$$S_m = kN_A \ln V - kN_A \ln \Delta V + \frac{3}{2} kN_A \ln T - kN_A \ln \Delta \Lambda + \frac{3}{2} kN_A \alpha.$$

Произведение  $kN_A$  равно газовой постоянной  $R$ . Следовательно,

$$S_m = R \ln V + \frac{3}{2} R \ln T - R \ln (\Delta V \cdot \Delta \Lambda) + \frac{3}{2} R \alpha.$$

Введя обозначение

$$S_0 = -R \ln (\Delta V \cdot \Delta \Lambda) + \frac{3}{2} R \alpha \quad (103.17)$$

и учтя, что  $\frac{3}{2}R$  есть молярная теплоемкость одноатомного газа при постоянном объеме  $C_V$ , придем к окончательной формуле:

$$S_m = R \ln V + C_V \ln T + S_0. \quad (103.18)$$

Эта формула определяет молярную энтропию одноатомного <sup>1)</sup> идеального газа как функцию параметров состояния  $V$  и  $T$ . Воспользовавшись уравнением состояния, можно перейти к выражению для энтропии через другие параметры, например через  $V$  и  $p$ .

Из (103.17) видно, что выбор размеров ячеек  $\Delta V$  и  $\Delta \Lambda$  влияет лишь на значение аддитивной константы  $S_0$ , с точностью до которой определяется энтропия формулой (103.18).

При сообщении газу тепла  $d'Q$  изменяется либо  $T$  (при постоянном  $V$ ), либо  $V$  (при постоянной  $T$ ), либо оба параметра  $T$  и  $V$ . Соответственно изменяется также и энтропия. Чтобы связать это изменение с  $d'Q$ , возьмем дифференциал выражения (103.18) и умножим его на  $T$ . В результате получим

$$T dS_m = \frac{RT}{V_m} dV_m + \dot{C}_V dT$$

(чтобы подчеркнуть, что имеется в виду моль газа, мы поставили при  $V$  индекс «м»).

Слагаемое  $\dot{C}_V dT$  дает приращение внутренней энергии газа  $dU_m$ . Полагая процесс сообщения тепла  $d'Q$  обратимым, можно представить слагаемое  $(RT/V_m)dV_m$  в виде  $p dV_m = d'A$ . Таким образом, мы приходим к соотношению

$$T dS_m = p dV_m + dU_m.$$

В силу аддитивности  $S$ ,  $V$  и  $U$  аналогичное соотношение имеет место для произвольной массы газа:

$$T dS = p dV + dU = d'A + dU.$$

<sup>1)</sup> В § 107 будет показано, что формула (103.18) справедлива и для идеального газа с многоатомными молекулами.

Согласно первому началу термодинамики правая часть этого равенства есть  $d'Q$ . Следовательно,

$$T dS = d'Q.$$

Отсюда

$$dS_{\text{оиг}} = \frac{d'Q}{T} \quad (\text{обратимый процесс}) \quad (103.19)$$

(индекс «оиг» означает «одноатомный идеальный газ»).

Мы получили формулу (103.19), рассматривая одноатомный идеальный газ. Однако ее легко распространить на любую термодинамическую систему. Допустим, что имеется находящаяся в равновесном состоянии изолированная система, в состав которой, наряду с одноатомным идеальным газом, входят другие тела, совокупность которых мы назовем подсистемой. Все части системы имеют одинаковую температуру (иначе состояние системы не будет равновесным). Вследствие аддитивности энтропию системы  $S_{\text{сист}}$  можно представить в виде

$$S_{\text{сист}} = S_{\text{подсист}} + S_{\text{оиг}},$$

где  $S_{\text{подсист}}$  — энтропия подсистемы, а  $S_{\text{оиг}}$  — энтропия одноатомного идеального газа. Пусть температура газа претерпела бесконечно малую флуктуацию  $dT$ . Вследствие этого газ получит от подсистемы количество тепла  $d'Q_{\text{оиг}}$ . Подсистема получит при этом тепло  $d'Q_{\text{подсист}} = -d'Q_{\text{оиг}}$ . В силу малости  $dT$  этот процесс можно считать обратимым. Следовательно, энтропия газа получит приращение  $dS_{\text{оиг}} = d'Q_{\text{оиг}}/T$ .

При протекании в изолированной системе обратимого процесса энтропия системы остается постоянной. Отсюда вытекает, что

$$dS_{\text{сист}} = dS_{\text{подсист}} + dS_{\text{оиг}} = 0.$$

Учтя значение  $dS_{\text{оиг}}$ , получим для приращения энтропии подсистемы выражение

$$dS_{\text{подсист}} = -dS_{\text{оиг}} = \frac{-d'Q_{\text{оиг}}}{T} = \frac{d'Q_{\text{подсист}}}{T}.$$

Таким образом, и для совокупности произвольных тел оказывается справедливой формула

$$dS = \frac{d'Q}{T} \quad (\text{обратимый процесс}). \quad (103.20)$$

Здесь  $d'Q$  — количество полученного системой при обратимом процессе тепла,  $T$  — температура системы.

Отметим, что, в то время как  $d'Q$  не является полным дифференциалом, выражение (103.20) есть полный дифференциал (энтропия — функция состояния).

Теперь можно объяснить, почему в формуле (103.3) была взята в качестве коэффициента пропорциональности постоянная Больцмана  $k$ . Благодаря этому коэффициент пропорциональности между  $dS$  и  $d'Q/T$  получился равным единице (см. (103.20)).

Состояние, осуществляемое относительно малым числом способов, называется у п о р я д о ч е н н ы м или н е с л у ч а й н ы м. Состояние, осуществляемое многими различными способами, называется б е с п о р я д о ч н ы м или с л у ч а й н ы м. Таким образом, энтропия является количественной мерой степени молекулярного беспорядка в системе. Это обстоятельство позволяет понять смысл соотношения (103.20). Сообщение системе тепла приводит к усилению теплового движения молекул и, следовательно, к увеличению степени беспорядка в системе. Чем выше температура, т. е. чем больше внутренняя энергия системы, тем относительно меньшей оказывается доля беспорядка, обусловленного сообщением данного количества тепла  $d'Q$ .

Для справедливости равенства (103.20) весьма существенна обратимость процесса, в ходе которого системе сообщается тепло  $d'Q$ . Если количество тепла  $d'Q$  сообщается системе в ходе необратимого процесса, энтропия возрастает как вследствие сообщения тепла, так и вследствие необратимости процесса. Поэтому имеет место неравенство

$$dS > \frac{d'Q}{T} \text{ (необратимый процесс)}. \quad (103.21)$$

При  $d'Q=0$  это неравенство переходит в соотношение (103.4). Под  $T$  в формуле (103.21) подразумевается температура резервуара, от которого данная система получает тепло  $d'Q$ . Температура системы при необратимом процессе может не иметь определенного значения, поскольку состояние системы не является равновесным.

Формулы (103.20) и (103.21) можно объединить вместе, написав, что

$$dS \geq \frac{d'Q}{T}. \quad (103.22)$$

Знак равенства относится к обратимым, знак неравенства — к необратимым процессам.

Соотношение (103.22) служит основой для термодинамических применений понятия энтропии. Об этих применениях идет речь в следующей главе.

При абсолютном нуле всякое тело, как правило <sup>1)</sup>, находится в основном состоянии, статистический вес которого равен единице ( $\Omega=1$ ). Формула (103.3) дает в этом случае для энтропии значение, равное нулю. Отсюда вытекает, что *энтропия всякого тела стремится к нулю при стремлении к нулю температуры*:

$$\lim_{T \rightarrow 0} S = 0. \quad (103.23)$$

Это утверждение представляет собой содержание так называемой теоремы Нернста. Иногда утверждение (103.23) называют третьим началом термодинамики.

<sup>1)</sup> Из этого правила бывают исключения, которых мы касаться не будем.

## ГЛАВА XII

### ТЕРМОДИНАМИКА

#### § 104. Основные законы термодинамики

Термодинамика первоначально возникла как наука о превращениях теплоты в работу. Однако законы, лежащие в основе термодинамики, имеют настолько общий характер, что в настоящее время термодинамические методы с большим успехом применяются для исследования многочисленных физических и химических процессов и для изучения свойств вещества и излучения. Как уже отмечалось в § 79, при изучении свойств и процессов превращения вещества термодинамика не вдается в рассмотрение микроскопической картины явлений. Она рассматривает явления, опираясь на извлеченные из опыта основные законы (начала). По этой причине выводы, к которым приходит термодинамика, имеют такую же степень достоверности, как и лежащие в ее основе законы. Последние же являются обобщением огромного количества опытных данных.

Основу термодинамики образуют ее два начала. Первое начало устанавливает количественные соотношения, имеющие место при превращениях энергии из одних видов в другие. Второе начало определяет условия, при которых возможны эти превращения, т. е. определяет возможные направления процессов.

Первое начало термодинамики утверждает, что *количество тепла, сообщаемое системе, затрачивается на приращение внутренней энергии системы и совершение системой работы над внешними телами:*

$$Q = U_2 - U_1 + A \quad (104.1)$$

или в дифференциальной форме:

$$d'Q = dU + d'A \quad (104.2)$$

(см. (83.2) и (83.4)).

Первое начало иногда формулируется следующим образом: *невозможен перпетуум мобиле (вечный двигатель) первого рода, т. е. такой периодически действующий двигатель, который совершал бы работу в большем количестве, чем получаемая им извне энергия.*

Всякий двигатель представляет собой систему, совершающую многократно некий круговой процесс (цикл). Пусть в ходе цикла рабочее вещество (например, газ) сначала расширяется до объема  $V_2$ , а затем снова сжимается до первоначального объема  $V_1$  (рис. 104.1). Чтобы работа за цикл была больше нуля, давление (а следовательно, и температура) в процессе расширения должно быть больше, чем при сжатии. Для этого рабочему веществу нужно в ходе расширения сообщать тепло, а в ходе сжатия отнимать от него тепло.

Совершив цикл, рабочее вещество возвращается в исходное состояние. Поэтому изменение внутренней энергии за цикл равно нулю. Количество тепла, сообщаемого рабочему телу за цикл, равно  $Q_1 - Q'_2$ , где  $Q_1$  — тепло, получаемое рабочим телом при расширении, а  $Q'_2$  — тепло, отдаваемое при сжатии. Работа  $A$ , совершаемая за цикл, равна площади цикла (см. § 84). Таким образом, выражение (104.1), написанное для цикла, имеет вид

$$A = Q_1 - Q'_2. \quad (104.3)$$

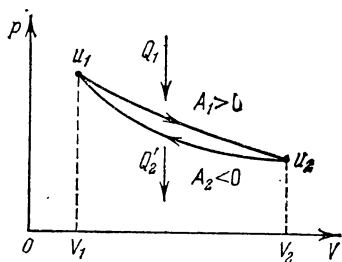


Рис. 104.1.

Периодически действующий двигатель, совершающий работу за

счет получаемого извне тепла, называется **тепловой машиной**. Как следует из (104.3), не все получаемое извне тепло  $Q_1$  используется для получения полезной работы. Для того чтобы двигатель работал циклами, часть тепла, равная  $Q'_2$ , должна быть возвращена во внешнюю среду и, следовательно, не используется по назначению (т. е. для совершения полезной работы). Очевидно, что чем полнее превращает тепловая машина получаемое извне тепло  $Q_1$  в полезную работу  $A$ , тем эта машина выгоднее. Поэтому тепловую машину принято характеризовать **коэффициентом полезного действия**  $\eta$  (сокращенно к. п. д.), который определяется как отношение совершаемой за цикл работы  $A$  к получаемому за цикл теплу  $Q_1$ :

$$\eta = \frac{A}{Q_1}. \quad (104.4)$$

Приняв во внимание соотношение (104.3), выражение для к. п. д. можно записать в виде

$$\eta = \frac{Q_1 - Q'_2}{Q_1}. \quad (104.5)$$

Из определения к. п. д. следует, что он не может быть больше единицы.

Если обратить цикл, изображенный на рис. 104.1, получится цикл холодильной машины. Такая машина отбирает за цикл от тела с температурой  $T_2$  количество тепла  $Q_2$  и отдает телу с более высокой температурой  $T_1$  количество тепла  $Q_1'$ . Над машиной за цикл должна быть совершена работа  $A'$ . Эффективность холодильной машины характеризуют ее холодильным коэффициентом, который определяют как отношение отнятого от охлаждаемого тела тепла  $Q_2$  к работе  $A'$ , которая затрачивается на приведение машины в действие:

$$\text{холодильный коэффициент} = \frac{Q_2}{A'} = \frac{Q_2}{Q_1' - Q_2}.$$

Второе начало термодинамики, как и первое, может быть сформулировано несколькими способами. С одной из формулировок мы познакомимся в § 103. Она заключается в утверждении о том, что *энтропия изолированной системы не может убывать*:

$$dS \geq 0. \quad (104.6)$$

Клаузиус сформулировал второе начало следующим образом: *невозможны такие процессы, единственным конечным результатом которых был бы переход тепла от тела менее нагретого к телу более нагретому*. Не следует представлять дело так, что второе начало вообще запрещает переход тепла от тела менее нагретого к телу более нагретому. В холодильной машине как раз совершается такой переход. Однако этот переход не является единственным результатом процесса. Он сопровождается изменениями в окружающих телах, связанными с совершением над системой работы  $A'$ .

Покажем, что совершаемый в изолированной системе воображаемый процесс, противоречащий второму началу в формулировке Клаузиуса, сопровождается уменьшением энтропии. Тем самым мы докажем эквивалентность формулировки Клаузиуса и статистической формулировки второго начала, согласно которой энтропия изолированной системы не может убывать.

Предварительно сделаем следующее замечание. Допустим, что некоторое тело обменивается теплом с другим телом, которое мы будем называть *тепловым резервуаром*. Пусть теплоемкость резервуара бесконечно велика. Это означает, что получение или отдача резервуаром конечного количества тепла не изменяет его температуры. Протекающий в теле процесс, сопровождающийся обменом теплом с резервуаром, может быть обратимым только в том случае, если в ходе этого процесса температура тела будет равна температуре соответствующего резервуара. В самом деле, если, например, тело получает тепло от резервуара с температурой  $T_1$ , имея температуру, меньшую чем  $T_1$ , то при протекании того же процесса в обратном направлении тело сможет вернуть резервуару

полученное от него тепло в том случае, если его температура во всяком случае не ниже чем  $T_1$ . Следовательно, при прямом и обратном ходе процесса температура тела будет различна, тело проходит в обоих случаях через различные последовательности состояний (характеризующиеся неодинаковыми температурами), и рассматриваемый процесс будет необратимым.

Таким образом, процесс, сопровождающийся теплообменом, может быть обратимым только в том случае, если, получая тепло и возвращая его при обратном ходе резервуару, тело имеет одну и ту же температуру, равную температуре резервуара. Строго говоря, при получении тепла температура тела должна быть на бесконечно малую величину меньше температуры резервуара (иначе тепло не потечет от резервуара к телу), а при отдаче тепла температура тела должна быть на бесконечно малую величину выше температуры резервуара.

Следовательно, единственным обратимым процессом, сопровождающимся теплообменом с резервуаром, температура которого остается неизменной, является изотермический процесс, протекающий при температуре резервуара.

Рассмотрим изолированную систему, состоящую из двух тел с одинаковой теплоемкостью  $C$ . Пусть тело  $B$  передает телу  $A$  количество тепла  $Q$ , в результате чего температура тела  $A$  повышается от значения  $T_{A0}$  до  $T_A$ , а температура тела  $B$  уменьшается от значения  $T_{B0}$  до  $T_B$  ( $T_B < T_{B0} < T_{A0} < T_A$ ). Такой процесс противоречит второму началу в формулировке Клаузиуса. Найдем изменение энтропии в данном случае.

В ходе указанного процесса происходит теплообмен между телами с неодинаковыми температурами. Согласно сказанному выше такой процесс необратим. Формула же (103.20) применима только к обратимым процессам. Для того чтобы найти изменение энтропии при необратимом процессе, поступают следующим образом. Рассматривают какой-либо обратимый процесс, приводящий систему в то же конечное состояние, что и данный необратимый процесс, и вычисляют для этого процесса приращение энтропии по формуле

$$S_2 - S_1 = \int_1^2 \frac{d'Q}{T} \quad (104.7)$$

(см. (103.20)).

В соответствии со сказанным выше рассмотрим обратимый процесс, в ходе которого тело  $B$  отдает тепло  $Q$  порциями  $d'Q$  последовательно ряду резервуаров с температурами, имеющими все значения от  $T_{B0}$  до  $T_B$ , а тело  $A$  получает тепло  $Q$  порциями  $d'Q$  от ряда резервуаров с температурами от  $T_{A0}$  до  $T_A$ . В результате система перейдет обратимо из состояния, в котором тела имеют температуры  $T_{A0}$  и  $T_{B0}$ , в состояние, в котором температуры тел равны

$T_A$  и  $T_B$ . Приращение энтропии в ходе этого процесса равно

$$\begin{aligned}\Delta S &= \Delta S_A + \Delta S_B = \\ &= \int_{T_{A_0}}^{T_A} \frac{C dT}{T} + \int_{T_{B_0}}^{T_B} \frac{C dT}{T} = C \ln \frac{T_A}{T_{A_0}} + C \ln \frac{T_B}{T_{B_0}} = C \ln \frac{T_A T_B}{T_{A_0} T_{B_0}}.\end{aligned}$$

Приняв во внимание, что  $T_A = T_{A_0} + \alpha$ ,  $T_B = T_{B_0} - \alpha$  ( $\alpha = Q/C > 0$ ), представим  $\Delta S$  в виде

$$\Delta S = C \ln \frac{(T_{A_0} + \alpha)(T_{B_0} - \alpha)}{T_{A_0} T_{B_0}} = C \ln \left( 1 - \frac{\alpha(T_{A_0} - T_{B_0})}{T_{A_0} T_{B_0}} - \frac{\alpha^2}{T_{A_0} T_{B_0}} \right).$$

Поскольку  $T_{A_0} > T_{B_0}$ , выражение в скобках меньше единицы и, следовательно,  $\Delta S < 0$ . Таким образом, мы показали, что в ходе воображаемого процесса, противоречащего второму началу в формулировке Клаузиуса, энтропия убывает, что противоречит закону необывания энтропии.

Кельвину принадлежит еще одна формулировка второго начала термодинамики. Она звучит следующим образом: *невозможны такие процессы, единственным конечным результатом которых явилось бы отнятие от некоторого тела определенного количества тепла и превращение этого тепла полностью в работу*.

На первый взгляд может показаться, что такой формулировке противоречит, например, процесс изотермического расширения идеального газа. Действительно, все полученное идеальным газом от какого-то тела тепло превращается полностью в работу. Однако получение тепла и превращение его в работу — не единственный конечный результат процесса; кроме того, в результате процесса происходит изменение объема газа.

В тепловой машине превращение тепла в работу обязательно сопровождается дополнительным процессом — передачей некоторого количества тепла  $Q_2$  более холодному телу, вследствие чего получаемое от более нагретого тела количество тепла  $Q_1$  не может быть превращено полностью в работу.

Легко убедиться в том, что утверждение, содержащееся в формулировке Кельвина, логически вытекает из утверждения, заключающегося в формулировке Клаузиуса. В самом деле, работа может быть полностью превращена в тепло, например, при посредстве трения. Поэтому, превратив с помощью процесса, запрещенного формулировкой Кельвина, тепло, отнятое от какого-нибудь тела, полностью в работу, а затем превратив эту работу при посредстве трения в тепло, сообщаемое другому телу с более высокой температурой, мы осуществили бы процесс, невозможный согласно формулировке Клаузиуса.

Используя процессы, запрещаемые вторым началом термодинамики, можно было бы создать двигатель, совершающий работу за

счет тепла, получаемого от такого, например, практически неисчерпаемого источника энергии, как океан. Практически такой двигатель был бы равнозначен вечному двигателю. Поэтому второе начало термодинамики иногда формулируется следующим образом: *невозможен перпетуум мобиле второго рода, т. е. такой периодически действующий двигатель, который получал бы тепло от одного резервуара и превращал это тепло полностью в работу.*

### § 105. Цикл Карно

Из сказанного в предыдущем параграфе следует, что для работы теплового двигателя необходимо наличие двух тепловых резервуаров. От одного из них, имеющего более высокую температуру  $T_1$  и называемого нагревателем, двигатель получает в ходе цикла количество тепла  $Q_1$ ; второму, имеющему более низкую температуру  $T_2$  и называемому холодильником, двигатель отдает тепло  $Q'_2$ .

Допустим, что теплоемкость резервуаров бесконечно велика. Это означает, что получение или отдача резервуарами конечного количества тепла не изменяет их температуры. Выясним, какой

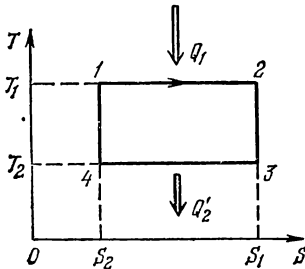


Рис. 105.1.

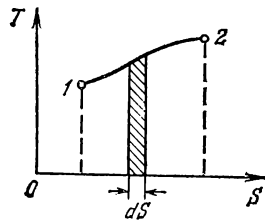


Рис. 105.2.

обратимый цикл может совершать рабочее вещество двигателя в этих условиях. Для краткости рабочее вещество двигателя мы будем называть просто телом.

Рассматриваемый цикл, очевидно, может состоять как из процессов, в ходе которых тело обменивается теплом с резервуарами, так и из процессов, не сопровождающихся теплообменом с внешней средой, т. е. адиабатических процессов. В предыдущем параграфе мы установили, что единственным обратимым процессом, сопровождающимся теплообменом с резервуаром, температура которого остается неизменной, является изотермический процесс, протекающий при температуре резервуара.

Таким образом, мы приходим к выводу, что обратимый цикл, совершаемый телом, вступающим в теплообмен с двумя тепловыми

резервуарами бесконечно большой емкости, может состоять только из двух изотерм (при температурах резервуаров) и двух адиабат. Такой цикл был впервые введен в рассмотрение французским инженером Сади Карно и носит название *цикла Карно*. Отметим, что цикл Карно по определению обратимый.

При адиабатическом процессе  $d'Q=0$ . Поэтому согласно формуле (103.20) при обратимом адиабатическом процессе  $dS=0$  и, следовательно, энтропия остается постоянной. На этом основании обратимый адиабатический процесс называется *изэнтропическим*. Воспользовавшись этим термином, можно сказать, что цикл Карно состоит из двух изотерм и двух изэнтроп. На диаграмме  $T, S$  этот цикл выглядит так, как показано на рис. 105.1. Заметим, что вид цикла Карно на диаграмме  $T, S$  не зависит от свойств тела (или системы тел), для которых он изображен.

На рис. 105.2 изображен некоторый процесс, переводящий систему из состояния 1 в состояние 2. Согласно (103.20) элементарное количество тепла  $d'Q$ , полученное системой, может быть представлено в виде  $T dS$ . Следовательно, площадь заштрихованной полоски на рис. 105.2 равна  $d'Q$ , а площадь фигуры, ограниченной кривой 1—2, дает количество тепла, получаемого системой в ходе процесса. Аналогично площадь фигуры, ограниченной кривой, изображающей процесс на диаграмме  $p, V$ , дает работу, совершаемую системой в ходе процесса (см. рис. 84.3).

В соответствии со сказанным площадь цикла на рис. 105.1 дает количество тепла, получаемого системой в ходе цикла (оно равно  $Q_1 - Q_2$ ). Аналогично площадь цикла на диаграмме  $p, V$  дает работу, совершаемую системой за цикл (см. рис. 84.4).

Количество тепла, получаемого системой в ходе произвольного обратимого процесса, можно вычислить по формуле

$$Q = \int_1^2 T dS \quad (105.1)$$

(ср. с (84.3)).

Найдем к. п. д. цикла Карно. Совершив цикл, система возвращается в исходное состояние. Следовательно, полное изменение энтропии за цикл равно нулю. На участке 1—2 (см. рис. 105.1) система получает от резервуара с температурой  $T_1$  количество тепла  $Q_1$ . Приращение энтропии на этом участке равно

$$\Delta S_{12} = \int_1^2 \frac{d'Q}{T_1} = \frac{1}{T_1} \int_1^2 d'Q = \frac{Q_1}{T_1}.$$

На участке 3—4 система отдает резервуару с температурой  $T_2$  количество тепла  $Q_2$ . Отнятие у тела тепла  $Q_2'$  эквивалентно сообщению телу тепла  $-Q_2'$ . Поэтому приращение энтропии на участке

3—4 равно

$$\Delta S_{34} = \int_3^4 \frac{d'Q}{T_2} = \frac{1}{T_2} \int_3^4 d'Q = -\frac{Q'_2}{T_2}.$$

На участках 2—3 и 4—1 энтропия постоянна. Таким образом, полное приращение энтропии за цикл равно

$$\Delta S_{12} + \Delta S_{34} = \frac{Q_1}{T_1} - \frac{Q'_2}{T_2} = 0. \quad (105.2)$$

Из (105.2) следует, что

$$\frac{Q'_2}{Q_1} = \frac{T_2}{T_1}. \quad (105.3)$$

Выражение (104.5) для к. п. д. тепловой машины можно представить в виде

$$\eta = \frac{Q_1 - Q'_2}{Q_1} = 1 - \frac{Q'_2}{Q_1}. \quad (105.4)$$

Заменив в этом выражении отношение  $Q'_2/Q_1$  в соответствии с (105.3), получим, что

$$\eta = 1 - \frac{T_2}{T_1} = \frac{T_1 - T_2}{T_1}. \quad (105.5)$$

При выводе формулы (105.5) мы не делали никаких предположений о свойствах рабочего вещества и устройстве тепловой машины. Следовательно, мы приходим к утверждению, что *коэффициент полезного действия всех обратимых машин, работающих в идентичных условиях (т. е. при одной и той же температуре нагревателя и холодильника), одинаков и определяется только температурами нагревателя и холодильника*. Это утверждение носит название *теоремы Карно*.

Рассмотрим необратимую машину, работающую с теми же нагревателем и холодильником, что и обратимая машина, работающая по циклу Карно. Пусть по завершении цикла машина возвращается в исходное состояние, которое мы будем считать равновесным. Так как энтропия является функцией состояния, ее приращение за цикл должно равняться нулю:

$$\oint dS = 0.$$

Поскольку процессы, из которых состоит цикл, необратимы, для каждого элементарного процесса имеет место неравенство  $dS > \frac{d'Q}{T}$  (см. (103.21)). Следовательно, из условия равенства нулю полного приращения энтропии за цикл вытекает, что

$$0 = \oint dS > \oint \frac{d'Q}{T},$$

откуда

$$\oint \frac{d'Q}{T} < 0.$$

Разобьем последний интеграл на четыре слагаемых:

$$\oint \frac{d'Q}{T} = \int_{T_1} \frac{d'Q}{T} + \int_{A_{д1}} \frac{d'Q}{T} + \int_{T_2} \frac{d'Q}{T} + \int_{A_{д2}} \frac{d'Q}{T} < 0.$$

Первое слагаемое отвечает процессу получения от резервуара с

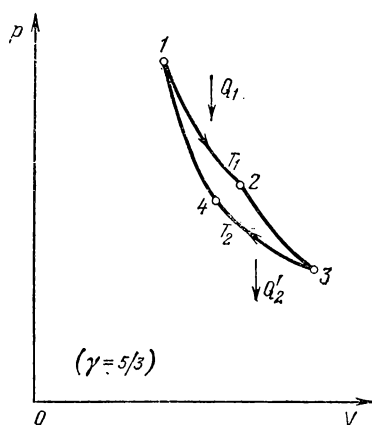


Рис. 105.3.

температурой  $T_1$  количества тепла  $Q_1$  (это количество тепла не обязательно совпадает с количеством тепла  $Q_1$ , которое получает за цикл обратимая машина). Второе слагаемое отвечает первому адиабатическому участку цикла. Третье слагаемое отвечает процессу передачи резервуару с температурой  $T_2$  количества тепла  $Q'_2$  (это количество тепла не обязательно совпадает с количеством тепла  $Q'_2$ , которое отдает за цикл обратимая машина). Наконец, четвертое слагаемое отвечает второму адиабатическому участку цикла. На адиабатических участках  $d'Q=0$ , поэтому соответствующие

интегралы равны нулю. Интеграл, отвечающий участку  $T_1$ , равен  $Q_1/T_1$  (напомним, что в случае необратимого процесса в знаменателе отношения  $d'Q/T$  стоит температура резервуара, от которого данное тело получает тепло  $d'Q$ ). Интеграл, отвечающий участку  $T_2$ , равен  $-Q'_2/T_2$ . Таким образом, мы приходим к неравенству

$$\frac{Q_1}{T_1} - \frac{Q'_2}{T_2} < 0. \quad (105.6)$$

Из (105.6) получаем, что

$$\frac{Q'_2}{Q_1} > \frac{T_2}{T_1}$$

и, следовательно,

$$\eta = 1 - \frac{Q'_2}{Q_1} < 1 - \frac{T_2}{T_1} = \frac{T_1 - T_2}{T_1}. \quad (105.7)$$

Полученный результат означает, что к. п. д. необратимой машины всегда меньше, чем обратимой, работающей в тех же условиях.

Вид цикла Карно на диаграмме  $p, V$  зависит от свойств совершающего цикл вещества. Для идеального газа цикл выглядит

так, как показано на рис. 105.3. Коэффициент полезного действия цикла Карно для идеального газа можно вычислить, не прибегая к нахождению приращения энтропии.

При изотермическом процессе внутренняя энергия идеального газа остается постоянной. Поэтому количество полученного газом тепла  $Q_1$  равно работе  $A_{12}$ , совершаемой газом при переходе из состояния 1 в состояние 2 (рис. 105.3). Эта работа согласно (90.8) равна

$$Q_1 = A_{12} = \frac{m}{M} RT_1 \ln \frac{V_2}{V_1}, \quad (105.8)$$

где  $m$  — масса идеального газа в машине. Количество отдаваемого холодильнику тепла  $Q_2$  равно работе  $A_{34}$ , затрачиваемой на сжатие газа при переводе его из состояния 3 в состояние 4. Эта работа равна

$$Q_2 = A_{34} = \frac{m}{M} RT_2 \ln \frac{V_3}{V_4}. \quad (105.9)$$

Для того чтобы цикл был замкнутым, состояния 1 и 4 должны лежать на одной и той же адиабате. Отсюда вытекает условие

$$T_1 V_1^{\gamma-1} = T_2 V_4^{\gamma-1} \quad (105.10)$$

(см. уравнение адиабаты (88.4)). Аналогично, поскольку состояния 2 и 3 лежат на одной и той же адиабате, выполняется условие

$$T_1 V_2^{\gamma-1} = T_2 V_3^{\gamma-1}. \quad (105.11)$$

Деля (105.11) на (105.10), приходим к условию замкнутости цикла:

$$\frac{V_2}{V_1} = \frac{V_3}{V_4}. \quad (105.12)$$

Теперь подставим (105.8) и (105.9) в выражение (104.5) для к. п. д.:

$$\eta = \frac{\frac{m}{M} RT_1 \ln \frac{V_2}{V_1} - \frac{m}{M} RT_2 \ln \frac{V_3}{V_4}}{\frac{m}{M} RT_1 \ln \frac{V_2}{V_1}}.$$

Наконец, учтя условие (105.12), получим выражение

$$\eta = \frac{T_1 - T_2}{T_1},$$

которое совпадает с (105.5).

## § 106. Термодинамическая шкала температур

Доказанная в предыдущем параграфе теорема о независимости к. п. д. обратимых машин от свойств рабочего вещества позволяет установить температурную шкалу, не зависящую от выбора термо-

метрического тела. В соответствии с указанной теоремой величина

$$\eta = \frac{Q_1 - Q_2'}{Q_1} = 1 - \frac{Q_2'}{Q_1},$$

а следовательно, и отношение  $Q_2'/Q_1$  для цикла Карно, зависят только от температур нагревателя и холодильника. Обозначив величины этих температур по некоторой, пока не известной нам шкале через  $\vartheta_1$  и  $\vartheta_2$ , можно написать, что

$$\frac{Q_2'}{Q_1} = f(\vartheta_1, \vartheta_2), \quad (106.1)$$

где  $f(\vartheta_1, \vartheta_2)$  — универсальная (т. е. одинаковая для всех циклов Карно) функция температур нагревателя и холодильника. Соотношение (106.1) дает возможность определять температуру тел через количества тепла, получаемые и отдаваемые при циклах Карно.

Докажем, что функция (106.1) обладает следующим свойством:

$$f(\vartheta_1, \vartheta_2) = \frac{\theta(\vartheta_2)}{\theta(\vartheta_1)}, \quad (106.2)$$

где  $\theta(\vartheta)$  есть опять-таки универсальная функция температуры. Рассмотрим две обратимые машины  $M_1$  и  $M_2$  (рис. 106.1), холодильник одной из которых служит одновременно нагревателем для другой. Предположим, что вторая машина отбирает от резервуара с температурой  $\vartheta_1$  такое же количество тепла, какое отдает ему первая машина.

Для машины  $M_1$   $Q_1 = Q_I$ ,  $Q_2' = Q_{II}$ . Следовательно, соотношение (106.1) для этой машины имеет вид

$$\frac{Q_{II}}{Q_I} = f(\vartheta_3, \vartheta_1). \quad (106.3)$$

Для машины  $M_2$   $Q_1 = Q_{II}$ ,  $Q_2' = Q_{III}$ . Поэтому согласно (106.1)

$$\frac{Q_{III}}{Q_{II}} = f(\vartheta_1, \vartheta_2). \quad (106.4)$$

Рассматривая машины  $M_1$  и  $M_2$ , а также резервуар с температурой  $\vartheta_1$  как единую обратимую машину, получающую тепло  $Q_I$  от нагревателя с температурой  $\vartheta_3$  и отдающую тепло  $Q_{III}$  холодильнику с температурой  $\vartheta_2$ , можно написать:

$$\frac{Q_{III}}{Q_I} = f(\vartheta_3, \vartheta_2). \quad (106.5)$$

Разделив (106.5) на (106.3), получим, что

$$\frac{Q_{III}}{Q_{II}} = \frac{f(\vartheta_3, \vartheta_2)}{f(\vartheta_3, \vartheta_1)}.$$

Сравнение этого выражения с (106.4) приводит к соотношению

$$f(\vartheta_1, \vartheta_2) = \frac{f(\vartheta_3, \vartheta_2)}{f(\vartheta_3, \vartheta_1)}. \quad (106.6)$$

Это соотношение связывает температуры  $\vartheta_1$  и  $\vartheta_2$  двух тел, причем в нем фигурирует температура  $\vartheta_3$  третьего тела. Условившись раз и навсегда о выборе этого тела, т. е. сделав  $\vartheta_3$  неизменной, мы сведем функцию  $f(\vartheta_3, \vartheta)$ , стоящую в числителе и знаменателе формулы (106.6), к функции одной переменной  $\vartheta$ . Обозначив эту функцию через  $\theta(\vartheta)$ , мы придем к формуле (106.2).

Функция  $\theta(\vartheta)$  зависит только от температуры. Поэтому ее значения можно использовать для характеристики температуры соответствующего тела, т. е. полагать температуру тела равной  $\theta$ , где  $\theta = \theta(\vartheta)$ . Тогда выражение (106.1) примет следующий вид:

$$\frac{Q'_2}{Q_1} = \frac{\theta_2}{\theta_1}. \quad (106.7)$$

Соотношение (106.7) положено в основу так называемой термодинамической шкалы температур. Преимущество этой шкалы заключается в том, что она не зависит от выбора тела (рабочего вещества в цикле Карно), используемого для измерения температуры.

В соответствии с (106.7) для сопоставления температур двух тел нужно осуществить цикл Карно, используя эти тела в качестве нагревателя и холодильника. Отношение количества тепла, отданного телу — «холодильнику», к количеству тепла, отобранного от тела — «нагревателя», даст отношение температур рассматриваемых тел. Для однозначного определения численного значения  $\theta$  необходимо условиться о выборе единицы температуры, т. е. градуса. За абсолютный градус принимается одна сотая разности температур кипящей при атмосферном давлении воды и тающего льда. Таким образом, градус абсолютной термодинамической шкалы равен градусу идеальной газовой шкалы.

Легко установить, что термодинамическая шкала температур совпадает с идеальной газовой шкалой. Действительно, в соответствии с (105.3)

$$\frac{Q'_2}{Q_1} = \frac{T_2}{T_1}. \quad (106.8)$$

Сопоставляя (106.7) с (106.8), получим, что

$$\frac{\theta_2}{\theta_1} = \frac{T_2}{T_1}.$$

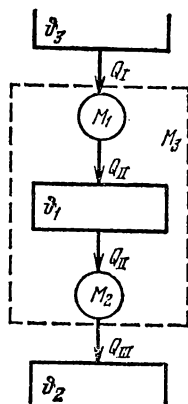


Рис. 106.1.

Следовательно,  $\theta$  пропорциональна  $T$  и, поскольку градус обеих шкал одинаков,  $\theta = T$ .

### § 107. Примеры на вычисление энтропии

Энтропия является функцией состояния. Поэтому она должна зависеть от параметров, определяющих состояние системы. Например, она может быть представлена как функция  $p$  и  $T$ , либо как функция  $V$  и  $T$  и т. д. Допустим, что какое-то тело нагревается при постоянном давлении  $p$  от абсолютного нуля до температуры  $T$ , причем процесс нагрева происходит обратимо. Тогда согласно (103.20) и (87.2) энтропия тела при давлении  $p$  и температуре  $T$  определяется выражением

$$S(p, T) = \int_0^T \frac{C_p(T) dT}{T}, \quad (107.1)$$

где  $C_p(T)$  — теплоемкость тела при постоянном давлении, которая является функцией температуры. Аналогично энтропия как функция объема  $V$  и температуры  $T$  может быть представлена в виде

$$S(V, T) = \int_0^T \frac{C_V(T) dT}{T}, \quad (107.2)$$

где  $C_V$  — теплоемкость тела при постоянном объеме.

Из формул (107.1) и (107.2) следует, что теплоемкости  $C_p$  и  $C_V$  (а также и теплоемкость при любом другом процессе) обращаются в нуль при абсолютном нуле. Действительно, если бы теплоемкость не стремилась к нулю, то подынтегральная функция при  $T \rightarrow 0$  неограниченно возрастала бы, вследствие чего интеграл был бы расходящимся (т. е. обращался бы в бесконечность).

1. Энтропия идеального газа. В § 103 было найдено выражение для энтропии одноатомного идеального газа (т. е. газа, у которого  $C_V = \frac{3}{2}R$ ). Теперь, используя соотношение (103.20), получим выражение для энтропии идеального газа с любыми молекулами. Поскольку энтропия аддитивна, достаточно найти ее значение для моля газа  $S_m$ . Энтропия произвольного количества газа будет равна  $S = (m/M)S_m$ .

Будем характеризовать состояние вещества параметрами  $V$  и  $T$ , однако рассматриваемый процесс не будем считать изохорическим. Согласно теореме Нернста и формуле (103.20)

$$S_m(V, T) = \int_0^{(V, T)} \frac{d'Q}{T}, \quad (107.3)$$

где символом  $(V, T)$  обозначено состояние газа (имеется в виду  $V$  моля). Интегрирование производится по произвольному обратимому

тому процессу, переводящему вещество из состояния при абсолютном нуле в состояние, характеризуемое объемом  $V$  и температурой  $T$ .

Возьмем объем  $V_0$  и температуру  $T_0$ , при которых вещество заведомо является идеальным газом, и разобьем интеграл в формуле (107.3) на два:

$$S_{\text{м}}(V, T) = \int_0^{(V_0, T_0)} \frac{d'Q}{T} + \int_{(V_0, T_0)}^{(V, T)} \frac{d'Q}{T}. \quad (107.4)$$

Первый интеграл есть некоторое число, которое мы обозначим через  $S(V_0, T_0)$ . Второй интеграл является функцией  $V$  и  $T$ . Чтобы найти вид этой функции, представим  $d'Q$  в виде  $d'Q = C_V dT + p dV$  (в промежутке интегрирования вещество ведет себя как идеальный газ). Разделив  $d'Q$  на  $T$  и заменив в соответствии с уравнением состояния  $p/T$  через  $R/V$ , получим:

$$\int_{(V_0, T_0)}^{(V, T)} \frac{d'Q}{T} = \int_{T_0}^T \frac{C_V dT}{T} + \int_{V_0}^V \frac{R dV}{V} = C_V \ln \frac{T}{T_0} + R \ln \frac{V}{V_0}.$$

Таким образом, формула (107.4) принимает вид

$$S_{\text{м}}(V, T) = S(V_0, T_0) + C_V \ln \frac{T}{T_0} + R \ln \frac{V}{V_0}. \quad (107.5)$$

Преобразуем эту формулу следующим образом <sup>1)</sup>:

$$S_{\text{м}} = C_V \ln T + R \ln V + S_0, \quad (107.6)$$

где  $S_0$  — константа, равная  $S(V_0, T_0) - \ln T_0 - \ln V_0$ .

Отметим, что в соотношениях, с которыми приходится иметь дело на практике, обычно входят либо производные энтропии по параметрам состояния, либо изменение энтропии. В этих случаях нахождение значения аддитивной постоянной в выражении для энтропии оказывается излишним.

Формула (107.6) дает выражение энтропии моля идеального газа в переменных  $V$  и  $T$ . С помощью уравнения состояния можно перейти к выражениям энтропии в других переменных. Подставив в (107.6)  $V = RT/p$ , получим формулу

$$S_{\text{м}} = C_V \ln T + R \ln R + R \ln T - R \ln p + S_0.$$

Учтя, что для идеального газа  $C_V + R$  равно  $C_p$ , можно написать:

$$S_{\text{м}} = C_p \ln T - R \ln p + S'_0, \quad (107.7)$$

где  $S'_0 = S_0 + R \ln R$ .

<sup>1)</sup> Не следует смущаться тем, что под знаком логарифма стоит размерная величина. В выражениях, содержащих  $\ln f$ , всегда имеется слагаемое, включающее  $\ln f_0$  ( $f_0$  — константа) с таким знаком, что  $\ln f$  и  $\ln f_0$  могут быть объединены в одно слагаемое вида  $\ln (f/f_0)$ .

Наконец, заменив в (107.6)  $T$  через  $pV/R$ , придем к формуле

$$S_m = C_V \ln p + C_p \ln V + S_0^*, \quad (107.8)$$

где  $S_0^* = S_0 - C_V \ln R$ .

2. **Э н т р о п и я** в о д ы. Изменения теплоемкости воды в интервале от 0 до 100°C не превышают 1%. Поэтому в указанном температурном интервале удельную теплоемкость воды можно считать постоянной и равной  $c = 4,2$  кДж/(кг·К). Соответственно, обозначив через  $s$  (273) удельную энтропию жидкой воды при 0°C, а через  $s(T)$  — удельную энтропию воды при температуре  $T$  ( $273 < T < 373$ ), можно написать, что

$$s(T) - s(273) = \int_{273}^T \frac{c dT}{T} = c \ln \frac{T}{273},$$

откуда

$$s(T) = c \ln T + \{s(273) - c \ln 273\} = c \ln T + \text{const.} \quad (107.9)$$

3. **И з м е н е н и е э н т р о п и и п р и п л а в л е н и и**. Если давление не изменяется, то плавление происходит при постоянной температуре. Соответственно приращение удельной энтропии равно

$$\Delta s = \int_{\text{тв}}^{\text{жидк}} \frac{d'Q}{T_{\text{пл}}} = \frac{1}{T_{\text{пл}}} \int_{\text{тв}}^{\text{жидк}} d'Q = \frac{q_{\text{пл}}}{T_{\text{пл}}}, \quad (107.10)$$

где  $q_{\text{пл}}$  — удельная теплота плавления. При затвердевании вещества удельная энтропия уменьшается на такую же величину.

Формула для приращения удельной энтропии при испарении отличается от (107.10) лишь тем, что вместо теплоты и температуры плавления в нее входят теплота испарения и температура кипения.

## § 108. Некоторые применения энтропии

Возьмем в качестве независимых параметров, характеризующих состояние некоторого вещества, объем  $V$  и температуру  $T$ . Тогда внутренняя энергия вещества будет функцией этих параметров:  $U = U(V, T)$ . В этом случае выражение первого начала термодинамики имеет вид <sup>1)</sup>

$$d'Q = \left( \frac{\partial U}{\partial T} \right)_V dT + \left( \frac{\partial U}{\partial V} \right)_T dV + p dV. \quad (108.1)$$

<sup>1)</sup> Полный дифференциал функции  $f(x, y)$  переменных  $x$  и  $y$  определяется выражением

$$df = \frac{\partial f}{\partial x} dx + \frac{\partial f}{\partial y} dy.$$

Это выражение дает приращение функции  $f(x, y)$  в том случае, когда переменные  $x$  и  $y$  получают приращения  $dx$  и  $dy$  (см. формулу (22.8)).

В термодинамике принято частные производные функций по параметрам состояний снабжать индексом, указывающим, какой параметр предполагается при дифференцировании постоянным. Это необходимо в связи с тем, что, например, можно рассматривать частную производную  $U$  по  $T$  при условии, что  $p = \text{const}$ . Эта производная обозначается символом  $(\partial U / \partial T)_p$  и, вообще говоря, имеет иное значение, чем  $(\partial U / \partial T)_v$ .

Разделив выражение (108.1) на  $T$ , получим приращение энтропии:

$$dS = \left\{ \frac{1}{T} \left( \frac{\partial U}{\partial T} \right)_v \right\} dT + \left\{ \frac{1}{T} \left[ \left( \frac{\partial U}{\partial V} \right)_T + p \right] \right\} dV. \quad (108.2)$$

Рассматривая энтропию как функцию параметров  $V$  и  $T$ , можно представить приращение энтропии в виде

$$dS = \left( \frac{\partial S}{\partial T} \right)_v dT + \left( \frac{\partial S}{\partial V} \right)_T dV.$$

Сравнение с (108.2) дает, что

$$\left( \frac{\partial S}{\partial T} \right)_v = \frac{1}{T} \left( \frac{\partial U}{\partial T} \right)_v, \quad \left( \frac{\partial S}{\partial V} \right)_T = \frac{1}{T} \left[ \left( \frac{\partial U}{\partial V} \right)_T + p \right]. \quad (108.3)$$

Смешанные частные производные некоторой функции  $f(x, y)$  удовлетворяют условию

$$\frac{\partial^2 f}{\partial x \partial y} = \frac{\partial^2 f}{\partial y \partial x}.$$

В соответствии с этим

$$\frac{\partial}{\partial V} \left( \frac{\partial S}{\partial T} \right)_v = \frac{\partial}{\partial T} \left( \frac{\partial S}{\partial V} \right)_T.$$

Подстановка в это равенство выражений (108.3) приводит к соотношению

$$\frac{\partial}{\partial V} \left\{ \frac{1}{T} \left( \frac{\partial U}{\partial T} \right)_v \right\} = \frac{\partial}{\partial T} \left\{ \frac{1}{T} \left[ \left( \frac{\partial U}{\partial V} \right)_T + p \right] \right\}.$$

Осуществив дифференцирование, получим

$$\frac{1}{T} \frac{\partial^2 U}{\partial V \partial T} = -\frac{1}{T^2} \left[ \left( \frac{\partial U}{\partial V} \right)_T + p \right] + \frac{1}{T} \left[ \frac{\partial^2 U}{\partial T \partial V} + \left( \frac{\partial p}{\partial T} \right)_v \right].$$

Приняв во внимание, что  $\frac{\partial^2 U}{\partial V \partial T} = \frac{\partial^2 U}{\partial T \partial V}$ , приходим к формуле

$$\left( \frac{\partial U}{\partial V} \right)_T = T \left( \frac{\partial p}{\partial T} \right)_v - p. \quad (108.4)$$

Формула (108.4) характеризует зависимость внутренней энергии от объема. Применим ее для нахождения внутренней энергии идеального и ван-дер-ваальсовского газов.

Для идеального газа  $p = RT/V$ . Следовательно,  $(\partial p / \partial T)_V = R/V$ . Подстановка этого значения в (108.4) дает, что

$$\left(\frac{\partial U}{\partial V}\right)_T = T \frac{R}{V} - p = 0.$$

Полученный результат означает, что внутренняя энергия идеального газа не зависит от объема. В § 87 мы пришли к такому же выводу, основываясь на предположении об отсутствии взаимодействия между молекулами.

Из уравнения состояния ван-дер-ваальсовского газа (см. (91.2)) следует, что

$$p = \frac{RT}{V-b} - \frac{a}{V^2}. \quad (108.5)$$

Отсюда

$$\left(\frac{\partial p}{\partial T}\right)_V = \frac{R}{V-b}.$$

Подставив это выражение в формулу (108.4), получим

$$\left(\frac{\partial U}{\partial V}\right)_T = \frac{RT}{V-b} - p = \frac{a}{V^2}$$

(см. (108.5)). Произведя интегрирование по  $V$ , найдем, что

$$U = -\frac{a}{V} + f(T).$$

Вид функции  $f(T)$  можно установить, воспользовавшись тем, что при  $V \rightarrow \infty$  выражение для внутренней энергии ван-дер-ваальсовского газа должно переходить в выражение для внутренней энергии идеального газа  $U = C_V T$ . В итоге мы приходим к выражению  $U = C_V T - a/V$ , которое было получено в § 91, исходя из других соображений (см. формулу (91.6)).

## § 109. Термодинамические потенциалы

Все расчеты в термодинамике основываются на использовании функций состояния, называемых термодинамическими потенциалами. Каждому набору независимых параметров соответствует свой термодинамический потенциал. Изменения потенциалов, происходящие в ходе каких-либо процессов, определяют либо совершаемую системой работу, либо получаемое системой тепло.

При рассмотрении термодинамических потенциалов мы будем пользоваться соотношением (103.22), представив его в виде

$$T dS \geqslant d'Q. \quad (109.1)$$

Знак равенства относится к обратимым, знак неравенства — к необратимым процессам.

Термодинамические потенциалы являются функциями состояния. Поэтому приращение любого из потенциалов равно полному дифференциалу функции, которой он выражается. Полный дифференциал функции  $f(x, y)$  переменных  $x$  и  $y$  определяется выражением

$$df = \left( \frac{\partial f}{\partial x} \right)_y dx + \left( \frac{\partial f}{\partial y} \right)_x dy.$$

Поэтому, если в ходе преобразований мы получим для приращения некоторой величины  $f$  выражение вида

$$df = X(\xi, \eta) d\xi + Y(\xi, \eta) d\eta, \quad (109.2)$$

можно утверждать, что эта величина является функцией параметров  $\xi$  и  $\eta$ , причем функции  $X(\xi, \eta)$  и  $Y(\xi, \eta)$  представляют собой частные производные функции  $f(\xi, \eta)$ :

$$\left( \frac{\partial f}{\partial \xi} \right)_\eta = X(\xi, \eta), \quad \left( \frac{\partial f}{\partial \eta} \right)_\xi = Y(\xi, \eta). \quad (109.3)$$

**Внутренняя энергия.** С одним из термодинамических потенциалов мы уже хорошо знакомы. Это — внутренняя энергия системы. Выражение первого начала для обратимого процесса можно представить в виде

$$dU = T dS - p dV. \quad (109.4)$$

Сравнение с (109.2) показывает, что в качестве так называемых естественных переменных для потенциала  $U$  выступают переменные  $S$  и  $V$ . Из (109.3) следует, что

$$\left( \frac{\partial U}{\partial S} \right)_V = T, \quad \left( \frac{\partial U}{\partial V} \right)_S = -p. \quad (109.5)$$

Из соотношения  $d'Q = dU + d'A$  следует, что в случае, когда тело не обменивается теплом с внешней средой, совершаемая им работа равна

$$d'A = -dU$$

или в интегральной форме:

$$A = U_1 - U_2 \text{ (нет теплообмена)}. \quad (109.6)$$

Таким образом, при отсутствии теплообмена с внешней средой работа равна убыли внутренней энергии тела.

При постоянном объеме

$$d'Q = dU. \quad (109.7)$$

Следовательно, теплоемкость при постоянном объеме равна

$$C_V = \left( \frac{\partial U}{\partial T} \right)_V. \quad (109.8)$$

**Свободная энергия.** Согласно (109.4) работа, производимая телом при обратимом изотермическом процессе, может быть представлена в виде

$$d'A = -dU + TdS = -d(U - TS). \quad (109.9)$$

Функцию состояния

$$F = U - TS \quad (109.10)$$

называют свободной энергией тела.

В соответствии с формулами (109.9) и (109.10) при обратимом изотермическом процессе работа равна убыли свободной энергии тела:

$$d'A = -dF \quad (109.11)$$

или

$$A = F_1 - F_2 \quad (T = \text{const, обр.}). \quad (109.12)$$

Сравнение с формулой (109.6) показывает, что при изотермических процессах свободная энергия играет такую же роль, как внутренняя энергия при адиабатических процессах.

Заметим, что формула (109.6) справедлива как при обратимых, так и при необратимых процессах. Формула же (109.12) справедлива только для обратимых процессов. При необратимых процессах  $d'Q < T dS$  (см. (109.1)). Подставив это неравенство в соотношение  $d'A = d'Q - dU$ , легко получить, что при необратимых изотермических процессах

$$A < F_1 - F_2 \quad (T = \text{const, необр.}). \quad (109.13)$$

Следовательно, убыль свободной энергии определяет верхний предел количества работы, которую может совершить система при изотермическом процессе.

Возьмем дифференциал от функции (109.10). Приняв во внимание (109.4), получим

$$dF = T dS - p dV - T dS - S dT = -S dT - p dV. \quad (109.14)$$

Из сравнения с (109.2) заключаем, что естественными переменными для свободной энергии являются  $T$  и  $V$ . В соответствии с (109.3)

$$\left(\frac{\partial F}{\partial T}\right)_V = -S, \quad \left(\frac{\partial F}{\partial V}\right)_T = -p. \quad (109.15)$$

Заменим в (109.1)  $d'Q$  через  $dU + p dV$  и разделим получившееся соотношение на  $dt$  ( $t$  — время). В результате получим, что

$$T \frac{dS}{dt} \geq \frac{dU}{dt} + p \frac{dV}{dt}. \quad (109.16)$$

Если температура и объем остаются постоянными, то соотношение (109.16) может быть преобразовано к виду

$$\frac{d(U - TS)}{dt} = \frac{dF}{dt} \leq 0 \quad (T = \text{const}, V = \text{const}). \quad (109.17)$$

Из этой формулы следует, что необратимый процесс, протекающий при постоянных температуре и объеме, сопровождается уменьшением свободной энергии тела. По достижении равновесия  $F$  перестает меняться со временем. Таким образом, при неизменных  $T$  и  $V$  равновесным является состояние, для которого свободная энергия минимальна.

**Энтальпия.** Если процесс происходит при постоянном давлении, то количество получаемого телом тепла можно представить следующим образом:

$$d'Q = dU + p dV = d(U + pV). \quad (109.18)$$

Функцию состояния

$$H = U + pV \quad (109.19)$$

называют энтальпией или тепловой функцией.

Из (109.18) и (109.19) вытекает, что количество тепла, получаемого телом в ходе изобарического процесса, равно

$$d'Q = dH \quad (109.20)$$

или в интегральной форме

$$Q = H_2 - H_1. \quad (109.21)$$

Следовательно, в случае, когда давление остается постоянным, количество получаемого телом тепла равно приращению энтальпии.

Дифференцирование выражения (109.19) с учетом (109.4) дает

$$dH = T dS - p dV + p dV + V dp = T dS + V dp. \quad (109.22)$$

Отсюда заключаем, что энтальпия есть термодинамический потенциал в переменных  $S$  и  $p$ . Его частные производные равны

$$\left(\frac{\partial H}{\partial S}\right)_p = T, \quad \left(\frac{\partial H}{\partial p}\right)_S = V. \quad (109.23)$$

В соответствии с (109.20) теплоемкость при постоянном давлении равна

$$C_p = \left(\frac{\partial H}{\partial T}\right)_p. \quad (109.24)$$

Сравнив формулы (109.20) и (109.24) с формулами (109.7) и (109.8), приходим к выводу, что при постоянном давлении энтальпия обладает свойствами, аналогичными тем, какие имеет внутренняя энергия при постоянном объеме.

**Термодинамический потенциал Гиббса.** Так называется функция состояния, определяемая следующим образом:

$$G = H - TS = U + pV - TS. \quad (109.25)$$

Ее полный дифференциал равен (см. (109.22))

$$dG = T dS + V dp - T dS - S dT = V dp - S dT. \quad (109.26)$$

Следовательно, естественными переменными для функции  $G$  являются  $p$  и  $T$ . Частные производные этой функции равны

$$\left(\frac{\partial G}{\partial p}\right)_T = V, \quad \left(\frac{\partial G}{\partial T}\right)_p = -S. \quad (109.27)$$

Если температура и давление остаются постоянными, соотношение (109.16) можно записать в виде:

$$\frac{d(U + pV - TS)}{dt} = \frac{dG}{dt} \leq 0 \quad (T = \text{const}, \quad p = \text{const}). \quad (109.28)$$

Из этой формулы следует, что необратимый процесс, протекающий при постоянных температуре и давлении, сопровождается уменьшением термодинамического потенциала Гиббса. По достижении равновесия  $G$  перестает изменяться со временем. Таким образом, при неизменных  $T$  и  $p$  равновесным является состояние, для которого термодинамический потенциал Гиббса минимален (ср. с (109.17)).

В табл. 109.1 приведены основные свойства термодинамических потенциалов.

Таблица 109.1

Название и обозначение термодинамического потенциала	Свойства	
Внутренняя энергия $U = U(S, V)$	$U_1 - U_2 = A$ $U_2 - U_1 = Q$	при адиабатическом процессе, при $V = \text{const}$
Свободная энергия $F = F(T, V)$	$F_1 - F_2 = A$ $F = \min$	при обратимом изотермическом процессе для равновесного состояния при $T = \text{const}$ и $V = \text{const}$
Энтальпия $H = H(S, p)$	$H_2 - H_1 = Q$	при $p = \text{const}$
Термодинамический потенциал Гиббса $G = G(T, p)$	$G = \min$	для равновесного состояния при $T = \text{const}$ и $p = \text{const}$

## Г Л А В А XIII

### КРИСТАЛЛИЧЕСКОЕ СОСТОЯНИЕ

#### § 110. Отличительные черты кристаллического состояния

Подавляющее большинство твердых тел в природе имеет кристаллическое строение. Так, например, почти все минералы и все металлы в твердом состоянии являются кристаллами.

Характерная черта кристаллического состояния, отличающая его от жидкого и газообразного состояний, заключается в наличии анизотропии, т. е. зависимости ряда физических свойств (механических, тепловых, электрических, оптических) от направления.

Тела, свойства которых одинаковы по всем направлениям, называются изотропными. Изотропны, кроме газов и, за отдельными исключениями, всех жидкостей, также аморфные твердые тела. Последние представляют собой переохлажденные жидкости (см. § 125).

Причиной анизотропии кристаллов служит упорядоченное расположение частиц (атомов или молекул), из которых они построены. Упорядоченное расположение частиц проявляется в правильной внешней огранке кристаллов. Кристаллы ограничены плоскими гранями, пересекающимися под некоторыми, определенными для каждого данного рода кристаллов, углами. Раскалывание кристаллов легче происходит по определенным плоскостям, называемым плоскостями спайности.

Правильность геометрической формы и анизотропия кристаллов обычно не проявляются по той причине, что кристаллические тела встречаются, как правило, в виде поликристаллов, т. е. конгломератов множества сросшихся между собой, беспорядочно ориентированных мелких кристалликов. В поликристаллах анизотропия наблюдается только в пределах каждого отдельно взятого кристаллика, тело же в целом вследствие беспорядочной ориентации кристалликов анизотропии не обнаруживает. Создав специальные условия кристаллизации из расплава или раствора, можно получить большие одиночные кристаллы — монокристаллы

любого вещества. Монокристаллы некоторых минералов встречаются в природе в естественном состоянии.

Упорядоченность расположения атомов кристалла заключается в том, что атомы (или молекулы) размещаются в узлах геометрически правильной пространственной решетки. Весь кристалл может

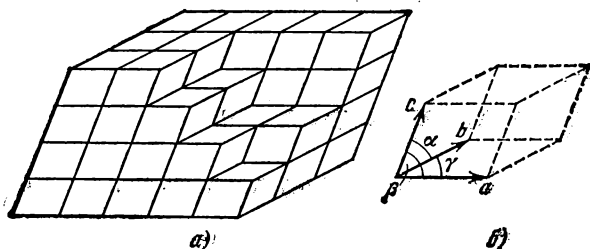


Рис. 110.1.

быть получен путем многократного повторения в трех различных направлениях одного и того же структурного элемента, называемого элементарной кристаллической ячейкой (рис. 110.1, а). Длины ребер  $a$ ,  $b$  и  $c$  кристаллической ячейки называются периодами идентичности кристалла.

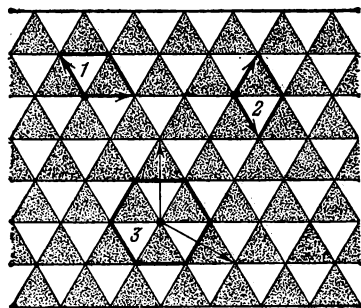


Рис. 110.2.

Кристаллическая ячейка представляет собой параллелепипед, построенный на трех векторах  $a$ ,  $b$ ,  $c$ , модули которых равны периодам идентичности. Этот параллелепипед, кроме ребер  $a$ ,  $b$ ,  $c$ , характеризуется также углами  $\alpha$ ,  $\beta$  и  $\gamma$  между ребрами (рис. 110.1, б). Величины  $a$ ,  $b$ ,  $c$  и  $\alpha$ ,  $\beta$ ,  $\gamma$  однозначно определяют элементарную ячейку и называются ее параметрами.

Элементарную ячейку можно выбрать различными способами.

Это показано на рис. 110.2 на примере плоской структуры. Облицовку стены чередующимися светлыми и темными треугольными плитками можно получить многократным повторением в двух направлениях различных ячеек (см., например, ячейки 1, 2 и 3; стрелками указаны направления, в которых повторяются ячейки). Ячейки 1 и 2 отличаются тем, что включают минимальное количество структурных элементов (по одной светлой и по одной темной плитке). Кристаллическая ячейка, включающая наименьшее число атомов, характеризующих химический состав кристаллического

вещества (например, один атом кислорода и два атома водорода для кристалла льда), называется п р и м и т и в н о й я ч е й к о й. Однако обычно вместо примитивной выбирают элементарную ячейку с большим числом атомов, но обладающую той же симметрией, как и весь кристалл в целом. Так, изображенная на рис. 110.2 плоская структура совпадает сама с собой при повороте на  $120^\circ$  вокруг любой перпендикулярной к ней оси, проходящей через вершины плиток. Таким же свойством обладает элементарная ячейка 3. Ячейки 1 и 2 имеют меньшую степень симметрии: они совпадают сами с собой только при повороте на  $360^\circ$ .

### § 111. Классификация кристаллов

Кристаллическая решетка может обладать различными видами симметрии. Под симметрией кристаллической решетки понимается свойство решетки совпадать с самой собой при некоторых пространственных перемещениях.

Всякая решетка прежде всего обладает трансляционной симметрией, т. е. совпадает сама с собой при перемещении (трансляции) на величину периода идентичности <sup>1)</sup>. Из других видов симметрии отметим симметрию по отношению к поворотам вокруг некоторых осей, а также к зеркальному отражению относительно определенных плоскостей.

Если решетка совпадает сама с собой при повороте вокруг некоторой оси на угол  $2\pi/n$  (следовательно, за один полный поворот вокруг оси решетка совпадает сама с собой  $n$  раз), то эта ось называется о с ью с и м м е т р и и  $n$ -го порядка. Можно показать,

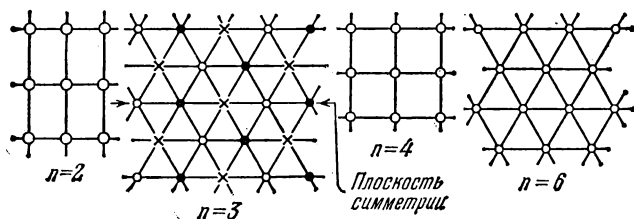


Рис. 111.1.

что, кроме тривиальной оси 1-го порядка, возможны только оси симметрии 2-го, 3-го, 4-го и 6-го порядков. Примеры структур, обладающих такими осями симметрии, показаны схематически на рис. 111.1 (белыми кружками, черными кружками и крестиками обозначены атомы разных сортов).

<sup>1)</sup> При рассмотрении симметрии решетки отвлекаются от конечных размеров кристалла и считают решетку бесконечной.

Плоскости, при зеркальном отражении от которых решетка совпадает сама с собой, называются плоскостями симметрии. Пример плоскости симметрии также дан на рис. 111.1.

Различные виды симметрии называются элементами симметрии кристаллической решетки. Кроме осей и плоскостей, возможны другие элементы симметрии, в рассмотрение которых мы, однако, входить не станем.

Кристаллическая решетка, как правило, обладает одновременно несколькими видами симметрии. Однако не всякое сочетание элементов симметрии оказывается возможным. Как показал

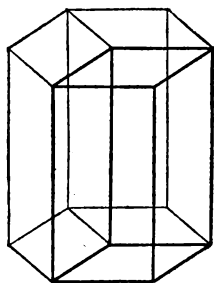


Рис. 111.2.

выдающийся русский ученый Е. С. Федоров, возможны 230 комбинаций элементов симметрии, получившие название пространственных групп. Эти 230 пространственных групп разбиваются по признакам симметрии на 32 класса. Наконец, по форме элементарной ячейки все кристаллы делятся на семь кристаллографических систем (или сингоний), каждая из которых включает в себя несколько классов симметрии.

В порядке возрастающей симметрии кристаллографические системы располагаются следующим образом.

1. Триклинная система. Для нее характерно, что  $a \neq b \neq c$ ;  $\alpha \neq \beta \neq \gamma$ . Элементарная ячейка имеет форму косоугольного параллелепипеда.

2. Моноклинная система. Два угла — прямые, третий (в качестве которого принято выбирать угол  $\beta$ ) отличен от прямого. Следовательно,  $a \neq b \neq c$ ;  $\alpha = \gamma = 90^\circ$ ;  $\beta \neq 90^\circ$ . Элементарная ячейка имеет форму прямой призмы, в основании которой лежит параллелограмм (т. е. форму прямого параллелепипеда).

3. Ромбическая система. Все углы — прямые, все ребра — разные:  $a \neq b \neq c$ ;  $\alpha = \beta = \gamma = 90^\circ$ . Элементарная ячейка имеет форму прямоугольного параллелепипеда.

4. Тетрагональная система. Все углы — прямые, два ребра — одинаковые:  $a = b \neq c$ ;  $\alpha = \beta = \gamma = 90^\circ$ . Элементарная ячейка имеет форму призмы с квадратным основанием.

5. Ромбоэдрическая (или тригональная) система. Все ребра — одинаковые, все углы также одинаковые и отличные от прямого:  $a = b = c$ ;  $\alpha = \beta = \gamma \neq 90^\circ$ . Элементарная ячейка имеет форму куба, деформированного сжатием или растяжением вдоль диагонали.

6. Гексагональная система. Ребра и углы между ними удовлетворяют условиям:  $a = b \neq c$ ;  $\alpha = \beta = 90^\circ$ ,  $\gamma = 120^\circ$ . Если составить вместе три элементарные ячейки так, как показано на рис. 111.2, то получается правильная шестигранная призма.

7. К у б и ч е с к а я с и с т е м а. Все ребра — одинаковые, все углы — прямые:  $a=b=c$ ;  $\alpha=\beta=\gamma=90^\circ$ . Элементарная ячейка имеет форму куба.

## § 112. Физические типы кристаллических решеток

В зависимости от природы частиц, помещающихся в узлах кристаллической решетки, и от характера сил взаимодействия между частицами различают четыре типа кристаллических решеток и соответственно четыре типа кристаллов: ионные, атомные, металлические и молекулярные.

1. И о н н ы е к р и с т а л л ы. В узлах кристаллической решетки помещаются ионы разных знаков. Силы взаимодействия между ними являются в основном электростатическими (кулоновскими). Связь, обусловленная электростатическими силами притяжения между разноименно заряженными ионами, называется г е т е р о п о л я р н о й (или и о н н о й).

Типичным примером ионной решетки может служить изображенная на рис. 112.1 решетка каменной соли ( $\text{NaCl}$ ). Эта решетка принадлежит к кубической системе. Белыми кружками изображены несущие положительный заряд ионы натрия, черными кружками — отрицательные ионы хлора. Как видно из рисунка, ближайшими соседями иона данного знака будут ионы противоположного знака. В газообразном состоянии  $\text{NaCl}$  состоит из молекул, в которых объединяются попарно ионы натрия с ионами хлора. Образующая молекулу группировка из иона  $\text{Na}$  и иона  $\text{Cl}$  утрачивает в кристалле обособленное существование. Ионный кристалл состоит не из молекул, а из ионов. Весь кристалл в целом можно рассматривать как одну гигантскую молекулу.

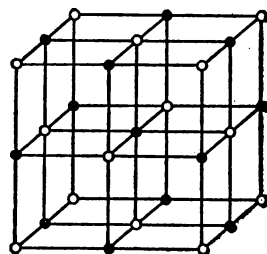


Рис. 112.1.

2. А т о м н ы е к р и с т а л л ы. В узлах кристаллической решетки помещаются нейтральные атомы. Связь, объединяющая в кристалле (а также и в молекуле) нейтральные атомы, называется г о м е о п о л я р н о й (или к о в а л е н т н о й). Силы взаимодействия при гомеополярной связи имеют также электрический (но не кулоновский) характер. Объяснение этих сил может быть дано только на основе квантовой механики.

Гомеополлярная связь осуществляется электронными парами. Это означает, что в обеспечении связи между двумя атомами участвует по одному электрону от каждого атома. По этой причине гомеополлярная связь имеет направленный характер. При гетерополярной связи каждый ион воздействует на все достаточно близкие к нему

ионы. При гомеоплярной связи воздействие направлено на тот атом, с которым у данного атома имеется совместная электронная пара. Гомеоплярная связь может осуществляться только валентными, т. е. наименее связанными с атомом, электронами. Поскольку каждый электрон может обеспечить связь только с одним атомом, число связей, в которых может участвовать данный атом (число соседей, с которыми он может быть связан), равно его валентности.

Типичными примерами атомных кристаллов могут служить алмаз и графит. Оба эти вещества тождественны по химической природе (они построены из атомов углерода), но отличаются кристаллическим строением. На рис. 112.2, *а* показана решетка алмаза, на рис. 112.2, *б* — решетка графита. На этом примере отчетливо видно влияние кристаллической структуры на свойства вещества.

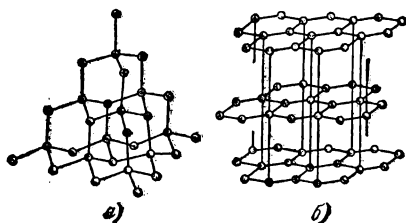


Рис. 112.2.

Такую же решетку, как у алмаза (решетку типа алмаза), имеют типичные полупроводники — германий (Ge) и кремний (Si). Для этой решетки характерно то, что каждый атом окружен четырьмя равноотстоящими от него соседями, расположенными в вершинах правильного тетраэдра. Каждый из четырех валентных электронов входит в электронную пару, связывающую данный атом с одним из соседей.

3. Металлические кристаллы. Во всех узлах кристаллической решетки расположены положительные ионы металла. Между ними беспорядочно, подобно молекулам газа, движутся электроны, отщепившиеся от атомов при образовании ионов. Эти электроны играют роль «цемента», удерживая вместе положительные ионы; в противном случае решетка распалась бы под действием сил отталкивания между ионами. Вместе с тем и электроны удерживаются ионами в пределах кристаллической решетки и не могут ее покинуть.

Большинство металлов имеет решетки одного из трех типов: кубическую объемно-

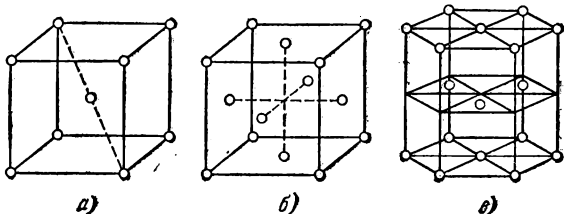


Рис. 112.3.

гранцентрированную (рис. 112.3, *б*) и так называемую плотную гексагональную (рис. 112.3, *в*). Последняя представляет собой гексагональную решетку с отношением  $c/a$ , равным  $\sqrt{8/3}$ . Кубическая

гранецентрированная и плотная гексагональная решетки соответствуют наиболее плотной упаковке одинаковых шаров.

4. **Молекулярные кристаллы.** В узлах кристаллической решетки помещаются определенным образом ориентированные молекулы. Силы связи между молекулами в кристалле имеют ту же природу, что и силы притяжения между молекулами, приводящие к отклонению газов от идеальности. По этой причине их называют **ван-дер-ваальсовскими силами**. Молекулярные решетки образуют, например, следующие вещества:  $H_2$ ,  $N_2$ ,  $O_2$ ,  $CO_2$ ,  $H_2O$ . Таким образом, обычный лед, а также так называемый сухой лед (твердая углекислота) представляют собой молекулярные кристаллы.

### § 113. Дефекты в кристаллах

Дефектами кристаллов называют нарушения идеальной кристаллической структуры. Такое нарушение может заключаться в отсутствии атома в узле решетки (вакансия), в замене атома данного вещества (своего атома) чужим атомом (атомом примеси), во внедрении лишнего атома (своего или чужого) в межузельное пространство. Подобные дефекты называются **точечными**. Они вызывают нарушения правильности решетки, распространяющиеся на расстояния порядка нескольких периодов.

Кроме точечных, существуют дефекты, сосредоточенные вблизи некоторых линий. Их называют **линейными дефектами**

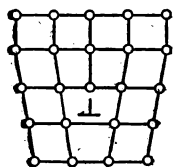


Рис. 113.1.

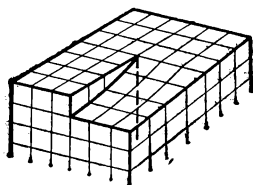


Рис. 113.2.

или **дислокациями**. Дефекты такого вида нарушают правильное чередование кристаллических плоскостей. Простейшими видами дислокаций являются **краевая** и **винтовая** дислокации.

Краевая дислокация обуславливается лишней кристаллической полуплоскостью, вдвинутой между двумя соседними слоями атомов (рис. 113.1). Край этой полуплоскости образует дислокацию данного вида. Линией дислокации является перпендикулярная к плоскости рисунка прямая, отмеченная знаком  $\perp$ .

Винтовую дислокацию можно представить как результат разреза кристалла по полуплоскости и последующего сдвига лежащих по разные стороны разреза частей решетки навстречу друг другу

на величину одного периода (рис. 113.2). Внутренний край разреза образует винтовую дислокацию (см. пунктирную прямую на рисунке). Кристалл с винтовой дислокацией фактически состоит из одной кристаллической плоскости, которая изогнута по винтовой поверхности (такую поверхность называют геликоидом). Линия дислокации совпадает с осью винта. При каждом обходе вокруг этой линии кристаллическая плоскость смещается на один период.

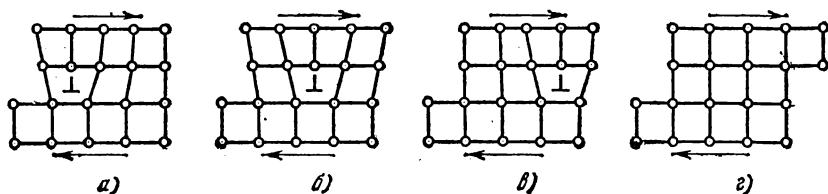


Рис. 113.3.

Мы рассмотрели два простейших (предельных) вида дислокаций. В обоих случаях линии дислокации являются прямыми. В общем случае линии дислокации могут быть кривыми.

Дефекты оказывают сильное влияние на физические свойства кристаллов, в том числе и на их прочность. В частности, дислокации служат причиной того, что пластическая деформация<sup>1)</sup> реальных кристаллов происходит под воздействием напряжений на несколько порядков меньших, чем вычисленное для идеальных кристаллов.

У монокристаллов металлов легко происходит сдвиг вдоль атомных слоев. Не следует представлять себе этот процесс так, что все атомы слоя смещаются одновременно как одно целое. В действительности атомы перескакивают в новые положения небольшими группами поочередно. Такое поочередное перемещение атомов может быть представлено как движение дислокации. Для перемещения дислокации достаточно напряжений, много меньших, чем для перемещения всего атомного слоя сразу. На рис. 113.3 показаны последовательные стадии процесса, происходящего в кристалле под действием сил, обуславливающих сдвиг. Первоначально имевшаяся дислокация под воздействием созданных в кристалле напряжений перемещается вдоль кристалла. Это перемещение сопровождается поочередным сдвигом атомов слоя, лежащего над дислокацией, относительно атомов слоя, лежащего под дислокацией.

Перемещению дислокаций препятствует наличие других дефектов в кристалле, например, присутствие атомов примеси. Дислокации тормозятся также при пересечении друг с другом. Если коли-

<sup>1)</sup> Пластической называется деформация, сохраняющаяся после того, как снимается напряжение, вызвавшее деформацию.

чество дислокаций и других дефектов в кристалле мало, дислокации перемещаются практически свободно. В результате сопротивление сдвигу будет невелико. Увеличение плотности дислокаций и возрастание концентрации примесей приводит к сильному торможению дислокаций и прекращению их движения. В результате прочность материала растет. Так, например, повышение прочности железа достигается растворением в нем атомов углерода (такой раствор представляет собой сталь).

Пластическая деформация сопровождается разрушением кристаллической решетки и образованием большого количества дефектов, препятствующих перемещению дислокаций. Этим объясняется упрочнение материалов при их холодной обработке.

Винтовая дислокация часто возникает в процессе роста кристаллов из раствора или расплава. Захват атома гладкой плоской кристаллической поверхностью энергетически менее выгоден и поэтому менее вероятен, чем присоединение атома к ступеньке, существующей на поверхности кристалла с винтовой дислокацией. Поэтому кристаллы предпочитают расти со встроенной внутрь винтовой дислокацией. Новые атомы присоединяются к краю ступеньки, вследствие чего рост кристалла происходит по спирали.

## § 114. Теплоемкость кристаллов

Расположение частиц в узлах кристаллической решетки отвечает минимуму их взаимной потенциальной энергии. При смещении частиц из положения равновесия в любом направлении появляется сила, стремящаяся вернуть частицу в первоначальное положение, вследствие чего возникают колебания частицы. Колебание вдоль произвольного направления можно представить как наложение колебаний вдоль трех взаимно перпендикулярных направлений. Поэтому каждой частице в кристалле следует приписывать три колебательные степени свободы.

В § 97 было выяснено, что на каждую колебательную степень свободы в среднем приходится энергия, равная двум половинкам  $kT$  — одна в виде кинетической и одна в виде потенциальной энергии. Следовательно, на каждую частицу — атом в атомной решетке, ион в ионной или металлической решетке <sup>1)</sup> — приходится в среднем энергия, равная  $3kT$ . Энергию моля вещества в кристаллическом состоянии можно найти, умножив среднюю энергию одной частицы на число частиц, помещающихся в узлах кристаллической решетки. Последнее число совпадает с числом Авогадро  $N_A$  только в случае химически простых веществ. В случае такого, например,

---

<sup>1)</sup> В случае молекулярных кристаллов дело обстоит сложнее. Молекулы наряду с поступательными колебаниями совершают также крутильные колебания. Кроме того, происходят колебания атомов внутри молекул.

вещества, как NaCl, число частиц будет равно  $2N_A$ , ибо в моле NaCl содержится  $N_A$  атомов Na и  $N_A$  атомов Cl.

Ограничившись рассмотрением химически простых веществ, образующих атомные или металлические кристаллы, для внутренней энергии моля вещества в кристаллическом состоянии можно написать выражение

$$U_m = N_A 3kT = 3RT.$$

Приращение внутренней энергии, соответствующее повышению температуры на один кельвин, равно согласно (109.8) теплоемкости при постоянном объеме. Следовательно,

$$C_V = 3R. \quad (114.1)$$

Поскольку объем твердых тел при нагревании меняется мало, их теплоемкость при постоянном давлении незначительно отличается от теплоемкости при постоянном объеме, так что можно положить  $C_p \approx C_V$  и говорить просто о теплоемкости твердого тела.

Итак, согласно (114.1) теплоемкость моля химически простых тел в кристаллическом состоянии одинакова и равна  $3R$ . Это утверждение составляет содержание закона Дюлонга и Пти, установленного опытным путем. Закон выполняется с довольно хорошим приближением для многих веществ при комнатной температуре. Однако, например, алмаз имеет при комнатной температуре теплоемкость, равную всего примерно  $0,7R$ .

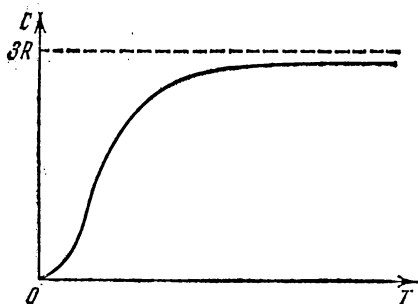


Рис. 114.1.

Более того, вопреки (114.1) теплоемкость кристаллов зависит от температуры, причем зависимость имеет характер, показанный на рис. 114.1.

Вблизи абсолютного нуля теплоемкость всех тел пропорциональна  $T^3$ , и только при достаточно высокой, характерной для каждого вещества температуре начинает выполняться равенство (114.1). У большинства тел это достигается уже при комнатной температуре, у алмаза же теплоемкость достигает значения  $3R$  лишь при температуре порядка  $1000^\circ\text{C}$ .

Строгая теория, теплоемкости твердых тел, созданная Эйнштейном и Дебаем, учитывает, во-первых, квантование энергии колебательного движения (см. § 97). Во-вторых, теория учитывает, что колебания частиц в кристаллической решетке не являются независимыми. Эта теория <sup>1)</sup> находится в хорошем согласии с опытными данными. В частности, для высоких температур она приводит к выражению (114.1).

<sup>1)</sup> Она будет изложена в третьем томе.

## ГЛАВА XIV

### ЖИДКОЕ СОСТОЯНИЕ

#### § 115. Строение жидкостей

Жидкое состояние, занимая промежуточное положение между газами и кристаллами, сочетает в себе некоторые черты обоих этих состояний. В частности, для жидкостей, как и для кристаллических тел, характерно наличие определенного объема, и вместе с тем жидкость, подобно газу, принимает форму того сосуда, в котором она находится. Далее, для кристаллического состояния характерно упорядоченное расположение частиц (атомов или молекул), в газах в этом смысле царит полный хаос. Согласно рентгенографическим исследованиям, в отношении характера расположения частиц жидкости также занимают промежуточное положение. В расположении частиц жидкости наблюдается так называемый ближний порядок. Это означает, что по отношению к любой частице расположение ближайших к ней соседей является упорядоченным. Однако по мере удаления от данной частицы расположение по отношению к ней других частиц становится все менее упорядоченным, и довольно быстро порядок в расположении частиц полностью исчезает. В кристаллах имеет место дальний порядок: упорядоченное расположение частиц по отношению к любой частице наблюдается в пределах значительного объема.

Наличие в жидкостях ближнего порядка служит причиной того, что структуру жидкостей называют квазикристаллической (кристаллоподобной).

Из-за отсутствия дальнего порядка жидкости, за немногими исключениями, не обнаруживают анизотропии, характерной для кристаллов с их правильным расположением частиц. В жидкостях с удлиненными молекулами наблюдается одинаковая ориентация молекул в пределах значительного объема, чем обуславливается анизотропия оптических и некоторых других свойств. Такие жидкости получили название жидких кристаллов. У них упорядочена только ориентация молекул, взаимное же расположение молекул, как и в обычных жидкостях, дальнего порядка не обнаруживает.

Промежуточным положением жидкостей обусловлено то обстоятельство, что жидкое состояние оказывается особенно сложным по своим свойствам. Поэтому его теория гораздо менее развита, чем теория кристаллического и газообразного состояний. До сих пор нет вполне законченной и общепризнанной теории жидкостей. Значительные заслуги в разработке ряда проблем теории жидкого состояния принадлежат советскому ученому Я. И. Френкелю.

Согласно Френкелю, тепловое движение в жидкостях имеет следующий характер. Каждая молекула в течение некоторого времени колеблется около определенного положения равновесия. Время от времени молекула меняет место равновесия, скачком перемещаясь в новое положение, отстоящее от предыдущего на расстояние порядка размеров самих молекул. Таким образом, молекулы лишь медленно перемещаются внутри жидкости, пребывая часть времени около определенных мест. По образному выражению Я. И. Френкеля, молекулы странствуют по всему объему жидкости, ведя кочевой образ жизни, при котором кратковременные переезды сменяются относительно длинными периодами оседлой жизни. Длительности этих стоянок весьма различны и беспорядочно чередуются друг с другом, но средняя длительность колебаний около одного и того же положения равновесия оказывается у каждой жидкости определенной величиной, резко убывающей при повышении температуры. В связи с этим при повышении температуры сильно возрастает подвижность молекул, что в свою очередь влечет за собой уменьшение вязкости жидкостей.

Существуют твердые тела, которые во многих отношениях оказываются ближе к жидкостям, чем к кристаллам. Такие тела, называемые а м о р ф н ы м и, не обнаруживают анизотропии. В расположении их частиц имеется, как и у жидкостей, только ближний порядок. Переход от аморфного твердого тела к жидкости при нагревании осуществляется непрерывно, в то время как переход от кристалла к жидкости совершается скачком (подробнее об этом будет сказано в § 125). Все это дает основание рассматривать аморфные твердые тела как переохлажденные жидкости, частицы которых вследствие сильно возросшей вязкости имеют ограниченную подвижность.

Типичным примером аморфного твердого тела служит стекло. К числу аморфных тел относятся также смолы, битумы и т. п.

## § 116. Поверхностное натяжение

Молекулы жидкости располагаются настолько близко друг к другу, что силы притяжения между ними имеют значительную величину. Поскольку взаимодействие быстро убывает с расстоянием, начиная с некоторого расстояния силами притяжения между моле-

кулами можно пренебречь. Это расстояние  $r$ , как мы уже знаем (см. § 91), называется радиусом молекулярного действия, а сфера радиуса  $r$  называется сферой молекулярного действия. Радиус молекулярного действия имеет величину порядка нескольких эффективных диаметров молекулы.

Каждая молекула испытывает притяжение со стороны всех соседних с ней молекул, находящихся в пределах сферы молекулярного действия, центр которой совпадает с данной молекулой. Равнодействующая всех этих сил для молекулы, находящейся от поверхности жидкости на расстоянии, превышающем  $r$ , очевидно, в среднем равна нулю (рис. 116.1). Иначе обстоит дело, если молекула находится на расстоянии от поверхности, меньшем чем  $r$ . Так как плотность пара (или газа, с которым граничит жидкость) во много раз меньше плотности жидкости, выступающая за пределы жидкости часть сферы молекулярного действия будет менее заполнена молекулами, чем оставшаяся часть сферы. В результате на каждую молекулу, находящуюся в поверхностном слое толщины  $r$ , будет действовать сила, направленная внутрь жидкости. Величина этой силы растет в направлении от внутренней к наружной границе слоя.

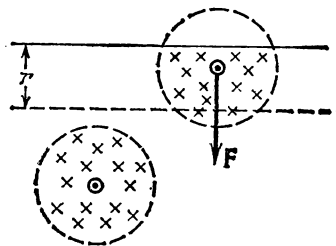


Рис. 116.1.

Переход молекулы из глубины жидкости в поверхностный слой сопровождается совершением над молекулой действующих на нее в поверхностном слое сил отрицательной работы. В результате этого кинетическая энергия молекулы уменьшается, превращаясь в потенциальную энергию. Подобно этому сила земного тяготения совершает над летящим вверх телом отрицательную работу, что приводит к превращению кинетической энергии тела в потенциальную. При обратном переходе молекулы в глубь жидкости потенциальная энергия, которой обладала молекула в поверхностном слое, переходит в кинетическую энергию.

Итак, молекулы в поверхностном слое обладают дополнительной потенциальной энергией. Поверхностный слой в целом обладает дополнительной энергией, которая входит составной частью во внутреннюю энергию жидкости.

Поскольку положение равновесия соответствует минимуму потенциальной энергии, жидкость, предоставленная самой себе, будет принимать форму с минимальной поверхностью, т. е. форму шара. Обычно мы наблюдаем не жидкости, «предоставленные самим себе», а жидкости, подверженные действию сил земного тяготения. В этом случае жидкость принимает форму, соответствующую

минимуму суммарной энергии — энергии в поле сил тяготения и поверхностной энергии.

При увеличении размеров тела объем растет как куб линейных размеров, а поверхность — только как квадрат. Поэтому пропорциональная объему тела энергия в поле тяготения изменяется с размерами тела быстрее, чем поверхностная энергия. У малых капель жидкости преобладающую роль играет поверхностная энергия, вследствие чего такие капли имеют форму, близкую к сферической. Большие капли жидкости сплющиваются под действием сил тяготения, несмотря на то, что поверхностная энергия при этом возрастает. Большие массы жидкости принимают форму сосуда, в который они налиты, с горизонтальной свободной поверхностью.

Из-за наличия поверхностной энергии жидкость обнаруживает стремление к сокращению своей поверхности. Жидкость ведет себя так, как если бы она была заключена в упругую растянутую пленку, стремящуюся сжаться. Следует иметь в виду, что никакой пленки, ограничивающей жидкость снаружи, на самом деле нет. Поверхностный слой состоит из тех же молекул, что и вся жидкость, и взаимодействие между молекулами имеет в поверхностном слое тот же характер, что и внутри жидкости. Дело заключается лишь в том, что молекулы в поверхностном слое обладают дополнительной энергией по сравнению с молекулами внутри жидкости.

Выделим мысленно часть поверхности жидкости, ограниченную замкнутым контуром. Тенденция этого участка к сокращению приводит к тому, что он действует на граничащие с ним участки с силами, распределенными по всему контуру (по третьему закону Ньютона внешние участки поверхности действуют на рассматриваемую часть поверхности с силами такой же величины, но противоположного направления). Эти силы называются силами поверхностного натяжения. Направлена сила поверхностного натяжения по касательной к поверхности жидкости, перпендикулярно к участку контура, на который она действует.

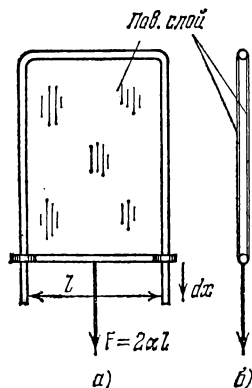


Рис. 116.2.

Обозначим силу поверхностного натяжения, приходящуюся на единицу длины контура, через  $\alpha$ . Эту величину называют коэффициентом поверхностного натяжения. Измеряют ее в ньютонах на метр (в СИ) или в динах на сантиметр (в СГС-системе).

Предположим, что имеется прямоугольная рамка с подвижной перекладкой, затянута пленкой жидкости (рис. 116.2). Пленка представляет собой тонкий плоский объем жидкости, ограниченный

с двух сторон поверхностным слоем (см. рис. 116.2, б, на котором рамка показана в разрезе). Вследствие стремления поверхностного слоя к сокращению со стороны пленки будет действовать на перекладину сила, равная  $2\alpha l$ . Чтобы перекладина находилась в равновесии, к ней нужно приложить внешнюю силу  $F$ , равную силе натяжения пленки, т. е.  $2\alpha l$ . Предположим, что перекладина переместилась крайне медленно в направлении действия силы  $F$  на очень малую величину  $dx$ . Этот процесс сопровождается совершением жидкостью над перекладиной работы  $d'A = -2\alpha l dx = -\alpha dS$ , где  $dS$  — приращение площади поверхностного слоя. При таком увеличении поверхности дополнительное количество молекул переходит из глубины жидкости в поверхностный слой, теряя при этом свою скорость. Поэтому, если бы процесс протекал адиабатически, жидкость слегка охладилась бы. Однако мы предполагали, что процесс протекает очень медленно (обратимо), вследствие чего температура пленки остается неизменной за счет притока тепла извне. Таким образом, процесс будет происходить изотермически.

В § 109 мы установили, что работа, совершаемая при обратимом изотермическом процессе, равна убыли свободной энергии (см. (109.11)). Следовательно, можно написать, что

$$d'A = -\alpha dS = -dF.$$

Полученный результат означает, что при изотермическом увеличении площади поверхностного слоя на  $dS$  свободная энергия жидкости возрастает на  $dF = \alpha dS$ . Отсюда вытекает, что коэффициент поверхностного натяжения  $\alpha$  представляет собой дополнительную свободную энергию, которой обладает единица площади поверхностного слоя. В соответствии с этим  $\alpha$  можно выражать не только в ньютонах на метр (или динах на сантиметр), но и в джоулях на квадратный метр (или в эргах на квадратный сантиметр).

Примеси сильно сказываются на величине поверхностного натяжения. Так, например, растворение в воде мыла уменьшает ее коэффициент поверхностного натяжения почти в полтора раза. Растворение в воде  $\text{NaCl}$ , напротив, приводит к увеличению  $\alpha$ .

С повышением температуры различие в плотностях жидкости и ее насыщенного пара уменьшается (см. § 123). В связи с этим уменьшается и коэффициент поверхностного натяжения. При критической температуре <sup>1)</sup>  $\alpha$  обращается в нуль.

## § 117. Давление под изогнутой поверхностью жидкости

Рассмотрим поверхность жидкости, опирающуюся на некоторый плоский контур (рис. 117.1, а). Если поверхность жидкости не плоская, то стремление ее к сокращению приведет к возникнове-

<sup>1)</sup> Определение критической температуры дано в § 123.

нию давления, дополнительного к тому, которое испытывает жидкость с плоской поверхностью. В случае выпуклой поверхности это дополнительное давление положительно (рис. 117.1, б), в случае вогнутой поверхности — отрицательно (рис. 117.1, в). В последнем случае поверхностный слой, стремясь сократиться, растягивает жидкость.

Величина добавочного давления, очевидно, должна возрастать с увеличением коэффициента поверхностного натяжения  $\alpha$  и кривизны поверхности. Вычислим добавочное давление для сферической поверхности жидкости. Для этого рассечем мысленно сферическую каплю жидкости диаметральной плоскостью на два полушария (рис. 117.2). Из-за поверхностного натяжения оба полушария притягиваются друг к другу с силой, равной

$$F = l\alpha = 2\pi R\alpha.$$

Эта сила прижимает друг к другу оба полушария по поверхности  $S = \pi R^2$  и, следовательно, обуславливает дополнительное давление

$$\Delta p = \frac{F}{S} = \frac{2\pi R\alpha}{\pi R^2} = \frac{2\alpha}{R}. \quad (117.1)$$

Кривизна сферической поверхности всюду одинакова и определяется радиусом сферы  $R$ . Очевидно, что чем меньше  $R$ , тем больше кривизна сферической поверхности. Кривизну произвольной поверхности принято характеризовать так называемой средней кривизной, которая может оказаться различной для разных точек поверхности.

Средняя кривизна определяется через кривизну нормальных

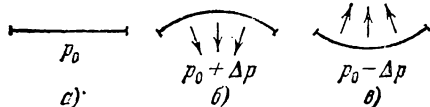


Рис. 117.1.

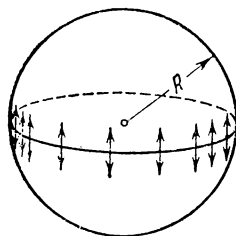


Рис. 117.2.

сечений. Нормальным сечением поверхности в некоторой точке называется линия пересечения этой поверхности с плоскостью, проходящей через нормаль к поверхности в рассматриваемой точке. Для сферы любое нормальное сечение представляет собой окружность радиуса  $R$  ( $R$  — радиус сферы). Величина  $H = 1/R$  дает кривизну сферы. В общем случае различные нормальные сечения, проведенные через одну и ту же точку, имеют различную кривизну. В геометрии доказывается, что полусумма обратных радиусов кривизны

$$H = \frac{1}{2} \left( \frac{1}{R_1} + \frac{1}{R_2} \right) \quad (117.2)$$

для любой пары взаимно перпендикулярных нормальных сечений имеет одно и то же значение. Эта величина и есть средняя кривизна поверхности в данной точке.

Радиусы  $R_1$  и  $R_2$  в формуле (117.2) — алгебраические величины. Если центр кривизны нормального сечения находится под данной поверхностью, соответствующий радиус кривизны положителен; если центр кривизны лежит над поверхностью, радиус кривизны отрицателен (рис. 117.3). Таким образом, неплоская поверхность может иметь среднюю кривизну, равную нулю. Для этого нужно, чтобы радиусы кривизны  $R_1$  и  $R_2$  были одинаковы по величине и противоположны по знаку.

Для сферы  $R_1 = R_2 = R$ , так что в соответствии с (117.2)  $H = 1/R$ . Заменив в (117.1)  $1/R$  через  $H$ , получим, что

$$\Delta p = 2H\alpha. \quad (117.3)$$

Лаплас доказал, что формула (117.3) справедлива для поверхности любой формы, если под  $H$  понимать среднюю кривизну поверхности в той точке, под которой определяется дополнительное давление. Подставив в (117.3) выражение (117.2) для средней кривизны, получим формулу для добавочного давления под произвольной поверхностью:

$$\Delta p = \alpha \left( \frac{1}{R_1} + \frac{1}{R_2} \right). \quad (117.4)$$

Она называется формулой Лапласа.

Добавочное давление (117.4) обуславливает изменение уровня жидкости в узких трубках (капиллярах), вследствие чего называется иногда капиллярным давлением.

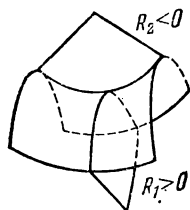


Рис. 117.3.

## § 118. Явления на границе жидкости и твердого тела

Все сказанное в § 116 об особых условиях, в которых находятся молекулы поверхностного слоя, целиком относится также и к твердым телам. Следовательно, твердые тела, как и жидкости, обладают поверхностным натяжением.

При рассмотрении явлений на границе раздела различных сред следует иметь в виду, что поверхностная энергия жидкости или твердого тела зависит не только от свойств данной жидкости или твердого тела, но и от свойств того вещества, с которым они граничат. Строго говоря, нужно рассматривать суммарную поверхностную энергию  $\alpha_{12}$  двух граничащих друг с другом веществ (рис. 118.1). Только если одно вещество газообразно, химически не реагирует с другим веществом и мало в нем растворяется, можно говорить

просто о поверхностной энергии (или коэффициенте поверхностного натяжения) второго жидкого или твердого тела.

Если граничат друг с другом сразу три вещества: твердое, жидкое и газообразное (рис. 118.2), то вся система принимает конфигурацию, соответствующую минимуму суммарной энергии (поверхностной, в поле сил тяжести и т. п.). В частности, контур, по которому граничат все три вещества, располагается на поверхности

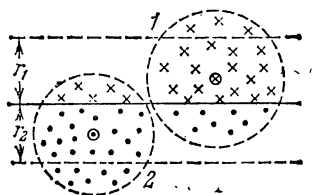


Рис. 118.1.

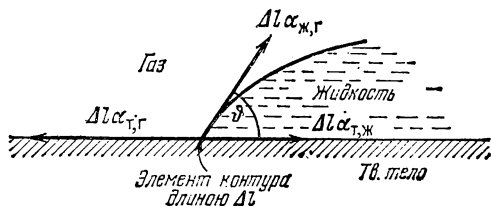


Рис. 118.2.

твердого тела таким образом, чтобы сумма проекций всех приложенных к каждому элементу контура сил поверхностного натяжения на направление, в котором элемент контура может перемещаться (т. е. на направление касательной к поверхности твердого тела), была равна нулю. Из рис. 118.2 следует, что условие равновесия элемента контура длиной  $\Delta l$  запишется следующим образом:

$$\Delta l \alpha_{г, г} = \Delta l \alpha_{т, ж} + \Delta l \alpha_{ж, г} \cos \varphi, \quad (118.1)$$

где  $\alpha_{т, г}$ ,  $\alpha_{т, ж}$  и  $\alpha_{ж, г}$  — коэффициенты поверхностного натяжения на границах: твердое тело — газ, твердое тело — жидкость и жидкость — газ.

Отсчитываемый внутри жидкости угол  $\varphi$  между касательными к поверхности твердого тела и к поверхности жидкости называется **краевым углом**. В соответствии с (118.1)

$$\cos \varphi = \frac{\alpha_{т, г} - \alpha_{т, ж}}{\alpha_{ж, г}} \quad (118.2)$$

Краевой угол определяется выражением (118.2) только при условии, что

$$\frac{|\alpha_{т, г} - \alpha_{т, ж}|}{\alpha_{ж, г}} \leq 1. \quad (118.3)$$

Если это условие не выполняется, т. е.  $|\alpha_{т, г} - \alpha_{т, ж}| > \alpha_{ж, г}$ , ни при каком значении  $\varphi$  не может установиться равновесие. Это имеет место в двух случаях.

1)  $\alpha_{т, г} > \alpha_{т, ж} + \alpha_{ж, г}$ . Как бы ни был мал угол  $\varphi$ , сила  $\alpha_{т, г}$  перевешивает две другие (рис. 118.3, а). В этом случае жидкость неограниченно растекается по поверхности твердого тела — имеет

место полное смачивание. Замена поверхности твердое тело — газ двумя поверхностями, твердое тело — жидкость и жидкость — газ, оказывается энергетически выгодной. При полном смачивании краевой угол равен нулю.

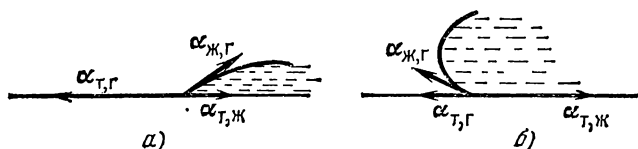


Рис. 118.3.

2)  $\alpha_{т,ж} > \alpha_{т,г} + \alpha_{ж,г}$ . Как бы ни был угол  $\vartheta$  близок к  $\pi$ , сила  $\alpha_{т,ж}$  перевешивает две другие (рис. 118.3, б). В этом случае поверхность, по которой жидкость граничит с твердым телом, стягивается в точку, жидкость отделяется от твердой поверхности — имеет место полное несмачивание. Замена поверхности твердое тело — жидкость двумя поверхностями, твердое тело — газ и жидкость — газ, оказывается энергетически выгодной. При полном несмачивании краевой угол равен  $\pi$ .

При соблюдении условия (118.3) краевой угол может оказаться острым или тупым в зависимости от соотношения между  $\alpha_{т,г}$  и  $\alpha_{г,ж}$ .

Если  $\alpha_{т,г}$  больше, чем  $\alpha_{г,ж}$ , то  $\cos \vartheta > 0$  и угол  $\vartheta$  — острый (рис. 118.4, а). В этом случае имеет место частичное смачивание. Если  $\alpha_{т,г}$  меньше, чем  $\alpha_{т,ж}$ , то  $\cos \vartheta < 0$  и угол  $\vartheta$  — тупой (рис. 118.4, б). В этом случае имеет место частичное несмачивание.

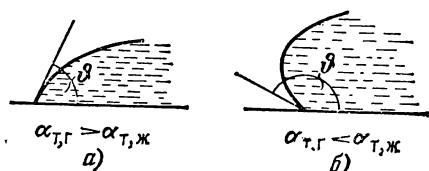


Рис. 118.4.

Несмачивание может приводить к любопытным явлениям.

Известно, что смазанная жиром иглолка или бритвенное лезвие могут держаться на поверхности воды. Объяснение этого, на первый взгляд удивительного, явления проще всего дать, исходя из энергетических соображений. Смазанная жиром поверхность стали не смачивается водой; поверхность соприкосновения сталь — вода обладает гораздо большей энергией, чем поверхность сталь — воздух или воздух — вода. Полное погружение иглы в воду сопровождается увеличением поверхностной энергии от значения  $S\alpha_{т,г}$  (сталь — воздух) до значения  $S\alpha_{т,ж}$  (сталь — вода), где  $S$  — поверхность иглы. Изменение поверхностной энергии при погружении описывается изображенной на рис. 118.5 кривой  $E_{пов}$ . Буквой  $h$  обозначена высота иглы над дном сосуда;  $h_0$  — высота поверхности жидкости над уровнем дна. Зависимость от  $h$  потенциальной

энергии иглы в поле земного тяготения  $E_{\text{тяг}}$  имеет вид прямой, проходящей через начало координат. Полная энергия  $E_{\text{полн}}$ , равная сумме  $E_{\text{пов}}$  и  $E_{\text{тяг}}$ , имеет минимум при  $h=h_0$ , что и дает возможность игле плавать на поверхности воды. Если, нажав на иглу, погрузить ее на такую глубину, чтобы полная энергия прошла через максимум и стала уменьшаться, то игла дальше будет погружаться сама и утонет.

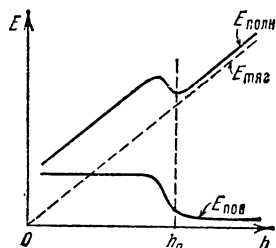


Рис. 118.5.

Аналогично объясняется возможность «носить воду в решетке». Если вода не смачивает решетку (этого можно добиться, по-



Рис. 118.6.

крыв нити, из которых сплетено решетку, парафином) и слой воды не очень велик, то небольшое перемещение уровня жидкости вниз (рис. 118.6) будет сопровождаться увеличением поверхностной энергии, превосходящим по величине уменьшение энергии в поле сил тяготения. Поэтому вода будет удерживаться в решетке, не проливаясь.

## § 119. Капиллярные явления

Существование краевого угла приводит к тому, что вблизи стенок сосуда наблюдается искривление поверхности жидкости. В узкой трубке (капилляре <sup>1)</sup>) или в узком зазоре между двумя стенками искривленной оказывается вся поверхность. Если жидкость смачивает стенки, поверхность имеет вогнутую форму, если не смачивает — выпуклую (рис. 119.1). Такого рода изогнутые поверхности жидкости называются м е н и с к а м и.

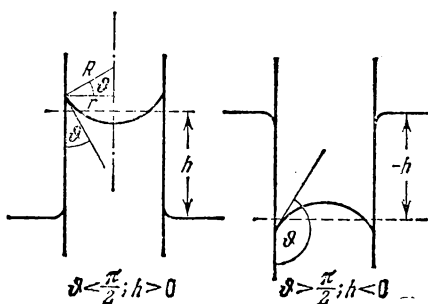


Рис. 119.1.

Если капилляр погрузить одним концом в жидкость, налитую в широкий сосуд, то под искривленной поверхностью в капилляре давление будет отличаться от давления под плоской поверхностью в широком сосуде на величину  $\Delta p$ , определяемую формулой

<sup>1)</sup> Лат. capillus означает волос. Капилляр — «трубка, тонкая, как волос».

(117.4). В результате при смачивании капилляра уровень жидкости в нем будет выше, чем в сосуде, при несмачивании — ниже.

Изменение высоты уровня жидкости в узких трубках или зазорах получило название **капиллярности**. В широком смысле под капиллярными явлениями понимают все явления, обусловленные существованием поверхностного натяжения. В частности, обусловленное поверхностным натяжением давление (117.4) называют, как уже отмечалось, капиллярным давлением.

Между жидкостью в капилляре и широком сосуде устанавливается такая разность уровней  $h$ , чтобы гидростатическое давление  $\rho gh$  уравновешивало капиллярное давление  $\Delta p$ :

$$\rho gh = 2\alpha/R. \quad (119.1)$$

В этой формуле  $\alpha$  — поверхностное натяжение на границе жидкость — газ,  $R$  — радиус кривизны мениска. Радиус кривизны мениска  $R$  можно выразить через краевой угол  $\vartheta$  и радиус капилляра  $r$ . В самом деле, из рис. 119.1 видно, что  $R = r/\cos \vartheta$ . Подставив это значение в (119.1) и разрешив получившееся уравнение относительно  $h$ , приходим к формуле

$$h = 2\alpha \cos \vartheta / \rho gr. \quad (119.2)$$

В соответствии с тем, что смачивающая жидкость поднимается по капилляру, а несмачивающая — опускается, формула (119.2) дает в случае  $\vartheta < \pi/2$  ( $\cos \vartheta > 0$ ) положительные  $h$  и в случае  $\vartheta > \pi/2$  ( $\cos \vartheta < 0$ ) отрицательные  $h$ .

При выводе выражения (119.2) мы предполагали, что форма мениска является сферической. Формулу для  $h$  можно получить также на основании энергетических соображений, причем не возникает необходимости делать какие-либо специальные предположения о форме мениска. Равновесное положение мениска будет соответствовать минимуму энергии  $E$  системы жидкость — капилляр. Эта энергия складывается из поверхностной энергии на границах жидкость — стенка, жидкость — газ и стенка — газ, а также из потенциальной энергии жидкости в поле земного тяготения.

Найдем приращение энергии  $dE$ , соответствующее приращению высоты поднятия жидкости в капилляре  $dh$ . При возрастании высоты на  $dh$  поверхность соприкосновения жидкости со стенкой капилляра увеличивается на  $2\pi r dh$ , вследствие чего энергия получает приращение, равное  $2\pi r \alpha_{т, ж} dh$ . Одновременно уменьшается поверхность соприкосновения стенки с газом, что сопровождается приращением энергии, равным  $-2\pi r \alpha_{т, г} dh$ . Потенциальная энергия в поле земного тяготения получает приращение, равное силе

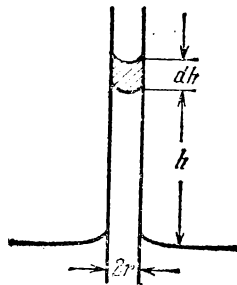


Рис. 119.2.

тяжести, действующей на заштрихованный объем жидкости (рис. 119.2), умноженной на  $h$ , т. е. равно  $g\rho\pi r^2 h dh$ . Изменением уровня жидкости в широком сосуде можно пренебречь. Таким образом,

$$dE = 2\pi r (\alpha_{т, ж} - \alpha_{т, г}) dh + g\rho\pi r^2 h dh.$$

Отсюда следует, что

$$\frac{dE}{dh} = 2\pi r (\alpha_{т, ж} - \alpha_{т, г}) + g\rho\pi r^2 h.$$

Приравняв эту производную нулю, получим условие равновесия, из которого вытекает, что

$$h = \frac{2(\alpha_{т, г} - \alpha_{т, ж})}{\rho g r}. \quad (119.3)$$

В соответствии с формулой (118.2)  $\alpha_{т, г} - \alpha_{т, ж} = \alpha_{ж, г} \cos \vartheta$ . Произведя в (119.3) такую замену и обозначив  $\alpha_{ж, г}$  просто  $\alpha$ , получим формулу (119.2).

## ГЛАВА XV

### ФАЗОВЫЕ РАВНОВЕСИЯ И ПРЕВРАЩЕНИЯ

#### § 120. Введение

В термодинамике фазой называется совокупность однородных, одинаковых по своим свойствам частей системы. Поясним понятие фазы на следующих примерах. В закрытом сосуде находится вода и над ней смесь воздуха и паров воды. В этом случае мы имеем дело с системой, состоящей из двух фаз: одну фазу образует вода, вторую смесь воздуха и паров воды. Если в воду добавить несколько кусочков льда, то все эти кусочки образуют третью фазу. Различные кристаллические модификации какого-либо вещества также представляют собой разные фазы. Так, например, алмаз и графит являются различными твердыми фазами углерода.

При определенных условиях разные фазы одного и того же вещества могут находиться в равновесии друг с другом, соприкасаясь между собой. Равновесие двух фаз может иметь место лишь в определенном интервале температур, причем каждому значению температуры  $T$  соответствует вполне определенное давление  $p$ , при котором возможно равновесие. Таким образом, состояния равновесия двух фаз изобразятся на диаграмме  $(p, T)$  линией

$$p=f(T). \quad (120.1)$$

Три фазы одного и того же вещества (твердая, жидкая и газообразная, или жидкая и две твердые) могут находиться в равновесии только при единственных значениях температуры и давления, которым на диаграмме  $(p, T)$  соответствует точка, называемая т р о й н о й. Эта точка лежит на пересечении кривых равновесия фаз, взятых попарно.

В термодинамике доказывается в согласии с опытом, что равновесие более чем трех фаз одного и того же вещества невозможно.

Переход из одной фазы в другую обычно сопровождается поглощением или выделением некоторого количества тепла, которое называется скрытой теплотой перехода, или просто теплотой перехода. Такие переходы называются фазовыми переходами первого

рода. Существуют переходы из одной кристаллической модификации в другую, которые не связаны с поглощением или выделением тепла. Такие переходы называются фазовыми переходами второго рода <sup>1)</sup>. Мы ограничимся рассмотрением только переходов первого рода.

## § 121. Испарение и конденсация

В жидких и твердых телах при любой температуре имеется некоторое количество молекул, энергия которых оказывается достаточной для того, чтобы преодолеть притяжение к другим молекулам, покинуть поверхность жидкости или твердого тела и перейти в газообразную фазу. Переход жидкости в газообразное состояние называется **испарением**, переход в газообразное состояние твердого тела носит название **сублимации**.

Все твердые тела без исключения в той или иной степени сублимируют. У одних веществ, таких, например, как углекислота, процесс сублимации протекает с заметной скоростью; у других веществ этот процесс при обычных температурах столь незначителен, что практически не обнаруживается.

При испарении и сублимации тело покидают наиболее быстрые молекулы, вследствие чего средняя энергия оставшихся молекул уменьшается и тело охлаждается. Чтобы поддерживать температуру испаряющегося (или сублимирующегося) тела неизменной, к нему нужно непрерывно подводить тепло. Тепло  $q$ , которое необходимо сообщить единице массы вещества для того, чтобы превратить ее в пар, находящийся при той же температуре, какую имело вещество до испарения, называется **удельной теплотой испарения** (или сублимации).

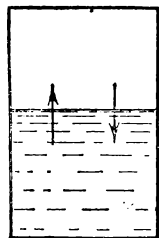


Рис. 121.1.

При конденсации тепло, затраченное при испарении, отдается обратно: образующаяся при конденсации жидкость (или твердое тело) нагревается.

Рассмотрим процесс установления равновесия между жидкостью и ее паром. Возьмем герметичный сосуд, частично заполненный жидкостью (рис. 121.1), и допустим, что первоначально из пространства над жидкостью вещество было полностью удалено. Вследствие процесса испарения пространство над жидкостью станет наполняться молекулами. Молекулы, перешедшие в газообразную фазу, двигаясь хаотически, ударяются о поверхность жид-

<sup>1)</sup> Фазовые переходы второго рода не исчерпываются переходами между различными кристаллическими модификациями. К их числу принадлежит переход в сверхпроводящее состояние, совершаемый в отсутствие магнитного поля, а также переход между двумя жидкими фазами гелия, называемыми гелием-I и гелием-II.

кости, причем часть таких ударов будет сопровождаться переходом молекул в жидкую фазу. Количество молекул, переходящих в единицу времени в жидкую фазу, очевидно, пропорционально количеству ударяющихся о поверхность молекул, которое в свою очередь пропорционально  $n\langle v \rangle$  (см. (95.6)), т. е. растет с давлением  $p$ . Следовательно, наряду с испарением протекает обратный процесс перехода молекул из газообразной в жидкую фазу, причем интенсивность его растет по мере увеличения плотности молекул в пространстве над жидкостью. При достижении некоторого, вполне определенного (для данной температуры) давления количества молекул, покидающих жидкость и возвращающихся в нее, станут равны. Начиная с этого момента, плотность пара перестает изменяться. Между жидкостью и паром установится подвижное равновесие, которое будет существовать до тех пор, пока не изменится объем или температура системы. Пар, находящийся в равновесии со своей жидкостью, называется **насыщенным**. Давление, при котором наблюдается равновесие, называется **давлением (или упругостью) насыщенного пара**.

Количество молекул, покидающих жидкость в единицу времени, сильно растет с температурой. Количество молекул, ударяющихся о поверхность жидкости, зависит от температуры в меньшей степени (через  $\langle v \rangle$  как  $\sqrt{T}$ ). Поэтому при повышении температуры равновесие между фазами нарушается, и в течение некоторого времени поток молекул в направлении жидкость  $\rightarrow$  пар будет превышать поток в направлении пар  $\rightarrow$  жидкость. Это продолжается до тех пор, пока возрастание давления не приведет снова к установлению подвижного равновесия. Таким образом, давление, при котором устанавливается подвижное равновесие между жидкостью и паром, т. е. давление насыщенных паров, оказывается зависящим от температуры. Вид этой зависимости показан на рис. 121.2. Смысл обозначений  $T_{кр}$  и  $p_{кр}$  выяснится в § 123;  $T_r$  — тройная точка (§ 127).

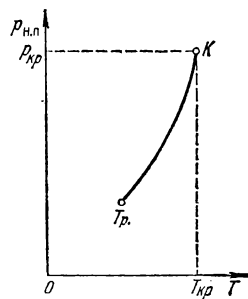


Рис. 121.2.

Если увеличить объем сосуда, давление пара упадет и равновесие будет нарушено. В результате превратится в пар дополнительное количество жидкости, такое, чтобы давление снова стало равным  $p_{н.п.}$ . Аналогично уменьшение объема приведет к превращению некоторого количества пара в жидкость.

Все сказанное о равновесии между жидкостью и газом справедливо и для системы твердое тело — газ. Каждой температуре соответствует определенное значение давления, при котором устанавливается подвижное равновесие между твердым телом и газом.

Для многих тел, таких, например, как твердые металлы, это давление при обычных температурах настолько мало, что не может быть обнаружено самыми чувствительными приборами.

## § 122. Равновесие жидкости и насыщенного пара

Рассмотрим процесс сжатия вещества при постоянной температуре. Первоначально вещество предполагается газообразным. Вначале по мере уменьшения объема давление газа будет расти (рис. 122.1). По достижении объема  $V_r$  давление перестает изменяться, а вещество перестает быть однородным — часть газа конденсируется в жидкость. Происходит расслоение вещества на две фазы: жидкую

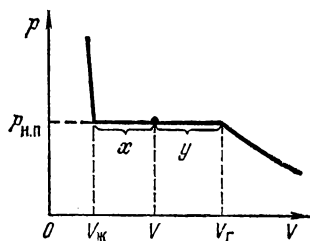


Рис. 122.1.

и газообразную. По мере дальнейшего уменьшения объема все большая часть вещества переходит в жидкую фазу, причем переход осуществляется при постоянном давлении  $p_{н.п.}$  (давлении насыщенного пара). После того как процесс конденсации вещества заканчивается (это происходит при достижении объема  $V_{ж}$ ), дальнейшее уменьшение объема начинает сопровождаться быстрым ростом давления.

На рис. 122.1  $V_r$  есть объем, занимаемый веществом в газообразном состоянии при давлении  $p_{н.п.}$ ,  $V_{ж}$  — объем вещества в жидком состоянии при том же давлении. При любом промежуточном значении объема  $V$  часть вещества с массой  $m_{ж}$  будет находиться в жидком, а часть с массой  $m_{п}$  — в парообразном состоянии. Найдем отношение  $m_{ж}/m_{п}$ .

Назовем удельным объемом  $V'$  объем единицы массы вещества. Тогда, если масса вещества равна  $m$ , то удельные объемы насыщенного пара и жидкости при давлении  $p_{н.п.}$  будут равны

$$V'_п = \frac{V_r}{m}, \quad V'_{ж} = \frac{V_{ж}}{m}. \quad (122.1)$$

В состоянии, при котором масса жидкой фазы равна  $m_{ж}$ , а масса пара равна  $m_{п}$ , на долю жидкости будет приходиться объем  $V'_{ж}m_{ж}$ , а на долю насыщенного пара — объем  $V'_пm_{п}$ . В сумме оба эти объема должны быть равны объему  $V$

$$V = V'_{ж}m_{ж} + V'_пm_{п}.$$

Подставив сюда выражения (122.1) для удельных объемов и заменив массу  $m$  суммой  $m_{ж} + m_{п}$ , получим:

$$V = V_{ж} \frac{m_{ж}}{m_{ж} + m_{п}} + V_r \frac{m_{п}}{m_{ж} + m_{п}}.$$

Отсюда

$$\frac{m_{\text{ж}}}{m_{\text{п}}} = \frac{V_{\text{г}} - V}{V - V_{\text{ж}}} = \frac{y}{x} \quad (122.2)$$

(см. рис. 122.1). Таким образом, отношение масс жидкости и насыщенного пара в двухфазном состоянии равно отношению отрезков, на которые делит горизонтальный участок изотермы точка, изображающая состояние.

Отметим, что при температурах, далеких от критической (о критической температуре речь идет в следующем параграфе), различие между объемами жидкости и пара бывает намного больше, чем показанное на рис. 122.1. Например, удельный объем насыщенного водяного пара при 100°C в 1600 раз превышает удельный объем жидкой воды при той же температуре.

Итак, на диаграмме ( $p$ ,  $V$ ) состояниям равновесия между жидкостью и ее насыщенным паром соответствует горизонтальный участок изотермы. Этот результат является общим для всех двухфазных состояний — на изотерме, изображенной в переменных  $p$  и  $V$ , двухфазной системе соответствует горизонтальный участок. Концы этого участка отвечают объемам  $V_1$  и  $V_2$ , занимаемым веществом в первой и второй фазах. Этими фазами могут быть жидкость и насыщенный пар, либо жидкость и кристаллы (см. рис. 125.2), либо, наконец, две кристаллические модификации одного и того же вещества. Во всех случаях справедливо соотношение, аналогичное (122.2):

$$\frac{m_1}{m_2} = \frac{V_2 - V}{V - V_1}$$

( $m_1$  и  $m_2$  — массы вещества в первой и второй фазах).

### § 123. Критическое состояние

На рис. 123.1 приведены изотермы для нескольких значений температуры. Из рисунка видно, что с повышением температуры горизонтальный участок изотермы сокращается, стягиваясь в точку при температуре  $T_{\text{кр}}$ , называемой к р и т и ч е с к о й. Соответственно уменьшается различие в удельных объемах, а следовательно, и в плотностях жидкости и насыщенного пара. При критической температуре это различие полностью исчезает. Одновременно исчезает всякое различие между жидкостью и паром. Температурный ход плотности жидкости и насыщенного пара показан на рис. 123.2.

Точка  $K$ , являющаяся пределом, к которому приближаются горизонтальные отрезки изотерм при стремлении температуры к критическому значению  $T_{\text{кр}}$ , именуется к р и т и ч е с к о й т о ч к о й. Состояние, изображаемое точкой  $K$ , называется к р и т и ч е с к и м с о с т о я н и е м вещества. Объем  $V_{\text{кр}}$ , давление  $p_{\text{кр}}$  и температура  $T_{\text{кр}}$ , отвечающие критическому состоянию, называются к р и

тическими величинами. Для критической изотермы точка  $K$  служит точкой перегиба. Касательная к изотерме в точке  $K$  расположена параллельно оси  $V$ .

Из рис. 123.1 следует, что давление насыщенного пара растет с температурой, достигая при критической температуре значения  $p_{кр}$ . При температурах выше критической понятие насыщенного

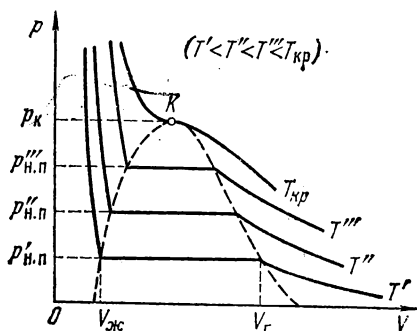


Рис. 123.1.

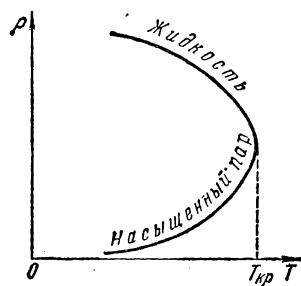


Рис. 123.2.

пара теряет смысл. Поэтому кривая зависимости давления насыщенного пара от температуры заканчивается в критической точке (см. рис. 121.2).

Если провести линию через крайние точки горизонтальных участков изотерм (рис. 123.1), получается колоколообразная кривая, ограничивающая область двухфазных состояний вещества. При температурах выше критической вещество при любом давлении оказывается однородным. При таких температурах никаким сжатием не может быть осуществлено охлаждение вещества.

Понятие критической температуры впервые было введено Д. И. Менделеевым в 1860 г. Менделеев назвал ее температурой абсолютного кипения жидкости и рассматривал как ту температуру, при которой исчезают силы сцепления между молекулами и жидкость превращается в пар, независимо от давления и занимаемого ею объема.

Колоколообразная кривая и участок критической изотермы, лежащий слева от точки  $K$ , делят диаграмму  $(p, V)$  на три области (рис. 123.3). Наклонной штриховкой помечена область однородных жидких состояний вещества. Под колоколообразной кривой располагается область двухфазных состояний и, наконец, область, лежащая справа от колоколообразной кривой и верхней ветви критической изотермы, представляет собой область однородных газообразных состояний вещества. В последней можно особо выделить часть, лежащую под правой ветвью критической изотермы, назвав ее областью пара. Любое состояние в этой области отличается от

остальных газообразных состояний в том отношении, что при изотермическом сжатии вещество, первоначально находившееся в таком состоянии, претерпевает процесс ожиджения. Вещество, находящееся в одном из состояний при температуре выше критической, не может быть ожиджено никаким сжатием. Подразделение газообразных состояний на газ и пар не является общепринятым.

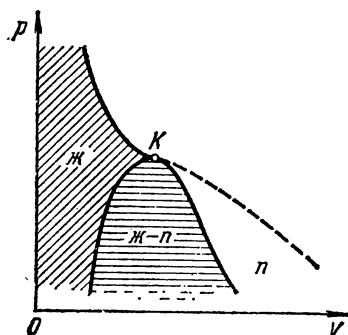


Рис. 123.3.

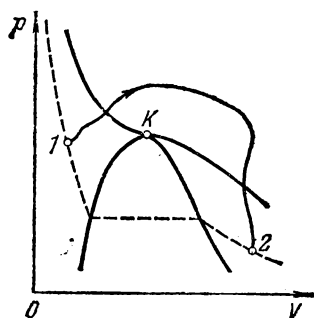


Рис. 123.4.

Выбрав процесс перехода так, чтобы он не пересекал двухфазную область (рис. 123.4), можно осуществить переход из жидкого состояния в газообразное (или обратно) без расслаивания вещества на две фазы. В этом случае в процессе перехода вещество будет все время оставаться однородным.

## § 124. Пересыщенный пар и перегретая жидкость

В § 91 приведено уравнение (91.2), предложенное Ван-дер-Ваальсом для описания состояния газов при больших плотностях. На рис. 124.1 изображены изотермы Ван-дер-Ваальса, т. е. кривые, описываемые уравнением (91.2), для нескольких температур.

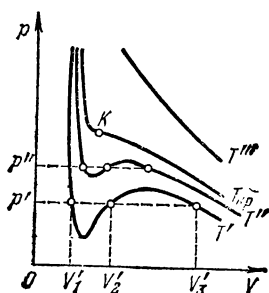


Рис. 124.1.

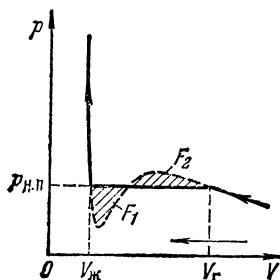


Рис. 124.2.



отрицательных давлений (см. нижнюю изотерму на рис. 124.3). Вещество под отрицательным давлением, очевидно, находится в состоянии не сжатия, а растяжения. Такие состояния также могут быть при известных условиях реализованы. Таким образом, участок 5—6 на нижней изотерме соответствует перегретой, а участок 6—7 — растянутой жидкости.

Рассмотрим условия, при которых могут быть осуществлены метастабильные состояния. Начнем с пересыщенного пара. Если пар совершенно не содержит посторонних включений, конденсация его в жидкость начаться не может. Для образования капельки необходимо, чтобы большое количество молекул одновременно сблизилось на расстояния того же порядка, что и расстояния между молекулами в жидкости, а это совершенно невероятно. Для возникнове-

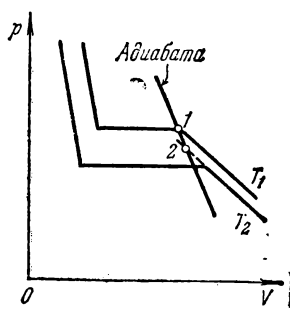


Рис. 124.4.

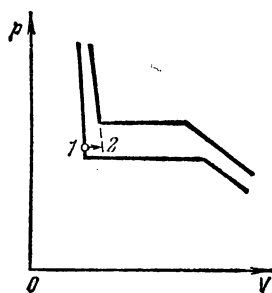


Рис. 124.5.

ния конденсации необходимо наличие так называемых *центров конденсации*, которые улавливают подлетающие к ним молекулы и переводят их в конденсированную фазу. Центрами конденсации могут служить пылинки, капельки жидкости и, в особенности, заряженные частицы (ионы).

Таким образом, если пар тщательно очистить от посторонних включений и ионов, то он может находиться при давлении, превышающем давление насыщенных паров  $p_{н.п}$  при данной температуре. Такое состояние будет метастабильным: достаточно возникнуть хотя бы одному центру конденсации, как состояние пересыщенного пара будет нарушено и вещество перейдет в двухфазное состояние.

Практически пересыщенный пар можно получить, подвергнув непересыщенный пар резкому расширению. Быстрое расширение происходит без теплообмена с внешней средой и сопровождается охлаждением пара. Точка, изображающая состояние пара, перемещается при этом по адиабате. Адиабата, как было показано в § 88, идет круче, чем изотерма, вследствие чего пар из стабильного состояния 1, соответствующего температуре  $T_1$  (рис. 124.4), может

перейти в метастабильное состояние 2, соответствующее более низкой температуре  $T_2$ . Такой процесс используется в камере Вильсона — приборе, предназначенном для наблюдения следов заряженных частиц (например,  $\alpha$ -частиц). Содержащийся в камере Вильсона воздух, насыщенный парами воды или спирта, подвергается резкому расширению. В результате воздух охлаждается и пары оказываются в состоянии пересыщения. Влетевшая в камеру частица вызывает ионизацию молекул на своем пути. Пересыщенный пар конденсируется на возникших ионах в мелкие капельки, образуя хорошо видимый след.

Рассмотрим условия получения перегретой жидкости. Процесс бурного парообразования (т. е. кипения) может, как и процесс конденсации, происходить на инородных включениях, например на песчинках или пузырьках газа, растворенного в жидкости. Если жидкость тщательно очистить от твердых включений и растворенных в ней газов, то путем нагревания ее можно перевести в состояние с давлением, меньшим  $p_{н.п}$  при данной температуре, без того, чтобы жидкость вскипала. Это и будет состояние перегретой жидкости.

Переход жидкости из обычного состояния в перегретое показан на рис. 124.5 (см. показанный стрелкой переход 1—2). Состояние перегретой жидкости является метастабильным. Достаточно бросить в перегретую жидкость песчинку для того, чтобы жидкость вскипела и вещество перешло в стабильное двухфазное состояние (см. переход C—D на рис. 124.3).

Растянутую жидкость, например ртуть, можно получить следующим образом. Если погрузить в ртуть запаянную с одного конца длинную стеклянную трубку и, повернув ее запаянным концом вверх, осторожно вытаскивать наружу, то в такой трубке можно получить столб ртути, значительно превышающий 760 мм. Следовательно, ртуть в трубке будет удерживаться не силой атмосферного давления, а имеющимся между молекулами сцеплением. Ртуть в трубке будет находиться в состоянии растяжения, т. е. под отрицательным давлением.

## § 125. Плавление и кристаллизация

Переход кристаллического тела в жидкое состояние происходит при определенной для каждого вещества температуре и требует затраты некоторого количества тепла, называемого **теплотой плавления**.

Если веществу, первоначально находившемуся в кристаллическом состоянии, сообщать каждую секунду одно и то же количество тепла, то изменение температуры тела со временем будет таким, как показано на рис. 125.1. Вначале температура тела все время растет. По достижении температуры плавления  $T_{пл}$  (точка 1 на

рис. 125.1), несмотря на то, что к телу по-прежнему продолжает подводиться тепло, температура его перестает изменяться. Одновременно начинается процесс плавления твердого тела, в ходе которого все новые и новые порции вещества превращаются в жидкость. После того как процесс плавления будет закончен и все вещество полностью перейдет в жидкое состояние (точка 2 на рис. 125.1), температура снова начнет повышаться.

Кривая нагревания аморфного тела выглядит иначе (см. пунктирную кривую на рис. 125.1). При равномерном подводе тепла температура аморфного тела непрерывно растет. Для аморфных тел нет определенной температуры перехода в жидкое состояние. Этот

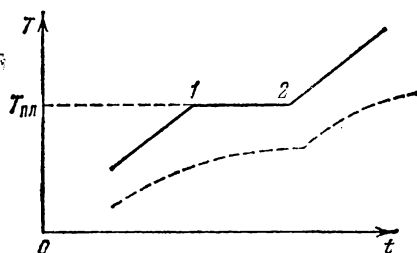


Рис. 125.1.

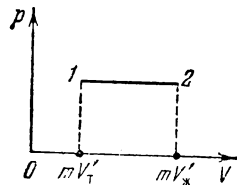


Рис. 125.2.

переход совершается непрерывно, а не скачком. Можно лишь указать интервал температур, в пределах которого происходит размягчение тела. Это объясняется тем, что жидкости и аморфные тела отличаются лишь степенью подвижности молекул, — аморфные тела, как уже отмечалось, представляют собой сильно переохлажденные жидкости.

Температура плавления зависит от давления. Таким образом, переход из кристаллического в жидкое состояние происходит при вполне определенных условиях, характеризуемых значениями давления и температуры. Совокупности этих значений соответствует кривая на диаграмме ( $p$ ,  $T$ ), которую принято называть кривой плавления. Кривая плавления идет очень круто. Для того, например, чтобы изменить на 1 К температуру таяния льда, необходимо изменить давление на 132 ат.

Точки кривой плавления определяют условия, при которых кристаллическая и жидкая фазы могут находиться в равновесии друг с другом. Такое равновесие возможно при любом соотношении между массами жидкости и кристаллов, т. е. при значениях объема системы, заключенных в пределах от  $mV'_т$  до  $mV'_ж$ , где  $m$  — масса системы, а  $V'_т$  и  $V'_ж$  — удельные объемы твердой и жидкой фаз. Поэтому каждой точке кривой плавления соответствует на диаграмме ( $p$ ,  $V$ ) отрезок горизонтальной прямой (рис. 125.2). Поскольку вещество в состояниях, изображаемых точками этого от-

резка, имеет одну и ту же температуру, прямая 1—2 на рис. 125.2 представляет собой участок изотермы, соответствующий двухфазным состояниям вещества (ср. с горизонтальными участками изотерм на рис. 123.1).

Обратный плавлению процесс кристаллизации протекает следующим образом. При охлаждении жидкости до температуры, при которой твердая и жидкая фазы могут находиться в равновесии при данном давлении (т. е. до той же температуры, при которой происходило плавление), начинается одновременный рост кристалликов вокруг так называемых зародышей или центров кристаллизации. Разрастаясь все более, отдельные кристаллики в конце концов смыкаются друг с другом, образуя поликристаллическое твердое тело.

Центрами кристаллизации могут служить взвешенные в жидкости твердые частицы. Тщательно очищенную от таких частиц жидкость можно охладить ниже температуры кристаллизации без того, чтобы началось образование кристалликов. Состояние такой переохлажденной жидкости является метастабильным. Обычно достаточно попасть в такую жидкость пылинке, для того чтобы она распалась на жидкость и кристаллы, находящиеся при равновесной температуре. Однако в некоторых случаях при больших переохлаждениях подвижность молекул жидкости оказывается столь незначительной, что метастабильное состояние может сохраняться очень долго. Жидкость в таких случаях обладает весьма малой текучестью и представляет собой аморфное твердое тело.

Процесс кристаллизации сопровождается выделением такого же количества тепла, которое поглощается при плавлении.

## § 126. Уравнение Клапейрона — Клаузиуса

В предыдущих параграфах мы выяснили, что две любые фазы вещества могут находиться в равновесии лишь при определенном давлении, величина которого зависит от температуры. Общий вид этой зависимости можно получить, воспользовавшись понятием энтропии. Для этого рассмотрим цикл Карно для системы, состоящей из находящихся в равновесии двух фаз данного вещества.

На диаграмме ( $p$ ,  $V$ ) цикл Карно для двухфазной системы имеет вид, показанный на рис. 126.1 (температуры нагревателя и холодильника предполагаются отличающимися на очень малую величину  $\Delta T$ ). Цифрами 1 и 2 помечены крайние точки горизонтального участка изотемы с температурой  $T$ . Состояния 1 и 2 являются однофазными состояниями. Все промежуточные точки отрезка 1—2 изображают двухфазные состояния, отличающиеся друг от друга распределением массы вещества между первой и второй фазами.

Изотермический процесс  $A \rightarrow B$  сопровождается фазовым превращением некоторой массы вещества  $m$ . При этом объем вещества

получает приращение, равное  $m(V'_2 - V'_1)$ , где  $V'_1$  и  $V'_2$  — удельные объемы первой и второй фаз. Для того чтобы такое превращение могло произойти, веществу нужно сообщить количество тепла  $Q_1$ , равное  $mq_{12}$ , где  $q_{12}$  — удельная теплота, поглощаемая при переходе из состояния 1 в состояние 2 при температуре  $T$ . Тепло  $Q_1$  представляет собой то тепло, которое получает система в ходе цикла от нагревателя. Холодильнику тепло отдается в ходе изотермического процесса  $C \rightarrow D$ . Количество отданного тепла равно  $Q'_2 = m'q'_{12}$ , где  $q'_{12}$  — теплота перехода 1—2 при температуре  $T - \Delta T$ , а  $m'$  — масса вещества, претерпевающая фазовое превращение в ходе процесса  $C \rightarrow D$ . Эта величина несколько отличается от  $m$ , так как некоторая масса вещества претерпевает фазовые превращения в ходе адиабатических процессов.

На изотермическом участке  $A \rightarrow B$  энтропия системы получает приращение  $\Delta S_1$ , равное  $Q_1/T$ . На изотермическом участке  $C \rightarrow D$  приращение энтропии равно  $\Delta S_2 = -Q'_2/(T - \Delta T)$ . В ходе адиабатических процессов  $B \rightarrow C$  и  $D \rightarrow A$  энтропия не изменяется. Полное приращение энтропии за цикл равно нулю. Следовательно,

$$\Delta S_1 + \Delta S_2 = \frac{Q_1}{T} - \frac{Q'_2}{T - \Delta T} = 0.$$

Отсюда

$$(Q_1 - Q'_2) T = Q'_2 \Delta T. \quad (126.1)$$

Согласно (104.3)  $Q_1 - Q'_2$  равно работе, совершаемой за цикл. Эту работу можно найти, вычислив площадь цикла. Приближенно площадь цикла можно считать равной  $m(V'_2 - V'_1)\Delta p$  (см. рис. 126.1). Таким образом, мы приходим к соотношению

$$Q_1 - Q'_2 \approx m(V'_2 - V'_1)\Delta p. \quad (126.2)$$

В пределе при  $\Delta p$ , стремящемся к нулю (для чего необходимо, чтобы  $\Delta T$  также стремилось к нулю), соотношение (126.2) превращается в строгое равенство.

Подставим в (126.1) вместо  $Q_1 - Q'_2$  выражение (126.2). Кроме того, заменим  $Q_1$  через  $mq_{12}$ . В результате получим, что

$$m(V'_2 - V'_1)T\Delta p \approx mq_{12}\Delta T.$$

Отсюда

$$\frac{\Delta p}{\Delta T} \approx \frac{q_{12}}{T(V'_2 - V'_1)}.$$

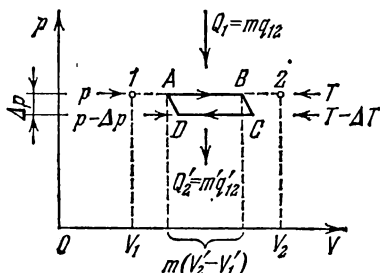


Рис. 126.1.

Наконец, совершив предельный переход  $\Delta T \rightarrow 0$ , придем к строгому равенству

$$\frac{dp}{dT} = \frac{q_{12}}{T(V_2' - V_1')} \quad (126.3)$$

Полученное соотношение называется уравнением Клапейрона — Клаузиуса. Оно связывает производную от равновесного давления по температуре с теплотой перехода, температурой и разностью удельных объемов фаз, находящихся в равновесии.

Согласно (126.3) знак производной  $dp/dT$  зависит от того, каким изменением объема — возрастанием или уменьшением — сопровождается фазовый переход, происходящий при поглощении тепла. При испарении жидкости или твердого тела объем всегда возрастает, поэтому  $dp/dT$  для кривой испарения, а также для кривой сублимации может быть только положительной: повышение температуры приводит к увеличению равновесного давления.

При плавлении объем, как правило, возрастает, так что  $dp/dT > 0$ : увеличение давления приводит к повышению температуры плавления. Однако у некоторых веществ, к числу которых принадлежит и вода, объем жидкой фазы меньше объема твердой фазы ( $V_2' < V_1'$ )<sup>1)</sup>. В этом случае  $dp/dT < 0$  — увеличение давления сопровождается понижением температуры плавления. Подвергнув лед сильному сжатию, можно, не повышая температуры выше  $0^\circ\text{C}$ , вызвать его плавление.

Температура перехода из одной кристаллической модификации в другую будет повышаться или понижаться с ростом давления в зависимости от того, какая из твердых фаз обладает большим удельным объемом.

## § 127. Тройная точка. Диаграмма состояния

Возьмем вещество в виде жидкости и находящегося с ней в равновесии насыщенного пара и, не изменяя объема, станем отнимать от него тепло. Этот процесс будет сопровождаться понижением температуры вещества и соответствующим уменьшением давления. Поэтому точка, изображающая состояние вещества на диаграмме ( $p$ ,  $T$ ), перемещается вниз по кривой испарения (рис. 127.1). Это продолжается до тех пор, пока не будет достигнута температура кристаллизации вещества, отвечающая равновесному значению давления. Обозначим эту температуру  $T_{\text{тр}}$ . Все время, пока идет процесс кристаллизации, температура и давление остаются неизменными. Отводимое при этом тепло представляет собой тепло, выделяющееся при кристаллизации.

<sup>1)</sup> Известно, что вода при замерзании увеличивается в объеме. По этой причине лед имеет меньшую плотность, чем вода.

Температура  $T_{тр}$  и соответствующее ей равновесное давление  $p_{тр}$  — единственные значения температуры и давления, при которых могут находиться в равновесии три фазы вещества: твердая, жидкая и газообразная. Соответствующая точка на диаграмме ( $p$ ,  $T$ ) называется *т р о й н о й т о ч к о й*. Таким образом, тройная точка определяет условия, при которых могут находиться в равновесии одновременно три фазы вещества.

По окончании процесса кристаллизации в равновесии будут находиться твердая и газообразная фазы. Если продолжать отнимать от вещества тепло, то температура снова начнет понижаться. Соответственно уменьшается давление паров, находящихся в равновесии с кристаллической фазой. Точка, изображающая состояние вещества, перемещается вниз по кривой сублимации.

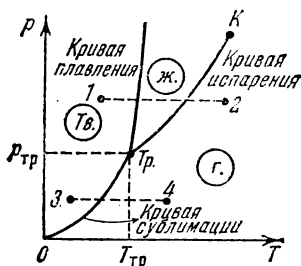


Рис. 127.1.

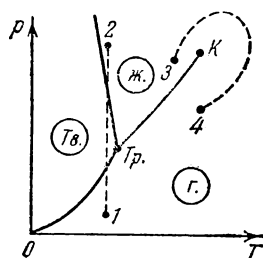


Рис. 127.2.

Температура тройной точки есть температура, при которой плавится вещество, находясь под давлением, равным  $p_{тр}$ . При других давлениях температура плавления будет иной. Связь между давлением и температурой плавления изобразится кривой плавления, начинающейся в тройной точке. Таким образом, тройная точка оказывается лежащей на пересечении трех кривых, определяющих условия равновесия двух фаз: твердой и жидкой, жидкой и газообразной и, наконец, твердой и газообразной.

В зависимости от соотношения между удельными объемами твердой и жидкой фаз кривая плавления идет либо так, как на рис. 127.1 ( $dp/dT > 0$ ), либо так, как на рис. 127.2 ( $dp/dT < 0$ ).

Кривые плавления, испарения и сублимации разбивают координатную плоскость на три области. Слева от кривых сублимации и плавления лежит область твердой фазы, между кривыми плавления и испарения заключена область жидких состояний и, наконец, справа от кривых испарения и сублимации простирается область газообразных состояний вещества. Любая точка в одной из этих областей изображает соответствующее однофазное состояние вещества (все время имеются в виду только равновесные состояния, т. е. такие состояния, в которых вещество при неизменных внешних ус-

ловиях пребывает сколь угодно долго). Всякая точка, лежащая на одной из разграничивающих области кривых, изображает состояние равновесия двух соответствующих фаз вещества. Тройная точка изображает состояние равновесия всех трех фаз. Таким образом, каждая точка на диаграмме изображает определенное равновесное состояние вещества. Поэтому ее называют *д и а г р а м м о й с о с т о я н и я*.

Для вещества с несколькими кристаллическими модификациями диаграмма состояния имеет более сложный характер. На рис. 127.3 изображена диаграмма для случая, когда число различных кристаллических модификаций равно двум. В этом случае имеются две тройные точки. В точке  $Tr$  в равновесии находятся жидкость, газ и первая кристаллическая модификация, в точке  $Tr'$  находятся в равновесии жидкость и обе кристаллические модификации.

Диаграмма состояния для каждого конкретного вещества строится на основе экспериментальных данных. Зная диаграмму состояния, можно предсказать, в каком состоянии будет находиться вещество при различных условиях (при различных значениях  $p$  и  $T$ ), а также какие превращения будет претерпевать вещество при различных процессах.

Поясним это следующими примерами. Если взять вещество в состоянии, соответствующем точке  $I$  на рис. 127.1, и подвергнуть его изобарическому нагреванию, то вещество будет проходить изображенную пунктирной прямой  $I-2$  последовательность состояний: кристаллы — жидкость — газ. Если то же вещество взять в состоянии, изображенном точкой  $3$ , и также подвергнуть изобарическому нагреванию, то последовательность состояний (пунктирная прямая  $3-4$ ) будет иной: кристаллы превращаются непосредственно в газ, минуя жидкую фазу.

Из диаграммы состояния следует, что жидкая фаза может существовать в равновесном состоянии только при давлениях не меньших, чем давление тройной точки (то же самое относится и к твердой фазе  $II$  на рис. 127.3). При давлениях, меньших  $p_{Tr}$ , наблюдаются только переохлажденные жидкости.

У большинства обычных веществ тройная точка лежит значительно ниже атмосферного давления, вследствие чего переход этих веществ из твердого состояния в газообразное

осуществляется через промежуточную жидкую фазу. Так, например, тройной точке воды соответствует давление 4,58 мм рт. ст. и температура 0,0075°C. Для уголекислоты давление тройной точки равно 5,11 атм (температура тройной точки — 56,6°C). Поэтому при атмосферном давлении уголекислота может существовать толь-

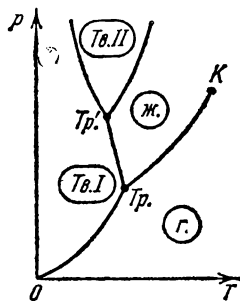


Рис. 127.3.

ко в твердом и газообразном состояниях. Твердая углекислота (сухой лед) превращается непосредственно в газ. Температура сублимации углекислоты при атмосферном давлении равна  $-78^{\circ}\text{C}$ .

Если удельный объем кристаллов превосходит удельный объем жидкой фазы, то поведение вещества при некоторых процессах может оказаться весьма своеобразным. Возьмем, например, подобное вещество в состоянии, изображенном точкой 1 на рис. 127.2, и подвергнем его изотермическому сжатию. При таком сжатии давление растет, и процесс изобразится на диаграмме вертикальной прямой (см. пунктирную прямую 1—2). В ходе процесса вещество проходит такую последовательность состояний: газ — кристаллы — жидкое состояние. Подобная последовательность, очевидно, наблюдается только при температурах меньших, чем температура тройной точки.

В заключение отметим еще одну особенность диаграммы состояния. Кривая испарения заканчивается в критической точке  $K$ . Поэтому возможен переход из области жидких состояний в область газообразных состояний, совершаемый в обход критической точки, без пересечения кривой испарения (см. изображенный пунктиром переход 3—4 на рис. 127.2). На рис. 123.4 показано, как выглядит такой переход на диаграмме ( $p, V$ ). В этом случае переход из жидкого состояния в газообразное (и обратно) совершается непрерывно, через последовательность однофазных состояний. Отметим, что точке с координатой  $T$ , взятой на кривой испарения, отвечает на рис. 123.4 весь горизонтальный участок соответствующей изотермы.

Непрерывный переход между жидким и газообразным состояниями возможен потому, что различие между ними носит скорее количественный, чем качественный характер; в частности, у обоих этих состояний отсутствует анизотропия. Непрерывный переход из кристаллического состояния в жидкое или газообразное невозможен, ибо характерной чертой кристаллического состояния, как мы знаем, является анизотропия. Переход же от состояния, обладающего анизотропией, к состоянию, ею не обладающему, может совершаться только скачком — анизотропия не может иметься только частично, она либо есть, либо ее нет, третья возможность исключена. По этой причине кривая сублимации и кривая плавления не могут обрываться подобно тому, как обрывается кривая испарения в критической точке. Кривая сублимации идет в точку  $p=0$  и  $T=0$ , кривая плавления уходит в бесконечность.

Точно так же невозможен непрерывный переход из одной кристаллической модификации в другую. Различные кристаллические модификации вещества отличаются присущими им элементами симметрии. Поскольку какой-либо элемент симметрии может только либо быть в наличии, либо отсутствовать, переход из одной твердой фазы в другую возможен только скачком. По этой причине кривая равновесия двух твердых фаз, подобно кривой плавления, уходит в бесконечность.

## ГЛАВА XVI

### ФИЗИЧЕСКАЯ КИНЕТИКА

#### § 128. Явления переноса

Статистическая физика имеет дело с равновесными состояниями и с обратимыми процессами (т. е. процессами, при которых система проходит через последовательность равновесных состояний). Наука, изучающая процессы, возникающие при нарушениях равновесия, носит название **физической кинетики**.

При нарушении равновесия система стремится вернуться в равновесное состояние. Этот процесс сопровождается возрастанием энтропии и, следовательно, необратим. Таким образом, процессы, изучаемые физической кинетикой, являются необратимыми.

Нарушение равновесия сопровождается возникновением потоков либо молекул, либо тепла, либо электрического заряда и т. п. В связи с этим соответствующие процессы носят название **явлений переноса**. Из сказанного выше вытекает, что явления переноса представляют собой необратимые процессы.

Мы рассмотрим три явления переноса: диффузию, теплопроводность и внутреннее трение, или вязкость, причем ограничимся случаем, когда отклонения от равновесия невелики. Вначале мы напишем эмпирические уравнения этих процессов, применимые к любым средам (твердым, жидким и газообразным). В последующих параграфах будет дан молекулярно-кинетический вывод указанных уравнений для газов.

При рассмотрении явлений переноса нам придется вычислять количества различных величин (числа частиц, массы, энергии, импульса), переносимых через некоторую воображаемую поверхность. Количество какой-либо величины, проходящее в единицу времени через некоторую поверхность, называется **потоком** этой величины. Примерами могут служить: поток жидкости через поперечное сечение трубы, поток света через оконное стекло или через стеклянный баллон электрической лампочки и т. п. Можно рассматривать поток через поверхность любой формы; в частности, поверхность может быть замкнутой.

Поток является скалярной алгебраической величиной. Знак потока определяется выбором положительного направления, например направлением оси, вдоль которой распространяется поток. Положительное направление обычно выбирается произвольно. В случае замкнутых поверхностей принято положительным считать поток, вытекающий через поверхность наружу, а отрицательным — поток, втекающий внутрь.

В этой главе мы будем рассматривать потоки через плоские поверхности, перпендикулярные к оси  $z$ . Если частицы, энергия или импульс будут переноситься через поверхность в направлении оси  $z$ , мы будем считать соответствующий поток положительным, в противном случае — отрицательным.

Каждое явление переноса бывает обусловлено неодинаковостью в пространстве значений некоторой величины  $f$ . В случае переноса частиц (диффузии) такой величиной является концентрация частиц — перенос частиц осуществляется в направлении убывания их концентрации. Поток тепла возникает в случае неодинаковости температуры в разных точках среды, причем тепло течет в направлении убывания температуры, и т. д.

Для простоты будем считать, что величина  $f$ , неоднородность которой обуславливает данный процесс переноса (концентрация, температура и т. п.), является функцией лишь одной координаты  $z$ . Тогда изменение этой величины в пространстве будет характеризоваться производной  $df/dz$ , которую обычно называют градиентом величины  $f$ . Это название не вполне правильно: строго говоря, производная скалярной функции  $f=f(z)$  по  $z$  дает проекцию градиента функции на ось  $z$  (см. (21.2)). Однако, следуя традиции, мы будем называть входящие в уравнения переноса величины вида  $df/dz$  градиентом.

**Диффузия.** Диффузией называется обусловленное тепловым движением молекул самопроизвольное выравнивание концентраций в смеси нескольких (в простейшем случае двух) различных веществ. Этот процесс наблюдается в твердых, жидких и газообразных средах. Мы ограничимся рассмотрением только газообразных сред.

Пусть в единице объема двухкомпонентной газовой смеси содержится  $n_1$  молекул одного вида и  $n_2$  молекул другого вида. Полное число молекул в единице объема равно  $n=n_1+n_2$ . Отношение

$$c_i = \frac{n_i}{n}$$

называется относительной концентрацией молекул  $i$ -го вида.

Предположим, что в направлении оси  $z$  создаются градиенты концентраций  $dc_1/dz$  и  $dc_2/dz$ , причем  $dc_1/dz = -dc_2/dz$  (рис. 128.1). Тогда

$$\frac{d}{dz} (c_1 + c_2) = \frac{1}{n} \frac{d}{dz} (n_1 + n_2) = 0,$$

так что  $n$ , а следовательно, и  $p$  постоянны ( $p=nkT$ ). Поэтому газодинамические потоки не возникают. Однако вследствие теплового движения молекул будет происходить процесс выравнивания концентраций, сопровождающийся переносом массы каждой из компонент в направлении убывания ее концентрации. Как указано выше, этот процесс носит название диффузии.

Опытным путем установлено, что поток молекул  $i$ -го вида через перпендикулярную к оси  $z$  поверхность  $S$  определяется выражением

$$N_i = -D \frac{dn_i}{dz} S, \quad (128.1)$$

где  $D$  — коэффициент пропорциональности, называемый коэффициентом диффузии.

Согласно (128.1) в случае, когда  $dn_i/dz > 0$ , поток  $N_i$  оказывается отрицательным; это означает, что молекулы переносятся в направлении, противоположном направлению

оси  $z$  (рис. 128.2, а). В случае, если  $dn_i/dz < 0$ , поток оказывается положительным, т. е. молекулы переносятся в направлении оси  $z$  (рис. 128.2, б). Таким образом, знак минус в формуле (128.1) обусловлен тем, что поток молекул направлен в сторону убывания концентрации.

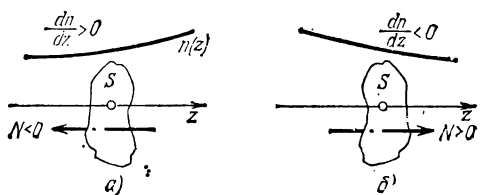


Рис. 128.2.

Размерность потока молекул  $N$  равна  $1/T$ , размерность  $n_i$  равна  $1/L^3$ , площади  $S$  —  $L^2$ ,  $dz$  имеет размерность  $L$ . Следовательно, коэффициент диффузии  $D$  имеет размерность  $L^2/T$ .

Умножив обе части равенства (128.1) на массу молекулы  $i$ -го вида  $m_i$ , получим выражение для потока массы  $i$ -й компоненты:

$$M_i = -D \frac{d\rho_i}{dz} S. \quad (128.2)$$

Здесь  $\rho_i = n_i m_i$  — парциальная плотность  $i$ -й компоненты; ее называют также абсолютной концентрацией.

Формулы (128.1) и (128.2) представляют собой эмпирические уравнения диффузии. Их называют также **з а к о н о м Ф и к а**.

**Теплопроводность.** Опыт дает, что если в некоторой среде (твердой, жидкой или газообразной) создать вдоль оси  $z$  градиент температуры, то возникает поток тепла, величина которого определяется формулой

$$q = -\kappa \frac{dT}{dz} S. \quad (128.3)$$

Здесь  $q$  — поток тепла через поверхность  $S$ , расположенную перпендикулярно к оси  $z$ ,  $dT/dz$  — градиент температуры (точнее — проекция градиента температуры на ось  $z$ ),  $\kappa$  — коэффициент пропорциональности, зависящий от свойств среды и называемый **к о э ф ф и ц и е н т о м т е п л о п р о в о д н о с т и**. Единицей  $q$  служит Дж/с, т. е. Вт (ватт). Следовательно,  $\kappa$  измеряется в ваттах на метр-кельвин (Вт/(м·К)). Знак минус в формуле (128.3) отражает то обстоятельство, что тепло течет в направлении убывания температуры. Поэтому знаки  $q$  и  $dT/dz$  противоположны.

Уравнение (128.3) есть эмпирическое уравнение теплопроводности. Его называют также **з а к о н о м Ф у р ь е**.

**Внутреннее трение.** Согласно формуле (75.4) сила трения между двумя слоями жидкости или газа равна

$$F = \eta \left| \frac{du}{dz} \right| S, \quad (128.4)$$

где  $\eta$  — **к о э ф ф и ц и е н т в я з к о с т и**,  $du/dz$  — величина, показывающая, как быстро изменяется скорость жидкости или газа в направлении  $z$ , перпендикулярном к направлению движения слоев (градиент  $u$ ),  $S$  — величина поверхности, по которой действует сила  $F$ . Уравнение (128.4) и есть эмпирическое уравнение вязкости.

Согласно второму закону Ньютона взаимодействие двух слоев с силой  $F$  можно рассматривать как процесс, в ходе которого от одного слоя к другому передается в единицу времени импульс, по величине равный  $F$ . Поэтому уравнение (128.4) можно представить в виде

$$K = -\eta \frac{du}{dz} S, \quad (128.5)$$

где  $K$  — импульс, передаваемый за секунду от слоя к слою через поверхность  $S$ , т. е. поток импульса через  $S$ .

Поток импульса  $K$  измеряется в кг·м/с<sup>2</sup>. Следовательно, единицей коэффициента вязкости  $\eta$  является кг/(м·с) (килограмм на метр-секунду)<sup>1)</sup>.

<sup>1)</sup> Единицу измерения  $\eta$  можно представить также в виде Па·с (паскаль-секунда).

Знак минус в формуле (128.5) обусловлен тем обстоятельством, что импульс «течет» в направлении убывания скорости  $u$ . Поэтому знаки потока импульса  $K$  и производной  $du/dz$  противоположны.

Напомним, что формула (128.4) определяет одинаковый модуль двух противоположно направленных сил, с которыми слои действуют друг на друга. Поэтому в (128.4) нельзя писать перед правой частью знак минус. Кроме того, нужно брать модуль выражения  $du/dz$  (модуль силы при любом знаке производной  $du/dz$  должен быть положительным).

### § 129. Средняя длина свободного пробега

Молекулы газа, находясь в тепловом движении, непрерывно сталкиваются друг с другом. Термин «столкновение» применительно к молекулам не следует понимать буквально и представлять себе этот процесс подобным соударению твердых шаров. Под столкновением молекул подразумевают процесс взаимодействия между молекулами, в результате которого молекулы изменяют направление своего движения.

На рис. 129.1 показана кривая, изображающая взаимную потен-

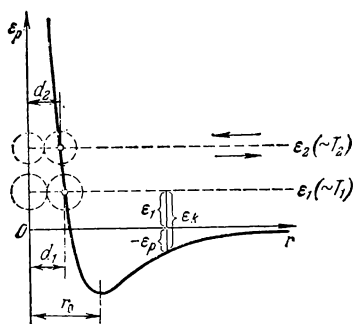


Рис. 129.1.

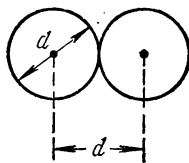


Рис. 129.2.

циальную энергию двух молекул как функцию расстояния  $r$  между их центрами. Рассмотрим с помощью этой кривой процесс сближения (соударения) молекул. Поместим мысленно центр одной из молекул в начало координат, а центр второй молекулы представим перемещающимся по оси  $r$ . Пусть вторая молекула летит по направлению к первой из бесконечности, имея начальный запас кинетической энергии  $\epsilon_k = \epsilon_i$ . Приближаясь к первой молекуле, вторая под действием силы притяжения движется со все возрастающей скоростью. В результате кинетическая энергия молекулы  $\epsilon_k$  также растет. Однако полная энергия системы, равная  $\epsilon = \epsilon_k + \epsilon_p$ , остается неизменной (система двух молекул замкнута) и равной  $\epsilon_i$ , так как одновременно уменьшается потенциальная энергия  $\epsilon_p$ . При прохождении молекулой точки с координатой  $r_0$  силы притяжения сменяются силами отталкивания, вследствие чего молекула начинает быстро терять скорость (в области отталкивания кривая  $\epsilon_p$  идет очень

круто). В момент, когда потенциальная энергия  $\varepsilon_p$  становится равной полной энергии системы  $\varepsilon_1$ , скорость молекулы обращается в нуль. В этот момент имеет место наибольшее сближение молекул друг с другом. После остановки молекулы все явления протекают в обратной последовательности: сначала молекула движется со все возрастающей скоростью под действием силы отталкивания; миновав расстояние  $r_0$ , молекула попадает под действие замедляющей ее движения силы притяжения и, наконец, удаляется на бесконечность, имея первоначальный запас кинетической энергии  $\varepsilon_1$ .

Минимальное расстояние, на которое сближаются при столкновении центры двух молекул, называется э ф ф е к т и в н ы м д и а м е т р о м молекулы  $d$  (рис. 129.2). Величина

$$\sigma = \pi d^2 \quad (129.1)$$

называется э ф ф е к т и в н ы м с е ч е н и е м молекулы.

Из рис. 129.1 видно, что в случае, когда молекула начинает свое движение из бесконечности с большим запасом энергии, минимальное расстояние, на которое сближаются центры молекул, оказывается меньшим (ср.  $d_1$  и  $d_2$  на рисунке). Таким образом, эффективный диаметр молекул зависит от их энергии, а следовательно, и от температуры. С повышением температуры эффективный диаметр молекул уменьшается.

За секунду молекула проходит в среднем путь, равный средней скорости  $\langle v \rangle$ . Если за секунду она претерпевает в среднем  $\nu$  столкновений, то средняя длина свободного пробега будет равна

$$\lambda = \frac{\langle v \rangle}{\nu}. \quad (129.2)$$

Для того чтобы подсчитать среднее число столкновений  $\nu$ , предположим вначале, что все молекулы, кроме данной, застыли неподвижно на своих местах.

Проследим за движением выделенной нами молекулы. Ударившись об одну из неподвижных молекул, она будет лететь прямолинейно до тех пор, пока не столкнется с какой-либо другой неподвижной молекулой (рис. 129.3). Это соударение произойдет в том случае, если центр неподвижной молекулы окажется от прямой, вдоль которой летит молекула, на расстоянии меньшем эффективного диаметра молекулы  $d$ . В результате столкновения молекула изменит направление своего движения, после чего некоторое время опять будет двигаться прямолинейно,

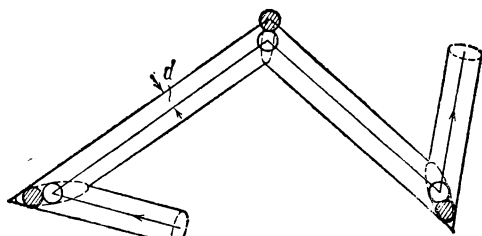


Рис. 129.3.

пока на ее пути снова не встретится молекула, центр которой будет находиться в пределах показанного на рис. 129.3 цилиндра радиуса  $d$ .

За секунду молекула проходит путь, равный  $\langle v \rangle$ . Число происходящих за это время соударений с неподвижными молекулами равно количеству молекул, центры которых попадают внутрь колленчатого цилиндра длины  $\langle v \rangle$  и радиуса  $d$ . Ниже будет показано, что средняя длина свободного пробега много больше, чем эффективный диаметр молекул  $d$ . Поэтому объем цилиндра можно считать равным  $\pi d^2 \langle v \rangle$ . Умножив этот объем на число молекул в единице объема  $n$ , получим среднее число столкновений за секунду движущейся молекулы с неподвижными:

$$v' = \pi d^2 \langle v \rangle n. \quad (129.3)$$

В действительности все молекулы движутся, вследствие чего число соударений определяется средней скоростью движения молекул по отношению друг к другу, а не средней скоростью  $\langle v \rangle$  молекул относительно стенок сосуда. Относительная скорость двух произвольно взятых молекул равна

$$v_{\text{отн}} = v_2 - v_1.$$

Возведя это соотношение в квадрат, получим

$$v_{\text{отн}}^2 = (v_2 - v_1)^2 = v_2^2 + v_1^2 - 2\mathbf{v}_1\mathbf{v}_2$$

(мы воспользовались тем, что  $\mathbf{v}^2 = v^2$ ). Среднее значение суммы нескольких величин равно сумме средних значений складываемых величин. Поэтому

$$\langle v_{\text{отн}}^2 \rangle = \langle v_2^2 \rangle + \langle v_1^2 \rangle - 2 \langle \mathbf{v}_1 \mathbf{v}_2 \rangle.$$

События, заключающиеся в том, что первая молекула имеет скорость  $\mathbf{v}_1$ , а вторая — скорость  $\mathbf{v}_2$ , являются статистически независимыми. Поэтому  $\langle \mathbf{v}_1 \mathbf{v}_2 \rangle = \langle \mathbf{v}_1 \rangle \langle \mathbf{v}_2 \rangle$ . Для газа, находящегося в равновесии, каждый из сомножителей равен нулю. Таким образом,

$$\langle v_{\text{отн}}^2 \rangle = \langle v_2^2 \rangle + \langle v_1^2 \rangle = 2 \langle v^2 \rangle.$$

(среднее значение квадрата скорости всех молекул одинаково и равно  $\langle v^2 \rangle$ ). Полученный результат означает, что  $v_{\text{отн, ср. кв}} = \sqrt{2} v_{\text{ср. кв}}$ . Средние квадратичные скорости пропорциональны средним арифметическим. Следовательно,

$$\langle v_{\text{отн}} \rangle = \sqrt{2} \langle v \rangle.$$

Заменив в формуле (129.3)  $\langle v \rangle$  на  $\langle v_{\text{отн}} \rangle$ , получим для среднего числа столкновений за секунду выражение

$$v = \sqrt{2} \pi d^2 \langle v \rangle n. \quad (129.4)$$

Подставив это значение  $v$  в (129.2), получим для средней длины сво-

бодного пробега следующую формулу:

$$\lambda = \frac{1}{\sqrt{2} \pi d^2 n}. \quad (129.5)$$

Заменив согласно (129.1)  $\pi d^2$  через  $\sigma$ , формуле можно придать вид

$$\lambda = \frac{1}{\sqrt{2} \sigma n}. \quad (129.6)$$

При постоянной температуре  $n$  пропорционально  $p$ . Следовательно, средняя длина свободного пробега обратно пропорциональна давлению:

$$\lambda \sim \frac{1}{p}. \quad (129.7)$$

Выше отмечалось, что эффективный диаметр молекул убывает с ростом температуры. В соответствии с этим при повышении температуры длина свободного пробега увеличивается.

Оценим величину средней длины свободного пробега и среднее число столкновений в секунду. В § 80 мы установили, что молекулы имеют размеры порядка нескольких ангстрем. Примем эффективный диаметр молекулы равным  $2 \text{ \AA}$ , т. е.  $2 \cdot 10^{-10} \text{ м}$ . Моль газа занимает при нормальных условиях (т. е. при  $0^\circ\text{C}$  и  $p=1 \text{ атм}$ ) объем, равный  $22,4 \cdot 10^{-3} \text{ м}^3$ . Число молекул в единице объема при этих условиях равно  $6 \cdot 10^{23} : 22,4 \cdot 10^{-3} \approx 3 \cdot 10^{25} \text{ м}^{-3}$ . Подстановка этих чисел в формулу (129.5) дает

$$\lambda = \frac{1}{\sqrt{2} \cdot 3,14 \cdot 4 \cdot 10^{-20} \cdot 3 \cdot 10^{25}} \approx 2 \cdot 10^{-7} \text{ м} = 2 \cdot 10^{-5} \text{ см}.$$

При давлении, равном  $10^{-3} \text{ мм рт. ст.}$  (что соответствует примерно  $10^{-6} \text{ атм}$ ),  $\lambda$  будет порядка  $10 \text{ см}$ . Если сосуд имеет размеры порядка нескольких сантиметров, то при таком давлении молекулы будут двигаться от стенки к стенке практически без столкновений друг с другом. При давлении, равном  $10^{-6} \text{ мм рт. ст.}$ ,  $\lambda$  достигает величины порядка десятков метров.

При выводе формулы (129.3) мы предположили, что  $\lambda$  много больше  $d$ . Теперь мы можем убедиться в правильности такого предположения. Действительно, из произведенной оценки следует, что при нормальных условиях отношение  $\lambda$  к  $d$  составляет примерно  $2 \cdot 10^{-5} : 2 \cdot 10^{-10} = 10^5$ .

Число столкновений в секунду можно получить, разделив среднюю скорость молекул  $\langle v \rangle$  на  $\lambda$ . В § 98 мы получили для кислорода значение  $\langle v \rangle$  порядка  $500 \text{ м/с}$ . Разделив эту величину на  $\lambda = 2 \cdot 10^{-7} \text{ м}$ , получим для числа столкновений в секунду значение, равное  $2,5 \cdot 10^9 \text{ с}^{-1}$ . Таким образом, при нормальных условиях число столкновений составляет несколько миллиардов в секунду. С уменьшением давления число столкновений убывает, изменяясь пропорционально  $p$  (см. (129.7)).

## § 130. Диффузия в газах

Попытаемся получить уравнение диффузии, исходя из молекулярно-кинетических представлений. Чтобы упростить задачу, будем считать, что молекулы обеих компонент мало отличаются по массе ( $m_1 \approx m_2 \approx m$ ) и имеют практически одинаковые эффективные сечения ( $\sigma_1 \approx \sigma_2 \approx \sigma$ ). В этом случае молекулам обеих компонент можно приписывать одинаковую среднюю скорость теплового движения  $\langle v \rangle$ , а среднюю длину свободного пробега вычислять по формуле

$$\lambda = \frac{1}{\sqrt{2} \sigma n},$$

где  $n = n_1 + n_2$ .

Легко сообразить, что процесс диффузии в газах будет протекать тем интенсивнее, чем быстрее движутся молекулы (чем больше  $\langle v \rangle$ ), а также чем реже сталкиваются они друг с другом (т. е. чем больше длина свободного пробега  $\lambda$ ).

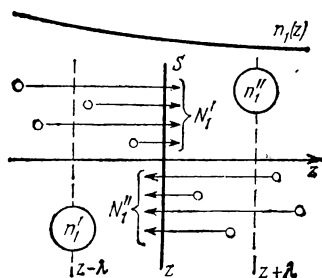


Рис. 130.1.

Следовательно, можно ожидать, что коэффициент диффузии  $D$  должен быть пропорциональным произведению  $\langle v \rangle \lambda$ . Это согласуется с тем, что, как отмечалось в § 128, размерность  $D$  равна  $L^2/T$ .

Приступим к вычислениям. Допустим, что изменение концентрации первой компоненты вдоль оси  $z$  описывается функцией  $n_1 = n_1(z)$ . Обозначим число молекул первой компоненты, пролетающих за секунду через площадку  $S$  в направлении оси  $z$ , через  $N_1'$ ; то же число для направления, противоположного оси  $z$ , — через  $N_1''$  (рис. 130.1)<sup>1)</sup>.

Разность этих чисел даст поток молекул первой компоненты  $N_1$  через поверхность  $S$ :

$$N_1 = N_1' - N_1''. \quad (130.1)$$

Будем исходить из упрощенного представления, согласно которому молекулы движутся вдоль трех взаимно перпендикулярных направлений, совпадающих с осями  $x$ ,  $y$ ,  $z$  (оси  $x$  и  $y$  параллельны площадке  $S$ ). В этом случае согласно (95.7) число молекул, пролетающих за секунду в одном из направлений через единичную площадку, равно  $\frac{1}{6} n \langle v \rangle$ . Следовательно, числа  $N_1'$  и  $N_1''$  можно пред-

<sup>1)</sup> Мы выполнили рис. 130.1 так, что молекулы  $N_1'$  летят через верхнюю, а молекулы  $N_1''$  — через нижнюю половину площадки  $S$ . В действительности обе совокупности молекул распределены по всей поверхности  $S$ .

ставить в виде

$$N'_1 = \frac{1}{6} n'_1 \langle v \rangle S, \quad N''_1 = \frac{1}{6} n''_1 \langle v \rangle S, \quad (130.2)$$

где  $n'_1$  — «эффективная» концентрация молекул первой компоненты слева от  $S$ ,  $n''_1$  — «эффективная» концентрация молекул первой компоненты справа от  $S$ .

Через поверхность  $S$  будут пролетать молекулы, претерпевшие последнее соударение на различных расстояниях от  $S$ . Однако в среднем последнее соударение происходит на расстоянии от  $S$ , равном средней длине свободного пробега  $\lambda$ . Поэтому в качестве  $n'_1$  разумно взять значение  $n_1(z-\lambda)$ , а в качестве  $n''_1$  — значение  $n_1(z+\lambda)$  (см. рис. 130.1). Тогда с учетом (130.1) и (130.2) можно написать, что

$$N_1 = \frac{1}{6} \langle v \rangle S [n_1(z-\lambda) - n_1(z+\lambda)]. \quad (130.3)$$

Поскольку  $\lambda$  очень мала, разность значений функции  $n_1(z)$ , стоящую в квадратных скобках в формуле (130.3), можно представить в виде <sup>1)</sup>

$$n_1(z-\lambda) - n_1(z+\lambda) = -\frac{dn_1}{dz} 2\lambda. \quad (130.4)$$

Подставив это выражение в (130.3), получим, что

$$N_1 = -\left(\frac{1}{3} \langle v \rangle \lambda\right) \frac{dn_1}{dz} S. \quad (130.5)$$

Сравнение выражения (130.5) с формулой (128.1) показывает, что, исходя из молекулярно-кинетических представлений, удастся не только прийти к правильной зависимости  $N_1$  от  $dn_1/dz$ , но и получить выражение для коэффициента диффузии  $D$ . Это выражение имеет вид

$$D = \frac{1}{3} \langle v \rangle \lambda. \quad (130.6)$$

Более строгий расчет приводит к такой же формуле, но с несколько отличным числовым коэффициентом.

Отметим, что, как мы и предполагали, коэффициент диффузии оказывается пропорциональным произведению  $\langle v \rangle \lambda$ .

<sup>1)</sup> Формула (130.4) справедлива при условии, что изменение  $n_1$  на длине свободного пробега много меньше самого  $n_1$  ( $\frac{dn_1}{dz} \lambda \ll n_1$ ). Это условие дает критерий малости отклонений от равновесия (см. четвертый абзац § 128).

Это замечание относится к аналогичным формулам следующих двух параграфов. Например, формула (131.4) справедлива при условии, что  $\frac{dT}{dz} \lambda \ll T$ .

Вывод, приведший нас к формуле (130.5), в равной мере применим к обоим компонентам смеси. Следовательно, коэффициент диффузии имеет для обеих компонент одинаковое значение.

Исследуем полученное нами выражение для коэффициента диффузии  $D$ . Подставив в (130.6) выражения для  $\langle v \rangle$  и  $\lambda$ , получим, что

$$D \propto \frac{1}{n\sigma} \sqrt{\frac{T}{m}}. \quad (130.7)$$

Из (130.7) вытекает, что коэффициент диффузии обратно пропорционален числу молекул в единице объема, а следовательно, и давлению  $p$ :

$$D \propto \frac{1}{p}.$$

При повышении температуры  $D$  растет приблизительно как  $\sqrt{T}$  (напомним, что  $\sigma$  слегка зависит от  $T$ ).

Мы предполагали, что молекулы обеих компонент одинаковы по массе и эффективному сечению. Поэтому (130.6) представляет собой, по существу, выражение для коэффициента самодиффузии, т. е. диффузии молекул некоторого газа в среде молекул того же газа. Явление самодиффузии можно было бы наблюдать, пометив каким-то способом часть молекул однородного газа. Тогда в случае, если бы концентрация меченых молекул и молекул, не несущих отметки, была непостоянна, в газе возникли бы встречные потоки разного рода молекул, причем величина потоков определялась бы формулой (130.5). Практически самодиффузию можно исследовать, применив метод меченых атомов. Этот метод состоит в использовании смеси изотопов, т. е. разновидностей атомов одного и того же элемента, отличающихся друг от друга, например, тем, что одна разновидность атомов радиоактивна, а другая — стабильна.

В случае, когда молекулы обеих компонент смеси неодинаковы по массе и эффективному сечению, коэффициент диффузии определяется выражением

$$D_{12} = \frac{3}{8} \left( \frac{\pi k T}{2 \mu_{12}} \right)^{1/2} \frac{1}{n \sigma_{12}},$$

где

$$\mu_{12} = m_1 m_2 / (m_1 + m_2), \quad \sigma_{12} = \pi [(d_1 + d_2)/2]^2,$$

$n$  — число молекул в единице объема газовой смеси ( $m_i$  и  $d_i$  — масса и эффективный диаметр молекул  $i$ -й компоненты).

### § 131. Теплопроводность газов

Произведем вычисление потока тепла в газе, основываясь на молекулярно-кинетических представлениях. Если температура газа в разных местах различна, то и средняя энергия молекул в этих

местах также будет различна. Перемещаясь вследствие теплового движения из одних мест в другие, молекулы переносят запасенную ими энергию. Этот перенос энергии и обуславливает процесс теплопроводности в газах.

Прежде чем приступить к вычислениям, попытаемся уяснить, какие факторы могут влиять на способность газа проводить тепло. Легко сообразить, что, кроме факторов, определяющих скорость диффузии, т. е. средней скорости молекул  $\langle v \rangle$  и длины свободного пробега  $\lambda$ , количество переносимой молекулами энергии должно зависеть от способности молекул запасать энергию, т. е. от теплоемкости газа.

Рассмотрим газ, в котором каким-то способом поддерживается градиент температуры вдоль направления, которое мы обозначим буквой  $z$ . Представим мысленно площадку  $S$ , перпендикулярную к этому направлению (рис. 131.1).

Исходя из упрощенных представлений, будем считать, что количество молекул, пролетающих за секунду через площадку  $S$  в каждом из направлений (слева направо и справа налево), равно

$$N = \frac{1}{6} n \langle v \rangle S. \quad (131.1)$$

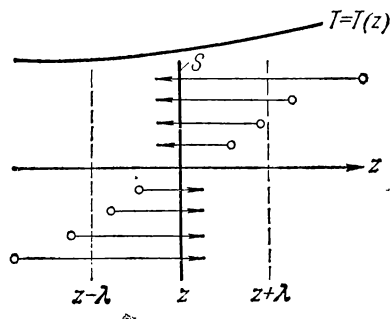


Рис. 131.1.

При постоянном давлении  $n$  зависит от температуры ( $p = nkT$ )

$\langle v \rangle$  также изменяется с температурой. В связи с этим, казалось бы, следовало для нахождения числа молекул, летящих через площадку  $S$  слева направо, подставлять в формулу (131.1) значения  $n$  и  $\langle v \rangle$ , отвечающие одной температуре, а для нахождения числа молекул, летящих справа налево, — значения  $n$  и  $\langle v \rangle$ , отвечающие другой температуре. Однако числа молекул, летящих через площадку  $S$  во встречных направлениях, не могут быть различными. Если бы они оказались неодинаковыми, то, кроме потока тепла через площадку  $S$ , наблюдался бы поток вещества — происходило бы перемещение газа из одной части пространства в другую. Мы же предполагаем, что никаких процессов, кроме переноса тепла, в газе не происходит. Поэтому число молекул, пролетающих через  $S$  в каждом из направлений, мы будем вычислять по формуле (131.1), приняв для  $n$  и  $\langle v \rangle$  их значения в сечении  $S$ .

Отметим, что, поскольку  $n = p/kT \propto p/T$ , а  $\langle v \rangle \propto \sqrt{T}$ , постоянство произведения  $n\langle v \rangle$  означает постоянство выражения

$$\frac{p}{T} \sqrt{T} = \frac{p}{\sqrt{T}}.$$

Следовательно, для того чтобы при наличии градиента температуры не наблюдалось потока молекул, необходимо, чтобы давление изменялось вдоль оси  $z$  пропорционально  $\sqrt{T}$ .

При вычислении потока тепла будем исходить из предположения, что каждая молекула несет с собой энергию  $\varepsilon = \frac{i}{2} kT$ , соответствующую температуре в том месте, где произошло ее последнее соударение с другой молекулой. В среднем это соударение происходит на расстоянии от  $S$ , равном средней длине свободного пробега  $\lambda$  (см. рис. 131.1). Поэтому молекулам, летящим в направлении оси  $z$ , следует приписывать энергию  $\langle \varepsilon_1 \rangle$ , отвечающую температуре  $T_1 = T(z - \lambda)$ , т. е. температуре в плоскости  $(z - \lambda)$ , молекулам же, летящим в противоположном направлении, — энергию  $\langle \varepsilon_2 \rangle$ , отвечающую температуре  $T_2 = T(z + \lambda)$  ( $z$  — координата плоскости  $S$ ).

В соответствии со сказанным для потока тепла через площадку  $S$  в положительном направлении оси  $z$  получается выражение

$$q = N (\langle \varepsilon_1 \rangle - \langle \varepsilon_2 \rangle),$$

где  $N$  — определяется формулой (131.1). Подстановка значений  $N$ ,  $\langle \varepsilon_1 \rangle$  и  $\langle \varepsilon_2 \rangle$  дает

$$q = \frac{1}{6} n \langle v \rangle S \left( \frac{i}{2} k T_1 - \frac{i}{2} k T_2 \right) = \frac{1}{6} n \langle v \rangle S \frac{i}{2} k (T_1 - T_2). \quad (131.2)$$

Разность  $T_1 - T_2$  равна

$$T(z - \lambda) - T(z + \lambda) = -\frac{dT}{dz} 2\lambda \quad (131.3)$$

(мы учли малость  $\lambda$ ). Здесь  $dT/dz$  — производная  $T$  по  $z$  в том месте, где расположена плоскость  $S$ .

С учетом (131.3) формуле (131.2) можно придать вид

$$q = -\frac{1}{6} n \langle v \rangle S \frac{i}{2} k \frac{dT}{dz} 2\lambda = -\frac{1}{3} \langle v \rangle \lambda \left( \frac{i}{2} k n \right) \frac{dT}{dz} S. \quad (131.4)$$

Сопоставление этой формулы с формулой (128.3) дает для коэффициента теплопроводности следующее выражение:

$$\kappa = \frac{1}{3} \langle v \rangle \lambda \left( \frac{i}{2} k n \right). \quad (131.5)$$

Вспомним, что выражение  $\frac{i}{2} R = \frac{i}{2} k N_A$  определяет теплоемкость при постоянном объеме  $C_V$  моля газа, т. е. количества газа, содержащего  $N_A$  молекул. Аналогично выражение  $\frac{i}{2} k n$  представляет собой теплоемкость количества газа, содержащего  $n$  молекул, т. е. теплоемкость единицы объема газа. Эту теплоемкость можно получить, умножив удельную теплоемкость  $c_V$  (теплоемкость единицы массы) на массу единицы объема, т. е. на плотность газа  $\rho$ .

Таким образом,

$$\frac{i}{2} kn = \rho c_v. \quad (131.6)$$

Подставив (131.6) в формулу (131.5), придем к окончательному выражению для коэффициента теплопроводности газа:

$$\kappa = \frac{1}{3} \langle v \rangle \lambda \rho c_v. \quad (131.7)$$

Как мы и предвидели, коэффициент теплопроводности оказался пропорциональным  $\langle v \rangle$ ,  $\lambda$  и теплоемкости газа  $\rho c_v$ . Более строгий расчет приводит к такому же выражению для  $\kappa$ , но с несколько отличным числовым коэффициентом.

Выясним зависимость  $\kappa$  от величин, характеризующих молекулы, и от параметров состояния газа. Учтя, что  $\langle v \rangle$  пропорциональна  $\sqrt{T/m}$ ,  $\lambda$  пропорциональна  $1/n\sigma$ , а  $\rho c_v$  пропорционально  $in$  (см. (131.6)), получим

$$\kappa \propto \sqrt{\frac{T}{m}} \cdot \frac{1}{n\sigma} \cdot in = \frac{i}{\sigma} \sqrt{\frac{T}{m}}. \quad (131.8)$$

Из (131.8) следует, что, в отличие от коэффициента диффузии, коэффициент теплопроводности газа не зависит от числа молекул в единице объема, а следовательно, и от давления ( $p = nkT$ ). Это обусловлено следующими причинами. С понижением давления уменьшается  $n$ , т. е. количество молекул, участвующих в переносе энергии. Одновременно растет  $\lambda$ , а значит, и различие в энергиях, переносимых каждой молекулой в противоположных направлениях. В итоге получается, что количество энергии, переносимой молекулами при данном градиенте температуры, не зависит от давления. Это справедливо лишь до тех пор, пока  $\lambda$  остается малой по сравнению с расстоянием между поверхностями, обменивающимися теплом за счет теплопроводности заключенного между ними газа (например, по сравнению с размерами зазора между внутренней и наружной колбами стеклянного термоса). По мере того как перестает выполняться это условие, теплопроводность начинает все больше зависеть от давления, уменьшаясь с его понижением. При  $\lambda$ , превышающем расстояние между поверхностями, пробег молекул определяется величиной этого расстояния и перестает зависеть от давления. Число же молекул в единице объема при уменьшении давления продолжает убывать, вследствие чего уменьшается и  $\kappa$ .

При повышении температуры коэффициент теплопроводности возрастает несколько быстрее, чем  $\sqrt{T}$ . Это обусловлено тем, что эффективное сечение  $\sigma$  слегка зависит от  $T$  (см. § 129).

## § 132. Вязкость газов

Чтобы понять происхождение силы внутреннего трения, рассмотрим два соприкасающихся слоя газа некоторой толщины  $\Delta z$ . Предположим, что слои движутся с различными скоростями  $u_1$  и  $u_2$  (рис. 132.1). Каждая молекула газа участвует в двух движениях: хаотическом тепловом, средняя скорость которого равна  $\langle v \rangle$ , и упорядоченном движении со скоростью  $u$ , которая много меньше, чем  $\langle v \rangle$ .

Пусть в какой-то момент времени слои обладают импульсами  $K_1$  и  $K_2$ . Эти импульсы не могут оставаться неизменными, так как вследствие теплового движения происходит непрерывный переход молекул из одного слоя в другой. Согласно упрощенным представлениям количество молекул, переходящих через площадку  $S$  за секунду из одного слоя в другой, определяется выражением

$$N = \frac{1}{6} n \langle v \rangle S \quad (132.1)$$

(малосущественным влиянием упорядоченного движения на величину скорости молекул можно пренебречь).

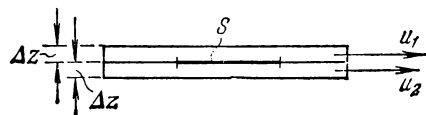


Рис. 132.1.

Попав в другой слой, молекула претерпевает соударения с молекулами этого слоя, в результате чего она либо отдает избыток своего импульса другим молекулам (если она прилетела из слоя, движущегося с большей скоростью), либо увеличивает свой импульс за счет других молекул (если она прилетела из слоя, движущегося с меньшей скоростью). В итоге импульс более быстро движущегося слоя убывает, а более медленно движущегося — возрастает. Таким образом, слои ведут себя так, как если бы к первому слою (скорость которого больше) была приложена тормозящая его движение сила, а ко второму слою (скорость которого меньше) — такая же по величине ускоряющая его движение сила.

Через площадку  $S$ , лежащую на границе раздела изображенных на рис. 132.1 слоев, переносится в единицу времени в направлении от первого слоя ко второму импульс

$$K = N(mu_1 - mu_2)$$

( $m$  — масса молекулы). Подстановка выражения (132.1) для  $N$  дает

$$K = \frac{1}{6} n \langle v \rangle S m (u_1 - u_2). \quad (132.2)$$

В реальном потоке газа скорость при переходе через границу раздела двух слоев изменяется не скачком, а непрерывно по закону

$u = u(z)$  (рис. 132.2). Будем считать, что каждая молекула, пролетающая через поверхность  $S$ , несет с собой импульс  $mu$ , определяемый значением скорости  $u$  в том месте, где произошло последнее столкновение молекулы. Отдельные молекулы претерпевают последнее соударение на самых различных расстояниях от  $S$ . В среднем это соударение происходит на расстоянии, равном длине свободного пробега  $\lambda$ . Поэтому молекулам, летящим в направлении оси  $z$ , припишем значение скорости  $u_1 = u(z - \lambda)$ , а молекулам, летящим в противоположном направлении, — значение скорости  $u_2 = u(z + \lambda)$ . Подстановка этих значений в (132.2) дает для потока импульса в направлении оси  $z$  выражение

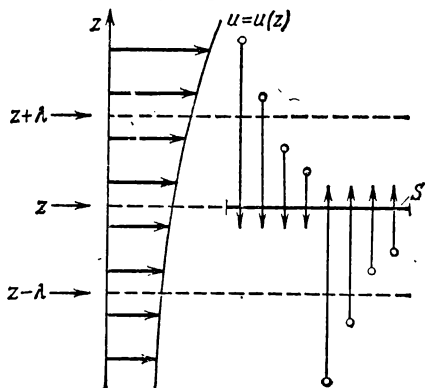


Рис. 132.2.

$$K = \frac{1}{6} n \langle v \rangle S m [u(z - \lambda) - u(z + \lambda)] = -\frac{1}{6} n \langle v \rangle S m \frac{du}{dz} 2\lambda$$

(ср. с (131.4)). Приняв во внимание, что произведение  $nm$  равно плотности газа  $\rho$ , можно написать:

$$K = -\left(\frac{1}{3} \langle v \rangle \lambda \rho\right) \frac{du}{dz} S.$$

Сравнение с формулой (128.5) дает выражение для коэффициента вязкости:

$$\eta = \frac{1}{3} \langle v \rangle \lambda \rho. \quad (132.3)$$

Более строгий расчет приводит к такому же выражению, но с несколько отличным числовым коэффициентом.

Из (132.3) следует, что, подобно  $D$  и  $\kappa$ , коэффициент вязкости пропорционален  $\langle v \rangle$  и  $\lambda$ . Кроме того, он пропорционален плотности газа  $\rho$ , т. е. величине, характеризующей способность газа «накапливать» импульс — при заданной скорости  $u$  импульс единицы объема газа оказывается тем большим, чем больше  $\rho$  (напомним, что коэффициент теплопроводности пропорционален теплоемкости единицы объема газа).

Учтя выражения для входящих в (132.3) величин, можно написать, что

$$\eta \propto \sqrt{\frac{T}{m}} \cdot \frac{1}{n\sigma} \cdot nm = \frac{\sqrt{mT}}{\sigma}.$$

Отсюда следует, что, как и  $\kappa$ , коэффициент вязкости не зависит от давления. Это справедливо лишь до тех пор, пока  $\lambda$  остается малой по сравнению с размерами зазора, в котором течет газ (например, по сравнению с диаметром трубы). По мере того как перестает выполняться это условие, вязкость начинает все больше зависеть от давления, уменьшаясь с его понижением. Зависимость  $\eta$  от температуры такая же, как у  $D$  и  $\kappa$ .

### § 133. Ультразреженные газы

В случае, когда длина свободного пробега молекул превышает линейные размеры сосуда, говорят, что в сосуде достигнут вакуум. Газ в этом случае называют *ультразреженным*. Хотя в буквальном смысле слова вакуум означает «пустоту», в ультразреженном газе содержится в единице объема большое число

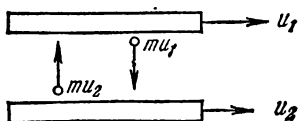


Рис. 133.1.

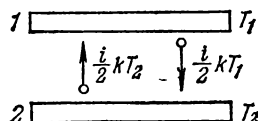


Рис. 133.2.

молекул. Так, при давлении в  $10^{-6}$  мм рт. ст. в  $1 \text{ м}^3$  находится примерно  $10^{16}$  молекул. Более того, в очень малых порах состояние, определяемое как вакуум, может быть достигнуто и при атмосферном давлении.

Поведение ультразреженных газов отличается целым рядом особенностей. В условиях вакуума нельзя говорить о давлении одной части газа на другую. При обычных условиях молекулы часто сталкиваются друг с другом. Поэтому по любой поверхности, которой можно мысленно разграничить газ на две части, будет происходить обмен импульсами между молекулами, и, следовательно, одна часть газа будет действовать по поверхности раздела на вторую с давлением  $p$ . В вакууме молекулы обмениваются импульсами только со стенками сосуда, так что имеет смысл лишь понятие давления газа на стенку. Внутреннее трение в газе также отсутствует. Однако тело, движущееся в ультразреженном газе, будет испытывать действие силы трения, обусловленной тем, что молекулы, ударяясь об это тело, будут изменять его импульс. Рассмотрим этот вопрос более подробно.

Пусть в ультразреженном газе движутся параллельно друг другу две пластинки (рис. 133.1). Скорости пластинок равны  $u_1$  и  $u_2$ . Взаимодействие между молекулой и пластинкой в момент удара приводит к тому, что молекула, отскочив от пластинки, имеет в дополнение к тепловой скорости составляющую, равную по величине и направлению скорости пластинки.

Об единицу поверхности верхней пластинки будет ударяться в секунду  $\frac{1}{6}n\langle v \rangle$  молекул, имеющих составляющую скорости  $u_2$ , приобретенную при предшествующем ударе о нижнюю пластинку. Каждая из этих молекул несет составляющую импульса  $mu_2$ . Отразившись от верхней пластинки, молекулы имеют составляющую импульса, равную  $mu_1$ . Следовательно, удар каждой молекулы о верхнюю пластинку приводит к уменьшению ее импульса на величину  $m(u_1 - u_2)$ . Изменение импульса в единицу времени, отнесенное к единице поверхности пластинки, составит

$$\frac{1}{6} n \langle v \rangle m (u_1 - u_2).$$

Это изменение равно силе, действующей на единицу поверхности пластинки:

$$F = \frac{1}{6} \rho \langle v \rangle (u_1 - u_2) \quad (133.1)$$

(мы заменили  $nm$  через  $\rho$ ). Такая же по величине, но противоположно направленная сила действует на единицу поверхности нижней пластинки.

Коэффициент пропорциональности между силой трения и разностью скоростей пластинок естественно назвать коэффициентом трения. Из (133.1) следует, что этот коэффициент равен  $\frac{1}{6}\rho\langle v \rangle$ , т. е. пропорционален плотности газа, а следовательно, и давлению газа на пластинку и стенки сосуда (для этого давления сохраняется выражение  $p = nkT$ ).

Обратимся теперь к вопросу о передаче тепла газом в условиях вакуума. Рассмотрим две пластинки с температурами  $T_1$  и  $T_2$ , между которыми находится ультраразреженный газ (рис. 133.2). Если бы удар молекул о поверхность твердого тела имел абсолютно упругий характер, молекулы отскакивали бы от пластинки с такой же по величине скоростью (а следовательно, и энергией), какую они имели перед ударом. В результате молекулы не могли бы переносить энергию от пластинки к пластинке. Однако такой вывод находится в противоречии с опытом. Следовательно, взаимодействие между стенкой и ударяющейся о нее молекулой не имеет характера упругого удара. В действительности оно осуществляется так: ударившись о стенку, молекула как бы прилипает к ней на короткое время, после чего покидает стенку в совершенно произвольном направлении со скоростью, величина которой в среднем отвечает температуре стенки <sup>1)</sup>.

<sup>1)</sup> Отметим, что указанное уточнение характера взаимодействия молекул со стенкой не влияет на результаты, полученные нами в § 96 при вычислении давления. Если температура газа и стенки одинакова, то молекулы будут покидать стенку с такой же средней скоростью, с какой они ударяются о стенку, так что изменение импульса молекул в результате удара в среднем будет таким же, как при абсолютно упругом ударе.

Обратимся снова к рис. 133.2. Каждая из  $\frac{1}{6}n\langle v \rangle S$  молекул, удаляющихся в секунду о верхнюю пластинку, приносит с собой энергию  $\frac{1}{2}kT_2$  и уносит энергию, равную  $\frac{1}{2}kT_1$ . Следовательно, каждый удар молекулы о пластинку приводит к потере пластинкой энергии  $\frac{1}{2}k(T_1 - T_2)$ . Такое же количество энергии получает при каждом ударе вторая пластинка. Таким образом, количество энергии, переносимое молекулами в секунду от пластинки к пластинке, будет равно

$$q = \frac{1}{6} n \langle v \rangle \frac{i}{2} k (T_1 - T_2) S.$$

Умножив и разделив это выражение на  $mN_A$ , получим:

$$q = \frac{1}{6} \rho \langle v \rangle c_V (T_1 - T_2) S. \quad (133.2)$$

Коэффициент теплопроводности, равный  $\frac{1}{6}\rho\langle v \rangle c_V$ , оказывается в ультраразреженном газе пропорциональным плотности газа. Следовательно, теплопередача от одной стенки к другой будет с понижением давления уменьшаться, в то время как теплопроводность газа при обычных условиях не зависит, как мы видели, от давления.

### § 134. Эффузия

Рассмотрим сосуд с ультраразреженным газом, разделенный на две части перегородкой с отверстием (рис. 134.1). Если размеры отверстия меньше длины свободного пробега, то молекулы будут

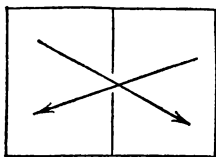


Рис. 134.1.

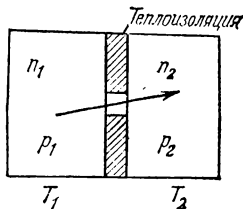


Рис. 134.2.

пролетать через отверстие поодиночке без столкновений друг с другом. Истечение газа через отверстие в этих условиях называется **э ф ф у з и е й**.

При эффузии наблюдается ряд своеобразных явлений, два из которых будут нами рассмотрены. Для упрощения рассуждений будем предполагать разрежение газа в сосуде настолько большим, что длина свободного пробега превышает линейные размеры сосуда. Тогда молекулы, пройдя через отверстие, будут двигаться по прямолинейным траекториям, пока не достигнут стенок сосуда.

**Тепловая эффузия.** Пусть стенки обеих частей сосуда поддерживаются при различных температурах  $T_1$  и  $T_2$  (рис. 134.2). Когда длина свободного пробега  $\lambda$  значительно меньше диаметра отверстия  $d$  ( $\lambda \ll d$ ), условием равновесия газа, заполняющего сосуд, будет равенство давлений  $p_1$  и  $p_2$ . Поскольку давление равно  $nkT$ , числа молекул в единице объема, а следовательно, и плотности газа в обеих частях сосуда будут в этом случае находиться в отношении, обратном отношению температур:

$$\frac{p_1}{p_2} = \frac{n_1}{n_2} = \frac{T_2}{T_1}. \quad (134.1)$$

Для ультраразреженного газа ( $\lambda \gg d$ ) условия равновесия будут иными. Не изменяющееся со временем (стационарное) состояние установится в том случае, если число молекул, проходящих за секунду через отверстие из первой части сосуда во вторую, будет равно числу молекул, проходящих через отверстие в противоположном направлении. Так как число молекул, проходящих через отверстие, пропорционально  $n\langle v \rangle$ , условие равновесия имеет вид

$$n_1 \langle v_1 \rangle = n_2 \langle v_2 \rangle.$$

Средняя скорость  $\langle v \rangle$  пропорциональна  $\sqrt{T}$ . Поэтому можно написать <sup>1)</sup>, что

$$\frac{p_1}{p_2} = \frac{n_1}{n_2} = \sqrt{\frac{T_2}{T_1}}. \quad (134.2)$$

Таким образом, отношение плотностей газа оказывается иным, чем при обычных условиях (см. (134.1)).

Для давлений с учетом (134.2) получим

$$\frac{p_1}{p_2} = \frac{n_1 k T_1}{n_2 k T_2} = \sqrt{\frac{T_1}{T_2}}.$$

В отличие от обычных условий, когда равновесие наблюдается при равенстве давлений в обеих частях сосуда, в условиях вакуума давление оказывается больше в той части сосуда, у которой температура стенок выше.

**Встречная изотермическая эффузия двух газов.** Рассмотрим случай, когда температура сосуда всюду одинакова. Закрыв отверстие в перегородке, заполним левую и правую части сосуда разными газами с сильно отличающимися по массе молекулами. Для определенности возьмем в левой части водород ( $M_r=2$ ), а в правой — кислород ( $M_r=32$ ). Пусть давление водорода  $p_1$  в 2 раза меньше, чем давление кислорода  $p_2$ . Следовательно, концентрация молекул кислорода в 2 раза превышает концентрацию молекул водорода:

<sup>1)</sup> В соответствии со сказанным в предыдущем параграфе мы считаем, что молекула, ударившись о стенку сосуда, отскакивает со скоростью, соответствующей температуре стенки.

$n_2 = 2n_1$ . Сами давления таковы, что  $\lambda$  обоих газов больше линейных размеров сосуда.

Если открыть отверстие в перегородке, возникнут встречные эффузионные потоки кислорода и водорода через отверстие (рис. 134.3). Поток молекул водорода будет пропорционален  $n_1 \langle v_1 \rangle$ , поток молекул кислорода пропорционален  $n_2 \langle v_2 \rangle$ . Средняя скорость молекул обратно пропорциональна  $\sqrt{m}$ . Поэтому средняя скорость молекул водорода будет в 4 раза больше средней скорости

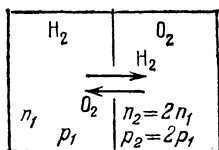


Рис. 134.3.

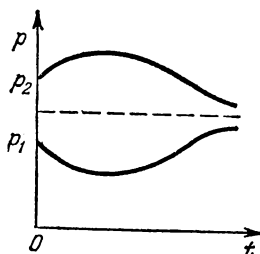


Рис. 134.4.

молекул кислорода:  $\langle v_1 \rangle = 4 \langle v_2 \rangle$ . В результате получается, что, хотя давление в сосуде с водородом меньше, чем в сосуде с кислородом, поток молекул водорода будет в 2 раза больше потока молекул кислорода. Вместо выравнивания давлений эффузионные потоки приведут к возрастанию различия в давлениях. Правда, со временем произойдет выравнивание концентраций водорода и кислорода в обеих частях сосуда (вначале это произойдет для более быстрых молекул, т. е. для водорода, позже закончится выравнивание концентраций кислорода), и в конце концов давления выравняются. Изменение во времени давлений  $p_1$  и  $p_2$  в обеих частях сосуда показано на рис. 134.4.

Явление эффузии используется для разделения газовых смесей, компоненты которых отличаются лишь тем, что в состав их молекул входят разные изотопы (разновидности атомов) одних и тех же химических элементов<sup>1)</sup>. Вследствие тождественности химических свойств изотопов осуществить их разделение химическим способом не удается.

Схема установки для разделения изотопов эффузионным способом дана на рис. 134.5. Установка состоит из ряда ступеней, объединенных в каскад. Газ из баллона  $B_T$  подается насосом  $H_1$  на вход первой ступени. Примерно половина газа проходит через перегородку с мелкими порами ( $\lambda \gg$  размеров пор) и подается затем насосом  $H_2$  на вход следующей ступени. Газ, не прошедший через перегородку, возвращается насосом  $H_3$  в баллон  $B_T$ .

<sup>1)</sup> Исторически за этим методом укоренилось не вполне точное название: диффузионный метод разделения изотопов.

Поскольку молекулы с меньшей массой обладают большей средней скоростью теплового движения, поток, прошедший через перегородку, будет несколько обогащен легкими молекулами по сравнению с первоначальным потоком. Поток же, проходящий через насос  $H_3$ , будет несколько обогащен тяжелыми молекулами,

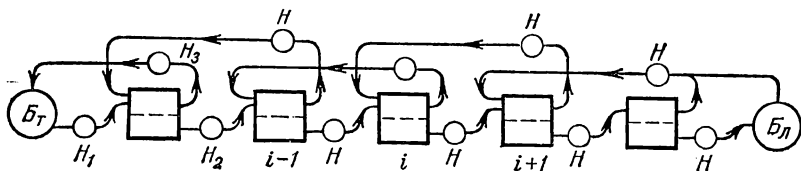


Рис. 134.5.

В последующих ступенях каскада процесс разделения поступающего в ступень газового потока на дополнительно обогащенную легкими молекулами и дополнительно обогащенную тяжелыми молекулами части повторяется. Из  $i$ -й ступени поток, обогащенный легкой компонентой, поступает на вход  $(i+1)$ -й ступени, а поток, обогащенный тяжелой компонентой, возвращается на вход  $(i-1)$ -й ступени.

По истечении некоторого времени вдоль каскада устанавливается равновесное распределение концентрации молекул легкой компоненты. Это распределение характеризуется тем, что концентрация легкой компоненты в потоке, возвращаемом в  $i$ -ю ступень из  $(i+1)$ -й ступени, совпадает с концентрацией легкой компоненты в потоке, поступающем в  $i$ -ю ступень из  $(i-1)$ -й ступени.

Газ в баллоне  $B_n$  оказывается  $n$ -кратно ( $n$  — число ступеней) обогащенным легкой компонентой, а газ в баллоне  $B_T$  —  $n$ -кратно обогащенным тяжелой компонентой. Степень обогащения определяется отношением масс молекул обеих компонент и числом ступеней каскада.

С помощью каскада, состоящего из 48 ступеней, Г. Герцу удалось практически полностью разделить изотопы неона ( $^{20}\text{Ne}$  и  $^{22}\text{Ne}$ ). Современные эффузионные установки для разделения изотопов урана состоят из нескольких тысяч ступеней.

## ПРИЛОЖЕНИЯ

### I. Вычисление некоторых интегралов

#### 1. Несобственный интеграл

$$I(\beta) = \int_{-\infty}^{+\infty} e^{-\beta x^2} dx \quad (I.1)$$

называется интегралом Пуассона. Обозначив переменную интегрирования буквой  $y$ , представим этот интеграл в виде

$$I(\beta) = \int_{-\infty}^{+\infty} e^{-\beta y^2} dy.$$

Перемножив оба выражения, придем к двукратному интегралу

$$[I(\beta)]^2 = \int_{-\infty}^{+\infty} e^{-\beta x^2} dx \int_{-\infty}^{+\infty} e^{-\beta y^2} dy = \int_{-\infty}^{+\infty} \int_{-\infty}^{+\infty} e^{-\beta(x^2+y^2)} dx dy. \quad (I.2)$$

Этот интеграл легко вычислить, рассматривая переменные  $x$  и  $y$  как декартовы координаты на плоскости и перейдя от этих координат к полярным координатам  $r$  и  $\varphi$ . При  $x$  и  $y$ , изменяющихся от  $-\infty$  до  $+\infty$ , координата  $r$  изменяется в пределах от 0 до  $\infty$ , а  $\varphi$  — в пределах от 0 до  $2\pi$ . Сумма  $x^2 + y^2$  равна  $r^2$ , а элемент поверхности  $dx dy$  имеет в полярных координатах вид  $r dr d\varphi$ . Произведя в (I.2) такую замену, придем к выражению

$$[I(\beta)]^2 = \int_0^{2\pi} d\varphi \int_0^{\infty} e^{-\beta r^2} r dr = 2\pi \cdot \frac{1}{2\beta} = \frac{\pi}{\beta}.$$

Отсюда для интеграла (I.1) получается значение  $I(\beta) = \sqrt{\pi/\beta}$ . Таким образом,

$$\int_{-\infty}^{+\infty} e^{-\beta x^2} dx = \sqrt{\frac{\pi}{\beta}}. \quad (I.3)$$

2. Обе части равенства (I.3) можно рассматривать как функцию параметра  $\beta$ . Продифференцировав по этому параметру (слева дифференцируется подынтегральная функция), получим, что

$$\int_{-\infty}^{+\infty} e^{-\beta x^2} x^2 dx = \frac{1}{2} \sqrt{\frac{\pi}{\beta^3}}. \quad (I.4)$$

Повторное дифференцирование по  $\beta$  дает

$$\int_{-\infty}^{+\infty} e^{-\beta x^2} x^4 dx = \frac{3}{4} \sqrt{\frac{\pi}{\beta^5}}. \quad (1.5)$$

Подынтегральные функции в интегралах (1.3), (1.4) и (1.5) являются четными. Поэтому вклады в эти интегралы промежутков  $[-\infty, 0]$  и  $[0, +\infty]$  одинаковы. Отсюда следует, что, например,

$$\int_0^{\infty} e^{-\beta x^2} x^4 dx = \frac{3}{8} \sqrt{\frac{\pi}{\beta^5}}. \quad (1.6)$$

## II. Формула Стирлинга

В случае больших  $N$  можно получить для  $N!$  простую приближенную формулу. В соответствии с определением  $N!$

$$\ln N! = \ln(1 \cdot 2 \cdot \dots \cdot N) = \ln 1 + \ln 2 + \dots + \ln N = \sum_{m=1}^N \ln m.$$

Написанная нами сумма равна сумме площадей изображенных на рис. II.1 столбиков. При большом  $N$  сумма площадей этих столбиков мало отличается от пло-

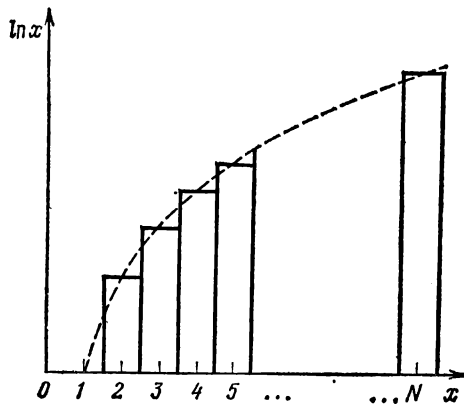


Рис. II.1.

щади, ограниченной показанной пунктиром кривой, представляющей собой график функции  $\ln x$ . Следовательно,

$$\ln N! \approx \int_1^N \ln x dx = [x \ln x - x]_1^N = N \ln N - N + 1.$$

При больших  $N$  единицей можно пренебречь, и мы приходим к формуле

$$\ln N! \approx N \ln N - N, \quad (II.1)$$

которая называется формулой Стирлинга.

Заметим, что, строго говоря, в формуле Стирлинга имеется еще одно слагаемое, равное  $\frac{1}{2} \ln(2\pi N)$ . Однако при больших  $N$  этим слагаемым можно пренебречь по сравнению с двумя другими слагаемыми.

### III. Симметричные тензоры второго ранга

**Формулы преобразования компонент вектора.** Возьмем две системы координат  $K$  и  $K'$ , ориентированные относительно друг друга произвольным образом. Базис системы  $K$  образуют орты  $e_1, e_2, e_3$ , системы  $K'$  — орты  $e'_1, e'_2, e'_3$  (мы будем обозначать декартовы координаты через  $x_1, x_2, x_3$  вместо  $x, y, z$ ). В системе  $K$  некоторый вектор  $a$  можно представить в виде  $\sum a_k e_k$ , в системе  $K'$  — в виде  $\sum a'_k e'_k$  ( $a_k$  и  $a'_k$  — компоненты вектора  $a$  в соответствующих системах; индекс  $k$  пробегает в обеих суммах значения 1, 2, 3). Очевидно, что

$$\sum_{k=1}^3 a'_k e'_k = \sum_{k=1}^3 a_k e_k. \quad (\text{III.1})$$

Умножим все члены равенства (III.1) на орт  $e'_i$ :

$$\sum_{k=1}^3 a'_k (e'_i e'_k) = \sum_{k=1}^3 a_k (e'_i e_k).$$

В соответствии с формулой (2.19)  $e'_i e'_k = \delta_{ik}$ . Следовательно,

$$\sum a'_k (e'_i e'_k) = \sum a'_k \delta_{ik} = a'_i.$$

Выражение  $e'_i e'_k$  представляет собой косинус угла между  $i$ -й осью системы  $K'$  и  $k$ -й осью системы  $K$ , т. е.  $\cos(x'_i, x_k)$ . Введем обозначение

$$\alpha_{ik} = \cos(x'_i, x_k). \quad (\text{III.2})$$

Тогда равенство (III.1) примет вид

$$a'_i = \sum_{k=1}^3 \alpha_{ik} a_k \quad (i=1, 2, 3). \quad (\text{III.3})$$

Зная компоненты вектора  $a$  в системе  $K$  и взаимную ориентацию систем  $K$  и  $K'$  (т. е. совокупность девяти коэффициентов  $\alpha_{ik}$ ), можно по формулам (III.3) вычислить компоненты вектора  $a$  в системе  $K'$ .

Согласно строгому определению вектором называется совокупность трех величин  $a_1, a_2, a_3$ , которые при переходе от одной системы координат к другой преобразуются по формулам (III.3), в которых коэффициенты  $\alpha_{ik}$  имеют значения (III.2) (см. подстрочное примечание на стр. 20).

Отметим, что из девяти коэффициентов  $\alpha_{ik}$  независимыми являются только три. Это согласуется с тем, что ориентация тела в пространстве определяется тремя углами (см. рис. 97.1 и связанный с ним текст).

**Определение тензора второго ранга.** Тензором  $T$  второго ранга называется совокупность девяти величин

$$\begin{pmatrix} T_{11} & T_{12} & T_{13} \\ T_{21} & T_{22} & T_{23} \\ T_{31} & T_{32} & T_{33} \end{pmatrix}, \quad (\text{III.4})$$

которые при переходе от одной системы координат к другой преобразуются по формулам

$$T'_{ik} = \sum \alpha_{il} \alpha_{km} T_{lm} \quad (i, k = 1, 2, 3), \quad (\text{III.5})$$

в которых коэффициенты  $\alpha_{il}$  и  $\alpha_{km}$  имеют значения (III.2) (см. подстрочное примечание на стр. 146). Величины  $T_{ik}$  в (III.4) называются компонентами тензора.

Аналогично определяются и тензоры других рангов. Тензором  $n$ -го ранга называется совокупность  $3^n$  величин  $T_{ik\dots s}$  (всего  $n$  индексов), которые при пере-

ходе от одной системы координат к другой преобразуются по формулам, отличающимся от (III.5) лишь тем, что в них содержатся  $n$  множителей вида  $\alpha_{ik}$  и суммирование производится по  $n$  индексам. В соответствии с таким определением вектор представляет собой тензор первого ранга, а скаляр — тензор нулевого ранга.

Произведением вектора  $\mathbf{a}$  на тензор второго ранга  $\mathbf{T}$  называется вектор  $\mathbf{b}$  с компонентами

$$b_i = \sum_{k=1}^3 T_{ik} a_k \quad (i = 1, 2, 3) \quad (\text{III.6})$$

(ср. с (40.5)).

**Симметричный тензор второго ранга.** Тензор называется симметричным, если его компоненты удовлетворяют условию:  $T_{ik} = T_{ki}$ . В дальнейшем симметричный тензор мы будем обозначать символом  $\mathbf{S}$ , а его компоненты — символом  $S_{ik}$ . Независимыми у симметричного тензора являются только шесть компонент: три диагональные вида  $S_{ii}$  и, например, компоненты  $S_{12}$ ,  $S_{23}$ ,  $S_{31}$  ( $S_{21} = S_{12}$ ,  $S_{32} = S_{23}$ ,  $S_{13} = S_{31}$ ).

Симметричный тензор второго ранга допускает важную геометрическую интерпретацию. Прежде чем перейти к ней, отметим, что вектору  $\mathbf{a}$  можно сопоставить не только направленный отрезок, но и построенную по определенным правилам плоскость. Совместим начало отрезка, изображающего вектор, с началом координат  $O$  (рис. III.1). Тогда перпендикулярная к вектору плоскость, отстоящая от точки  $O$  на расстояние, равное  $1/a$ , полностью определит как направление, так и модуль вектора  $\mathbf{a}$ . Из рис. III.1 видно, что проекция радиуса-вектора  $\mathbf{r}$  любой точки этой плоскости на направление вектора  $\mathbf{a}$  равна  $1/a$ . Поэтому

$$a\mathbf{r} = a\mathbf{r}_a = a(1/a) = 1.$$

Таким образом, уравнение плоскости имеет вид  $a\mathbf{r} = 1$ , или в развернутом виде

$$a_1 x_1 + a_2 x_2 + a_3 x_3 = 1. \quad (\text{III.7})$$

Отметим, что положение плоскости (III.7) в пространстве не зависит от выбора системы координат. При переходе к другой системе изменяются как компоненты вектора  $\mathbf{a}_k$ , так и координаты  $x_k$  данной точки плоскости, причем таким образом, что соотношение (III.7) остается в силе.

Симметричному тензору второго ранга можно сопоставить поверхность второго порядка, определяемую уравнением

$$S_{11}x_1^2 + S_{22}x_2^2 + S_{33}x_3^2 + 2S_{12}x_1x_2 + 2S_{23}x_2x_3 + 2S_{31}x_3x_1 = 1. \quad (\text{III.8})$$

Компоненты  $S_{11}$ ,  $S_{22}$ ,  $S_{33}$  в физических приложениях бывают больше нуля. При этом условии уравнение (III.8) определяет эллипсоид. Ориентация эллипсоида в пространстве не зависит от выбора системы координат. Тензорный эллипсоид «связан» с объектом (телом либо средой), свойства которого описывает тензор. При переходе к другой системе координат изменяются как компоненты тензора, так и координаты данной точки эллипсоида, причем таким образом, что соотношение (III.8) остается в силе.

Эллипсоид, определяемый уравнением (III.8), является геометрическим образом симметричного тензора второго ранга, подобно тому, как направленный отрезок или плоскость (III.7) (т. е. поверхность первого порядка) дает геометрический образ вектора (т. е. тензора первого ранга).

Из аналитической геометрии известно, что если оси координат направить вдоль полуосей эллипсоида  $a$ ,  $b$ ,  $c$ , то уравнение эллипсоида упрощается

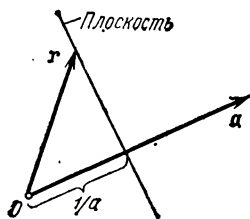


Рис. III.1.

и принимает вид:

$$\frac{x_1^2}{a^2} + \frac{x_2^2}{b^2} + \frac{x_3^2}{c^2} = 1. \quad (\text{III.9})$$

Отсюда следует, что для каждого симметричного тензора второго ранга имеются такие направления координатных осей, при которых равные компонентам тензора коэффициенты  $S_{12}$ ,  $S_{23}$  и  $S_{31}$  в уравнении (III.8) обращаются в нуль. Такие направления называются главными осями тензора. Если оси координат направить вдоль главных осей, тензор принимает диагональный вид:

$$\mathbf{S} = \begin{pmatrix} S_1 & 0 & 0 \\ 0 & S_2 & 0 \\ 0 & 0 & S_3 \end{pmatrix} \quad (\text{III.10})$$

Тензор вида (III.10) называется приведенным к главным осям, а диагональные компоненты в этом случае называются главными значениями тензора. Мы написали при диагональных компонентах в (III.10) только один индекс, чтобы отличить их от диагональных компонент  $S_{11}$ ,  $S_{22}$ ,  $S_{33}$ , определенных в координатных осях, не совпадающих с главными осями тензора.

Уравнение тензорного эллипсоида, написанное в главных осях, имеет вид

$$S_1 x_1^2 + S_2 x_2^2 + S_3 x_3^2 = 1. \quad (\text{III.11})$$

Из сравнения уравнений (III.9) и (III.11) получаются для полуосей тензорного эллипсоида значения

$$a = 1/\sqrt{S_1}, \quad b = 1/\sqrt{S_2}, \quad c = 1/\sqrt{S_3}. \quad (\text{III.12})$$

Найдем смысл расстояния  $\rho$  произвольной точки эллипсоида  $P$  от центра  $O$  (рис. III.2). Для этого направим вдоль  $OP$  ось  $x'_1$  некоторой координатной системы

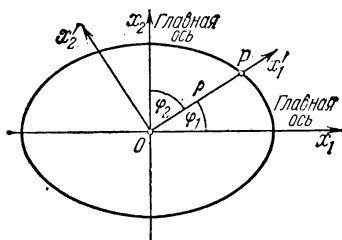


Рис. III.2.

$K'$ . Координаты точки  $P$  в этой системе равны  $(\rho, 0, 0)$ . Подстановка этих значений в уравнение (III.8) приводит к соотношению  $S'_{11}\rho^2=1$ , откуда

$$\rho = 1/\sqrt{S'_{11}}, \quad (\text{III.13})$$

где  $S'_{11}$  — первая диагональная компонента тензора в системе  $K'$ .

Обозначим углы, образуемые осью  $x'_1$  с главными осями тензора, через  $\varphi_1$ ,  $\varphi_2$ ,  $\varphi_3$  (см. рис. III.2). Тогда координаты точки  $P$  в главных осях будут равны

$$x_1 = \rho \cos \varphi_1, \quad x_2 = \rho \cos \varphi_2, \quad x_3 = \rho \cos \varphi_3.$$

Подстановка этих значений в (III.11) дает

$$\rho^2 (S_1 \cos^2 \varphi_1 + S_2 \cos^2 \varphi_2 + S_3 \cos^2 \varphi_3) = 1.$$

Согласно (III.13)  $1/\rho^2 = S'_{11}$ . Таким образом, мы приходим к соотношению

$$S'_{11} = S_1 \cos^2 \varphi_1 + S_2 \cos^2 \varphi_2 + S_3 \cos^2 \varphi_3, \quad (\text{III.14})$$

которое связывает компоненту  $S'_{11}$  в системе  $K'$  с главными значениями тензора и углами, образуемыми осью  $x'_1$  с главными осями тензора.

В случае, когда два главных значения тензора совпадают (например,  $S_1 = S_2 \neq S_3$ ), тензорный эллипсоид превращается в эллипсоид вращения. В этом случае фиксирована относительно тела или среды только одна главная ось тензора — ось симметрии эллипсоида (в нашем примере ось  $x_3$ ). В качестве двух других главных осей можно взять две любые взаимно перпендикулярные оси, проходящие через центр эллипсоида и перпендикулярные к его оси симметрии.

В случае, когда все три главных значения тензора совпадают ( $S_1 = S_2 = S_3 = S$ ), тензорный эллипсоид вырождается в сферу радиуса  $1/\sqrt{S}$  (см. (III.12)). В этом случае три любые взаимно перпендикулярные оси, проходящие через центр сферы, можно взять в качестве главных осей тензора.

Симметричный тензор с компонентами  $\delta_{ik}$ , т. е. тензор

$$\mathbf{E} = \begin{pmatrix} 1 & 0 & 0 \\ 0 & 1 & 0 \\ 0 & 0 & 1 \end{pmatrix} \quad (\text{III.15})$$

называется **единичным**. Произведя вычисления по формулам (III.6), легко убедиться в том, что умножение вектора  $\mathbf{a}$  на единичный тензор (III.15) оставляет вектор  $\mathbf{a}$  без изменений. Тензорный эллипсоид для единичного тензора вырождается в сферу единичного радиуса. Можно доказать, что тензор (III.15) является инвариантным. Это означает, что его компоненты не изменяются при переходе от одной системы координат к другой.

Тензор с одинаковыми главными значениями ( $S_1 = S_2 = S_3 = S$ ) можно представить в виде произведения скаляра  $S$  на единичный тензор:

$$\begin{pmatrix} S & 0 & 0 \\ 0 & S & 0 \\ 0 & 0 & S \end{pmatrix} = S \begin{pmatrix} 1 & 0 & 0 \\ 0 & 1 & 0 \\ 0 & 0 & 1 \end{pmatrix}. \quad (\text{III.16})$$

Оба множителя — скаляр и единичный тензор — являются инвариантными. Следовательно, и тензор, стоящий слева в равенстве (III.16), также является инвариантным.

**Эллипсоид инерции.** Поясним полученные соотношения на примере тензора инерции (см. § 40). **Эллипсоид инерции** (т. е. эллипсоид тензора инерции) жестко связан с телом, инертные свойства которого он описывает. Главные оси инерции тела совпадают с полуосями эллипсоида, т. е. являются главными осями тензора инерции. Главные моменты инерции тела  $I_1, I_2, I_3$  являются главными значениями тензора инерции. В соответствии с (III.12) полуоси эллипсоида инерции равны  $1/\sqrt{I_1}, 1/\sqrt{I_2}$  и  $1/\sqrt{I_3}$ .

Проведем через центр масс тела произвольную ось  $x'_1$ , образующую с главными осями инерции (т. е. полуосями эллипсоида инерции) углы  $\varphi_1, \varphi_2$  и  $\varphi_3$ . Согласно формуле (III.14) момент инерции тела относительно этой оси (осевой момент инерции  $I'_{11}$ , соответствующий  $I_{xx}$  в формуле (40.7)) можно вычислить по формуле

$$I'_{11} = I_1 \cos^2 \varphi_1 + I_2 \cos^2 \varphi_2 + I_3 \cos^2 \varphi_3, \quad (\text{III.17})$$

где  $I_1, I_2, I_3$  — главные моменты инерции тела.

Шаровой волчок определяется как тело, все три главных момента инерции которого одинаковы:  $I_1 = I_2 = I_3 = I$  (см. стр. 138). Следовательно, эллипсоид инерции шарового волчка вырождается в сферу радиуса  $1/\sqrt{I}$ . Однородный куб является частным случаем шарового волчка. Для момента инерции относительно

произвольной оси, образующей с ребрами куба углы  $\varphi_1$ ,  $\varphi_2$  и  $\varphi_3$ , получается по формуле (III,17) значение

$$I'_{11} = I \cos^2 \varphi_1 + I \cos^2 \varphi_2 + I \cos^2 \varphi_3 = I$$

(напомним, что для любого направления в пространстве  $\cos^2 \varphi_1 + \cos^2 \varphi_2 + \cos^2 \varphi_3 = 1$ ). Таким образом, момент инерции куба относительно любой оси, проходящей через его центр, будет один и тот же (как и у однородного шара). Поэтому поведение куба при вращении вокруг любой оси, проходящей через его центр, не отличается от поведения шара. Точно так же не отличается от поведения шара поведение любого шарового волчка, т. е. тела произвольной формы, но с таким распределением массы, что три главных момента инерции оказываются совпадающими.

Аналогично не будет отличаться от поведения при вращении однородного круглого цилиндра поведение однородной прямой призмы с квадратным основанием, равно как и поведение любого симметричного волчка, т. е. тела произвольной формы, но с таким распределением массы, что два из трех главных моментов инерции оказываются совпадающими.

## ПРЕДМЕТНЫЙ УКАЗАТЕЛЬ

Абсолютно твердое тело 18, 134  
Абсолютный нуль 274  
Аморфные тела 372, 393  
Амплитуда колебания 192  
— скорости 193  
Анизотропия 361, 399  
Атомная единица массы 264

Броуновское движение 263, 324

Ватт 80  
Вектор энергии-импульса 242  
Векторная диаграмма 198, 211  
Вероятность 291, 293, 311  
Вес 70, 71  
Волчок 161  
— асимметричный 139  
— симметричный 139, 167  
— шаровой 138, 150  
Время 12, 17, 218, 228  
— релаксации 266  
— собственное 227, 228  
Вязкость 69, 253  
— динамическая 256  
— кинематическая 256

Газовая постоянная 275, 279

Герц 192  
Главные моменты инерции 138, 149  
— оси инерции 136, 137, 138, 150  
Гравитационная постоянная 168, 170  
Гравитационное красное смещение 245  
— поле 170  
Градиент 87

Давление капиллярное 377, 381  
— насыщенного пара 385, 388  
— световое 244

Движение аperiodическое 208  
— вращательное 18, 46, 131  
— инфинитное 100, 115  
— плоское 131, 133, 154  
— поступательное 18, 36, 131  
— финитное 100, 115

Декремент затухания 206  
— — логарифмический 206  
Джоуль 80, 269

Дина 56  
Динамика 20, 49  
Дислокация 367  
Добротность 207, 208, 215

Жидкость идеальная 248, 252  
— перегретая 390, 392  
— растянутая 391

Закон возрастания энтропии 333  
— всемирного тяготения 168, 174  
— Гаука 63, 65, 78  
— Дюлонга и Пти 370  
— инерции 50  
— Кулона 62  
— Ньютона второй 53, 54, 174, 237  
— — первый 50, 54  
— третий 58  
— равномерного распределения энергии 306  
— сохранения импульса 53, 74, 75, 101  
— — момента импульса 74, 75, 105, 110  
— — энергии 74, 75, 90, 95, 97  
— Фика 403  
— Фурье 403  
Законы Ньютона 49, 72, 118  
— сохранения 74, 75, 129, 221

Импульс 52, 53, 74, 101, 152, 236  
Инвариантность уравнений 61, 217  
Инвариантные величины 220, 228, 229, 239, 242  
Интеграл Пуассона 314, 422  
Интегралы движения 74, 76, 86  
Интервал 220, 229  
— времениподобный 230  
— пространственноподобный 231

Калория 269  
Камера Вильсона 392  
Квантовая механика 13, 15, 35, 50, 309  
Кельвин 56, 274  
Килограмм 55, 56  
Кинематика 20, 49  
Колебания вынужденные 181, 210  
— гармонические 182, 190  
— затухающие 204

- Колебания малые 182  
 — параметрические 181  
 — свободные 181  
 — собственные 181  
 Количество движения 52  
 — тепла 268  
 Коэффициент внутреннего трения 253  
 — вязкости 253, 403, 415  
 — затухания 206, 210  
 — поверхностного натяжения 374, 375  
 — полезного действия 341  
 — — — цикла Карно 347, 349  
 — трения 68  
 Краевой угол 378  
 Кривизна кривой 43  
 — поверхности 377  
 Кристаллическая решетка 362  
 — ячейка 362, 363  
 Кристаллографические системы 364  
 Кристаллы жидкие 371  
 Критические величины 388  
  
 Линии тока 246  
 Лобовое сопротивление 258, 261  
 Лоренцево сокращение 226, 227  
  
 Масса 14, 51, 152, 174, 177  
 — гравитационная 174, 177  
 — движения 53, 236  
 — Земли 177  
 — инертная 174, 177  
 — молярная 264  
 — покоя 53, 236, 243  
 — приведенная 117  
 — релятивистская 53, 236  
 — Солнца 178  
 Материальная точка 18  
 Маятник 195, 196  
 — Фуко 128  
 Метр 55, 56  
 Мировая линия 220  
 — точка 220  
 Модуль сдвига 66, 98  
 — Юнга 65, 98  
 Моль 56, 264  
 Момент импульса 74, 106, 107, 113, 136, 150, 152  
 — инерции 135, 140, 147, 152  
 — количества движения 106  
 — силы 108, 109, 152  
 Монокристалл 361  
 Мощность 80  
  
 Напряженность гравитационного поля 171, 172  
 Начала термодинамики 263, 340  
 Начало термодинамики второе 274, 333, 342, 344  
  
 Начало термодинамики первое 268, 269, 273, 340  
 — — — третье 339  
 Начальные условия 193  
 Нейтрино 244  
 Нормальные условия 275  
 Нутация 166  
 Ньютон 56  
  
 Общая теория относительности 120, 177, 217  
 Оператор набла 87  
 Опыт Кавендиша 170  
 — Ламмерта 320  
 — Лебедева 244  
 — Майкельсона и Морли 217  
 — Паунда и Ребки 245  
 — Штерна 319  
 — Этвеша 175  
 Ось вращения 19, 131  
 — — мгновенная 133  
 — — свободная 137  
 — симметрии 363  
 Относительная атомная масса 263  
 — молекулярная масса 263  
  
 Пара сил 109  
 Параметры состояния 265  
 Паскаль 254  
 Паскаль-секунда 254  
 Перемещение 36  
 Период идентичности 362  
 — колебания 192  
 — обращения 46  
 Плечо импульса 107  
 — пары сил 109  
 — силы 108  
 Плотность 140  
 — энергии 98  
 Подъемная сила 258, 261  
 Показатель политропы 283  
 Поле гравитационное 59  
 — сил 81  
 — — нестационарное 82  
 — — однородное 82  
 — — потенциальное 84  
 — — стационарное 82  
 — — центральное 82, 83, 111  
 Поликристалл 361  
 Полное смачивание 379  
 Полный дифференциал 87, 270, 354  
 Постоянная Больцмана 276, 321, 325, 332  
 — Планка 35, 244  
 Потенциал 84  
 — гравитационного поля 171, 172  
 Потенциальная функция 84  
 — яма 100

- Потенциальный барьер 100  
 Поток 400, 401  
 Правило правого винта 45  
 Преобразование импульса 241  
   — силы 237  
   — скорости 61, 232  
   — энергии 241  
 Преобразования Галилея 60, 221, 222, 225  
   — Лоренца 224, 225  
 Прецессия гироскопа 166  
 Приведенная длина 197  
 Принцип относительности Галилея 60, 62, 217  
   — — Эйнштейна 217  
   — постоянства скорости света 217, 218  
   — эквивалентности 120, 174, 177  
 Приращение величины 9, 77  
 Пространство псевдоевклидово 220  
   — скоростей 311, 335  
 Пространство-время 219  
 Процесс 266  
   — адиабатический 280, 346  
   — изобарический 280  
   — изотермический 280  
   — изохорический 280  
   — изэнтропический 346  
   — квазистатический 266  
   — круговой 267, 341  
   — необратимый 331, 332  
   — обратимый 267, 343  
   — политропический 283  
   — равновесный 266  
 Псевдовектор 29  
 Пуаз 254  
 Путь 36, 40  
  
 Работа 76, 77, 152, 171, 272  
 Радиус молекулярного действия 286, 373  
 Разделение изотопов 420  
 Размерность физической величины 57, 58  
 Распределение Больцмана 323, 324  
   — Максвелла 315, 319  
   — Максвелла — Больцмана 323  
 Реакция вытекающей струи 251  
 Резонанс 213, 215  
   — параметрический 216  
 Резонансные кривые 214  
 Релаксация 266  
  
 Секунда 55, 56  
 Сила 53, 54, 152  
   — восстанавливающая 183  
   — гравитационная 59  
   — инерции кориолисова 123, 124  
   — — центробежная 72, 121, 129  
  
 Сила квазиупругая 183, 193  
   — магнитная 62  
   — нормального давления 67, 72  
   — реакции 70, 72  
   — трения 62, 63, 66, 72, 90  
   — — покоя 67  
   — тяжести 70, 71, 82, 122, 156  
   — упругая 62, 63, 78  
   — фундаментальная 62  
 Силы ван-дер-ваальсовские 367  
   — внешние 74  
   — внутренние 74  
   — диссипативные 90  
   — инерции 119, 156, 177  
   — консервативные 81, 82, 85, 88  
 Сингонии 364  
 Синхронизация часов 219  
 Система единиц абсолютная 55  
   — — международная 55  
   — — СГС 56  
   — — техническая 57  
   — механическая 17, 74  
   — — замкнутая 51, 74  
   — отсчета 17  
   — — гелиоцентрическая 51  
   — — инерциальная 50, 51, 54, 61, 221  
   — — лабораторная 102  
   — — неинерциальная 50, 118, 129  
   — — центра масс 102  
   — термодинамическая 265  
 Скорость 37  
   — линейная 46, 152  
   — света 217, 219  
   — секторальная 113  
   — угловая 46, 152  
 Сложение колебаний 198, 201, 203  
   — скоростей 61  
 Собственная длина 226  
 Соотношение неопределенности Гейзенберга 35  
 Состояние беспорядочное 339  
   — метастабильное 390, 392  
   — неравновесное 265  
   — неслучайное 339  
   — равновесное 266, 331  
   — случайное 339  
   — упорядоченное 339  
 Специальная теория относительности 13, 49, 217  
 Среднее значение 41, 292, 294  
 Статистический ансамбль 291  
   — вес 326, 329, 332  
 Степени свободы 304  
  
 Температура абсолютная 274, 302  
   — критическая 375, 387  
 Тензор инерции 144, 146, 153, 427  
 Теорема Карно 347

- Теорема Нернста 339  
 — Штейнера 142, 143  
 Тепловая машина 341  
 — функция 359  
 Теплоемкость 277, 352  
 — молярная 278  
 — удельная 278  
 Теплопередача 268  
 Термодинамический потенциал Гиббса 359, 360  
 Точка критическая 387  
 — тройная 383, 396, 398  
 Траектория 35  
 Трение внешнее 66  
 — внутреннее 66  
 — вязкое 69  
 — качения 67  
 — скольжения 67  
 — сухое 67, 68  
 Трубка тока 247
- Убыль величины 9, 77**  
 Удар абсолютно неупругий 103  
 — — упругий 103  
 Уравнение Ван-дер-Ваальса 286, 288, 389  
 — движения 53  
 — Пуассона 282  
 — состояния 275  
 — — идеального газа 275, 276  
 — характеристическое 189, 205  
 Ускорение 42, 152  
 — кориолисово 127  
 — нормальное 42, 44  
 — свободного падения 70, 122, 197  
 — тангенциальное 42  
 — угловое 47, 152  
 Условия равновесия 98, 157
- Фаза колебания 192**  
 — — начальная 192  
 — термодинамическая 383  
**Фазовый переход второго рода 384**  
 — — первого рода 383  
 Фигуры Лиссажу 204  
 Физически бесконечно малый объем 141  
 Фитцджеральдово сокращение 226  
 Флуктуация 330
- Формула Лапласа 377  
 — Пуазейля 258  
 — Стокса 260  
 — Торричелли 251  
 Фотон 244  
 Функция распределения вероятностей 293, 315  
 — состояния 270
- Центр инерции 102**  
 — кривизны 43  
 — масс 102, 117, 133, 134, 155, 156  
 — тяжести 156  
 Цикл 267, 341  
 — Карно 346, 349, 351
- Частота биений 201**  
 — колебания 192  
 — — круговая 192  
 — — циклическая 192  
 — резонансная 213  
 — собственная 205, 210, 214  
 Четырехвектор 241, 242  
 Число Авогадро 264, 325  
 — Рейнольдса 255, 256  
 — степеней свободы 98, 182, 303
- Элементы симметрии 364, 399**  
 Энергия 74  
 — внутренняя 267, 357, 360  
 — — ван-дер-ваальсовского газа 289, 356  
 — — идеального газа 278, 280, 356  
 — кинетическая 75, 76, 151, 154, 238  
 — покоя 238  
 — полная 86, 89, 96, 239  
 — потенциальная 84, 85, 88, 90, 92, 94, 97, 171  
 — свободная 358, 360, 375  
 — средняя 306  
 — упругой деформации 97  
 — центробежная 129  
 Энтальпия 359, 360  
 Энтропия 332, 339  
 Эрг 80  
 Эргодическая гипотеза 328  
 Эффективный диаметр молекулы 373, 405

1р.10к.